



HAL
open science

**ZAC de la Pyramide Lot C1, “ Le Bras de Fer ”,
Commune de Lieusaint (Île-de-France, Seine-et-Marne).
Fouille archéologique du 15-07 au 04-10-2002**

Gilles Desrayaud, Céline Bémilli, Juliette Durand

► **To cite this version:**

Gilles Desrayaud, Céline Bémilli, Juliette Durand. ZAC de la Pyramide Lot C1, “ Le Bras de Fer ”, Commune de Lieusaint (Île-de-France, Seine-et-Marne). Fouille archéologique du 15-07 au 04-10-2002: Fosses utilitaires Hallstatt final, habitat laténien final à gallo-romain précoce et réseau fossoyé gallo-romain. [Rapport de recherche] Inrap Centre - Ile-de-France. 2004. hal-02896325

HAL Id: hal-02896325

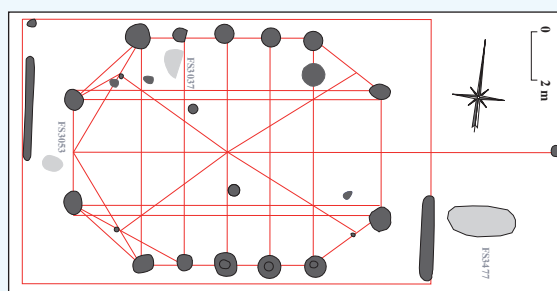
<https://hal.science/hal-02896325>

Submitted on 10 Jul 2020

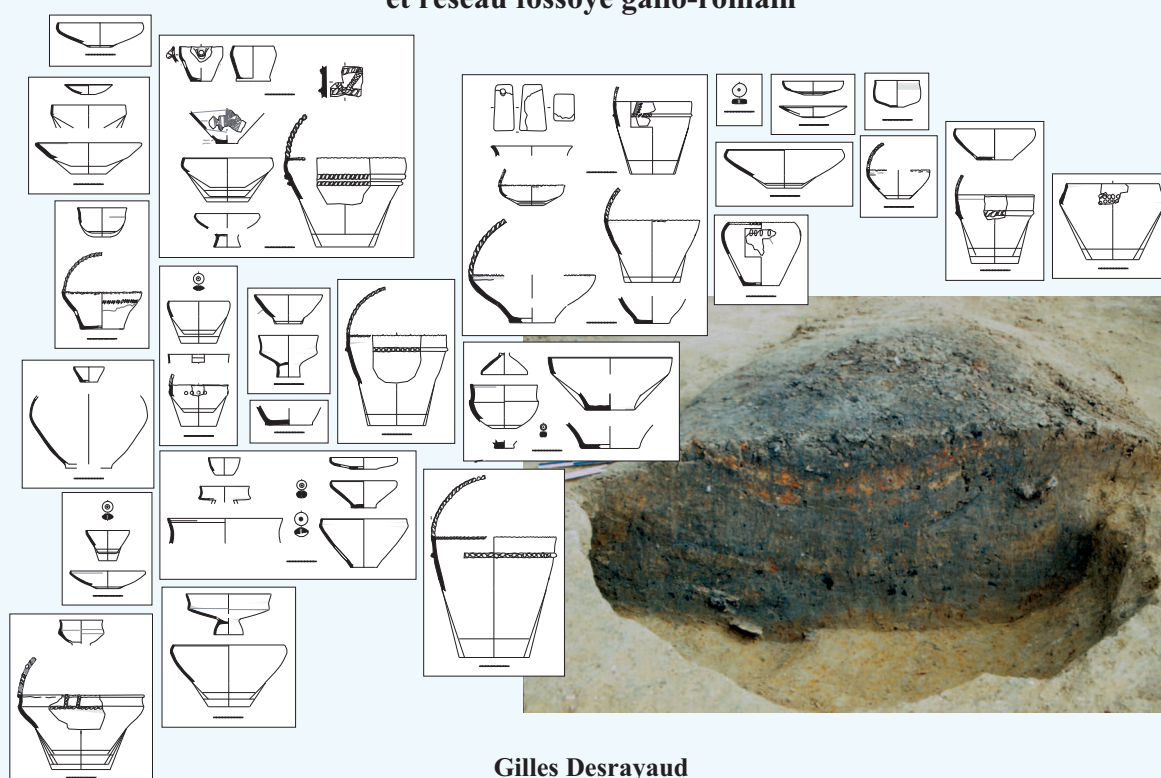
HAL is a multi-disciplinary open access archive for the deposit and dissemination of scientific research documents, whether they are published or not. The documents may come from teaching and research institutions in France or abroad, or from public or private research centers.

L'archive ouverte pluridisciplinaire **HAL**, est destinée au dépôt et à la diffusion de documents scientifiques de niveau recherche, publiés ou non, émanant des établissements d'enseignement et de recherche français ou étrangers, des laboratoires publics ou privés.

**ZAC de la Pyramide Lot C1,
" Le Bras de Fer "**
Commune de Lieusaint (77)
Fouille archéologique du 15-07 au 04-10-2002



**Fosses utilitaires Hallstatt final,
habitat laténien final à gallo-romain précoce
et réseau fossoyé gallo-romain**



Gilles Desrayaud
avec la collaboration de Céline Bémilli, Juliette Durand et Philippe Lenhardt

sous la coordination de Valérie Gonzales

*Institut National de Recherches Archéologiques Préventives
Direction Interrégionale Centre/Île-de-France
Centre archéologique de Pantin*

**ZAC de la Pyramide Lot C1,
« Le Bras de Fer »
Commune de Lieusaint (77)
Fouille archéologique du 15-07 au 04-10-2002**

*Fosses utilitaires Hallstatt final,
habitat laténien final à gallo-romain précoce
et réseau fossoyé gallo-romain*

Gilles Desrayaud
avec la collaboration de
Céline Bémilli, Juliette Durand et Philippe Lenhardt

sous la coordination de Valérie Gonzales

DRAC ÎLE-DE-FRANCE
*Service Régional de l'Archéologie
Saint-Denis, mai 2004*

**ZAC de la Pyramide Lot C1, « Le Bras de Fer »
Commune de Lieusaint (77)
Fouille archéologique du 15-07 au 04-10-2002**

*Fosses utilitaires Hallstatt final, habitat laténien final à gallo-romain précoce
et réseau fossoyé gallo-romain*

Gilles Desrayaud
avec la collaboration de Céline Bémilli, Juliette Durand et Philippe Lenhardt
sous la coordination de Valérie Gonzales

1	FICHE SIGNALÉTIQUE	9
2	GÉNÉRIQUE DE L'OPÉRATION	9
3	Cadre d'intervention.....	10
4	Contextes géographique et géo-pédologique.....	10
5	Contexte archéologique	10
6	Contexte taphonomique et méthodologie de fouille.....	11
7	PRÉSENTATION DES DONNÉES	14
7.1	<i>Fosses Hallstatt final (env. VIe s. av. J.-C.) :</i>	<i>15</i>
7.1.1	Fosses complexes	15
7.1.1.1	FC3017 (Pl. 05)	15
7.1.1.2	FC3210 (Pl. 05)	16
7.1.1.3	FC3237 (Pl. 06)	16
7.1.1.4	FC3305 (Pl. 06)	17
7.1.1.5	FC3387 (Pl. 07)	17
7.1.1.6	FC3433 (Pl. 07)	18
7.1.1.7	FC3615 (Pl. 08)	18
7.1.1.8	FC4005 (Pl. 08)	19
7.1.1.9	FC4007 (Pl. 09)	19
7.1.1.10	FC4013 (Pl. 09)	20
7.1.1.11	FC4023 (Pl. 10)	20
7.1.1.12	FC4035 (Pl. 10)	21
7.1.1.13	FC4039 (Pl. 11)	22
7.1.1.14	FC4156 (Pl. 05)	22
7.1.1.15	FC4167 (Pl. 12)	23
7.1.1.16	FC4283 (Pl. 12)	24
7.1.2	Ensemble de fosses n°13 (FOS13 ; pl. 13)	25
7.1.3	Fosses simples	26
7.1.3.1	FS3080 (Pl. 14)	26
7.1.3.2	FS3082 (Pl. 14)	27
7.1.3.3	FS3194 (Pl. 14)	27
7.1.3.4	FS3281 (Pl. 14)	27
7.1.3.5	FS3333 (Pl. 15)	28
7.1.3.6	FS3439 (Pl. 15)	28
7.1.3.7	FS3595 (Pl. 15)	29
7.1.3.8	FS3567 (Pl. 15)	29
7.1.3.9	FS3643 (Pl. 17)	30
7.1.3.10	FS3713 (Pl. 16)	30

7.1.3.11	FS4015 (Pl. 17).....	31
7.1.3.12	FS4154 (Pl. 17).....	31
7.1.3.13	FS4207 (Pl. 17).....	32
7.1.3.14	FS4235 (ST506 in Viré 2000 et Boulenger 2001).....	32
7.1.3.15	FS4341 (Pl. 17).....	32
7.1.3.16	ST2029 (Diagnostic, d'après Boulenger 2001).....	33
7.1.3.17	ST2080 (Diagnostic, d'après Boulenger 2001 ; fouille n° FS3114).....	33
7.2	<i>Ier s. ap. J.-C. ou antérieur.....</i>	34
7.2.1	BAT09 (Pl. 19).....	34
7.2.2	BAT10 (Pl. 19).....	34
7.3	<i>La Tène C2/Ier siècle ap. J.-C. :.....</i>	35
7.3.1	Bâtiments sur poteaux plantés.....	35
7.3.1.1	Bâtiment 01 (Pl. 20).....	35
7.3.1.2	Bâtiment 02 (Pl. 20).....	36
7.3.1.3	Bâtiment 04 (Pl. 21).....	37
7.3.1.4	Bâtiment 05 (Pl. 22).....	40
7.3.1.5	Bâtiment 08 (Pl. 23).....	41
7.3.2	Fosses.....	42
7.3.2.1	FS3477 (Pl. 24).....	42
7.3.2.2	FS3677 : fosse à dépôt d'ossements de bœuf (Pl. 24).....	43
7.3.2.3	FS3681 (Pl. 24).....	43
7.3.2.4	ST2026 (d'après Boulenger 2001).....	44
7.4	<i>La Tène moyenne C2 à Haut Empire.....</i>	44
7.4.1	BAT12 (Pl. 25).....	44
7.5	<i>Haut Empire à antérieur.....</i>	45
7.5.1	SFO27 (Pl. 27 & 30).....	45
7.6	<i>La Tène finale D2/gallo-romain précoce à Haut Empire.....</i>	45
7.6.1	FS3313 (Pl. 25).....	45
7.6.2	SFO26 (Pl. 26 à 34).....	46
7.7	<i>Systèmes fossoyés gallo-romains (Ier à IVe s. ap. J.-C.).....</i>	47
7.7.1	SFO15 (Pl. 26 à 34).....	47
7.7.2	SFO16 (Pl. 26).....	48
7.7.3	SFO17 (Pl. 26).....	48
7.7.4	SFO18 (Pl. 26).....	49
7.7.5	SFO19 (Pl. 26 à 34).....	49
7.7.6	SFO20 (Pl. 26 à 34).....	50
7.7.7	SFO21, MR4335/FS4337 (Pl. 26 à 34).....	52
7.7.8	SFO22.....	53
7.7.9	FO4102 (Pl. 30 à 32).....	53
7.7.10	FO4147 (Pl. 31).....	54
7.7.11	FS3180 (Pl. 27).....	54
7.7.12	FS3204 (Pl. 27-28).....	54
7.7.13	FS3224 (Pl. 29).....	54
7.7.14	FS3519 (Pl. 29).....	55
7.7.15	FS3888 (Pl. 29).....	55
7.7.16	FS4405 (Pl. 32-33).....	55
7.7.17	FS4636 (Pl. 32).....	56
7.7.18	FS4643 (Pl. 33).....	56
7.8	<i>Mare 3693 : moderne à antérieure.....</i>	57

7.9	<i>Moderne à contemporain</i>	57
7.9.1	Systèmes fossoyés et parcellaire napoléonien.....	57
7.9.1.1	SFO14 : FO3389	57
7.9.1.2	SFO23 : FO3233	58
7.9.1.3	SFO24 : FO3691 (Pl. 35)	58
7.9.1.4	SFO25	58
7.9.1.5	FO4409.....	58
7.9.1.6	SFO28	59
7.9.2	Fosses contemporaines.....	59
7.10	<i>Structures remarquables non-datées</i>	60
7.10.1	Bâtiments sur poteaux plantés.....	60
7.10.1.1	BAT03 (Pl. 36)	60
7.10.1.2	BAT06 (Pl. 36).....	60
7.10.1.3	BAT07 (Pl. 37).....	61
7.10.1.4	BAT11 (Pl. 37).....	62
7.10.2	Fosses Hallstatt final/Protohistoriques à postérieures	63
7.10.2.1	FS3457.....	63
7.10.2.2	FS3569 (Pl. 15).....	63
7.10.2.3	FS3571 (Pl. 15).....	63
7.10.2.4	FS3687.....	64
7.10.2.5	ST2079	64
8	RÉSULTATS ET PERSPECTIVES	65
8.1	<i>Occupation Hallstatt final (VI^e s. av. J.-C.)</i>	65
8.1.1	Fosses utilitaires et stockage de denrées (Pl. 18 et 39).....	65
8.1.2	Zone d'activités spécifiques proche d'un habitat	67
8.2	<i>Habitat laténien final/gallo-romain précoce</i>	68
8.3	<i>Réseau fossoyé gallo-romain</i>	70
9	RÉSUMÉ ET CONCLUSION	72
10	Glossaire méthodologique	74
11	ANNEXE A : ÉTUDE CÉRAMOLOGIQUE (Gilles Desrayaud)	75
11.1	<i>Étude de la céramique Hallstatt final</i>	75
11.1.1	Éléments de datation	75
11.1.1.1	Tableau 1 : Critères typo-morphologiques de datation du Hallstatt final.	76
11.1.2	Taphonomie	77
11.1.3	Descriptions typologiques.....	77
11.1.3.1	Description des pâtes	77
11.1.3.1.1	<i>Pâtes modelées grossières</i>	77
11.1.3.1.2	<i>Pâtes modelées fines</i>	78
11.1.3.2	Description des décors (sur extérieur):	78
11.1.4	Descriptions morphologiques et morpho-métriques.	78
11.1.4.1	Morphologies : (Pl. 44).....	78
11.1.4.2	Catégories morphologiques et éléments de quantifications :	79
11.1.4.2.1	<i>Grands récipients de stockage, préparation et/ou service</i>	79
	<input type="checkbox"/> « Pots de stockage » (Pl. 47 à 49)	79
	<input type="checkbox"/> Grands « Jattes/bols » à bord rentrant (Pl. 50 à 51)	79
	<input type="checkbox"/> Grands « Jattes/bols » à bord droit/évasé (Pl. 50 à 51)	79
11.1.4.2.2	<i>Vaisselle de service/préparation</i>	80
	<input type="checkbox"/> « Assiettes » (Pl. 53).....	80
	<input type="checkbox"/> « Coupes » basses à pied (Pl. 54).....	80

□	« Coupes » hautes (Pl. 54).....	80
□	« Pots » tronconiques (Pl. 53).....	80
□	Petits « Jattes/bols » à bord rentrant (Pl. 52).....	80
□	Petits « Jattes/bols » à bord droit/évasé (Pl. 52).....	80
□	Couvercle (Pl. 53).....	80
11.1.4.3	Tableau 2 : Pourcentages des catégories morphologiques par rapport au NMI.....	81
11.1.4.4	Tableau 3 : estimation du volume utile approximatif (Pl. 46).....	82
11.1.5	Conclusion : collection céramique du Hallstatt final D1-2/IIa, VIe s. av. J.-C.	83
11.1.6	Tableau A : Inventaire de la céramique modelée des Faits Hallstatt final	84
11.1.7	Tableau B : Comptages typo-morphologiques de la céramique Hallstatt final	92
11.1.7.1	Critères méthodologiques (pl. 44 à 46).....	92
11.1.7.2	Tableau B.....	93
11.2	Tableau C : Comptage et inventaire de la céramique des Faits hors Hallstatt final <i>(Néolithique/Protohistoire indéterminée ; La Tène C2/Gallo-romain précoce ; Haut et Bas Empires ; moderne/contemporaine).....</i>	98
11.3	Références bibliographiques de l'Annexe A.....	101
12	ANNEXE B : Analyse archéozoologique (Céline Bémilli).....	103
12.1	La période Hallstatt final.....	103
12.1.1	La fosse 3194	104
12.1.2	La fosse 3285	104
12.1.3	La fosse 3305	105
12.1.4	La fosse 3439	105
12.1.5	La fosse 3595	105
12.1.6	La fosse 3615	106
12.1.7	La fosse 3790	107
12.1.8	La fosse 4005	107
12.1.9	La fosse 4015	107
12.1.10	La fosse 4023	108
12.1.11	La fosse 4035	109
12.1.12	La fosse 4167	109
12.1.13	La fosse 4283	110
12.1.14	Synthèse	110
12.1.14.1	Les espèces domestiques	111
12.1.14.2	Morphologie des animaux	111
12.1.14.3	Âge des animaux	111
12.1.14.4	Sexe des animaux	111
12.1.14.5	Distributions squelettiques par espèce.....	111
12.1.14.6	Les espèces sauvages.....	112
12.1.15	Conclusion pour le Hallstatt final.....	112
12.1.16	Annexe 1 : Hallstatt final. Tableaux de décompte des restes osseux par structure et par espèce.....	113
12.1.17	Annexe 2 : Hallstatt final. Données ostéométriques.	114
12.2	Réseau fossoyé gallo-romain et structures associées.....	115
12.3	La Tène C2 à Ier s. ap. J.-C.....	116
12.4	Inventaire et identification des éléments fauniques par fait et Us.....	118
13	ANNEXE C : Étude du mobilier lithique taillé, Lots C1 et C3 (Juliette Durand).....	130
13.1	Introduction	130
13.2	L'environnement préhistorique.....	130
13.3	Le contexte archéologique des pièces lithiques	130
13.4	Les matières premières	131
13.4.1	Le silex tertiaire	131
13.4.2	Le silex local	132
13.4.3	Le silex secondaire.....	132
13.5	Les types de productions.....	132
13.5.1	Les pièces façonnées.....	132
13.5.2	Les produits débités.....	132

13.6	<i>Les outils</i>	133
13.7	<i>Quelle cohérence typo-culturelle ?</i>	134
13.8	<i>En guise de conclusion</i>	134
13.9	<i>Bibliographie de l'Annexe C</i>	135
13.10	<i>Tableau descriptif des matières premières siliceuses</i>	136
13.11	<i>Inventaire et description des pièces du Lot C1</i>	138
13.12	<i>Inventaire et description des pièces du Lot C3</i>	139
13.13	<i>Inventaire par matière première</i>	141
14	Annexe D : inventaire du mobilier par Fait et datations (mobilier et stratigraphie) ..	142
15	Annexe E : inventaire des Unités stratigraphiques du Lot C1	148
15.1	<i>Unités stratigraphiques issues du Diagnostic (Boulenger 2001)</i>	148
15.2	<i>Unités stratigraphiques de la Zone 3 :</i>	148
15.3	<i>Unités stratigraphiques de la Zone 4</i>	164
16	Annexe F : Inventaire des faits du Lot C1	174
16.1	<i>Inventaire des faits issus du Diagnostic (Boulenger 2001)</i>	174
16.2	<i>Inventaire des faits de la Zone 3</i>	174
16.3	<i>Inventaire des faits de la Zone 4</i>	189
17	Annexe G : Inventaire des ensembles du Lot C1 :	199
18	Bibliographie générale	206
19	ILLUSTRATIONS.....	209

Planches :

- Pl. 01 : Localisation géographique et contexte géologique de la fouille du Lot C1
- Pl. 02 : Contexte archéologique du Lot C1 de la ZAC de la Pyramide
- Pl. 03 : Opérations archéologiques de la ZAC de la Pyramide, Lieusaint (77)
- Pl. 04 : Profil pédo-géologique logarithmique
- Pl. 05 : FC3017 et FC3210, Hallstatt final
- Pl. 06 : FC3237 et FC3305, Hallstatt final
- Pl. 07 : FC3387 et FC3433, Hallstatt final
- Pl. 08 : FC3615 et FC4005, Hallstatt final
- Pl. 09 : FC4007 et FC4013, Hallstatt final
- Pl. 10 : FC4023 et FC4035, Hallstatt final
- Pl. 11 : FC4039 et FC4156, Hallstatt final
- Pl. 12 : FC4167 et FC4283, Hallstatt final
- Pl. 13 : FOS13, Hallstatt final
- Pl. 14 : FS3080, FS3082, FS3194 et FS3281, Hallstatt final
- Pl. 15 : FS3333, FS3439, FS3595 et FS3567, Hallstatt final ; FS3569 et FS3571, Hallstatt final ou postérieur
- Pl. 16 : FS3713, Hallstatt final
- Pl. 17 : FS3643, FS4015, FS4154, FS4207 et FS4341, Hallstatt final
- Pl. 18 : Typologie des fosses Hallstatt final du Lot C1
- Pl. 19 : Bâtiments 09 et 10, Ier s. ap. J.-C. ou antérieur
- Pl. 20 : Bâtiments 01 et 02, La Tène moyenne C2 à Ier s. ap. J.-C.
- Pl. 21 : Bâtiment 04, La Tène finale D2 à Ier s. ap. J.-C.
- Pl. 22 : Bâtiment 05, La Tène finale à 1ère moitié Ier s. ap. J.-C.
- Pl. 23 : Bâtiment 08, La Tène finale à 1ère moitié Ier s. ap. J.-C.
- Pl. 24 : FS3477, FS3677 et FS3681, La Tène moyenne C2 à 1ère moitié Ier s. ap. J.-C.
- Pl. 25 : FS3313 et BAT12, La Tène finale à Haut Empire
- Pl. 26 : Réseau fossoyé antique, SFO15, 16, 17, 18, 19, 20, 21, 26
- Pl. 27 : Système fossoyé central antique, sondages C, F, G
- Pl. 28 : Système fossoyé central antique, sondages H, I, J
- Pl. 29 : Système fossoyé central antique, sondages J, D, K

- Pl. 30 : Système fossoyé central antique, sondages E, L, M
- Pl. 31 : Système fossoyé central antique, sondage A
- Pl. 32 : Système fossoyé central antique, sondages N, O
- Pl. 33 : Système fossoyé central antique, sondages P, Q, B
- Pl. 34 : Diagramme stratigraphique des réseaux fossoyés antiques
- Pl. 35 : FS3693, moderne à antérieur ; FO3691, moderne à contemporain
- Pl. 36 : Bâtiments 03 et 06, non-datés
- Pl. 37 : Bâtiments 07 et 11, non-datés
- Pl. 38 : Bâtiments sur poteaux plantés du Lot C1
- Pl. 39 : Phasages, Hallstatt final et La Tène C2 à Ier s. ap. J.-C.
- Pl. 40 : Phasages, fin Ier s. ap. J.-C. à IVe s. ap. J.-C. et moderne à contemporain
- Pl. 41 : Hypothèse de répartition en deux phases pour l'intervalle LTC2 à Ier s. ap. J.-C
- Pl. 42 : Phasage des réseaux fossoyés antiques ; intervalle LTD2 à Bas Empire
- Pl. 43 : Plan de la fouille du Lot C1 à 1/500 et emplacements des prélèvements sédimentaires
- Pl. 44 : Critères méthodologiques de l'étude de la céramique Hallstatt final
- Pl. 45 : Classification typo-morphologique de la céramique Hallstatt final
- Pl. 46 : Classification morpho-métrique de la céramique Hallstatt final
- Pl. 47 : Grands pots tronconiques hauts à impressions et cordons, dits « de stockage », Hallstatt final
- Pl. 48 : Grands pots tronconiques hauts à impressions, dits « de stockage », Hallstatt final
- Pl. 49 : Grands pots tronconiques à impressions, Hallstatt final
- Pl. 50 : Grands pots tronconiques, formes basses, Hallstatt final
- Pl. 51 : Grands pots tronconiques, formes basses, Hallstatt final
- Pl. 52 : Récipients évasés, formes basses, Hallstatt final
- Pl. 53 : Vaisselle de service/préparation et grand récipient globulaire fermé, Hallstatt final
- Pl. 54 : Récipients complexes à carène médiane ou basse, Hallstatt final
- Pl. 55 : Récipients indéterminés divers, peson et fusaïoles/perles, Hallstatt final
- Pl. 56 : Tableau de répartition en pourcentages du NMI des formes identifiées et indéterminées
- Pl. 57 : Céramiques antiques, La Tène C2 à Haut Empire (d'après Boulenger 2001)
- Pl. 58 : Exemples de pièces lithiques taillées du Lot C1

Documents adjoints :

Plan A0 de la fouille à 1/200, contextes pédo-géologique et archéologique

Présentation des données stratigraphiques du système fossoyé central antique, format A0

1 FICHE SIGNALÉTIQUE

Convention n° : 2002-368	Commune : Lieusaint
Département : Seine-et-Marne	
Lieu-dit ou adresse : ZAC de la Pyramide, lieudit "Le Bras de Fer", angle Bd de l'Europe et Bd Est	
Coord. Lambert 1	X : 615700 à 615900 Y : 104200 à 104300 alti. : 82 m à 83,5 m NGF
Propriétaire du terrain : Promogim, 22 rue de Bellevue, 92100 Boulogne	
Protection juridique : Lotissement	

Opération archéologique

Arrêté de prescription : 2002-219	
Opérateur : INRAP Centre Île-de-France	
Suivi scientifique (SRA) : Pierre Ouzoulias puis Dorothée Derieux	
Raison de l'urgence : Aménagement d'un lotissement d'habitations	
Maître d'ouvrage des travaux : Divers	
Surface concernée : 17 644 m ² Surface fouillée : 12 910 m ² , reste pour stockage des terres	
Moyens (jours ouvrés de 7 heures) :	terrassements : 2 pelles, 2 pousseurs et 1 mini-pelle, soit 55 jours au total
	terrain : 338 (10 archéologues)
	études : 220 (5 archéologues)
	topographie : 17,5 jours (3 topographes)
	études paléo-environnementales : (<u>en cours</u>) : 40

Résultats

Mots clefs (<i>Thesaurus DRACAR</i>)
1. Chronologie : Hallstatt final, La Tène moyenne/finale, gallo-romain, moderne
2. Vestiges immobiliers : fossés, bâtiments sur poteaux plantés, fosses utilitaires
3. Vestiges mobiliers : lithique, céramique, faune
4. Analyses : pédologie, paléo-environnementales <u>en cours</u>

2 GÉNÉRIQUE DE L'OPÉRATION

Intervenants scientifiques et techniques

INRAP :
terrain :
-Valérie Gonzales (coordinatrice)
-Gilles Desrayaud (R.O.)
-Céline Pelletier (R.S.)
-Julien Boislève
-Arlindo Da Veiga
-Laurent Granchat
-Julien Grisard
-Céline Huguet
-Marie Plisnier
-Diallo Tamba

« post-fouille »
-Gilles Desrayaud (R.O.)
-Céline Pelletier (R.S.)
-Céline Bémilli
-Arlindo Da Veiga
-Juliette Durand
-Nathalie Lecerf
Topographie :
-Philippe Lenhardt
-Mehdi Belarbi
-Emmanuel Laroze

Intervenants administratifs

DRAC d'Île-de-France, Service Régional de l'Archéologie :
-Bruno Foucray (Conservateur régional)
INRAP , Direction Interrégionale Centre Île-de-France :
-Yannick Fillodeau (Directeur) et Gilles Martin (directeur adjoint)
-Hervé Guy (Assistant Scientifique et Technique)
PROMOGIM :
-Thierry Olinger

3 Cadre d'intervention

(Pl. 01 & 03)

En prévision de l'aménagement d'un lotissement de quarante-cinq pavillons privés sur le Lot C1 de la ZAC de la Pyramide, au lieu-dit « Le Bras de Fer » sur la commune de Lieusaint (77), une surface d'1,8 ha a été mise à disposition par la société Promogim en vue de la réalisation d'une fouille archéologique, comme prévu par la loi du 17 janvier 2001. L'intervention sur le terrain s'est déroulée du 15 juillet au 4 octobre 2002. Elle a nécessité la présence de deux pelles mécaniques et de deux pousseurs pendant deux semaines et demi (50 jours ouvrés au total) pour procéder au décapage des terres labourées et des remblais contemporains, afin d'atteindre le niveau des sols en place. Plusieurs sondages mécaniques profonds ponctuels ont également été réalisés afin d'étudier les structures archéologiques, de collecter du matériel datant et de caractériser le faciès géo-pédologique de l'emprise. Le suivi, la fouille manuelle et l'enregistrement des structures archéologiques ont été effectués par une équipe de 10 archéologues et de 3 topographes au total, comptabilisant 355 jours ouvrés.

Les 17 644 m² de l'emprise ont été décapés à hauteur de 73 % de la surface, les 17 % restant ayant servi au stockage des stériles.

4 Contextes géographique et géo-pédologique

(Pl. 01 & 04 ; Baize et Jabiol 1995)

L'emprise du Lot C1 de la ZAC de la Pyramide est sise sur rebord est du Plateau limoneux fertile de Sénart, bordant la Vallée de la Seine qui coule à environ 5,5 km à vol d'oiseau vers le sud est. D'une altitude comprise entre 82 m et 83,5 m NGF, avec un pendage du sud vers le nord, elle est localisée sur la rive sud du Ru des Hauldres qui traverse le plateau d'est en ouest et débouche dans la Seine au niveau du village d'Étiolles sur la Rive droite.

Le substrat, observé dans la partie nord de l'emprise, se caractérise par plusieurs couches hétérogènes totalisant moins d'un mètre d'épaisseur. Il se compose d'une première couche de cailloutis puis d'un litage d'argile à meulière et de galets roulés mélangés à des sables, reposant sur les sables de Fontainebleau à l'ouest du décapage et sur le socle altéré de Calcaire de Brie à l'est (sondage C Pl. 27 et sondage A Pl. 31). Il est intéressant de noter la présence de nombreux galets roulés dans les strates supérieures du substrat, témoignant de dépôts alluviaux sans doute à mettre en relation avec le Ru des Hauldres, distant d'une centaine de mètres vers le nord. La couverture pédologique se caractérise par une roche-mère de limon éolien quaternaire jaune calcaire conservée sur un mètre d'épaisseur maximum, recouvrant les sables et argiles à meulière stampiens. La décarbonatation et la pédogénéisation de la partie supérieure du Loess ont formé un horizon de Sol brun (ou Sol atlantique), conservé sur 0,5 m d'épaisseur maximum dans la partie sud du décapage. L'ensemble de l'emprise présente un horizon supérieur labouré sur 0,3 m à 0,4 m de profondeur.

La zone fouillée se situe à la transition entre la couverture limoneuse du plateau et l'amorce méridionale du lit du Ru des Hauldres. Les horizons pédologiques du nord du décapage sont fortement marqués par des effets d'imbibitions temporaires des sédiments. On peut souligner la disparition du Sol brun ainsi que l'altération hydromorphe du Loess jaune et des encaissants sous-jacents, dégradés en glosses au niveau du battement de nappe supérieure. La dynamique hydraulique du Ru a, semble-t-il, partiellement tronqué les horizons loessiques, laissant par endroits affleurer le cailloutis et les argiles à meulière dès la base des labours. En limite nord du décapage, des lambeaux de dépôts sédimentaires limoneux gris à beiges sont visibles sous la semelle de labours, pouvant correspondre à des phases de colluvionnement en bas de pente ou d'alluvionnement du lit inondable du ru.

5 Contexte archéologique

(Pl. 02 & 03)

Le Lot C1 ne représente qu'une faible partie (1,8 ha) de la ZAC de la Pyramide qui totalise environ 136 ha, doublant la surface du village de Lieusaint par rapport aux années 1990. Sur ces 136 ha, environ 45 hectares ont fait l'objet d'une intervention archéologique préventive (diagnostic ou fouille). Les anciens bassins de la sucrerie avaient déjà détruit les sols anciens sur une surface d'environ 31 ha et 37 ha ont été urbanisés sans surveillance archéologique. Les parcelles restantes, au sud de la ZAC, représentent 23 ha qui devraient être diagnostiqués prochainement, si les constructions continuent au même rythme soutenu.

Les lots ayant fait l'objet d'une surveillance archéologique ont révélé de nombreux vestiges allant du Néolithique ancien (Ve millénaire av. J.-C.) à la période gallo-romaine. La fragmentation des opérations (12 entre 2000 et 2002) et l'absence de rapport définitif pour leur grande majorité ne permet pas encore une étude détaillée de l'environnement archéologique du Lot C1.

On peut signaler une présence néolithique marquée sur le Lot C4 à environ 200 m à l'est du Lot C1 (Éric Broine en cours). Quelques indices de l'âge du Bronze ont été mis au jour sur les lots E1 et E2 (Antide Viand en cours). Une importante occupation du Hallstatt final/début de La Tène ancienne a été mise en évidence sur l'ensemble de la ZAC. Des indices d'habitat sur poteaux plantés sont apparus sur les lots E et D (Antide Viand en cours), ils sont peut-être à mettre en relation avec le nombre important de fosses utilitaires à mobilier domestique détritique révélées par la fouille du Lot C1. De même, la période allant de la fin de La Tène moyenne au gallo-romain précoce est fortement représentée sur l'ensemble de la ZAC, par des bâtiments sur poteaux plantés, des fosses, des puits cuvelés en bois et des enclos. La fouille du Lot C3, à une centaine de mètres à l'est du Lot C1, a révélé une demi-douzaine de bâtiments sur poteaux plantés, dont certains orthogonaux, qui pourraient représenter une extension de l'habitat du Lot C1 (Lionel Boulenger en cours). Un important réseau fossoyé gallo-romain, sans doute directement lié au ru, est perceptible sur l'ensemble de la ZAC. Les systèmes fossoyés mis au jour sur le Lot C1 s'inscrivent dans un vaste ensemble de réseaux de drainage et de délimitation des terres. Ce réseau est peut-être à mettre en relation avec les établissements gallo-romains découverts à environ 600 m vers le NO (« Rond-point Schuman », Bruant et Legriel en cours) et à environ 750 m vers le SE (« Cimetière de Lieusaint » et Lot E2, Mondoloni 2002 et prospection de surface du GERAME).

Les occupations anciennes du secteur de la ZAC de la Pyramide s'inscrivent dans un dense maillage de sites archéologiques couvrant l'ensemble du Plateau limoneux fertile de Sénart (Pl. 02), proche de la confluence entre l'Essonne et la Seine, l'un des carrefours « stratégiques » du Bassin parisien. Les intervalles du Hallstatt final/début de La Tène ancienne (VIe-1ère moitié Ve s. av. J.-C.) et de La Tène finale/gallo-romain (milieu IIe s. av.-IIIe s. ap. J.-C.), mis en évidence sur le Lot C1, concernent un nombre important d'indices. Ils marquent fortement le sous-sol du Plateau de Sénart. À l'instar de la période du haut Moyen Âge, ils semblent correspondre, à des « pics » d'installations et donc probablement démographiques de l'occupation de cette « micro-région » pendant les périodes antérieures à la période moderne et le développement du tissu rural sub-contemporain.

6 Contexte taphonomique et méthodologie de fouille

(d'après Baize & Jabiol 1995)

La situation particulière de l'emprise de fouille, à la transition entre les horizons pédologiques à imbibitions répétées du lit du ru et l'amorce de la couverture loessique du plateau, s'est traduite par une forte altération hydromorphe des horizons supérieurs des sols. Les sols en place sont apparus sous une couche de remblais contemporains liée à la construction du Boulevard de l'Europe à l'extrémité ouest de l'emprise (0,5 m d'épaisseur environ) et sous l'horizon labouré sur le reste du décapage (0,4 m d'épaisseur environ). Les niveaux en place présentent un aspect lessivé blanchi à grisâtre (altération réductrice)¹ dans la moitié nord de la parcelle et blanchi à bariolé (altération rédoxique) pour le limon brun orangé décarbonaté conservé dans la moitié sud. Sous l'action séculaire d'un climat tempéré humide et de l'activité biologique, de nombreuses altérations ont fortement affecté les sols, mais aussi les sédiments archéologiques anciens en profondeur. Ces évolutions ont parfois considérablement modifié la structure et l'aspect initiaux des unités stratigraphiques, compliquant l'observation et l'interprétation des vestiges. Ainsi, par exemple, la représentation normalisée des horizons archéologiques en coupe peut très facilement ne pas correspondre à des successions de strates, mais en partie à des altérations différenciées ne correspondant pas à une phase sédimentaire. De plus, la nécessité de simplification des limites stratigraphiques, censées correspondre aux dynamiques de remplissage d'un creusement donné, peut conduire à de grossières erreurs dans le cas d'une simple identification manuelle et à l'œil nu. En l'absence d'étude micro-morphologique, il convient d'être prudent quant à l'interprétation des changements de coloration et de texture des sédiments observés. En présence de sédiments fortement altérés, comme c'est le cas sur l'emprise concernée, il est crucial d'essayer, dans la mesure du possible, de distinguer entre unités stratigraphiques et horizons pédologiques.

Le processus d'argilluviation provoque un blanchiment des sols loessiques et des remplissages des structures archéologiques, ainsi qu'une coloration du loess (B.T.) rendu plus argileux et moins perméable. La dégradation morphologique provoquée par l'acidité du limon calcaire et la fréquence des engorgements temporaires renforcent le caractère albique des sédiments archéologiques, les rendant plus poreux et plus favorables à la circulation des eaux gravitaires. Dans des conditions favorables, c'est ce phénomène d'humidité différenciée entre structures archéologiques et sols encaissants qui permet de repérer les réseaux de fossés par avions. Cette humidité plus grande et l'aspect blanchi permettent de mieux repérer les creusements après quelques heures ou jours de séchage du décapage.

La dégradation climatique, hydrique et biologique des limons argileux peut provoquer la formation d'interdigitations et de langues, affectant aussi bien les sols que les remplissages archéologiques, parfois sur plus d'un mètre de profondeur depuis le sommet de la terre végétale. Ces altérations rendent parfois délicat d'identifier les unités stratigraphiques et peuvent porter à confusion ; par exemple entre les sols altérés en place et une couche archéologique, ou même entre une glosse de grande taille et un trou de poteau.

¹ Voir Glossaire méthodologique *infra*.

Les effets de décoloration et de ségrégation du fer affectent l'ensemble de la couverture pédologique du site soumise depuis des millénaires à l'engorgement des sols, accentué par la présence de Loess et argiles peu perméables qui jouent le rôle de plancher de nappe (sols à nappes temporaires perchées). Ces phases annuelles humides ont obligé les agriculteurs, gallo-romains autant que contemporains, à développer des systèmes de drainage efficaces pour éviter, entre autres, les effets d'anoxie nuisibles aux cultures. Les structures archéologiques en creux, notamment les fossés, susceptibles d'engorgements temporaires répétés ou permanents selon les cas, présentent des remplissages liés à leur fonctionnement comme réservoirs des eaux résiduelles caractérisés par de nets signes d'hydromorphie.

Certains remplissages sont clairement réductiques (engorgements permanents ou quasi permanents), de couleur dominante grise, fortement blanchis si la conductivité hydraulique était favorable. C'est le cas notamment des grands fossés de drainage gallo-romains, qui présentent des couches de fonctionnement et d'abandon nettement marquées par une circulation et/ou stagnation presque constante des eaux, accentuées par la faible perméabilité des sols encaissants.

La plupart des creusements archéologiques présentent des remplissages ou horizons rédoxiques (engorgements temporaires) caractérisés par un fort bariolage se distinguant nettement du "bruit de fond" présent dans les sols encaissants en place. Il n'est cependant pas aisé de trancher entre engorgements temporaires anciens liés au fonctionnement de la structure archéologique et engorgements temporaires répétés depuis le comblement de celle-ci jusqu'à nos jours. La présence temporaire d'eau peut être favorisée par la bonne conductivité hydraulique des couches de comblement, plus réceptives à l'humidité que le sol (voir *supra*). L'omniprésence de taches de rouille et de manganèse affectant l'ensemble des couches de remplissage des grands fossés de drainage gallo-romains, qu'elles soient hydromorphes ou non, peut résulter à la fois de l'arrêt définitif de la présence quasi permanente des eaux (redistribution centrifuge des ségrégations), de la circulation temporaire répétée des eaux, ou encore de l'altération postérieure des sédiments, provoquée par une humidité latente, comme évoqué ci-dessus.

Ces conditions pédologiques et taphonomiques ont obligé à un surdécapage presque systématique des horizons supérieurs en place afin d'atteindre un niveau de lecture satisfaisant. Le temps imparti à l'opération ne permettait pas d'opter pour la méthode la plus satisfaisante et la moins destructrice. Elle aurait consisté à effectuer le décapage en deux phases : un premier décapage et fouille des structures repérées au niveau de la base des labours, suivis d'un second décapage et fouille afin d'atteindre les encaissants pas ou peu altérés (Loess jaune dans la partie sud et Loess et affleurements de cailloutis et meulière dans la partie nord). Une méthodologie hybride a donc été adoptée. Les fosses charbonneuses ou structures visibles dès la base des labours ont été détournées afin de former des bermes de conservation. Pour le reste, il a été procédé à un surdécapage systématique avec ramassage et localisation du mobilier. En fin d'opération, les bermes restantes ont été redécapées à la mini-pelle. Le cas des bâtiments sur poteaux plantés n° 04 et 09 traduit bien les difficultés de lecture. Si les plus gros poteaux du BAT04 étaient visibles dès la base des labours dans le Sol brun, ce n'est qu'après un redécapage au niveau du Loess jaune que sont apparus les poteaux secondaires du BAT04 et la presque totalité des poteaux du BAT09, qui n'avaient pas été vus auparavant.

Les différents décapages de diagnostic et d'évaluation puis de fouille, séparés par des reprises de la végétation sur les sols mis à nu, ont également altéré la conservation de certaines structures qui n'ont pu être étudiées pendant la fouille. Les informations recueillies pendant les phases de diagnostic et d'évaluation ont été essentielles à l'interprétation des vestiges (Viré 2000 et Boulenger 2001). Les sols sont également marqués par la présence de nombreux cônes de déracinement (chablis) qui ont pu détruire une partie non-négligeable des vestiges anciens.

Il a été procédé à la fouille manuelle systématique des creusements présentant des remplissages susceptibles de traduire une activité anthropique. Les chablis et taches de limon brun orangé ou loessiques blanchies similaires à la couverture pédologique naturelle n'ont pas été appréhendés, faute de temps. Même si dans l'ensemble ces taches sont assimilables à des phénomènes pédologiques ou biologiques, il est possible que certaines fosses anthropiques aient échappé à l'attention des fouilleurs. Les plus grandes structures, fossés et certaines fosses, ont été sondées à la mini-pelle. Les remplissages les plus riches en mobilier ont été sommairement tamisés et les tessons de céramique modelée traités avec un durcisseur avant prélèvement. Mis à part la collecte du mobilier, la fouille s'est concentrée sur l'étude stratigraphique des remplissages des structures en creux. Plusieurs prélèvements en vrac et en colonne ont été réalisés sur différentes structures de périodes distinctes, afin de procéder à des analyses paléo-environnementales (carpologie, palynologie, phytolithes, micromorphologie... Voir tableau ci-dessous et Pl. 43). Au jour du rendu de ce rapport, ces études sont en cours ; elles feront l'objet d'une annexe complémentaire éditée par la Coordination de Sénart du Centre archéologique Inrap de Pantin dans les mois à venir.

PRÉLÈVEMENTS SÉDIMENTAIRES LOT C1						
Inventaire	Fait	Localisation	Forme prl	Nb litre	Nb sacs	Type
PRL-3001-1	FO3001	caisse COL. 1/2	colonne	5	1	/pl/p/mm/
PRL-3017-1	FC3017	caisse VRAC 4/9	dispersé	5	1	/a/c/mf/c14/
PRL-3026-1	FC3017	caisse VRAC 1/9	dispersé	5	1	/a/c/mf/c14/
PRL-3194-1	FS3194	caisse VRAC 3/9	dispersé	5	1	/a/c/mf/c14/
PRL-3387-1	FC3387	caisse VRAC 2/9	dispersé	5	1	/a/c/mf/c14/
PRL-3760-1	FS3333	caisse VRAC 2/9	dispersé	5	1	/a/c/mf/c14/
PRL-3766-1	FC3305	caisse VRAC 7/9	dispersé	5	1	/a/c/mf/c14/
PRL-3773-1	FC3433	caisse VRAC 6/9	dispersé	5	1	/a/c/mf/c14/
PRL-3792-1	FS3790	caisse VRAC 8/9	dispersé	5	1	/a/c/mf/c14/
PRL-3804-1	FC3287	caisse VRAC 5/9	dispersé	5	1	/a/c/mf/c14/
PRL-3888-1	FS3888	caisse VRAC 9/9	dispersé	5	2	/a/c/mf/c14/
PRL-3925-1	FO3011	caisse VRAC 9/9	dispersé	5	2	/a/c/mf/c14/
PRL-4023-1	FC4023	caisse COL. 2/2	colonne	5	1	/pl/p/c14/mm/
PRL-4452-1	FS4341	caisse VRAC 5/9	dispersé	5	1	/a/c/mf/c14/
PRL-4454-1	FC4015	caisse VRAC 6/9	dispersé	5	1	/a/c/mf/c14/
PRL-4454-2	FC4015	caisse VRAC 8/9	dispersé	5	1	/a/c/mf/c14/

a : anthraco. ; c : carpologie ; mf : microfaune ; pl : phytolithes ; p : palynologie. ; c14 : radiocarbone ; mm : micromorphologie

Tableau 1 : Liste des prélèvements sédimentaires effectués sur le LOT C1 (voir Pl. 43)

7 PRÉSENTATION DES DONNÉES

Par soucis de clarté, la stratigraphie de certaines structures ou ensembles est présentée sous forme de tableaux dont certains prennent la forme de diagrammes stratigraphiques. Les codes de couleur, les critères de description et les abréviations utilisées sont présentés ci-dessous.


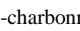

Nature :  = cendro-charbonneux ;  = hydromorphe (réductique) ;  = remblai/effondrement (rédoxique) ; C = creusement.
Mobilier détritique : cér. = céramique ; fau. = faune ; TC = frag. de soles, terre rubéfiée ind., torchis ; PC : pierres chauffées. XXX = abondant ; x : présent
Forme (plan) : circulaire ; ovale/oblongue ; sub-rectangulaire ...
Profil : tronc de cône ; piriforme ; cylindrique ; bouteille/ « <i>beehive</i> » ; tonneau/ « barrel shape », évasé... (pour les fosses protohistoriques voir Reynolds 1979 Fig. 1 et Gransar 2001 Fig. 5).
Dimensions : dia. o. ob. : diamètre ou dimension d'ouverture maximum observé à la base des labours ou horizon supérieurs des encaissants non-labourés dia. ma. ob. : diamètre ou dimension en plan maximum observé. pro. esti. : profondeur maximum estimée depuis le sommet des labours/terre végétale.

Figure 1 : Légende des tableaux stratigraphiques descriptifs

7.1 Fosses Hallstatt final (env. VIe s. av. J.-C.) :

(Pl. 05 à 18, Pl. 39 et Annexes *infra*)

La fouille du Lot C1 a permis de mettre au jour 16 fosses complexes, 1 ensemble de fosses et 17 fosses simples datables du Hallstatt final (VIe s. av. J.-C.), d'après les restes céramiques fragmentaires contenus dans leurs remplissages. Les fosses dites « complexes » se distinguent des fosses dites « simples » par l'existence de plusieurs phases de creusement et de réaménagement par remblai. Presque toutes ces fosses contiennent des couches cendro-charbonneuses à hydromorphes contenant des rejets domestiques céramiques associés à des fragments fauniques de consommation (voir Bémilli *infra*), à des vidanges de foyers (charbons de bois, pierres chauffées, fragments de soles, terre rubéfiée) et à quelques éléments lithiques taillés (voir Durand *infra*). Certaines présentent des altérations hydromorphes des parois ou des surfaces indurées de « piétinement », traduisant une fonction utilitaire avant leur curage partiel et leur remblai par des sédiments détritiques et/ou loessiques.

7.1.1 Fosses complexes

7.1.1.1 FC3017 (Pl. 05)

Phase	n° Us	description	nature	mobilier détritique				Forme Profil	dia. o. ob.	dia. ma. ob.	pro. esti.
				cér.	fau.	TC	PC				
Labours/terre végétal et surdécage											65
1	3017	limon argileux gris beige et charbons épars						circulaire ? évasé	?	120	85
	3028	limon argileux jaune beige (liseré de creusement)									
	3968	creusement	C								
2	3027	sédiment cendro-chabonneux gris noir		x		x		circulaire ? évasé/cylindre	?	100	115
	3026	sédiment cendro-chabonneux gris noir									
	3969	creusement	C								
3	3024/25	limon argileux beige à orangé						circulaire ? piriforme	?	190	120
	3020-23	limons argileux gris orangé									
	3019	limon argileux gris beige induré (piétinement ?)									
	3018	creusement	C								

Légende : voir Fig. 1 p. 14.

Tableau 2 : diagramme stratigraphique descriptif de la FC3017.

ENS	FAIT	% fouil.	Nombre de Restes céramique			NR F A U N E	NR métal		Terre rubéfiée en grammes		Pier-res chauffées	scories en gram.	NR lithique taillé	NR lithique autres	REMARQUES (métaux/rubéfiée/lithiques autres ; pour céramique, faune et lithique taillé voir études spécifiques)	TPQ	TAQ
			M O D	T O U R	Teg. imbr.		cui- reux	fer- reux	frag. soles/ indét.	tor- chis							
	FC 3017	100	14					10									HF

Tableau 3 : Mobilier et datation de la FC3017.

7.1.1.2 FC3210 (Pl. 05)

Phase	n° Us	description	nature	mobilier détritique				Forme Profil	dia. o. ob.	dia. ma. ob.	pro. esti.
				cér.	fau.	TC	PC				
Labours/terre végétale, FS3204 gallo-romaine et surdécapage										85	
1	3910	Loess jaune en mottes						ovale fond arrondi	?	120	100
	3913	sédiment cendro-chabonneux gris noir			x		x				
	3210	limon brun argileux charbonneux			XXX	x	x				
	3986	creusement	C								
2	3908	Loess jaune en mottes						ovale fond arrondi	?	230	110
	3912	limon argileux beige									
	3909	liseré de mottes de Loess et creusement	C								
3	3914/11	limon argileux beige et charbons erratiques			x			ovale fond arrondi	?	200	120
	3907	limon argileux orangé									
	3906	=3985 : liseré de mottes de Loess et creusement	C								
4	3985	limon argileux gris clair			x	x		ovale fond arrondi	?	200	130
	3211	creusement	C								

Légende : voir Fig. 1 p. 14.

Tableau 4 : diagramme stratigraphique descriptif de la FC3210.

ENS	FAIT	% fouil.	Nombre de Restes céramique			NR F A U N E	NR métal		Terre rubéfiées en grammes		Pier-res chauffées	scories en gram.	NR lithique taillé	NR lithique autres	REMARQUES (métaux/rubéfiée/lithiques autres ; pour céramique, faune et lithique taillé voir études spécifiques)	TPQ	TAQ
			M O D	T O U R	Teg. imbr.		cuiv-reux	fer-reux	frag. soles/indét.	tor-chis							
	FC 3210	100	55			13	1		10								HF

Tableau 5 : Mobilier et datation de la FC3210.

7.1.1.3 FC3237 (Pl. 06)

Phase	n° Us	description	nature	mobilier détritique				Forme Profil	dia. o. ob.	dia. ma. ob.	pro. esti.
				cér.	fau.	TC	PC				
Labours/terre végétale et surdécapage										40	
1	3237	limon argileux gris bleuté et charbons			XXX	x	x	circulaire arrondi	200	200	65
	3772	limon argileux beige et charbons erratiques			x	x	x				
	3974	creusement	C								
2	3770	limon argileux beige et charbons erratiques			x	x	x	oblongue arrondi	105	105	90
	3771	limon argileux gris et charbons									
	3238	creusement	C								

Légende : voir Fig. 1 p. 14.

Tableau 6 : diagramme stratigraphique descriptif de la FC3237.

ENS	FAIT	% fouil.	Nombre de Restes céramique			NR F A U N E	NR métal		Terre rubéfiées en grammes		Pier-res chauffées	scories en gram.	NR lithique taillé	NR lithique autres	REMARQUES (métaux/rubéfiée/lithiques autres ; pour céramique, faune et lithique taillé voir études spécifiques)	TPQ	TAQ
			M O D	T O U R	Teg. imbr.		cuiv-reux	fer-reux	frag. soles/indét.	tor-chis							
	FC 3237	100	58			9					X					HF	

Tableau 7 : Mobilier et datation de la FC3237.

7.1.1.4 FC3305 (Pl. 06)

Phase	n° Us	description	nature	mobilier détritique				Forme Profil	dia. o. ob.	dia. ma. ob.	pro. esti.
				cér.	fau.	TC	PC				
Labours/terre végétale et surdécapage										55	
1a	3970	Loess jaune remanié						ovale évasé	125	125	105
	3305	limon argileux gris bleuté et charbons		XXX	x						
	3765	frag. de soles et terre rubéfiée	TC	x	x	XXX					
	3972	creusement ?	C ?								
1b	3766	sédiment cendro-chabonneux gris noir		XXX	x	x					
	3306	creusement	C								
2	3775	limon argileux gris et charbons erratiques		x	x			ovale arrondi	145	145	110
	3029	Loess jaune remanié									
	3793	limon argileux gris bleuté et charbons									
	3973	creusement	C								
3	3784	limon argileux beige		x				ovale piriforme ?	?	160	120
	3767	limon argileux gris et charbons									
	3769	creusement	C								

Légende : voir Fig. 1 p. 14.

Tableau 8 : diagramme stratigraphique descriptif de la FC3305.

ENS	FAIT	% fouil.	Nombre de Restes céramique			NR F A U N E	NR métal		Terre rubéfiées en grammes		Pier-res chauffées	scories en gram.	NR lithique taillé	NR lithique autres	REMARQUES (métaux/rubéfiée/lithiques autres : pour céramique, faune et lithique taillé voir études spécifiques)	TPQ	TAQ
			M O D	T O U R	Teg. imbr.		cui-v-reux	fer-reux	frag. soles/indét.	tor-chis							
FC 3305	100	116				41			1270				2		Us3765 très riche en frag. de soles		HF

Tableau 9 : Mobilier et datation de la FC3305.

7.1.1.5 FC3387 (Pl. 07)

Phase	n° Us	description	nature	mobilier détritique				Forme Profil	dia. o. ob.	dia. ma. ob.	pro. esti.
				cér.	fau.	TC	PC				
Labours/terre végétale et surdécapage										45	
1	3387	limon argileux gris et charbons		XXX		x		oblongue évasé à fond plat	220	220	70
	3763	sédiment cendro-chabonneux gris noir		XXX		x	XXX				
	3764	charbons				x					
	3966	creusement	C								
2	3805	limon argileux orangé et charbons erratiques		x				oblongue évasé à fond plat	260	260	75
	3388	creusement	C								

Légende : voir Fig. 1 p. 14.

Tableau 10 : diagramme stratigraphique descriptif de la FC3387.

ENS	FAIT	% fouil.	Nombre de Restes céramique			NR F A U N E	NR métal		Terre rubéfiées en grammes		Pier-res chauffées	scories en gram.	NR lithique taillé	NR lithique autres	REMARQUES (métaux/rubéfiée/lithiques autres : pour céramique, faune et lithique taillé voir études spécifiques)	TPQ	TAQ
			M O D	T O U R	Teg. imbr.		cui-v-reux	fer-reux	frag. soles/indét.	tor-chis							
FC 3387	100	80						290		X			1				HF

Tableau 11 : Mobilier et datation de la FC3387.

7.1.1.6 FC3433 (Pl. 07)

Phase	n° Us	description	nature	mobilier détritique				Forme Profil	dia. o. ob.	dia. ma. ob.	pro. esti.
				cér.	fau.	TC	PC				
Labours/terre végétale et surdécapage											
1	3433	sédiment cendro-chabonneux gris noir		XXX	x	x		oblongue évasé	105	105	90
	3833	niveau de tessons de céramique	céram	XXX	x						
	3773	sédiment cendro-chabonneux gris noir		XXX	x	x					
	3434	creusement	C								
2	3774	limon argileux gris beige			x		x	sub-quadrangulaire évasé à fond plat	205	205	95
	3781	limon argileux jaune beige				x					
	3834	creusement	C								

Légende : voir Fig. 1 p. 14.

Tableau 12 : diagramme stratigraphique descriptif de la FC3433.

ENS	FAIT	% fouil.	Nombre de Restes céramique			NR F A U N E	NR métal		Terre rubéfiées en grammes		Pier-res chauffées	scories en gram.	NR lithique taillé	NR lithique autres	REMARQUES (métaux/rubéfiée/lithiques autres : pour céramique, faune et lithique taillé voir études spécifiques)	TPQ	TAQ
			M O D	T O U R	Teg. imbr.		cui- reux	fer- reux	frag. soles/ indét.	tor- chis							
FC 3433	100	76				16			280				3				HF

Tableau 13 : Mobilier et datation de la FC3433.

7.1.1.7 FC3615 (Pl. 08)

Phase	n° Us	description	nature	mobilier détritique				Forme Profil	dia. o. ob.	dia. ma. ob.	pro. esti.
				cér.	fau.	TC	PC				
Labours/terre végétale et surdécapage tranchée Diagnostic											85
1	3615	limon argileux brun gris et charbons		x	x	x		oblongue arrondi	?	95	105
	3976	creusement	C								
2	3977	limon argileux brun orangé						oblongue évasé/arrondi	?	140	120
	3978	Loess jaune remanié									
	3979	limon argileux gris et charbons		x	x						
	3980	limon argileux gris clair et charbons erratiques									
	3616	creusement	C								
3	3981	limon argileux brun gris et mottes de loess						oblongue arrondi	?	?	100
	3982	creusement	C								

Légende : voir Fig. 1 p. 14.

Tableau 14 : diagramme stratigraphique descriptif de la FC3615.

ENS	FAIT	% fouil.	Nombre de Restes céramique			NR F A U N E	NR métal		Terre rubéfiées en grammes		Pier-res chauffées	scories en gram.	NR lithique taillé	NR lithique autres	REMARQUES (métaux/rubéfiée/lithiques autres : pour céramique, faune et lithique taillé voir études spécifiques)	TPQ	TAQ
			M O D	T O U R	Teg. imbr.		cui- reux	fer- reux	frag. soles/ indét.	tor- chis							
FC 3615	100	10				4			20								HF

Tableau 15 : Mobilier et datation de la FC3615.

7.1.1.8 FC4005 (Pl. 08)

Phase	n° Us	description	nature	mobilier détritique				Forme Profil	dia. o. ob.	dia. ma. ob.	pro. esti.
				cér.	fau.	TC	PC				
Labours/terre végétale et surdépilage										40/50	
1	4005	limon argileux brun et charbons erratiques		x	x	x		oblongue évasé	95	95	80
	4575	limon argileux brun foncé, mottes beiges et charbons		x							
	4577	creusement	C								
2	4576	limon argileux beige à orangé		x	x	x		circulaire évasé à fond plat	135 ?	135	90
	4578	sédiment cendro-chabonneux gris noir		x	x						
	4581	creusement	C								
3	4579	mottes de limon argileux brun et de Loess jaune						circulaire piriforme/arrondi	145	150	95
	4580	limon argileux brun orangé									
	4582	sédiment cendro-chabonneux gris noir			x	x					
	4583	limon argileux gris clair et charbons erratiques									
	4006	creusement	C								

Légende : voir Fig. 1 p. 14.

Tableau 16 : diagramme stratigraphique descriptif de la FC4005.

ENS	FAIT	% fouil.	Nombre de Restes céramique			NR F A U N E	NR métal		Terre rubéfiée en grammes		Pier-res chauffées	scories en gram.	NR lithique taillé	NR lithique autres	REMARQUES (métaux/rubéfiée/lithiques autres : pour céramique, faune et lithique taillé voir études spécifiques)	TPQ	TAQ
			M O D	T O U R	Teg. imbr.		cui- reux	fer- reux	frag. soles/ indét.	tor- chis							
FC 4005	100	57				43			510				1				HF

Tableau 17 : Mobilier et datation de la FC4005.

7.1.1.9 FC4007 (Pl. 09)

Phase	n° Us	description	nature	mobilier détritique				Forme Profil	dia. o. ob.	dia. ma. ob.	pro. esti.
				cér.	fau.	TC	PC				
Labours/terre végétale et surdépilage										50	
1	4007	limon argileux gris brun et charbons erratiques		x	x	x		circulaire évasé à tronconique	90	90	80
	4601	sédiment cendro-chabonneux gris noir		x	x						
	4603	creusement	C								
2	4600	limon argileux beige et nodules calcaires				x		circulaire piriforme	130	130	85
	4602	limon argileux gris et charbons		x	x						
	4008	creusement	C								

Légende : voir Fig. 1 p. 14.

Tableau 18 : diagramme stratigraphique descriptif de la FC4007.

ENS	FAIT	% fouil.	Nombre de Restes céramique			NR F A U N E	NR métal		Terre rubéfiée en grammes		Pier-res chauffées	scories en gram.	NR lithique taillé	NR lithique autres	REMARQUES (métaux/rubéfiée/lithiques autres : pour céramique, faune et lithique taillé voir études spécifiques)	TPQ	TAQ
			M O D	T O U R	Teg. imbr.		cui- reux	fer- reux	frag. soles/ indét.	tor- chis							
FC 4007	100	16				3											HF

Tableau 19 : Mobilier et datation de la FC4007.

7.1.1.10 FC4013 (Pl. 09)

Phase	n° Us	description	nature	mobilier détritique				Forme Profil	dia. o. ob.	dia. ma. ob.	pro. esti.
				cér.	fau.	TC	PC				
Labours/terre végétale et surdépilage										40/55	
1	4013	sédiment cendro-chabonneux noir				x		circulaire évasé à fond plat à arrondi	85	85	90
	4458	terre rubéfiée			XXX						
	4528	sédiment cendro-chabonneux noir									
	4527	sédiment cendro-chabonneux noir et mottes rubéfiées		XXX	x	XXX					
	4459	sédiment cendro-chabonneux gris noir				x					
	4487	cendro-chabonneux gris noir et mottes brunes									
	4524	creusement	C								
2	4517/18 4457	limon argileux brun, charbons et pierres éparées			x	x		circulaire pirif./tronco.	110	120	90
	4525	creusement	C								
3	4460	sédiment cendro-chabonneux gris noir			XXX			circulaire piriforme/tronconique	125	125	100
	4519/20	Loess (effondrement)									
	4526	creusement	C								
4	4486/88	limon argileux brun beige				x		circulaire piriforme/tronconique	125	135	110
	4489	sédiment cendro-chabonneux gris noir			x						
	4490	limon argileux gris									
	4014	creusement	C								

Légende : voir Fig. 1 p. 14.

Tableau 20 : diagramme stratigraphique descriptif de la FC4013.

ENS	FAIT	% fouil.	Nombre de Restes céramique			NR F A U N E	NR métal		Terre rubéfiées en grammes		Pier-res chaufées	scories en gram.	NR lithique taillé	NR lithique autres	REMARQUES (métaux/rubéfiée/lithiques autres ; pour céramique, faune et lithique taillé voir études spécifiques)	TPQ	TAQ
			M O D	T O U R	Teg. imbr.		cuiv-reux	fer-reux	frag. soles/indét.	tor-chis							
FC 4013	100	168				17			180				1				HF

Tableau 21 : Mobilier et datation de la FC4013.

7.1.1.11 FC4023 (Pl. 10)

Phase	n° Us	description	nature	mobilier détritique				Forme Profil	dia. o. ob.	dia. ma. ob.	pro. esti.
				cér.	fau.	TC	PC				
Labours/terre végétale et surdépilage tranchée Diagnostic										80	
1	4023	limon argileux brun gris et charbons/cendres		x	x	x		circulaire évasé/fond plat	?	100	120
	4545	petites mottes de Loess jaune									
	4541	creusement	C								
2	4542	Loess jaune remanié		x	x			circulaire évasé à fond plat	?	170	125
	4544	cendro-chabonneux gris noir et mottes de loess		x	x	x					
	4530	sédiment cendro-chabonneux gris noir		x	x	x					
	4540	creusement	C								
3	4529	limon argileux jaune clair		x				circulaire arrondi/fond plat	?	190	130
	4624	Loess remanié									
	4546	mottes de limon argileux brun foncé									
	4543	limon argileux gris clair et charbons		x	x	x					
	4024	creusement	C								

Légende : voir Fig. 1 p. 14.

Tableau 22 : diagramme stratigraphique descriptif de la FC4023.

ENS	FAIT	% fouil.	Nombre de Restes céramique			NR F A U N E	NR métal		Terre rubéfiées en grammes		Pier-res chauffées	scories en gram.	NR lithique taillé	NR lithique autres	REMARQUES (métaux/rubéfiée/lithiques autres ; pour céramique, faune et lithique taillé voir études spécifiques)	TPQ	TAQ
			M O D	T O U R	Teg. imbr.		cuiv-reux	fer-reux	frag. soles/ indét.	tor-chis							
	FC 4023	100	73			120			240	10							HF

Tableau 23 : Mobilier et datation de la FC4023.

7.1.1.12 FC4035 (Pl. 10)

Phase	n° Us	description	nature	mobilier détritique				Forme Profil	dia. o. ob.	dia. ma. ob.	pro. esti.	
				cér.	fau.	TC	PC					
Labours/terre végétale et surdépilage tranchée Dauagnostie											85	
1	4035/4567	limon argileux gris et charbons			x	x	x	x	oblongue évasé	?	170	100
	4556	mottes de limon argileux orangé et jaune			x	x	x					
	4571	creusement	C									
2	4557	limon argileux gris brun, mottes beige et charbons			x	x			oblongue évasé	?	120	110
	4572	creusement	C									
3	4568/4633	limon argileux beige et charbons erratiques							circulaire évasé/arrondi	?	190	125
	4558	limon argileux beige et charbons			x	x	x					
	4573	creusement	C									
4	4564	limon argileux brun orangé			x	x			circulaire bords droits à évasés fond plat	?	155	130
	4561/62	limon argileux brun foncé										
	4563	Loess jaune remanié										
	4559	sédiment cendro-chabonneux gris noir			x	x	x					
	4560	limon argileux gris et charbons			x	x	XXX					
4574	creusement	C										
5	4565	Loess jaune remanié			x	x			oblongue évasé	?	140	120
	4566	limon argileux gris et mottes jaune										
	4036	creusement	C									

Légende : voir Fig. 1 p. 14.

Tableau 24 : diagramme stratigraphique descriptif de la FC4035.

ENS	FAIT	% fouil.	Nombre de Restes céramique			NR F A U N E	NR métal		Terre rubéfiées en grammes		Pier-res chauffées	scories en gram.	NR lithique taillé	NR lithique autres	REMARQUES (métaux/rubéfiée/lithiques autres ; pour céramique, faune et lithique taillé voir études spécifiques)	TPQ	TAQ
			M O D	T O U R	Teg. imbr.		cuiv-reux	fer-reux	frag. soles/ indét.	tor-chis							
	FC 4035	100	88			93			4480		X		2		Us4560 très riche en frag. de soles		HF

Tableau 25 : Mobilier et datation de la FC4035.

7.1.1.13 FC4039 (Pl. 11)

Phase	n° Us	description	nature	mobilier détritique				Forme Profil	dia. o. ob.	dia. ma. ob.	pro. esti.
				cér.	fau.	TC	PC				
Labours/terre végétale										40	
1	4039	sédiment cendro-chabonneux gris noir			x	x		circulaire évasé/fond plat	120	120	80
	4456	charbons cendre et mottes beige		XXX	x	x					
	4484	limon argileux brun beige et charbons abondants									
	4498	creusement	C								
2a	4451	sédiment cendro-chabonneux gris noir		x	x	x	circulaire évasé à fond plat	215	215	80	
	4632	creusement ?	C ?								
2b	4485	limon argileux brun clair		x							
	4496	liseré de mottes de Loess jaune									
	4040/4497	creusement	C								
3	4493	limon argileux gris clair et charbons erratiques		x	x		oblongue arrondi	?	?	80	
	4494	limon argileux brun et charbons abondants		x	x						
	4521	creusement	C								

Légende : voir Fig. 1 p. 14.

Tableau 26 : diagramme stratigraphique descriptif de la FC4039.

ENS	FAIT	% fouil.	Nombre de Restes céramique			NR F A U N E	NR métal		Terre rubéfiée en grammes		Pier-res chauffées	scories en gram.	NR lithique taillé	NR lithique autres	REMARQUES (métaux/rubéfiée/lithiques autres : pour céramique, faune et lithique taillé voir études spécifiques)	TPQ	TAQ
			M O D	T O U R	Teg. imbr.		cuiv-reux	fer-reux	frag. soles/indét.	tor-chis							
FC 4039	100	86				38			290				1				HF

Tableau 27 : Mobilier et datation de la FC4039.

7.1.1.14 FC4156 (Pl. 05)

Phase	n° Us	description	nature	mobilier détritique				Forme Profil	dia. o. ob.	dia. ma. ob.	pro. esti.
				cér.	fau.	TC	PC				
Labours/terre végétale										40	
1	4156	limon argileux brun gris et charbons/cendres		x	x	x		circulaire cylindrique évasé/fond plat	100	100	80
	4585	sédiment cendro-chabonneux gris noir									
	4586	limon argileux brun, mottes de Loess									
	4587	creusement	C								
2	4588	Limons argileux brun charbons erratiques		x	x	x		circulaire tronconique	140	155	90
	4589	Loess jaune remanié									
	4590	limon argileux gris foncé et charbons		x	x	x	x				
	4591	limon argileux jaune orangé et mottes de Loess		x	x	x					
	4592	creusement	C								
3	4593	limon argileux gris foncé et charbons		x			circulaire tronconique	140	160	100	
	4157	creusement	C								

Légende : voir Fig. 1 p. 14.

Tableau 28 : diagramme stratigraphique descriptif de la FC4156.

ENS	FAIT	% fouil.	Nombre de Restes céramique			NR F A U N E	NR métal		Terre rubéfiée en grammes		Pier-res chauffées	scories en gram.	NR lithique taillé	NR lithique autres	REMARQUES (métaux/rubéfiée/lithiques autres ; pour céramique, faune et lithique taillé voir études spécifiques)	TPQ	TAQ
			M O D	T O U R	Teg. imbr.		cuiv-reux	fer-reux	frag. soles/indét.	tor-chis							
	FC 4156	100	222			119	1		190		X		2	1	Us4591 : -1 frag. de "polissoir" en grès, 45x40, 23 mm d'épaisseur, Section "trapézoïdale" ? Poli sur une face		HF

Tableau 29 : Mobilier et datation de la FC4156.

7.1.1.15 FC4167 (Pl. 12)

Phase	n° Us	description	nature	mobilier détritique				Forme Profil	dia. o. ob.	dia. ma. ob.	pro. esti.
				cér.	fau.	TC	PC				
Labours/terre végétale, surdécapage											35/60
1	4167	limon argileux brun gris et charbons		XXX	x	x	x	circulaire évasé à fond plat à arrondi	135	135	85
	4495	pierres anguleuses silico-calcaires chauffées	PC	x	x		XXX				
	4499	sédiment cendro-chabonneux noir		x	x	x					
	4549	liseré de petites mottes ocre et grises									
	4539	creusement	C								
2	4531	limon argileux brun gris		x				circulaire évasé à fond plat	135	135	85
	4532	limon argileux gris foncé, mottes jaune beige, charbons									
	4547	creusement	C								
3	4500	limon argileux brun		x	x	x		circulaire piriforme/ évasé à fond plat	?	185	95
	4534	limon argileux beige									
	4550	limon argileux gris et charbons									
	4536	sédiment cendro-chabonneux noir		x	x						
	4535/38	liseré de mottes loessiques orangées		x	x						
4548	creusement	C									
4	4533	limon argileux brun orangé		x				circulaire piriforme/ évasé à fond plat	?	215	100
	4537	sédiment cendro-chabonneux gris noir									
	4523	limon argileux gris et charbons		x	x	x					
	4168	creusement	C								

Légende : voir Fig. 1 p. 14.

Tableau 30 : diagramme stratigraphique descriptif de la FC4167.

ENS	FAIT	% fouil.	Nombre de Restes céramique			NR F A U N E	NR métal		Terre rubéfiée en grammes		Pier-res chauffées	scories en gram.	NR lithique taillé	NR lithique autres	REMARQUES (métaux/rubéfiée/lithiques autres ; pour céramique, faune et lithique taillé voir études spécifiques)	TPQ	TAQ
			M O D	T O U R	Teg. imbr.		cuiv-reux	fer-reux	frag. soles/indét.	tor-chis							
	FC 4167	100	138			64		1	570		XX				Us4495 très riche en pierres angulaires chauffées		HF

Tableau 31 : Mobilier et datation de la FC4167.

7.1.1.16 FC4283 (Pl. 12)

Phase	n° Us	description	nature	mobilier détritique				Forme Profil	dia. o. ob.	dia. ma. ob.	pro. esti.
				cér.	fau.	TC	PC				
Labours/terre végétale, surdécapage										65	
1	4283	limon argileux gris et charbons	■	x	x	x		circulaire évasé à fond plat	?	120	95
	4605	limon argileux gris cendre et charbons, TC		x	x	x					
	4607	creusement	C								
2	4620	limon argileux gris beige et mottes orangées	■					circulaire évasé	?	205	115
	4608	sédiment cendro-chabonneux gris noir	■			x					
	4621	limon argileux gris et charbons	■								
	4609	limon argileux gris beige, cailloutis, charbons	■	x	x	x	x				
	4652	creusement	C								
3	4610	limon argileux beige orangé						circulaire piriforme /arrondi, fond bombé	?	220	135
	4611	limon argileux jaune orangé									
	4613	limon argileux gris beige et charbons	■			x					
	4614	liseré de mottes orangées et grises									
	4612	creusement	C								
4	4618	limon argileux gris						circulaire piriforme	?	230	140
	4666	Loess remanié									
	4667	limon argileux orangé		x	x						
	4619	limon argileux jaune orangé en mottes									
	4615	limon argileux gris et charbons	■	x	x	x					
	4616/17	fins litages de limon argileux gris et charbons (piét.)	■								
	4284	creusement	C								

Légende : voir Fig. 1 p. 14.

Tableau 32 : diagramme stratigraphique descriptif de la FC4283.

ENS	FAIT	% fouil.	Nombre de Restes céramique			NR F A U N E	NR métal		Terre rubéfiées en grammes		Pier-res chauffées	scories en gram.	NR lithique taillé	NR lithique autres	REMARQUES (métaux/rubéfiée/lithiques autres : pour céramique, faune et lithique taillé voir études spécifiques)	TPQ	TAQ
			M O D	T O U R	Teg. imbr.		cui- reux	fer- reux	frag. soles/ indét.	tor- chis							
FC 4283		100	86			28			120		X		4				HF

Tableau 33 : Mobilier et datation de la FC4283.

7.1.2 Ensemble de fosses n°13 (FOS13 ; pl. 13)

Phase	n° Us	description	nature	mobilier détritique				Forme Profil	dia. o. ob.	dia. ma. ob.	pro. esti.	
				cér.	fau.	TC	PC					
Labours/terre végétale, surdécapage										60		
FS3836												
A	1	3836	limon argileux gris brun foncé et charbons		x	x			circulaire évasé	?	125	80
			3837	creusement	C							
FS3790												
B	1	3790	limon argileux gris brun et charbons		XXX	x	x	x	oblongue évasé à fond plat	?	200	110
		3792	limon argileux gris et charbons			x	x	x				
		3794	limon argileux brun gris et charbons erratiques		x	x	x					
		3791	creusement	C								
FS3285												
C	1	3285	limon argileux gris et charbons		XXX		x	x	circulaire arrondi	?	280	90
		3776	fragments de soles, peson et tessons	TC	x		XXX					
		3762	limon argileux gris orangé		x	x	x					
		3778	limon argileux gris brun									
		3816	liseré de mottes orangées et grises									
		3286	creusement	C								
FC3780												
1	3850	mottes de limon argileux gris et orangé							?	?	185	95
	3847	liseré de petites mottes de Loess	C									
D	2	3848	limon argileux brun gris						circulaire piriforme	?	250	120
		3831	limon argileux brun orangé									
		3832	limon argileux gris bleuté		x							
		3849	petites mottes de limon argileux gris et brun									
		3780	creusement	C								
FS3779												
E	1	3844	limon argileux brun gris		x	x			?	?	?	105
		3777	limon argileux gris = 3854 = 3845		x							
		3779	creusement	C								
FS3846												
F	?	3845	limon argileux gris = 3777 = 3854						?	?	?	100
		3846	creusement	C								
FS3854												
?	?	3854	limon argileux gris = 3777 = 3845		x				?	?	?	100
		3855	creusement	C								
FS3843												
1	3796	mottes de limon argileux orangé et Loess jaune							oblongue piriforme	?	130	125
	3797	limon argileux gris										
	3798	limon argileux gris et mottes brunes										
	3843	creusement	C									
FS3818												
1	3817	limon argileux gris		x	x			oblongue ?	?	160	105	
	3818	creusement	C									
FC3287												
?	1	3287	limon argileux gris et charbons		x	x	x		oblongue cylindrique fond arrondi	?	110	115
		3800	limon argileux gris bleuté et charbons		x	x	x					
		3812	limon argileux gris et charbons		x	x	x	x				
		3802	creusement	C								
2	3799	limon argileux brun ocre						oblongue cylin./ évasé fond plat	?	150	125	
	3803	limon argileux gris et mottes de loess jaune										
	3804	limon argileux gris et charbons		x	x							
	3288	creusement	C									

Légende : voir Fig. 1 p. 14.

Tableau 34 : diagramme stratigraphique descriptif de la FOS13.

ENS	FAIT	% fouil.	Nombre de Restes céramique			NR F A U N E	NR métal		Terre rubéfiées en grammes		Pier-res chauffées	scories en gram.	NR lithique taillé	NR lithique autres	REMARQUES (métaux/rubéfiée/lithiques autres ; pour céramique, faune et lithique taillé voir études spécifiques)	TPQ	TAQ
			M O D	T O U R	Teg. imbr.		cuiv- reux	fer- reux	frag. soles/ indét.	tor- chis							
FOS 13	FS 3836	100	13			1							1				
	FS 3790	100	91			106					X						
	FS 3285	100	116			112			1000	260			6	2	Us3285 : 2 frag. de "lignite" ? : 1 de section ovale (20x15 mm) ; 1 plat convexe (5 mm d'épaisseur). -Us3776 riche en frag. de soles.		
	FS 3779	100	5						260								
	FS 3780	100	9														
	FS 3818	100	17			8											
	FS 3854	100	5														
	FC 3287	100	37			19			400	60			1				
TOT FOS13			293			246			1660	320			8	2			

Tableau 35 : Mobilier et datation de la FOS13.

7.1.3 Fosses simples

7.1.3.1 FS3080 (Pl. 14)

Phase	n° Us	description	nature	mobilier détritique				Forme Profil	dia. o. ob.	dia. ma. ob.	pro. esti.
				cér.	fau.	TC	PC				
Labours/terre végétale, surdépavage										50	
1	3761	limon argileux brun et charbons		XXX	x	x		circulaire évasé	155	155	85
	3080	limon argileux gris bariolé		x	x						
	3081	creusement	C								

Légende : voir Fig. 1 p. 14.

Tableau 36 : diagramme stratigraphique descriptif de la FS3080.

ENS	FAIT	% fouil.	Nombre de Restes céramique			NR F A U N E	NR métal		Terre rubéfiées en grammes		Pier-res chauffées	scories en gram.	NR lithique taillé	NR lithique autres	REMARQUES (métaux/rubéfiée/lithiques autres ; pour céramique, faune et lithique taillé voir études spécifiques)	TPQ	TAQ
			M O D	T O U R	Teg. imbr.		cuiv- reux	fer- reux	frag. soles/ indét.	tor- chis							
	FS 3080	100	24			1			10								HF

Tableau 37 : Mobilier et datation de la FS3080.

7.1.3.2 FS3082 (Pl. 14)

Phase	n° Us	description	nature	mobilier détritique				Forme Profil	dia. o. ob.	dia. ma. ob.	pro. esti.
				cér.	fau.	TC	PC				
Labours/terre végétale, surdécapage										65	
1	3751	limon argileux gris orangé		x	x			oblongue évasé à fond plat	?	110	80
	3082	limon argileux gris		x	x	x					
	3083	creusement	C								

Légende : voir Fig. 1 p. 14.

Tableau 38 : diagramme stratigraphique descriptif de la FS3082.

ENS	FAIT	% fouil.	Nombre de Restes céramique			NR F A U N E	NR métal		Terre rubéfiées en grammes		Pier-res chauffées	scories en gram.	NR lithique taillé	NR lithique autres	REMARQUES (métaux/rubéfiée/lithiques autres ; pour céramique, faune et lithique taillé voir études spécifiques)	TPQ	TAQ
			M O D	T O U R	Teg. imbr.		cuiv-reux	fer-reux	frag. soles/indét.	tor-chis							
FS 3082	100	21						10									HF

Tableau 39 : Mobilier et datation de la FS3082.

7.1.3.3 FS3194 (Pl. 14)

Phase	n° Us	description	nature	mobilier détritique				Forme Profil	dia. o. ob.	dia. ma. ob.	pro. esti.
				cér.	fau.	TC	PC				
Labours/terre végétale, FO3013 et surdécapage										70	
1	3194	limon argileux gris et charbons		XXX	XXX	x		circulaire arrondi	?	120	105
	3195	creusement	C								
	3759	altération hydro. du Loess encaissant blanchi/bariolé									

Légende : voir Fig. 1 p. 14.

Tableau 40 : diagramme stratigraphique descriptif de la FS3194.

ENS	FAIT	% fouil.	Nombre de Restes céramique			NR F A U N E	NR métal		Terre rubéfiées en grammes		Pier-res chauffées	scories en gram.	NR lithique taillé	NR lithique autres	REMARQUES (métaux/rubéfiée/lithiques autres ; pour céramique, faune et lithique taillé voir études spécifiques)	TPQ	TAQ
			M O D	T O U R	Teg. imbr.		cuiv-reux	fer-reux	frag. soles/indét.	tor-chis							
FS 3194	100	35				77		70					1				HF

Tableau 41 : Mobilier et datation de la FS3194.

7.1.3.4 FS3281 (Pl. 14)

Phase	n° Us	description	nature	mobilier détritique				Forme Profil	dia. o. ob.	dia. ma. ob.	pro. esti.
				cér.	fau.	TC	PC				
Labours/terre végétale, surdécapage										45	
1	3281	limon argileux brun gris et charbons		XXX	x	X		circulaire évasé	170	170	80
	3975	limon argileux gris brun									
	3282	creusement	C								

Légende : voir Fig. 1 p. 14.

Tableau 42 : diagramme stratigraphique descriptif de la FS3281.

ENS	FAIT	% fouil.	Nombre de Restes céramique			NR F A U N E	NR métal		Terre rubéfiées en grammes		Pier-res chauffées	scories en gram.	NR lithique taillé	NR lithique autres	REMARQUES (métaux/rubéfiée/lithiques autres ; pour céramique, faune et lithique taillé voir études spécifiques)	TPQ	TAQ
			M O D	T O U R	Teg. imbr.		cuiv-reux	fer-reux	frag. soles/indét.	tor-chis							
	FS 3281	100	78			3			340								HF

Tableau 43 : Mobilier et datation de la FS3281.

7.1.3.5 FS3333 (Pl. 15)

Phase	n° Us	description	nature	mobilier détritique				Forme Profil	dia. o. ob.	dia. ma. ob.	pro. esti.	
				cér.	fau.	TC	PC					
Labours/terre végétale, surdépilage et FO3013										70		
1	3333	limon argileux brun et charbons				x	x		circulaire arrondi	?	165	105
	3760	sédiment cendro-chabonneux gris noir			XXX	x	x					
	3334	creusement	C									
		altération hydro. du Loess encaissant blanchi/bariolé										

Légende : voir Fig. 1 p. 14.

Tableau 44 : diagramme stratigraphique descriptif de la FS3333.

ENS	FAIT	% fouil.	Nombre de Restes céramique			NR F A U N E	NR métal		Terre rubéfiées en grammes		Pier-res chauffées	scories en gram.	NR lithique taillé	NR lithique autres	REMARQUES (métaux/rubéfiée/lithiques autres ; pour céramique, faune et lithique taillé voir études spécifiques)	TPQ	TAQ
			M O D	T O U R	Teg. imbr.		cuiv-reux	fer-reux	frag. soles/indét.	tor-chis							
	FS 3333	100	48			10	1						1		Us3760 : 1 frag. d'ardillon (de fibule ?) en alliage cuivreux, tige avec incisions		HF

Tableau 45 : Mobilier et datation de la FS3333.

7.1.3.6 FS3439 (Pl. 15)

Phase	n° Us	description	nature	mobilier détritique				Forme Profil	dia. o. ob.	dia. ma. ob.	pro. esti.	
				cér.	fau.	TC	PC					
Labours/terre végétale, surdépilage										60		
1	3439	limon argileux gris et charbons				XXX	x	x	circulaire évasé	?	190	105
	3782	limon argileux beige										
	3440	creusement	C									

Légende : voir Fig. 1 p. 14.

Tableau 46 : diagramme stratigraphique descriptif de la FS3439.

ENS	FAIT	% fouil.	Nombre de Restes céramique			NR F A U N E	NR métal		Terre rubéfiées en grammes		Pier-res chauffées	scories en gram.	NR lithique taillé	NR lithique autres	REMARQUES (métaux/rubéfiée/lithiques autres ; pour céramique, faune et lithique taillé voir études spécifiques)	TPQ	TAQ
			M O D	T O U R	Teg. imbr.		cuiv-reux	fer-reux	frag. soles/indét.	tor-chis							
	FS 3439	100	56			37			420		X		2				HF

Tableau 47 : Mobilier et datation de la FS3439.

7.1.3.7 FS3595 (Pl. 15)

Phase	n° Us	description	nature	mobilier détritique				Forme Profil	dia. o. ob.	dia. ma. ob.	pro. esti.
				cér.	fau.	TC	PC				
Labours/terre végétale, surdécapage										50	
1	3595	sédiment cendro-chabonneux gris noir		XXX	XXX			circulaire cylindrique à fond plat/arrondi	120	120	100
	3941	limon argileux brun et charbons		x	x	XXX					
	3955	limon argileux brun et gros morceaux de charbons									
	3956	limon argileux brun gris bariolé									
	3596	creusement	C								

Légende : voir Fig. 1 p. 14.

Tableau 48 : diagramme stratigraphique descriptif de la FS3595.

ENS	FAIT	% fouil.	Nombre de Restes céramique			NR F A U N E	NR métal		Terre rubéfiées en grammes		Pier-res chauffés	scories en gram.	NR lithique taillé	NR lithique autres	REMARQUES (métaux/rubéfiée/lithiques autres ; pour céramique, faune et lithique taillé voir études spécifiques)	TPQ	TAQ
			M O D	T O U R	Teg. imbr.		cuiv-reux	fer-reux	frag-soles/indét.	tor-chis							
	FS 3595	100	99			91			1360	10			2	2	Us3941 : -1 frag. de "polissoir" en grès, 75x60, 35 mm d'épaisseur, section quadrangulaire, poli sur une face -1 frag. de "lignite" ? Plat, 12 mm d'épaisseur		HF

Tableau 49 : Mobilier et datation de la FS3595.

7.1.3.8 FS3567 (Pl. 15)

Phase	n° Us	description	nature	mobilier détritique				Forme Profil	dia. o. ob.	dia. ma. ob.	pro. esti.
				cér.	fau.	TC	PC				
Labours/terre végétale, surdécapage										45/50	
1	3567	limon argileux brun gris et charbons		x	x	x		oblongue évasé/ cylindrique à fond plat	125	125	100
	3424	limon argileux brun gris foncé et charbons		x		x					
	3752	limon argileux brun clair									
	3414	limon argileux brun gris et charbons		x		x					
	3420	limon argileux gris et charbons		x		x					
	3568	creusement	C								
			altération hydromorphe du loess, blanchi								

Légende : voir Fig. 1 p. 14.

Tableau 50 : diagramme stratigraphique descriptif de la FS3567.

ENS	FAIT	% fouil.	Nombre de Restes céramique			NR F A U N E	NR métal		Terre rubéfiées en grammes		Pier-res chauffées	scories en gram.	NR lithique taillé	NR lithique autres	REMARQUES (métaux/rubéfiée/lithiques autres ; pour céramique, faune et lithique taillé voir études spécifiques)	TPQ	TAQ
			M O D	T O U R	Teg. imbr.		cuiv-reux	fer-reux	frag. soles/indét.	tor-chis							
	FS 3567	100	39			1			20					3	Us3414 : 1 frag. angulaire de calcaire meulièrement chauffé, poli sur une face, 125x85 mm, épaisseur 70 mm. Similaire à Us3420. Us3420 : -1 frag. de "polissoir" en grès, 20x25, 18 mm d'épaisseur, section quadrangulaire, poli sur les deux faces -1 frag. angulaire de calcaire meulièrement chauffé, poli sur une face, 110x90 mm, épaisseur 70 mm. Similaire à Us3414		HF

Tableau 51 : Mobilier et datation de la FS3567.

7.1.3.9 FS3643 (Pl. 17)

Phase	n° Us	description	nature	mobilier détritique				Forme Profil	dia. o. ob.	dia. ma. ob.	pro. esti.
				cér.	fau.	TC	PC				
Labours/terre végétale, surdécapage											45
1	3643	limon argileux brun foncé et charbons		XXX		x		circulaire			
	3644	creusement	C					arrondi	90	90	65

Légende : voir Fig. 1 p. 14.

Tableau 52 : diagramme stratigraphique descriptif de la FS3643.

ENS	FAIT	% fouil.	Nombre de Restes céramique			NR F A U N E	NR métal		Terre rubéfiées en grammes		Pier-res chauffées	scories en gram.	NR lithique taillé	NR lithique autres	REMARQUES (métaux/rubéfiée/lithiques autres ; pour céramique, faune et lithique taillé voir études spécifiques)	TPQ	TAQ
			M O D	T O U R	Teg. imbr.		cuiv-reux	fer-reux	frag. soles/indét.	tor-chis							
	FS 3643	100	48										2				HF

Tableau 53 : Mobilier et datation de la FS3643.

7.1.3.10 FS3713 (Pl. 16)

Phase	n° Us	description	nature	mobilier détritique				Forme Profil	dia. o. ob.	dia. ma. ob.	pro. esti.
				cér.	fau.	TC	PC				
Labours/terre végétale, surdécapage											85
1	3713	limon argileux gris brun		x	x			sub-quadrangulaire évasé à sub-rectangulaire	?	300	180
	3958	limon argileux gris bariolé		x	x						
	3957	limon argileux gris bleuté et charbons									
	3750	limon argileux beige et charbons épars									
	3714	creusement	C								

Légende : voir Fig. 1 p. 14.

Tableau 54 : diagramme stratigraphique descriptif de la FS3713.

ENS	FAIT	% fouil.	Nombre de Restes céramique			NR F A U N E	NR métal		Terre rubéfiées en grammes		Pier-res chauffées	scories en gram.	NR lithique taillé	NR lithique autres	REMARQUES (métaux/rubéfiée/lithiques autres ; pour céramique, faune et lithique taillé voir études spécifiques)	TPQ	TAQ
			M O D	T O U R	Teg. imbr.		cuiv-reux	fer-reux	frag. soles/indét.	tor-chis							
	FS 3713	100	27			3							1				HF

Tableau 55 : Mobilier et datation de la FS3713.

7.1.3.11 FS4015 (Pl. 17)

Phase	n° Us	description	nature	mobilier détritique				Forme Profil	dia. o. ob.	dia. ma. ob.	pro. esti.
				cér.	fau.	TC	PC				
Labours/terre végétale, surdépilage										60	
1	4015	sédiment cendro-chabonneux gris noir			x	x	x	circulaire arrondi	?	110	90
	4453	limon argileux brun gris et charbons									
	4455	niveau de tessons	céram	XXX	x						
	4454	sédiment cendro-chabonneux noir		x	x						
	4016	creusement	C								
		altération hydromorphe du loess, blanchi									

Légende : voir Fig. 1 p. 14.

Tableau 56 : diagramme stratigraphique descriptif de la FS4015.

ENS	FAIT	% fouil.	Nombre de Restes céramique			NR F A U N E	NR métal		Terre rubéfiées en grammes		Pier-res chauffées	scories en gram.	NR lithique taillé	NR lithique autres	REMARQUES (métaux/rubéfiée/lithiques autres ; pour céramique, faune et lithique taillé voir études spécifiques)	TPQ	TAQ
			M O D	T O U R	Teg. imbr.		cuiv-reux	fer-reux	frag. soles/indét.	tor-chis							
	FS 4015	100	38			48			40								HF

Tableau 57 : Mobilier et datation de la FS4015.

7.1.3.12 FS4154 (Pl. 17)

Phase	n° Us	description	nature	mobilier détritique				Forme Profil	dia. o. ob.	dia. ma. ob.	pro. esti.
				cér.	fau.	TC	PC				
Labours/terre végétale, surdépilage										65	
1	4154	sédiment cendro-chabonneux gris noir		XXX	XXX	XXX		circulaire évasé fond plat	?	170	90
	4155	creusement	C								

Légende : voir Fig. 1 p. 14.

Tableau 58 : diagramme stratigraphique descriptif de la FS4154.

ENS	FAIT	% fouil.	Nombre de Restes céramique			NR F A U N E	NR métal		Terre rubéfiées en grammes		Pier-res chauffées	scories en gram.	NR lithique taillé	NR lithique autres	REMARQUES (métaux/rubéfiée/lithiques autres ; pour céramique, faune et lithique taillé voir études spécifiques)	TPQ	TAQ
			M O D	T O U R	Teg. imbr.		cuiv-reux	fer-reux	frag. soles/indét.	tor-chis							
	FS 4154	100	85			66			7360	30					Us4154 très riche en frag. de soles		HF

Tableau 59 : Mobilier et datation de la FS4154.

7.1.3.13 FS4207 (Pl. 17)

Phase	n° Us	description	nature	mobilier détritique				Forme Profil	dia. o. ob.	dia. ma. ob.	pro. esti.
				cér.	fau.	TC	PC				
Labours/terre végétale, surdécapage										65	
1	4207	limon argileux brun foncé charbonneux		x			x	circulaire évasé fond plat	?	105	85
	4553	limon argileux jaune beige									
	4554	limon argileux brun clair et charbons									
	4208	creusement	C								

Légende : voir Fig. 1 p. 14.

Tableau 60 : diagramme stratigraphique descriptif de la FS4207.

ENS	FAIT	% fouil.	Nombre de Restes céramique			NR F A U N E	NR métal		Terre rubéfiées en grammes		Pier-res chauffées	scories en gram.	NR lithique taillé	NR lithique autres	REMARQUES (métaux/rubéfiée/lithiques autres ; pour céramique, faune et lithique taillé voir études spécifiques)	TPQ	TAQ
			M O D	T O U R	Teg. imbr.		cuiv-reux	fer-reux	frag. soles/indét.	tor-chis							
	FS 4207	100	12								X						HF

Tableau 61 : Mobilier et datation de la FS4207.

7.1.3.14 FS4235 (ST506 in Viré 2000 et Boulenger 2001)

Phase	n° Us	description	nature	mobilier détritique				Forme Profil	dia. o. ob.	dia. ma. ob.	pro. esti.
				cér.	fau.	TC	PC				
Labours/terre végétale, surdécapage										60	
1	4235	limon argileux brun et charbons		XXX				circulaire ?	?	165	80 ?
	4236	creusement	C								

Légende : voir Fig. 1 p. 14.

Tableau 62 : diagramme stratigraphique descriptif de la FS4235.

ENS	FAIT	% fouil.	Nombre de Restes céramique			NR F A U N E	NR métal		Terre rubéfiées en grammes		Pier-res chauffées	scories en gram.	NR lithique taillé	NR lithique autres	REMARQUES (métaux/rubéfiée/lithiques autres ; pour céramique, faune et lithique taillé voir études spécifiques)	TPQ	TAQ
			M O D	T O U R	Teg. imbr.		cuiv-reux	fer-reux	frag. soles/indét.	tor-chis							
	FS 4235	déca .	22														HF

Tableau 63 : Mobilier et datation de la FS4235.

7.1.3.15 FS4341 (Pl. 17)

Phase	n° Us	description	nature	mobilier détritique				Forme Profil	dia. o. ob.	dia. ma. ob.	pro. esti.
				cér.	fau.	TC	PC				
Labours/terre végétale, surdécapage										60	
1	4341	limon argileux beige						circulaire cylindrique fond plat	?	115	125
	4452	sédiment cendro-chabonneux gris noir		x		x	x				
	4342	creusement	C								

Légende : voir Fig. 1 p. 14.

Tableau 64 : diagramme stratigraphique descriptif de la FS4341.

ENS	FAIT	% fouil.	Nombre de Restes céramique			NR F A U N E	NR métal		Terre rubéfiées en grammes		Pier-res chauffées	scories en gram.	NR lithique taillé	NR lithique autres	REMARQUES (métaux/rubéfiée/lithiques autres ; pour céramique, faune et lithique taillé voir études spécifiques)	TPQ	TAQ
			M O D	T O U R	Teg. imbr.		cuiv-reux	fer-reux	frag. soles/ indét.	tor-chis							
	FS 4341	100	13						70		X						HF

Tableau 65 : Mobilier et datation de la FS4341.

7.1.3.16 ST2029 (Diagnostic, d'après Boulenger 2001)

Phase	n° Us	description	nature	mobilier détritique				Forme Profil	dia. o. ob.	dia. ma. ob.	pro. esti.
				cér.	fau.	TC	PC				
Labours/terre végétale, surdépilage											
1	2029	limon argileux gris et charbons creusement	C	x				circulaire ?	?	150 ?	120 ?

Légende : voir Fig. 1 p. 14.

Tableau 66 : diagramme stratigraphique descriptif de la ST2029.

ENS	FAIT	% fouil.	Nombre de Restes céramique			NR F A U N E	NR métal		Terre rubéfiées en grammes		Pier-res chauffées	scories en gram.	NR lithique taillé	NR lithique autres	REMARQUES (métaux/rubéfiée/lithiques autres ; pour céramique, faune et lithique taillé voir études spécifiques)	TPQ	TAQ
			M O D	T O U R	Teg. imbr.		cuiv-reux	fer-reux	frag. soles/ indét.	tor-chis							
	ST 2029	diag.	5														HF

Tableau 67 : Mobilier et datation de la ST2029.

7.1.3.17 ST2080 (Diagnostic, d'après Boulenger 2001 ; fouille n° FS3114)

Phase	n° Us	description	nature	mobilier détritique				Forme Profil	dia. o. ob.	dia. ma. ob.	pro. esti.
				cér.	fau.	TC	PC				
Labours/terre végétale, surdépilage											
1	2080	limon argileux gris brun et charbons creusement	C	x				circulaire ?	?	130	90

Légende : voir Fig. 1 p. 14.

Tableau 68 : diagramme stratigraphique descriptif de la ST2080.

ENS	FAIT	% fouil.	Nombre de Restes céramique			NR F A U N E	NR métal		Terre rubéfiées en grammes		Pier-res chauffées	scories en gram.	NR lithique taillé	NR lithique autres	REMARQUES (métaux/rubéfiée/lithiques autres ; pour céramique, faune et lithique taillé voir études spécifiques)	TPQ	TAQ
			M O D	T O U R	Teg. imbr.		cuiv-reux	fer-reux	frag. soles/ indét.	tor-chis							
	ST 2080	diag.	6														HF

Tableau 69 : Mobilier et datation de la ST2080.

7.2 Ier s. ap. J.-C. ou antérieur

7.2.1 BAT09 (Pl. 19)

Le bâtiment 09 se compose de 9 trous de poteau (négatifs simples, diamètres d'environ 30/40 cm). Il se présente sous la forme de deux séries de trois trous de poteaux à espacements réguliers, plus 3 poteaux doublant les poteaux du pan SE (ancrages doubles ? réfection ?). Il présente un espace interne carré de 3,85 m de côté et un contour rectangulaire de 3,85 m par 4,2 m (dimensions moyennes orthométriques arrondies calculées par rapport aux centres d'ancrage supposés des poteaux), soit une surface interne d'environ 15 m². Il s'aligne sur un axe SSO/NNE orienté à environ 10° E du Nord cartographique Lambert 1 (à 1/2 degré près). L'orientation des "pans ouverts" se fait selon un axe orthogonal SSO/NNE. Il est recoupé par la sablière basse TR3475 du BAT04, abandonné au plus tard pendant la deuxième moitié du Ier s. ap. J.-C.

Fait	n° Us	description	nature	mobilier détritique				Forme Profil	dia. ma. ob.	pro. esti.	mor pho .
				cér.	fau.	TC	PC				
Labours/terre végétale, surdépavage										50/80	
PO3483	3483	limon argileux gris brun			x			circulaire ?	50	?	pan ONO
	3484	creusement	C								
PO3222	3222	limon argileux gris et charbons épars						circulaire ?	50	85	pan ONO
	3223	creusement	C								
PO3894	3894	limon argileux gris et charbons épars						circulaire ?	50	?	pan ONO
	3895	creusement	C								
PO3824	3824	limon argileux gris et charbons épars						circulaire cylindrique	30	80	pan ESE
	3825	creusement	C								
PO3826	3826	limon argileux gris brun						circulaire cylindrique	40	80	
	3827	creusement	C								
PO3479	3479	limon argileux brun						circulaire évasé	40	80	
	3480	creusement	C								
PO3822	3822	limon argileux gris brun						circulaire cylindrique	45	85	
	3823	creusement	C								
PO3829	3829	limon argileux gris clair				x		circulaire cylindrique	50	80	
	3830	creusement	C								
PO3893	3893	limon argileux gris et charbons épars						circulaire ?	30	85	
	3894	creusement	C								

Légende : voir Fig. 1 p. 14.

Tableau 70 : Présentation stratigraphique descriptive du BAT09.

ENS	FAIT	% fouil.	Nombre de Restes céramique			NR F A U N E	NR métal		Terre rubéfiées en grammes		Pier-res cha uf-fées	scories en gram.	NR lithi-que taillé	NR lithi-que autres	REMARQUES (métaux/rubéfiée/lithiques autres : pour céramique, faune et lithique taillé voir études spécifiques)	TPQ	TAQ
			M O D	T O U R	Teg. imbr.		cuv-reux	fer-reux	frag. soles/ indét.	tor-chis							
BAT 09	PO 3483	100	4												Recoupé par BAT04	N/ pro	Ier ap

Tableau 71 : Mobilier et datation du BAT09.

7.2.2 BAT10 (Pl. 19)

Le bâtiment 10 se compose de 4 poteaux présentant des calages de limon loessique (diamètres d'environ 60 cm à 80 cm). Deux négatifs ont pu être observés (diamètres d'environ 30/35 cm). Il est rectangulaire, mesurant approximativement 6,65 m par 5,35 m (dimensions moyennes orthométriques arrondies calculées par rapport aux centres d'ancrage supposés des poteaux), soit une surface d'environ 35 m². Il s'aligne sur un axe longitudinal ONO/ESE incliné

à environ 37° O du Nord cartographique Lambert 1 (à 1/2 degré près). Il présente la même inclinaison que le BAT01 et est approximativement orthogonal avec le SFO27 avec 1,25° à 2,75° d'écart.
Il est recoupé par le BAT02 à pans coupés, datable au plus tard de la deuxième moitié du Ier s. ap. J.-C.

Fait	n° Us	description	nature	mobilier détritique				Forme Profil	dia. ma. ob.	pro. esti.	mor pho .
				cér.	fau.	TC	PC				
Labours/terre végétale, surdécapage											
PO3182	3182	limon argileux gris et mottes de Loess jaune						circulaire évasé	70	85	
	3183	creusement	C								
PO3377	3377	limon argileux gris						circulaire cylindrique/arrondi	70	80	
	3378	creusement	C								
PO3363	3363	limon argileux gris : négatif						circulaire cylindrique	30 ?	80	
	3821	limon argileux brun : calage loessique									
	3364	creusement	C								
PO3839	3839	limon argileux gris : négatif						oblong cylindrique/arrondi	40	75	
	3841	limon argileux gris et mottes de Loess jaune : calage									
	3840	creusement	C								

Légende : voir Fig. 1 p. 14.

Tableau 72 : Présentation stratigraphique descriptive du BAT10.

ENS	FAIT	% fouil.	Nombre de Restes céramique			NR F A U N E	NR métal		Terre rubéfiées en grammes		Pier-res cha uf-fées	scories en gram.	NR lithi-que taillé	NR lithi-que autres	REMARQUES (métaux/rubéfiée/lithiques autres ; pour céramique, faune et lithique taillé voir études spécifiques)	TPQ	TAQ
			M O D	T O U R	Teg. imbr.		cui-v-reux	fer-reux	frag. soles/ indét.	tor-chis							
BAT 10	PO 3839	100													Recoupé par BAT02		Ier ap

Tableau 73 : Mobilier et datation du BAT10.

7.3 La Tène C2/ Ier siècle ap. J.-C. :

7.3.1 Bâtiments sur poteaux plantés

7.3.1.1 Bâtiment 01 (Pl. 20)

Dans la Zone 3, le bâtiment 01 se compose de 6 poteaux formant deux alignements parallèles de trois poteaux à espacements réguliers. Les poteaux présentent des calages de limon loessique (diamètres d'environ 55 cm à 70 cm) et au moins un négatif a été vu pour le PO3295 (diamètre d'environ 40 cm). Le BAT01 mesure approximativement 5,55 m par 3,95 m, soit environ 22 m² (dimensions moyennes orthométriques arrondies calculées par rapport aux centres d'ancrage supposés des poteaux). Il est rectangulaire et s'oriente selon un axe longitudinal SSO/NNE, incliné à environ 8° E du Nord cartographique Lambert 1 (à 1/2 degré près). L'orientation des "pans ouverts" se fait sur un axe orthogonal ONO/ESE. Le BAT01 présente la même inclinaison que le BAT10. Il est approximativement orthogonal avec le SFO27 avec 1,25° à 2,75° d'écart.

Plusieurs trous de poteau ont livré des tessons de céramiques datables au plus tôt de La Tène moyenne C2 et au plus tard du premier quart du Ier s. ap. J.-C.

Fait	n° Us	description	nature	mobilier détritique				Forme Profil	dia. ma. ob.	pro. esti.	mor pho .	
				cér.	fau.	TC	PC					
Labours/terre végétale, surdécapage									45/65			
PO3295	3295	limon argileux gris : négatif								40	75	pan SSO
	3795	limon argileux gris brun : calage								80	75	
	3296	creusement	C									
PO3297	3297	limon argileux gris brun								65	75	
	3298	creusement	C									
PO3299	3299	limon argileux gris brun								70	65	
	3300	creusement	C									
PO3311	3311	limon argileux gris brun								70	70	pan NNE
	3312	creusement	C									
PO3309	3309	limon argileux gris brun								55	70	
	3310	creusement	C									
PO3307	3307	limon argileux gris								70	70	
	3308	creusement	C									

Légende : voir Fig. 1 p. 14.

Tableau 74 : Présentation stratigraphique descriptive du BAT01.

ENS	FAIT	% fouil.	Nombre de Restes céramique			NR F A U N E	NR métal		Terre rubéfiée en grammes		Pier-res chaufées	scories en gram.	NR lithique taillé	NR lithique autres	REMARQUES (métaux/rubéfiée/lithiques autres : pour céramique, faune et lithique taillé voir études spécifiques)	TPQ	TAQ
			M O D	T O U R	Teg. imbr.		cui-v-reux	fer-reux	frag. soles/indét.	tor-chis							
BAT01	PO3295	100				1										LTD2	Grp
	PO3297	100	3														
	PO3299	100	3														
	PO3307	100	1														
	PO3309	100	6														
	TOT BAT01		13				1										

Tableau 75 : Mobilier et datation du BAT01.

7.3.1.2 Bâtiment 02 (Pl. 20)

Dans la Zone 3, le bâtiment 02 se compose de 8 poteaux. Il est formé par deux alignements parallèles de trois poteaux à espacements réguliers présentant des négatifs (diamètres d'environ 40 cm à 55 cm) avec des calages de limon loessique (diamètres d'environ 75 cm à 110 cm). Le corps de bâtiment mesure approximativement 6,75 m par 5,85 m, soit 40 m² de surface minimum (dimensions moyennes orthométriques arrondies calculées par rapport aux centres d'ancrage supposés des poteaux). Les PO3379 et PO3801, sans négatif apparent, distants d'environ 9,9 m, sont équidistants du centre du bâtiment et marquent des extensions symétriques d'environ 1,8 m sur les pans O et E. Les possibles pendants de ces deux poteaux, fermant les pignons des pans coupés, peuvent avoir été détruits par le creusement du fossé moderne FO3233 et peut-être également par le chablis 3421.

Ce bâtiment rectangulaire à pans coupés suit un axe longitudinal E/O, incliné à environ 87° O du Nord cartographique Lambert 1 (à 1/2 degré près). L'orientation des "pans ouverts" supposés (pignons) se fait sur un axe orthogonal N/S. Le BAT02 possède la même inclinaison que le BAT03. Le poteau 3381 recoupe le poteau 3839 du BAT10.

La morphologie rectangulaire à pans coupés du bâtiment 02 le situe entre la fin de La Tène moyenne et le Ier s. ap. J.-C. (voir Pion 1996).

Fait	n° Us	description	nature	mobilier détritique				Forme Profil	dia. ma. ob.	pro. esti.	mor pho .
				cér.	fau.	TC	PC				
Labours/terre végétale, surdécapage									50/70		
PO3425	3425	limon argileux brun ocre : négatif							45	85	pan N
	3811	mottes de Loess jaune : calage loessique						oblong cylindrique	105	85	
	3426	creusement	C								
PO3431	3431	limon argileux gris : négatif		x					60	80	
	3810	mottes de Loess jaune : calage loessique						oblong cylindrique	100	85	
	3432	creusement	C								
PO3435	3435	limon argileux gris brun : négatif		x					60	80	
	3835	mottes de Loess jaune : calage loessique		x				oblong cylindrique	115	80	
	3436	creusement	C								
PO3379	3379	limon argileux gris						oblong cylindrique	80	65	pan E
	3380	creusement	C								
PO3373	3373	limon argileux gris : négatif							60	80	pan S
	3806	mottes de Loess jaune : calage loessique						oblong cylindrique	90	85	
	3374	creusement	C								
PO3381	3381	limon argileux gris : négatif		x					40	85	
	3807	mottes de Loess jaune : calage loessique		x				oblong cylindrique	115	90	
	3382	creusement	C								
PO3355	3355	limon argileux gris : négatif ? démontage ?					x		80 ?	80	
	3808	mottes de Loess jaune : calage loessique						oblong cylindrique	100	85	
	3356	creusement	C								
PO3801	3801	mottes de Loess jaune : calage loessique ?		x				? recoupé par FO	?	70	pan O
	3802	creusement	C								

Légende : voir Fig. 1 p. 14.

Tableau 76 : Présentation stratigraphique descriptive du BAT02.

ENS	FAIT	% fouil.	Nombre de Restes céramique			NR F A U N E	NR métal		Terre rubéfiées en grammes		Pier-res cha uf-fées	scories en gram.	NR lithi-que taillé	NR lithi-que autres	REMARQUES (métaux/rubéfiée/lithiques autres ; pour céramique, faune et lithique taillé voir études spécifiques)	TPQ	TAQ
			M O D	T O U R	Teg. imbr.		cui-veux	fer-reux	frag. soles/ indét.	tor-chis							
BAT02	PO3431	100	2													LTC2	Ierap
	PO3435	100	3														
	PO3381	100	5														
	PO3801	100	1														
	TOT BAT02		11														

Tableau 77 : Mobilier et datation du BAT02.

7.3.1.3 Bâtiment 04 (Pl. 21)

Au centre de la Zone 3, le bâtiment 04 se compose de 14 trous de poteau principaux et de deux modules annexes, composés l'un d'une sablière basse et d'un poteau et l'autre d'une sablière basse, ainsi que de 3 poteaux intermédiaires de pan (1 manquant, probablement surdécapé). On peut noter la présence de probables poteaux internes (PO3036, PO3471, FS3889 et FS3993). Ce bâtiment rectangulaire à « pans coupés ou pignons » mesure approximativement 12,8 m par 9,4 m pour le corps de bâtiment principal (dimensions moyennes orthométriques arrondies calculées par rapport aux centres d'ancrage supposés des poteaux). Avec les annexes sur sablière basse, la surface totale concernée est d'environ 17 m par 11 m (187 m²). La surface de l'intérieur du corps de bâtiment principal couvre au moins 90 m². Le bâtiment s'oriente selon un axe longitudinal OSO/ENE incliné à environ 83° E du Nord cartographique Lambert 1 (à 1/2 degré près). Il présente la même inclinaison que l'alignement de poteaux BAT12 (Zone 4). L'orientation des "pans ouverts" supposés (pignons) se fait sur un axe orthogonal NNO/SSE.

Une partie du centre et du quart NE du bâtiment, mis au jour et enregistrés au cours du diagnostic et de l'évaluation (Boulenger 2001), ont malencontreusement été surdécapés, faisant disparaître au moins quatre poteaux et une fosse (PO3036, PO3990, PO3991, PO3992 et FS3992).

Le corps de bâtiment principal s'organise selon un axe de symétrie OSO/ENE dans sa longueur. Les pans NNO et SSE, d'une longueur d'environ 7,15 m au niveau des points d'ancrage, sont formés par deux alignements parallèles de cinq poteaux avec calage de limon loessique à espacements réguliers (diamètres d'environ 95/100 cm et diamètres des négatifs d'env. 40 cm). Les pans OSO et ENE se composent chacun de deux trous de poteau de tailles similaires alignés perpendiculairement aux pans contraires, formant des avancées d'environ 2,8 m. L'espacement des trous de poteau du pan ENE est légèrement supérieur à celui du pan opposé (5,2 m contre 4,4 m), le bord extérieur de chacun de ces deux poteaux venant s'aligner sur le centre du poteau opposé. Au sein des pans obliques du pignon OSO, les trous de petits poteaux PO3891 et PO3892 (diamètres d'environ 15/20 cm) sont équidistants du centre du bâtiment et des poteaux porteurs. Le pendant du petit poteau, ou pieu, PO3890, de facture similaire aux précédents, mis au jour au sein du pan oblique du pignon ENE, a probablement été vidé par la pelle mécanique.

La sablière basse TR3051 et le poteau PO3055 forme une avancée parallèle au fronton du pignon OSO, en avant de l'angle NO du corps de bâtiment principal. La sablière basse TR3475 fait de même en parallèle du fronton du pignon ENE, en avant de l'angle SE. Le bord NNO du PO3051 et l'extrémité SSE de la TR3475 sont équidistants du centre du bâtiment. Les bords externes au bâtiment des TR3051 et TR3475 sont tous deux distants d'environ 2,6 m en parallèle de la ligne d'ancrage des frontons.

Le poteau 3481 pourrait être associé au BAT04. Il se situe dans le prolongement exact de l'axe central de symétrie OSO/ENE à environ 6,9 m du fronton du pignon ENE du bâtiment.

La sablière basse TR3475 recoupe le PO3894 du bâtiment 09. Plusieurs trous de poteau ont livré des tessons de céramiques datables au plus tôt de La Tène finale D2 et au plus tard de la première moitié du Ier s. ap. J.-C.

Fait	n° Us	description	nature	mobilier détritique				Forme Profil	dia. ma. ob.	pro. esti.	mor pho .		
				cér.	fau.	TC	PC						
Labours/terre végétale, surdécapage									45/75				
PO3032	3032	limon argileux gris brun			x				oblong fond plat	90	70	pan SSE	
	3033	creusement	C										
PO3030	3030	limon argileux gris brun			x				arrondi évasé	60	90		
	3031	creusement	C										
PO3465	3465	limon argileux gris brun : négatif			x	x				40	85		
	3998	limon argileux brun jaune : calage loessique			x	x			oblong cylindrique	100	85		
	3466	creusement	C										
PO3467	3467	limon argileux gris brun : négatif			x					35	85		
	3997	limon argileux brun jaune : calage loessique							oblong cylindrique	95	80		
	3468	creusement	C										
PO3469	3469	limon argileux gris brun : négatif				x				30	95		
	3996	limon argileux brun jaune : calage loessique				x			oblong cylindrique	90	95		
	3470	creusement	C										
PO3890	3890	limon argileux gris brun et charbons erratiques					x		circulaire évasé	20	70 ?	pan ENE	
	3115	creusement	C										
PO3473	3473	limon argileux gris brun			x	x	x		oblong cylindrique	80	80		
	3474	creusement	C										
PO3220	3220	limon argileux gris							oblong évasé	85	90		
	3221	creusement	C										
TR3475	3475	limon argileux gris brun			x	x			sub-rectangulaire fond plat	350	60		
	3476	creusement	C										
PO3992	3992	limon argileux gris brun							circulaire ?	80	85 ?		pan NNO
		creusement	C										
PO3991	3991	limon argileux gris brun							circulaire ?	80	85 ?		
		creusement	C										
PO3990	3990	limon argileux gris brun							circulaire ?	80	85 ?		
		creusement	C										
PO3039	3039	limon argileux gris brun							oblong évasé	75	85		
	3040	creusement	C										
PO3043	3043	limon argileux gris brun							circulaire cylindrique	85	90		
	3044	creusement	C										
PO3892	3892	limon argileux gris brun et charbons erratiques			x		x		circulaire évasé	20	70 ?	pan OSO	
	3521	creusement	C										
PO3049	3049	limon argileux brun foncé							circulaire cylindrique	85	70		
	3050	creusement	C										
PO3034	3034	limon argileux gris brun							oblong cylindrique	80	70		
	3035	creusement	C										
PO3891	3891	limon argileux gris brun et charbons erratiques							circulaire évasé	20	70 ?		
	3706	creusement	C										
TR3051	3051	limon argileux gris brun et charbons			x				sub-rectangulaire fond plat	350	65		
	3052	creusement	C										
PO3055	3055	limon argileux gris brun							oblong cylindrique	40	80		
	3705	creusement	C										
PO3036	3036	limon argileux gris							circulaire ?	40 ?	70 ?	PO et FS associés ?	
		creusement	C										
PO3471	3471	limon argileux gris brun et charbons erratiques			x	x			circulaire évasé	50	65		
	3472	creusement	C										
FS3041	3041	limon argileux gris brun							naturelle ?	-	-		
	3042	creusement	C										
FS3047	3047	limon argileux gris brun							naturelle ?	-	-		
	3048	creusement	C										
FS3889	3889	limon argileux gris brun et charbons			x				oblongue ?	40	60 ?		
		creusement	C										
FS3993	3993	limon argileux gris brun			x	x			circulaire ?	80	70 ?		
		creusement	C										
PO3481	3481	limon argileux gris et charbons							circulaire évasé	45	90		
	3482	creusement	C										

Légende : voir Fig. 1 p. 14.

Tableau 78 : Présentation stratigraphique descriptive du BAT04.

ENS	FAIT	% fouil.	Nombre de Restes céramique			NR F A U N E	NR métal		Terre rubéfiée en grammes		Pier-res chauf-fées	scories en gram.	NR lithi-que taillé	NR lithi-que autres	REMARQUES (métaux/rubéfiée/lithiques autres ; pour céramique, faune et lithique taillé voir études spécifiques)	TPQ	TAQ
			M O D	T O U R	Teg. imbr.		cui- reux	fer- reux	frag. soles/ indét.	tor- chis							
BAT04	FS3889	100	1														
	FS3993	100	1	1		1											
	PO3032	100	2														
	PO3043	100	3														
	PO3465	100	7	1		4							1				
	PO3467	100	1											1			
	PO3469	100				3								1			
	PO3471	100	6			1											
	PO3473	100	3	3		2			70					3			
	PO3892	100	1														
	TR3051	100		4													
	TR3475	100	3			1											
	<i>TOT BAT04</i>		28	9		12			70					6			

Tableau 79 : Mobilier et datation du BAT04.

7.3.1.4 Bâtiment 05 (Pl. 22)

Dans la Zone 4, le bâtiment 05 se compose de 8 poteaux. Il est formé par deux séries parallèles de trois poteaux avec négatifs (diamètres d'environ 35/40 cm) et calages de limon loessique (diamètres d'environ 100 cm). Ces six poteaux forment un corps rectangulaire d'approximativement 8,9 m par 5,05 m, soit environ 50 m² de surface minimum (dimensions moyennes orthométriques arrondies calculées par rapport aux centres d'ancrage supposés des poteaux). Deux poteaux sans calage apparent (diamètres d'environ 60 cm), équidistants du centre du bâtiment et distants d'environ 10,8 m l'un de l'autre, marquent des extensions symétriques d'environ 2,5 m sur les pans OSO et ENE. Le PO4137, situé dans l'angle intérieur SO contre le PO4137, est peut-être à mettre en relation avec un renfort ou une réfection du bâtiment.

Le BAT05 s'oriente selon un axe longitudinal NNO/SSE incliné à environ 4° E du Nord cartographique Lambert 1 (à 1/2 degré près). Les "pans ouverts" sont orientés selon un axe OSO/ENE orthogonal. Le BAT05 présente la même inclinaison que le BAT08 (zone 3).

Les alignements formant les pans NNO et SSE du bâtiment sont composés de trois poteaux à espacements différenciés. Les centres d'ancrage des poteaux d'angles du pan OSO sont distants d'environ 2,7 m des points d'ancrage des poteaux centraux, alors que ceux des poteaux d'angles du pan ENE le sont d'environ 2,35 m.

Plusieurs trous de poteau ont livré des tessons de céramiques datables au plus tôt de La Tène finale et au plus tard du premier quart du Ier s. ap. J.-C.

Fait	n° Us	description	nature	mobilier détritique				Forme Profil	dia. ma. ob.	pro. esti.	mor pho .
				cér.	fau.	TC	PC				
Labours/terre végétale, surdécapage									65/95		
PO4107	4107	limon argileux gris						circulaire cylindrique ?	100	115	pan NNO
	4108	creusement	C								
PO4119	4119	limon argileux gris		x				oblong cylindrique	110	100	pan NNO
	4120	creusement	C								
PO4117	4117	limon argileux gris brun : négatif		XXX				oblong cylindrique	105	110	pan NNO
	4118	creusement	C								
PO4103	4103	limon argileux gris et charbons épars						circulaire cylindrique	65	90	pan OSO
	4104	creusement	C								
PO4137	4137	limon argileux gris		x				oblong évasé	50	95	pan SSE
	4138	creusement	C								
PO4139	4139	limon argileux gris : négatif			x				55	110	pan SSE
	4427/28	limon argileux gris-brun : calage loessique		x				oblong cylindrique	150	110	
PO4141	4141	limon argileux gris : négatif							65	90	pan SSE
	4420/23	limon argileux gris-brun : calage loessique						circulaire irrégulier ?	95	90	
PO4143	4143	limon argileux gris : négatif		x					50	105	pan SSE
	4421/22	limon argileux gris-brun : calage loessique						oblong cylindrique	100	110	
PO4133	4133	limon argileux gris						circulaire cylindrique	75	90	pan ENE
	4134	creusement	C								

Légende : voir Fig. 1 p. 14.

Tableau 80 : Présentation stratigraphique descriptive du BAT05.

ENS	FAIT	% fouil.	Nombre de Restes céramique			NR F A U N E	NR métal		Terre rubéfiées en grammes		Pier-res chauffées	scories en gram.	NR lithique taillé	NR lithique autres	REMARQUES (métaux/rubéfiée/lithiques autres ; pour céramique, faune et lithique taillé voir études spécifiques)	TPQ	TAQ
			M O D	T O U R	Teg. imbr.		cui- reux	fer- reux	frag. soles/ indét.	tor- chis							
BAT05	PO4117	100	12	2											LTF	Grp	
	PO4119	100		1													
	PO4137	100		1													
	PO4139	100	1			1											
	PO4143	100	1														
	TOT BAT05		14	4		1											

Tableau 81 : Mobilier et datation du BAT05.

7.3.1.5 Bâtiment 08 (Pl. 23)

Dans la Zone 3, le bâtiment 08 se compose de 6 poteaux. Il est formé par deux alignements de trois poteaux à calage de limon loessique à espacements réguliers (diamètres d'environ 65/80 cm ; négatifs : diamètres d'environ 35/40 cm). Il mesure approximativement 9,85 m par 6,6 m, soit environ 65 m² de surface minimum (dimensions moyennes orthométriques arrondies calculées par rapport aux centres d'ancrage supposés des poteaux). Il suit un axe longitudinal NNO/SSE incliné à environ 4° O du Nord cartographique Lambert 1 (à 1/2 degré près). L'orientation des "pans ouverts" se fait selon un axe OSO/ENE orthogonal. Le BAT08 possède la même inclinaison que le BAT05 (Zone 4). Sur le pan ENE, la présence de la sablière basse approximativement parallèle TR3245, fortement arasée, est sans doute à rattacher au corps de bâtiment. Elle pourrait former un pignon représentant une avancée d'environ 3,5 m. L'angle NO du BAT08 est recoupé par la FS3224. La TR3245 et le PO3493 ont livré des tessons datables de La Tène finale au premier quart du Ier s. ap. J.-C.

Fait	n° Us	description	nature	mobilier détritique				Forme Profil	dia. ma. ob.	pro. esti.	mor pho .	
				cér.	fau.	TC	PC					
Labours/terre végétale, FS3224 et surdécapage									60/130			
PO3887	3887	limon argileux gris beige						circulaire ?	60	140	pan NNO	
	3888	creusement	C									
PO3886	3886	limon argileux gris		x				circulaire ?	60	135		
	3983	creusement	C									
PO3499	3499	limon argileux brun : négatif							30	135		
	3933	mottes de Loess jaune : calage loessique						circulaire cylindrique/évasé	80	135		
	3500	creusement	C									
TR3245	3245	sédiment gris cendro-charbonneux		XXX	x	XXX		bande allongée ?	260 ?	90		pan ENE ?
	3246	creusement	C									
PO3495	3495	limon argileux brun						oblong cylindrique	75	130		pan SSE
	3842	limon argileux gris : racine/terrier ?										
	3496	creusement	C									
PO3493	3493	limon argileux brun gris et charb. épars : négatif		x		x	x		35	130		
	3838	limon argileux gris beige, charb. épars : calage		x	x	x		circulaire cylindrique/évasé	90	130		
	3494	creusement	C									
PO3851	3851	limon argileux gris et charbons épars							65	135		
	3853	limon argileux gris beige						circulaire cylindrique/évasé	75	135		
	3852	creusement	C									
PO3485	3485	limon argileux brun		x				circulaire cylindrique	30	110	assoc ?	
	3486	creusement	C									

Légende : voir Fig. 1 p. 14.

Tableau 82 : Présentation stratigraphique descriptive du BAT08.

ENS	FAIT	% fouil.	Nombre de Restes céramique			NR F A U N E	NR métal		Terre rubéfiées en grammes		Pier-res chauffées	scories en gram.	NR lithique taillé	NR lithique autres	REMARQUES (métaux/rubéfiée/lithiques autres : pour céramique, faune et lithique taillé voir études spécifiques)	TPQ	TAQ
			M O D	T O U R	Teg. imbr.		cui- reux	fer- reux	frag. soles/ indét.	tor- chis							
BAT08	PO3493	100	1	8		1			90								
	TR3245	100	13	20		3			1660			30	1	Us3245 : -1 frag de bracelet circulaire néolithique en schiste gris foncé, épaisseur de 7 mm.	LTF	Grp	
	TOT BAT08		14	28		4			1820			30	I				

Tableau 83 : Mobilier et datation du BAT08.

7.3.2 Fosses

7.3.2.1 FS3477 (Pl. 24)

Située à l'intérieur du BAT09 et à l'extérieur de l'angle SE du BAT04, la fosse FS3477 mesure 2,8 m par 1,5 m pour 0,6 m de profondeur sous le sommet des labours. De forme oblongue à fond plat, elle présente un remplissage de limon argileux gris brun avec charbons épars. De même horizon chronologique que le BAT04, elle suit un axe longitudinal similaire à celui-ci et s'aligne sur le PO3894 du pignon ENE ainsi que sur l'extrémité NNO de la sablière basse TR3475, bordant ainsi l'une des probables entrées du bâtiment. Il est toutefois possible qu'elle soit à rattacher au BAT09, antérieur au Ier s. ap. J.-C.

ENS	FAIT	% fouil.	Nombre de Restes céramique			NR F A U N E	NR métal		Terre rubéfiées en grammes		Pier-res chauffées	scories en gram.	NR lithique taillé	NR lithique autres	REMARQUES (métaux/rubéfiée/lithiques autres ; pour céramique, faune et lithique taillé voir études spécifiques)	TPQ	TAQ
			M O D	T O U R	Teg. imbr.		cuiv- reux	fer- reux	frag. soles/ indét.	tor- chis							
	FS 3477	100	12	8									1			LTF	Grp

Tableau 84 : Mobilier et datation de la FS3477.

7.3.2.2 FS3677 : fosse à dépôt d'ossements de bœuf (Pl. 24)

En limite du nord du décapage de la Zone 3, la fosse FS3677 mesure 1,05 m par 0,9 m pour 1,15 m de profondeur sous le sommet des labours. De forme circulaire et de profil cylindrique à légèrement tronconique à fond plat, elle présente un remplissage de deux couches de limon argileux gris hydromorphe avec nodules de terre rubéfiée épars et quelques pierres chauffées séparées par un dépôt d'ossements de bœuf.

« Une seule structure présente une configuration particulière, la structure 3677, où une partie supérieure d'arrière-train de bœuf a été mise au jour. La position des os dans la fosse laisse apparaître une connexion certaine entre les coxaux et le sacrum. Pour le fémur, le tibia et le métatarse gauche, la connexion est un peu plus lâche et laisse penser qu'une décomposition des chairs effectuée dans un espace pas entièrement comblé (à la manière de certaines sépultures humaines). La position du fémur droit peut correspondre à une connexion avec le coxal. La position des os de bœuf dans cette structure – os qui ne portent aucun stigmate de mise en pièce ni de découpe - reflète certainement un dépôt qu'il conviendra de corrélérer avec les autres données du site afin de l'interpréter de la manière la plus fiable. » (Céline Bémilli, voir Étude archéozoologique *infra*).

De même horizon chronologique que les BAT01, BAT02, BAT04, BAT05 et BAT08, elle est peut-être à mettre en relation avec l'occupation d'habitat de l'intervalle chronologique allant de La Tène moyenne C2 à la première moitié du 1er s. ap. J.-C.

ENS	FAIT	% fouil.	Nombre de Restes céramique			NR F A U N E	NR métal		Terre rubéfiées en grammes		Pier-res chauffées	scories en gram.	NR lithique taillé	NR lithique autres	REMARQUES (métaux/rubéfiée/lithiques autres ; pour céramique, faune et lithique taillé voir études spécifiques)	TPQ	TAQ
			M O D	T O U R	Teg. imbr.		cuiv- reux	fer- reux	frag. soles/ indét.	tor- chis							
	FS 3677	100	4	3		8			30		X					LTF	Grp

Tableau 85 : Mobilier et datation de la FS3677.

7.3.2.3 FS3681 (Pl. 24)

En limite du nord du décapage de la Zone 3, la fosse FS3681 mesure 1,1 m par 1 m pour 0,8 m de profondeur sous le sommet des labours. De forme sub-rectangulaire et de profil arrondi, elle présente un remplissage de limon argileux gris hydromorphe avec nodules de terre rubéfiée épars et quelques pierres chauffées.

De même horizon chronologique que les BAT01, BAT02, BAT04, BAT05 et BAT08, elle est peut-être à mettre en relation avec l'occupation d'habitat de l'intervalle chronologique allant de La Tène moyenne C2 à la première moitié du 1er s. ap. J.-C. Elle présente un remplissage similaire à la FS3677, située à environ 2 m plus à l'ouest.

ENS	FAIT	% fouil.	Nombre de Restes céramique			NR F A U N E	NR métal		Terre rubéfiées en grammes		Pier-res chauffées	scories en gram.	NR lithique taillé	NR lithique autres	REMARQUES (métaux/rubéfiée/lithiques autres ; pour céramique, faune et lithique taillé voir études spécifiques)	TPQ	TAQ
			M O D	T O U R	Teg. imbr.		cuiv- reux	fer- reux	frag. soles/ indét.	tor- chis							
	FS 3681	100	7	6		1					X		3			LT C2	Grp

Tableau 86 : Mobilier et datation de la FS3681.

7.3.2.4 ST2026 (d'après Boulenger 2001)

Située dans la tranchée de diagnostic au nord du décapage de la Zone 3, la structure 2026 se présente sous la forme d'une tache de limon gris brun contenant un abondant mobilier céramique et des nodules rubéfiés épars. Elle mesure au moins 1 m de large. N'ayant été que partiellement décapée, sa forme et son profil demeurent inconnus.

De même horizon chronologique que les BAT01, BAT02, BAT04, BAT05 et BAT08, elle est peut-être à mettre en relation avec l'occupation d'habitat de l'intervalle chronologique allant de La Tène moyenne C2 à la première moitié du Ier s. ap. J.-C

ENS	FAIT	% fouil.	Nombre de Restes céramique			NR F A U N E	NR métal		Terre rubéfiée en grammes		Pier-res chauffées	scories en gram.	NR lithique taillé	NR lithique autres	REMARQUES (métaux/rubéfiée/lithiques autres : pour céramique, faune et lithique taillé voir études spécifiques)	TPQ	TAQ
			M O D	T O U R	Teg. imbr.		cuiv-reux	fer-reux	frag. soles/indét.	tor-chis							
	ST 2026	déca	35	15		7			50				1			LT C2	Grp

Tableau 87 : Mobilier et datation de la ST2026.

7.4 La Tène moyenne C2 à Haut Empire

7.4.1 BAT12 (Pl. 25)

Dans la Zone 3, la probable existence d'un bâtiment tronqué par les systèmes fossoyés SFO19 et SFO20 est attestée par une série de trois poteaux alignés à espacements réguliers. La zone entourant l'alignement a été systématiquement nettoyée manuellement et redécapée à la mini-pelle dans un rayon de 20 m à 30 m, ne révélant aucun poteau pouvant lui être rattaché. Deux poteaux non datés désaxés, PO4067 et PO4063, se situent à environ deux mètres vers le nord, sans que l'on puisse les rattacher à l'alignement BAT12. À environ 4,2 m vers le SSE, les fossés FO4145, FO4597, FO4461 et FO4049 couvrent une bande d'environ 6 m de large. Il est probable que l'un de ceux-ci ait détruit le pan SSE d'un bâtiment dont l'alignement BAT12 pourrait représenter le pan NNO.

Les trous de poteaux présentent des négatifs (diam. approx 25 cm) et des calages de limon loessique (diam. approx. 55 cm). L'alignement représente une longueur d'environ 4,5 m (dimension arrondie calculée par rapport aux centres d'ancrage supposés des poteaux). Il s'oriente selon un axe OSO/ENE incliné à environ 83° E du Nord cartographique Lambert 1 (à 1/2 degré près). Il présente la même inclinaison que le BAT04.

Fait	n° Us	description	nature	mobilier détritique				Forme Profil	dia. ma. ob.	pro. esti.	mor pho .
				cér.	fau.	TC	PC				
Labours/terre végétale, surdécapage										60/65	
PO4449	4449	limon argileux gris						circulaire évasé	55	80	pan NNO ?
	4450	creusement	C								
PO4059	4059	limon argileux gris brun			x			circulaire évasé	80	100	
	4060	creusement	C								
PO4055	4055	limon argileux gris brun						circulaire évasé	80	95	
	4056	creusement	C								

Légende : voir Fig. 1 p. 14.

Tableau 88 : Présentation stratigraphique descriptive du BAT12.

ENS	FAIT	% fouil.	Nombre de Restes céramique			NR F A U N E	NR métal		Terre rubéfiées en grammes		Pier-res chauffées	scories en gram.	NR lithique taillé	NR lithique autres	REMARQUES (métaux/rubéfiée/lithiques autres ; pour céramique, faune et lithique taillé voir études spécifiques)	TPQ	TAQ
			M O D	T O U R	Teg. imbr.		cuiv-reux	fer-reux	frag. soles/indét.	tor-chis							
BAT 12	PO 4059	100	1	1											Recoupé par SFO19 et 20	LT C2	HE

Tableau 89 : Mobilier et datation du BAT12.

7.5 Haut Empire à antérieur

7.5.1 SFO27 (Pl. 27 & 30)

En travers du système fossoyé central, le système fossoyé interrompu n° 27 se compose des segments alignés FO3013 et FO4047. Il constitue une limite restituée de 105 m de long, dont 75 m oblitérés par le passage des SFO postérieurs n° 19 et 20. Les FO3013 et FO4047 sont parfaitement alignés sur une direction ONO/ESE selon un axe orienté à 96° E du Nord cartographique Lambert 1 (à 1/4 de degré près). Ils mesurent environ 70/75 cm de large au niveau du décapage (à environ 5 à 10 cm sous la semelle de labours). Le SFO27 est également recoupé par le SFO15 et le SFO26. La profondeur du segment FO3013, de 20 m de long, se situe entre 81,65 m et 81,75 m N.G.F., à environ 60/80 cm sous le sommet des labours, correspondant à un léger pendage en direction de l'ONO. Le segment FO4047, d'environ 10 m de long au niveau du décapage, présente une profondeur similaire (81,70 m N.G.F. au niveau du sondage E).

La continuité de direction entre les SFO19 et SFO26 et le synchronisme entre le creusement initial du SFO19 et du remblayage du SFO26 indiquent leur lien de succession. La direction divergente du SFO27 et son recoupement par le SFO26 indique une antériorité au système fossoyé à recreusement multiples qui se développe au plus tôt pendant La Tène finale D2 et au plus tard pendant le IIe s. ap. J.-C.

Le SFO27 est approximativement orthogonal avec les BAT01 et BAT10 avec 1,25° à 2,75° d'écart, ce qui tendrait à renforcer l'hypothèse de son fonctionnement pendant l'intervalle chronologique couvrant La Tène C2 au Ier s. ap. J.-C.

ENS	FAIT	% fouil.	Nombre de Restes céramique			NR F A U N E	NR métal		Terre rubéfiées en grammes		Pier-res chauffées	scories en gram.	NR lithique taillé	NR lithique autres	REMARQUES (métaux/rubéfiée/lithiques autres ; pour céramique, faune et lithique taillé voir études spécifiques)	TPQ	TAQ
			M O D	T O U R	Teg. imbr.		cuiv-reux	fer-reux	frag. soles/indét.	tor-chis							
SFO 27	FO 3013	sd	8												Recoupé par SFO26 et SFO20	N/pro	HE

Tableau 90 : Mobilier et datation du SFO27.

7.6 La Tène finale D2/gallo-romain précoce à Haut Empire

7.6.1 FS3313 (Pl. 25)

Dans la Zone 3, la fosse FS3313 mesure 3,3 m par 1,6 m pour 0,95 m de profondeur sous le sommet des labours. De forme en croissant au contour irrégulier et de profil arrondi à irrégulier, elle présente un remplissage de limon argileux gris hydromorphe à gris brun avec nodules de terre rubéfiée épars et quelques pierres chauffées.

D'horizon chronologique similaire avec les BAT01, BAT02, BAT04, BAT05 et BAT08, elle est peut-être à mettre en relation avec l'occupation d'habitat de l'intervalle chronologique allant de La Tène finale D2 à la première moitié du Ier s. ap. J.-C. Elle se situe à environ 1 m du pan O du BAT01 et est peut-être à mettre en relation avec celui-ci.

Sa forme irrégulière en croissant pourrait évoquer un chablis. Il est possible également qu'il s'agisse d'une fosse d'extraction de limon argileux.

ENS	FAIT	% fouil.	Nombre de Restes céramique			NR F A U N E	NR métal		Terre rubéfiées en grammes		Pier-res chauf-fées	scories en gram.	NR lithi-que taillé	NR lithi-que autres	REMARQUES (métaux/rubéfiée/lithiques autres ; pour céramique, faune et lithique taillé voir études spécifiques)	TPQ	TAQ
			M O D	T O U R	Teg. imbr.		cuiv- reux	fer- reux	frag. soles/ indét.	tor- chis							
	FS 3313	100	12	8		1			200							LT D2	HE

Tableau 91 : Mobilier et datation de la FS3313.

7.6.2 SFO26 (Pl. 26 à 34)

Le système fossoyé n° 26 se compose des fossés FO3896 et FO3201/4597. Il est remblayé par les déblais du creusement initial du SFO19. Une couche de fonctionnement hydromorphe est observable à l'état résiduel sur le fond du fossé. Il est probable qu'il ait été curé avant son remblayage avec les sédiments encaissants, afin de stabiliser les sols et d'éviter des effets d'enfoncement. Il a été suivi sur 164 m de long en plan et/ou dans les sondages. Il est recoupé par les SFO19 et 20. De même direction ONO/ESE que les SFO15, SFO19 et SFO20, il suit un axe orienté à environ 91,6° E du Nord cartographique Lambert 1 (à 1/4 de degré près). Il s'interrompt sur une quinzaine de mètres au niveau du décapage entre les sondages H/I et J, au même emplacement qu'un point de rupture du SFO postérieur n° 20. De profil à fond plat, sa largeur maximum observable est de 2,8 m et sa profondeur maximale oscille entre 81,30 m et 81,75 m N.G.F. Il ne présente pas de pendage régulier observable et sa profondeur oscille entre 60 cm et 140 cm sous le sommet des labours. La continuité de direction entre les SFO19 et SFO26 et le synchronisme entre le creusement initial du SFO19 et du remblayage du SFO26 indiquent leur lien de succession.

Les remblais Us4598 ont livré un fragment d'amphore méditerranéenne (*Dressel 20* ?), ce qui semble situer son comblement au plus tôt pendant le dernier tiers du Ier s. av. J.-C.

SFO26 :

FO3896 :

3896 : hétérogène jaune orangé, substrat remanié, cailloutis abondant, galets, pierres anguleuses

3897 : limon argileux gris, nodules loessiques et calcaires erratiques

3898 : creusement

FO3201 = FO4597

3201 = 4597 : hétérogène jaune orangé à blanc, substrat remanié, cailloutis abondant, galets, pierres anguleuses et mottes crayeuses

3214 = 4598 : limon argileux gris, nodules loessiques et calcaires erratiques

3215 = 4599 : creusement

ENS	FAIT	% fouil.	Nombre de Restes céramique			NR F A U N E	NR métal		Terre rubéfiées en grammes		Pier-res chauf-fées	scories en gram.	NR lithi-que taillé	NR lithi-que autres	REMARQUES (métaux/rubéfiée/lithiques autres ; pour céramique, faune et lithique taillé voir études spécifiques)	TPQ	TAQ
			M O D	T O U R	Teg. imbr.		cuiv- reux	fer- reux	frag. soles/ indét.	tor- chis							
SFO 26	FO 4597	sd		1											Recoupé par SFO19 et 20, recoupe SFO27	GRp	HE

Tableau 92 : Mobilier et datation du SFO26.

7.7 Systèmes fossoyés gallo-romains (Ier à IVe s. ap. J.-C.)

(Pl. 34)

Pendant la période gallo-romaine, plusieurs fossés synchrones ou successifs sont creusés en divers endroits de l'emprise concernée par la fouille. Ils présentent tous des profils tronconiques inversés à triangulaires et des couches de sédimentation hydromorphe, démontrant leur rôle voulu ou non de drainage. L'axe majeur de ce réseau fossoyé est marqué par la reprise du tracé du SFO26, comblé au plus tôt pendant la deuxième moitié du Ier s. av. J.-C. Le SFO26 inclus, 8 phases de creusements et réaménagements ont pu être observées en plan et en coupe. Cet axe fossoyé principal se situe à la rupture de pente entre le plateau loessique au sud et le lit inondable du Ru des Hauldres au nord. Il est probable que cet axe drainant soit à intégrer dans un réseau fossoyé plus vaste, visant à contrôler l'imbibition des sols, voire les possibles inondations liée à la proximité du cours d'eau.

7.7.1 SFO15 (Pl. 26 à 34)

Le système fossoyé n° 15 est composé de plusieurs tronçons interrompus, traversant l'ensemble des zones 3 et 4. Il suit un axe ONO/ESE orienté à 91,6° E du Nord cartographique Lambert 1 (à 1/10 degré près). Il présente une seule phase visible. Il a été suivi sur 170 m pour une largeur d'environ 55/60 cm au niveau du décapage (environ 5 à 10 cm sous la semelle de labours). D'une profondeur comprise entre 60 cm à 80 cm sous le sommet des labours, il s'interrompt au moins par trois reprises en Zone 3 (FO3015=FO3331 ?, FO3365, FO3701, FS3699). Il ne possède pas de pendage particulier. Il est continu en Zone 4 (FO4085=FO4099) et il forme un angle avec le FO3697. Le tronçon de la Zone 4, suivi sur 75 m, possède un pendage vers l'ouest, se déversant dans le FO3697 (fond à 82 m N.G.F. en limite est de décapage, à 81,80/85 m dans le tiers central et à 81,60/70 à la jonction avec FO3697). Il longe le bord nord du SFO19, à environ 2 m à 3 m de distance.

SFO15 :

FO3015 :

3015 : limon argileux gris clair bariolé

3856 : liseré de mottes limono-argileuses jaunes

3016 : creusement

FO3331 :

3331 : limon argileux gris

3332 : creusement

FO3365 :

3365 : limon argileux gris, nodules de terre rubéfiées erratiques

3366 : creusement

FO3701 :

3701 : limon argileux gris clair et fragments de torchis

3702 : creusement

FO4085 = FO4099

4085 = 4099 : limon argileux gris foncé bariolé

4445 = 4482 : limon argileux gris bariolé

4086 = 4100 : creusement

ENS	FAIT	% fouil.	Nombre de Restes céramique			NR F A U N E	NR métal		Terre rubéfiées en grammes		Pier-res cha uf-fées	scories en gram.	NR lithi-que taillé	NR lithi-que autres	REMARQUES (métaux/rubéfiée/lithiques autres : pour céramique, faune et lithique taillé voir études spécifiques)	TPQ	TAQ
			M O D	T O U R	Teg. imbr.		cui-v-reux	fer-reux	frag. soles/ indét.	tor-chis							
SFO 15	FO 3015	sd	4	3		3										HE	BE
	FO 3701	sd	5	3		5		1								LT D2	
	FO 4099	sd	12	5	3											fIer ap	BE

Tableau 93 : Mobilier et datation du SFO15.

7.7.2 SFO16 (Pl. 26)

Le système fossoyé n° 16 se compose du fossé continu 3697. Il suit un axe SSO/NNE orienté à 3,7° E du Nord cartographique Lambert 1 (à 1/10 de degré près). Il présente une seule phase visible. Il a été suivi sur 21 m pendant la fouille. En rajoutant le tronçon 2047, suivi sur 8 m pendant le Diagnostic dans un sondage situé 7 m plus au nord de la limite de fouille, la longueur totale repérée atteint 38 m. Il s'aligne orthométriquement sur le SFO17, prolongeant la limite marquée par le FO3247 au-delà des SFO19 et SFO20 vers le NNE, en direction du Ru des Hauldres. Il mesure entre 80 cm et 115 cm de largeur au niveau du décapage (environ 5 à 10 cm sous la semelle de labours). Il possède peut-être un léger pendage vers le NNE (fond à 81,60/70 m N.G.F. à l'angle avec SFO15 et à 81,55/60 m N.G.F. en limite nord de décapage).

SFO16 :

FO3697 :

3697 : limon argileux gris foncé

3954 : limon argileux gris et jaune en mottes

3698 : creusement

ENS	FAIT	% fouil.	Nombre de Restes céramique			NR F A U N E	NR métal		Terre rubéfiées en grammes		Pier-res chauffées	scories en gram.	NR lithique taillé	NR lithique autres	REMARQUES (métaux/rubéfiée/lithiques autres ; pour céramique, faune et lithique taillé voir études spécifiques)	TPQ	TAQ
			M O D	T O U R	Teg. imbr.		cui-veux	fer-veux	frag. soles/indét.	tor-chis							
SFO 16	FO 3697	sd				3		1	20						Synchrone avec FO4085 de SFO15	fler ap	BE

Tableau 94 : Mobilier et datation du SFO16.

7.7.3 SFO17 (Pl. 26)

Le système fossoyé n° 17 se compose du fossé continu 3247. Il suit un axe SSO/NNE orienté à 3,7° E du Nord cartographique Lambert 1 (à 1/10 de degré près). Il présente deux phases (A succédant à B). Il a été suivi sur sa longueur totale de 58 m. Il s'aligne orthométriquement sur le SFO16, prolongeant la limite marquée par le FO3697 au-delà des SFO19 et SFO20 vers le SSO. Il mesure entre 80 cm et 115 cm de largeur au niveau du décapage (niveau supérieur du Loess). Il est synchrone avec les SFO18 et 20.

La première phase (B) présente une profondeur initiale d'environ 120 cm sous le sommet des labours, suivant le pendage naturel du terrain vers le nord (fond à l'angle avec SFO18 à 82,08 m N.G.F. et à 81,62 m N.G.F. à la jonction avec SFO20). Suite à un remblai partiel par du loess remanié, le creusement de la phase A présente une profondeur comprise entre 100 cm et 120 cm sous le sommet des labours, en gardant le même pendage (fond à l'angle avec SFO18 à 82,12 m N.G.F. et à 81,80 m N.G.F. à la jonction avec SFO20).

SFO17 :

FO3247 :

3247 : limon argileux brun gris nodules loessiques et calcaires épars

3951 : limon argileux gris bariolé

3948 : limon argileux brun gris orangé bariolé

3952 : creusement

3949 : limon argileux jaune et nodules de calcaire erratiques

3950 : limon argileux gris clair nodules loessiques et calcaires épars

3248 : creusement

ENS	FAIT	% fouil.	Nombre de Restes céramique			NR F A U N E	NR métal		Terre rubéfiées en grammes		Pier-res chauffées	scories en gram.	NR lithique taillé	NR lithique autres	REMARQUES (métaux/rubéfiée/lithiques autres ; pour céramique, faune et lithique taillé voir études spécifiques)	TPQ	TAQ
			M O D	T O U R	Teg. imbr.		cui-veux	fer-veux	frag. soles/indét.	tor-chis							
SFO 17	FO 3247	sd	4	1		2		1	20			970				fler ap	BE

Tableau 95 : Mobilier et datation du SFO17.

7.7.4 SFO18 (Pl. 26)

Le SFO continu n°18 suit un axe OSO/ENE orienté à 88,2° E du Nord cartographique Lambert 1 (à 1/10 de degré près). Il présente deux phases (A succédant à B). Il a été suivi sur 75 m. Il mesure entre 100 cm et 130 cm de largeur au niveau du décapage (niveau supérieur du Loess). Il est synchronisé avec les SFO17 et SFO20.

La première phase (B) présente une profondeur initiale d'environ 120 cm à 140 cm sous le sommet des labours. Elle possède un pendage vers l'est, se déversant dans le SFO17 (fond à l'angle avec SFO17 à 82,05 m N.G.F. et à 82,18 m N.G.F. pour le tronçon FO3001 coupe A en limite ouest d'emprise).

Suite à un remblai partiel par du Loess remanié, le creusement de la phase A présente une profondeur d'environ 100 cm à 120 cm sous le sommet des labours, en gardant le même pendage (fond à l'angle avec le SFO17 à 82,15 m N.G.F. et à 82,54 m N.G.F. pour le tronçon FO3001 coupe A en limite ouest d'emprise).

SFO18 :

FO3617 = FO3001 :

3617 : limon argileux brun gris, nodules loessiques et calcaires éparés

3001 : limon argileux brun gris bariolé, nodules loessiques éparés

3967 : limon argileux brun gris orangé bariolé

3250 = 3230 : creusement

3937 = 3231 : limon argileux jaune, nodules calcaires erratiques

3318 = 3232 : limon argileux gris clair, nodules loessiques et calcaires éparés

3618 = 3002 : creusement

ENS	FAIT	% fouil.	Nombre de Restes céramique			NR F A U N E	NR métal		Terre rubéfiée en grammes		Pier-res chauffées	scories en gram.	NR lithique taillé	NR lithique autres	REMARQUES (métaux/rubéfiée/lithiques autres ; pour céramique, faune et lithique taillé voir études spécifiques)	TPQ	TAQ
			M O D	T O U R	Teg. imbr.		cuiv-reux	fer-reux	frag. soles/indét.	tor-chis							
SFO 18	FO3001 FO3617	sd		1									1		-synchronisé avec SFO17	f ler ap	BE

Tableau 96 : Mobilier et datation du SFO18.

7.7.5 SFO19 (Pl. 26 à 34)

Le système fossoyé continu n° 19 suit un axe ONO/ESE orienté à 91,6° E du Nord cartographique Lambert 1 (à 1/10 de degré près). Il traverse l'emprise de part en part et porte les appellations FO3011 en Zone 3 et FO4145 en Zone 4. Il comprend 6 phases observables. Il a été suivi sur 168 m. Il présente différentes largeurs selon les phases et les endroits. Sa largeur maximale est comprise entre 3 m et 4 m en limite inférieure des labours toutes phases confondues. Il est en partie synchronisé avec le SFO20, le SFO15 et les excavations FS3204, FS3224, FS3519, FS 4405 et FS4643. Il est strictement parallèle aux SFO15 au nord et SFO20 au sud. Les coupes réalisées depuis la base des labours montrent un écart réduit à nul séparant les SFO15 et SFO20 du SFO19 (possibilité d'1 m maximum en certains endroits toutes phases confondues). Il est très peu probable qu'il ait existé une possibilité de cheminement entre le SFO19 et l'un ou l'autre de ces systèmes fossoyés bordiers.

La dernière phase observable (A) présente une profondeur initiale d'environ 70 cm à 120 cm sous le sommet des labours. À l'instar des phases précédentes, elle ne possède pas de pendage particulier sur le segment décapé (fond oscillant entre 81,50/81,70 m N.G.F.).

Le creusement le plus profond (Phase E ou F selon les endroits) se situe à une profondeur d'environ 130 cm à 180 cm sous le sommet des labours. Il ne possède pas non plus de pendage particulier sur le segment observé (fond oscillant entre 80,90/81,10 m N.G.F.).

SFO19 :

FO3011 = FO4145 :

3865 = 4464 : limon argileux brun beige et charbons erratiques

3866 = 4510 : limon argileux bariolé lie-de-vin

3867 : limon argileux blanchâtre en mottes

3011 = 4145 : limon argileux gris bariolé lie-de-vin

3924 = 4460 : liseré de charbons

3868 = 4465 : creusement A

3869 = 4466 : limon argileux brun-gris clair bariolé rouille

3870 = 4467 : limon argileux gris bariolé rouille

3871 = 4513 : creusement B

3953 = 4101 : argile limoneuse gris clair bariolée

3905 : limon argileux gris et cailloutis abondant

3919 = 4468 : argile gris bleuté

4511 : argile gris violacé

3872 = 4662 : argile limoneuse grise et cailloutis épars

4469 : limon argileux gris-brun bariolé rouille

3904 = 4470 : limon argileux gris, cailloutis abondant, nodules loessiques épars et galets

3903 = 4653 : creusement C

3923 : argile limoneuse grise bariolée rouille et charbons erratiques

3925 = 4471 : sédiment noir et mottes de terre rubéfiée

3873 = 4512 : argile limoneuse grise, cailloutis erratique et escargots lacustres épars

3684 = 4657 : limon argileux gris, cailloutis abondant et galets

3874 = 4472 : creusement D

3918 = 4404 : limon argileux brun-gris bariolé rouille

4646 : argile limoneuse gris bleuté

3875 = 4473 : limon argileux gris bariolé rouille

3686 : limon argileux gris et jaune en mottes

3938 = 4654 : creusement E

3876 = 4474 : limon argileux brun-orangé bariolé, nodules loessiques et calcaires épars

3926 : limon argileux gris foncé bariolé lie-de-vin

3877 = 4475 : argile limoneuse gris foncé bariolée rouille, nodules loessiques et calcaires épars

4514 : limon argileux gris beige bariolé rouille, nodules loessiques et calcaires abondants

4515 : limon argileux gris et jaune, nodules loessiques et calcaires abondants

3927 = 4516 : limon argileux jaune blanchi et cailloutis épars

3012 = 4146 : creusement F

ENS	FAIT	% fouil.	Nombre de Restes céramique			NR F A U N E	NR métal		Terre rubéfiées en grammes		Pier-res chauffées	scories en gram.	NR lithique taillé	NR lithique autres	REMARQUES (métaux/rubéfiée/lithiques autres ; pour céramique, faune et lithique taillé voir études spécifiques)	TPQ	TAQ
			M O D	T O U R	Teg. imbr.		cuiv-reux	fer-reux	frag. soles/indét.	tor-chis							
SFO 19	FO 3011 4145	déca p sd	33	23	12	85	1	2				250			Us4466 : 1 potin moulé en alliage cuivreux Type BN.7417, attribué aux Senons (Identification par Claude Drouot)	fler ap	BE
	FS 3204	sd				3							1				
	FS 3224	sd		3													
	FS 4405	sd	5			2											
	TOT SFO19		38	26	12	90		2				250	1				

Tableau 97 : Mobilier et datation du SFO19.

7.7.6 SFO20 (Pl. 26 à 34)

Le système fossoyé n° 20 se compose de plusieurs tronçons interrompus. Il a été suivi sur 164 m, traversant l'emprise selon un axe ONO/ESE orienté à 91,6° E du Nord cartographique Lambert 1 (à 1/10 degré près). Il est strictement parallèle aux SFO15 et SFO19 situés plus au nord. Il présente deux phases observables A et B. Il varie en profondeur et en largeur selon les phases et les endroits, ne présentant pas de pendage régulier. Il est recoupé par les FS3204, FS3224, FS3888,

FS4405, FS4643 et le FO4147. Le SFO20 est synchrone avec les SFO 17 et SFO18 et au moins en partie avec les FS3519 et 3180.

La phase A, la plus récente, est représentée par les FO3212, FO3249 et FO4049. La profondeur maximale de la phase A est de 110 cm sous le sommet des labours à 81,40 m N.G.F. et sa largeur observée sous la semelle de labours d'environ 2 m. Au niveau du décapage, elle comporte une interruption entre les FO3212 et FO3249 et une réduction appendiculaire du FO4049 en largeur et en profondeur au niveau du sondage L. Ces deux éléments évoquent des aménagements de franchissement. Le FO3212 bifurque en son extrémité O pour rejoindre le SFO19. Il est probable que le FO3878, rejoignant le SFO19 au même endroit que le FO3212 avec lequel il forme peut-être un troisième point de passage, constitue la continuation vers l'ouest de la phase A du SFO20 (concordance spatiale de jonction avec le FO3212 et de position stratigraphique par rapport au FO3011). Bien que légèrement courbe et décalé de quelques dizaines de centimètres vers le nord, le tronçon FO3878 a été inclus au SFO20.

La phase B est représentée par les FO3940, FO3717 et FO3934. La profondeur maximale de la phase B est de 120 cm sous le sommet des labours à 81,60 m N.G.F. et sa largeur observée sous la semelle de labours d'environ 2 m. Au niveau du décapage, elle comporte deux réductions appendiculaires : l'appendice FO3717 divise le FO3934 en deux segments et le FO4480 se rétrécit au niveau du sondage L. Entre les FS3519 et FS3224, le FO3940/4480 bifurque de presque 90° pour rejoindre le SFO19 et le FO3934 s'interrompt. À l'ouest, le FO3934 s'interrompt au niveau de la FS3204. Le FO3899/3862, probablement associé à la FS3180, poursuit le tracé du SFO20 jusqu'à la limite ouest de l'emprise. De même que pour la phase postérieure, ces ruptures évoquent des points de franchissement. La phase B n'est plus visible au-delà du sondage A vers l'est. La coupe depuis le sommet des labours réalisée dans le sondage B montre un fond de creusement (ST4505) sous le bord SSO du FO4049 qui pourrait correspondre à la phase B. Il est possible que le recreusement de la phase A ait totalement oblitéré la phase B dans ce secteur, ou que sa moindre profondeur ait provoqué son arasement par les labours et le décapage du Sol brun.

Les phases A et B du SFO20 correspondent au moins en partie aux phases E et F du SFO19. L'association entre le SFO20 et le SFO19 est démontrée par les liens directs en plan des FO3212, FO3940 et FO3878 avec le FO3011. La phase A du SFO20 est recoupée par les excavations fossoyées FS 3888, FO4101, FO4463 et FS4405, dont le creusement correspond à la phase D du SFO19 (dépôt hydromorphe charbonneux diagnostic Us4471/3925, semblable aux premiers comblements de ces excavations...). Les comblements du FO3878 correspondent à la phase E du FO3011 (Us3878=Us3917 ; Us3902). Le SFO26 a été comblé par les déblais du creusement initial du SFO19 (voir SFO26). La première phase du SFO20 recoupe ces remblais.

Le SFO20 est donc postérieur au creusement initial du SFO19 (Phase F ?) et antérieur à sa troisième phase de recreusement observable (Phase D). L'orthométrie parfaite entre le SFO20, associé au SFO17, et le SFO15, associé au SFO16, suggère également une synchronie au moins temporaire de ces deux ensembles.

SFO20 :

FO3212 :

3212 : limon argileux gris bariolé

3936 : limon argileux brun gris orangé bariolé

3935 : creusement

FO3934 = FO3717 :

3920 = 3717 : limon argileux jaune et cailloutis épars

3934 = 3942 : limon argileux gris, nodules loessiques et calcaires erratiques

3921 : limon argileux gris et jaune en mottes

3213 = 3718 : creusement

FO3249 = FO4049

3249 = 4483 : limon argileux brun gris, nodules loessiques et calcaires épars

3450 = 4049 : limon argileux gris bariolé

3446 = 4478 : limon argileux brun gris orangé bariolé

3452 = 4594 : creusement

FO3940 = FO4480

4655 : limon argileux gris jaune en mottes, nodules calcaires erratiques

3943 = 4479 : limon argileux jaune et cailloutis épars

3940 = 4480 : limon argileux gris foncé, nodules loessiques et calcaires erratiques, escargots lacustres erratiques

4481 : Loess colluvionné

3939 = 4050 : creusement

FO3862 :

3862 : limon argileux gris et jaune en mottes, nodules loessiques et calcaires erratiques

3861 : creusement

FO3899 :

3899 : limon argileux brun gris clair, nodules loessiques et calcaires erratiques

3100 : limon argileux brun

3101 : creusement

FO3878 :

3902 : limon argileux jaune et cailloutis erratique

3878 : limon argileux gris bariolé, nodules loessiques et calcaires erratiques

3676 : limon argileux gris et jaune

3879 : creusement

ENS	FAIT	% fouil.	Nombre de Restes céramique			NR F A U N E	NR métal		Terre rubéfiées en grammes		Pier-res chauffées	scories en gram.	NR lithique taillé	NR lithique autres	REMARQUES (métaux/rubéfiée/lithiques autres ; pour céramique, faune et lithique taillé voir études spécifiques)	TPQ	TAQ
			M O D	T O U R	Teg. imbr.		cuiv-reux	fer-reux	frag. soles/indét.	tor-chis							
SFO 20	FS 3519	sd		2													
	FO 3212	sd	2		1												
	FO 3717	sd						20									
	FO 4049	décap sd	41	3		4		1				830					
	TOT SFO20		43	5	1	4		1	20			830					

Tableau 98 : Mobilier et datation du SFO20.

7.7.7 SFO21, MR4335/FS4337 (Pl. 26 à 34)

Le système fossoyé n° 21 se compose de plusieurs tronçons interrompus. Il a été suivi sur 164 m, traversant l'emprise selon un axe ONO/ESE. Ses segments légèrement courbes oscillent sur l'axe suivi par les SFO19 et SFO20 (orienté à 91,6° E du Nord cartographique Lambert 1, à 1/10 de degré près). Il est composé des segments FO3184, FO3715, FO4461 et FO4641. Au niveau du décapage, le segment FO4461 est décalé de quelques dizaines de centimètres vers le sud par rapport aux segments FO3184 et FO4641. Le SFO21 recoupe le dernier état observable du SFO19. Quels que soient les segments, les relevés pédologiques complets montrent un profil à fond plat de 3,5 m à 4 m d'ouverture et 20 cm à 30 cm de profondeur sous la semelle de labours, possédant un canal d'environ 70 cm de large sur 20 cm de profondeur surcreusé dans sa partie centrale. C'est ce surcreusement qui a été suivi au décapage. Les légères courbures en plan de ces canaux centraux ne reflètent pas obligatoirement le tracé exact du système fossoyé à son niveau d'ouverture, qui pouvait être rectiligne. Aucun pendage régulier n'a pu être mis en évidence, le fond du SFO21 oscillant entre 81,80/82 m N.G.F.

Au niveau du décapage, le SFO21 s'interrompt à deux reprises. Le court segment FO3715 (env. 2 m de long) se développe en diagonale dans l'intervalle entre les extrémités des FO3184 et FO4461. La FS4337 se développe en parallèle du SFO21, présentant la même longueur que le hiatus entre FO4461 et FO4641 et se trouvant dans son prolongement exact. Elle contient un comblement semblable à ceux des segments du SFO21 ainsi qu'une fondation de muret (MR4335) et se situe au même niveau stratigraphique, recoupant la dernière phase observable du SFO19. Ces deux ruptures évoquent des aménagements de franchissement.

SFO21 :

FO3184 :

3184 : limon argileux gris beige et charbons erratiques

3185 : creusement

FO3715 :

3715 : limon argileux gris beige

3716 : creusement

FO4461 :
4461 : limon beige blanchi
4462 : limon argileux beige blanchi et charbons erratiques
4463 : creusement
FO4641 :
4661 : limon beige blanchi
4641 : limon argileux beige blanchi
4642 : creusement

MR4335 : fondation empierrée
4335 : petits blocs de meulière anguleux abondants et limon argileux beige
4336 : creusement
FS4337 :
4337 : limon argileux beige blanchi
4415 : limon argileux gris-brun bariolé rouille
4338 : creusement

ENS	FAIT	% fouil.	Nombre de Restes céramique			NR F A U N E	NR métal		Terre rubéfiées en grammes		Pier-res chauffées	scories en gram.	NR lithique taillé	NR lithique autres	REMARQUES (métaux/rubéfiée/lithiques autres ; pour céramique, faune et lithique taillé voir études spécifiques)	TPQ	TAQ
			M O D	T O U R	Teg. imbr.		cui- reux	fer- reux	frag. soles/ indét.	tor- chis							
SFO 21	MR 4335 FS 4337	100			2										Recoupe SFO19	fler	BE
	FO 4461	sd	1								40				Recoupe SFO19	fler	
	TOT SFO21	1		2							40						

Tableau 99 : Mobilier et datation du SFO21.

7.7.8 SFO22

Le SFO22 a été suivi au diagnostic et à la fouille sur sa longueur totale de 27 m. De direction SSO/NNE, il oscille légèrement sur un axe orienté à 3,7° E du Nord cartographique Lambert 1 (à 1/10 degré près). Il est parallèle au SFO16, duquel il est distant d'environ 12 m au niveau du décapage (5 à 10 cm sous la semelle de labours). Il est synchrone avec le fossé 2023. Aucun recoupement n'est visible à son croisement avec SFO15, les deux remplissages étant semblables et la profondeur concordante (env. 81,80 m N.G.F.). L'absence de sondage le long du segment ne permet pas d'appréhender l'existence d'un pendage. Le SFO22 s'arrête sur le SFO19. Il est au moins antérieur à la phase B du SFO19 qui le recoupe (Us4466). Il se situe dans le prolongement d'un rétrécissement ponctuel en largeur du SFO19, qui correspond également à une réduction appendiculaire du SFO20. À son extrémité nord, il forme un angle à appendice d'environ 90° avec le fossé 2023.

SFO22 :
FO4079 :

4079 : limon argileux gris, pierres chauffées erratiques
4080 : creusement

7.7.9 FO4102 (Pl. 30 à 32)

Le fossé 4102 représente un doublement du FO4145 (SFO19) phase C (4102=4653) au niveau du sondage A. Le segment FO4102 est comblé par les mêmes Us que le FO4145 phase C (4470 et 4101). Il remplace peut-être le tronçon de fossé antérieur FO4147. Il a été suivi sur environ 23 m dans les sondages. Il présente une largeur d'environ 1 m au niveau de la semelle de labours et une profondeur d'1,15 m sous le sommet des labours.

FO4101 :

4101 : argile limoneuse gris clair bariolée

4470 : limon argileux gris, cailloutis abondant, nodules loessiques épars et galets

4102 : creusement

7.7.10 FO4147 (Pl. 31)

Le fossé 4147 représente probablement un doublement du FO4145 (SFO19) phase D (4148=4472 ?) au niveau du sondage A. Il est antérieur au FO4102. Il a été suivi sur environ 20 m dans les sondages. Il présente une largeur d'environ 1,5 m au niveau de la semelle de labours et une profondeur maximale de 1,35 m sous le sommet des labours.

Son profil dans le sondage A coupe ouest évoque un poteau. L'Us4476 pourrait représenter le calage et l'Us4477 le négatif ? Il pourrait éventuellement s'agir d'un aménagement palissadé.

FO4147 :

4147 : limon argileux gris brun blanchi

4476 : limon argileux gris bleuté

4477 : limon argileux brun gris bariolé

4148 : creusement

7.7.11 FS3180 (Pl. 27)

À l'extrémité ouest du SFO20, en limite de décapage, l'excavation FS3180 a été vue sur 7,2 m de longueur et 3,5 m de large au niveau du décapage. De forme irrégulière à profil arrondi, elle atteint 0,75 m sous le sommet des labours. Elle est accolée au SFO20 et comporte deux phases respectivement synchrones avec les deux phases du fossé 3862/3899 du SFO20. Elle présente un remplissage de couches hydromorphes. Il est possible qu'elle soit liée à un aménagement de passage au-dessus des SFO20 et 19.

FS3180 :

3180 : limon argileux gris bariolé, nodules calcaires erratiques = 3878

3863 : limon argileux brun en petites mottes, liseré de creusement = 3879

3864 : limon argileux brun gris clair, nodules calcaires et loessiques épars = 3862

3922 : limon argileux brun ocre = 3100

3181 : creusement = 3861

7.7.12 FS3204 (Pl. 27-28)

Dans la Zone 3, l'excavation FS3204 a été vue sur 9 m de longueur et 6 m de large au niveau du décapage. En forme de demi-cercle à profil arrondi à fond plat, elle atteint 1,5 m sous le sommet des labours. Elle est accolée au SFO19 et comporte deux phases respectivement synchrones avec les phases A et B du fossé 3011 du SFO19. Elle présente un remplissage de couches hydromorphes. Il semble qu'elle soit liée à un aménagement de passage au-dessus du SFO 19.

FS3204 :

3204 : limon argileux gris bariolé lie-de-vin = 3011

3883 : liseré de charbons = 3924

3302 : creusement = 3868

3884 : argile limoneuse gris bleuté

3915 : argile limoneuse gris brun et cailloutis épars

3205 : creusement = 3871 ?

7.7.13 FS3224 (Pl. 29)

Dans la Zone 3, l'excavation FS3224 a été vue sur 13 m de longueur et 8 m de large au niveau du décapage. En forme de demi-cercle à profil arrondi à fond plat, elle atteint 1,2 m sous le sommet des labours. Elle est accolée au SFO19 et comporte deux phases respectivement synchrones avec les phases A et B du fossé 3011 du SFO19. Elle présente un remplissage de couches hydromorphes. À l'instar de la FS3204, distante d'une vingtaine de mètres vers l'ouest, il semble qu'elle soit liée à un aménagement de passage au-dessus du SFO 19.

FS3224 :

3224 : limon argileux gris bariolé lie-de-vin= 3011
3928 : liseré de charbons= 3924
3932 : creusement= 3868
3929 : argile limoneuse gris bleuté
3930-3931 : limon argileux brun à brun-orangé
3225 : creusement = 3871 ?

7.7.14 FS3519 (Pl. 29)

Dans la Zone 3, l'excavation FS3519 a été vue sur 9 m de longueur et 7 m de large au niveau du décapage. En forme de demi-cercle à profil évasé à fond plat, elle atteint 0,7 m sous le sommet des labours. Elle est accolée au SFO20 et comporte deux phases respectivement synchrones avec les phases A et B du SFO20. Elle présente un remplissage de couches hydromorphes et de remblais loessiques. Il semble qu'elle soit liée à un aménagement de passage au-dessus des SFO 19 et 20.

FS3519 :

3519 : limon argileux brun gris, nodules loessiques et calcaires épars = 3249
3487 : limon argileux gris bariolé = 3450
3753 : limon argileux brun gris orangé bariolé = 3446
3491 : creusement = 3452
3490 : limon argileux jaune et cailloutis épars = 3943
3454 : limon argileux gris foncé, nodules loessiques et calcaires erratiques; escargots lacustres erratiques = 3940
3520 : creusement = 3939

7.7.15 FS3888 (Pl. 29)

Dans la Zone 3, l'excavation FS3888 a été vue sur 4 m de longueur et 2 m de large au niveau du décapage. Oblongue à profil arrondi, elle atteint 0,7 m sous le sommet des labours. Elle est synchrone avec la phase D du SFO19. Elle présente un remplissage de couches hydromorphes. Elle recoupe la FS3519 du SFO20. Il semble qu'elle soit liée à un aménagement de passage au-dessus du SFO 19.

FS3888 :

3304 : limon argileux gris clair
3888 : sédiment noir mottes de terre rubéfiée erratiques = 3935
3944 : limon argileux brun, cailloutis abondant, charbons erratiques et mottes de terre rubéfiée erratiques
3945 : limon argileux brun et cailloutis erratique
3946 : creusement = 3874

7.7.16 FS4405 (Pl. 32-33)

Dans la Zone 4, l'excavation FS4405 a été vue sur 11,5 m de longueur et 4,5 m de large au niveau du décapage. En forme de demi-cercle à profil arrondi, elle atteint 1,35 m sous le sommet des labours. Elle est accolée au SFO19 et est synchrone avec la phase C du SFO19. Elle présente un remplissage de couches hydromorphes. Elle recoupe le SFO20. Avec la FS4643, située 9 m vers l'est au niveau du décapage, il est probable qu'elle soit liée à un aménagement de passage au-dessus du SFO 19.

FS4405 :

4405 : argile limoneuse gris clair
4647 : argile gris bleuté
4097 : argile gris violacé
4659 : creusement
4098 : limon argileux gris brun
4127 : sédiment noir
4128 : limon argileux gris bariolé rouille
4658 : limon argileux gris et jaune en mottes
4406 : creusement

7.7.17 FS4636 (Pl. 32)

Dans la Zone 4, la FS4636 mesure 3 m de longueur et 1,6 m de large au niveau du décapage. Oblongue à profil évasé, elle atteint 1,5 m sous le sommet des labours. Elle semble être synchrone avec le SFO19 dont le bord nord présente un enfoncement permettant de l'éviter. Cet effet « d'évitement » subsiste pendant les 6 phases du SFO, attestant de la contemporanéité des deux structures et pouvant supposer l'antériorité d'apparition de la FS4636. La fosse 4636 présente un premier remplissage de remblais loessiques puis une phase de comblement hydromorphe. Sa fonction demeure inconnue. Aucun élément ne permet d'émettre l'hypothèse de sa relation avec un aménagement de franchissement, ni de son fonctionnement en relation directe avec le fossé.

FS4636 :

4636 : limon argileux gris bariolé

4638 : Loess et limon argileux orangé

4639 : limon argileux brun orangé et mottes grises

4640 : limon argileux gris

4637 : creusement

7.7.18 FS4643 (Pl. 33)

Dans la Zone 4, en limite est du décapage, l'excavation FS4643 a été suivie sur 2,8 m de longueur et 2 m de large au niveau du décapage. Probablement en forme de demi-cercle à profil évasé, elle atteint 1,25 m sous le sommet des labours. Elle est accolée au SFO19 et est synchrone avec la phase C du SFO19. Elle présente un remplissage de couches hydromorphes. Elle recoupe le SFO20. Avec la FS4405, située 9 m vers l'ouest au niveau du décapage, il est probable qu'elle soit liée à un aménagement de passage au-dessus du SFO 19.

FS4643 :

4664 : argile limoneuse gris clair

4665 : creusement

4508 : sédiment noir mottes de terre rubéfiée erratiques

4509 : limon argileux gris bariolé

4643 : creusement

7.8 Mare 3693 : moderne à antérieure

(Pl. 35)

Dans la Zone 3, en limite nord du décapage, l'excavation FS3693 est recoupée par les fossés modernes à contemporains FO3389 et FO3691. Son comblement n'a livré aucun mobilier dans le sondage réalisé à la pelle mécanique. Ses comblements hydromorphes et ses dimensions semblent indiquer une fonction en tant que mare.

Phase	n° Us	description	nature	mobilier détritique				Forme Profil	prf. obs.	dia. ma. ob.
				cér.	fau.	TC	PC			
Labours/terre végétale									40/50	
1	3693	limon argileux gris brun et pierres éparses						circulaire évasé à tronconique	130	650
	3707	limon argileux brun gris et nodules calcaires								
	3708	limon argileux brun gris bariolé								
	3724	limon argileux gris et pierres erratiques								
	3729	limon argileux gris lessivé								
	3726	limon argileux gris foncé et cailloux épars								
	3734	limon argileux gris								
	3730	creusement	C							
2	3742	limon argileux gris bariolé et litages de petites pierres						circulaire évasé	160	550
	3744	limon argileux gris								
	3694	creusement	C							

Légende : voir Fig. 1 p. 14.

Tableau 100 : diagramme stratigraphique descriptif de la mare FS3693.

7.9 Moderne à contemporain

7.9.1 Systèmes fossoyés et parcellaire napoléonien

Dans la partie nord du décapage, les SFO14, 23, 24, 25 et le FO4409 ont livré du mobilier moderne à contemporain et sont synchrones, formant un réseau fossoyé. Ils correspondent à des limites parcellaires figurées sur le Cadastre napoléonien de la première moitié du XIXe siècle. Ils n'apparaissent pas sur les clichés aériens de 1956.

Le SFO28 semble correspondre au fossé bordier de l'ancien chemin reliant Lieusaint à Combs-la-Ville, remplacé aujourd'hui par le Boulevard de l'Europe.

ENS	FAIT	% fouil.	Nombre de Restes céramique			NR F A U N E	NR métal		Terre rubéfiée en grammes		Pier-res cha uf-fées	scories en gram.	NR lithique taillé	NR lithique autres	REMARQUES (métaux/rubéfiée/lithiques autres ; pour céramique, faune et lithique taillé voir études spécifiques)	TPQ	TAQ
			M O D	T O U R	Teg. imbr.		cuiv-reux	fer-reux	frag. soles/indét.	tor-chis							
SFO14	FO3389	sd	3			50				50							
SFO23	FO3233	sd															
SFO24	FO3691 FO2025	sd	15	25		50							1	Us3691 : -1 frag de bracelet circulaire néolithique en schiste gris foncé, épaisseur de 6 mm.		18e	20e
SFO25	FO4109	décap															

Tableau 101 : Mobilier et datation du réseau fossoyé moderne à contemporain.

7.9.1.1 SFO14 : FO3389

Le fossé 3389 suit un axe ONO/ESE orienté à 92,5° E du Nord cartographique Lambert 1 (à 1/4 de degré près). Il présente une seule phase visible. Suivi sur 77 m, il recoupe la FS3693 et est synchrones avec le SFO24. Son pendage est incertain

: fond à 81,30 m N.G.F. dans le tiers O, à 81,35/40 m N.G.F. dans le tiers central et à 81,30/35 m N.G.F. dans le tiers E. Il atteint environ 90 cm de profondeur sous le sommet des labours (à env. 82,2 m N.G.F.) et présente un profil évasé à tronconique inversé et un remplissage de limon argileux gris. Il mesure environ 0,5 m à 1,4 m de large au niveau du décapage (environ 5 à 10 cm sous la semelle de labours).

Il est parallèle au SFO23 à 1/4 de degré près, à environ 9,5 m plus au nord au niveau du décapage (5 à 10 cm sous la semelle de labours).

7.9.1.2 SFO23 : FO3233

Le fossé 3233 suit une direction ONO/ESE selon un axe orienté à 92,1°E du Nord cartographique Lambert 1 (à 1/4 de degré près). Il a été suivi sur 83 m à une profondeur constante de 81,85/81,90 m N.G.F., à environ 140 cm sous le sommet des labours. À son extrémité ESE, il forme un angle à environ 80° avec le SFO synchrone n° 24 en direction du NNO. Il correspond à une limite parcellaire figurée sur le Cadastre napoléonien. Il est parallèle au SFO14 à 1/4 de degré près, à environ 9,5 m plus au sud au niveau du décapage (5 à 10 cm sous la semelle de labours). Il présente un profil évasé et comporte plusieurs phases de recusement et des comblements hydromorphes. Sa stratigraphie est similaire au FO3691 (voir *infra*).

7.9.1.3 SFO24 : FO3691 (Pl. 35)

Le fossé 3691 suit une direction NNO/SSE selon un axe orienté à 9° O du Nord cartographique Lambert 1 (à 1/4 de degré près). Il a été suivi sur 28,5 m à une profondeur constante de 81,85/81,90 m N.G.F., à environ 140 cm sous le sommet des labours. À son extrémité SSE, il forme un angle à environ 80° avec le SFO synchrone n° 23 en direction de l'ONO. Il correspond à une limite parcellaire figurée sur le Cadastre napoléonien. Il est synchrone avec les SFO25 et 14 et il recoupe la FS3693. Il présente un profil évasé et comporte plusieurs phases de recusement et des comblements hydromorphes couronnés par une phase de remblai de nivellement.

Phase	n° Us	description	nature	mobilier détritique				Profil	prf. obs.	larg ma.
				cér.	fau.	TC	PC			
Labours/terre végétale								40/50		
1	3691	limon argileux brun						en « V » à paliers	115	320
	3046	limon argileux gris		x	x					
	3057	creusement	C							
2	3059	limon argileux gris et pierres éparées						en « V » à paliers	125	?
	3069	limon argileux gris		x						
	3733	creusement	C							
3	3065	limon argileux gris et pierres éparées						en « V » à paliers	140	?
	3105	limon argileux gris blanchi								
	3079	limon argileux gris clair		x						
	3692	creusement	C							

Légende : voir Fig. 1 p. 14.

Tableau 102 : diagramme stratigraphique descriptif du SFO24.

7.9.1.4 SFO25

Le SFO25 se compose des tronçons FO3695, FO4081, FO4095 et FO4109. Il a été suivi sur 78,5 m de long et mesure de 50 cm à 90 cm de largeur au niveau du décapage pour environ 90 cm de profondeur sous le sommet des labours (pas de pendage régulier observable, fond à environ 81,60 m N.G.F.). Il présente un profil évasé et un remplissage de limon argileux gris. Apparemment ininterrompu, il a été artificiellement sectionné en deux endroits au cours du décapage. Il est synchrone avec les FO4409 et le SFO24 et recoupe les SFO16 et 22. Le segment compris entre le SFO16 et le FO4409, de 42 m de long environ, suit une direction O/E selon un axe orienté plein est à 89,75° E du Nord cartographique Lambert 1 (à 1/4 de degré près). Le segment compris entre le FO4409 et l'angle nord-est de l'emprise, de 36,5 m de long, suit une direction OSO/ENE selon un axe orienté à 84,75° E du Nord cartographique Lambert 1 (à 1/4 de degré près). Le point de changement de direction du SFO25 se situe à la jonction avec le FO4409, parallèle au SFO24. Le SFO25 semble correspondre à une limite parcellaire figurée sur le Cadastre napoléonien.

7.9.1.5 FO4409

Le petit fossé 4409 est synchrone avec le SFO25. Il a été suivi sur 5 m de longueur pour 0,35 m de large au niveau du décapage, il n'a pas été sondé. En surface, il présente un remplissage de limon argileux gris.

7.9.1.6 SFO28

Sur le bord ouest de la fouille, le SFO28 se compose des tronçons FO3003, FO3447 et FO3461. Il présente un remplissage supérieur de terre végétale couronnée par des remblais contenant du plastique et du mâchefer. Il a été suivi sur 70 m de longueur pour une largeur d'environ 0,6 m au niveau de la base inférieure des labours. Il présente un profil évasé et une profondeur d'environ 0,5 m à 0,6 m sous le sommet de la terre végétale. Il possède une courbure vers l'est et suit un axe approximatif vers le NNO.

7.9.2 Fosses contemporaines

Dans le quart nord-ouest du décapage, plusieurs excavations circulaires à oblongues de grandes tailles recoupent en partie les fossés modernes à contemporains. Elles mesurent entre 6 m à 10 m de diamètre maximum au niveau du décapage. Elles n'ont pas été sondées. Leurs remplissages supérieurs, composés de remblais hétérogènes et détritiques, ont livré un abondant mobilier contemporain : fer, verre, plastique, mâchefer... Elles pourraient correspondre à des cônes d'essouchage remblayés avec des détritiques et des déblais.

7.10 Structures remarquables non-datées

7.10.1 Bâtiments sur poteaux plantés

7.10.1.1 BAT03 (Pl. 36)

Dans la Zone 3, le bâtiment n° 3 se compose de 4 poteaux (diamètres d'environ 55 cm à 65 cm, et probables négatifs d'un diamètre d'environ 40/45 cm). Il mesure approximativement 4,6 m par 2,25 m, soit 10 m² environ (dimensions moyennes orthométriques arrondies calculées par rapport aux centres d'ancrage supposés des poteaux). De forme rectangulaire, il suit un axe longitudinal ONO/ESE, incliné à environ 48° E du Nord cartographique Lambert 1 (à 1/2 degré près). Il présente la même inclinaison que le BAT02. Il est possible que la FS3347, située dans sa partie centrale interne, soit liée au fonctionnement du bâtiment.

Fait	n° Us	description	nature	mobilier détritique				Forme Profil	dia. ma. ob.	pro. esti.	mor pho .
				cér.	fau.	TC	PC				
Labours/terre végétale, surdécapage									65		
PO3339	3339	limon argileux gris : négatif ?						circulaire cylindrique	60	75	
	3814	limon argileux gris foncé									
	3340	creusement	C								
PO3341	3341	limon argileux gris : négatif ?						circulaire cylindrique	65	75	
	3815	limon argileux gris clair									
	3342	creusement	C								
PO3343	3343	limon argileux gris : négatif						circulaire cylindrique	70	80	
	3813	limon argileux gris clair									
	3344	creusement	C								
PO3345	3345	limon argileux gris : négatif						circulaire cylindrique	75	75	
	3809	limon argileux gris clair									
	3346	creusement	C								

Légende : voir Fig. 1 p. 14.

Tableau 103 : Présentation stratigraphique descriptive du BAT03.

7.10.1.2 BAT06 (Pl. 36)

Dans la Zone 4, le bâtiment n° 6 se compose de 6 poteaux organisés en deux séries parallèles de trois trous de poteau à espacements réguliers. Les trous de poteau sont représentés par des négatifs simples (diam. approx. 30 cm). Le BAT06 est rectangulaire, mesurant approximativement 2,95 m par 2,65 m, soit environ 7,5 m² (dimensions moyennes orthométriques arrondies calculées par rapport aux centres d'ancrage supposés des poteaux). Il suit un axe longitudinal SSO/NNE incliné à environ 13° E du Nord cartographique Lambert 1 (à 1/2 degré près). Les "pans ouverts" orthogonaux sont orientés selon un axe ONO/ESE.

Fait	n° Us	description	nature	mobilier détritique				Forme Profil	dia. ma. ob.	pro. esti.	mor. pho .
				cér.	fau.	TC	PC				
Labours/terre végétale, surdécapage									60		
PO4343	4343	limon argileux gris clair						circulaire cylindrique	35	75	pan NNE
	4344	creusement	C	x							
PO4345	4345	limon argileux gris clair						circulaire cylindrique	30	90	
	4346	creusement	C								
PO4431	4431	limon argileux gris						circulaire évasé	30	75	
	4432	creusement	C								
PO4429	4429	limon argileux gris						circulaire évasé	30	80	
	4430	creusement	C								
PO4349	4349	limon argileux gris clair						circulaire cylindrique	25	80	pan SSO
	4350	creusement	C								
PO4347	4347	limon argileux gris clair						circulaire cylindrique	30	75	
	4348	creusement	C								

Légende : voir Fig. 1 p. 14.

Tableau 104 : Présentation stratigraphique descriptive du BAT06.

ENS	FAIT	% fouil.	Nombre de Restes céramique			NR F A U N E	NR métal		Terre rubéfiées en grammes		Pier-res chaufées	scories en gram.	NR lithique taillé	NR lithique autres	REMARQUES (métaux/rubéfiée/lithiques autres ; pour céramique, faune et lithique taillé voir études spécifiques)	TPQ	TAQ
			M O D	T O U R	Teg. imbr.		cuv-reux	fer-reux	frag. soles/indét.	tor-chis							
BAT 06	PO 4343	100	1													N /pro	

Tableau 105 : Mobilier et datation du BAT06.

7.10.1.3 BAT07 (Pl. 37)

Dans la Zone 4, le bâtiment n° 7 se compose de 9 poteaux. Les trous de poteau sont représentés par des négatifs simples (diam. approx. 25/35 cm). Le BAT07 est rectangulaire, mesurant approximativement 4,95 m par 3,3 m, soit environ 16 m² (dimensions moyennes orthométriques arrondies calculées par rapport aux centres d'ancrage supposés des poteaux). Il suit un axe longitudinal NNO/SSE incliné à environ 2,5° O du Nord cartographique Lambert 1 (à 1/2 degré près). Il se compose de trois alignements symétriques parallèles non équidistants. Le pan NNO se situe à 2,4 m de la rangée centrale et le pan SSE à 2,55 m environ ; le pan OSO se situe à 1,7 m de la rangée centrale et le pan ENE à 1,6 m environ. Cela conduit à un espacement différencié des poteaux.

Fait	n° Us	description	nature	mobilier détritique				Forme Profil	dia. ma. ob.	pro. esti.	mor pho .	
				cér.	fau.	TC	PC					
Labours/terre végétale, surdécapage									70/75			
PO4435	4435	limon argileux gris						circulaire cylindrique	50	85	pan OSO	
	4436	creusement	C									
PO4091	4091	limon argileux gris						circulaire cylindrique/arrondi	35	85		
	4092	creusement	C									
PO4433	4433	limon argileux gris						circulaire cylindrique	60	85		
	4434	creusement	C									
PO4437	4437	limon argileux gris						circulaire cylindrique	45	80		tra- vée cent- rale
	4438	creusement	C									
PO4629	4629	limon argileux gris						circulaire cylindrique	35	85		
	4630	creusement	C									
PO4441	4441	limon argileux gris						circulaire cylindrique	30	80		
	4442	creusement	C									
PO4439	4439	limon argileux gris						circulaire évasé	35	85		
	4430	creusement	C									
PO4627	4627	limon argileux gris						circulaire cylindrique	40	85	pan ENE	
	4628	creusement	C									
PO4443	4443	limon argileux gris						circulaire cylindrique	30	85		
	4444	creusement	C									

Légende : voir Fig. 1 p. 14.

Tableau 106 : Présentation stratigraphique descriptive du BAT07.

7.10.1.4 BAT11 (Pl. 37)

En limite nord du décapage de la Zone 3, 3 poteaux formant des axes orthogonaux ont été mis au jour. Le quatrième poteau supposé se situerait hors emprise. Le BAT11 se compose de négatifs "simples" (diamètres d'environ 35 cm). Il serait rectangulaire, mesurant approximativement 2,95 m par 2,45 m, soit environ 7 m² (dimensions moyennes orthométriques arrondies calculées par rapport aux centres d'ancrage supposés des poteaux). Il suit un axe longitudinal supposé SO/NE, incliné à environ 15° E du Nord cartographique Lambert 1 (à 1/2 degré près).

Fait	n° Us	description	nature	mobilier détritique				Forme Profil	dia. ma. ob.	pro. esti.	mor pho .
				cér.	fau.	TC	PC				
Labours/terre végétale, surdécapage									65		
PO3649	3649	limon argileux gris						circulaire cylindrique	35	75	
	3650	creusement	C								
PO3651	3651	limon argileux gris						circulaire cylindrique	40	85	
	3652	creusement	C								
PO3653	3653	limon argileux gris						circulaire cylindrique	40	75	
	3654	creusement	C								

Légende : voir Fig. 1 p. 14.

Tableau 107 : Présentation stratigraphique descriptive du BAT11.

7.10.2 Fosses Hallstatt final/Protohistoriques à postérieures

Plusieurs fosses ont livré des tessons de céramique non-tournée en faible quantité et non-diagnostics d'une période donnée, pouvant être intrusifs, ou sont recoupées par des structures protohistoriques. Ces fosses sont peut-être à mettre en relation avec l'occupation Hallstatt final et/ou l'habitat laténien final/gallo-romain précoce.

7.10.2.1 FS3457

Située à proximité des fosses Hallstatt final FS3080 et FS3082, la fosse FS3457 mesure 0,9 m par 0,8 m pour 1,25 m de profondeur sous le sommet des labours. De forme oblongue et de profil cylindrique à évasé, elle présente un remplissage supérieur de limon argileux gris avec charbons épars couronnant une phase de remblai par des limons argileux bruns. De même morphologie que certaines fosses Hallstatt final, elle a livré 8 tessons modelés de pâtes similaires à l'ensemble céramique Hallstatt final mis au jour sur le Lot C1.

ENS	FAIT	% fouil.	Nombre de Restes céramique			NR F A U N E	NR métal		Terre rubéfiées en grammes		Pier-res chauffées	scories en gram.	NR lithique taillé	NR lithique autres	REMARQUES (métaux/rubéfiée/lithiques autres ; pour céramique, faune et lithique taillé voir études spécifiques)	TPQ	TAQ
			M O D	T O U R	Teg. imbr.		cuiv-reux	fer-reux	frag-soles/indét.	tor-chis							
	FS 3457	100	8													HF	

Tableau 108 : Mobilier et datation de la FS3457.

7.10.2.2 FS3569 (Pl. 15)

Juxtant la fosse Hallstatt final FS3567, la fosse FS3569 mesure 1 m par 0,7 m pour 0,6 m de profondeur sous le sommet des labours. De forme oblongue et de profil cylindrique à fond plat, elle présente un remplissage de sédiment cendro-charbonneux contenant du mobilier détritique. De même morphologie que certaines fosses Hallstatt final, elle a livré 8 tessons modelés indéterminés ainsi qu'un fragment de polissoir.

ENS	FAIT	% fouil.	Nombre de Restes céramique			NR F A U N E	NR métal		Terre rubéfiées en grammes		Pier-res chauffées	scories en gram.	NR lithique taillé	NR lithique autres	REMARQUES (métaux/rubéfiée/lithiques autres ; pour céramique, faune et lithique taillé voir études spécifiques)	TPQ	TAQ
			M O D	T O U R	Teg. imbr.		cuiv-reux	fer-reux	frag-soles/indét.	tor-chis							
	FS 3569	100	8					80					1	Us3569 : -1 frag. de "polissoir" en grès, 70x60, 28 mm d'épaisseur, bord absent, poli sur une face	N/pro		

Tableau 109 : Mobilier et datation de la FS3569.

7.10.2.3 FS3571 (Pl. 15)

La fosse FS3571 recoupe la fosse Hallstatt final FS3567. Elle mesure 1,6 m par 1,1 m pour 1,1 m de profondeur sous le sommet des labours. De forme oblongue et de profil évasé, elle présente un remplissage de limon argileux gris couronnant une phase de remblai avec des sédiments loessiques. De morphologie comparable avec certaines fosses Hallstatt final, elle n'a livré aucun élément mobilier.

7.10.2.4 FS3687

En limite nord du décapage de la Zone 3, la fosse partiellement décapée FS3687 a livré 6 tessons modelés de pâtes similaires à l'ensemble céramique Hallstatt final mis au jour sur le Lot C1. Elle a été décapée sur 3 m de longueur pour une largeur d'1 m. Elle n'a pas été sondée. De forme apparemment oblongue, elle présente en surface un remplissage de limon grileux gris contenant des éléments de vidange de combustion.

ENS	FAIT	% fouil.	Nombre de Restes céramique			NR F A U N E	NR métal		Terre rubéfiées en grammes		Pier-res chaufées	scories en gram.	NR lithique taillé	NR lithique autres	REMARQUES (métaux/rubéfiée/lithiques autres ; pour céramique, faune et lithique taillé voir études spécifiques)	TPQ	TAQ
			M O D	T O U R	Teg. imbr.		cui- reux	fer- reux	frag. soles/ indét.	tor- chis							
	FS 3687	déc- ap.	6						x							HF	

Tableau 110 : Mobilier et datation de la FS3687.

7.10.2.5 ST2079

Dans la partie sud de la Zone 3, à proximité de la fosse Hallstatt final ST2080, la fosse ST2079 a été décapée pendant les phases de Diagnostic et d'Évaluation (Boulenger 2001). Elle a disparu lors de la phase de nettoyage de la tranchée à la pelle mécanique pendant la fouille. Elle a livré 6 tessons modelés de pâtes similaires à l'ensemble céramique Hallstatt final mis au jour sur le Lot C1. Les dimensions relevées sont celles d'une fosse circulaire d'1,6 m de diamètre environ contenant un remplissage de limon gris mélangé à des éléments détritiques et de vidange de combustion. Sa profondeur n'excède pas 0,9 m sous le sommet des labours.

ENS	FAIT	% fouil.	Nombre de Restes céramique			NR F A U N E	NR métal		Terre rubéfiées en grammes		Pier-res chaufées	scories en gram.	NR lithique taillé	NR lithique autres	REMARQUES (métaux/rubéfiée/lithiques autres ; pour céramique, faune et lithique taillé voir études spécifiques)	TPQ	TAQ
			M O D	T O U R	Teg. imbr.		cui- reux	fer- reux	frag. soles/ indét.	tor- chis							
	ST 2079	diag.	8													HF	

Tableau 111 : Mobilier et datation de la ST2079.

8 RÉSULTATS ET PERSPECTIVES

8.1 Occupation Hallstatt final (VIe s. av. J.-C.)

8.1.1 Fosses utilitaires et stockage de denrées (Pl. 18 et 39)

La fouille du Lot C1 a permis de mettre au jour 16 fosses complexes, 1 ensemble de fosses se recoupant (FOS13) et 17 fosses simples datables du Hallstatt final (VIe s. av. J.-C.), d'après les restes céramiques fragmentaires contenus dans leurs remplissages. Les fosses dites « complexes » se distinguent des fosses dites « simples » par l'existence de plusieurs phases de creusement et de réaménagement par remblai. La presque totalité de ces fosses contiennent des couches cendro-charbonneuses à hydromorphes recélant des rejets domestiques céramiques associés à des fragments fauniques de consommation (voir Bémilli *infra*), à des vidanges de foyers (charbons de bois, pierres chauffées, fragments de soles, terre rubéfiée) et à quelques éléments lithiques taillés (voir Durand *infra*). Certaines présentent des altérations hydromorphes des parois ou des surfaces indurées de « piétinement », traduisant une fonction utilitaire avant leur curage partiel et leur remblai par des sédiments détritiques et/ou loessiques.

Les fosses sont taillées dans le Loess semi-imperméable. Dans la moitié nord de l'emprise, elles s'arrêtent au niveau supérieur des argiles à meulière et du cailloutis qui constituent le plancher des nappes perchées temporaires. Elles sont réparties sur l'ensemble du décapage, mais semblent toutefois se concentrer sur la faible rupture de pente marquant la transition entre le lit du ru et la couverture limoneuse loessique du plateau. Leurs contenus étaient donc soumis à une humidité faible mais récurrente, due aux imbibitions saisonnières des sols loessiques micro-poreux, principalement pendant la période hivernale. Elles bénéficiaient cependant également d'un drainage naturel des eaux résiduelles de surface, dû à la présence du ru en léger contrebas.

À l'exception de la FS3713 (Pl. 16), elles présentent des contours circulaires à oblongs et des profils cylindriques, évasés, arrondis ou tronconiques et des fonds rectilignes ou arrondis et plats ou inclinés. Les formes tronconiques présentent des variantes piriformes et arrondies. Les formes piriformes résultent en partie de l'effondrement de la base des parois causé par l'humidité. La destruction de la partie supérieure des fosses par les labours, sur environ 0,4 m de profondeur ne permet qu'une approche partielle de la morphologie des fosses. Certains profils évasés ou arrondis pourraient correspondre à des formes cylindriques ou tronconiques tronquées (notamment les formes arrondies/cylindriques basses : profondeur < diamètre maximum). Elles présentent des profondeurs comprises entre 0,55 m et 1,35 m depuis le sommet des labours. Leurs diamètres maxima et d'ouverture à la base des labours s'échelonnent entre 0,75 m et 2,5 m. Les formes cylindriques hautes (profondeur ≥ diamètre) constituent les plus petits gabarits (au maximum 1,25 m de profondeur pour 1,25 m de diamètre maximum). Les formes tronconiques constituent les volumes les plus importants (au maximum 1,35 m de profondeur pour 2,2 m de diamètre maximum). Les volumes de contenance estimés de ces fosses s'échelonnent entre 0,25 à 0,3 m³, pour les fosses cylindriques les plus petites, et 3,5 à 4 m³, pour les fosses tronconiques les plus grandes (Pl. 18). Les fosses simples, ne présentant qu'une seule phase de creusement observable, semblent ne comprendre presque exclusivement que des formes cylindriques hautes et des formes évasées. Elles sont semblables aux fosses complexes ne comprenant que deux phases observables et aux dernières phases des fosses complexes comprenant plus de deux phases. Les formes tronconiques paraissent réservées aux premières phases visibles (3 & 4) des fosses complexes comprenant plus de deux phases. Les fosses complexes se caractérisent par une succession de phases composées chacune d'un creusement, d'une ou plusieurs couches hydromorphes et/ou cendro-charbonneuses détritiques puis d'un remblai par des limons loessiques stériles ou pauvres en mobilier. Les phases terminales des fosses complexes, semblables aux fosses simples, sont presque toujours exclusivement constituées de sédiments cendro-charbonneux détritiques. Des effets de « pourrissement » hydromorphe du Loess encaissant sont visibles sur les parois de la plupart des fosses simples et complexes². Ils ne résultent pas des remplissages postérieurs loessiques et détritiques. Ils sont probablement dus au contenu humide originel ou à l'inondation partielle avant curage, comme tend à le montrer la présence de couches hydromorphes sur le fond de la plupart des fosses. Des effets de piétinement sont visibles sur le fond de plusieurs creusements³.

Les phases supérieures des fosses complexes sont recreusées dans l'état antérieur après remblai de celui-ci par des limons argileux loessiques. Cette pratique traduit une volonté de réaménagement et de réutilisation du creusement antérieur et permet de stabiliser des parois pouvant être fragilisées par l'humidité ou le prélèvement du contenu antérieur. Ces pratiques sont bien connues dans l'entretien des fossés, gallo-romains notamment, où un curage et le remblai avec des

² Blanchiment et bariolage des limons encaissants. Particulièrement bien lisible sur les parois des fosses FC3287 (Pl. 13), FS3194 (Pl. 14), FS3333 (Pl. 15) et FS4015 (Pl. 17).

³ Fine couche indurée sur le fond du creusement : FC3017 (Pl. 05), FC4023 (Pl. 10), FC4283 (Pl. 12).

sédiments issus des sols encaissants précèdent un recreusement de la limite fossoyée au même endroit (voir SFO26 *infra* ; Desrayaud « en cours »). Ce mode d'utilisation des fosses traduit la décision, contrainte ou volontaire, de réutiliser plusieurs fois le même espace dévolu à la fosse initiale. Recreuser une nouvelle fosse sur un sol vierge représente un effort moindre, et le hasard ne peut raisonnablement pas être évoqué. Ces « contraintes » spatiales peuvent être d'ordre naturel ou anthropique (présence d'arbres ou d'autres installations...), socio-économique (répartition des lopins de terre...), voire socio-religieux ou « superstiteux »⁴.

L'omniprésence de couches détritiques de type vidange de foyer et l'abondance des éléments fragmentaires de mobilier issu d'une consommation domestique (céramiques de stockage, céramiques de préparation/service, fusaioles et peson de tisserand, faune consommée, fragments de soles, pierres chauffées et éléments lithiques taillés) indiquent la probable présence de zones ou tas de rebut à proximité des fosses. À l'inverse, l'omniprésence de couches loessiques, presque toujours stériles, indiquent l'extraction de limons argileux encaissants au coup par coup et/ou le stockage des déblais issus du creusement initial des fosses dans les sols vierges, dans des endroits distincts des zones de rejets domestiques. Ce tri sélectif des sédiments renforce la vision d'un entretien organisé et de l'existence d'une procédure particulière liée au fonctionnement et à l'abandon de ces fosses.

Les caractéristiques des fosses mises au jour sur le Lot C1 correspondent au moins en partie à celles des fosses de stockage identifiées sur nombre de sites d'Europe tempérée (voir Reynolds 1979 et Gransar 2001). Les expérimentations et les études détaillées réalisées par Peter J. Reynolds et ses successeurs en Angleterre depuis les années 1970 ont permis d'établir assez précisément les modalités du stockage souterrain de denrées, notamment des céréales, dans cette partie du Monde. Des exemples ethnographiques et archéologiques sont également connus en d'autres endroits du Globe (Gast & Sigaut dir. 1979 et Gransar 2001 : 283-285).

En ce qui concerne nos régions, des fosses creusées dans des encaissants micro-poreux et scellées hermétiquement permettent de conserver des quantités importantes de céréales par saturation du contenu en dioxyde carbonique pendant la période hivernale (Reynolds 1979 : 74-75). Le réchauffement et la dessiccation des sols pendant la période estivale ne semblent pas permettre une bonne conservation. Une humidité ambiante de 15 % à 25 % n'est aucunement dommageable, et favorise même la production de gaz carbonique. Dans le contexte d'encaissants loessiques du Lot C1, un bouchon hermétique permet de maintenir ces niveaux, sous réserve d'une pluviométrie moyenne comparable au climat actuel. Les fosses ayant fait l'objet d'expérimentations d'après des exemples archéologiques sont comparables aux morphologies mises en évidence sur le Lot C1 : de profil cylindrique, tronconique ou en « tonneau ». Des dimensions réduites permettent un prélèvement du contenu et une réutilisation faciles. Le curage et le raclage des parois avant réemploi de la fosse, où se développent des algues et des champignons pendant la période de non-utilisation, provoquent des effets d'arrondissement et de bombement similaires à ceux qui sont observés sur les premières phases des fosses complexes du Lot C1.

La fosse de stockage se doit d'être scellée en dessous de la limite inférieure de la terre végétale perméable. Un bouchon d'argile ou de limon argileux pur convient parfaitement.

« [Tacite] a décrit la coutume des Germains de creuser des cavités souterraines (*specus*), puis de les remplir avec des réserves et de les couvrir avec du fumier ou des détritiques (*fimus*). Ces cavités constituaient une protection contre l'hiver et les réserves ainsi enterrées pouvaient échapper à leur détection par un ennemi trop pressé pour les rechercher avec trop d'insistance » (Reynolds 1979 : 71).

La présence d'une couverture de terre meuble au-dessus du bouchon argileux permet de le maintenir humide et hermétique. Les sédiments cendro-charbonneux détritiques (« terre noire »), omniprésents sur le Lot C1, possèdent une très bonne réceptivité à l'humidité et pourraient correspondre au « *fimus* » évoqué par Tacite. La présence de couches limono-argileuses « stériles » et les effets de surcreusement et de recreusement des fosses du Lot C1 correspondent bien aux phases de scellement et d'entretien de fosses de stockages réutilisées à maintes reprises. Ces pratiques sont observables sur la plupart des fosses de stockages attestées pour l'âge du Fer (voir Reynolds 1979 : 70-72). La présence limitée de comblements antérieurs détritiques, qui ne soient pas en putréfaction, ou hydromorphes n'empêche en rien la conservation des denrées et permet même peut-être de maintenir un niveau correct d'humidité.

Si la plupart des fosses du Lot C1 sont identifiables comme étant des silos, notamment presque avec certitude les fosses tronconiques, rien ne prouve qu'elles aient toutes rempli cette fonction, et cela pendant toutes leurs phases d'utilisation. Les fosses à profil évasés sont à priori plus difficilement associables à des structures de stockage de céréales ou de légumineuses. On peut également imaginer le stockage d'autres denrées (tubercules, racines...), l'extraction d'argile pour certaines d'entre elles, ou d'autres fonctions encore à découvrir. Leurs comblements ne correspondent pas à des latrines ni à des puisards (sauf éventuellement la fosse quadrangulaire FS3713, Pl. 16). L'absence de rubéfaction des parois semble exclure une utilisation comme fours ou foyers. Les altérations des parois ne correspondent pas à des fosses de rouissage ou de tannerie. Leurs dimensions et morphologies ne correspondent pas à des « celliers ». Le creusement spécifique de fosses servant exclusivement de dépotoirs semble très peu probable dans un contexte rural préindustriel (Reynolds 1979 p. 70). Le curage de ces fosses a cependant pu faire disparaître les éléments diagnostics de leur utilisation

⁴ Les dépôts et les inhumations ne sont pas rares dans ce type de contextes (Delattre 2001).

première. Les analyses phytolithiques, micromorphologiques et carpologiques en cours permettront peut-être d'apporter des compléments ou de nouveaux éléments d'interprétation.

8.1.2 Zone d'activités spécifiques proche d'un habitat

L'homogénéité typo-chronologique de la collection céramique issue des fosses utilitaires du Hallstatt final, leur proximité spatiale sur une surface d'1,2 ha, le recollage de tessons d'une fosse à l'autre (FC4013 et FC4167, Pl. 47) et le recoupement de certaines d'entre elles (FOS13, Pl. 13) tendent à indiquer une utilisation de la zone pendant un laps de temps circonscrit. Il est probable que cette aire d'activité, au moins en partie dévolue au stockage souterrain de denrées et liée à des stockages de sédiments détritiques domestiques et à la gestion de déblais loessiques, corresponde à une phase limitée d'occupation de cette partie de la rive gauche du Ru des Hauldres. L'abondant mobilier issu des remplissages comprend des éléments représentant une bonne partie des activités et occupations liées à un habitat rural du premier âge du fer :

*-« La fouille du Lot C1 de la ZAC de la Pyramide à Lieusaint a permis de récolter quarante-huit kilos de céramique protohistorique représentant plus de deux mille trois cents tessons issus des couches de comblement détritiques de fosses utilitaires. D'après ses éléments typo-morphologiques, cette collection est datable du Hallstatt final D1/2-IIa, correspondant approximativement au VIe s. av. J.-C. Elle trouve des comparaisons dans la majeure partie du Nord-est de la France pour cette période. (...) L'ensemble céramique du Lot C1 peut-être divisé en deux sous-ensembles : le premier composé de grands récipients tronconiques de stockage et/ou de préparation/service « collectifs » (13 % du NMI) et le deuxième constituant une « vaisselle » hétéroclite de préparation/service pouvant être d'ordre « individuel » (37,4 % du NMI ; les indéterminés constituant 49,6 % du NMI). » (Desrayaud, *infra*).*

*-« L'analyse archéozoologique des ensembles de faune provenant des structures hallstattiennes met en évidence une consommation de type domestique. La présence de plusieurs jeunes laisse penser que l'élevage a eu lieu sur place. Les pratiques d'hippophagie et de cynophagie sont attestées. En l'absence d'habitat sur le site, on est en mesure de s'interroger sur le sens de ce lot, de prime abord caractéristique des rejets alimentaires, mais qui comporte quelques pratiques inhabituelles : rôtissage de chien et du cerf. » (Bémilli, *infra*).*

*« Il est (...) acquis que les « plus belles pièces » caractéristiques du Néolithique ancien ou final, impliquant un savoir faire qui ne s'improvise pas, sont souvent retrouvées dans les fosses du premier âge du Fer. Les hommes du Hallstatt sélectionnaient probablement certaines pièces déjà présentes sur le site ou à proximité. Une étude plus fine intégrant le silex issu des fosses Hallstatt des lots D et E permettrait peut-être de mieux entrevoir le choix des hommes du Hallstatt et leur motivation. » (Durand, *infra*).*

À cela il faut ajouter un nombre important de gros fragments de soles (presque 20 kg au total) façonnées dans du Loess. Ces fragments, d'une épaisseur maximum d'une dizaine de centimètres, présentent une face supérieure lissée rubéfiée et une face inférieure d'arrachement non-aménagée. Ils semblent correspondre à des soles de foyer ou de fours vidangées et mises au rebut. Des pierres silico-calcaires anguleuses chauffées de petits modules (diamètre < 10/15 cm) sont également présentes dans la plupart des remplissages (voir FC4167 Pl. 12). Elles peuvent correspondre à des pratiques culinaires sur foyer qui sont attestées archéologiquement et ethnographiquement (fours « polynésiens », fosses à rôtir ou à bouillir... Audouze & Buchsenschutz 1989 : 157-158). Des activités de mouture et/ou de polissage sont indirectement attestées par la présence de 4 fragments de meule dormante ou de polissoir (voir Inventaire du mobilier, *infra*). Des activités de tissage sont indiquées par la présence de plusieurs fusaïoles et d'un peson (Pl. 55 ; Audouze & Buchsenschutz 1989 : 173). De possibles éléments de parures ont également été mis au jour, composés d'un arillon incisé de fibule en alliage cuivreux, de 3 fragments de lignite pouvant correspondre à des bracelets et d'au moins une grosse perle en céramique (Pl. 55). On peut également remarquer la présence de quelques fragments de torchis présentant des impressions de clayonnage (370 g).

La proximité d'un habitat, que l'on peut supposer comme étant au moins en partie composé de bâtiments sur poteaux plantés, ne fait guère de doute. Les zones à l'ouest et au sud de l'emprise ont été urbanisées sans surveillance archéologique (Pl. 03). La rive opposée du ru a également été presque entièrement aménagée sans surveillance. Les sondages de la ZAC Parisud, réalisés en 2001, n'y ont apparemment pas révélé d'habitat de cette période. Une très rapide prospection de surface de la berge sud du Ru des Hauldres, au nord de l'emprise, a livré quelques fragments de céramique non tournée et de *Sigillée*. Malheureusement, il semble qu'elle soit actuellement en cours d'aménagement sans surveillance archéologique préalable. À l'est et au sud est de l'emprise du Lot C1, dans un rayon d'environ 1 km, plusieurs fenêtres de décapage éparses ont révélé des vestiges pouvant être contemporains des fosses Hallstatt final du Lot C1. Les

indices d'une occupation Hallstatt final/début de La Tène ancienne couvrent au moins une vingtaine d'hectares (Lots C3, C4, D et E). Mis à part un nombre important de fosses, on peut notamment souligner la présence de bâtiment sur poteaux plantés sur les lots C, D et E, qui pourraient être contemporains de l'occupation du Lot C1 (Boulenger, Broine, et Viand, en cours, Mondoloni 2002 ; Pl. 03). Il faudra cependant attendre le rendu définitif des rapports de fouille des zones concernées avant de pouvoir examiner les éléments de datation et de répartition spatiale. La confrontation des données permettra sans doute de mieux définir la place des vestiges du Lot C1 au sein d'une occupation apparemment continue qui peut toutefois présenter plusieurs sous-phases chronologiques et des déplacements ponctuels.

8.2 Habitat laténien final/gallo-romain précoce **(intervalle : 2^e moitié du II^e s. av.-1^{ère} moitié du I^{er} s. ap. J.-C.)**

(Pl. 19 à 25, Pl. 38-39 et Pl. 41)

Cinq bâtiments sur poteaux plantés ont livré des éléments céramiques pouvant couvrir la fin de La Tène moyenne, pour les plus anciens, au début du I^{er} s. ap. J.-C., pour les plus récents (voir Étude céramologique, *infra* ; Pl. 57). Des éléments de datations similaires ont été collectés dans les fossés gallo-romains, mélangés à des éléments plus récents. La présence de tessons d'amphores républicaines (*Dressel 1*), de pots *Besançon* et de récipients à profil en « S » indiquent une fréquentation du site entre La Tène C2 et la 2^e moitié du I^{er} s. av. J.-C. Certains bords de *N.P.R.* et un fragment de cruche ou amphorette en pâte claire sableuse rosée, issus de négatifs de poteau du bâtiment 04, indiquent le possible démontage ou la construction de celui-ci au plus tôt au début du I^{er} s. ap. J.-C. La faible quantité de tessons issus des poteaux des bâtiments 01, 05, et 08 ne permet qu'une approximation large de l'intervalle de leur existence. S'il est certain que le bâtiment 04 était encore en élévation au début du Haut Empire, il est impossible d'attribuer avec certitude sa phase de construction et celle des autres bâtiments à la période gauloise ou à la période césaro-augustéenne. La permanence des traditions céramiques gauloises, qui prennent leur essor pendant La Tène C2, jusqu'au début du I^{er} s. ap. J.-C., ne permet pas de trancher (Truffeau-Libre & Jacques dir. 1997). De même, les morphologies du bâtiment 02, non-daté, et des bâtiments 04 et 05, à pans coupés ou « pignons », correspondent à des plans caractéristiques de cet intervalle et peuvent aussi bien correspondre à des occupations gauloises que gallo-romaines précoces (Pl. 38 ; Pion 1996).

Les bâtiments 09 et 10 sont respectivement recoupés par les bâtiments 04 et 02, ce qui permet de leur attribuer un *Terminus Ante Quem* pendant la 1^{ère} moitié du I^{er} s. ap. J.-C. L'alignement de trois poteaux BAT12 correspond sans doute au pan NNO d'un bâtiment recoupé par le système fossoyé gallo-romain SFO19, ce qui permet de lui attribuer un *Terminus Ante Quem* pendant le Haut Empire. Les bâtiments 03, 06, 07 et 11 ne présentent aucun élément de datation (Pl. 36-37).

Tous les bâtiments sur poteaux plantés découverts sur le Lot C1 possèdent la caractéristique de présenter des plans strictement orthogonaux et d'être construits symétriquement selon des axes longitudinaux et/ou transversaux (Pl. 38). Ce mode de construction correspond bien aux périodes gauloise et gallo-romaine et est nettement moins fréquent pendant les périodes antérieures et postérieures. Leurs morphologies à pans coupés ou quadrangulaires sur 9, 6 ou 4 poteaux, avec l'emploi ponctuel de sablières basses secondaires, représentant des surfaces internes comprises entre 90 m² et 7 m² environ, correspondent bien à ce que l'on connaît de ces périodes (Audouze & Buchsenschutz 1989 : 68-103, Bayart D. & Collart J.-L. [Textes recueillis par], 1996, Pion 1996). Plusieurs de ces bâtiments présentent des inclinaisons similaires à 1/2 degré près par rapport au Nord cartographique Lambert 1, semblant ainsi s'aligner selon des axes de direction orthogonaux. Les BAT01 et BAT10, BAT02 et BAT03, BAT04 et BAT12 ainsi que les BAT05 et BAT08 sont respectivement alignés sur des axes orthogonaux. Il est donc possible que tous ces bâtiments participent d'une même occupation.

Il est intéressant de remarquer que les BAT01 et BAT10 suivent des axes approximativement orthogonaux avec 1,25° à 2,75° d'écart de l'axe directeur du système fossoyé 27. La direction divergente du SFO27 et son recoupement par le SFO26 indique une antériorité au système fossoyé « central » à recreusements multiples (SFO19, 20, 21), qui se développe au plus tôt pendant La Tène finale D2 et au plus tard pendant le II^e s. ap. J.-C. Le SFO27 pourrait ainsi être contemporain de ces deux bâtiments. Le BAT10 est recoupé par le BAT02. Le BAT09 est recoupé par le BAT04. Le BAT09 possède une inclinaison approximativement orthogonale au BAT10 avec 1° à 3° d'écart et à l'axe directeur du SFO27 avec 0,25° à 2° d'écart. Il est possible que les bâtiments 01, 09 et 10 ainsi que le SFO27 participent d'une même phase d'occupation antérieure aux bâtiments 02 et 04. Les Bâtiments 02 et 04 (voire 03 ainsi que 12, qui leur sont respectivement orthogonaux) pourraient constituer les éléments d'une seconde phase d'occupation (Pl. 41).

Le SFO27 pourrait être lié à une phase ancienne de l'habitat. Le SFO26, comblé au plus tôt pendant le dernier tiers du I^{er} s. av. J.-C. et qui recoupe le SFO27, pourrait correspondre à une phase d'habitat contemporaine des bâtiments 02 et 04 (Pl. 41). Le BAT02 et le SFO26 sont approximativement parallèles avec 0,5° à 3,5° d'écart. Les SFO27 et SFO26 traversent l'emprise d'ouest en est et ne semblent pas reliés à d'autres réseaux fossoyés pouvant former des enclos. Les SFO15/16/22, SFO19 et SFO20/17/18, qui sont au moins en partie contemporains, ont livré des tessons de céramique

Grise ardoisée qui situent leur comblement au plus tôt à la fin du Ier s. ap. J.-C. Il est possible que des phases antérieures, oblitérées par les creusements successifs, aient été contemporaines de certains des bâtiments. Il est tentant d'imaginer un enclos formé par les SFO20/17/18 entourant le BAT04, de dimensions imposantes. Cependant aucun élément archéologique ne permet d'appuyer cette hypothèse. Au contraire, à l'instar de la céramique, les relations stratigraphiques entre les bâtiments ayant livré des éléments de datation et les premières phases observables de ces fossés indiquent toutes une postériorité des systèmes fossoyés. La deuxième phase du SFO20 recoupe le PO3499 du BAT08. Le SFO15 recoupe le BAT08 et probablement le BAT10. La première phase du SFO19 recoupe le probable BAT12.

Les incertitudes liées à la contemporanéité de la plupart des bâtiments et au nombre de phases de construction et des éléments les composant permettent difficilement de caractériser l'habitat de l'intervalle chronologique défini ci-dessus. L'absence d'enclos attesté ne permet pas d'étayer l'hypothèse d'un établissement rural de type « ferme indigène ». Quelques fosses isolées ou proches des constructions ont livré du mobilier contemporain des bâtiments, sans que l'on puisse leur attribuer une fonction particulière (Pl. 24-25).

« Une seule structure présente une configuration particulière, la structure 3677, où une partie supérieure d'arrière-train de bœuf a été mise au jour. La position des os dans la fosse⁵ laisse apparaître une connexion certaine entre les coxaux et le sacrum. Pour le fémur, le tibia et le métatarse gauche, la connexion est un peu plus lâche et laisse penser à une décomposition des chairs effectuée dans un espace pas entièrement comblé (à la manière de certaines sépultures humaines). La position du fémur droit peut correspondre à une connexion avec le coxal. La position des os de bœuf dans cette structure – os qui ne portent aucun stigmate de mise en pièce ni de découpe – reflète certainement un dépôt qu'il conviendra de corrélérer avec les autres données du site afin de l'interpréter de la manière la plus fiable. » (Bémilli, *infra*). Quelques scories secondaires de forges indiquent une activité métallurgique à proximité de l'habitat. Aucun élément métallique ou lithique particulier n'a été mis au jour.

Les bâtiments datés présentent des poteaux de grandes tailles pouvant atteindre des diamètres de creusement d'1,5 m et de négatif de 0,6 m, pour une profondeur maximum d'1,15 m sous le sommet des labours. Les portées entre les poteaux porteurs peuvent atteindre 9 m à 10 m dans le cas des BAT04, BAT05 et BAT08. Il est possible que des éléments porteurs intermédiaires aient été oblitérés par les labours. Ces trois bâtiments représentent des surfaces internes respectives de 90 m², 50 m² et 65 m². L'architecture complexe et soignée du BAT04, qui couvre une surface de près de 190 m², indique l'existence de bâtiments imposants et solidement construits, correspondant probablement au moins en partie à des habitations. Les bâtiments de tailles plus réduites, dont certains sont construits sur des petits poteaux sans calage (BAT 06, 07, 09), pourraient correspondre à un large éventail d'activités, allant du stockage aérien à la stabulation ou à des ateliers⁶ (Audouze et Buchsenschutz 1989 : 68-103, Pion 1996, Gransar 2001...).

De même que pour l'occupation du premier âge du Fer, le manque d'information concernant les alentours du décapage du Lot C1 mène à une impasse interprétative : ferme de type « indigène » ou petit habitat groupé en bord de ru ?

Les zones à l'ouest et au sud de l'emprise ont été urbanisées sans surveillance archéologique (Pl. 03). La rive opposée du ru a également été presque entièrement aménagée sans surveillance. Les sondages de la ZAC Parisud, réalisés en 2001, n'y ont pas révélé d'habitat de cette période. Une très rapide prospection de surface de la berge sud du Ru des Hauldres, au nord de l'emprise, a livré quelques fragments de céramique non tournée et de *Sigillée*. Malheureusement, il semble qu'elle soit actuellement en cours d'aménagement sans surveillance archéologique préalable. À l'est et au sud est de l'emprise du Lot C1, dans un rayon d'environ 1 km, plusieurs fenêtres de décapage éparses ont révélé des vestiges pouvant être contemporains de l'habitat gaulois/gallo-romain précoce du Lot C1. On peut notamment signaler la présence d'un établissement de type « ferme indigène » avec enclos associé à des bâtiments sur le Lot E (Viand, en cours). On peut également souligner la présence de bâtiments sur poteaux plantés sur les lots C, D et E, qui pourraient être contemporains de l'occupation du Lot C1 (Boulenger, Broine, et Viand, en cours, Mondoloni 2002 ; Pl. 03). Il faudra cependant attendre le rendu définitif des rapports de fouille des zones concernées avant de pouvoir examiner les éléments de datation et de répartition spatiale. La confrontation des données permettra sans doute de mieux définir la place des vestiges du Lot C1 au sein d'une occupation apparemment continue qui peut toutefois présenter plusieurs sous-phases chronologiques et des déplacements ponctuels.

⁵ « Nous soulignerons ici la très grande qualité descriptive de la structure et du relevé, particulièrement précis, qui nous a permis une analyse fine de la position des os, alors même que nous n'avons pas vu le matériel in situ. » (Bémilli, *infra* ; relevé par Laurent Granchat, Inrap).

⁶ Pour des exemples ethnographiques de bâtiments de stockage sur petits et grands poteaux plantés voir Gast & Sigaut dir. 1979.

8.3 Réseau fossoyé gallo-romain

(Pl. 26 à 34, Pl. 40 et Pl. 42)

Pendant la période gallo-romaine, plusieurs fossés synchrones ou successifs sont creusés en divers endroits de l'emprise concernée par la fouille. Ils présentent tous des profils tronconiques inversés à triangulaires et des couches de sédimentation hydromorphe démontrant leur rôle, voulu ou non, de drainage. L'axe majeur de ce réseau fossoyé est marqué par la reprise du tracé du SFO26 qui traverse l'emprise d'ouest en est, comblé au plus tôt pendant la deuxième moitié du Ier s. av. J.-C. Le SFO26 inclus, 8 phases de recreusements et réaménagements ont pu être observées en plan et en coupe (Pl. 40 et 42). Cet axe fossoyé principal se situe à la rupture de pente entre le plateau loessique au sud et le lit inondable du Ru des Hauldres au nord, marqué par des encaissements altérés par l'hydromorphie récurrente. Des tessons de céramique *Grise ardoisée*, produite entre la fin du Ier s. et le début du IVe s. ap. J.-C., constituent les éléments céramiques les plus tardifs issus de ces fossés (Truffeau-Libre & Jacques dir. 1994).

Un important réseau fossoyé réticulaire gallo-romain, sans doute directement lié au ru, est perceptible sur l'ensemble de la ZAC de la Pyramide. Les systèmes fossoyés mis au jour sur le Lot C1 s'inscrivent dans un vaste réseau de drainage et de délimitation des terres. Ce réseau est peut-être à mettre en relation avec les établissements gallo-romains découverts à environ 600 m vers le NO (« Rond-point Schuman », Bruant et Legriel en cours) et à environ 750 m vers le SE (« Cimetière de Lieusaint » et Lot E2, Mondoloni 2002 et prospection de surface du GERAME).

Il est notable que ces limites rectilignes soient marquées par des fossés de grandes dimensions, alors qu'elles auraient pu l'être par des fossés de tailles réduites ou un simple bornage de surface. L'investissement nécessaire au creusement et à l'entretien d'un tel système de fossés ne peut se justifier que par la nécessité d'une gestion efficace des eaux résiduelles et des nappes temporaires et/ou de la volonté de marquer des limites fortes. Étant donné le contexte hydrique et topographique, tous les fossés ouverts du site remplissaient un rôle de drainage, peut-être plus ou moins voulu selon les cas. Le système fossoyé central peut être identifié comme un collecteur, étant donné le caractère fortement hydromorphe de ses couches de fonctionnement. Dans un contexte de climat tempéré humide, le besoin de drainer les sols peut s'avérer crucial à la mise en culture ou en pâturage des terrains (voir Contexte Pédologique *supra*). Il est également possible qu'il ait servi à contrôler les possibles crues liées à la proximité du Ru des Hauldres.

Dans la portion décapée, le système fossoyé central possède au moins entre une et deux entrées aménagées selon les phases. Celles-ci peuvent être formées par une réduction importante du fossé en largeur et en profondeur (phase 7, appendice FO3717, SFO20 ; Phase 1, FO4461/4641, SFO21) ou son interruption (Phase 7, FO3940/3934, Phase 6, FO3212/3249). Elles peuvent également être marquées par la présence de grandes fosses accolées aux fossés, servant de réservoirs (Phases 7 à 2). Ces excavations permettent d'accroître la capacité de drainage des terrains environnants, tout en respectant les proportions et l'aspect voulus du fossé et en facilitant l'installation de systèmes de franchissement et de porches. Elles pouvaient aussi servir de petites mares d'appoint pendant les périodes sèches. Pendant les phases 6 et 5, le système central se compose d'un double fossé (SFO19 et 20). Pendant les phases 5 à 4, le SFO19 est ponctuellement doublé (FO4147 et FO4102). Il est possible que cette configuration serve à faciliter le franchissement de la limite, de par la présence d'un appui intermédiaire, tout en conservant un fort potentiel d'évacuation hydrique.

Le système fossoyé central présente des traces d'aménagements correspondant à des phases de recreusement et d'entretien jusqu'à son abandon définitif. Les phases de réaménagement sont ponctuellement marquées par le remblayage des fossés antérieurs par des sédiments semi-perméables compactés, afin de rétablir les propriétés mécaniques du sol⁷. Cette opération est parfois précédée du curage complet du fossé afin d'éviter les effets d'enfoncement dus à la présence de couches humides sous-jacentes (SFO26, SFO20/18/17). Les remplissages supérieurs des derniers états (SFO19 et SFO21) se caractérisent par leur nature hydromorphe réductique, de couleur blanchie puis grise à bleutée et un colmatage final (quand il n'est pas tronqué) brun à grisâtre. Ces horizons sont caractéristiques de la circulation et de la stagnation quasi permanentes des eaux, puis, finalement, de l'eutrophisation et de la paludification des fossés (Baize & Jabiol 1995 p. 103-107 et 161-177, Berger & Jung 1996 p. 105-107). Apparemment, un certain temps après le creusement initial, les fossés sont totalement ou partiellement curés puis rebouchés tout ou en partie par des sédiments encaissants remaniés. Une fois cette opération effectuée, le fossé est de nouveau taillé dans la masse du remblai. L'emploi d'encaissants remaniés permet de retailler des parois plus imperméables et stables, donc de maintenir une bonne circulation de l'eau tout en limitant les effets d'engorgement et de perte de portance des bords des creusements. Cela facilite grandement les passages fréquents aux abords des fossés. En évitant l'élargissement des bords, cette technique permet également de conserver la largeur initiale de la limite fossoyée et de respecter les contraintes de découpage spatial (Desrayaud, en cours).

⁷ Ces phénomènes de remblayage avec les sédiments encaissants (stockés en talus ?) est facilement identifiable dans le cas d'un creusement dans un substrat pierreux. C'est le cas, par exemple, pour les fossés de l'établissement de La Tène finale du Grand Paisilier en Vendée méridionale, voir Nillesse 1994 p. 283 Fig. 6.

Malgré les effets d'arasement dus aux labours, l'existence de talus le long de certains fossés, mentionnée dans les textes du Haut Empire et parfois mise en évidence par l'archéologie⁸, peut être envisagée sur le Lot C1. Les coulées de loess colluvionné sur la paroi d'un même côté de certains fossés pourraient dans certains cas correspondre à l'érosion d'un talus en contre-haut ; cependant, rien ne permet de les distinguer des effondrements de parois. En l'absence du creusement d'un fossé contigu dont les déblais peuvent servir à combler le fossé préexistant (SFO19 comblant le SFO26), on peut imaginer que le talus pouvait fournir au moins en partie le matériau nécessaire au colmatage du fossé duquel il était issu⁹. Au sein de l'emprise, aucune zone d'extraction n'a pu être mise en évidence. Quoi qu'il en soit, les quantités de loess nécessaires au remblai de fossés de grande taille, du type des fossés SFO20/17/18, supposent le stockage des terres à certains endroits du site. L'emploi judicieux de talus, plantés ou non de haies, pouvait permettre une meilleure gestion des eaux résiduelles tout en jouant un rôle de coupe-vent et de contention, dans le cadre d'un enclos d'habitat ou d'une exploitation bocagère par exemple.

⁸ Pline cité dans Ferdière 1988 vol. I p. 121, Hygin et Siculus Flacus cités dans Chouquer & Favory 2001 p. 188. Talus antiques fossilisés conservés sous les pâtures en Grande-Bretagne (Ferdrière 1988 vol. I p. 121).

⁹ Configuration évoquée par Alain Ferdière à Villeneuve-d'Asq (1988 vol. I p. 120).

9 RÉSUMÉ ET CONCLUSION

En prévision de l'aménagement d'un lotissement de quarante-cinq pavillons privés sur le Lot C1 de la ZAC de la Pyramide, au lieu-dit « Le Bras de Fer » sur la commune de Lieusaint (77), une surface d'environ 1,8 ha a été mise à disposition par la société Promogim, en vue de la réalisation d'une fouille archéologique. Les 17 644 m² de l'emprise ont été décapées à hauteur de 73 % de la surface, les 17 % restant ayant servi au stockage d'une partie des stériles. La fouille du Lot C1 ne représente qu'une faible partie (1,3 ha) de la ZAC de la Pyramide, qui totalise environ 136 ha, doublant la surface du village de Lieusaint par rapport aux années 1990. Sur ces 136 ha, environ 45 hectares ont fait l'objet d'une intervention archéologique préventive (diagnostic ou fouille). Les anciens bassins de la sucrerie avaient déjà détruit les sols anciens sur une surface d'environ 31 ha et 37 ha ont été urbanisés sans surveillance archéologique. Les parcelles restantes, au sud de la ZAC, représentent 23 ha qui devraient être diagnostiqués prochainement si les constructions continuent au même rythme soutenu.

L'emprise du Lot C1 de la ZAC de la Pyramide est sise sur rebord est du Plateau limoneux fertile de Sénart, bordant la Vallée de la Seine qui coule à environ 5,5 km à vol d'oiseau vers le sud est. Elle se situe sur la rive sud du Ru des Hauldres, qui traverse le plateau d'est en ouest et débouche sur la rive droite de la Seine, au niveau du village d'Étiolles. La zone fouillée est localisée à la transition entre la couverture limoneuse du plateau et l'amorce méridionale du lit du ru. Le substrat observé dans la partie nord de l'emprise est formé de plusieurs couches hétérogènes, totalisant moins d'un mètre d'épaisseur, composée d'une première couche de cailloutis puis d'un litage d'argile à meulière et de galets roulés alluviaux mélangés à des sables, reposant sur les sables de Fontainebleau à l'ouest du décapage et sur le socle altéré de Calcaire de Brie à l'est. La couverture pédologique se caractérise par une roche mère de limon éolien quaternaire jaune calcaire conservée sur un mètre d'épaisseur maximum. La décarbonatation et la pédogénéisation de la partie supérieure du loess ont formé un horizon de Sol brun (ou Sol atlantique) conservé sur 0,5 m d'épaisseur maximum dans la partie sud de l'emprise. L'ensemble de l'emprise présente un horizon supérieur labouré sur 0,3 m à 0,4 m de profondeur.

La fouille a permis de mettre au jour et d'étudier une concentration d'une cinquantaine de fosses datables du Hallstatt final (VIe s. av. J.-C. ; Pl. 39). Les caractéristiques de ces fosses correspondent au moins en partie à celles des fosses de stockage identifiées sur nombre de sites d'Europe tempérée (Reynolds 1979 et Gransar 2001). Cependant, même si la plupart des fosses du Lot C1 sont identifiables comme étant des silos, notamment presque avec certitude les fosses tronconiques, rien ne prouve qu'elles aient toutes rempli cette fonction, et cela pendant toutes leurs phases d'utilisation. Les analyses phytolithiques, micromorphologiques et carpologiques en cours permettront peut-être d'apporter des compléments ou de nouveaux éléments d'interprétation. La proximité d'un habitat, que l'on peut supposer comme étant au moins en partie composé de bâtiments sur poteaux plantés, ne fait guère de doute. Sa localisation exacte reste toutefois à établir.

Douze bâtiments sur poteaux plantés ont été mis au jour (Pl. 38 et 39). Cinq d'entre eux ont livré des éléments céramiques pouvant couvrir la fin de La Tène moyenne, pour les plus anciens, au début du Ier s. ap. J.-C., pour les plus récents (voir Étude céramologique, *infra* ; Pl. 57). Tous les bâtiments sur poteaux plantés découverts sur le Lot C1 possèdent la caractéristique de présenter des plans strictement orthogonaux et d'être construits symétriquement selon des axes longitudinaux ou et/ou transversaux (Pl. 38). Leurs morphologies à pans coupés ou quadrangulaires sur 9, 6 ou 4 poteaux avec l'emploi ponctuel de sablières basses secondaires, représentant des surfaces internes comprises entre 90 m² et 7 m² environs, correspondent bien à ce que l'on connaît de ces périodes (Audouze & Buchsenschutz 1989 : 68-103, Bayart D. & Collart J.-L. [Textes recueillis par], 1996, Pion 1996). Plusieurs de ces bâtiments présentent des inclinaisons similaires à 1/2 degré près par rapport au Nord cartographique Lambert 1, semblant ainsi s'aligner selon des axes de direction orthogonaux. Il est donc possible que tous ces bâtiments participent d'une même occupation. De même que pour l'occupation du premier âge du Fer, le manque d'information concernant les alentours du décapage du Lot C1 mène à une impasse interprétative : ferme de type « indigène » ou petit habitat groupé en bord de ru ?

Dans un intervalle compris entre La Tène finale et le IVe siècle après J.-C., plusieurs fossés synchrones et/ou successifs sont creusés en divers endroits de l'emprise concernée par la fouille (Pl. 40 et 42). Ils présentent tous des profils tronconiques inversés à triangulaires et des couches de sédimentation hydromorphe démontrant leur rôle voulu ou non de drainage. L'axe majeur de ce réseau fossoyé traverse l'emprise d'ouest en est. Il est marqué par 8 phases de creusements et réaménagements observables en plan et en coupe et comporte plusieurs aménagements de franchissement successifs (Pl. 40 et 42). Cet axe fossoyé principal se situe à la rupture de pente entre le plateau loessique au sud et le lit inondable du Ru des Hauldres au nord. Des tessons de céramique *Grise ardoisée*, produite entre la fin du Ier et le début du IVe s. ap. J.-C., constituent les éléments céramiques les plus tardifs issus de ces fossés (Truffeau-Libre & Jacques dir. 1994). Un important réseau fossoyé gallo-romain, sans doute directement lié au ru, est perceptible sur l'ensemble de la ZAC de la Pyramide. Les systèmes fossoyés mis au jour sur le Lot C1 s'inscrivent dans un vaste réseau de drainage et de

délimitation des terres. Ce réseau est peut-être à mettre en relation avec les établissements gallo-romains découverts à environ 600 m vers le NO (« Rond-point Schuman », Bruant et Legriel en cours) et à environ 750 m vers le SE (« Cimetière de Lieusaint » et Lot E2, Mondoloni 2002 et prospection de surface du GERAME).

Les zones à l'ouest et au sud de l'emprise ont été urbanisées sans surveillance archéologique (Pl. 03). La rive opposée du ru a également été presque entièrement aménagée sans surveillance. Les sondages de la ZAC Parisud, réalisés en 2001, n'y ont pas révélé d'occupation pouvant être rattachée au Lot C1. Une très rapide prospection de surface de la berge sud du Ru des Hauldres, au nord de l'emprise, a livré quelques fragments de céramique non tournée et de *Sigillée*. Malheureusement, il semble qu'elle soit actuellement en cours d'aménagement sans surveillance archéologique préalable. À l'est et au sud est de l'emprise du Lot C1, dans un rayon d'environ 1 km, plusieurs fenêtres de décapage éparses ont révélé des vestiges pouvant être contemporains des structures du Lot C1. Les indices d'occupations couvrent au moins une vingtaine d'hectares (Lots C3, C4, D et E). Mis à part un nombre important de fosses, on peut notamment souligner la présence de bâtiments sur poteaux plantés sur les lots C, D et E, qui pourraient être contemporains des occupations du Lot C1 (Boulenger, Broine, et Viand, en cours, Mondoloni 2002 ; Pl. 03). Il faudra cependant attendre le rendu définitif des rapports de fouille des zones concernées avant de pouvoir examiner les éléments de datation et de répartition spatiale. La confrontation des données permettra sans doute de mieux définir la place des vestiges du Lot C1 au sein d'occupations circonscrites, qui peuvent présenter plusieurs sous-phases chronologiques et des déplacements ponctuels.

Les occupations anciennes du secteur de la ZAC de la Pyramide s'inscrivent dans un dense maillage de sites archéologiques couvrant l'ensemble du Plateau limoneux fertile de Sénart (Pl. 02), proche de la confluence entre l'Essonne et la Seine, l'un des carrefours « stratégiques » du Bassin parisien. Les intervalles du Hallstatt final/début de La Tène ancienne (VIe-1ère moitié Ve s. av. J.-C.) et de La Tène finale/gallo-romain (milieu IIe s. av.-IIIe s. ap. J.-C.), mis en évidence sur le Lot C1, concernent un nombre important d'indices. Ces périodes ont fortement marqué le sous-sol du Plateau de Sénart. À l'instar de la période du haut Moyen Âge, elles semblent correspondre à des « pics » d'installations et donc probablement démographiques de l'occupation de cette « micro-région » pendant les périodes antérieures à la période moderne et le développement du tissu rural sub-contemporain.

10 Glossaire méthodologique

Creusement indéterminé (code de fait **ST** ou **FS** dans le texte) : toute anomalie ou dépression localisée et son comblement affectant les sols, et dont l'origine humaine, animale, végétale ou pédologique ne peut-être déterminée.

Ensemble (en abrégé 3 lettres, par ex. système fossoyé 19 = SFO19) : « *L'Ensemble se place en hiérarchie à un niveau supérieur au Fait (...). (...) on définira ce concept comme un conteneur rassemblant les us et les Faits qui ont fonctionné « ensemble » d'une certaine manière et durant une durée déterminée* » [par ex. ensemble de trous de poteau formant un bâtiment] (Py 1997 p. 32-33).

Fait (nature archéologique ; en abrégé 2 lettres, par ex. fosse 3080 = FS3080) : la notion de fait est réservée aux Us entrant en composition dans des structures identifiables du point de vue technique ou fonctionnel pour les faits anthropiques (fosse, fossé, excavation...), causal pour les faits biologiques (chablis, terrier...) ou pédologique pour les creusements indéterminés et les couches de sédimentation naturelle (colluvions...).

Fosse (FS) : creusement circonscrit et son comblement, pouvant être lié ou pas à une activité humaine.

Fosse complexe (FC) : creusement circonscrit d'origine anthropique et son comblement, présentant plusieurs phases de recusement, lié à une activité humaine.

Loessique (sédiment) : sédiment limono-argileux composé de Loess (jaune à orangé, carbonaté) ou de Sol brun (brun à brun orangé, Loess décarbonaté pédogénéisé), en place ou remanié par effondrement ou une action biologique ou anthropique, généralement de couleur beige, jaune ou brune, non-réductique (différent des horizons engorgés gris) mais pouvant être altéré par la circulation des eaux gravitaires (horizons rédoxiques bariolé).

Rédoxique (horizon) : horizon présentant des signes d'engorgements temporaires par circulation des eaux gravitaires se traduisant par l'apparition de taches de rouille et de nodules de manganèse et de plages de blanchiment ou de rouille (bariolage ; Baize & Jabiol 1995).

Réductique (horizon) : sédiment hydromorphe de couleur dominante grise, parfois blanchie ou bariolée, caractéristique des milieux à engorgements permanents ou semi-permanents (Baize & Jabiol 1995 p. 263).

Structure (également regroupé sous l'abréviation **ST** dans le texte) : terme générique pouvant qualifier tous les faits, utilisé plus particulièrement pour les faits anthropiques ou d'origine indéterminée pouvant être anthropique, dont la nature ne peut pas être établie avec certitude (fosse ou chablis ?, tranchée ou fossé ?...).

Unité Stratigraphique (Us) :

" (...) *tout résultat cohérent d'une action anthropique ou naturelle unique, qu'elle se concrétise ou non par une donnée physique. (...) dans le sens premièrement où elle représente la plus petite division admise de la réalité analysée, et deuxièmement où toute composante du terrain archéologique doit appartenir (c'est-à-dire dans la pratique doit pouvoir être attribué) à une Us.*

(...) *la méthode Harris a proposé de répartir les Us en trois grande catégories (...)* :

-*Us positives : toutes celles qui présentent un volume et n'entretiennent pas de rapport [établi] avec l'activité de construction. Les Us positives correspondent en général à une étape réelle de la sédimentation anthropique ou naturelle [couche de remblai, comblement de fosse, couche de labours profonds...] (...).*

-*Us négatives : tout type de profil, section ou surface sans volume, qui peut-être également le résultat d'un phénomène naturel ou d'une activité humaine, mais aussi représenter une interface théorique entre deux actions [creusement de fosse, arasement de mur, sondage mécanique] (...).*

-*Us construites : unités stratigraphiques positives liées à l'activité de construction (...).*" (Py 1997 p. 28).

11 ANNEXE A : ÉTUDE CÉRAMOLOGIQUE (Gilles Desrayaud)

11.1 Étude de la céramique Hallstatt final

Quarante-quatre structures en creux ont livré des ensembles céramiques clos datables du premier âge du Fer, totalisant 2314 fragments pour 47,5 kg et un Nombre Minimum d'Individus de 140. Ces dix-sept fosses complexes, vingt-quatre fosses simples et trois creusements indéterminés ont livré des quantités variables de tessons pouvant être attribué dans leur ensemble au Hallstatt final (VIe s. av. J.-C., voir *infra*). De ces quarante-quatre ensembles clos, seules 2 fosses (FS3687 et FS4235) et 3 structures repérées pendant le diagnostic (ST2029, 2079 et 2080, Boulenger 2001) n'ont pas pu être fouillées manuellement à 100 %.

Les éléments de datation et taphonomiques ainsi que les critères de description typo-morphologiques et morpho-métriques sont décrits ci-dessous (voir Pl. 44, 45 et 46). L'inventaire du mobilier par structure et les dénombrements par formes identifiées sont présentés dans deux tableaux (A et B) en fin de chapitre.

Cette collection homogène, issue de contextes de rejets domestiques localisés dans un périmètre de moins de deux hectares, semble pouvoir donner un aperçu assez détaillé de la gamme des formes céramiques utilisées sur un habitat du Hallstatt final sur le Plateau de Sénart. Les données du Lot C1 devront bien sûr être complétées par les résultats des fouilles attenantes, l'occupation de cette période semblant s'étendre sur une grande partie de la ZAC de la Pyramide (Pl. 03).

11.1.1 Éléments de datation

(Tableau 1 ; Tableau 2 ; Tableau B)

La collection du Lot C1 comporte des éléments typo-morphologiques communs à la majeure partie du Nord et de l'Est de la France, notamment à la Champagne, au nord de la Bourgogne, au reste du Bassin parisien et à la Picardie (voir références bibliographiques Tableau 1 ci-dessous). La relative petitesse de l'échantillon et le faible nombre de formes fines du Lot C1 ne permettent pas des comparaisons plus détaillées. Les fouilles entreprises depuis le XIXe siècle, des nécropoles de Champagne notamment, ont permis des sériations poussées du mobilier et l'établissement d'un cadre typo-chronologique relatif pour l'ensemble de ces régions (Demoule 1989, Cunliffe 1997, Baray 1999, Kruta 2000). En ce qui concerne les datations absolues, le ¹⁴C est de peu d'utilité étant donné les fluctuations de la courbe calibrée pour l'âge du Fer (courbe de Stuiver *et alii* 1998). Pour cette raison, aucune datation ¹⁴C n'a été effectuée sur les structures du Lot C1. Les données dendro-chronologiques font cruellement défaut. Les dates absolues aujourd'hui admises sont issues des comparaisons avec le mobilier méditerranéen d'importation (principalement grec et étrusque) trouvés dans des ensembles clos d'Europe centrale et centre occidentale (Freidin 1982 : 6-11 ; Kruta 2000).

La collection du Lot C1 se caractérise par la présence de « jattes/bols » lisses tronconiques à bord rentrant (env. 8 % du NMI, Pl. 50 à 52), de pots tronconiques à cordons appliqués simples ou multiples à impressions et lèvre supérieure à impressions (env. 22 % du NMI, Pl. 47 à 49), de « coupes » complexes à carène médiane saillante (env. 5 % du NMI, Pl. 54) et de « assiettes » à marli ou bord droit/évasé (env. 3,5 % du NMI, Pl. 53). Les formes tronconiques indéterminées à lèvre et/ou à cordon à impressions composent plus de 17 % du NMI et les formes tronconiques et plats indéterminés lisses plus de 5,5 % du NMI (Pl. 56). Ces éléments situent la collection pendant le Hallstatt final (D ou II selon les chronologies, voir tableau 1 ci-dessous).

L'absence d'éléments caractéristiques du Hallstatt ancien (C ou I) ou du début de La Tène ancienne (A1 ou Ia) confirment cet intervalle. Le « bol » à cannelure de la FS4235 (Pl. 53) appartient à un type de tradition Hallstatt ancien, mais qui est également attesté pour des contextes plus récents. L'absence de bord festonné/orlé, de « gobelet jogassien » et de récipient situliforme attesté (bord concave rentrant) semble exclure une appartenance à la période de transition du Hallstatt final D3/IIb.

La collection homogène du Lot C1 semble donc être centrée sur la période du Hallstatt D1-2/IIa, qui correspond approximativement au VIe s. av. J.-C.

Remerciements à Alain Bulard (SRAÎF), Stéphane Marion (INRAP) et à Patrick Pion (CNRS) pour leur examen informel de la collection et leurs indications, confirmant une attribution au Hallstatt final.

11.1.1.1 Tableau 1 : Critères typo-morphologiques de datation du Hallstatt final.

Références bibliographiques	Critères typo-morphologiques diagnostics (Bassin Parisien, Champagne, Nord de la France)	NMI Lot C1	d'après synthèses chronologiques dans Cunliffe 1997 p. 288 et Baray 1999 p. 95					
			dates absolues approximatives av. J.-C.					
			700	600	500	450	400	
			HA.C-I	HA.D1/2 -IIa	HA.D3 - IIb	LT.Ia - A1		
Freidin : 126-145 & Fig. 7/19/27/34 /53;	« jattes/bols » ouverts globulaires simples à bord droit							
Freidin 1982 : 126-145 & Fig. 7/19/20 ; Talon 1989 Pl. 3 ;	réipients à anses							
Freidin 1982 : 126-145/160-161 & Fig. 53 ;	décor excisé (triangle) (style « Kerdschnitt »)							
Freidin 1982 : 126-145 & Fig. 17/18/20/27/34 ; Talon 1989 Pl. 3/4 ;	« Pots de stockages » fermés complexes à cordons/corps à impressions et lèv. sup. à impres., col évasé et épaule rentrante à cordons	?		?				
Freidin 1982 : 126-145 & Fig. 42/44 ; Marion 1998 p. 63 ;	« Bols » fermés à cannelures CMBII	1						
Villes 1999 Fig. 21 ;	bord à ailette/marli	1						
Demoule 1989 Fig. 1 ; Freidin 1982 : 126-145 & Fig. 7/19/20 ; Marion 1998 p. 63 ; Talon 1989 Pl. 3 ; Villes 1999 Fig. 13/16/21 ;	« Jattes-Bols » fermés à bord droit TbI lisses	11						
Debord 1981 : 111-117 ; Freidin 1982 : 145/170 ; Talon 1989 Pl. 4/5 ;	« Pots de stockages » ThI/II à <u>cordons simples /corps à impressions et lèv. sup. à impres.</u>	5						
Freidin 1982 : 145/170 ; Talon 1989 Pl. 3 ;	« plats » ouverts PII lisses	3	?			?		
Freidin 1982 : 145/170 ; Marion 1998 p. 63 ; Talon 1989 Pl. 3/5 ;	Grands réipients à <u>cordons multiples à impressions et lèv. sup. à impres.</u>	4	?					
Demoule 1989 Fig. 1 ; Marion 1998 p. 63 ; Villes 1999 Fig. 15/25 ;	« plats » à marli, lèv. triangulaire PII	2		?				
Freidin 1982 : 145/170 & Fig. 57 ;	« Jattes-Bols » ouverts TbII à lèv. sup. à impres.	8	?				?	
Blancquaert & Desfosses 1996 Fig. 3 ; Bretz-Mahler 1971 ; Demoule 1989 Fig. 1 ; Freidin : 126-145 & Fig. 19/20 ; Talon 1989 Pl. 4 ; Villes 1999 Fig. 15 ;	« coupes » complexes hautes à carène médiane CMhII2 lisses	4	?					
Bretz-Mahler 1971 ; Villes 1999 Fig. 1/14/15 ;	« coupes » complexes basses à carène médiane/basse CMBII2 lisses	3						
Bretz-Mahler 1971 ; Chossenot et alii 1981 Fig. 5-15 ; Debord 1981 : 111-117 ; Marion 1998 p. 63 ; Villes 1999 Fig. 25 ;	frises verticales lignes peintes/gravées	1						
Blancquaert & Desfosses 1996 Fig. 3 ; Bretz-Mahler 1971 ; Chossenot et alii 1981 Fig. 5-15 ; Debord 1981 : 111-117 ; Demoule 1989 Fig. 1 ; Freidin 1982 : 145/170 & Fig. 24 ; Marion 1998 p. 63 ; Villes 1999 Fig. 1/15/21 ;	Tronconiques hauts à bord rentrant concave TbI lisses ou à corps à impressions « situliformes »	1 ?			?			
Debord 1981 : 111-117 ; Freidin 1982 : 145/170 & Fig. 24 ; Villes 1999 Fig. 27 ;	« Jattes » à bord festonné/orlé			?	?	?		
Bretz-Mahler 1971 ; Debord 1981 : 111-117 ; Demoule 1989 Fig. 1/2 ; Freidin 1982 : 145/170 & Fig. 39/40 ; Villes 1999 Fig. 1/15/27 ;	« gobelets jogassiens » complexes tritonconiques, carène basse, grand col évasé, panse globulaire							
Bretz-Mahler 1971 ; Chossenot et alii 1981 Fig. 5-15 ; Demoule 1989 Fig. 2 ; Freidin 1982 : 145/170 & Fig. 23 ; Villes 1999 Fig. 1/15/27 ;	« gobelets » tritonconiques complexes carène basse, grand col évasé, panse tronconique							
Bretz-Mahler 1971 ; Chossenot et alii 1981 Fig. 5-15 ; Debord 1981 : 111-117 ;	« Plats/assiettes » complexes à bord rentrant							

11.1.2 Taphonomie

La collection céramique Hallstatt final du Lot C1 se compose de restes fragmentaires issus de couches de rejets domestiques dans des fosses utilitaires, associés à des fragments fauniques de consommation (voir Bémilli *infra*), à des vidanges de foyers (charbons de bois, pierres chauffées, fragments de soles, terre rubéfiée). Elle se compose très majoritairement de tessons de récipients. On peut cependant remarquer la présence de 6 fusaïoles et/ou grosses perles et d'un peson de tisserand (Pl.55). Les restes sont très fragmentés, donnant une moyenne de 20,5 g par tesson. Les récipients entiers sont inexistantes et les profils complets très minoritaires (6 ou 7 sur un NMI de 140). En accord avec les données fauniques, cette constatation semble exclure de fait un enfouissement par dépôt lié à des pratiques socio-religieuses. Toutefois, à l'instar des restes animaux, les fragments présentent des cassures nettes, très peu érodées, ne correspondant pas à un long séjour sur le sol ou à un « brassage » répété des tessons. Plusieurs tessons arborent des traces de chauffés postérieures à la cassure. Les restes céramiques et leur association avec des restes de faune consommée et d'éléments de foyers semblent correspondre à la vidange volontaire dans les fosses de sédiments détritiques (curage de foyers, de tas d'ordures...).

L'imbibition répétée, temporaire ou prolongée (présence de couches hydromorphes dans les fosses), des résidus dans le remplissage des fosses (et peut-être en partie avant enfouissement) a assez fortement altéré les surfaces et la structure interne des éléments céramiques. La friabilité des tessons à la fouille a nécessité leur consolidation avant et après prélèvement (durcisseur *Acryl 33*[®]). Cette procédure, couplée à un tamisage grossier des sédiments, a permis de collecter le plus grand nombre possible de fragments. La faible représentation des décors peints et gravés (5 fragments érodés) est peut-être en grande partie due à ces conditions de conservation et au processus de traitement (lavage). Il est donc hasardeux de réfléchir sur l'indigence de décors non-imprimés du Lot C1 par rapport à d'autres collections contemporaines du Bassin parisien.

La nature fragmentaire et très fragmentée du mobilier rend difficile et illusoire d'essayer d'estimer avec finesse le nombre d'individus représentés dans la collection. De plus, il ne faut pas oublier qu'une partie des restes a disparu dans les labours (sur environ 0,35 m de profondeur) et pendant les phases de diagnostic et de décapage à la pelle mécanique. Les perturbations liées au creusement de structures postérieures ne sont pas non plus négligeables ; de la céramique Hallstatt résiduelle est présente dans nombre d'entre elles (voir Inventaire Céram. hors Faits Hallstatt *infra*). La partialité des fouilles et l'origine déritique des dépôts ne permet pas d'associer les rejets à un habitat circonscrit et encore moins d'en estimer l'ampleur. Une partie du mobilier originel théorique a disparu à jamais ou n'a pas encore été mise au jour. Une autre part, peut-être non-négligeable, a été réutilisée comme chamotte par les potiers eux-mêmes. L'estimation du NMI total s'est donc concentrée sur les formes identifiées et sur les bords des formes indéterminées (qui sont les plus facilement appareillables). On constate ainsi une grande disparité entre le NMI total de la collection (140) et les NMI par entité archéologique cumulés (391). Le fort pourcentage de bords indéterminés en pâtes fines lisses, les plus fragiles et donc les plus fragmentés, (38,55 % du NMI) et de fragments ne pouvant être attribué qu'à des catégories morphologiques très larges (« pots de stockage/jattes/bols » à lèvre et/ou cordon/corps à impressions 17,15 % du NMI ; « assiettes/jattes/bols » lisses 5,7 % du NMI) oblige à relativiser l'importance d'une catégorie morphologique donnée par rapport au NMI total (Pl.56). Les catégories identifiées possédant principalement des pâtes fines lisses sont sous-représentées par rapport aux catégories possédant principalement des pâtes grossières à impressions, plus épaisses et plus faciles à identifier.

11.1.3 Descriptions typologiques

11.1.3.1 Description des pâtes

11.1.3.1.1 Pâtes modelées grossières

Matrices :

Couleurs : cœur réduit noir à gris, surfaces beiges à brun jaune et parfois noires.

Non-plastiques : sable fin (< 1 mm), grains blancs, gris, parfois sombres, translucides et quelques paillettes de micas argentés.

Dégraissants :

-Gravillons anguleux abondants blancs, gris, sombres, de couleur rouille, translucides (meulière, calcaire, quartz...) entre 1 mm et plus d'1 cm de longueur.

-Gravillons roulés abondants blancs, gris, sombres, translucides (meulière, calcaire, quartz), sable grossier entre 1 mm et 3 mm de diamètre.

-Chamotte abondante à très abondante allant de micro-fragments (poudre) à l'incorporation de tessons entiers de 2 cm de longueur, taille moyenne des fragments comprise entre 1 mm et 4 mm.

-Rares fragments de coquilles/os.

Épaisseurs parois : 4 mm à 16 mm

Textures : compactes à friables (taphonomie ?), parfois « sonnantes ».

Surfaces

Traitements : -lissées à polies avec parfois application d'un engobe intérieur et extérieur.
-extérieur peigné/gratté (FS3595-Us3941, FC4035-Phase 1).

Couleurs : beiges, brun jaune, marrons à rouge orangé, noires

Fabrication : montée aux colombins lissés

11.1.3.1.2 Pâtes modelées fines

Matrices :

Couleurs : cœur réduit noir à gris, surfaces beiges à brun jaune et grises à noircies.

Non-plastiques : sable fin (< 1 mm), grains blancs, gris, parfois noirs, translucides et quelques paillettes de micas argentés.

Dégraissants :

-Rares gravillons anguleux blancs, gris, sombres, de couleur rouille, translucides (meulière, calcaire, quartz...) <3 mm

-Rares gravillons roulés blancs, gris, sombres, translucides (meulière, calcaire, quartz), sable grossier <3 mm.

-Chamotte abondante à très abondante sous forme de micro-fragments (poudre) <3 mm, parfois quelques rares fragments supérieurs à 3 mm.

-Rares fragments de coquilles/os.

Variété : une variété « extra » fine avec inclusions <1 mm.

Textures : compactes à peu friables (taphonomie ?), « sonnantes ».

Épaisseurs parois : 3 mm à 10 mm

Surfaces

Traitements : lissées à polies avec parfois application d'un engobe intérieur et extérieur.

Couleurs : beiges, brun jaune, marrons à rouge orangé, grises à noires

Fabrication : montée aux colombins lissés. La présence de stries horizontales sur le col de certaines formes fines évoque l'utilisation d'une tournette ou d'un tour sommaire.

11.1.3.2 Description des décors (sur extérieur):

-Cordons appliqués à impressions cannelées sur le tiers supérieur du récipient (entre 1 cm et 1,5 cm de large), horizontaux simples ou doubles, verticaux à obliques ou en triangle (Pl.47 à 49). À 90 % sur pâtes grossières.

-Impressions cannelées, digités ou striées sur les cols ou au niveau des carènes (Pl. 48,49 et 51). À 80 % sur pâtes grossières.

-Impressions cannelées, digités ou striées sur la lèvre supérieure ou rarement extérieure (Pl. 47 à 52). À 80 % sur pâtes grossières.

-Peinture rouge à bordeaux sous le bord (FC4023Us4530 ; Pl. 54) ou sur tesson indéterminé (FC4167 Us4523). 3 exemples en pâtes fines

-Motifs de lignes noires verticales. 1 exemple sur pâte grossière (FC4283-2 ; Pl. 49).

-Incision horizontale sur carène ou sur le point d'inflexion du fond, quelques exemples sur pâtes fines (FC3433-6 ; Pl. 53).

-Cannelures horizontales sur col (entre 3 et 4, FC3433-6 ; Pl. 53). 1 exemple en pâte fine.

-Gravure sur pâte sèche ou cuite, en frises verticales rayonnant depuis la base, lignes horizontales, verticales et obliques formant des chevrons, triangles et figures quadrangulaires (FC4013 Us4459 ; Pl. 53). 1 exemple en pâte fine.

11.1.4 Descriptions morphologiques et morpho-métriques.

(Pl. 44 à 46 et Tableau B)

11.1.4.1 Morphologies : (Pl. 44)

Bords :

-Bord rectiligne rectangulaire rentrant.

-Bord rectiligne arrondi droit ou rentrant.

-Bord concave arrondi rentrant.

-Bord rectiligne à lèvre supérieure biseautée évasé, droit ou rentrant.

-Bord concave droit à lèvre extérieure épaissie.

-Bord rectiligne évasé à lèvre extérieure épaissie.

-Bord rectiligne évasé à lèvre intérieure épaissie.

-Bord rectiligne évasé à lèvre intérieure épaissie triangulaire.

-Bord concave évasé à lèvre supérieure à marli.

-Bord rectiligne évasé à lèvre supérieure à marli et lèvre intérieure triangulaire.

-Divers types de bords à lèvre supérieure aplatie (impressions).

Cols :

- Col court rectiligne évasé, droit ou rentrant.
- Col court convexe rentrant.
- Col court concave rentrant.
- Col long concave droit à évasé

Carènes :

- Carènes hautes peu saillantes, convexes à angulaires.
- Carènes médianes à basses saillantes, convexes à angulaires.
- Carènes médianes peu marquées angulaires.
- Carènes médianes convexes.

Fonds :

- Fond à cul plat.
- Fond à cul légèrement concave.
- Fond à cul annulaire.
- Piédestal.

Additions :

- Bec verseur (FC4013-Us4459-3).
- Bouton de préhension de couvercle (supposé, FS3595-Us3595/3941-7).

11.1.4.2 Catégories morphologiques et éléments de quantifications :

(Pl. 44 à 46 et 54 ; Tableaux 2, 3 et C)

Les critères de classification des formes céramiques sont présentés dans la Pl. 45 et en préface du Tableau B (*infra*). Les données métriques et les classifications par dimensions (Hauteur contenant et diamètre maximum) sont présentées dans la Pl. 46 et dans le Tableau B (*infra*).

Les critères de description ont été établis pour la collection du Lot C1. Ils demanderont sans doute à être affinés et/ou révisés dans le cas d'une comparaison avec d'autres ensembles contemporains ou diachroniques.

11.1.4.2.1 Grands récipients de stockage, préparation et/ou service

Ces grands récipients, d'une capacité supérieure à 2 litres, remplissent des critères de stockage et/ou de préparation ou de service de denrées destinés à plus d'une personne. Ils représentent moins de 13 % du NMI. Les principales catégories identifiées sur le Lot C1 sont présentées ci-dessous.

▪ *« Pots de stockage » (Pl. 47 à 49)*

Grands récipients tronconiques à fond plat, formes hautes au col/bord rentrant (T-h-I) ou au corps supérieur/col/bord évasé ou droit (T-h-II). Presque toujours à lèvre supérieure à impressions et à cordon ou corps à impressions. Majoritairement en pâtes grossières. Pour le Lot C1, ils semblent représenter des capacités comprises entre 30 l et 5 l (Tableau 3, *infra*). Ils représentent plus de 6 % du NMI. Ils sont interprétés comme étant des pots de stockage : « Ceci peut-être déduit des rares trouvailles in situ faites en Seine-et-Marne, à 'Ajoues de la Grésy', Précy-sur-Marne (A. Bulard), 'Pré des Sécherons', Châtenay-sur-Seine (Gallia Préh., 14, 1971 : 314 fig. 6), 'Les Sablons' et Fresnes-sur-Marne (B.G.A.S.M., 6, 1965 : 179-181) ou des pots ont été découverts enterrés en position debout. Les cordons, en dehors de leur valeur décorative, pourraient avoir eu un rôle plus fonctionnel, afin de renforcer le col et de faciliter la préhension, ou encore de stabiliser le récipient dans le sol. Les lèvres imprimées pourraient également avoir été réalisées dans un but fonctionnel, afin notamment de mieux contrôler le versement des denrées. » (Freidin 1982 p. 159). Il est intéressant de remarquer qu'il n'apparaissent pratiquement jamais dans les sépultures.

▪ *Grands « Jattes/bols » à bord rentrant (Pl. 50 à 51)*

Grands récipients tronconiques à fond plat, formes basses au col/bord rentrant (T-b-I). Presque toujours lisses sans décor. Un seul exemple décoré de cordons et d'impressions (FS3439-3) et un possible individu à piédestal (FC4013-Us4460-3/5). Pour le Lot C1, ils semblent représenter des capacités comprises entre 14 l et 3 l (Tableau 3, *infra*). Ils représentent 5 % du NMI. Le bord rentrant semble correspondre à la contention d'un liquide ou d'un fluide. Leurs fonctions en tant que récipients de stockage, de préparation et/ou de service ne sont pas clairement établis.

▪ *Grands « Jattes/bols » à bord droit/évasé (Pl. 50 à 51)*

Grands récipients tronconiques à fond plat, formes basses au col/bord droit/évasé (T-b-II). Presque toujours à lèvre supérieure à impressions et à cordon ou corps à impressions. Pour le Lot C1, ils semblent représenter des capacités comprises entre 11 l et 4 l (Tableau 3, *infra*). Ils représentent moins de 3 % du NMI. Le bord imprimé pourrait

correspondre à des fonctions similaires à celles des « pots de stockages ». Leurs fonctions en tant que récipients de stockage, de préparation et/ou de service ne sont pas clairement établies.

11.1.4.2.2 Vaisselle de service/préparation

Ces petits récipients, d'une capacité presque toujours inférieure à 2 litres, remplissent des critères de préparation ou de service de denrées pouvant être destinés à une seule personne. Ils représentent plus de 37 % du NMI. Les principales catégories identifiées sur le Lot C1 sont présentées ci-dessous.

- *« Assiettes » (Pl. 53)*

Petits plats au col/bord droit/évasé (PII). Une variété simple à marli et une variété caréné. En pâtes fines sans décor. Pour le Lot C1, ils semblent représenter des capacités inférieures à 1 l (Tableau 3, *infra*). Ils représentent moins de 4 % du NMI. Ils correspondent à des critères de présentation et de « service de table ».

- *« Coupes » basses à pied (Pl. 54)*

Petits récipients à carène médiane ou basse. Formes basses complexes (2 points d'inflexion sur le corps), au corps supérieur/col/bord concave évasé/droit. 3 exemples à piédestaux en pâtes fines. Possible décor de peinture rouge sous le bord. Pour le Lot C1, ils semblent représenter des capacités inférieures à 2,5 l (Tableau 3, *infra*). Ils représentent un peu plus de 2 % du NMI. Ils correspondent à des critères de présentation et de « service de table ». On les retrouve assez fréquemment dans les sépultures.

- *« Coupes » hautes (Pl. 54)*

Petits récipients à carène médiane. Formes hautes complexes (2 points d'inflexion sur le corps), au corps supérieur/col/bord concave évasé/droit. 3 exemples en pâtes fines. Possible décor de peinture rouge sous le bord. Pour le Lot C1, ils semblent représenter des capacités inférieures à 3 l (Tableau 3, *infra*). Ils représentent un peu plus de 2 % du NMI. Ils correspondent à des critères de préparation ou de « service de table ». On les retrouve assez fréquemment dans les sépultures. Ils pourraient représenter les prototypes des « gobelets jogassiens » de la période suivante.

- *« Pots » tronconiques (Pl. 53)*

Petits récipients tronconiques à fond plat, formes hautes au col/bord rentrant (T-h-I) ou au corps supérieur/col/bord évasé ou droit (T-h-II). Pour le Lot C1, ils semblent représenter des capacités inférieures à 1 l (Tableau 3, *infra*). Ils représentent environ 1,5 % du NMI (2 individus). La présence d'un bec verseur sur la pièce FC4013-Us4459-3 indique la contention d'un liquide. Ils correspondent à des critères de préparation ou de « service de table ».

- *Petits « Jattes/bols » à bord rentrant (Pl. 52)*

Petits récipients tronconiques à fond plat, formes basses au col/bord rentrant (T-b-I). Toujours lisses sans décor. Pour le Lot C1, ils semblent représenter des capacités inférieures à 2,5 l (Tableau 3, *infra*). Ils représentent environ 3,5 % du NMI. Le bord rentrant semble correspondre à la contention d'un liquide ou d'un fluide. Ils correspondent à des critères de préparation ou de « service de table ».

- *Petits « Jattes/bols » à bord droit/évasé (Pl. 52)*

Petits récipients tronconiques ou à carène médiane peu marquée, à fond plat, formes basses au col/bord droit/évasé (T-b-II). Assez souvent à lèvre supérieure à impressions. Pour le Lot C1, ils semblent représenter des capacités inférieures à 2 l (Tableau 3, *infra*). Ils représentent environ 5 % du NMI. Le bord imprimé pourrait correspondre à des fonctions de versement des denrées similaires à celles des « pots de stockages ». Ils correspondent à des critères de préparation ou de « service de table ».

- *Couvercle (Pl. 53)*

Pièce FS3595-Us3595/3941-7 : forme tronconique au bord droit dont le diamètre minimum ne permet pas la stabilité, correspondant au « bouton » de préhension. Son faible diamètre d'ouverture, de 15 cm, le classe parmi les petites formes de service.

11.1.4.3 Tableau 2 : Pourcentages des catégories morphologiques par rapport au NMI.

CÉRAMIQUE HALLSTATT FINAL								
MORPHOLOGIES		TAILLE	PÂTES MODELÉES FINES		PÂTES MODELÉES GROSSIÈRES		TOT % NMI arrondis	
			NMI	% arrondis	NMI	% arrondis		
Th	ThI « Pots de stockages »		grands	0	0	3	2,15	2,15
	ThI « vaisselle »		petit	1	0,7	0	0	0,7
	ThII « Pots de stockages »		grands	1	0,7	5	3,55	4,25
	ThII « vaisselle »		petit	1	0,7	0	0	0,7
Tb	TbI « Jattes/bols »		grands	5	3,55	2	1,45	5
			petits	4	2,85	1	0,7	3,55
	TbII « Jattes/bols »		grands	0	0	4	2,85	2,85
			petits	1	0,7	4	2,85	3,55
Th/Tb à lèv. imp. et/ou cord/imp « Pots de stockages-Jattes/bols » indéterminés			?	2	1,45	22	15,7	17,15
Tb/PII « assiettes-Jattes/bols » indéterminés			?	8	5,7	0	0	5,7
PII	« assiettes » à marli		petits	2	1,45	0	0	1,45
	« assiettes » à bord/col droits/évasés			3	2,15	0	0	2,15
PII/CMbIII « assiette-Jatte » carénée indéterminée			grands	0	0	1	0,7	0,7
CMb	CMbII « bol » caréné		petit	1	0,7	0	0	0,7
	CMbII	CMbIII « Jattes/bols » carénés	petit	1	0,7	1	0,7	1,4
		CMbII2 « Coupes » basses	grand	1	0,7	0	0	0,7
			petits	2	1,45	0	0	1,45
CMb/h ?II2 « Coupes » indéterminées			grand	0	0	1	0,7	0,7
			?	2	1,45	1	0,7	2,15
CMh	CMhII ? ?		grand	1	0,7	0	0	0,7
	CMhII2 « Coupes » hautes		petits	4	2,85	0	0	2,85
couvercle			petit	1	0,7	0	0	0,7
Lèvre à impressions formes indéterminées			?	4	2,85	0	0	2,85
bords autres formes indéterminés			?	56	38,55	0	0	38,55
corrections % par valeur arrondie					0,03		0,18	0,08
				95	67,85	45	32,15	100
TOT NMI				142				

11.1.4.4 Tableau 3 : estimation du volume utile approximatif (Pl. 46).

Calcul de l'estimation du volume utile approximatif des formes tronconiques et évasés à carène médiane peu marquée (abstraction de la carène = volume tronconique approx. ; voir Dufaÿ, Raux & Barat 1993) :

Un remplissage à ras bord est peu probable (Dufaÿ, Raux & Barat 1993 p.102). L'emplacement de la perforation du bec verseur de la forme FC4013-Us4459-3 au-dessus de la ligne horizontale d'inflexion de la carène tend à confirmer ce constat Fig. 53). L'épaisseur des parois n'est pas prise en compte. Les valeurs estimées de volume utiles sont donc arrondies au 1/2 litre inférieur pour les grandes formes, au 1/4 de litre inférieur pour les petites formes et au 1/10 de litre pour les volumes inférieurs à 1/2 litre.

Soit r = rayon de la base = dia. ba. ext. estimé moyen : 2

Soit R = rayon du diamètre max. extérieur du contenu (le plus souvent = rayon dia. ma. ext. ou, si dia. ma. > dia. ca., rayon de la carène ext.) = dia. max. ext. du contenu : 2.

Soit H = Hauteur du tronc de cône = Hc. base/carène estimée moyenne = Hc. estimée moy.- Hauteur bord/col.

Volume de cône tronqué = $\pi H/3 (R^2 + r^2 + Rr)$

π à 3,1416

CÉRAMIQUE HALLSTATT FINAL, estimation des volumes utiles								
MORPHOLOGIES		N° INV	dimensions estimée mm			volume utile estimé		
			dia . contenu estimé	dia. ba. estimé moyen	Hc. car. estimé moyenne	mm3 approx.	litres approx.	
Th	grands ThI « Pots de stockages »	FC4013-Us4460-1	420	195	250	19330661	19	
		FC4283-2	270	120	180	5640742	5,5	
		FS3080-1	365	175	185	11030001	11	
	petit ThI « vaisselle »	FC4013-Us4460-2	160	115	85	1274177	1	
	grands ThII « Pots de stockages »	FC4039-Ph3-1	340	200	265	15659930	15,5	
		FOS13-FS3285-Us37776-2	265	170	205	7739615	7,5	
		FOS13-FS3285-Us3285-5	325	165	195	9519735	9 / 9,5	
		FS3281-1	425	220	360	30397336	30 / 30,5	
		FS3567-6	270	145	195	5280047	5	
	petit ThII « vaisselle »	FC4013-Us4459-3/4460-5	150	75	90	927753	0,75 / 1	
Tb	grands TbI « Jattes/bols »	FC4013-Us4489-2	315	155	105	4239546	4	
		FC4167-Ph3/4-3	305	90	140	4712867	4,5	
		FS3210-Us3210-1	300	90	65	2129154	2	
		FS3439-3	430	190	185	14559940	14 / 14,5	
		FS3567-1 & 3	280	125	90	3040087	3	
		FS3643-1	400	160	170	11109351	11	
		FS4015-1	410	125	105	6459227	6 / 6,5	
	petits TbI « Jattes/bols »	FC4005-3	260	90	50	1297478	1 / 1,25	
		FC4013-Us4460-5	225	85	50	1007804	0,75 / 1	
		FC4023-Us4544-7	215	115	110	2424292	2 / 2,5	
		FC4167-Us4499/4531-1	230	90	125	1604179	1,5	
	grands TbII « Jattes/bols »	FC3305-1	270	150	120	4269434	4	
		FOS13-FC3287/FS3790/3836	430	160	130	9509352	9 / 9,5	
		FS3595-Us3595/3941-1 & 3	405	170	165	11307894	11	
	petits TbII « Jattes/bols »	FC3433-2	105	65	45	187965	0,1 / 0,2	
		FC4005-4	150	70	75	744166	0,5 / 0,75	
		FC4023-Us4023-2	205	120 ?	75 ?	1590925 ?	1,5 ?	
		FOS13-FS3790-Us3790/92-7	220	95	40	779304	0,75	
		FS3333-2	215	90	75	1446608	1 / 1,5	
	grand PII//CMbIII « assiette-Jatte » carénée indéterminée	FC3237-3	365	125	95	4837296	4,5	
CM	CMbII	petits CMbIII « Jattes/bols » carénés	FC4035-Us4035/56-1	235	95	85	1163138	1
			FC4167-Ph3/4-5	110	70	45	290990	0,2 / 0,3

11.1.5 Conclusion : collection céramique du Hallstatt final D1-2/IIa, VIe s. av. J.-C.

La fouille du Lot C1 de la ZAC de la Pyramide à Lieusaint a permis de récolter quarante-huit kilos de céramique protohistorique, représentant plus de deux mille trois cents tessons issus des couches de comblement détritiques de fosses utilitaires. D'après ses éléments typo-morphologiques, cette collection est datable du Hallstatt final D1/2-IIa, correspondant approximativement au VIe s. av. J.-C. Pour cette période, elle trouve des comparaisons dans la majeure partie du Nord-est de la France.

La nature fragmentaire et très fragmentée du mobilier n'a permis que d'attribuer moins de la moitié du Nombre Minimum d'Individus à des catégories morphologiques précises (58 formes identifiées sur 140). Plus de 40 % du NMI, composés exclusivement de bords en pâtes fines, plus fragiles, n'ont pu être rattachés à aucune catégorie générale et demeurent totalement indéterminés. Cette variable taphonomique implique donc une sous-représentation artificielle des catégories à pâtes fines. L'ensemble céramique du Lot C1 peut-être divisé en deux sous-ensembles : le premier composé de grands récipients tronconiques de stockage et/ou de préparation/service « collectifs » (13 % du NMI) et le deuxième, constituant une « vaisselle » hétéroclite de préparation/service, pouvant être d'ordre « individuel » (37,4 % du NMI ; les indéterminés constituant 49,6 % du NMI).

Cet ensemble constitue un bon éclairage sur le mobilier céramique domestique d'utilisation courante de cette période. L'habitat lui correspondant n'a pas encore été identifié dans son ensemble. Il faut espérer que, malgré les destructions liées aux pratiques agricoles et à l'urbanisation, ses modalités puissent être définies par la mise en commun des données des fouilles attenantes faites ou à venir.

11.1.6 Tableau A : Inventaire de la céramique modelée des Faits Hallstatt final

(Par ordre alphabétique puis par numéro de fait.)

n° Fait ENS	% file	phases	n° Us	gram.	Modelées Grossières						Modelées Fines						N° INV. et REMARQUES (en mm)	TPQ	TAQ
					NR	NMI MG					NR	NMI MF							
						Bord	Car.	Cor.	Fond	div.		NMI Us	Bord	Car.	Cor.	Fond			
FC3017	100	1 à 3	ttes Us	84	6	1	2			2	8	1	3	1	3	1-1 frag. de bord/col concave en pâte gros, lèv. sup. avec impressions cannelées (ép. ma. ob. : 9).	HF		
FC3210	100	1	3210	419	9		3			3	25	1	1	4	1	1-1 partie sup. de récip. ouvert tronconique évasé en pâte fine. Corps sup. rectiligne évasé, col caréné arrondi, bord rectiligne droit, lèv. arrondi (dia. o. = dia. car. : 280 ; ép. ma. ob. : 7).	HF		
		3+4	3905/3914	104	4		2			2	17	1	1	2		2-1 frag. de fond annulaire ou piédestal en pâte fine (dia. ba. ap. : 80 ; ép. ma. ob. : 6).			
TOT FC3210				523	13					5	42	2		1	7	1-1 frag. de bord/col convexe en pâte fine, lèv. sup. biseauté avec impressions cannelées, frise horizontale d'impressions érodées sur le col (ép. ma. ob. : 6).			
FC3237	100	1+2	ttes Us	1084	30	1	1	3	2		3	28	3	1	5	1	6	1-1 frag. de fond plat en pâte gros. (dia. ba. ap. : 140 ; ép. ma. ob. : 12).	HF
																		2-1 frag. de carène angulaire saillante en pâte gros. (dia. car. ap. : 280 ; ép. ma. ob. : 11).	
																		3-1 frag. de corps sup./col rectiligne évasé de récip. ouv. en pâte gros., bord vertical à rentrant, lèv. sup. aplatie, lèv. int. épaissie (dia. o. ap. : +340 ? ; ép. ma. ob. : 11).	
																		4-1 frag. de cordon appliqué à impressions cannelées sur corps ext. en pâte gros. (ép. ma. ob. : 9).	
																		5-1 fond plat en pâte fine (dia. ba. ap. : 80 ; ép. ma. ob. : 8).	
																		6-1 frag. de col de récip. ouvert en pâte fine, corps sup./col convexe, lèv. sup. en marli, lèv. int. triangulaire (dia. o. : 140 ; ép. ma. ob. : 5).	
																		7-1 frag. de carène "jogassienne" en pâte fine, carène complexe saillante arrondie avec deuxième point d'inflexion marqué par un légère incision horizontale à la liaison avec les corps sup./col (dia. car. ap. : 200 ; ép. ma. ob. : 7).	
FC3305	100	1 à 3	ttes Us	1981	100	1		3	2		3	16	2	2	3		3	1-Plusieurs frag. d'un même pot ouv. en pâte gros. Lèv. sup. avec impressions indentées à cannelées, col convexe légèrement rentrant, col concave avec frise horizontale d'impressions cannelées, carène arrondie, corps rectiligne évasé et fond plat (dia. o. : 250 ; dia. car. : 220/230 ; dia. ba. : 150 ; Hc. = Ht. : + 150 ? ; ép. ma. ob. : 11 ; ép. mi. ob. : 7).	HF
																		2-1 frag. de corps sup. de récip. fermé en pâte fine, lèv. rectangulaire à arrondi, bord/col concave, carène composite avec ligne d'inflexion en ressaut et corps inf. convexe (dia. o. ap. : 180 ; ép. ma. ob. : 7).	
FC3387	100	1	3387/3763	2352	45		1	4	1		4	34	2	2	4		5	1-1 frag. de corps en pâte gros. avec cordon appliqué horizontal avec impressions cannelées (ép. ma. ob. : 16).	HF
		2	3805	20	1		1			1								2-1 frag. de bord/col concave en pâte gros. avec lèv. sup. à impressions cannelées, lèv. int. et ext. épaissies par l'applatissage de la lèv. sup. (ép. ma. ob. : 8).	
TOT FC3387				2372	46	0		1		5	34	2					5	3-1 frag. de col/bord rectiligne évasé en pâte fine de récip. ouv., lèv. arrondi (dia. o. ap. : 240 ? ; ép. ma. ob. : 5).	
																		4-1 frag. de col d récip. ouv. en pâte gros. , col caréné convexe, bord droit rectiligne, lèv. rectangulaire à arrondi (dia. o. ap. : ? ; ép. ma. ob. : 6).	
FC3433	100	1	3433/3833 et 3773	1687	16	3		5	2	5	60	2	2	3	1	4	4	1-1 frag. de bord/col convexe en pâte gros. avec lèv. sup. à impressions indentées (ép. ma. ob. : 12).	HF
																		2-1 profil complet de petit récipient ouvert (gobelet) en pâte grossière. Bord/col convexe, lèv. rectangulaire, corps rectiligne évasé, fond plat (dia. o. = dia. ma. : 100 ; dia. ba. : 60 ; Hc. = Ht. : 52 ; ép. ma. ob. : 10 ; ép. mi. ob. : 5).	
																		3-1 frag. de fond plat en pâte gros. (dia. ba. ap. : 140 ; ép. ma. ob. : 8).	
																		4-1 frag. de fond plat en pâte fine (dia. ba. ap. : 120 ; ép. ma. ob. : 8).	
																		5-1 frag. de col de récipient ouv. en pâte fine (plat ?), col caréné convexe, bord rectiligne évasé et lèv. effilée, corps inf. rectiligne (fond ?), (dia. o. : ? ; ép. ma. ob. : 8).	
																		6-Plusieurs fragment d'un grand récip. globulaire fermé en pâte fine. Corps inf. rectiligne à convexe, carène convexe, point d'inflexion du fond souligné par une cannelure incisée horizontale (dia. car. ap. = dia. ma. ap. : 400 ; dia. ba. : 160 ; Hc. : + 220 ? ; ép. ma. ob. : 7 ; ép. mi. ob. : 5).	
FC3615	100	1+2	ttes Us	135	8			4		4	2	1			1	1	1	1-1 frag. de bord/col convexe en pâte gros. avec lèv. sup. à impressions indentées (ép. ma. ob. : 12).	HF

n° Fait ENS	% file	p h a s e s	n° Us	g r a m .	Modelées Grossières						Modelées Fines						N° INV. et REMARQUES (en mm)		T P Q	T A Q			
					NR	NMI MG					NR	NMI MF											
						B o r d	C a r .	C o r .	F o n d	d i v .		N M I U s	B o r d	C a r .	C o r .	F o n d	d i v .	N M I U s					
FC4005	100	1+2	ttes Us	861	26	1		7	1		7	31	4	2	6	2	1	7	1-1 fusaiole complète en pâte fine (dia. ma. : 37 ; ép. ma. : 18). 2-1 frag. de récipient ouvert en pâte grossière à lèv. ext. ép. triangulaire et lèv. sup. en marli, col concave et carène haute (dia. o. ap. : 250 ; ép. ma. ob. : 9 ; ép. mi. ob. : 7). 3-1 frag. de récipient ouvert en pâte fine à corps sup. rectiligne et bord caréné légèrement rentrant à lèv. effilée (dia. o. ap. : 250 ; ép. ma. ob. : 6). 4-2 frag. d'un même récipient ouvert en pâte fine à corps sup. rectiligne et bord droit à lèv. int. biseauté (dia. o. ap. : 140 ; ép. ma. ob. : 8 ; ép. mi. ob. : 6). 5-1 fond plat en pâte grossière (dia. ba. ap. : 80 ; ép. ma. ob. : 11). 6-1 fond plat en pâte fine (dia. ba. : ? ; ép. ma. ob. : 11).	HF			
FC4007	100	1+2	ttes Us	208	7			3			3	9	2		6			7	1-1 frag. de récipient en pâte fine à bord rectiligne, lèv. droite, carène haute arrondie et corps sup. convexe (dia. : ? ; ép. ma. ob. : 8). 2-1 frag. de bord rectiligne en pâte fine à lèv. sup. à impressions indentées (dia. : ? ; ép. ma. ob. : 5).	HF			
FC4013	100	1	4459	4013	44	4	1	1		1	3		1	1				2	1-1 bord concave en pâte grossière à lèv. sup. à impressions indentées (dia. : ? ; ép. ma. ob. : 9).	HF			
				4458	109	5	1	4		2	2		2		2				2			1-1 bord rentrant en pâte grossière à lèv. sup. à impressions cannelées (dia. o. ap. : + de 400 ; ép. ma. ob. : 11).	
				4527	71	2		2		2	5		1	1								1	
					1191	37	3	9		9	19	3	2	4	1	1	1	4				4	1-1 frag. de récipient en pâte fine à fond concave et corps inf. rectiligne. Décor ext. de gravure sur pâte cuite : bandes verticales rayonnant depuis la base, motifs irréguliers de triangles et lignes croisées (dia. ba. : 72 ; ép. ma. ob. : 7 ; ép. mi. ob. : 5). 2-1 frag. de pot en pâte grossière avec cordons appliqués avec impressions cannelées : 2 cordons horizontaux parallèles reliés à au moins 2 cordons obliques formant un triangle (ép. ma. ob. : 15). Recolle avec FC4167 Us4495 phase 1. 3-1 frag. de récipient ouvert en pâte fine oxydée à inclusions calcaires au corps sup. convexe, bord rectiligne et lèv. irrégulière aplatie, bec verseur sous le bord. (dia. o. : 140 ; ép. ma. ob. : 8 ; ép. mi. ob. : 5). Tessons de corps convexe, bord et fond plat similaires dans l'Us4460 4-Plusieurs frag. peut-être issus d'un même col en pâte fine, bord légèrement concave et lèv. droite effilée (dia. o. : 240 ? ; ép. ma. ob. : 5 ; ép. mi. ob. : 4). -1 bord à impressions cannelées en pâte grossière similaire à Us4460. -1 frag. de panse en pâte grossière similaire à Us4487
				4487	136	6		3		3													
	2	4517/4518	289	8			2		2	13	2		5				5	1-1 frag. en pâte fine de bord rectiligne à lèv. sup. à impressions cannelées (dia. o. : ? ; ép. ma. ob. : 7). 2-1 frag. de corps en pâte grossière avec cordon appliqué avec impressions cannelées (ép. ma. ob. : 15).					
	3		4460	1648	25	1	1	2		2	26	4	3	8	3		8	1-Plusieurs frag. d'un même pot ouvert en pâte grossière : bord rentrant à lèv. sup. avec impressions cannelées, col caréné convexe et corps rectiligne. 2 cordons appliqués horizontaux parallèles avec impressions cannelées sous le col (dia. o. : 380 ; dia. ca. : 420 ; Hc : + de 250 ; ép. ma. ob. : 13 ; ép. mi. ob. : 8). 2-1 profil de récipient fermé en pâte fine (gobelet ?), fond manquant : corps convexe, bord légèrement concave et lèv. droite arrondie (dia. o. ap. : 130 ; dia. ma. ap. : 150 ; Hc : 115 ; ép. ma. : 10 ; ép. mi. : 5). -2 piédestaux circulaires en pâtes fines 3 : dia. ba : 80 ; H : 45 ; ép. ma. obs. : 8). 4 : dia. ba : 65 ; H : ? ; ép. ma. obs. : ?). 5-1 frag. de récipient ouvert en pâte fine, à col caréné, bord rentrant et lèv. droite, carène haute angulaire et corps sup. convexe (dia. o. : 210 ; dia. ca. : 220 ; ép. ma. ob. : 6 ; ép. mi. ob. : 3). Peut-être à associer avec l'un des piédestaux. 5-1 fond plat en pâte fine oxydée à inclusions calcaires, similaire au récipient à bec verseur de l'Us4459 (dia. ba. : 80 ; ép. ma. ob. : 7).					
	4	4489	320	1			1		1	12	1	1	3	2			4	1-1 fond plat en pâte fine (dia. ba. : 95 ; ép. ma. ob. : 5). 2-1 frag. de récipient ouvert en pâte fine à bord rentrant et lèv. droite rectangulaire, carène haute arrondie et corps sup. rectiligne à convexe (dia. o. ap. : 290 ; dia. ca. ap. : 300 ; ép. max. : 8).					
TOT FC4013				3808	88	5		0		22	80	9		6			25						
valeurs de correction TOT NMI						-1				tot-2		-1					tot	-1					

n° Fait ENS	% file	p h a s e s	n° Us	g r a m .	Modelées Grossières						Modelées Fines						N° INV. et REMARQUES (en mm)		T P Q	T A Q
					NR	NMI MG					NR	NMI MF								
						B o r d	C a r. .	C o r. .	F o n d	d i v. .		N M I U s	B o r d	C a r. .	C o r. .	F o n d	d i v. .	N M I U s		
FC4023	100	1	4023	401	10	1	1	3			3	13	2		5			5	-Tessons pâtes grossières similaires à phases 2 et 3. -1 bord en pâte fine similaire à carène phase 2. 1-1 frag. de cordon appliqué en pâte gros. sur panse ext. (ép. ma. ob. : 10). 2-1 frag. de récipient ouvert en pâte grossière, bord/col concave, lèv. sup. aplatie avec impressions cannelées et lèv. ext. épaissie, carène haute arrondie avec ligne horizontale d'impressions circulaires digitées (dia. o. ap. : 180 ? ; ép. ma. ob. : 10).	HF
			4542/ 44/30	462	20	2	1	1		5	18	3	1	9		2	11	-Tessons pâtes grossières similaires à phase 3 1-1 bord en pâte gros. à lèv. droite avec lèv. sup. avec impressions cannelées (dia. o. ap. : ? ; ép. ma. ob. : 9). 2-1 frag. de fond plat en pâte grossière (ép. ma. ob. : 12). 3-1 frag. de cordon appliqué érodé en pâte gros. sur panse ext. (ép. ma. ob. : 9). 4-1 fusaïole en pâte fine (dia. : 36 ; ép. ma. : 14). 5-1 frag. de fusaïole ou grosse perle en pâte fine. 6-3 tessons en pâtes fines avec traces de peinture rouge sur l'ext ; dont 1 bord à col légèrement concave et lèv. droite (dia. o. ap. : 100 ; ép. ma. ob. : 3). 7-1 frag. de récipient ouvert en pâte fine, col caréné, bord rentrant et lèv. sup. biseauté, corps sup; rectiligne (dia. o. ap. : 200 ? ; ép. ma. ob. : 8). 8-1 bord de récip. ouvert en pâte gros., col concave, lèv. sup. aplatie avec impressions cannelées et lèv. ext. légèrement épaissie, carène haute convexe (dia. o. ap. : 250 ? ; ép. ma. ob. : 7).		
			4529/4543	104	10			2		2	2			2			2		2	
			TOT FC4023	967	40	3		1		7	33	5							15	
valeurs de correction TOT NMI										tot-3							tot-3			
FC4035	100	1	ttes	158	14		1	4		4	5			5			5	1-1 frag. de pot ouvert en pâte gros., corps sup. rectiligne, bord court rentrant sans col, lèv. irrégulière arrondie, stries verticales érodées sur surf. ext. (peignée ?) (dia. o. ap. : 220 ; ép. ma. ob. : 9). 2-1 frag. de fond annulaire ou piédestal en pâte fine (dia. ba. : 80).	HF	
			drain	631	15	2		6	1	6	18	1	6	2	6					
			4035/4556	281	2		1	1		2	6		3	1	3					
			4557/58	722	10	2		3		3	15	2	1	1	2	3				
			4564 /59/60	153	2		1			1	1				1	1				
TOT FC4035	1945	43	4		2		15	45	3			6	18							
valeurs de correction TOT NMI									tot-1							tot				
FC4039	100	1	ttes	57	4			2		2								-Fragments corps et bord en pâte grossière idem phase 3. -frag. en pâte fine similaires à la phase 2. 1-1 frag. de col de récip. ouv. en pâte fine, corps sup. rectiligne, col caréné arrondi, bord vertical à rentrant rectiligne, lèv. sup. biseauté (dia. o. ap. : 340 ? ; ép. ma. ob. : 8). 2-1 frag. de col de récip. en pâte fine, col concave, bord droit, lèv. ext. épaissie avec fines impressions indentées (dia. o. : ? ; ép. ma. ob. : 6).	HF	
			drain	493	27	1	1	4		4	23	2	1	3	2	3				
			4039/4456 /84	153	6		3	1		3	11	2	3	1	3					
			4451/85	820	9	1	1	1		2	6		1	2		1				
TOT FC4039	1523	46	1		1		8	40	4			2	5							
valeurs de correction TOT NMI						-1			tot-3				-1	tot-2						

n° Fait ENS	% file	p h a s e s	n° Us	g r a m .	Modelées Grossières						Modelées Fines						N° INV. et REMARQUES (en mm)	T P Q	T A Q	
					NR	NMI MG					NR	NMI MF								
						B o r d	C a r .	C o r .	F o n d	d i v .		N M I U s	B o r d	C a r .	C o r .	F o n d				d i v .
FC4156	100	1	4156/4585 /86	2270	90	3	4	11	1		11	60	3	3	3	1	4	-4 frag. de carène et 2 de corps en pâtes gros. avec cordon appliqué horizontal avec impressions cannelées. 1-1 car. : dia. car. : 280 ; ép. ma. ob. : 12 ; 2-1 car. : ép. ma. ob. : 6 ; 3 & 4-2 car. : ép. ma. ob. : 9 ; 5-1 corps : ép. ma. ob. : 12 ; 6-1 corps : ép. ma. ob. : 15. 7-1 frag. de col en pâte gros., col/bord droit et lèv. sup. à impressions cannelées (dia. o. : ? ; ép. ma. ob. : 12. 8-1 frag de fond plat en pâte grossière, fond chauffé réduit noir et parois oxydées (dia. ba. ap. : 200 ? ; ép. ma. ob. : 8). 9-1 col caréné complexe (2 points d'inflexion, goulot ?) en pâte fine (dia. ma. col : 80 ; ép. ma. ob. : 4). 10-1 fond plat en pâte fine (dia. ba. : 160 ; ép. ma. ob. : 8).	HF	
			2	4588/ 90/91	403	15			2		2	9	1		4	1	4			1-1 frag. de bord convexe en pâte fine à lèv. sup. avec impressions cannelées et lignes horizontale d'impressions circulaires à 1,5 cm sous le bord (dia. o. ap. : 120 ; ép. ma. ob. : 8).
			3	4593	1876	35			2	3		3	13	1		4				4
TOT FC4156				4549	140	3			4		11	82	5			2	11			
valeurs de correction TOT NMI											tot-5						tot-1			
FC4167	100	1+2	4167	832	28	1		5		5	11	1	2	2	1	3	1-Plusieurs frag. de grand col/bord concave en pâte fine, lèv. effilée. Similaire à Us4523, carène médiane saillante et corps inf. rectiligne (dia. o. ap. : 160 ; ép. ma. ob. : 6 ; ép. mi. ob. : 4). 2-Frag. de col de récipient ouv. évasé en pâte gros., col/bord concave, lèv. int. biseauté et lèv. int. épaissie. Recolle avec Us4533 (dia. o. ap. : 390/400 ; ép. ma. ob. : 9).	HF		
			4495	249	7	1		2	1		3	6			2	1			3	1-1 fusaïole complète en pâte fine (dia. ma. : 34 ; ép. ma. : 23). 2-1 frag. de pot en pâte grossière avec cordons appliquées avec impressions cannelées : 1 cordon horizontal relié à 1 cordon oblique (ép. ma. ob. : 15). Recolle avec FC4013 Us4459 phase 1. 3-1 frag. de col en pâte gros., col/bord concave, lèv. sup. avec impressions cannelées et lèv. int. épaissie par l'appatissement de la lèv. sup. (dia. o. : ? ; ép. ma. ob. : 12).
			4499/4531	459	15	1	1	3	1		3	6	2		4				4	4
		4500	535	7			3	2		3	10			3		3	3		1-1 fond plat complet en pâte grossière (dia. ba. : 130 ; ép. ma. : ? parois absentes). 2-1 frag. de fond plat en pâte gros. (dia. ba. : 100 ; ép. ma. ob. : 8).	
		4536 4535 4533 4523	1008	8	3	1	3	1	1		4	40	3	1	4	1	4		4	1-1/2 fusaïole en pâte grossière (dia. ma. : 45 ; ép. ma. ap. : 30). 2-1 tesson en pâte fine avec couverture rouge bordeaux sur l'une des surfaces (ép. ma; ob. : 5). 3-Frag. sup. de récipient ouvert tronconique en pâte gros. Corps sup. rectiligne évasé, col caréné, bord rentrant légèrement concave, lèv. sup. biseauté. 1 frag. de fond plat probablement issu du même individu (dia. car. : 300 ; dia. ba. ap. : 90 ; ép. ma. ob. : 8 ; ép. mi. ob. : 5). 4-Plusieurs frag. d'un récipient ouv. tronconique (plat ?) en pâte fine. Col caréné angulaire à presque 90°, bord rectiligne droit et lèv. arrondi, corps sup. rectiligne évasé. 1 frag. de fond plat attribuable au même individu (dia. o. ap. = dia. car. ap. : 220 ; ép. ma. ob. : 9). 5-Frag. de col de récip. ouv. en pâte fine. Corps sup./col/bord continus convexes, lèv. irrégulière avec un léger biseau de la lèv. sup. (dia. o. ap. : 100 ; ép. ma. ob. : 6).
TOT FC4167				3083	65	5			5	14	73	5			2	11				
valeurs de correction TOT NMI						-1				tot-4		-1					tot-6			

n° Fait ENS	% file	p h a s e s	n° Us	g r a m .	Modelées Grossières						Modelées Fines						N° INV. et REMARQUES (en mm)		T P Q	T A Q	
					NR	NMI MG					NR	NMI MF					T P Q	T A Q			
						B o r d	C a r .	C o r .	F o n d	d i v .		N M I U s	B o r d	C a r .	C o r .	F o n d					d i v .
FC4283	100	1 à 4	ttes Us	1630	54	2	2	5	4		5	32	4	2	4	3	4	1-1 fond plat en pâte grossière (dia. ba. : 125 ; ép. ma. ob. : 10). 2-Plusieurs frag. d'un pot en pâte gros., bord col convexe rentrant avec lèv. sup. à impressions cannelées, carène haute avec ligne d'impressions oblongues verticales (2 cm de long) espacées de 2 cm. 2 lignes verticales de peinture noire encadrent l'une de ces impressions. Corps tronconique évasé et fond plat (dia. car. ap. = dia. ma. ap. : 260 ; dia. ba. ap. : 120 ; ; ép. ma. ob. : 9 ; ép. mi. ob. : 6). 3-1 frag. de col en pâte gros., col/carène arrondi, bord concave, lèv. sup. aplatie avec impressions cannelées (dia. car. ap. : 180 ; ép. ma. ob. : 9). 4-1 frag. de piédestal en pâte fine (dia. ba. : 80 ; Hpiédestal : 25). 5-1 frag. de fond plat en pâte fine (dia. ba. : 80 ; ép. ma. ob. : 6). 6-1 bord de récipient ouv. en pâte fine, corps sup./col légèrement concave, lèv. rectangulaire à arrondie avec lèv. int. en bandeau épaissie (dia. o. : ? ; ép. ma. ob. : 6).	HF		
FOS13																					
FS3836	100	A	1	3836	404	8	1		3		3	5	1		1		2	1-1 frag. de partie sup. de grand pot ouv. en pâte gros., col/bord convexe, lèv. sup. aplatie avec impressions cannelées, corps sup. rectiligne évasé (dia. o. = dia. ma. : 400 ; Hc. : + de 130 ; ép. ma. ob. : 14). 2-1 frag. de col/bord concave en pâte gros., lèv. sup. biseauté, couverture rouge sur ext. (peinture cuite, engobe ?) (ép. ma. o. : 9).	HF		
FS3790	100	B	1	3790/3792	1684	60	2		7	5		8	18	2		3	2	-Nbreux appareillements avec FS3285. 1-1 frag. de fond plat en pâte semi-grossière (dia. ba. : 110 ; ép. ma. ob. : 7). 2-1 frag. de fond plat en pâte grossière (dia. ba. : 100 ; ép. ma. ob. : 9). 3-1 frag. de fond plat en pâte grossière (dia. ba. : 150 ; ép. ma. ob. : 9). 4-1 frag. de fond plat en pâte grossière (dia. ba. : 110 ; ép. ma. ob. : 8). 5-1 frag. de fond plat en pâte grossière (dia. ba. : 160 ; ép. ma. ob. : 10). 6-Plusieurs frag. de bord/col de récip. ouv. en pâte gros. (similaires dans FS3285 Us3285), col concave, bord à lèv. ext. en ailette triangulaire, lèv. sup. en marli d'1,5 cm de large (dia. o. ap. : 250 ? ; ép. ma. o. : 10). 7-Plusieurs frag. de bord/col de récip. ouv. en pâte gros. (similaires dans FS3285 Us3285), col/bord convexe, lèv. sup. aplatie avec impressions striées (dia. o. ap. : 210 ; ép. ma. o. : 7).	HF		
				3794	54	8			2			2	5	1		2	2				
TOT FS3790				1738	68	2		5		10	23	3					4				
FS3285	100	C	1	3285	1637	70	4		8	3		9	30	2	1	4	3	5	-Nbreux appareillements avec FS3790. 1-1 frag. de corps avec cordon appliqué horizontal à impressions cannelées en pâte gros. sur ext. (ép. ma. ob. : 10). 2-1 frag. de fond plat en pâte gros. oxydée rouge (dia. ba. ap. : 170 ; ép. ma. ob. : 8). 3-1 frag. de fond plat en pâte gros. (dia. ba. ap. : 160 ; ép. ma. ob. : 16). 4-Frag. brûlés de pot ouv. en pâte gros., col/bord rectiligne, lèv. sup. aplatie avec impressions cannelées (dia. o. ap. : 360 ; ép. ma. ob. : 9). 5-Plusieurs frag. de partie sup. d'un grand pot ouv. en pâte gros., lèv. sup. aplatie avec impressions cannelées, lèv. int. épaissie par aplatissement de la lèv. sup., bord/col/corps sup. légèrement convexe, corps inf. rectiligne (dia. o. ap. = dia. ma. ap. : 300 ; Hc. : + de 130 ; ép. ma. ob. : 10). 6-1 frag. de fond plat en pâte fine (dia. ba. ap. : 100). 7-1 frag. de piédestal en pâte fine (dia. ba. ap. : 60).	HF	
				3776	1169	6			1		1	2	1	1		1	1	1	1-1 peson trapézoïdal brûlé presque complet en pâte gros. loessique avec inclusions de gravillons calcaires anguleux, trou de suspension dans la partie sup. (larg. mi. ob. : 60 ; larg. ma. ob. : 70 ; Ht. ap. : 155 ?). 2-1 frag. de partie sup. de récip. ouv. en pâte fine, bord/col/corps sup. légèrement convexe, lèv. rectangulaire, lèv. sup. avec stries obliques imprimées, cordon appliqué horizontal avec impressions cannelées 4,5 cm sous le bord, possible décor de frise verticale de double rangée d'impressions pointillées entre le cordon et le bord (dia. o. ap. : 250 ; ép. ma. ob. : 10).		
				3762	105	7			2				2			1			-Tessons similaires aux Us sup.		
TOT FS3285				2911	83	4		3		11	33	3				3		6			
FC3780	100	D	2	3832	89	8			2			2	1			1		1			
FS3779	100	E	1	ttes Us	56	2			2			2	3	1	1	2		2			
FS3818	100		1	3817	849	15			2	1		2	2			2		2			
FS3854	100		1	3854	64	4			2			2	1	1				1			
																			1-1 fond plat complet en pâte grossière (dia. ba. : 120 ; ép. ma. ob. : 12).		

n° Fait ENS	% file	p h a s e s	n° Us	g r a m .	Modelées Grossières						Modelées Fines						N° INV. et REMARQUES (en mm)		T P Q	T A Q
					NR	NMI MG					NR	NMI MF								
						B o r d	C a r .	C o r .	F o n d	d i v. I Us		B o r d	C a r .	C o r .	F o n d	d i v. I Us				
FC3287	100	?	1 3287/3806 /00/12	285	14		2	1		2	10	1		1		1	1-1 frag. grand pot en pâte gros. idem FS3836 Us3836-1. 2-Frag. de partie sup. de récip. ouv. en pâte gros., col/bord caréné convexe, lèv. arrondi, corps sup. convexe évasé (dia. o. ap. = dia. ca. ap. = dia. ma. ap. : 230 ; ép. ma. ob. : 9).	HF		
		2	3804	306	8	1		2		2	5	2		2		2				
TOT FC3287				591	22	1		1		4	15	3					3			
TOT FOS13				6702	210	5		10		21	83	9			3		13			
valeurs de correction TOT NMI						-3				tot-15		-3				tot-8		HF		
FS3080	100	1	3761/3080	135	9	1	1	4		4	15	2	1	2		2	1-1 frag. de partie sup. de récipient fermé en pâte gros., col/bord rectiligne à lèv. effilée, carène arrondie, décor de frises horizontales d'impressions circulaire sur la carène (au moins 2 rangées). (dia. o. ap. : 310 ; ép. ma. ob. : 10).	HF		
FS3082	100	1	ttes Us	113	6			3		3	15	1	1	2		2		HF		
FS3194	100	1	3194	645	19	1	1	3	1	3	16	2		2	1	2	1-1 tesson en pâte gros. avec ligne d'impressions (ép. ma. ob. : 11). 2-1 frag. de partie sup. de grand pot (ouv. ?) en pâte gros. Col/bord rectiligne, lèv. sup. avec impressions cannelées, carène arrondie avec cordon appliqué horizontal à impressions cannelées (dia. car. ap. : 420 ; ép. ma. ob. : 16). 3-1 frag. de col/bord convexe à lèv. arrondi en pâte fine (ép. ma. ob. : 6). 4 : 1 frag. de col/bord rectiligne rentrant en pâte fine, lèv. sup. biseauté (dia. o. ap. : 260 ; ép. ma. ob. : 6).	HF		
FS3281	100	1	3281	2868	75	3		4	2	4	3		1	1	1	1	1-Plusieurs frag. brûlés d'un grand pot ouv. en pâte gros. Col/bord rectiligne à légèrement concave, lèv. sup. biseauté avec impressions cannelées, par endroits, lèv. int. soulignée par une ligne horizontale imprimée. Cordon appliqué horizontal avec impressions cannelées 6 cm sous le bord, corps sup. rectiligne (dia. o. ap. : 400 ; Hc. : + de 200 ; ép. ma. ob. : 13). 2-Plusieurs frag. d'un pot en pâte gros., lèv. sup. biseauté à impressions cannelées, bord rentrant convexe, col rectiligne avec petit cordon appliqué avec impressions cannelées 2,5 cm sous le bord (ép. ma. ob. : 12). 3-1 frag. de col/bord légèrement conv. en pâte gros., lèv. sup. à impressions cannelées, traces de frise horizontale d'impressions oblongues érodées sous le bord (dia. o. ap. : 250 ; ép. ma. ob. : 9).	HF		
FS3333	100	1	3333/3760	481	24	2		2		2	24	1	1	4	1	4	1-1 frag. de fond annulaire ou piédestal en pâte fine (dia. ba. : 80 ; ép. ma. ob. : 7). 2-Plusieurs frag. d'un récipient ouv. en pâte gros. Col/bord convexe, corps sup. rectiligne à convexe, lèv. sup. avec impressions cannelées, lèv. int. irrégulière légèrement épaissie en bandeau (dia. o. ap. = dia. ma. ap. : 200 ; ép. ma. ob. : 7). 3-1 frag. de bord rectiligne en pâte fine, lèv. sup. applatie et lèv. ext. épaissie effilée (ép. ma. ob. : 6).	HF		
FS3439	00	1	3439/3782	1510	39	3	1	6		6	17	2	1	4	1	4	1-1 frag. de col/bord rectiligne à légèrement convexe de récip. ouv. en pâte gros., lèv. sup. avec impressions cannelées, frise horizontale d'impressions érodées sur le col (dia. o. : ? ; ép. ma. ob. : 12). 2-1 frag. de col/bord rectiligne à légèrement convexe de récip. en pâte gros., lèv. sup. avec impressions cannelées. Traces de résidus noirs sur une bande de 2 cm sous le bord int. (dia. o. : 240 ; ép. ma. ob. : 11). 3-Frag. de partie sup. d'un grand pot ouvert en pâte gros., lèv. sup. avec stries obliques imprimées, col/bord concave, carène haute angulaire saillante, corps sup. rectiligne, cordon appliqué horizontal avec impressions cannelées sur la carène relié à des cordons verticaux avec impressions cannelées sur le col rejoignant la lèv. (dia. o. : 400 ; dia. ca. : 420 ; ép. ma. ob. : 13 ; ép. mi. ob. : 8). 4-1 frag. de col/bord concave en pâte fine, lèv. ext. épaissie arrondie (ép. ma. ob. : 6). 5-1 frag. de partie sup. de récip. fermé en pâte fine, lèv. effilée, col/bord concave, carène médiane complexe en bandeau (2 points d'inflexion), corps inf. convexe (dia. o. : 140 ; dia. ca. : 155 ; Hc. : + de 80 ; ép. ma. ob. : 10 ; ép. mi. ob. : 5).	HF		
FS3457	100	1	3457	55	5			2		2	3	1		1		1	1-1 frag. de bord à ailette/marli en pâte fine, lèv. effilée, marli de 2 cm de largeur (dia. o. ap. : 200 ; ép. ma. ob. : 5).	HF		

n° Fait ENS	% file	p h a s e s	n° Us	g r a m .	Modelées Grossières						Modelées Fines						N° INV. et REMARQUES (en mm)		T P Q	T A Q		
					NR	NMI MG					NR	NMI MF										
						B o r d	C a r .	C o r .	F o n d	d i v .		N M I U s	B o r d	C a r .	C o r .	F o n d					d i v .	N M I U s
FS3595	100	1	3595/3941	3147	50	2	1	4	3		4	40	3	1	3	2	1	4	1-1 fond plat complet en pâte gros. (dia. ba. : 170 ; ép. ma. ob. : 9). 2-1 frag. de fond plat en pâte gros. (dia. ba. : 200 ; ép. ma. ob. : 11). 3-Plusieurs frag. brûlés d'un même récipient ouv. en pâte gros., en partie déformés par la chaleur. Col/bord rectiligne à convexe, lèv. sup. biseauté et lèv. int. irrégulièrement épaissie. Traces de raclage/peigne sur ext. et int. de certains tessons. 1 frag. de fond plat associé. (dia. o. ap. : 400 ? ; ép. ma. ob. : 11). 4-1 perle complète en pâte fine (dia. ma. : 22 ; ép. ma. : 16). 5-1 bord en pâte gros. à lèv. sup. aplatie à impressions cannelées (ép. ma. ob. : 10). 6-Plusieurs frag. d'un même récipient fermé en pâte fine à carène médiane composite marquée par un ressaut, col/bord concave, corps inf. convexe, lèv. effilée (dia. ca. : 230 ; Hc. : + de 120 ; ép. ma. ob. : 9). 7-1 frag. de couvercle en pâte fine, col/bord caréné convexe, lèv. arrondi, corps rectiligne évasé (dia. o. ap. = dia. ca. ap. : 150 ; ép. ma. ob. : 8 ; ép. mi. ob. : 5). 8-1 frag. de fond plat en pâte fine (dia. ba. ap. : 80). 9-1 frag. de fond annulaire en pâte fine (dia. ba. ap. : 60).	HF		
TOT FS3595				3181	50	2		3		4	49	3		2		2		6				
FS3567	100	1	ttes Us	697	16	1	1	2	1		2	23	2	1	2	3		4	1-1 frag. de récip. ouv. en pâte fine, col/bord convexe, lèv. arrondi, corps sup. rectiligne évasé (dia. o. : 260 ; dia. ma. : 280 ; ép. ma. ob. : 7). 2-1 frag. de fond plat en pâte fine (dia. ba. : 100 ; ép. ma. ob. : 8). 3-1 frag. de fond plat en pâte fine (dia. ba. : 120). 4-1 frag. de bord rectiligne à lèv. sup. biseauté en pâte fine (ép. ma. ob. : 7). 5-1 frag. de carène composite avec ressaut en pâte fine oxydée orange, corps sup. concave, corps inf. convexe (dia. ca. ap. : + de 300 ? ; ép. ma. ob. : 9). 6-Plusieurs frag. d'un pot ouv. en pâte gros., col/bord rectiligne, lèv. sup. à impressions cannelées, lèv. ext. épaissie arrondie par endroits, carène/corps sup. convexe, cordon appliqué avec impressions cannelées sur la carène, 5,5 cm sous le bord (dia. o. ap. = dia. ma. ap. : 250 ; ép. ma. ob. : 11).	HF		
FS3643	100	1	3643	265	3			1	1		2	45	2	2	3	1		4	1-1 frag. de partie sup. d'un récip. ouv. en pâte fine. Col caréné convexe, bord rentrant rectiligne à lèv. rectangulaire à arrondi, corps rectiligne (dia. o. : 370 ; dia. ca. = dia. ma. ; 400 ; Hc. ap. : + de 130 ; ép. ma. ob. : 9). 2-1 frag. de piédestal en pâte fine (dia. ba. : 70 ; Hpied : 50 ; ép. ma. ob. : 4). 3-Frag. de partie sup. d'un récipient ouv. en pâte fine, col/bord concave, lèv. arrondi, carène médiane angulaire saillante, corps inf. rectiligne (dia. o. : 280 ; dia. ca. : 290 ; Hc. ap. : + de 90 ; ép. ma. ob. : 6).	HF		
FS3687	décap.	1	3687	33	1			1			1	5			2			2			HF	
FS3713	100	1	ttes Us	300	16			2	1		2	11	1		3			3	1-1 frag. de bord/col convexe de récip. ouv. en pâte fine, lèv. irrégulière arrondie (dia. o. ap. : 160 ; ép. ma. ob. : 8).	HF		
FS4015	100	1	ttes Us	1615	3			3			3	35	1	2	3	1		3	1-Plusieurs frag. d'un même récipient ouvert en pâte fine à bord rentrant, lèv. droite rectangulaire, col caréné arrondi et corps sup. rectiligne (dia. o. ap. : 380 ; dia. ca. ap. : 400 ; Hc. : + de 100 ; ép. ma. ob. : 10 ; ép. mi. ob. : 6). 2-1 gros frag. de corps rectiligne en pâte gros. avec stries verticales de raclage ou de peigne sur la surf. ext. (ép. ma. ob. : 12).	HF		
FS4154	100	1	4154	1434	50	2	2	4	3		4	35	4	2	4	2		4	1-1 frag. brûlé de corps sup. de pot en pâte gros. Corps sup rectiligne, col caréné arrondi, bord rectiligne et lèv. sup. biseauté, décor d'impressions en frise horizontale érodée sur corps sup. (dia. o. : ? ; ép. ma. ob. : 11). 2-1 frag. de col/bord de pot en pâte gros. légèrement concave, lèv. sup. avec impressions cannelées et lèv. int. épaissie (dia. o. : ? ; ép. ma. ob. : 10). 3-1 frag. de cordon appliqué avec impressions cannelées sur carène (ép. ma. ob. : 13) 4-1 frag. de fond plat en pâte fine (dia. ba. ap. : 140 ; ép. ma. ob. : 9). 5-1 tesson en pâte fine avec cannelure incisée horizontale (point d'inflexion du fond ? ; ép. ma. ob. : 11). 6-1 frag. de bord en pâte fine de récip. ouv., lèv. sup. en marli et lèv. int. épaissie triangulaire (dia. o. ap. : 200 ; ép. ma. ob. : 6). 7-1 frag. de col en pâte fine, récip. ouv., col caréné arrondi, bord rectiligne droit et lèv. effilée. (dia. o. ap. = ca. ap. : 200 ; ép. ma. ob. : 5).	HF		
FS4207	100	1	ttes Us	152	9			3			3	3			3			3			HF	

n° Fait ENS	% file	p h a s e s	n° Us	g r a m	Modelées Grossières					Modelées Fines					N° INV. et REMARQUES (en mm) dia. o. = diam. d'ouverture (lèv. int.) dia. car. = diam. carène ext., souv. = diam. max. ext. (dia. ma.). dia. ba. = diam. de base du contenant, point inflex. ext. Hc. : hauteur du contenant, depuis point d'inflexion du fond Ht. = hauteur totale ép. ma. = épaisseur max. des parois ép. mi. = épaisseur min. des parois ob. = observé(e) ap. = approx.	T P Q	T A Q		
					NR	NMI MG				NR	NMI MF							NMI Us	
						B o r d	C a r. .	C o r. .	F o n d		d i v. .	N M I U s	B o r d	C a r. .					C o r. .
FS4235	décap. diag.	?	4235	310	12		2	1		2	10	1	1	1	1	1	1-1 profil complet de récipient fermé globulaire piriforme en pâte fine (Bol ?). Lèv. effilé, bord/col concave, décor de 4 légères cannelures imprimées horizontales sur le haut du corps, corps sup. convexe, carène basse arrondie, corps inf. rectiligne évasé, fond "entonnoir" légèrement concave (dia. o. : 100 ; dia. car. : 140 ; dia. ba. : 45 ; Hc. = Ht. : 87 ; ép. ma. ob. : 6 ; ép. mi. ob. : 4).	HF	
FS4341	00	1	ttes Us	227	2	1		1		1	11	1	1	3		3	1-1 frag. de col/bord de pot en pâte gros. Col caréné arrondi, bord légèrement concave, lèv. sup. avec impressions cannelées et lèv. int. et ext. épaissie (dia. o. : ? ; ép. ma. ob. : 9). 2-1 frag. de col en pâte fine, récip. ouv., col caréné arrondi, bord rectiligne droit et lèv. effilée. (ép. ma. ob. : 7). 3-1 frag. de corps sup. en pâte fine, récip. ouv., col caréné arrondi, corps sup. convexe. (dia. car. ap. : 200 ; ép. ma. ob. : 6).	HF	
ST2029	diag.	?	décap. diag.	40	1		1			1	4	1		1		1	1-1 frag. de bord/col concave en pâte fine, lèv. int. et ext. épaissies par l'appâtissement de la lèv. sup. qui semble porter des impressions cannelées érodées (ép. ma. ob. : 7).	HF	
ST2079	diag.	?	décap. diag.	72	3		1			1	5			1	1	1		HF	
ST2080	diag.	?	décap. diag.	133	6		2		1	3							1-1 fusaïole entière en pâte gros. (dia. ma. : 49 ; ép. ma. : 16).	HF	
TOT MODELÉE LOT C1				47408	1287	33	48	196	1027	97	47	195							
				Poids	NR MG	NMI bords MG	NMI fonds MG	NMI Cum MG	NR MF	NMI bords MF	NMI fond MF	NMI Cumulés MF							
TOT NMI BORDS				140															
TOT NMI FONDS				95															
TOT NMI Cumulés				405															
TOT NONBRE DE RESTES				2314															
TOT POIDS en gram.				47408															

11.1.7 Tableau B : Comptages typo-morphologiques de la céramique Hallstatt final

(par ordre alphabétique puis par numéro de fait)

11.1.7.1 Critères méthodologiques (pl. 44 à 46)

DIMENSIONS en mm :

dia. o. = diamètre d'ouverture intérieur

dia. ca. = diamètre carène extérieur

dia. ba. = diamètre de base du contenant, point d'inflexion extérieur

dia. ma. = diamètre extérieur maximum.

Hc. esti. moy. : hauteur estimée moyenne du contenant (moy. Hc. esti. max. et Hc. esti. min.), depuis point d'inflexion du fond

ép. ma. = épaisseur max. des parois

ép. mi. = épaisseur min. des parois

ob. = observé(e)

esti = estimée

MORPHOLOGIES :

T : Récipients tronconiques, hauteur carène et col/bord $\leq 1/4$ Hc.

T-h : Récipients tronconiques, formes hautes, Hc $> 3/5$ dia. ma.

T-b : Récipients tronconiques, formes basses, Hc $\leq 3/5$ dia. ma.

T-h-I : récipients tronconiques, formes hautes, corps sup./col/bord rentrant.

Grands T-h-I : « Pots de stockage ».

T-h-II : récipients tronconiques, formes hautes, corps sup./col/bord évasés/droit.

Grands T-h-II : « Pots de stockage ».

T-b-I : « Jattes/bols », récipients tronconiques, formes basses, corps sup./col/bord rentrant.

T-b-II : « Jattes/bols », récipients tronconiques, formes basses, corps sup./col/bord évasé/droit.

T-h / T-b à impressions : « Pots de stockage- Jattes/bols » indéterminés, récipients tronconiques, bas/hauts indéterminés.

T-b-I / P-II : « Jattes/bols-assiettes » indéterminées, récipients bas à carènes hautes, cols/bords rentrants ou droits/évasés indéterminés, tronconiques/plats indéterminés.

P : Plats (Hc $< 1/4$ dia. ma.).

P-II : « Assiettes », plats au corps sup./col/bord droit/évasé.

P-II / C-M-b-II-1 : « Plat-Jatte caréné » indéterminée, forme basse, corp sup./col/bord évasé/droit, composite (1 point d'inflexion du corps).

CM : Récipients à carène médiane ou basse.

CM-b : Récipients à carène médiane, formes basses, Hc $\leq 3/5$ dia. ma.

CM-b-I-1 : « Bol », récipient à carène basse, forme basse, corps sup./col/bord rentrant, composite (1 point d'inflexion du corps).

CM-b-II : Récipients à carène médiane, formes basses, corps sup./col/bord évasé/droit.

CM-b-II-1 : « Jattes/bols carénés », récipients à carène médiane, formes basses, corps sup./col/bord évasé/droit, composites (1 point d'inflexion du corps).

CM-b-II-2 : « Coupes basses », récipients à carène médiane ou basse, formes basses, corps sup./col/bord évasé/droit, complexes (2 points d'inflexion sur le corps).

CM-b / h-II-2 : « Coupes basses/hautes » indéterminées, récipients à carène médiane, formes basses/hautes indéterminées, corps sup./col/bord évasé/droit, complexes (2 points d'inflexion sur le corps).

CM-h : Récipients à carène médiane, formes hautes, Hc $> 3/5$ dia. ma.

CM-h-I-1 : « ? », récipient à carène médiane, forme haute, corps sup./col/bord rentrant, composite (1 point d'inflexion du corps).

CM-h-II-2 : « Coupes hautes », récipients à carène médiane, formes hautes, corps sup./col/bord évasé/droit, complexes (2 points d'inflexion sur le corps).

Couvercle : « pied » ne permettant la stabilité = préhension.

TAILLE :

Grands : dia. ma. > 250 mm, Hc. esti. moy. > 80 mm.

11.1.7.2 Tableau B

MORPHOLOGIES	T A I L L E	N° INVENTAIRE (Par ordre alphabétique puis par numéro de fait.)	Pâtes		Fonds		Bords		DÉCORS					DIMENSIONS EN MM					Épais. parois en mm		N M I	N M I
			M O D . F I N E S	M O D . G R O S.	p i é d e s t a l	p l a t / c o n c / a n	i n d é t .	b o r d s a u t r e s	l è v . à i m p r e s	c o r d . a p p l i .	i m p r e s . c o r p s	p e i n t / c o u v . r g e	p e i n t . n o i r e	c a n n e l u r e s	g r a v u r e	D I A O i n t	D I A C A e x t	D I A B A e x t	D I A M A e x t	H C E S T I M O Y		
Th	ThI	grands	FC4013-Us4460-1	1				1	1					380	420	420	285	13	8	1	3	
			FC4283-2	1	1			1	1	1				220	270	120	270	215	9	6		1
			FS3080-1	1				1	1					310	365	365	240	10				1
		petit	FC4013-Us4460-2	1				1						130	155	110	155	120	10	5	1	1
	ThII	grands	FC4039-Ph3-1	1				1	1					320			340	290	12	9	1	6
			FOS13-FS3285-Us37776-2	1				1	1					250			265	225	10		1	
			FOS13-FS3285-Us3285-5	1				1						300			325	205	10		1	
			FS3194-2	1				1	1						420				16		1	
			FS3281-1	1				1	1					400			425	380	13		1	
			FS3567-6	1				1	1					250	250	270	210	11			1	
	petit	FC4013-Us4459-3/4460-5	1		1		1						140	150	150	120	8	5	1	1		
Tb	TbI	grands	FC4013-Us4489-2	1				1						290	315	315	120	8		1	7	
			FC4167-Ph3/4-3	1	1	1	1							280	90	305	165	8	5	1		
			FS3210-Us3210-1	1				1						280	300	300	80	7		1		
			FS3439-3	1				1	1					400	430	430	215	13	8	1		
			FS3567-1 & 3	1		1		1						260	280	120	280	105	7			1
			FS3643-1	1				1						370	400	400	190	9		1		
			FS4015-1	1				1						380	410	410	125	10	6	1		
		petits	FC4005-3	1				1						250	260	260	60	6		1	5	
			FC4013-Us4460-5	1				1						210	225	225	60	6	3	1		
			FC4023-Us4544-7	1				1						200		215	120	8		1		
	FC4167-Us4499/4531-1		1	1	1	1							220	230	85	230	95	8	7	1		
	FS4341-3		1				1							200				6		1		
	TbII	grands	FC3305-1	1	1	1		1	1					250		270	125	11	7	1	4	
			FOS13-FC3287/FS3790/3836	1				1						400	160	430	165	14		1		
			FS3595-Us3595/3941-1 & 3	1	1	1	1							200	425	170	425	180	11			1
FS4154-1			1				1	1									11		1			
petits		FC3433-2	1	1	1	1							95	60	105	52	10	5	1	5		
		FC4005-4	1				1						140		150	85	8	6	1			
		FC4023-Us4023-2	1				1	1					180		205	115	10		1			
		FOS13-FS3790-Us3790/92-7	1				1						210		220	60	7		1			
		FS3333-2	1				1					200		215	90	7		1				
Th/Tb à lèv imp. et/ou cord/imp	?	FC3210-Us3905/14-1	1				1	1									6		1			
		FC3237-4	1				1										9		1			
		FC4013-Us4458-1	1				1								400				1			
		FC4013-Us4459-2/FC4167	1				1											15		1		
		FC4013-Us4517/18-2	1				1	1										15		1		
		FC4023-Us4023-1	1				1											10		1		
		FC4023-Us4542/44/30-3	1				1											9		1		
		FC4035-Ph4-1	1				1						240					11		1		
		FC4156-Ph1-1	1				1							280					12	1		

MORPHOLOGIES	T A I L L E	N° INVENTAIRE (Par ordre alphabétique puis par numéro de fait.)	Pâtes		Fonds		Bords		DÉCORS					DIMENSIONS EN MM					Épais. parois en mm		N M I	N M I		
			M O D . F I N E S	M O D . G R O S	p i é d e s t a l	p l a t / c o n c / a n	i n d é t .	b o r d s a u t r e s	l è v . à i m p r e s	c o r d . a p p l i m	i m p r e s . c o r r p s	p e i n t / c o u v . r g e	p e i n t . n o i r e	c a n n e l u r e s h o	g r a v u r e	D I A O E S T I	D I A C A E S T I	D I A B A E S T I	D I A M A E S T I	H C E S T I M O Y			É P M A X O B S	É P M I N O B S
Th/Tb à lèv imp. et/ou cord/imp	?	FC4156-Ph1-2		1					1												6	1	24	
		FC4156-Ph1-3		1					1													9		1
		FC4156-Ph1-4		1					1													9		1
		FC4156-Ph1-5		1					1													12		1
		FC4156-Ph1-6		1					1													15		1
		FC4156-Ph2-1	1						1	1				120								8		1
		FC4283-3		1					1					180								9		1
		FOS13-FS3285-Us3285-1		1						1												10		1
		FS3194-1		1						1												11		1
		FS3281-2		1					1	1												12		1
		FS3281-3		1					1	1				250								9		1
		FS3439-1		1					1	1												12		1
		FS3439-2		1					1					240								11		1
		FS4154-3		1						1												13		1
		FS4341-1		1					1													9		1
Tb/PII	?	FC4007-1	1					1													8	1	8	
		FC4039-Ph1-1	1					1					340								8	1		
		FC4283	2					2													5	2		
		FOS13-FS3287-Ph1-2	1					1					260								7	1		
		FOS13-FS3287-Us3804-1	1					1					230								9	1		
		FS3194-3	1					1													6	1		
		FS4341-2	1					1													7	1		
PII	marli	petits	FC3237-6	1				1					140		160	35	5					1	2	
			FS4154-6	1				1					200		230	40	6						1	
	droits/évasés		FC3433-5	1				1										8					1	
			FC4167-Ph3/4-4	1			1	1					220	230	90	230	40	9					1	
			FS4154-7	1				1					200		210	45	5						1	
PII//CMbIII		grands	FC3237-3		1			1				340		365	95	11						1		
CMb	CMbII	petit	FS4235-1	1		1	1			1		145	160	45	160	90	6	4				1		
			CMbI I1	FC4035-Us4035/56-1		1		1					220		235	95	9						1	
	FC4167-Ph3/4-5			1			1					100		110	50	6							1	
	CMbI I2	grand	FS3643-2	1			1					280	290	290	90	6						1		
		petits	FC4035-Ph4-3	1		1	1					195		205	100	8	3					1		
FC4167-Us4167-1/Us4523	1			1						160		180	50	6	4						1			
CMb/h ?II2		grand	FC4167-Us4167-2/Us4533		1		1					390		400	170	9						1		
CMh	CMhI1 ?	petits	FC4013-Us4459-4	1			1					240					5	4				1		
			FC4023-Us4542/44/30-6	1			1			1			100					3					1	
	FOS13-FS3790-Us3790/92-6		1			1						250					10						1	
	FC3433-6 ?		1										160	400	330	7	5						1	
CMhII2	petits	FC3305-2	1			1						160	160	170	90	7						1		
		FS3439-5	1			1						140	155	155	80	10	5					1		
		FS3595-Us3595/3941-6	1			1						220	235	235	140	9							1	

MORPHOLOGIES	TAILLE	N° INVENTAIRE (Par ordre alphabétique puis par numéro de fait.)	Pâtes		Fonds		Bords		DÉCORS						DIMENSIONS EN MM				Épais. parois en mm		NMI	NMI	
			MOD.FINES	MOD.GROS.	piédestal	plats/concav/ann	indét.	bords	lèvres	cordons	impressions	peintures	cannelures	gravures	DI A int	DI A ext	DI A ext	DI A ext	HC ESTIMOY	ÉP MAX OBS			ÉP MIN OBS
		FS3567-5	1													300				9		1	
couvercle	petit	FS3595-Us3595/3941-7	1				1									150		160		8	5	1	1
NMI formes identifiées			41	45	1	10	0	44	26	21	10	1	1	1	0							86	86
formes ident. bords			38	32																			
formes identifiées sans bord			4	13																			
formes identifiées sans bord à impressions			0	13																			
Piédestaux formes identifiées			1	0																			
Fonds plats/concav/annulaires formes identifiées			4	6																			
Fonds indéterminées formes identifiées			0	0																			
Corps/cordons appliqués à impressions formes identifiées			3	28																			
lèvres à impressions formes identifiées			3	23																			
FORMES INDÉTERMINÉES																							
formes indéterminées		FC3017-1		1					1													9	
		FC3237-1		1													140					12	
		FC3237-2		1												280						11	
		FC3237-5	1			1											80					8	
		FC3237-7	1													200						7	
		FC3237-8	1					1								240		250				8	
		FC3433-1		1					1													12	
		FC3433-3		1		1												140				8	
		FC3433-4	1															120				8	
		FC4005-2		1				1								250						6	
		FC4005-5		1		1											80					11	
		FC4005-6	1			1																11	
		FC4007-2	1						1													5	
		FC4013-Us4013-1		1					1													9	
		FC4013-Us4459-1	1			1							1				75					7	5
		FC4013-Us4517/18-1	1						1													7	
		FC4013-Us4460-3	1		1												80					8	
		FC4013-Us4460-4	1		1												65						
		FC4013-Us4489-1	1			1											95					5	
		FC4023-Us4542/44/30-1		1					1													9	
		FC4023-Us4542/44/30-2		1		1																12	
		FC4023-Us4542/44/30-8		1					1									250				7	
		FC4035-Us4035/4556-2	1				1										80						
		FC4035-Us4565-1	1				1										95						
		FC4039-Ph1-2	1						1													6	
		FC4156-Ph1-7		1					1													12	
		FC4156-Ph1-8		1														200				8	
		FC4156-Ph1-9	1					1							80							4	
		FC4156-Ph1-10	1														160					8	
		FC4156-Ph3-1		1		1											160					14	
		FC4156-Ph3-2		1		1											140					10	
		FC4167-Us4495-3	1						1													12	
	FC4167-Us4500-1	1			1												130						
	FC4167-Us4500-2	1			1												100				8		
	FC4167-Ph3/4-2	1								1											5		
	FC4283-1		1		1												125				10		
	FC4283-4	1		1												80							

MORPHOLOGIES	T A I L L E	N° INVENTAIRE (Par ordre alphabétique puis par numéro de fait.)	Pâtes		Fonds		Bords		DÉCORS						DIMENSIONS EN MM				Épais. parois en mm		N M I	N M I
			M O D · F I N E S	M O D · G R O S	p i é d e s t a l	p l a t / c o n c / a n	b o r d s / a u t r e s	l è v r e s / i m p r e s s i o n s	i m p r e s s i o n s	p e i n t / c o u v r e	p e i n t / n o i r e	c a n n e l u r e s	g r a v u r e	D I A O E S T I	D I A C A E S T I	D I A B A E S T I	D I A M A E S T I	H C E S T I M O Y	É P M A X O B S	É P M I N O B S		
formes indéterminées		FC4283-5	1			1												80			6	
		FC4283-6	1					1													6	
		FOS13-FS3836-2		1				1			1										9	
		FOS13-FS3790-Us3790/92-1		1														110			7	
		FOS13-FS3790-Us3790/92-2		1														100			9	
		FOS13-FS3790-Us3790/92-3		1														150			9	
		FOS13-FS3790-Us3790/92-4		1														110			8	
		FOS13-FS3790-Us3790/92-5		1														160			10	
		FOS13-FS3285-Us3285-2		1		1												170			8	
		FOS13-FS3285-Us3285-3		1		1												160			16	
		FOS13-FS3285-Us3285-4		1					1									360			9	
		FOS13-FS3285-Us3285-6		1			1											100				
		FOS13-FS3287-Ph1-1		1			1											100			8	
		FS3194-4		1					1									260			6	
		FS3333-1		1					1									80			7	
		FS3333-3		1					1												6	
		FS3439-4		1					1												6	
		FS3457-1		1					1									200			5	
		FS3595-3595/3941-2			1		1											200			11	
		FS3595-3595/3941-5			1					1											10	
		FS3595-3595/3941-8		1			1											80				
		FS3595-3595/3941-9		1			1											60				
		FS3567-2		1			1											100			8	
		FS3567-4		1					1												7	
		FS3641-2		1			1											70			4	
		FS3713-1		1					1									160			8	
		FS4154-2			1					1											10	
		FS4154-4		1				1										140			9	
		FS4341			1			1													8	
	ST2029-1		1						1											7		
	divers Us bords		34	9				43														
	divers Us fonds		28	30			58															
NMI formes indéterminées			96	72	4	23	58	14	0	0	2	0	0	0	1							
			MF	M G		fonds	bords	décors														
formes indéterminées bords			58	11																		
Piédestaux formes indéterminées			4	0																		
Fonds plats/concav./annulaires formes indéterminées			10	13																		
Fonds indéterminées formes indéterminées			28	30																		
Corps/cordons appliqués à impressions formes indéterminées			0	0																		
lèvres à impressions formes indéterminées			4	10																		

MORPHOLOGIES	T A I L L E	N° INVENTAIRE (Par ordre alphabétique puis par numéro de fait.)	Pâtes		Fonds		Bords		DÉCORS						DIMENSIONS EN MM				Épais. parois en mm		N M I	N M I																	
			M O D . F I N E S	M O D . G R O S	p i é d e	p l a t / c o n c / a n	i n d é t	b o r d s	l è v . à i m p r e s s i o n	c o r p s . à i m p r e s s i o n	i m p r e s s i o n	p e i n t / c o u v r e	p e i n t / c o u v r e	c a n n e l u r e	g r a v u r e	D I A O i n t	D I A C A e x t	D I A B A e x t	D I A M A e x t	H C E S T I M O Y			É P M A X O B S	É P M I N O B S															
TOT céramique Hallstatt final Lot C1																																							
NMI bords			88	51			139			2																													
NMI fonds			47	49		96																																	
NMI indéterminés			54				50	4																															
NMI formes identifiées			41	45	1	10	0	44	26	21	10	1	1	1	0																								
NMI lèv. à impressions			7	33				40																															
NMI corps/cordon appliqué à impressions			3	28			1	17	31																														
NMI lèv. impres. et corps/cordon appliqué à impressions			3	14				17	17																														
NMI lèv. non décorée et corps/cordon appliqué à impressions			0	1						1																													
NMI peinture rouge sur extérieur			2	0			2			2																													
NMI peinture noire sur extérieur			0	1				1		1		1																											
NMI cannelures horizontales			1	0			1								1																								
NMI gravure sur extérieur			1	0		1															1																		
NMI= si NMI bords formes indét. > NMI formes identifiées sans bord			99	56	5	33	58	99	40	21	10	2	1	1	1																								
NMI= NMI formes identifiées + (NMI bords formes indéterminées - NMI formes identifiées sans bord)																						96	140																
si NMI bords formes indét. ≤ NMI formes identifiées sans bord																																							
NMI= NMI formes identifiées																																							
142																																							

11.2 Tableau C : Comptage et inventaire de la céramique des Faits hors Hallstatt final

(Néolithique/Protohistoire indéterminée ; La Tène C2/Gallo-romain précoce ; Haut et Bas Empires ; moderne/contemporaine)

(Par ordre alphabétique puis par numéro de fait ; Pl. 57)

ENS	FAIT	N° Us	% f o u i l	M O D E L	T O U R	t u i l e s	b o r d	f o n d	c o n t r e s	a u t r e s	N R	N M I	REMARQUES et références bibliographiques	datation de la céramique	Datation des comble- ments : mobilier et strati.	
															T P Q	T A Q
BAT01	PO3297	3297	100	2				1	1		3	2		?		
	PO3299	3299	100	2			1		1		3	2	-1 bord de pot Besançon, Bord à ailette à cannelures. Pâte modelée grossière micacée à inclusions de feldspaths anguleux (Gaulle Centrale). Idem Bulard & Drouot 1981 Fig. 10 ; Casadei & Leconte 2000 fig. 16.	-LTC2-F/G.R. précoce	LTF	G.R.p
	PO3307	3307	100	1					1		1	1		?		
	PO3309	3309	100	3					3		6	3		-Hallstatt ?		
BAT02	PO3431	3431	100	2					2		2	2		?		
	PO3435	3435	100	2					2		3	2		?		
	PO3381	3381	100	2					2		5	2		?		
	PO3801	3801	100	1			1				1	1		?		
BAT04	FS3889	3889	100	1				1			1	1		?		
	FS3993	3993	100	1	1		1		1		2	2	-1 col de "marmite en N.P.R., voir Jobelot & Vermeersch 1993 Pl. II n°18-20.	-LTD2/Haut-Empire		
	PO3032	3032	100	2			1		1		2	2		?		
	PO3043	3043	100	1					1		3	1		?		
	PO3465	3465	100	3	1		2		2		6	4	-1 tesson en pâte sableuse fine ("Proto N.P.R. ?")	-LTC2-F/G.R. précoce	LTD2	Ierap
		3998		2			1		2		9	2		?		
	PO3467	3467	100	1					1		1	1		?		
	PO3471	3471	100	2					2		6	2		?		
	PO3473	3473	100	2	2		1		3		6	4	-1 tesson de N.P.R. -1 tesson de cruche/amphorette en pâte fine sableuse rosée avec cannelure horizontale	-LTC2-F/G.R. précoce -G.R. précoce		
	PO3892	3892	100	1					1		1	1		?		
TR3051	3051	100	2			1		1		4	2		-tessons en pâtes sableuses	-LTC2-F/G.R. précoce		
TR3475	3475	100	2					2		3	2		?			
BAT05	PO4117	4427	100	5	1		2	1	5		14	6	-1 bord/carène modelé -1 grand fond plat modelé de dolium -Partie sup. de récipient en terra-nigra à profil en "S", bord triangulaire à l'èv. sup. à petit marli, col concave, carène angulaire et panse convexe (idem Bulard & Drouot 1981 Fig. 5 ; Bonin et alii 1994 Fig. 17).	-Hallstatt ? -LTF/G.R. précoce -LTF/G.R. précoce	LTF	G.R.p
	PO4119	4119	100		1				1		1	1	-1 tesson de N.P.R.	-LTF/G.R. précoce		
	PO4137	4137	100		1				1		1	1	-1 fond plat en pâte sableuse fine	-LTF/G.R. précoce		
	PO4139	4427	100	1					1		1	1		?		
	PO4143	4143	100	1					1		1	1		?		
BAT06	PO4343	4343	100	1					1		1	1		?		Néo. / Proto.
BAT08	PO3493	3493	100		1		1		1		8	1	-1 col en pâte sableuse fine (idem Bulard & Drouot 1981 Fig. 8 n°12)	-LTF/G.R. précoce	LTF	G.R.p
		3838		1					1		1	1		?		
BAT08 ?	TR3245	3245	100	4	6		1	1	7		33	10	-2 tessons en pâtes claires sableuses fines ("Proto N.P.R. ?") -Frag. de panse d'amphore républicaine (Dressel 1 ?) -Plusieurs frag. de N.P.R.	-LTF/G.R. précoce	LTF	G.R.p
BAT09	PO3483	3483	100	2					2		4	2		?		Néo. / Proto.
BAT12	PO4059	4059	100	1	1				2		2	2	-1 tesson en pâte sableuse fine ("Proto N.P.R. ?")	-LTC2-F/G.R. précoce	LTC2	
	CH3078	3078	déc	2					2		3	2		?		Néo. / Proto.
	CH3429	3429	déc	1					1		1	1		?		Néo. / Proto.
	CH3683	3683	déc		1	1					2	2		-G.R.		G.R.
	CH4053	4053	déc		1				1		1	1		?		LTC2
	CH4237	4237	déc	2	1		1		1		4	3	-1 bord en N.P.R., Voir Bonin et alii 1994 Fig. 17 n° 15-16.	-LTC2/G.R. précoce	LTC2	
	CH4265	4265	déc	1					1		1	1		?		Néo. / Proto.
	CH4271	4271	déc	1					1		1	1		?		Néo. / Proto.
	FO2082	2082	déc	2					2		4	2		?		Néo. / Proto.
	FS3180	3180	sd	3	1	1	1		3		5	5	-1 bord en N.P.R., voir Jobelot & Vermeersch 1993 pl. VII n° 73-74) -1 frag d'imbrex	-Haut-Empire	HE	BE

ENS	FAIT	N° Us	% fouille	M O D E L	T O U R	t u i l e s	b o r d	f o n d	c o r p s	a u t r e s	N R	N M I	REMARQUES et références bibliographiques	datation de la céramique	Datation des comble- ments : mobilier et strati.		
															T P Q	T A Q	
	FS3235	3235	déc										-Tuiles plates industrielles, verre...		20e	20e	
	FS3313	3313	100	3	2		2		3		20	5	-1 col de "marmite" en N.P.R., voir Jobelot & Vermeersch 1993 Pl. II n° 18-20. -Plusieurs tessons de sableuse fine.	-LTD2/HE	LTD2	HE	
	FS3347	3347	100		1				1		1	1	-1 tesson en pâte sableuse fine	-LTC2-F/G.R. précoce	LTC2		
	FS3383	3383	déc										-Tuiles plates industrielles, verre...		20e	20e	
	FS3407	3407	déc										-Tuiles plates industrielles, verre...		20e	20e	
	FS3411	3411	déc		1				1		1	1		-G.R.	G.R.		
	FS3477	3477	100	4	3		3	2	2		20	7	-3 tessons en pâte sableuse fine ("Proto N.P.R. ?"), dont un bord à ailette de "marmite" -1 frag. de pot Besançon ? Pâte modelée grossière micacée à inclusions de feldspaths anguleux (Gaulle Centrale).	-LTF/G.R. précoce	LTF	G.R.p	
	FS3569	3569	100	3					3		8	3		?	Néo. / Proto.		
	FS3581	3581	50		1				1		1	1	-1 tesson en pâte sableuse fine ("Proto N.P.R. ?"), col avec cordon lisse en relief	-LTC2/G.R. précoce	LTC2		
	FS3661	3661	50	1					1		1	1		?	Néo. / Proto.		
	FS3669	3669	déc										-Tuiles plates industrielles, verre...		20e	20e	
	FS3677	3677	100	1	1		1		1		7	2	-Partie sup. de récipient en terra-nigra à profil en "S", bord triangulaire à lev. sup. à petit marli, col concave, carène angulaire et panse convexe (idem Bulard & Drouot 1981 Fig. 5 ; Bonin et alii 1994 Fig. 17).	-LTF/G.R. précoce	LTF	G.R.p	
	FS3681	3681	100	3	3				5		13	6	-3 tessons en pâtes sableuses fines dont 1 en "Proto N.P.R. ")	-LTC2-F/G.R. précoce	LTC2	G.R.p	
	FS3994	3994	déc										-Tuiles plates industrielles, verre...		20e	20e	
	FS4069	4069	100	1					1		1	1		?	Néo. / Proto.		
	FS4121	4121	100	1					1		1	1		?	Néo. / Proto.		
	FS4131	4131	100	1					1		1	1		?	Néo. / Proto.		
	FS4161	4161	déc	1					1		1	1		?	Néo. / Proto.		
	FS4373	4373	déc	1					1		1	1		?	Néo. / Proto.		
	MR4335	4335	100			2					3	2	-Frag. de tegulae	-G.R.	G.R.		
	NV3677	3677	déc	1					1		1	1		?	Néo. / Proto.		
	PO3824	3824	100	1			1				1	1	-1 tesson en pâte sableuse fine ("Proto N.P.R. ?")	-LTC2-F/G.R. précoce	LTC2		
	PO4115	4115	100	1					1		1	1		?	Néo. / Proto.		
SFO14	FO3389	3389	sd	1		2			1		5	3	-Tuile plate à crochet	-MOD./Contemp.	19e	20e	
SFO15	FO3015	3015	sd	2	2				1	3	7	4	-Tessons en pâtes sableuses claires fines	-Haut-Empire ?	HE	BE	
	FO3701	3701	sd	3	2					5	8	5	-1 tessons en pâtes sableuse claire fine -1 tesson de Terra Nigra	-LTD2/HE	LTD2	HE	
	FO4099	4099	sd	2	3	3			1	4	20	8	-1 tesson en sableuse fine Grise ardoisée (voir Chossenot 1997 et Truffeau-Libre & Jacques 'ed.) 1997	-fin Ier/début Ive s. ap. J.-C.	fin Ier ap.	BE	
SFO17	FO3247	3247	sd	2	1					3	5	3	-1 tesson en sableuse fine Grise ardoisée (voir Chossenot 1997 et Truffeau-Libre & Jacques ed. 1997)	-fin Ier/début Ive s. ap. J.-C.	fin Ier ap.	BE	
SFO18	FO3001	3001	sd		1		1				1	1	-Bord de N.P.R. (voir Bulard & Drouot 1981 Fig. 4 n° 5 ; Bonin et alii 1994 Fig. 16 n° 3	-LTC2/G.R. précoce			
SFO19	FO3011 FO4145		déc		6	6	3	3	1	6	28	15	-3 tessons en sableuse fine Grise ardoisée (voir Chossenot 1997 et Truffeau-Libre & Jacques ed. 1997 ; dont 1 bord Sellès 2001 n° 1129).	-fin Ier/début Ive s. ap. J.-C.	fin Ier ap.	BE	
		3870	sd	1		1					2	2	-Frag. de tegula	-G.R.			
		3872	sd	1		1				1	2	2	-Frag. de tegula	-G.R.			
		3873	sd			3					8	3	-Frag. de tegulae	-G.R.			
		4145	sd	3	1					4	10	4					
		4466	sd	4	3	2	2			5	15	9	-Frag. de tegulae -Bord de N.P.R. (voir Jobelot & Vremeersch 1993 Pl. IX n° 82-83)	-Haut-Empire			
														-Bord d'amphore républicaine Dressel 1 (voir Laubenheimer 1990 et Sellès n° 1502).			-LTC2/G.R. précoce
														-Cordon à impressions sur corps modelé			-Hallstatt final ?
		4468	sd		1	1					2	2		-Frag. de tegula			-G.R.
		4471	sd	2	4	1				5	1	11	7	-Frag. de tegula -Frag. de Sigillée (Gaulle sud/centre) -Anse d'amphore républicaine (Dressel 1 ?)			-Haut-Empire -LTC2/G.R. précoce
		4473	sd		1						1	1					
		4475	sd		1		1					1	1	-Frag. de Sigillée (Gaulle sud/centre)			-Haut-Empire
FS3224	3224	sd		2						2	3	2	-Frag. de col d' amphore républicaine (Dressel 1 ?)	-LTC2/G.R. précoce			
FS4405	ttes	sd	2							2	5	2	-En partie Hallstatt final.				
FS3519	3519	sd		2						2	2	2	-Frag. d'amphore Dressel 20	-Haut-Empire			

ENS	FAIT	N° Us	% fouilles	M O D E L	T O U R	t u i l e s	b o r d	f o n d	c o r p s	a u r e s	N R	N M I	REMARQUES et références bibliographiques	datation de la céramique	Datation des comble- ments : mobilier et strati.	
															T P Q	T A Q
SFO20	FO3212	3212	sd	1		1			1		2	2	-Frag. de tegula			
		décap		8			1	1	3		32	8	-En partie Hallstatt final.			
	FO4049	4049	sd	3	2		1	1	4	1	12	5	-Bord et fond plat en sableuse fine Grise ardoisée (voir Chossenot 1997 et Truffeau-Libre & Jacques ed. 1997 ; Sellès 2001 n° 1130	-fin Ier/début Ive s. ap. J.-C.	fin Ier ap.	BE
													-Anse d'amphore républicaine (Dressel 1 ?)	-LTC2/G.R. précoce		
SFO21	FO4461	4461	sd	1					1		1	1				HE
SFO22	FO4079	4079	déc	3					3		5	3		?		HE
SFO23	FO3233	ttes	sd			1							-Tuile plate à crochet et verre blanc			
SFO24	FO3691 FO2025	ttes	sd	3	8		3		8		40	11	-Tessons vernis et glaçurés 19e/20e s. ap. J.-C.		19e	20e
SFO25	FO4109	4109	déc			1					1	1	-Tuile plate à crochet			
SFO26	FO4597	4598	sd		1				1		1	1	-Frag. d'amphore méditerranéenne (Dressel 20 ?)	-G.R. précoce/ Iie s. ap. J.-C.	G.R.p	HE
SFO27	FO3013	3013	sd	2				1	1		8	2		?	Néo. / Proto.	HE
	ST2026	2026	déc	5	7		2	1	9		50	12	-Partie sup. de récipient tourné à profil en "S", Bord arrondi évasé., col concave, carène angulaire et panse convexe (voir Bulard & Drouot 1981 Fig. 2 n°1 ; Bonin et alii 1994 Fig. 14 n° 3). -Tessons d'amphore méditerranéenne. -1 tesson de N.P.R. -Tessons en pâtes sableuses fines.	-LTC2/G.R. précoce	LTC2	G.R.p
	ST2081	2081	déc	1				1			1	1	-Nombreux tessons modelés	-En partie Hallstatt ?		Néo. / Proto.

NMI par Fait cumulés Néo./Proto. à Gallo. précoce	140				17	153	2
NMI par Fait cumulés La Tène C2 à Bas Empire	73						
tegulae/imbrices	20						
NR Néo./Proto. à Bas Empire					484		
NMI par Fait cumulés					230		
NMI bords Néo./Proto. à Bas Empire				32			

11.3 Références bibliographiques de l'Annexe A

BARAY 1999

Baray (L.) : « Le faciès culturel du Sénonais au Hallstatt D et La Tène A » : 93-128 in Villes (A.) & Bataille-Melkon (A.) (sous la direction de) : « Fastes des celtes entre Champagne et Bourgogne aux VIIe-IIIe siècles avant notre ère. », Actes du colloque de l'A.F.E.A.F. tenu à Troyes, 15-27/05/1995. *Mémoire de la Société Archéologique Champenoise* n°15, supplément au bulletin n°4, Reims 1999.

BLANQUAERT, DESFOSSÉS 1996

Blancquaert (G.), Desfossés (Y.) : « Premier bilan des découvertes issues des fouilles de sauvetage sur le tracé A29 (Le Havre-Saint-Saëns, haute Normandie). » : 11-22 in *Revue Archéologique de Picardie* n°3/4 1996, Amiens.

BONIN ET AL. 1994

Bonin (T.), Buchez (N.), Marion (S.) : « Les installations agricoles aux âges des Métaux sur le plateau de la Brie : l'exemple de Marne-la-Vallée (Seine-et-Marne). » In : (O.) Buchenschutz & (P.) Méniel (eds.) : *Les installations agricoles de l'âge du Fer en Île-de-France* Paris : Presses de l'École Normale Supérieure. 1994, p. 71-96. [Études d'Histoire et d'Archéologie vol. IV].

BRETZ-MAHLER 1971

Bretz-Mahler (D.) : « La Civilisation de La Tène I en Champagne. Le faciès marnien. », *XXXIIIe supplément à GALLIA*, Éditions du CNRS, Paris 1971.

BULARD & DROUHOT 1981

Bulard (A.), Drouhot (C.) : Le site de la Tène finale de l'Île-Ronde à Vaires-sur-Marne (Seine-et-Marne) *Mémoires de la Société Archéologique Champenoise*, 2, 1981, p. 347-364.

CASADEI, LÉCONTE 2000

Casadei (D.), Léconte (L.) : « Analyse spatiale d'un établissement rural de La Tène D1 : Louvres/Le Vieux Moulin (Val-d'Oise). » : 37-74 in Marion & Blancquaert (ed.) « *Les installations de l'Âge du fer en France septentrionale* ». Études d'Histoire et d'Archéologie n°6, Éditions Rue d'Ulm, Presses de l'École Normale Supérieure, Paris 2000.

CHOSSENOT 1994

Chossenot (M.) : « Contribution à la céramique gallo-romaine du Haut-Empire en Champagne et plus particulièrement de la craquelée bleutée » In : Truffeau-Libre (M.), Jacques (A.), (dir.) : *La céramique du Haut-Empire en Gaule Belgique et dans les régions voisines : faciès régionaux et courants commerciaux*. Arras : Actes de la Table ronde d'Arras (12-14/10/1993). 1994, p. 163-180. [Nord-ouest Archéologie n°6].

CHOSSENOT, NEISS, SAUGET 1981

Chossenot (D.), Neiss (R.), Sauget (J.-M.) : « Fouille de sauvetage d'une nécropole de La Tène I à Vrigny (Marne) » : 131-150 in « L'Âge du fer en France septentrionale ». *Mémoires de la Société Archéologique Champenoise* -2-, supplément au bulletin n°1, 1981.

CUNLIFFE 1997

Cunliffe (B.) : « *The Ancient Celts* », Oxford. Oxford University Press 1997.

DEBORD 1981

Debord (J.) : Un enclos quadrangulaire à remplissage de La Tène Ia, sis à Villeneuve-Saint-Germain (Aisne). » : 107-120 in « L'Âge du fer en France septentrionale ». *Mémoires de la Société Archéologique Champenoise* -2-, supplément au bulletin n°1, 1981.

DUFAÏ, RAUX, BARAT 1993

Dufaÿ (B.), Raux (S.), Barat (Y.) : « Des pots et des chiffres ou quelques approches quantitatives : comptage, sériation, métrologie à propos des sept tonnes de céramique commune de l'atelier de la Boissière-École (Yvelines). » : 95-110 in « *Actes du Congrès de Versailles, 20-23 mai 1993* », SFECAG, Marseille 1993.

DEMOULE 1989

Demoule (J.-P.) : « D'un âge à l'autre : temps, style et société dans la transition Hallstatt/La Tène » : 141-172 in « La Civilisation de Hallstatt, bilan d'une rencontre, Liège 1987 », *Études et Recherches archéologiques de l'Université de Liège*, n°36. Liège 1989

FREIDIN 1982

Freidin (N.) : « The Early Iron Age in the Paris Basin. Hallstatt C & D. Part i. » in *BAR International Series* 131 (i). Oxford, England, 1982.

JOBELOT, VERMEERSCH 1993

Jobelot (N.), Vermeersch (D.) : « La céramique noire à pâte rougeâtre : une première approche. » : 29-58 in *Cahiers de la Rotonde* n°14. Commission du Vieux Paris, Ville de Paris, Paris, Rotonde de La Villette 1993.

KRUTA 2000

Kruta (V.) : « *Les Celtes. Histoire et dictionnaire. Des origines à la romanisation et au christianisme.* ». Éditions Robert Laffont, Collection Bouquins. 1006 p. Paris 2000.

LAUBENHEIMER 1990

Laubenheimer (F.) : « *Le temps des amphores en Gaule. Vins, huiles, sauces.* ». La Chapelle Montilgeon : Errance. 1990, 181 p. [Collection des Hespérides].

MARION 1998

Marion (S.) : « La première agglomération de Meaux ? » : 61-63 in « *Profane et sacré en pays meltois. Protohistoire, gallo-romain* », Musée Bossuet 1998.

SELLES 2001

Sellès (H.) : *Céramiques gallo-romaines à Chartres et en Pays Carnute*, catalogue typologique Chartres : F.E.R.A.C./A.R.C.H.E.A./A.D.A.U.C. 2001, 254 p. [16e supplément à la Revue Archéologique du Centre de la France].

TALON 1989

Talon (M.) : « Les tendances évolutives des formes céramiques du premier Âge du Fer dans la vallée de l'Oise (France). » : 307-320 in « La Civilisation de Hallstatt, bilan d'une rencontre, Liège 1987 », *Études et Recherches archéologiques de l'Université de Liège*, n°36. Liège 1989

TRUFFEAU-LIBRE & JACQUES 1994

Truffeau-Libre (M.), Jacques (A.), (dir.) : *La céramique du Haut-Empire en Gaule Belgique et dans les régions voisines : faciès régionaux et courants commerciaux*. Arras : Actes de la Table ronde d'Arras (12-14/10/1993). 1994, 340 p. [Nord-ouest Archéologie n°6].

TRUFFEAU-LIBRE & JACQUES 1997

Truffeau-Libre (M.), Jacques (A.), (dir.) : *La céramique précoce en Gaule Belgique et dans les régions voisines : de la poterie gauloise à la céramique gallo-romaine*. Arras : Actes de la Table ronde d'Arras (14-17/10/1996). 1997, 425 p. [Nord-ouest Archéologie n°9].

VILLES 1999

Villes (A.) : « Entre principautés et chefferies, citadelles et fermes, le Hallstatt final en Champagne : données nouvelles. » : 11-92 in Villes (A.) & Bataille-Melkon (A.) (sous la direction de) : « Fastes des celtes entre Champagne et Bourgogne aux VIIe-IIIe siècles avant notre ère. », Actes du colloque de l'A.F.E.A.F. tenu à Troyes, 15-27/05/1995. *Mémoire de la Société Archéologique Champenoise* n°15, supplément au bulletin n°4, Reims 1999.

VILLES, BATAILLE-MELKON (dir.) 1999

Villes (A.), Bataille-Melkon (A.) (sous la direction de) : « Fastes des celtes entre Champagne et Bourgogne aux VIIe-IIIe siècles avant notre ère. », Actes du colloque de l'A.F.E.A.F. tenu à Troyes, 15-27/05/1995. *Mémoire de la Société Archéologique Champenoise* n°15, supplément au bulletin n°4, Reims 1999.

12 ANNEXE B : Analyse archéozoologique (Céline Bémilli)

Le site de la ZAC de la Pyramide à Lieusaint a livré 58 structures ou unités stratigraphiques contenant du matériel faunique. Vingt-huit de ces lots sont datés avec certitude de la période Hallstatt final et notre analyse portera plus particulièrement sur cette phase chronologique. Le reste du matériel est rapporté à La Tène finale et à la période gallo-romaine sans plus de précision.

La particularité des fosses Hallstatt a amené les archéologues à créer un grand nombre d'Us, cependant cette individualisation s'est souvent avérée non avenue sur le matériel faunique (patines identiques, remontages, appariements). Cela nous a amené à étudier les lots d'ossements globalement par structure.

12.1 La période Hallstatt final

Vingt-huit structures sont datées du Hallstatt (tab. 1). Les effectifs sont très variables : 8 structures contiennent moins de 10 restes et seulement 4 d'entre elles en comportent plus de 100 (tab. 1). Nous ne détaillerons les plus pauvres que dans le cas d'une particularité intéressante.

	NRT	NRD	PdR	PdR NRD	PdR moyen
3080	1	0	2	0	2
3194	77	48	461	438	6,0
3210	13	4	108	66	8,3
3281	3	3	198	198	66
3285	112	17	1873	1610	16,7
3287	19	5	269	206	14,2
3305	41	20	302	230	7,4
3333	10	2	29	13	2,9
3433	16	6	314	289	19,6
3439	37	9	279	216	7,5
3567	1	1	4	4	4
3595	91	56	534	410	5,9
3615	4	1	127	123	31,8
3713	3	1	11	8	3,7
3790	106	31	689	462	6,5
3818	8	6	91	42	11,4
3836	1	0	25	0	25
4005	43	37	320	289	7,4
4007	3	1	19	8	6,3
4013	17	9	91	60	5,4
4015	48	26	225	182	4,7
4023	120	58	503	416	4,2
4035	93	49	876	792	9,4
4039	38	16	203	154	5,8
4154	66	25	576	550	8,7
4156	119	50	679	583	5,7
4167	64	25	617	477	9,6
4283	28	19	302	285	10,8
Total	1182	525	9727	8113	8,2

(NRT : Nombre total de restes ; PdR : Poids de reste total ; NRD : Nombre de restes dtermins)

Tableau 1 : Lieusaint, Z.A.C. de la Pyramide. Hallstatt. Nombre, poids et poids moyen des restes par structure.

12.1.1 La fosse 3194

Le matériel est légèrement altéré par des traces de radicelles qui ne sont cependant pas envahissantes. Cette structure homogène a livré 77 restes dont les deux tiers sont déterminés (tab. 2).

		3194	
		NR	PdR
Porc		23	313
Capriné		20	97
dont :	<i>Mouton</i>	6	62
Cheval		1	11
Chien		2	16
Coq		2	1
NRD		48	438
Indéterminés Grand bétail			
Indéterminés Petit bétail		5	7
indéterminés autre		24	16
Total Indéterminés		29	23
NRT		77	461

Tableau 2 : Lieusaint, Z.A.C. de la Pyramide. Hallstatt. Décompte des restes osseux de la structure 3194.

Cinq taxons sont représentés : le porc, les caprinés, le cheval le chien et le coq. On notera l'absence du bœuf. Le porc et les caprinés dominent largement l'ensemble avec respectivement 23 et 20 restes. Six restes du squelette post-crânien sont attribuables au mouton parmi les restes de caprinés pour lesquels aucun reste crânien n'est documenté. Tous les restes de porc appartiennent à un même individu immature. Ils se répartissent sur l'ensemble du squelette bien que les membres antérieurs soient mieux figurés. Le poids moyen des restes déterminés est de 9,1 g contre 0,7 g pour les indéterminés.

12.1.2 La fosse 3285

Cette fosse complexe a livré 108 fragments osseux dont 17 seulement sont déterminés pour un poids moyen de 100,5 g. Le poids moyen des indéterminés n'est que de 2,8 g (tab. 3).

Le matériel présente des altérations peu prononcées qui suggèrent néanmoins un séjour de courte durée sur le sol avant enfouissement. 6,5 % des restes sont brûlés. Il semble que les restes ont fait l'objet d'un dépôt relativement homogène.

		3285	
		NR	PdR
Bluf		4	476
Porc		1	1
Caprin		6	50
dont :	<i>Mouton</i>	2	38
Cheval		3	343
Cerf		3	739
NRD		17	1609
Indtermins Grand btail		19	107
indtermins autre		76	156
Total Indtermins		95	264
NRT		112	1873

Tableau 3 : Lieusaint, Z.A.C. de la Pyramide. Hallstatt. Décompte des restes osseux de la structure 3285.

Cinq taxons sont documentés : les trois espèces habituelles, bœuf, porc et capriné ainsi que le cheval, auxquelles on peut ajouter une espèce sauvage, le cerf. Ce dernier est représenté par un bois de massacre ainsi qu'un radius. Il s'agit donc très probablement d'un animal consommé même si aucune trace de découpe n'a été observée. L'hippophagie ne peut non plus être certifiée.

Deux moutons ont été individualisés. L'un est âgé d'une trentaine de mois, l'autre de 3/4 ans.

Le nombre d'individu n'excède pas un animal pour les autres espèces.

Un fragment de bois de cerf a également été observé dans cette structure (il n'apparaît pas dans les décomptes car rien ne permet de dire s'il provient d'un ramassage, d'un animal chassé ou d'un fragment d'objet façonné).

12.1.3 La fosse 3305

Cette structure a livré un lot d'ossements bien préservé. Il a néanmoins été observé 4 restes rongés et 4 brûlés. Les effectifs s'élèvent à 41 restes osseux, dont près de la moitié a été déterminée. Le poids moyen des restes déterminés est de 11,5 g contre 3,4 g pour les indéterminés (tab. 4).

	3305	
	NR	PdR
Bœuf	7	170
Porc	3	24
Capriné	9	29
Cheval	1	7
NRD	20	230
Indéterminés Grand bétail	3	44
Indéterminés Petit bétail	5	8
indéterminés autre	13	20
Total Indéterminés	21	72
NRT	41	302

Tableau 4 : Lieusaint, Z.A.C. de la Pyramide. Hallstatt. Décompte des restes osseux de la structure 3305.

Les caprinés, le bœuf et le porc sont les mieux représentés, par un seul individu par espèce. Le capriné est documenté par quelques os des membres mais surtout des os des bas de patte et le bœuf est figuré uniquement par des restes du squelette axial et des bas de patte. Cette configuration reflète plutôt un rejet alimentaire primaire. Le cheval est documenté par un seul reste : une incisive.

12.1.4 La fosse 3439

Ce petit lot de 37 ossements comporte 9 restes déterminés. Le poids moyen des restes est de 7,5 g (24 g pour les restes déterminés). Un capriné, un porc, un bœuf ainsi qu'un cheval sont documentés. Le porc est âgé de 14/16 mois et le capriné de 18/20 mois.

12.1.5 La fosse 3595

Cette fosse a livré 91 restes osseux dont 56 sont déterminés, soit plus de la moitié (tab. 5). Le poids moyen des restes est de 5,9 g (7,3 g pour les restes déterminés). Quatre restes portent des traces de rongement par les chiens et 12 % des restes sont brûlés. L'action des radicales est ponctuellement visible. Le séjour sur le sol du matériel n'a donc pas été très long. Des appariements entre des vertèbres de porc provenant d'Us différentes nous permettent considérer le lot comme une seule entité archéozoologique.

	3595	
	NR	PdR
Bœuf	3	71
Porc	34	249
Capriné	18	82
6 Chèvre	1	5
Mouton	1	17
Lièvre	1	8
NRD	56	410
Indéterminés Grand bétail	5	65
Indéterminés Petit bétail	21	48
indéterminés autre	9	11
Total Indéterminés	35	124
NRT	91	534

Tableau 5 : Lieusaint, Z.A.C. de la Pyramide. Hallstatt. Décompte des restes osseux de la structure 3595.

Cinq espèces sont documentées : le porc, les caprinés (mouton et chèvre), le bœuf pour les espèces domestiques et un lièvre pour les espèces sauvages.

Le porc est le mieux représenté avec 34 restes (plus de la moitié du NRD et plus d'un tiers du NRT). Deux animaux ont été individualisés sur la base d'âge d'épiphyse. L'un est âgé de moins de 12 mois tandis que l'autre a moins de 24 mois. Des traces de découpe ont été relevées sur deux tibias (décarnisation) et sur un coxal (désarticulation).

Les caprinés regroupent 18 restes parmi lesquels un radius de chèvre et une mandibule de mouton. Ce dernier est âgé de 16/18 mois. Une autre mandibule dont la distinction spécifique n'a pas été possible, a fourni un âge de 10/12 mois. Le proximal de radius se soudant entre 10 et 18 mois, ce deuxième élément peut appartenir à la chèvre et ne nous permet pas d'individualiser un troisième animal.

Le bœuf, enfin, n'est figuré que par 3 fragments osseux.

Un reste de lièvre témoigne d'une activité de chasse ou de piégeage.

12.1.6 La fosse 3615

Cette structure ne contenait que 4 restes. Trois de ces restes proviennent de la même Us. Ils sont indéterminés et sont séparés du 4^e reste par une Us stérile. Ce dernier reste est intéressant à plus d'un titre. Il s'agit d'un crâne de chien qui porte de nombreuses traces de découpe qui correspondent au dépouillement de l'animal (cliché 1). Par ailleurs les canines de ce chien sont grillées (cliché 2). Si les quelques traces de brûlures localisées peuvent être attribuées à l'action de charbons encore incandescents jetés dans la fosse, les canines grillées témoignent sans aucun doute d'une consommation.



Cliché 1 : Lieusaint, Z.A.C. de la Pyramide. Hallstatt. Structure 3615. Crâne de chien avec traces de dépouillement.



Cliché 2 : Lieusaint, Z.A.C. de la Pyramide. Hallstatt. Structure 3615. Canine de chien grillée.

12.1.7 La fosse 3790

Cette structure est l'une des quatre qui a livré plus d'une centaine de restes (ici 106 restes). Le poids moyen des restes est de 6,5 g (14,9 g pour les restes déterminés). Le matériel est bien préservé et paraît avoir été enfoui rapidement. 26 % des restes sont brûlés, essentiellement des indéterminés de petite taille.

	3790	
	NR	PdR
Bœuf	20	258
Porc	1	9
Capriné	3	32
dont : Mouton	1	28
Cheval	6	158
Lièvre	1	5
NRD	31	462
Indéterminés Grand bétail	20	136
Indéterminés Petit bétail	1	1
indéterminés autre	54	90
Total Indéterminés	75	227
NRT	106	689

Tableau 6 : Lieusaint, Z.A.C. de la Pyramide. Hallstatt. Décompte des restes osseux de la structure 3790.

Cinq espèces ont été déterminées, quatre domestiques et une sauvage.

Le bœuf est le mieux figuré. Se trouvent ensuite le cheval, les caprinés, avec au moins un mouton âgé de 1 à 2 ans, et enfin le porc avec un fragment de scapula.

Un fragment de coxal de lièvre vient attester la chasse ou le piégeage

L'intérêt de ce lot réside dans les six restes de cheval, provenant du crâne et du membre antérieur. Des traces de coup de couteau ont été relevées sur la mandibule du cheval, traces correspondant à la désarticulation de la mandibule avec le crâne. Il est par conséquent plus que probable que cet animal a été consommé. Aucun os entier ne nous a permis d'appréhender la taille de ce cheval.

12.1.8 La fosse 4005

Cette fosse a livré 43 restes dont 37 sont déterminés. Ils appartiennent aux trois quarts à du bœuf, le porc et les caprinés complétant ce lot avec 3 restes chacun.

Nous avons noté de nombreuses traces de boucherie sur les cotes (incisions fines de décarnisation, coup de couteau de mise en pièce) ainsi que sur un fragment de mandibule.

12.1.9 La fosse 4015

Le lot provenant de cette structure est composé de 48 restes dont 26 déterminés. Le PdR moyen est de 4,7 g (tab. 7).

	4015	
	NR	PdR
Bœuf	1	5
Porc	7	51
Capriné	16	120
Chien	2	6
NRD	26	182
Indéterminés Grand bétail	2	12
Indéterminés Petit bétail	18	26
indéterminés autre	2	5
Total Indéterminés	22	43
NRT	48	225

Tableau 7 : Lieusaint, Z.A.C. de la Pyramide. Hallstatt. Décompte des restes osseux de la structure 4015.

Les caprinés sont les mieux figurés avec 16 restes, dont un jeune de 18 mois environs. Le mode de découpe peut être appréhendé au travers de deux vertèbres tranchées para-sagitalement (cliché 3).

Deux porcs sont documentés dont un jeune de moins de 12 mois et un adulte. Le bœuf est juste attesté par une dent isolée. Deux restes de chien complètent cet ensemble. Il s'agit d'un très jeune animal de moins de 4 mois sur lequel aucune trace de découpe n'a été relevée



Cliché 3 : Lieusaint, Z.A.C. de la Pyramide. Hallstatt. Structure 4015. Vertèbres de capriné tranchées parasagitalement.

12.1.10 La fosse 4023

Avec 120 restes, cette fosse compte parmi les plus riches en restes osseux. Près de la moitié a été déterminée (tab. 8). Le poids moyen des restes est de 4,2 g (7,2 g pour les restes déterminés).

	4023	
	NR	PdR
Bœuf	8	109
Porc	14	160
Capriné	35	106
<i>dont : Mouton</i>	2	16
Chien	1	41
NRD	58	416
Indéterminés Grand bétail	1	2
Indéterminés Petit bétail	39	56
indéterminés autre	22	29
Total Indéterminés	62	87
NRT	120	503

Tableau 8 : Lieusaint, Z.A.C. de la Pyramide. Hallstatt. Décompte des restes osseux de la structure 4023.

Quatre espèces, toutes domestiques, sont documentées : les caprinés, le porc, le bœuf et le chien.

Les caprinés sont les mieux représentés avec près des 2/3 du NRD, réparti sur l'ensemble du squelette. Nous n'avons pas pu dénombrer plus d'un individu, ni déterminé s'il s'agit de mouton ou de chèvre.

Les 14 restes de porc appartiennent à au moins deux individus, un juvénile et un néo-natal.

Le bœuf est figuré exclusivement par des parties de faible rendement boucher (crâne, vertèbres caudales et phalanges) qui s'apparentent à des rejets primaires.

Le chien, enfin est figuré par un coxal droit qui porte des incisions fines externes (décarnisation ?) et des traces de coups résultant de la mise en pièce de l'animal (cliché 4).

Nous sommes donc encore une fois en présence d'un animal consommé.



Cliché 4 : Lieusaint, Z.A.C. de la Pyramide. Hallstatt. Structure 4023. Coxal de chien tranché.

12.1.11 La fosse 4035

La structure 4035 a livré 93 restes osseux dont plus de la moitié est déterminée. Le poids moyen, plus élevé que la moyenne observée sur le site est de 9,4 g (16,2 g pour les restes déterminés) et s'explique par la part importante des restes de bœuf (tab. 9).

	4035	
	NR	PdR
Bœuf	24	643
Porc	12	82
Capriné	13	67
NRD	49	792
Indéterminés Grand bétail	6	36
Indéterminés Petit bétail	19	26
indéterminés autre	19	22
Total Indéterminés	44	84
NRT	93	876

Tableau 9 : Lieusaint, Z.A.C. de la Pyramide. Hallstatt. Décompte des restes osseux de la structure 4035.

Seules les trois espèces domestiques habituelles sont représentées.

En NR, le bœuf domine l'ensemble, le porc et les caprinés étant documentés dans des proportions très proches. En revanche, en NMI, le porc est le mieux représenté avec 3 individus.

Le bœuf est essentiellement attesté par des restes du squelette axial (la moitié des restes correspond à des vertèbres). Nous avons observé des incisions et des coups sur une vertèbre axis. Il s'agit probablement là des stigmates de la séparation de la tête avec le reste de la carcasse.

À l'inverse du bœuf, les restes de caprinés sont répartis sur l'ensemble du squelette. Un seul animal est documenté.

Trois porcs ont pu être distingués sur fragments de maxillaires et deux au moins d'entre eux sont âgés de 10/12 mois. L'ensemble des éléments du squelette post-crânien correspond à de jeunes animaux. Une canine isolée est grillée. Les porcs ont été abattus jeunes, sans doute dans un souci d'obtention d'une viande de grande qualité.

12.1.12 La fosse 4167

Cette fosse comporte 64 restes dont 25 déterminés leur poids moyen est de 9,6 g (19,1 pour les déterminés), ce qui est plus élevé que la moyenne et s'explique par la présence de plusieurs os entiers, notamment de bœuf et de cerf

Le bœuf, le porc et les caprinés sont documentés dans des proportions semblables et c'est le cerf, espèce sauvage, qui est le mieux représenté en NR. Le cheval est attesté par une dent lactéale.

La configuration des restes osseux de cette structure se distingue des autres par la présence de plusieurs os des bas de patte entiers et le nombre des éléments du squelette post-crânien de cerf. De plus, la mandibule de cerf présente des traces de brûlure localisées sur la surface occlusale des dents (cliché 5). Cela signifie-t-il que toute ou partie de l'animal a été grillée ou rôtie ?



Cliché 5 : Lieusaint, Z.A.C. de la Pyramide. Hallstatt. Structure 4167. Mandibule de Cerf avec dents grillées.

12.1.13 La fosse 4283

De nombreux remontages ont été réalisés sur le matériel faunique de cette structure, attestant de son homogénéité. Bien que restreint, ce lot s'est révélé intéressant à plusieurs titres.

Sur les 28 restes, 2/3 sont déterminés.

Les caprinés sont les mieux figurés, suivi du porc et du bœuf. Une brebis a été individualisée sur la base d'une cheville osseuse.

Le chien est attesté par un radius entier qui porte des traces de découpes sur la partie distale, manifestement consécutives à l'enlèvement de la peau.

12.1.14 Synthèse

L'ensemble des structures hallstattiennes comporte 1182 restes pour un poids de 9,7 kg environ. 44,5 % des restes osseux ont été déterminés, qui représentent 83,4 % du PdR. Le poids moyen des restes déterminés est de 15,4 g contre 2,5 g pour les indéterminés (tab. 10).

	Total		Total	
	NR	%NR	PdR	%PdR
Bœuf	139	11,7	3277	33,7
Porc	145	12,2	1525	15,7
Capriné	196	16,6	1055	10,8
dont :				
Chèvre	2		15	
Mouton	14		205	
Cheval	16	1,4	846	8,7
Chien	9	0,8	213	2,2
Coq	2	0,2	1	0,0
Cerf	17	1,4	1183	12,2
Lièvre	2	0,2	13	0,1
oiseau	1	0,1		
NRD	527	44,5	8113	83,4
Indéterminés Grand bétail	100	8,4	758	7,8
Indéterminés Petit bétail	211	17,8	342	3,5
indéterminés autre	346	29,2	519	5,3
Total Indéterminés	657		1619	
NRT	1184	100	9732	100

Tableau 10 : Lieusaint, Z.A.C. de la Pyramide. Hallstatt. Décomptes totaux des restes osseux par espèce pour la période.

La conservation des ossements est correcte : l'action des radicelles ne touche que 3,5 % des restes et les stigmates d'un séjour sur le sol 4 % environ. L'intervention des chiens (trace de crocs, mâchonnement) a été observée sur 7 % des restes et enfin, 10,1 % des fragments sont brûlés. Par conséquent, le biais de la conservation différentielle reste limité sur cet ensemble et les manques observés doivent plutôt être attribués au mode de dépôts et enfouissement.

Dix espèces distinctes ont été observées parmi lesquelles trois sauvages.

L'impression de cet ensemble de lots d'ossements est celle de rejets alimentaires (os fracturés, esquilles, fragments brûlés) et il ne semble pas y avoir de dépôts.

12.1.14.1 Les espèces domestiques

Parmi les espèces domestiques, les caprinés sont les mieux représentés en NR (37,2 % NRD) mais aussi en nombre d'apparition (dans 25 structures sur 34). Le mouton est attesté dans 7 structures et la chèvre dans 2.

Le porc et le bœuf apparaissent ensuite dans des valeurs assez proches (respectivement 27,5 % et 26,4 % NRD). Le bœuf cependant est présent dans 21 structures contre 19 pour le porc.

Le cheval constitue 3 % du NRD et a été observé dans 8 structures. Des traces de désarticulation ont été relevées sur deux fragments de mandibules ce qui permet d'avancer que le cheval a été consommé.

En ce qui concerne le chien, celui-ci apparaît à 6 reprises. Plusieurs de ses restes portent des traces de découpe qui témoignent d'une part du prélèvement de la peau et d'autre part de la mise en pièce de l'animal (*cf. supra*). L'observation de canines grillées sur le crâne provenant de la structure 3615 laisse envisager une préparation culinaire par rôtissage, comme on le rencontre fréquemment pour le porc.

La basse-cour n'est représentée que par deux restes de coq.

Les données concernant la morphologie, l'âge et le sexe des animaux sont assez restreintes.

12.1.14.2 Morphologie des animaux

Un bœuf donne une hauteur au garrot comprise entre 105 et 110 cm. Deux caprinés se situent à 53,9 cm et 57 cm ; un chien mesure 54,4 cm et deux porcs donnent 72,3 cm et 74,1 cm au garrot.

12.1.14.3 Âge des animaux

Concernant les âges d'abattage, pour le bœuf, nous n'avons pu individualiser qu'un vieil animal et parmi les caprinés, se trouvent deux jeunes âgés de 6 à 12 mois et deux autres de 1 à 2 ans.

Les porcs ont livré plus de données. Nous avons donc un porcelet de quelques semaines, quatre de 9/12 mois, un de 12/18 mois, un de 18/24 mois et au moins un adulte de plus de deux ans.

Il faut ajouter enfin, un très jeune chiot de moins de 4 mois.

12.1.14.4 Sexe des animaux

Quelques éléments caractéristiques ont permis de compter un bœuf mâle, une brebis et 2 truies.

12.1.14.5 Distributions squelettiques par espèce

Le %NR par région anatomique montre, pour les trois espèces domestiques principales, une distribution globale assez proche avec une majorité d'éléments portant peu de viande : crâne, axe vertébral et bas de patte. Cela représente 59,5 % des restes de caprinés et 58,6 % de ceux de porc et jusqu'à 78,2 % des restes de bœuf (fig. 1). L'effectif de ce dernier s'explique par l'abondance des restes de côtes et de vertèbres (tab. 11).

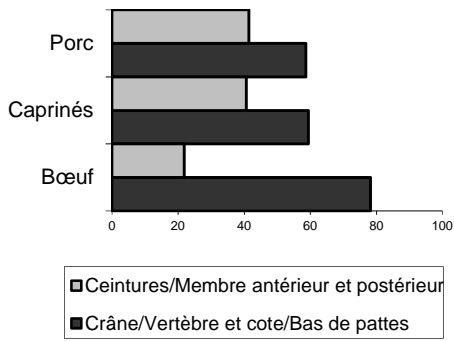


Figure 1 : Lieusaint, Z.A.C. de la Pyramide. Hallstatt. Répartition des restes par partie riche ou pauvre en viande.

	% NR		
	Bœuf	Caprinés	Porc
Crâne	19,8	22,4	32,0
Vertèbre et cote	28,7	11,2	12,5
Ceintures	6,9	3,5	10,9
Membre antérieur	9,9	18,8	12,5
Membre postérieur	5,0	18,2	18,0
Bas de pattes	29,7	25,9	14,1
Total	100	100	100

Tableau 11 : Lieusaint, Z.A.C. de la Pyramide. Hallstatt. Répartition des restes par région anatomique (en %NR).

12.1.14.6 Les espèces sauvages

La part des espèces sauvages ne constitue que 1,7 % des restes et il s'agit essentiellement du cerf. Le lièvre est attesté par deux coxaux et un oiseau indéterminé par un fragment de scapula.

Les restes de cerf sont localisés dans 4 structures (3285, 3439, 4154 et 4167) et proviennent d'au moins deux animaux : un jeune de moins de 3 ans et un adulte de 7/8 ans. Toutes les régions anatomiques sont documentées et plusieurs étapes de la préparation de la carcasse sont renseignées (étêttement, mise en pièce) qui indiquent une préparation et sans doute une consommation sur place ou non loin des structures.

Une quarantaine d'escargots *cepaea* ont été récoltés avec le matériel faunique. Nous ne les avons pas pris en compte dans l'analyse archéozoologique, il est fort probable qu'il s'agit d'intrusion. Nous signalons toutefois cette présence car il n'est pourtant pas exclu qu'ils aient été consommés.

12.1.15 Conclusion pour le Hallstatt final

L'analyse archéozoologique des ensembles de faune provenant des structures Hallstattiennes met en évidence une consommation de type domestique. La présence de plusieurs jeunes laisse penser que l'élevage a eu lieu sur place. Les pratiques d'hippophagie et de cynophagie sont attestées.

En l'absence d'habitat sur le site, on est en mesure de s'interroger sur le sens de ce lot, de prime abord caractéristique des rejets alimentaires, mais qui comporte quelques pratiques inhabituelles : rôtissage de chien et du cerf.

	3078		3080		3194		3210		3281		3285		3287		3305		3333		3433			
	NR	PdR	NR	PdR	NR	PdR	NR	PdR	NR	PdR	NR	PdR	NR	PdR	NR	PdR	NR	PdR	NR	PdR		
Boeuf	1	4							1	25	3	475	3	54	7	170				3	267	
Porc					23	313	3	63			1	1	1	2	3	24						
Capriné					20	97	1	3	1	20	6	50			9	29	2	13	3	22		
dont : Chèvre Mouton					6	62					2	38										
Cheval					1	11			1	153	3	343	1	150	1	7						
Chien					2	16																
Coq					2	1																
Cerf											3	739										
NRD	1	4	0	0	3	27	4	66	3	198	16	1608	5	206	20	230	2	13	6	289		
Indéterminés Grand bétail												19	107	3	7	3	44				3	15
Indéterminés Petit bétail			1	2	5	7	3	3					4	9	5	8	4	10	5	7		
Indéterminés autre					24	16	3	7			73	155	7	47	13	20	4	6	2	3		
Total Indéterminés	0	0	1	2	29	23	9	42	0	0	92	262	14	63	21	72	8	16	10	25		
NRT	1	4	1	2	77	461	13	108	3	198	108	1870	19	269	41	302	10	29	16	314		

	3439		3567		3595		3615		3681		3713		3790		3818		3836		4005			
	NR	PdR	NR	PdR	NR	PdR	NR	PdR	NR	PdR	NR	PdR	NR	PdR	NR	PdR	NR	PdR	NR	PdR		
Boeuf	1	20			3	71					1	8	20	258	3	20				31	261	
Porc	3	92	1	4	34	249							1	9						3	9	
Capriné	3	26			18	82			1	1			3	32	3	22				3	19	
dont : Chèvre Mouton					1	5									1	10						
Cheval	2	20			1	17							1	28	1	10						
Chien							1	120					6	158								
Coq																						
Cerf		58																				
Lièvre					1	8							1	5								
NRD	9	216	1	4	56	410	1	120	1	1	1	8	31	462	6	42	0	0	37	289		
Indéterminés Grand bétail	2	28			5	65	2	6			1	2	20	136	2	49	1	25	5	30		
Indéterminés Petit bétail	1	4			21	48	1	1					1	1					1	1		
Indéterminés autre	25	31			9	11					1	1	54	90								
Total Indéterminés	28	63	0	0	35	124	3	7	0	0	2	3	75	227	2	49	1	25	6	31		
NRT	37	279	1	4	91	534	4	127	1	1	3	11	106	689	8	91	1	25	43	320		

	4007		4013		4015		4023		4035		4039		4089		4154		4156		4167	
	NR	PdR	NR	PdR	NR	PdR	NR	PdR	NR	PdR	NR	PdR	NR	PdR	NR	PdR	NR	PdR	NR	PdR
Boeuf			1	6	1	5	8	109	24	643	2	32			5	200	12	322	6	194
Porc					7	51	14	160	12	82	3	40	4	59	7	121	15	134	4	51
Capriné	1	8	8	54	16	120	35	106	13	67	6	20	1	3	7	34	21	115	5	37
dont : Chèvre Mouton							2	16												
Cheval																				
Chien					2	6	1	41									2	12	1	4
Coq																				
Cerf															5	195			9	191
Lièvre																				
oiseau															1					
NRD	1	8	9	60	26	182	58	416	49	792	11	92	5	62	25	550	50	583	25	477
Indéterminés Grand bétail	1	9	2	16	2	12	1	2	6	36					3	10	4	20	11	102
Indéterminés Petit bétail			4	9	18	26	39	56	19	26	13	27	7	16	17	16	30	46	3	12
Indéterminés autre	1	2	2	6	2	5	22	29	19	22	1	2	1	4	21	30	35	30	25	26
Total Indéterminés	2	11	8	31	22	43	62	87	44	84	14	29	8	20	41	26	69	96	39	140
NRT	3	19	17	91	48	225	120	503	93	876	25	121	13	82	66	576	119	679	64	617

	4283		3285/ 3818		3779/ 3285	
	NR	PdR	NR	PdR	NR	PdR
Boeuf	3	133				
Porc	6	61				
Capriné	9	73			1	2
dont : Chèvre Mouton						
Cheval	1	34				
Chien	1	18				
NRD	19	285	0	0	1	2
Indéterminés Grand bétail	1	5				
Indéterminés Petit bétail	6	6	3	1		
Indéterminés autre	2	6				
Total Indéterminés	9	17	3	1	0	0
NRT	28	302	3	1	1	2

12.1.16 Annexe 1 : Hallstatt final. Tableaux de décompte des restes osseux par structure et par espèce.

Mesure	1	2	3	4	5	6	7
Bœuf métacarpe		57,3	34,5				
Bœuf métatarse		48,5	44,3				
Bœuf métatarse	197,1	40,9	34,9	23,3	23		
Bœuf phalange 1	42,9	27,6	32,7				
Bœuf phalange 2	39	26,4	29,9				
Bœuf phalange 2	34,7	23,7					
Bœuf radius		78,1	40,3	40,3	22,2		
Bœuf talus	53,3	29,1	27,6				

Mesure	1	2	3	4	5	6	7
Capriné calcaneum	47,3	17,2	19,4				
Capriné calcaneum	50	15,8	20,5				
Capriné métatarse		17	18,9				
Capriné phalange 1	33,5	10,6	12,4				
Capriné phalange 3		16,4	9,4				
Capriné phalange 2	23,7	9,5	10,6				
Mouton cheville osseuse	34,9	20,6					
Mouton humérus				12,9	14,9	26,8	22,2
Mouton scapula		28,2	18,7	17,8	10,3		

Mesure	1	2	3	4	5	6	7
Cerf radius				36		55	34,3
Cerf scapula		53	38,5	34,4	17,7		

Mesures	20	21	22
Cerf maxillaire	104,8	63,4	45,2

Mesure	1	2	3	4	5	6	7
Cheval radius		65,1	36,3	31,9	23		
Chien radius	169			13,3	7,4	23,3	12,4

Mesure	1	2	3	4	5	6	7
Porc maxillaire	30,1	17,4					
Porc métacarpe 3	70,2	15,7	17,5				
Porc métacarpe 4	73,1	14,9	14,6				
Porc phalange 3	30,4	12,7	1,4				
Porc phalange 1	35,3	16,1	15,7				
Porc phalange 1	34,5	15,5	14,2				
Porc radius		28,5	20				
Porc scapula		39,5	29,4	24,7	13,6		
Porc 3eme molaire inf	34,5 / 14,5						

12.1.17 Annexe 2 : Hallstatt final. Données ostéométriques.

12.2 Réseau fossoyé gallo-romain et structures associées

Le fossé et les structures qui lui sont associées constituent 10 ensembles de faunes dont un seul présente un effectif supérieur à 10 restes (tab. 12 et annexe 3).

n _i Us	NR	NRD	PdR	PdR NRD	PdR moye n
3011	61	59	4149	4145	68,0
3015	3	3	130	130	43,3
3180	7	7	376	375	53,7
3204	3	8	1680	1680	560
3247	2	2	241	241	120,5
3697	3	3	155	155	51,7
3701	5	1	6	3	1,2
4049	4	2	504	490	126
4079	3	3	57	57	19
4405	2	2	221	221	110,5
Total	93	90	7519	7498	76,7

Tableau 12 : Lieusaint, Z.A.C. de la Pyramide. Décompte des restes osseux du réseau fossoyé et de ses structures associées.

Le seul lot un peu particulier provient de la structure 3204 où une patte postérieure en connexion a été mise à jour. Il s'agit d'un animal adulte dont la hauteur au garrot est de 130 cm environ.

L'ensemble des restes comprend à peine une centaine de restes dont 91,8 % sont déterminés pour un poids moyen de 76,7 g (tab. 13). Le bœuf représente 80,6 % des ossements, ce qui explique le poids moyen des restes très élevé.

Les caprinés sont documentés par 5 restes (dont 4 éléments crâniens) parmi lesquels un mouton de 3/4 ans est attesté.

Le porc est représenté par 4 restes et le cheval par 2 restes dont un radio-ulna entier. Cet animal donne une hauteur au garrot de 146,7 cm environ.

	Total			
	NR	% NR	PdR	% PdR
Bœuf	79	80,6	6799	90,4
Capriné	5	5,1	53	0,7
<i>dont mouton</i>	1	1	15	0,2
Porc	4	4,1	94	1,3
Cheval	2	2,0	552	7,3
NRD	91	92,9	7498	99,7
Grand bétail	2	2,0	16	0,2
Petit bétail	1	1,0	1	0,0
indéterminé	5	5,1	4	0,1
Total indéterminés	8	8,2	21	0,3
NRT	98	100	7519	100

Tableau 13 : Lieusaint, Z.A.C. de la Pyramide. Décomptes totaux des restes osseux du réseau fossoyé et de ses structures associées.

La configuration des restes de cet ensemble s'apparente bien à celle souvent observées dans les fossés (éléments de grand bétail majoritaires, os entiers, connexions), où des animaux entiers mort naturellement sont souvent rejetés.

	3011		3015		3180		3204		3247		3697		3701		4049		4079		4405	
	NR	PDR	NR	PDR	NR	PDR	NR	PDR	NR	PDR	NR	PDR	NR	PDR	NR	PDR	NR	PDR	NR	PDR
Boeuf	57	4112	2	128	7	376	7	1666	1	174	1	80					2	42	2	221
Capriné <i>dont mouton</i>	1	28	1	2									1	3	1	5	1	15		
Porc							1	14			2	75					1	15		
Cheval	1	5							1	67					1	485				
NRD	59	4145	3	130	7	376	8	1680	2	241	3	155	1	3	2	490	3	57	2	221
Grand bétail	1	3													1	13				
Petit bétail indéterminé	1	1											4	3	1	1				
Total indéterminés	2	4	0	0	0	0	0	0	0	0	0	0	4	3	2	14	0	0	0	0
NR1	61	4149	3	130	7	376	8	1680	2	241	3	155	5	6	4	504	3	57	2	221

Annexe 3 : Lieusaint, Z.A.C. de la Pyramide. Tableaux de décompte des restes osseux par Us et par espèce du réseau fossoyé et de ses structures associées.

12.3 La Tène C2 à Ier s. ap. J.-C.

14 structures ont été attribuées indifféremment au moment de l'étude archéozoologique à la période de La Tène C2 à gallo-romaine précoce.

Il s'agit d'ensembles extrêmement restreints puisque aucun n'atteint la dizaine de restes (tab. 14). Les trois espèces domestiques habituelle y ont été observées. En ce qui concerne les espèces sauvages, une canine de suidé de grande taille pourrait signaler la présence du sanglier, cependant le fait que certains porcs possèdent également de grande canine nous incite à la prudence.

Une seule structure présente une configuration particulière, la structure 3677, où une partie supérieure d'arrière-train de bœuf a été mise au jour. La position des os dans la fosse¹⁰ laisse apparaître une connexion certaine entre les coxaux et le sacrum. Pour le fémur, le tibia et le métatarse gauche, la connexion est un peu plus lâche et laisse penser qu'une décomposition des chairs effectuée dans un espace pas entièrement comblé (à la manière de certaines sépultures humaines).

La position du fémur droit peut correspondre à une connexion avec le coxal.

La position des os de bœuf dans cette structure – os qui ne portent aucun stigmate de mise en pièce ni de découpe - reflète certainement un dépôt qu'il conviendra de corrélérer avec les autres données du site afin de l'interpréter de la manière la plus fiable.

¹⁰ Nous soulignerons ici la très grande qualité descriptive de la structure et du relevé dessin, particulièrement précis, qui nous a permis une analyse fine de la position des os, alors même que nous n'avons pas vu le matériel *in situ* (relevé par Laurent Granchat, Inrap).

	2026		3993		3245		3295		3313		3471	
	NR	PdR	NR	PdR	NR	PdR	NR	PdR	NR	PdR	NR	PdR
Bœuf					2	78			1	16		
Caprin											1	12
Porc	1	11					1	13				
NRD	1	11	0	0	2	78	1	13	1	16	1	12
Grand btail	1	17			1	20						
Petit btail	4	10	1	4								
indtermin	1	13										
Total indtermins	6	40	1	4	1	20	0	0	0	0	0	0
NRT	7	51	1	4	3	98	1	13	1	16	1	12

	3473		3475		3493		3677		4139	
	NR	PdR	NR	PdR	NR	PdR	NR	PdR	NR	PdR
Bœuf							8	2717		
Caprin										
Porc					1	3			1	10
Sanglier?										
Total indtermins	2	8	1	6	0	0	0	0	0	0
Grand btail			1	6						
Petit btail	2	8								
indtermin										
Total indtermins	2	8	1	6	0	0	0	0	0	0
NRT	2	8	1	6	1	3	8	2717	1	10

Tableau 14 : Lieusaint, Z.A.C. de la Pyramide. La Tène C2/ période romaine précoce. Tableaux de décompte des restes osseux par structure et par espèce.

12.4 Inventaire et identification des éléments fauniques par fait et Us

Hallstatt final						
n°fait	Us	NR	Espèce	Partie anatomique		coté
3080	3080	1	Petit bétail	fg diaphyse		
3194	3194	1	Capriné	crâne	fg frontal	D
3194	3194	1	Porc	crâne	fg pariétal et occipital	D
3194	3194	1	Chien	maxillaire	m1	D
3194	3194	1	Cheval	mandibule	jug	D
3194	3194	1	Porc	radius		D
3194	3194	1	Porc	radius		D
3194	3194	1	Mouton	ulna		D
3194	3194	1	Porc	ulna		D
3194	3194	1	Capriné	coxal		D&G
3194	3194	1	Coq	coracoïde		G
3194	3194	1	Mouton	humérus		G
3194	3194	1	Porc	humérus		G
3194	3194	1	Mouton	radius		G
3194	3194	1	Porc	radius		G
3194	3194	1	Mouton	scapula		G
3194	3194	1	Porc	scapula		G
3194	3194	1	Mouton	ulna		G
3194	3194	1	Porc	ulna		G
3194	3194	1	Capriné	tarse	calcaneum	Ind.
3194	3194	1	Capriné	crâne	cheville osseuse	
3194	3194	1	Porc	fibula		
3194	3194	1	Coq	lombosacrum		
3194	3194	1	Capriné	métatarse		
3194	3194	1	Porc	phalange 1		
3194	3194	1	Chien	sacrum		
3194	3194	1	Mouton	vertèbre lombaire		
3194	3194	1	Capriné	vertèbre thoracique		
3194	3194	1	Porc	vertèbre thoracique		
3194	3194	2	Capriné	cote		
3194	3194	4	Porc	cote		
3194	3194	5	Petit bétail	fg diaphyse		
3194	3194	6	Capriné	cote		
3194	3194	8	Porc	cote		
3194	3194	24	indéterminé			
3210	3210	1	Porc	mandibule		D
3210	3210	1	Porc	cote		
3210	3210	1	Porc	cote		
3210	3210	1	Grand bétail	fg diaphyse		
3210	3210	1	Petit bétail	fg diaphyse		
3210	3210	2	Grand bétail	tibia		Ind.
3210	3210	2	Petit bétail	cote		
3210	3210	3	indéterminé			
3210	3905	1	Capriné	maxillaire	m iso	
3237	3237	1	Capriné	radius		D
3237	3237	1	Grand bétail	scapula		Ind.
3237	3237	1	Capriné	radius		Ind.
3237	3237	1	Sanglier?	canine inf		
3237	3237	5	indéterminé	esquille		
3281	3281	1	Capriné	maxillaire	M1 à M3	D
3281	3281	1	Bœuf	scapula		D
3281	3281	1	Cheval	radius		G
3285	3285	1	Capriné	tarse	calcaneum	D
3285	3285	1	Capriné	radius		G
3285	3285	1	Capriné	tibia		Ind.
3285	3285	1	Capriné	fémur		
3285	3285	1	Grand bétail	fg diaphyse		
3285	3285	1	Porc	incisive		
3285	3285	1	indéterminé			
3285	3285	3	indéterminé			
3285	3285	4	indéterminé			
3285	3285	5	Grand bétail	fg diaphyse		
3285	3285	10	Grand bétail	fg diaphyse		
3285	3285	60	indéterminé			

ZAC de la Pyramide Lot C1, Lieusaint, Ville Nouvelle de Sénart (77), fouille 15-07/04-10-2002
Annexe B : Analyse archéo-zoologique

3285	3762	5	indéterminé			
3285	3285/1	1	Bœuf	sacrum		
3285	3285/10	1	Cerf	radius		D
3285	3285/18	1	Grand bétail	cote		
3285	3285/19	1	Cheval	maxillaire	& M1, M2, M3	G
3285	3285/2		Cerf	bois		
3285	3285/20	1	Mouton	mandibule	& dent	D
3285	3285/2b	1	Cerf	crane et bois		
3285	3285/3	1	Cheval	radius		D
3285	3285/3	1	Bœuf	métacarpe		G
3285	3285/4	1	Cheval	humérus		D
3285	3285/5	1	Bœuf	radius		G
3285	3285/5	2	Grand bétail	fg diaphyse		
3285	3285/9	1	Mouton	mandibule	& dent	G
3287	3800	1	Petit bétail	cote		
3287	3800	1	Petit bétail	cote		
3287	3800	1	Petit bétail	fg diaphyse		
3287	3800	1	Petit bétail	vertèbre thoracique		
3287	3800	2	indéterminé			
3287	3806	1	Bœuf	fémur		D
3287	3806	1	Bœuf	mandibule		D
3287	3806	1	Bœuf	ulna		D
3287	3806	1	Grand bétail	tarse	talus	G
3287	3806	1	Porc	cote		
3287	3806	1	indéterminé	esquille		
3287	3806	1	indéterminé	esquille		
3287	3806	1	Grand bétail	fg diaphyse		
3287	3806	1	Cheval	mandibule		
3287	3806	1	H/Ours?	phalange 2		
3287	3806	1	indéterminé			
3287	3806	2	Grand bétail	mandibule		
3305	3305	1	Bœuf	métacarpe		D
3305	3305	1	Petit bétail	cote		
3305	3305	1	Petit bétail	fg diaphyse		
3305	3305	3	indéterminé			
3305	3387	1	Porc	fémur		D
3305	3387	1	Bœuf	mandibule	pm	D
3305	3387	1	Capriné	tibia		Ind.
3305	3387	1	Petit bétail	fg diaphyse		
3305	3387	1	Cheval	incisive		
3305	3387	1	Capriné	métacarpe		
3305	3387	5	indéterminé			
3305	3763	1	Grand bétail	cote		
3305	3763	1	Bœuf	vertèbre		
3305	3763	1	Bœuf	vertèbre atlas		
3305	3763	1	indéterminé			
3305	3765	1	Capriné	radius		G
3305	3765	1	Petit bétail	cote		
3305	3765	1	Capriné	métacarpe		
3305	3765	1	Capriné	métatarse		
3305	3765	1	Porc	phalange 3 latérale		
3305	3766	1	Grand bétail	humérus		Ind.
3305	3766	1	Bœuf	mandibule	m iso	
3305	3775	1	Bœuf	carpien	pyramidal	G
3305	3775	1	Petit bétail	fg diaphyse		
3305	3775	1	Grand bétail	humérus		
3305	3366/3367	1	Capriné	humérus		D
3305	3366/3367	1	Bœuf	tarse	calcaneum	G
3305	3366/3367	1	Porc	fémur		Ind.
3305	3366/3367	1	Capriné	métatarse		
3305	3366/3367	2	Capriné	radius		
3305	3366/3367	4	indéterminé			
3333	3333/3760	1	Capriné	radius		G
3333	3333/3760	1	Capriné	métatarse		Ind.
3333	3333/3760	1	indéterminé	esquille		
3333	3333/3760	1	Petit bétail	fg diaphyse		
3333	3333/3760	3	Petit bétail	fg diaphyse		
3333	3333/3760	3	indéterminé			
3433	3433	1	Bœuf	métacarpe		Ind.

ZAC de la Pyramide Lot C1, Lieusaint, Ville Nouvelle de Sénart (77), fouille 15-07/04-10-2002
Annexe B : Analyse archéo-zoologique

3433	3433	1	Capriné	métatarse		Ind.
3433	3433	4	Petit bétail	fg diaphyse		
3433	3773	1	Bœuf	mandibule	dp4	D
3433	3773	1	Bœuf	coxal		G
3433	3773	2	Grand bétail	fg diaphyse		
3433	3833	1	Capriné	tibia		D
3433	3833	1	Petit bétail	fg diaphyse		
3433	3833	1	indéterminé			
3433	3833	1	indéterminé			
3433		1	Capriné	métacarpe		Ind.
3433		1	Grand bétail	cote		
3439	3439	1	Cheval	incisive		D
3439	3439	1	Capriné	maxillaire		D
3439	3439	1	Porc	mandibule		D
3439	3439	1	Porc	maxillaire	& dents	G
3439	3439	1	Capriné	métatarse		G
3439	3439	1	Capriné	radius		G
3439	3439	1	Cheval	humérus		Ind.
3439	3439	1	Grand bétail	humérus		Ind.
3439	3439	1	indéterminé	crâne		
3439	3439	1	Bœuf	crâne	fg pariétal	
3439	3439	1	Grand bétail	fg diaphyse		
3439	3439	1	Petit bétail	fg diaphyse		
3439	3439	1	Porc	fibula		
3439	3439	4	indéterminé			
3439	3439	7	indéterminé			
3439	3439	13	indéterminé			
3439	3439		Cerf	bois		
3567	3420	1	Porc	fémur		G
3595	3414	1	Capriné	mandibule	&dents	D
3595	3414	1	Grand bétail	cote		
3595	3414	1	Petit bétail	cote		
3595	3414	1	Capriné	métacarpe		
3595	3414	1	Capriné	métatarse		
3595	3414	2	Capriné	radius		G
3595	3414	2	Capriné	tibia		Ind.
3595	3422	1	Capriné	tibia		D
3595	3422	1	Petit bétail	cote		
3595	3424	1	Porc	ulna		D
3595	3439	1	Capriné	vertèbre thoracique		
3595	3439	2	Grand bétail	fg diaphyse		
3595	3567	1	Capriné	radius		Ind.
3595	3595	1	Capriné	maxillaire	& dp4, m1, m2	D
3595	3595	1	Bœuf	métacarpe		Ind.
3595	3595	1	Porc	patella		
3595	3595	1	Porc	phalange 3		
3595	3595	2	Petit bétail	fg diaphyse		
3595	3595	3	Petit bétail	fg diaphyse		
3595	3782	1	Bœuf	vertèbre cervicale	5 ou 6 e	
3595	3782	1	indéterminé			
3595	3941	1	Capriné	coxal		D
3595	3941	1	Porc	métacarpe 4		D
3595	3941	1	Chèvre	radius		D
3595	3941	1	Capriné	tibia		D
3595	3941	1	Porc	tibia		D
3595	3941	1	Porc	fémur		G
3595	3941	1	Porc	maxillaire	M3	G
3595	3941	1	Porc	tibia		G
3595	3941	1	Bœuf	métacarpe		Ind.
3595	3941	1	Porc	vertèbre lombaire		
3595	3941	2	indéterminé	esquille		
3595	3941	2	Petit bétail	fg diaphyse		
3595	3941	2	indéterminé			
3595	3941	3	indéterminé	esquille		
3595	3941	4	Porc	vertèbre caudale		
3595	3949	1	Capriné	crâne	nasal	D
3595	3949	1	Mouton	mandibule	& dent	D
3595	3949	1	Capriné	radius		D
3595	3956	1	Porc	coxal		D

ZAC de la Pyramide Lot C1, Lieusaint, Ville Nouvelle de Sénart (77), fouille 15-07/04-10-2002
Annexe B : Analyse archéo-zoologique

3595	3956	1	Porc	métacarpe 3		D
3595	3956	1	Porc	mandibule	& m3	D
3595	3956	1	Porc	métatarse 5		D
3595	3956	1	Lièvre	coxal		G
3595	3956	1	Porc	métatarse 4		G
3595	3956	1	Porc	tibia		G
3595	3956	1	Porc	cote		
3595	3956	1	Porc	coxal		
3595	3956	1	Petit bétail	fg diaphyse		
3595	3956	1	Porc	métacarpe 5		
3595	3956	1	Porc	phalange 1		
3595	3956	1	Porc	phalange 1		
3595	3956	1	Porc	phalange 2		
3595	3956	1	Porc	phalange 2		
3595	3956	1	Porc	phalange 3		
3595	3956	1	Capriné	phalange 2		
3595	3956	1	Porc	vertèbre caudale		
3595	3956	1	Porc	vertèbre cervicale		
3595	3956	1	indéterminé			
3595	3956	2	Porc	carpien		
3595	3956	2	Grand bétail	cote		
3595	3956	2	Petit bétail	humérus		
3595	3956	3	Petit bétail	fg diaphyse		
3595	3956	3	Porc	vertèbre sacrée		
3595	3956	6	Petit bétail	cote		
3615	3615	1	Grand bétail	cote		
3615	3615	1	Grand bétail	fg diaphyse		
3615	3615	1	Petit bétail	fg diaphyse		
3615	3980	1	Chien	crâne		
3713		1	Bœuf	tarse	naviculcuboïde	D
3713		1	Grand bétail	scapula		
3713		1	indéterminé	vertèbre		
3790	3015	1	Capriné	mandibule	m iso	G
3790	3015	1	Grand bétail	humérus		
3790	3790	1	Cheval	humérus		D
3790	3790	1	Cheval	mandibule		D
3790	3790	1	Porc	scapula		D
3790	3790	1	Bœuf	carpien	capitatotrapézoïde	G
3790	3790	1	Mouton	mandibule		G
3790	3790	1	Cheval	crâne	petreux	
3790	3790	1	Cheval	crâne	incisif	
3790	3790	1	Grand bétail	fg diaphyse		
3790	3790	1	Cheval	maxillaire	1 & dents	
3790	3790	8	indéterminé			
3790	3790	10	indéterminé			
3790	3792	1	Lièvre	coxal		D
3790	3792	1	Bœuf	métatarse		G
3790	3792	1	Cheval	ulna		Ind.
3790	3792	1	Grand bétail	fg diaphyse		
3790	3792	1	Bœuf	métacarpe		
3790	3792	1	Capriné	mandibule	dent iso	
3790	3792	1	Bœuf	phalange 2		
3790	3792	1	Bœuf	sesamoïde		
3790	3792	1	Bœuf	sesamoïde		
3790	3792	1	Grand bétail	vertèbre		
3790	3792	3	Grand bétail	vertèbre		
3790	3792	4	Grand bétail	fg diaphyse		
3790	3792	9	Grand bétail	cote		
3790	3792	14	Bœuf	vertèbre thoracique		
3790	3792	15	indéterminé			
3790	3792	21	indéterminé			
3790	3794	1	Petit bétail	fg diaphyse		
3818	3800	1	Capriné	radius		D
3818	3800	3	Bœuf	mandibule		
3818	3817/12	1	Grand bétail	cote		
3818	3817/13	1	Grand bétail	cote		
3818	3817/14	1	Mouton	métatarse		
3818	3817/15	1	Chèvre	crâne	cheville osseuse	
3836	3836	1	Grand bétail	scapula		

ZAC de la Pyramide Lot C1, Lieusaint, Ville Nouvelle de Sénart (77), fouille 15-07/04-10-2002
Annexe B : Analyse archéo-zoologique

4005	4005	1	Capriné	maxillaire	M2 & M3	D
4005	4005	1	Bœuf	mandibule		G
4005	4005	1	Capriné	tibia		Ind.
4005	4005	1	Capriné	tibia		Ind.
4005	4005	1	Porc	cote		
4005	4005	1	Bœuf	crâne		
4005	4005	1	Petit bétail	fg diaphyse		
4005	4005	1	Porc	phalange 3		
4005	4005	2	Grand bétail	mandibule		
4005	4005	2	Grand bétail	indéterminé		
4005	4005	3	Bœuf	cote		
4005	4005	16	Bœuf	cote		
4005	4576	1	Bœuf	humérus		Ind.
4005	4576	1	Bœuf	scapula		Ind.
4005	4576	1	Bœuf	crâne		
4005	4576	1	Grand bétail	fg diaphyse		
4005	4576	6	Bœuf	cote		
4005	4578	1	Porc	métacarpe 5		G
4005	4582	1	Bœuf	cote		
4007	4007	1	Grand bétail	cote		
4007	4601.4602	1	Capriné	cote		
4007	4601.4603	1	indéterminé	mandibule		
4013	4013	2	Petit bétail	fg diaphyse		
4013	4459	1	Capriné	tibia		D
4013	4459	1	Capriné	radius		G
4013	4459	1	Capriné	tibia		Ind.
4013	4459	1	Capriné	cote		
4013	4459	1	indéterminé	crâne		
4013	4459	1	Capriné	fémur		
4013	4459	1	Grand bétail	fg diaphyse		
4013	4459	1	Capriné	maxillaire	m	
4013	4459	1	Grand bétail	indéterminé		
4013	4459	1	Petit bétail	indéterminé		
4013	4459	1	indéterminé	esquille		
4013	4488	1	Capriné	mandibule		D
4013	4517	1	Bœuf	mandibule		
4013	4518	1	indéterminé			
4013	4527	1	Capriné	tibia		D
4013	4527	1	Petit bétail	cote		
4015	4015	1	Capriné	tibia		D
4015	4015	1	Chien	mandibule		G
4015	4015	1	Capriné	métatarse		G
4015	4015	1	Capriné	métatarse		G
4015	4015	1	Chien	ulna		G
4015	4015	1	Capriné	cote		
4015	4015	1	Petit bétail	cote		
4015	4015	1	Porc	cote		
4015	4015	1	Petit bétail	fg diaphyse		
4015	4015	1	Porc	fibula		
4015	4015	1	Petit bétail	humérus		
4015	4015	1	Capriné	métatarse		
4015	4015	1	Capriné	métapode		
4015	4015	1	Capriné	phalange 1		
4015	4015	1	Capriné	vertèbre lombaire		
4015	4015	1	Capriné	vertèbre lombaire		
4015	4015	1	Petit bétail	vertèbre lombaire		
4015	4015	2	Petit bétail	cote		
4015	4015	2	Grand bétail	fg diaphyse		
4015	4015	2	Capriné	radius		
4015	4015	2	indéterminé			
4015	4015	3	Petit bétail	fg diaphyse		
4015	4015	4	Petit bétail	fg diaphyse		
4015	4454	1	Capriné	maxillaire		D&G
4015	4454	1	Petit bétail	scapula		
4015	4454	1	Capriné	vertèbre lombaire		
4015	4455	1	Capriné	métatarse		D
4015	4455	1	Porc	scapula		G
4015	4460	1	Porc	fémur		D
4015	4460	1	Porc	humérus		G

ZAC de la Pyramide Lot C1, Lieusaint, Ville Nouvelle de Sénart (77), fouille 15-07/04-10-2002
Annexe B : Analyse archéo-zoologique

4015	4460	1	Capriné	cote			
4015	4460	1	Porc	incisive inf			
4015	4460	1	Porc	incisive inf			
4015	4460	1	Bœuf	mandibule	M ISO		
4015	4460	1	Capriné	métatarse			
4015	4460	4	Petit bétail	fg diaphyse			
4023	4023	1	Capriné	fémur		D	
4023	4023	1	Porc	mandibule	M1 & M2	D	
4023	4023	1	Porc	tarse	calcaneum	G	
4023	4023	1	Porc	radius		G	
4023	4023	1	Porc	ulna		G	
4023	4023	1	Capriné	mandibule		Ind.	
4023	4023	1	Bœuf	phalange 2			
4023	4023	1	indéterminé				
4023	4023	2	Capriné	cote		D	
4023	4023	2	Petit bétail	cote			
4023	4023	7	Petit bétail	fg diaphyse			
4023	4530	1	Chien	coxal		D	
4023	4530	1	Capriné	maxillaire	M	D	
4023	4530	1	Capriné	mandibule		D	
4023	4530	1	Porc	mandibule		D	
4023	4530	1	Capriné	métatarse		D	
4023	4530	1	Capriné	tibia		D	
4023	4530	1	Capriné	fémur		G	
4023	4530	1	Porc	incisive sup		G	
4023	4530	1	Capriné	maxillaire		G	
4023	4530	1	Capriné	maxillaire	M	G	
4023	4530	1	Porc	scapula		G	
4023	4530	1	Capriné	humérus		Ind.	
4023	4530	1	Capriné	cote			
4023	4530	1	Petit bétail	cote			
4023	4530	1	Petit bétail	cote			
4023	4530	1	Bœuf	crâne	zygomatique		
4023	4530	1	Capriné	fémur			
4023	4530	1	Capriné	fémur			
4023	4530	1	Petit bétail	fg diaphyse			
4023	4530	1	Porc	fg dent			
4023	4530	1	Porc	fibula			
4023	4530	1	Capriné	incisive			
4023	4530	1	Capriné	métacarpe			
4023	4530	1	Bœuf	phalange 1			
4023	4530	1	Bœuf	phalange 2			
4023	4530	1	Capriné	phalange 2			
4023	4530	1	Capriné	radius			
4023	4530	1	Bœuf	vertèbre caudale			
4023	4530	1	Bœuf	vertèbre thoracique			
4023	4530	2	Capriné	métatarse		Ind.	
4023	4530	2	indéterminé				
4023	4530	3	Capriné	vertèbre thoracique			
4023	4530	3	Capriné	vertèbre thoracique			
4023	4530	6	Petit bétail	fg diaphyse			
4023	4530	10	indéterminé				
4023	4530	17	Petit bétail	cote			
4023	4542	1	Bœuf	crâne	zygomatique	D	
4023	4542	1	indéterminé				
4023	4543	1	Capriné	ulna		D	
4023	4543	1	Grand bétail	fg diaphyse			
4023	4543	2	Capriné	phalange 1			
4023	4544	1	Porc	crâne	lacrymal	D	
4023	4544	1	Bœuf	mandibule		D	
4023	4544	1	Porc	mandibule		D	
4023	4544	1	Porc	mandibule	M3	G	
4023	4544	1	Porc	mandibule		G	
4023	4544	1	Porc	mandibule		G	
4023	4544	1	Capriné	métacarpe			
4023	4544	1	Mouton	mandibule	DP4 & M1		
4023	4544	1	Mouton	mandibule	P4 & M1		
4023	4544	1	Capriné	métapode			
4023	4544	1	Capriné	vertèbre thoracique			

ZAC de la Pyramide Lot C1, Lieusaint, Ville Nouvelle de Sénart (77), fouille 15-07/04-10-2002
Annexe B : Analyse archéo-zoologique

4023	4544	2	Petit bétail	cote		
4023	4544	2	Petit bétail	fg diaphyse		
4023	4544	8	indéterminé	esquille		
4035	4035	1	Capriné	maxillaire	dents et incisif	D
4035	4035	1	Porc	mandibule	inci	D
4035	4035	1	Bœuf	scapula		D
4035	4035	1	Porc	crâne	incisif	G
4035	4035	1	Capriné	humérus		G
4035	4035	1	Porc	mandibule	Canine	G
4035	4035	1	Capriné	radius		G
4035	4035	1	Bœuf	tarse	calcaneum	G
4035	4035	1	Porc	humérus		Ind.
4035	4035	1	Porc	cote		
4035	4035	1	Porc	crâne	incisif & nasal	
4035	4035	1	Capriné	fémur		
4035	4035	1	Petit bétail	fg diaphyse		
4035	4035	1	Capriné	mandibule		
4035	4035	1	Capriné	métatarse 3		
4035	4035	1	Capriné	métatarse 4		
4035	4035	2	Porc	fibula		D&G
4035	4035	2	Petit bétail	fg diaphyse		
4035	4035	2	Bœuf	phalange 2		
4035	4035	2	Grand bétail	vertèbre		
4035	4035	4	Petit bétail	cote		
4035	4035	4	Petit bétail	cote		
4035	4035	9	indéterminé			
4035	4558	1	Bœuf	maxillaire	M	D
4035	4558	1	Capriné	tibia		D
4035	4558	1	Grand bétail	cote		
4035	4558	1	Bœuf	cote		
4035	4558	1	Grand bétail	fémur		
4035	4558	1	indéterminé	mandibule		
4035	4558	1	Bœuf	vertèbre cervicale		
4035	4558	1	Bœuf	vertèbre caudale		
4035	4558	2	Petit bétail	cote		
4035	4558	2	Grand bétail	fg diaphyse		
4035	4558	2	Bœuf	vertèbre lombaire		
4035	4558	2	Bœuf	vertèbre thoracique		
4035	4559	1	Bœuf	radius		Ind.
4035	4559	1	Petit bétail	fg diaphyse		
4035	4559	1	Capriné	mandibule	M	
4035	4559	1	Bœuf	vertèbre thoracique		
4035	4559	5	indéterminé			
4035	4560	1	Bœuf	vertèbre axis		
4035	4560	1	Bœuf	vertèbre cervicale		
4035	4564	1	Petit bétail	fg diaphyse		
4035	4564/4565/4556/4557/4035RI	1	Bœuf	humérus		D
4035	4564/4565/4556/4557/4035RI	1	Porc	maxillaire		D
4035	4564/4565/4556/4557/4035RI	1	Porc	maxillaire		D
4035	4564/4565/4556/4557/4035RI	1	Bœuf	radius		D
4035	4564/4565/4556/4557/4035RI	1	Capriné	radius		G
4035	4564/4565/4556/4557/4035RI	1	Porc	scapula		G
4035	4564/4565/4556/4557/4035RI	1	Bœuf	cote		
4035	4564/4565/4556/4557/4035RI	1	Capriné	fémur		
4035	4564/4565/4556/4557/4035RI	1	Capriné	fémur		
4035	4564/4565/4556/4557/4035RI	1	Petit bétail	fg diaphyse		
4035	4564/4565/4556/4557/4035RI	1	Petit bétail	fg diaphyse		
4035	4564/4565/4556/4557/4035RI	1	Porc	fibula		
4035	4564/4565/4556/4557/4035RI	1	Bœuf	phalange 3		
4035	4564/4565/4556/4557/4035RI	1	Capriné	scapula		
4035	4564/4565/4556/4557/4035RI	1	Bœuf	vertèbre cervicale		
4035	4564/4565/4556/4557/4035RI	1	Bœuf	vertèbre cervicale		
4035	4564/4565/4556/4557/4035RI	3	indéterminé			
4035	drain	1	Bœuf	vertèbre cervicale		
4035	drain	1	Bœuf	vertèbre cervicale		
4035	drain	1	indéterminé			
4035	drain	2	Petit bétail	cote		
4039	4039	1	Porc	mandibule		D
4039	4039	1	Porc	ulna		G

ZAC de la Pyramide Lot C1, Lieusaint, Ville Nouvelle de Sénart (77), fouille 15-07/04-10-2002
Annexe B : Analyse archéo-zoologique

4039	4039	1	Capriné	métatarse		Ind.	
4039	4039	1	Petit bétail	fg diaphyse			
4039	4039	1	Capriné	mandibule	m1		
4039	4039	4	Petit bétail	cote			
4039	4451	1	Petit bétail	esquille			
4039	4451	1	Petit bétail	tibia ?			
4039	4451	1	Capriné	ulna			
4039	4451	2	Petit bétail	cote			
4039	4456	1	Capriné	mandibule		D	
4039	4456	1	Capriné	tibia		D	
4039	4456	1	Porc	mandibule		G	
4039	4456	1	Capriné	radius		G	
4039	4456	1	Bœuf	tarse		G	
4039	4456	1	indéterminé				
4039	4456	4	Petit bétail	fg diaphyse			
4039	4494	1	Bœuf	vertèbre thoracique			
4039	4484	1	Porc	scapula		D	
4039	4484	1	Porc	tibia		D	
4039	4484	1	indéterminé	maxillaire	M	G	
4039	4484	1	Petit bétail	fg diaphyse			
4039	4484	2	Petit bétail	cote			
4039	4485	1	Porc	maxillaire	p3, P4 dp4, M1 & M2		
4039	4485	1	Capriné	métacarpe			
4039	4485	1	Porc	mandibule			
4039	4485	2	Petit bétail	cote			
4039	4485	2	Petit bétail	fg diaphyse			
4154	4154	1	Porc	maxillaire	P3 à M3	D	
4154	4154	1	Capriné	métacarpe		D	
4154	4154	1	Porc	mandibule		D	
4154	4154	1	Capriné	tibia		D	
4154	4154	1	Porc	canine		G	
4154	4154	1	Porc	mandibule	m3	G	
4154	4154	1	Bœuf	métatarse		G	
4154	4154	1	Capriné	métatarse		G	
4154	4154	1	Bœuf	radius		G	
4154	4154	1	Capriné	radius		G	
4154	4154	1	Cerf	scapula		G	
4154	4154	1	Porc	scapula		G	
4154	4154	1	Porc	tibia		G	
4154	4154	1	Capriné	métatarse		Ind.	
4154	4154	1	Capriné	métatarse		Ind.	
4154	4154	1	Bœuf	carpien			
4154	4154	1	Grand bétail	cote			
4154	4154	1	Porc	crâne	pls fg : temp, front et nasal		
4154	4154	1	Petit bétail	intercostal			
4154	4154	1	Bœuf	mandibule	M		
4154	4154	1	Capriné	phalange 3			
4154	4154	1	oiseau	scapula			
4154	4154	1	Cerf	vertèbre atlas			
4154	4154	1	Cerf	vertèbre cervicale			
4154	4154	1	Cerf	vertèbre cervicale			
4154	4154	1	Cerf	vertèbre cervicale			
4154	4154	1	Bœuf	vertèbre thoracique			
4154	4154	2	Grand bétail	vertèbre			
4154	4154	6	Petit bétail	cote			
4154	4154	10	Petit bétail	fg diaphyse			
4154	4154	21	indéterminé				
4156	4283	1	Porc	canine		G	
4156	4585	1	Capriné	humérus		D	
4156	4585	1	Capriné	mandibule		D	
4156	4585	1	Porc	scapula		D	
4156	4585	1	Chien	ulna		D	
4156	4585	1	Porc	scapula		G	
4156	4585	1	Bœuf	tarse	calcaneum	G	
4156	4585	1	Petit bétail	cote			
4156	4585	1	Porc	cote			
4156	4585	1	indéterminé	esquille			
4156	4585	1	Porc	fémur			
4156	4585	1	Petit bétail	fg diaphyse			

ZAC de la Pyramide Lot C1, Lieusaint, Ville Nouvelle de Sénart (77), fouille 15-07/04-10-2002
Annexe B : Analyse archéo-zoologique

4156	4585	1	Porc	mandibule	& dp4 m1	
4156	4585	1	Grand bétail	ulna		
4156	4585	1	Capriné	vertèbre lombaire		
4156	4585	1	indéterminé			
4156	4585	2	Petit bétail	cote		
4156	4585	3	Petit bétail	fg diaphyse		
4156	4586	1	Capriné	tarse	calcaneum	G
4156	4586	1	Capriné	mandibule	& p4, m1, m2	G
4156	4586	1	Porc	tibia		G
4156	4586	1	Petit bétail	cote		
4156	4586	1	Bœuf	cote		
4156	4586	1	Porc	incisive		
4156	4586	1	Capriné	scapula		
4156	4586	1	indéterminé			
4156	4586	2	indéterminé	esquille		
4156	4588	1	Capriné	ulna		D
4156	4588	1	Capriné	humérus		G
4156	4588	1	Capriné	maxillaire	& m1m2	G
4156	4588	1	Porc	scapula		G
4156	4588	1	Capriné	fémur		
4156	4588	1	Petit bétail	fg diaphyse		
4156	4588	1	Capriné	métacarpe		
4156	4588	1	Petit bétail	scapula		
4156	4588	1	Bœuf	vertèbre cervicale		
4156	4588	1	indéterminé			
4156	4588	3	Petit bétail	cote		
4156	4590	1	Petit bétail	cote		
4156	4590	1	indéterminé	esquille		
4156	4590	1	Bœuf	vertèbre lombaire		
4156	4591	1	Bœuf	scapula		D
4156	4591	1	Bœuf	humérus		G
4156	4591	1	Capriné	maxillaire	m	G
4156	4591	1	Grand bétail	crâne		
4156	4593	1	Bœuf	crâne	cheville osseuse, fr pariétal et frontal	D
4156	4593	1	Porc	maxillaire	p4	D
4156	4593	1	Porc	mandibule		D
4156	4593	1	Porc	radius		D
4156	4593	1	Chien	humérus		G
4156	4593	1	Petit bétail	humérus		G
4156	4593	1	Grand bétail	fg diaphyse		
4156	4593	1	Petit bétail	mandibule		
4156	4585/4586	1	Bœuf	tibia		G
4156	4585/4587	1	Bœuf	radius		D
4156	4585/4588	1	Bœuf	tibia		Ind.
4156	4585/4589	1	Bœuf	sesamoïde		
4156	4585/4590	1	Bœuf	scapula		
4156	4585/4591	1	Porc	scapula		D
4156	4585/4592	1	Porc	incisive		D
4156	4585/4593	1	Capriné	radius		G
4156	4585/4594	1	Capriné	radius		D
4156	4585/4595	1	Capriné	ulna		Ind.
4156	4585/4597	1	Capriné	mandibule	& P4	G
4156	4585/4598	1	Capriné	mandibule		Ind.
4156	4585/4599	1	Capriné	malleole		
4156	4585/4600	1	Capriné	métacarpe		Ind.
4156	4585/4601	1	Capriné	métacarpe		Ind.
4156	4585/4602	1	Capriné	métatarse		Ind.
4156	4585/4603	1	Porc	fibula		
4156	4585/4604	7	Petit bétail	cote		
4156	4585/4605	7	Petit bétail	fg diaphyse		
4156	4585/4606	3	indéterminé			
4156	4585/4607	25	indéterminé			
4156	4585/4608	1	Grand bétail	fg diaphyse		
4167	4167	1	Porc	humérus		G
4167	4167	1	Grand bétail	cote		
4167	4167	1	Capriné	mandibule	& fg M	
4167	4167	1	Cerf	métatarse		
4167	4167	1	Bœuf	phalange 2		

ZAC de la Pyramide Lot C1, Lieusaint, Ville Nouvelle de Sénart (77), fouille 15-07/04-10-2002
Annexe B : Analyse archéo-zoologique

4167	4495	1	Capriné	mandibule	M3	
4167	4499	1	Cheval	crâne	dent	D
4167	4499	1	Bœuf	métatarse		D
4167	4499	1	Capriné	tibia		D
4167	4499	1	Cerf	fémur		G
4167	4499	1	Porc	fémur		G
4167	4499	1	Cerf	mandibule		G
4167	4499	1	Cerf	tibia		G
4167	4499	1	Cerf	métatarse		Ind.
4167	4499	1	Capriné	cote		
4167	4499	1	Petit bétail	cote		
4167	4499	1	Grand bétail	fg diaphyse		
4167	4499	1	Petit bétail	fg diaphyse		
4167	4499	1	Cerf	vertèbre lombaire		
4167	4499	1	Cerf	vertèbre thoracique		
4167	4499	1	Grand bétail	vertèbre thoracique		
4167	4499	15	indéterminé			
4167	4500	1	indéterminé	cote		
4167	4523	1	Bœuf	tibia		droit
4167	4523	1	Bœuf	tibia		D
4167	4523	1	Capriné	tibia		G
4167	4523	1	Bœuf	métacarpe		Ind.
4167	4523	1	Petit bétail	cote		
4167	4523	1	Grand bétail	fg diaphyse		
4167	4523	1	Porc	fibula		
4167	4523	1	Cerf	maxillaire	& ttes dents	
4167	4523	1	Cerf	métatarse		
4167	4523	1	Bœuf	phalange 2		
4167	4523	1	Grand bétail	scapula		
4167	4523	1	Grand bétail	vertèbre lombaire		
4167	4523	3	Grand bétail	fg diaphyse		
4167	4523	9	indéterminé			
4167	4536	1	Grand bétail	humérus		
4167	4536	1	Grand bétail	radius		
4283	4452	1	Porc	radius		D
4283	4452	1	Porc	scapula		D
4283	4452	1	Porc	ulna		D
4283	4452	1	Porc	tarse	cuboïde	G
4283	4452	1	Porc	crâne	occipital & fg pariétal	
4283	4452	1	Porc	patella		
4283	4452	1	Capriné	phalange 2		
4283	4609	1	Capriné	crâne	insicif	D
4283	4609	1	Chien	radius		D
4283	4609	1	Capriné	tibia		Ind.
4283	4609	1	Mouton	crâne	cheville osseuse	
4283	4609	1	Bœuf	radius		
4283	4609	1	Grand bétail	vertèbre lombaire		
4283	4609	1	indéterminé			
4283	4609	4	Petit bétail	fg diaphyse		
4283	4620	1	Bœuf	mandibule		D
4283	4620	1	Capriné	coxal		
4283	4620	1	indéterminé			
4283	4615 & 4605	2	Petit bétail	cote		
4283	4615 & 4605	2	Capriné	crâne	frontal/pariétal	
4283	4616 & 4605	1	Capriné	tibia		Ind.
4283	4617 & 4605	1	Capriné	mandibule	m iso	D
4283	4617 & 4605	1	Bœuf	mandibule	& p4 M1	
3285/3818	3817	3	Petit bétail	fg diaphyse		
3779/3285	384/3762	1	Capriné	métatarse		
?	4499	1	Porc	mandibule	& m3	G
Réseau fossoyé et structures associées						
n°fait	Us	NR	Espèce	Partie anatomique		coté
3011	3870	1	Bœuf	scapula		G
3011	3872	1	Bœuf	humérus		D
3011	3872	1	Bœuf	tibia		D
3011	3872	1	Bœuf	ulna		D
3011	3872	1	Bœuf	humérus		G
3011	3872	1	Bœuf	métacarpe		G
3011	3872	1	Bœuf	radius		G

ZAC de la Pyramide Lot C1, Lieusaint, Ville Nouvelle de Sénart (77), fouille 15-07/04-10-2002
Annexe B : Analyse archéo-zoologique

3011	3872	1	Bœuf	ulna		G
3011	3873	2	Bœuf	humérus		D
3011	3873	1	Bœuf	scapula		D
3011	3873	2	Bœuf	cote		
3011	3873	4	Bœuf	cote		
3011	3873	1	Bœuf	maxillaire	dent iso	
3011	3873	1	Bœuf	maxillaire	dent iso	
3011	3873	20	Bœuf	vertèbre		
3011	3873	1	Bœuf	vertèbre atlas		
3011	3873	7	Bœuf	vertèbre cervicale		
3011	3873	9	Bœuf	vertèbre thoracique		
3011	3873	1	Capriné	fémur		D
3011	mélange	1	Bœuf	mandibule		Ind.
3011	mélange	1	Grand bétail	fg diaphyse		
3011	mélange	1	Petit bétail	fg diaphyse		
3011	mélange	1	Porc	vertèbre cervicale		
3015	3015	1	Bœuf	tibia		D
3015	3015	1	Bœuf	fémur		G
3015	3015	1	Capriné	maxillaire	dent iso	D
3015	3015	1	Grand bétail	fg diaphyse		
3015	3015	1	Grand bétail	mandibule		
3015	3015	1		indéterminé		
3180	3180	1	Bœuf	coxal		D
3180	3180	1	Bœuf	ulna		D
3180	3180	1	Bœuf	scapula		G
3180	3180	1	Bœuf	cote		
3180	3180	1	Bœuf	incisive		
3180	3180	1	Bœuf	mandibule	m iso	
3180	3180	1	Bœuf	vertèbre lombaire		
3204	3884	1	Bœuf	coxal		G
3204	3884	1	Bœuf	métatarse		G
3204	3884	1	Bœuf	tarse	petit cuneiforme	G
3204	3884	1	Bœuf	fémur		
3204	3884	1	Bœuf	phalange 1	post	
3204	3884	1	Bœuf	vertèbre		
3204	3884	1	Porc	humérus		G
3247	3247	1	Bœuf	mandibule	& 1M	G
3247	3247	1	Cheval	mandibule		
3697	3697	1	Bœuf	métatarse		Ind.
3697	3697	1	Porc	humérus		G
3697	3697	1	Porc	tibia		G
3701	3701	1	Capriné	maxillaire	m iso	D
3701	3701	4		indéterminé		
4049	4049	1	Cheval	radio-ulna		D
4049	4483	1	Capriné	mandibule	dent iso	
4049	4483	1	Grand bétail	humérus		
4049	4483	1		indéterminé		
4079	4079dec	1	Bœuf	radius		D
4079	4079dec	1	Bœuf	ulna		D
4079	4079dec	1	Mouton	mandibule	& p4,m1,m2	D
4145	4466	1	Porc	coxal		D
4145	4466	1	Porc	fémur		D
4145	4466	3	Porc	humérus		D
4145	4468	1	Porc	scapula		D
4145	4468	1	Porc	humérus		G
4145	4466	1	Porc	mandibule	& dent	G
4145	4466	3	Porc	cote		
4145	4468	4	Porc	cote		
4145	4466	2	Porc	crâne		
4145	4468	1	Porc	fibula		
4145	4468	1	Porc	phalange 2		
4145	4466	3	Porc	vertèbre		
4145	4466	1	Porc	vertèbre thoracique		
4145	4145	1		indéterminé		
4405	TTE Us	1	Bœuf	métacarpe		D
4405	TTE Us	1	Bœuf	radius		
LTC2/1er s. ap. J.-C. et non-daté						
n°fait	Us	NR	Espèce	Partie anatomique		coté
2026	DIAG	1	Porc	humérus		G

ZAC de la Pyramide Lot C1, Lieusaint, Ville Nouvelle de Sénart (77), fouille 15-07/04-10-2002
Annexe B : Analyse archéo-zoologique

2026	DIAG	1	indéterminé	crâne		
2026	DIAG	1	Grand bétail	fg diaphyse		
2026	DIAG	4	Petit bétail	fg diaphyse		
3993	3993	1	Petit bétail	cote		Ind.
3245	3245	1	Bœuf	métacarpe		D
3245	3245	1	Bœuf	phalange 1		
3245	3245	1	Grand bétail	tibia		
3295	3795	1	Porc	maxillaire	dent iso	D
3313	3313	1	Bœuf	fémur		Ind.
3347	3347	1	Petit bétail	humérus		
3465	3998	1	Petit bétail	fg diaphyse		
3465	3998	3	Petit bétail	fg diaphyse		
3469	3469	1	Capriné	patella		G
3469	3469	1	Capriné	radius		Ind.
3469	3469	1	Petit bétail	fg diaphyse		
3471	3471	1	Capriné	tibia		G
3473	3473	2	Petit bétail	fg diaphyse		
3475	3475	1	Grand bétail	fg diaphyse		
3493	3493	1	Porc	maxillaire	dent iso	D
3677	D	1	Bœuf	coxal		D
3677	F	1	Bœuf	fémur		D
3677	E	1	Bœuf	coxal		G
3677	G	1	Bœuf	coxal		G
3677	B	1	Bœuf	fémur		G
3677	C	1	Bœuf	métatarse		G
3677	A	1	Bœuf	tibia		G
3677	h	1	Bœuf	sacrum		
3681	3681	1	Capriné	mandibule	F DENT	
4139	4427	1	Porc	tibia		G
Non-daté						
3078	3078	1	Bœuf	mandibule		

13 ANNEXE C : Étude du mobilier lithique taillé, Lots C1 et C3 (Juliette Durand)

(Lot C3, fouille par Lionel Boulenger, rapport en cours)

13.1 Introduction

La persistance de l'industrie lithique est avérée à l'âge du Bronze ancien et moyen. Il s'agit d'une activité pleinement maîtrisée, pour preuve, les pointes d'appareils retrouvées en contexte sépulcral (Hypogée des Fourneaux à Mours Saint Eusèbe dans la Drôme (Brochier J.L. et Ronat J.P. 1964), Tumulus de la fosse-Yvon à Beaumont-Hague dans la Manche, Tumulus de Brun-bras à Saint-Adrien dans les Côtes-du-Nord (Martial E. 1995)). Elles attestent l'adresse et le savoir faire des tailleurs de pierre de l'extrême fin du Néolithique et du premier âge des Métaux. Au cours des dernières phases de l'âge du Bronze, s'amorce le déclin de l'industrie lithique, mais la rapidité de ce phénomène varie. « Cette divergence est sans doute due aux variations régionales de disponibilité du Bronze et à la différence des moyens d'approvisionnements en silex » (Martial E. 1995). Comme exemple de longévité, l'activité de taille avérée dans l'habitat d'Amifontaine « le Petit Ranicourt » dans l'Aisne. Il est attribué au début du premier âge du Fer. L'hypothèse de la réutilisation d'objets anciens est cependant fréquemment avancée à propos des artefacts trouvés en contexte Hallstatt ou de La Tène.

L'objectif de cette approche du matériel lithique de la ZAC de la Pyramide est de distinguer s'il s'apparente plutôt à une activité de taille propre au Hallstatt final ou à La Tène finale/gallo-romain ; à une démarche de récupération « d'anciens objets » ; ou au démantèlement d'un site antérieur.

13.2 L'environnement préhistorique

Un site Villeneuve-Saint-Germain a été identifié grâce à la fouille d'une fosse sur l'emprise de la ZAC de la Pyramide à 900m à l'ouest du Lot C3 (Diagnostic INRAP, E.Broine, 2001). Un indice de site signalé par C. Marcille à l'occasion du diagnostic du groupe scolaire de la ZAC de la Pyramide (Marcille C. 2000) et quelques fragments de bracelets en schiste associés à de la céramique VSG trouvés sur les lots C1, C3 et C4, D et E attestent encore l'existence d'une occupation du Néolithique ancien sur la ZAC Pyramide ou à proximité immédiate.

À presque 3 km de la ZAC de la Pyramide, une concentration de mobilier attribuable au néolithique récent a été diagnostiquée par S.Serres au *Champtier à Cailles*, lots A1 et A2. Du matériel épars caractéristique de la fin du Néolithique est également signalé par la même personne à la ZAC du Levant à environ 2,5 km (Serres S. 2002 et 2003). Enfin, le site de Bicheriot à Tigery offre à 2 km du site des indices d'occupation VSG et Néolithique final (Petit *et alii* 1988). Ces trois exemples attestent la fréquentation du plateau au Néolithique. À la même distance, un indice de site paléolithique moyen est repéré en amont du ru des Hauldres dans la commune de Moissy-Cramayel sur la ZAC *Jatteau* (Jeand'heur H. 1994). À moins de 5 km, dans la même commune, un site paléolithique moyen est fouillé à la ferme d'Arvigny (Pernod P., Ricard J.-L. et al 1993). À 8 km en aval de la ZAC Pyramide, à la confluence du Ru des Hauldres et de la Seine se trouve le site paléolithique supérieur d'Etiolles (Consigny). Enfin, On connaît d'autres indices du paléolithique supérieur sur la butte du Luet à Savigny-le-Temple et Cesson (Carte archéologique SRA).

13.3 Le contexte archéologique des pièces lithiques

La série de la ZAC Pyramide comprend 111 artefacts, soit 57 pièces dans le Lot C1 et 54 pièces dans le Lot C3.

Vingt-six d'entre eux sont trouvés dans les limons des plateaux, sous le niveau d'ouverture des structures Hallstatt ou La Tène finale. Notons qu'une concentration de onze pièces est repérée au sud-est du décapage du Lot C3.

Les 84 pièces restantes sont issues de structures archéologiques. La moitié de ces pièces est issue de fosses de datation indéterminée. Aucune de ces structures ne referme plus de deux pièces. Cette observation incite à considérer le caractère aléatoire de leur présence comme probable. Parmi la moitié restante, la majorité (32 pièces) provient de fosses attribuées au Hallstatt final. Dans cette catégorie, la fréquence des artefacts par fosses augmente, elle paraît moins aléatoire (jusqu'à 5 pièces par fosse).

Seulement neuf artefacts sont issus de structures datées de La Tène finale/Gallo-romain. Ils sont issus pour la plupart de fossés. Ce sont 6 débris dont trois brûlés, une lamelle et trois éclats. Ils apparaissent plutôt comme des éléments résiduels. Enfin, les altérations de surface témoignant d'une position secondaire sont inexistantes, à l'exception d'une pièce portant des traces de rouille.

Attribution chrono-culturelle	Nombre de structure	Nombre d'artefact	Fréquence d'artefact par phase chronologique
protohistoire	2	3	3,5%
Hallstatt / La Tène ancienne	21	32	37,6%
La Tène finale / Gallo-romain	6	9	10,6%
indéterminée	40	41	48,2%
Total	69	85	100%

Deux considérations se dégagent :

-La présence de silex, de bracelet en schiste et de matériel céramique trouvés dans le limon, sous le niveau d'apparition des structures protohistoriques, ainsi que l'absence d'altération de surface de ce matériel sont des arguments en faveur de l'hypothèse d'une occupation VSG sur le site même de la ZAC Pyramide.

-La proportion d'artefact dans les fosses Hallstatt est nettement supérieure à celle des structures laténiennes ou gallo-romaines. Leur fréquence par fosse, supérieure à celle des structures indéterminées, pousse à éliminer le caractère aléatoire de l'intrusion des pièces lithiques dans les fosses Hallstatt et à envisager un acte volontaire. Ces considérations prises en compte, et vu l'effectif réduit de la série, il a été décidé de traiter l'observation des matières premières, des méthodes et des techniques de taille de façon globale, puis d'en extraire les artefacts issus des structures attribuées au Hallstatt afin d'entrevoir si elles sont résiduelles ou propres à l'occupation.

13.4 Les matières premières

L'identification des matières premières pose problème. Sur 111 pièces, 26 faciès sont distingués. Or, la variabilité des faciès pour une même origine ne permet pas de distinguer des groupes. Il a été tenté de distinguer à travers leur observation les matières tertiaires sûres et les probables, les matières locales issues du silex tertiaire meulier et les matières secondaires.

13.4.1 Le silex tertiaire

Le silex tertiaire est identifié pour 21 pièces (13 dans Lot C1, 8 dans Lot C3) mais la distinction entre barthonien ou champignien qui aurait permis d'orienter les recherches d'origine de la matière première n'a pas été possible par manque de série de référence.

C'est un silex blanc, beige clair à brun foncé parfois zoné ou moucheté. Son grain est lisse à légèrement rugueux, voire très rugueux. Il est presque exclusivement mat, parfois brillant pour les matières les plus lisses et presque exclusivement opaques. L'homogénéité du grain est variable d'un éclat à l'autre et peut s'avérer variable au sein du même éclat. Le cortex est parfois blanc, mais le plus souvent beige à brun, principalement fin et légèrement grenu, il peut être dans certains cas plus isolé épais et grenu. Très peu de pièces contiennent des oogones qui caractérisent le silex tertiaire

Douze autres faciès différents mais contenant des plages d'aspect sec, un peu grenu, mat et opaque d'une couleur variant du blanc au brun foncé sont probablement des silex tertiaires. Dix-neuf pièces appartiennent à cette catégorie.

Au total quarante pièces sont probablement tertiaires, auxquelles il convient de rajouter les treize pièces patinées blanches (deux beiges) (4 dans Lot C1, 10 dans Lot C3), car, si aucun oogone n'a été observé, ces pièces n'ont pas de teinte bleutée caractéristique des patines secondaires. Leur aspect souvent sec, plus ou moins grenu et mat pousse à les considérer comme tertiaire possible.

La présence attestée de silex Tertiaire sur les sites de la ZAC Pyramide pose la question des modes d'acquisition de cette matière première. À la hauteur de la ZAC Pyramide, le ru des Hauldres n'entaille pas les niveaux ludiens où se trouve le silex barthonien ou de Champigny. Cependant, à 8km en aval, le site paléolithique d'Étiolles est établi sur le calcaire de Champigny que le ru des Hauldres entaille alors (Consigny S.). C'est une matière marron chocolat légèrement grenue sous forme de plaquette de très grandes dimensions. Les niveaux calcaires étaient-ils encore affleurant au Néolithique ? Une matière comparable est observée ici mais de façon très anecdotique (deux pièces).

Des niveaux ludiens affleurent également dans les vallées de la Seine et de l'Almont au sud et de façon plus superficielle dans la vallée de l'Yerres au nord. Aucun site d'extraction néolithique n'est connu.

Le faciès de cette matière première est comparable au silex barthonien que l'on trouve dans les gîtes d'extraction connus dans la vallée de la Marne (Coupvray, Jablines, Bouleurs, Crécy-la-Chapelle ...). Ce sont les plus proches du plateau de Sénart. S'agit-il d'une importation à partir des gîtes connus dans la Vallée de la Marne ou d'une production locale micro régionale à partir des vallées alluviales environnantes ?

Une opération de prospection dans les niveaux Barthoniens est à envisager pour répondre aux questions correspondant aux modes d'acquisition de la matière première tertiaire.

13.4.2 Le silex local

La ZAC de la Pyramide s'installe sur les limons de plateaux en bordure du ru des Hauldres qui entaille les niveaux sporadiques de cailloutis de Sénart constitués de silex issu de la craie, de chaille jurassique, de quartz filoniens, de meulières et de sables granitiques puis les niveaux sannoisiens composés des meulières de Brie.

Ces niveaux constituent une réserve de silex local, peu fréquents sur les sites de la ZAC de la Pyramide. C'est une matière première difficile à identifier car elle présente des faciès très variés souvent lisses, brillants un peu translucides et au toucher relativement gras. Elle se présente sous forme de petits rognons impliquant une production de petites dimensions et se caractérise également par un aspect souvent diaclasé. Neuf pièces ont une origine locale attestée.

13.4.3 Le silex secondaire

Le seul attesté sur la ZAC est un silex noir légèrement zoné gris foncé avec un grain très fin, brillant, translucide contenant des inclusions éparses blanches. Son cortex est blanc, assez fin crayeux et légèrement grenu. C'est un silex Sénonien dont les affleurements sont connus sur les coteaux de la rive gauche de la Seine à l'ouest de Paris. Un gîte d'extraction est connu à Meudon et un autre à Sèvres « Brimborin » (Martial E., 2002). Deux pièces ont une patine bleutée caractéristique du silex secondaire.

Les matières indéterminées

Six faciès comprenant onze pièces ont une allure secondaire sans que l'on puisse le confirmer. Six autres groupes concernant 16 pièces ont été définis sans que l'on puisse proposer une origine tertiaire ou secondaire. Le plus important (5 pièces) est un silex gris avec des nuances violacées et brunes, zoné. Son grain est fin, mat ou brillant, légèrement translucide parfois opaque et plutôt homogène malgré des petites zones ou grosses inclusions (max. 2 cm) gris clair au grain moins fin. Le cortex est beige clair à blanc, assez fin et crayeux. Son origine est inconnue.

Neuf pièces sont brûlées empêchant leur observation pétrographique.

Une pièce est patinée rouge.

Cette diversité de matière première correspond-elle à une réalité archéologique ou à un biais de l'étude pétrographique ? Un travail de prospection et d'échantillonnage pétrographique à l'échelle régionale permettra de répondre à cette question. Il permettra d'associer les ensembles définis ici à des groupes pétrographiques identifiés.

13.5 Les types de productions

13.5.1 Les pièces façonnées

Elles proviennent toutes du Lot C3, et sont majoritairement en silex tertiaire. Ce sont deux ébauches, un denticulé, une hache polie et un fragment abandonné probablement à cause de grosses inclusions. Il n'y a pas d'indice de mise en forme sur le site : très peu d'éclats corticaux larges et les éclats couvrants, larges et épais comme les petits éclats courts portant en partie distale des négatifs d'enlèvements convergents sont anecdotiques sur le site.

Un bloc testé, une petite hache et un outil en grès sont également à signaler.

	Tertiaire		Secondaire	Local	Indéterminé	Total
	sur	probable				
p. façonnée	1	3			1	7
bloc		2		1		3
casson	5	3	2	1	11	20
éclat	12	15	6	5	24	62
lame	3	2			2	7
lamelle		2				2
Nucleus à lame		1				1
Nucleus à éclat	1	1		2	2	6
TOTAL	22	30	8	9	39	108

13.5.2 Les produits débités

La production d'éclat

Elle est dominante. Ce sont souvent des éclats un peu longs et épais portant assez fréquemment des traces de réfléchissements ou d'accidents antérieurs. Les talons lisses et larges, avec des bulbes souvent larges et diffus, des plans de frappe généralement non préparés attestent d'un mode de débitage par percussion directe dure dominante. Mais des

indices très probables de percussion tendre (talon linéaire, bulbe très diffus presque inexistant, plan de frappe préparé soigneusement et fortement abrasé associé à une lèvre fortement marquée) et d'autres de percussion indirecte indiquent la présence de techniques de débitage variées. On ne peut pas corréler les différentes techniques de débitage avec la matière première à cause de son hétérogénéité et de l'effectif réduit de la série.

Parmi les nucléus, on dénombre quatre nucléus multidirectionnels, un unipolaire (angle de chasse autour de 45°, indice de préparation de plan de frappe vers la table de débitage et aussi vers le plan de frappe) et un fragment. Ils attestent de la production d'éclats sur le site.

La production laminaire

La production laminaire concerne sept lames, un nucléus et un produit de recintringe de nucléus laminaire. Ils sont tous en silex tertiaire.

Le nucléus est bipolaire avec des négatifs d'enlèvements sub-parallèles de rythme alternatif et des indices de préparation sur le plan de frappe sans stigmatisme d'abrasion. Son abandon a pu être motivé par la présence de quelques inclusions et/ou de la cassure du second plan de frappe. Il est en silex patiné de type tertiaire et contient des oogones. Malgré une origine tertiaire de la majorité des lames, l'observation des dimensions et des modes de débitage ne permet pas de supposer qu'une des lames soit issue de ce nucléus.

Il apparaît que plusieurs techniques de débitage sont représentées sur ces produits de première intention :

La percussion tendre est caractérisée par des talons facettés ou linéaires, des bulbes quasi-inexistants et des plans de frappe fortement abrasés. Une en particulier (1012) est une lame de recintringe.

La percussion indirecte paraît également présente, elle se signale par des talons lisses et des plans de frappe sans trace d'aménagement associé à des lèvres peu marquées. Une lame (FS3285), montrant des bords et des arêtes très rectilignes, a dû être obtenue par percussion indirecte. La même chose peut être observée pour une autre lame, épaisse et irrégulière, portant des indices de bipolarité probablement liés à une tentative de réaménagement du nucléus. Enfin, un fragment distal de lame très épais (10cm) et de 24cm de largeur parfaitement rectiligne indique un savoir faire particulier.

Deux lamelles brutes en silex tertiaire probable et un éclat portant des négatifs d'enlèvement lamellaire confirme l'existence de cette production.

13.6 Les outils

support	outil	Tertiaire		secondaire	local	indéterminé	total
		sur	probable				
O/bloc	grattoir		1				1
	retouché		1				1
O/ECLAT	grattoir	1		1		1	3
	retouché	2	2			3	7
	racloir	1					1
	racloir à encoche					1	1
	perçoir				1		1
	tranchet		2			1	3
O/LAME	couteau à dos		1				1
	grattoir	1				1	2
	poignard		1				1
pièces façonnées	ébauche		1				1
	mise en forme	1					1
	denticulé		1				1
	Indéterminé					1	1
	hache polie		1				1
	TOTAL	7	12	1	1	8	27

Les grattoirs sont les outils les plus nombreux avec six individus, parmi eux deux grattoirs sont circulaires et assez épais. Le premier est confectionné sur un éclat portant sur sa face supérieure des traces d'enlèvements centripètes, l'autre est réalisé sur un bloc à peine aménagé portant des surfaces néo-corticales. Deux autres sont réalisés sur éclat épais de forme laminaire ou allongée, les deux derniers sont en bout de lame fragmentée en partie distale. Un de chaque porte des traces d'esquille inverse.

Viennent ensuite les tranchets. Ils sont tous les trois réalisés sur éclat.

Deux sont petits (moins de 6 cm), le plus petit (4,9cm de long, 2,8cm de large et 1cm d'épaisseur) est débité à partir d'une pièce bifaciale comme en témoignent les négatifs de façonnage antérieurs à l'obtention de l'éclat. Seuls quelques enlèvements longs, directs, scalariformes et semi-abrupts sur la partie proximale du bord droit sont postérieurs à son dégagement et dessinent une encoche. Le second est fragmenté dans sa partie proximale, mais ne devait pas excéder 9cm de long (5,8cm de long, 3,9cm de large et 1,8cm d'épaisseur). Il est façonné par des enlèvements envahissants, directs, scalariformes, latéraux, continus et rasants. Le coup de tranchet est antérieur à son façonnage. Ils portent tous les deux des traces d'esquillement inverses, le second est également très émoussé.

Le troisième tranchet est une grande pièce de 10cm de long, 6,0cm de large et 2,3cm d'épaisseur. Il est réalisé avec beaucoup plus de soin que les deux précédents par des enlèvements uni faciaux envahissants, directs, scalariformes, latéraux, continus et rasants puis les bords sont régularisés par une série continue de retouches courtes, directes, scalariformes. Le coup de tranchet est là encore antérieur au façonnage et ne porte aucune trace d'utilisation.

Un raclor est réalisé sur éclat, il porte des retouches rasantes, distales, de délinéation presque droite, écailleuses, directes. Un autre est un raclor à encoche, réalisé sur un éclat à néo-cortex.

Le seul denticulé de la série est réalisé sur un fragment de pièce bifacial par deux coches clactoniennes. Notons la présence de trois éclats de retouche clactonienne malgré la faible représentation de cet outil.

Un perçoir (défini selon sa délinéation et non par l'observation d'une retouche directe sur un bord, inverse sur l'autre) est obtenu par une série de retouches directes, scalariformes, longues, abruptes, distales, continues, sa délinéation convexe puis droite dessine une pointe et une coche.

Un fragment distal de lame épaisse (4,3cm de long, 2,4 de large et 1 d'épaisseur) à section triangulaire est retouché en poignard par plusieurs séries de retouches courtes, directes, continues, scalariformes, abruptes à semi-abruptes. Elle porte des traces d'utilisation : son extrémité est lustrée sur la face inférieure et très fortement émoussée.

Un couteau à dos porte des retouches abruptes, directes, continues et écailleuses sur son bord droit.

Huit éclats sont retouchés. Un en particulier porte des retouches écailleuses, abruptes, longues et continues sur le bord droit et l'extrémité distale. Elles sont directes sur l'extrémité distale, inverses sur le bord droit, dessinant une délinéation presque perpendiculaire des deux fronts.

Une lame brute et trois éclats laminaires dont un légèrement retouché en partie proximale du bord droit par des enlèvements courts, semi-abrupts, et écailleux sont encore à signaler. Enfin, une grande hache entièrement polie, sans aucune trace d'utilisation et une petite hache en matière gréseuse complètent cet inventaire.

13.7 Quelle cohérence typo-culturelle ?

Une occupation VSG est pressentie dans l'environnement immédiat de la ZAC Pyramide.

En effet, la présence d'une production laminaire de petites dimensions dans une matière première tertiaire et de grattoirs en bout de lame est cohérente avec une attribution chrono-culturelle au Néolithique Ancien. Cependant, les autres grattoirs, le perçoir, le denticulé et les tranchets sont représentés dans les séries de la fin du néolithique ancien au Néolithique final. Seules leurs proportions dans une série suffisamment importante permettraient de discriminer une culture en faveur d'une autre. D'autre part, l'absence du burin est peu compatible avec une attribution au Néolithique ancien et la relative abondance de pièces bifaciales, la présence du raclor à encoche, de la lame épaisse en silex tertiaire probable (patiné) retouchée en poignard, et du couteau à dos est caractéristique d'une phase finale du Néolithique.

Enfin, la présence de lamelle est attestée sur des sites néolithiques final (Prost 1994) mais elle impose l'éventualité d'une présence paléolithique supérieure. Cette supposition est appuyée par la présence du nucleus laminaire qui pourrait aussi bien s'intégrer dans une série du Néolithique ancien que du Paléolithique supérieur.

13.8 En guise de conclusion

Des éléments caractéristiques du Néolithique ancien ont été ramassés au décapage dans les limons, notamment des fragments de bracelets en schiste et de la céramique. L'étude lithique ne dément pas la présence d'un site VSG dans l'environnement immédiat de la ZAC Pyramide, mais elle atteste également la présence d'éléments du Néolithique Final et peut-être du paléolithique supérieur. L'éventualité, émise en introduction, d'une intrusion de certaines pièces par les hommes du Hallstatt doit être prise en considération : Les trois pièces caractéristiques du Néolithique final sont issues de structures. Celle qui renferme le raclor à encoche est de datation indéterminée, les deux qui contiennent le poignard et le couteau à dos sont effectivement attribuées au Hallstatt. Ces pièces ont donc pu être récoltées en dehors de l'emprise de la ZAC. Concernant le VSG, le constat est moins aisé, une certaine proportion de la production laminaire se retrouve dans des fosses non datées en position résiduelle possible, d'autres sont en contexte Hallstatt.

Enfin, peut-on envisager la présence d'un débitage propre au Hallstatt?

L'association d'une méthode de débitage opportuniste avec une autre plus complexe et bien maîtrisée, intégrant différentes techniques de travail, est courante au néolithique (débitage laminaire in situ au VSG, et production dans des

ateliers spécialisés puis diffusion à grande échelle de grandes lames épaisses au Néolithique final). Le débitage de l'âge du bronze est plus souvent exécuté sur une matière première locale et réalisé de façon opportuniste sans aménagements anticipés (préparation du plan de frappe, mise en forme du volume du nucleus). Il est exécuté au percuteur dur et de rares cas de percussion tendre sont avérés. Les outils les plus fréquemment cités sont les grattoirs, les éclats à retouche d'utilisation, les denticulés et les encoches. Les pointes de flèche et les haches polies perdurent. Les perçoirs, les burins et les tranchets sont rares, les microdenticulés et les raclours à encoche sont absents (Martial E.).

Il s'avère qu'une partie de la matière première exploitée sur la ZAC de la Pyramide est apparemment d'origine locale, cependant, elle n'est pas mieux représentée dans les fosses Hallstatt. Sur les dix-neuf éclats bruts, les talons, bulbes et plans de frappe sont variés, aucune technique de taille n'est plus privilégiée que dans le reste de la série. Parmi les outils, les éclats retouchés sont fréquents, à l'instar des grattoirs. Soulignons que l'absence de burin, atypique dans un contexte VSG, pourrait constituer un argument en faveur d'un indice de taille Hallstatt. Mais aucune activité de taille n'a pu être démontrée, et compte tenu de l'indigence de l'échantillon, aucun argument statistique ne peut être pris en compte. Il n'est pas possible d'exclure l'éventualité d'une activité de taille au Hallstatt. Il est cependant acquis que les « plus belles pièces » caractéristiques du néolithique ancien ou final, impliquant un savoir faire qui ne s'improvise pas, sont souvent retrouvées dans les fosses du premier Âge du fer. Les hommes du Hallstatt sélectionnaient probablement certaines pièces déjà présentes sur le site ou à proximité. Une étude plus fine intégrant le silex issu des fosses Hallstatt des lots D et E permettrait peut-être de mieux entrevoir le choix des hommes du Hallstatt et leur motivation.

13.9 Bibliographie de l'Annexe C

FOND CARTOGRAPHIQUE :

- IGN Carte géologique à 1/50000, feuille XXIV-15, Brie-Comte-Robert, 1963.

- Fond documentaire de la coordination archéologique de Melun-Sénart, de l'Equipe topographique INRAP d'Île-de-France mis en forme par L. Boulenger.

CONSIGNY Stéphanie – Origine des silex et géochimie : premiers résultats archéologiques. *In : Préhistoire Européenne*. Université de Liège

BOSTYN Françoise, à paraître – *In : Mareuil-les-Meaux DFS de sauvetage urgent 2002*

BOULENGER Lionel 2000- Lieusaint (77) « ZAC de la Pyramide, lots C1 » *DFS de diagnostic archéologique*, Pantin 2000.

BROINE Eric (2001) – Lieusaint (77) « ZAC de la Pyramide, lots D et E » *DFS de diagnostic archéologique*, Pantin 2001.

Brochier J. L. et Ronat J.-P. 1964 – l'ossuaire chalcolithique de Mours. Campagne de fouille 1964. Rapport d'étude préliminaire.

JEAND'HEUR H., MORIN J.-M. et alii 1994 – BATZ J.-C., JEAND'HEUR H., MORIN J.-M., Sondage de diagnostic à la ZAC Jatteau à Moissy-Cramayel. Coordination archéologique de Sénart, 06/02/94.

MARCILLE Catherine 2000 – ZAC de la pyramide Groupe scolaire. *DFS de diagnostic archéologique*, Pantin 2000.

MARTIAL E. 1995 – *L'industrie lithique à l'âge du Bronze dans le nord-Pas-de-Calais. Les exemples de Fréthun et Roeux*. *In : Les cahiers de Préhistoire du Nord*. n°15, juillet 1995

MARTIAL Emmanuelle 2002 – *In : Cottiaux Richard dir. Maison Alfort « ZAC d'Alfort » (Val de Marne) DFS de sauvetage urgent 1998-2001*. Pantin 2002

PETIT M., et alii 1988 – PARTHUIZOT F., PETIT M. PRO M. et D., LEBLAY J.-C. ET SALZE S. Mémoire du sol ou 10 000 ans d'histoire d'un site, Evry, 1988.

PERNOD P., RICARD et alii 1993 – BATZ J.-C., KRIER V. PERNOD P., RICARD J.-L., La butte d'Arvigny à Moissy-Cramayel. Coordination archéologique de Sénart, 31/12/93

PROST D. 1994 – *In : M. TALON Dir. Rapport de fouille du site Néolithique final du parc tertiaire sur la commune de la Croix-Saint-Ouen (60) Sivom de Compiègne*. Mars 1994

SERRES Sylvie 2002- Lieusaint (77) « ZAC Carré Sénart, Champtier à Cailles, lots A1 et A2 » *DFS de diagnostic archéologique*, Pantin 2002.

SERRES Sylvie 2003- Lieusaint (77) « ZAC du Levant » *DFS de diagnostic archéologique*, Pantin 2003.

13.10 Tableau descriptif des matières premières siliceuses (Lots C1 et C3)

Caractéristiques matières 1ères	Couleur	Aspect du grain	Texture	Brillance	Transparence	Homogénéité du grain	Couleur du cortex	Aspect du cortex	Origine géologique / géographique
Type meulière MAGR	Brun jaune, patine légèrement bleuté	assez gras	très fine	assez brillant	transparent	Souvent diaclasé	jaune orangé, lisse, zone sous-corticale blanche très fine	totalemment roulé par endroit, un peu rugueux à d'autre 1mm	silix meulier local
Type meulière MA	Blanc rosé	très sec	assez fine	mat	opaque		néo-cortex rouge à brun-rouge	anguleux	silix meulier local
Patine blanche SO	Patine blanche	un peu gras	assez fine	matte	opaque		jaune	grenu de 2 à 4 mm	Aucun ogone origine indéterminée
ensemble 1	Blanc avec des zonations jaunes, roses et bleuîtes	très sec	un peu grenue	mat	opaque	grosses inclusions circulaires beiges rosées, moucheté	jaune clair	branchu de 1 à 5 mm	Tertiaire Aucun ogone origine indéterminée
ensemble 2	Jaune à beige clair	très sec	assez grenue	mat	opaque		NO	NO	Aucun ogone origine indéterminée
ensemble 3	Plages gris clair Plages gris foncé	sec un peu gras	assez fine très fine	mate brillante	opaque		néo-cortex brun-orangé brun foncé		Aucun ogone origine indéterminée
ensemble 4	Brun clair à jaune d'aspect bariolé	un peu gras	assez fine	assez brillant	presqu'opaque	inclusions corticales	beige clair	assez grenu très légèrement roulé de 1 à 3 mm	Aucun ogone origine indéterminée
ensemble 5	Brun foncé	gras	très lisse	assez brillante	translucide		gris foncé zone sous corticale très fine blanche	roulé, peu crayeux de 1 mm	Secondaire ou meulière origine indéterminée
ensemble 6	altération thermique Rose	sec	grenue	mat	opaque		NO	NO	Silix gypseux possible origine indéterminée
ensemble 7	Brun vert à brun jaune petites inclusions blanches plages grises	assez sec	très fine plus grenue	assez brillante	peu translucide		jaune ± gris zone sous corticale (<1mm) noire.	un peu crayeux de 1 à 3mm	Secondaire ou meulière origine indéterminée
ensemble 8	Bicolore orange et blanc plages oranges	gras sec	très fine un peu grenues	assez brillant mat	opaque		NO	NO	jaspoide Aucun ogone origine indéterminée
ensemble 9	Brun foncé à beige et brun vert plages beige clair	un peu gras	lisse plus grenue	assez brillante	légèrement translucide	très diaclasé grosses inclusions sous corticale	zone sous corticale de 4mm blanche		silix meulier Aucun ogone local
ensemble 10	Patine beige mouchetée de nombreux petits points blancs		lisse	brillante	opaque		NO	NO	Aucun ogone origine indéterminée
ensemble 11	jaune orangé avec des litage rouge	très sec	très légèrement grenue	mat	opaque		NO	NO	Aucun ogone origine indéterminée
ensemble 13	Brun rouge rares petites inclusions blanches	gras	très fine	très brillante	un peu translucide		jaune litages sous corticaux.	un peu crayeux 1 mm d'épaisseur	Secondaire ou meulière origine indéterminée

Caractéristiques matières 1ère	Couleur	Aspect du grain	texture	Brillance	Transparence	Homogénéité du grain	Couleur du cortex	Aspect du cortex	Origine géologique / géologique
ensemble 14	Jaune orangé et beige clair et micro-inclusions brunes et blanches	un peu gras	fine	assez brillante	opaque	aspect moucheté	beige clair	peu roulé, très légèrement crayeux, de 1 à 2 mm	Tertiaire probable Aucun oogone origine indéterminée
ensemble 15	Brun très uniforme sans aucune inclusions	un peu sec	fine	assez brillante	opaque		NO	NO	Tertiaire probable Aucun oogone origine indéterminée
ensemble 16	Brun clair	sec	assez grenue	mat	opaque		brun clair	non roulé, grenu, de 1 à 2mm	Tertiaire oogones origine indéterminée
ensemble 17	Marron très uniforme sans aucune inclusions	sec	très fine	brillant	translucide		blanc beige	non roulé, lisse de 1 à 2mm	Secondaire probable Aucun oogone origine indéterminée
ensemble 18	Brun clair associé à des plages beiges	gras	très fine	brillant	translucide		néo-cortex jaune/rouge	un peu grenu	Meulière Aucun oogone origine indéterminée
ensemble 19	Brun jaune ± rouge ou ± vert taché de rares inclusions	un peu gras	très fine	assez brillante	translucide		marron zone sous-corticale blanche 1 à 3mm.	roulé, crayeux, de 1 à 3mm	Secondaire probable origine indéterminée
ensemble 20	Brun avec zonation	gras	très fine	brillant	opaque		brun	non roulé, grenu, 1mm d'épaisseur.	origine indéterminée indéterminé
ensemble 21	Brun foncé	sec	à peine grenue	brillant	opaque		jaune	rugueux, peu roulé, un peu crayeux, d'1mm lisse et brillant	origine indéterminée Tertiaire probable Aucun oogone origine indéterminée
ensemble 22	Plages brun gris Brun vert fin	gras		très brillante	opaque		brun rouge	peu roulé, un peu crayeux de 2mm d'épaisseur	Tertiaire Aucun oogone origine indéterminée
ensemble 23	brun jaune-rouge Blond moucheté blanc grandes plages «crème» plages blondes	sec gras sec	à peine grenue très lisse à peine grenue	brillant mat brillant	opaque opaque peu translucide		NO	NO	Tertiaire probable Aucun oogone origine indéterminée
ensemble 24	Marron	gras	très fine	brillant	translucide		NO	NO	Secondaire probable origine indéterminée
ensemble 25	Brun clair jaune uniforme	sec	à peine grenue	mat	opaque		NO	NO	Tertiaire Champigny possible origine indéterminée
ensemble 26	Jaune ou beige clair avec des inclusions blanches parsemées	un peu gras	fine	mat	opaque		zone sous corticale blanche	NO	Tertiaire probable Aucun oogone origine indéterminée
Patiné beige	Patiné beige avec de micro inclusions noires	sec	à peine grenue	mat	opaque				Tertiaire probable Aucun oogone origine indéterminée

13.11 Inventaire et description des pièces du Lot C1

fait	MP	L	l	e	support	fracture	type	percussion	contexte
3836	E6	24	19	8	casson				hallstatt
2026 DIAG	E3	38	21	10	éclat	entier	réparation	PDD	structure ind
4228/Us4283	E29	21	24	7	éclat	distal	brut	PDD	hallstatt
4228/Us4283	E23	29	12	6	éclat	entier	réparation	PDD	hallstatt
CH4271/Diag4269	E7	43	27	13	éclat	entier	Grattoir épais	pdd	hallstatt
décapage	GRÈS QUART ZIT?	32	24	6	éclat		brut	pdd?	décapage
FC 4035 (drain)	E22	30	17	5	éclat	entier	retouché	pdd	hallstatt
FC3210	E3	29	36	7	éclat		brut	PDD	hallstatt
FC3287	E26	30	11	3	Lamelle	proximal	brut		structure ind
FC3305	brulé	13	8	4	éclat	Fragmenté	indéterminé		hallstatt
FC3305	E28	47	39	14	éclat	moderne	réparation		structure ind
FC3387/Us3763	E21	59	46	30	nucleus				hallstatt
FC3433	E19	28	28	7	éclat		brut		hallstatt
FC3433	E19	24	15	2	éclat	proximal	brut		hallstatt
FC3433	E27	68	35	13	éclat		brut	pdd	hallstatt
fc4005	E18	31	10	6	éclat	distal	brut		hallstatt
FC4013/Us4489	E25	42	26	4	éclat	entier	brut		hallstatt
FC4035	E27	19	13	4	éclat	mésial			hallstatt
fc4039/us4451	E29	29	26	13	casson		casson		structure ind
FC4156/Us4588	E27	26	25	4	éclat	entier	brut	PI ouPDD	hallstatt
FC4156/Us4588	PBSO	91	29	13	lame	entier	Couteau à dos	PI ou pdd	hallstatt
FC4283/Us4609	E19	33	13	3	éclat	entier	brut		structure ind
FO3617	brulé	52	24	5	nucleus	Fragmenté	déchet		structure ind
FS 3285	E28	18	10	6	casson		casson		structure ind
FS 3641	E29	31	15	7	casson		déchet		structure ind
FS3194	E17	54	28	8	lame	distal	Grattoir en bout de lame		structure ind
FS3204	E27	40	21	6	éclat		brut		structure ind
FS3285	Brulé?	26	14	9	casson		déchet		structure ind
FS3285	E29	31	15	11	éclat	entier	brut	PI ou PT	structure ind
FS3285	E28	20	10	4	éclat	distal	brut	NO	structure ind
FS3285/Us3762	E27	15	10	2	eclat	entier	éclat de retouche		structure ind
FS3285/Us3817	E27	39	21	5	lame	proximal	brut	PI?	structure ind
FS3333	E16	24	28	6	éclat	entier	brut	PDD ou PI	structure ind
FS3347	E3	36	12	3	éclat	latéral et proximal	retouché		LTF/GR
FS3401	MAGR	21	19	3	éclat		Eclat de retouche (clactonienne?)	pt?	structure ind
FS3439	E24	42	18	9	éclat	distal	brut	ind	structure ind
FS3439	Patine beige	43	24	10	lame	distal	Poignard	PI ou pt	hallstatt
FS3477	E27	26	16	4	éclat	entier	réparation		LTF/GR
FS3595/Us3941	E3	32	31	5	casson		cassure		structure ind
FS3595/Us3941	Brulé	36	28	10	casson		déchet		structure ind
Fs3641	E3	55	37	6	éclat	entier	retouché	pi ou pt	structure ind
FS3665	E22	32	28	10	casson				structure ind
FS3681	brulé	27	25	7	casson				LTF/GR
FS3681	E20	21	16	9	casson				LTF/GR
FS3681	E22	22	12	10	casson				LTF/GR
FS3713	E11	32	16	15	casson				structure ind
FS4121	E30	34	24	4	éclat	proximal	brut	PI ou PT	hallstatt
FS4203	PBSO	65	52	34	nucleus		nucleus		structure ind
FC4283/Us4620	PBSO	45	39	9	éclat	distal	brut		structure ind
NV3637	E28	47	36	32	nucleus		nucleus		hallstatt
PO3465	E27	29	18	7	éclat	latéral	brut	IND	structure ind

PO3467/Us3997	Brulé	23	20	10	casson				LTF/GR
PO3469	E27	30	21	14	casson		déchet		structure ind
PO3473	E6	42	10	6	casson				LTF/GR
PO3473	E19	18	14	9	éclat	entier	brut		LTF/GR
PO3473	E15	16	9	2	lamelle	proximal	brut	PI ouPT	LTF/GR
Près de PO3084	E18	30	15	9	casson				décapage

13.12 Inventaire et description des pièces du Lot C3

fait	MP	L	l	e	support	fracture	type	percussion	contexte
91	E1	90	25	15	éclat laminaire	entier	brut	PDD	ind.
610	E3	78	37	15	éclat		racloir à encoche		ind.
1003	E11	30	40	10	éclat	entier	brut	PDD	HF/TA
1003	E11	42	46	14	éclat	distal	brut		HF/TA
1003	PBSO	55	35	14	éclat	entier	réaménagement		HF/TA
1003	E7	37	33	14	éclat		retouché	PDD	HF/TA
1003	brulé	49	28	11	éclat	entier	tranchet		HF/TA
1012	E27	99	14	10	lame	entier	lame de cintrage	PI ou PT	ind.
1019	E7	28	21	8	éclat	distal	brut		proto
1028	E5	26	18	6	éclat		épannelage		HF/TA
1042	E2	29	22	5	éclat	entier	brut	PDD	prot ou GR
1043	E10	150	51	36	pièce façonnée		hache polie		ind.
1073	MAGB	18	22	5	éclat	entier	brut		ind.
1093	E4	35	34	12	éclat	entier	brut	PDD	HF/TA
1093	PBSO	22	21	2	éclat	entier	brut		HF/TA
1093	E31	17	15	3	éclat	entier	brut		HF/TA
1093	Galet	36	33	18		entier			HF/TA
1093	Grès	48	30	13	pièce façonnée	entier	hache		Ha
1108	MAGR	57	47	25	éclat		retouché	PDD	ind.
1122	E27	52	24	5	lame	latéral	grattoir en bout de lame		ind.
1128	PBSO	103	60	23	éclat	entier	tranchet	NO	ind.
2027	Ma	11	65	48	bloc		bloc testé		ind.
2027	Pat. Jaune	68	51	17	éclat	latéral	eclat		ind.
2027	désili.	43	28	7	éclat laminaire	proximal	retouché	PT	ind.
1032 Us1	brulé	13	14	10	pièce façonnée		extrémité de pièce bifaciale		LTF/GR
1032 Us1	E6	32	22	5	casson	entier	casson		LTF/GR
a102	désili.	56	52	20	bloc		retouché		ind.
a102	E5	17	21	4	éclat	entier	brut		ind.
a119	E3	30	22	12	casson	entier	casson		ind.
décapage 1/4 SE	PBSO	60	39	30	pièce façonnée		biface		décapage
décapage 1/4 SE	PBSO	52	34	33	pièce façonnée	fracturé	biface		décapage
décapage 1/4 SE	E27	54	46	24	pièce façonnée		biface		décapage
décapage 1/4 SE	désili.	48	49	16	bloc		grattoir		décapage
décapage 1/4 SE	E27	54	43	23	casson	entier	casson		décapage
décapage 1/4 SE	brulé	57	25	10	éclat	fracturé	brut		décapage
décapage 1/4 SE	PBSO	51	36	11	éclat	entier	brut		décapage
décapage 1/4 SE	PBSO	32	50	7	éclat	distal	brut		décapage

ZAC de la Pyramide Lot C1, Lieusaint, Ville Nouvelle de Sénart (77), fouille 15-07/04-10-2002
Annexe C : Étude des pièces lithiques taillées

décapage 1/4 SE	PBSO	45	45	20	éclat	entier	grattoir circulaire	PDD	décapage
décapage 1/4 SE	E27	48	40	11	éclat	lat & distal	retouché		décapage
décapage 1/4 SE	MAGR	75	30	10	éclat laminaire	distal	brut		décapage
HS surf	désili.	58	39	18	éclat	distal	tranchet		décapage
prox 801/802	E27	62	56	24	casson		grattoir		FER
surf.	E27	38	32	14	pièce façonnée	fracturé	biface		décapage
surf.	E13	34	20	4	éclat	entier	brut		décapage
surf.	E14	42	38	13	éclat	entier	brut		décapage
surf.	PBSO	20	11	2	éclat	entier	esquille ou pt éclat		décapage
surf.	MAGR	46	32	25	nucleus		nucleus		décapage
TR1/TR3 surf.	Grès	85	49	30	bloc		bloc		décapage
TR1/TR3 surf.	E8	29	17	4	lame	mésial	brute		décapage
TR1/TR3 surf.	E9	33	30	35	nucleus	entier	nucleus		décapage
TR4	E12	50	33	19	nucleus	fracturé	nucleus		décapage
TR7	PBSO	60	28	28	pièce façonnée	entier	denticulé		décapage
TR7	E28	57	43	10	éclat	entier	retouché		décapage
TR7	Désil/T	52	48	15	éclat	entier	racloir	PDD	décapage

13.13 Inventaire par matière première

matière première	Lot C1	Lot C3	total
Tertiaire (27, 28)	12	7	19
tertiaire probable (1, 2, 12, 14, 15, 16, 21, 22, 23, 25, 26)	9	6	15
secondaire (29, 30 et 31)	5	1	6
secondaire probable (17, 19, 24)	6	0	6
désilicifié		4	4
grès/quartzite?	1	0	1
Patine blanche sans oogone (PBSO)	3	9	12
patine beige	1	0	1
patine bleuté	0	2	2
patine rouge	0	1	1
meulier (I18 et9)	3	6	9
meulier ou secondaire (5, 7, 13)	1	4	5
galet	0	1	1
grès	0	2	2
brulé	8	3	11
Indéterminé (3,4, 6, 11, 8, 20)	9	7	16
total	58	53	111

14 Annexe D : inventaire du mobilier par Fait et datations (mobilier et stratigraphie)

ENS	FAIT	% fouil.	Nombre de Restes céramique			NR F A U N E	NR métal		Terre rubéfiées en grammes		Pier-res chauffées	scories en gram.	NR lithique taillé	NR lithique autres	REMARQUES (métaux/rubéfiée/lithiques autres ; pour céramique, faune et lithique taillé voir études spécifiques)	TPQ	TAQ
			M O D	T O U R	Teg. imbr.		cuiv-reux	fer-reux	frag. soles/indét.	tor-chis							
<u>Néolithique/Protohistoire indéterminée à postérieur</u>																	
	CH3078	décap	3			1										N/pro	
	CH3429	décap	1													N/pro	
	CH4265	décap	1													N/pro	
	CH4271	décap	1										1			N/pro	
	FO2082	décap	4			2										N/pro	
	FS2083	décap													Recoupée par FO2082	N/pro	
	FS3401	100											1			N/pro	
	FS3569	100	8					80					1		Us3569 : -1 frag. de "polissoir" en grès, 70x60, 28 mm d'épaisseur, bord absent., poli sur une face	N/pro	
	FS3661	50	1													N/pro	
	FS3665	décap											1			N/pro	
	FS4069	100	1													N/pro	
	FS4121	100	1										1			N/pro	
	FS4131	100	1													N/pro	
	FS4161	décap.	1													N/pro	
	NV3637	décap.	1										1			N/pro	
	NV4203	décap											1			N/pro	
	PO4115	100	1													N/pro	
BAT06	PO4343	100	1													N/pro	
	ST2081	diag.	1													N/pro	
	TOT Néo./Proto. ind.		27			3		80					1				
<u>Hallstatt final ou antérieur</u>																	
	CH3283	50													Recoupé par FS3281		HF
	CH3601														Recoupé par FS3595		HF
<u>Hallstatt final</u>																	
	FC3017	100	14					10									HF
	FC3210	100	55			13	1	10									HF
	FC3237	100	58			9					X						HF
	FC3305	100	116			41		1270					2		Us3765 très riche en frag. de soles		HF
	FC3387	100	80					290			X		1				HF
	FC3433	100	76			16		280			X		3				HF
	FC3615	100	10			4		20									HF
	FC4005	100	57			43		510					1				HF
	FC4007	100	16			3											HF

ENS	FAIT	% fouil.	Nombre de Restes céramique			NR F A U N E	NR métal		Terre rubéfiées en grammes		Pier-res chauffées	scories en gram.	NR lithique taillé	NR lithique autres	REMARQUES (métaux/rubéfiée/lithiques autres ; pour céramique, faune et lithique taillé voir études spécifiques)	TPQ	TAQ
			M O D	T O U R	Teg. imbr.		cuiv-reux	fer-reux	frag. soles/indét.	tor-chis							
	FC4013	100	168			17			180				1				HF
	FC4023	100	73			120			240	10							HF
	FC4035	100	88			93			4480		X		2		Us4560 très riche en frag. de soles		HF
	FC4039	100	86			38			290				1				HF
	FC4156	100	222			119	1		190		X		2	1	Us4591 : -1 frag. de "polissoir" en grès, 45x40, 23 mm d'épaisseur, Section "trapézoïdale" ? Poli sur une face		HF
	FC4167	100	138			64		1	570		XX				Us4495 très riche en pierres angulaires chauffées		HF
	FC4283	100	86			28			120		X		4				HF
FOS13	FS3836	100	13			1							1				
	FS3790	100	91			106					X						
	FS3285	100	116			112			1000	260			6	2	Us3285 : 2 frag. de "lignite" ? : 1 de section ovale (20x15 mm) ; 1 plat convexe (5 mm d'épaisseur). -Us3776 riche en frag. de soles.		HF
	FS3779	100	5						260								
	FC3780	100	9														
	FS3818	100	17			8											
	FS3854	100	5														
	FC3287	100	37			19			400	60			1				
	TOTFOS13		293			246			1660	320			8	2			
	FS3080	100	24			1			10								HF
	FS3082	100	21						10								HF
	FS3194	100	35			77			70			1					HF
	FS3281	100	78			3			340								HF
	FS3333	100	48			10	1					1		Us3760 : 1 frag. d'ardillon (de fibule ?) en alliage cuivreux, tige avec incisions		HF	
	FS3439	100	56			37			420		X		2				HF
	FS3567	100	39			1			20					3	Us3414 : 1 frag. angulaire de calcaire meulièrement chauffé, poli sur une face., 125x85 mm, épaisseur 70 mm. Silaire à Us3420. Us3420 : -1 frag. de "polissoir" en grès, 20x25, 18 mm d'épaisseur, section quadrangulaire, poli sur les deux faces -1 frag. angulaire de calcaire meulièrement chauffé, poli sur une face., 110x90 mm, épaisseur 70 mm. Similaire à Us3414		HF
	FS3595	100	99			91			1360	10			2	2	Us3941 : -1 frag. de "polissoir" en grès, 75x60, 35 mm d'épaisseur, section quadrangulaire, poli sur une face -1 frag. de "lignite" ? Plat, 12 mm d'épaisseur		HF
	FS3643	100	48										2				HF
	FS3713	100	27			3						1					HF
	FS4015	100	38			48			40								HF
	FS4154	100	85			66			7360	30					Us4154 très riche en frag. de soles		HF
	FS4207	100	12								X						HF
	FS4235	décap.	22														HF
	FS4341	100	13						70		X						HF

ENS	FAIT	% fouil.	Nombre de Restes céramique			NR F A U N E	NR métal		Terre rubéfiées en grammes		Pier-res cha uf-fées	scories en gram.	NR lithi-que taillé	NR lithi-que aut-res	REMARQUES (métaux/rubéfiée/lithiques autres ; pour céramique, faune et lithique taillé voir études spécifiques)	TPQ	TAQ
			M O D	T O U R	Teg. imbr.		cuiv-reux	fer-reux	frag. soles/ indét.	tor-chis							
	ST2029	diag.	5														HF
	ST2080	diag.	6														HF
TOT Hallstatt final			2292			1182	3	1	19720	370			34	8			
Hallstatt final ou postérieur																	
	FS3457	100	8														HF
	FS3571	100															Recoupe FS3567
	FS3687	décap.	6														HF
	ST2079	diag.	8														HF
TOT HF ou ant.			22														
Ier s. ap. J.-C. ou antérieur																	
BAT09	PO3483	100	4														Recoupé par BAT04
BAT10	PO3839	100															Recoupé par BAT02
TOT Ier ap. ou ant.			4														
Gallo-romain à antérieur																	
	FS3186	décap															Recoupée par FS3180
	FS4373	décap	1														Recoupée par SFO15
	FS4089	décap															Recoupée par SFO19
SFO27	FO3013	sd	8														Recoupé par SFO26 et SFO20
TOT G.R. ou ant.			9														
Fin de La Tène moyenne à Ier siècle après J.C.																	
BAT01	PO3295	100				1											
	PO3297	100	3														
	PO3299	100	3														
	PO3307	100	1														
	PO3309	100	6														
	TOT BAT01			13			1										
BAT02	PO3431	100	2														
	PO3435	100	3														
	PO3381	100	5														
	PO3801	100	1														
	TOT BAT02			11													
BAT04	FS3889	100	1														
	FS3993	100	1	1		1											
	PO3032	100	2														
	PO3043	100	3														
	PO3465	100	7	1		4							1				
	PO3467	100	1										1				

ENS	FAIT	% fouil.	Nombre de Restes céramique			NR F A U N E	NR métal		Terre rubéfiées en grammes		Pier-res chauffées	scories en gram.	NR lithique taillé	NR lithique autres	REMARQUES (métaux/rubéfiée/lithiques autres ; pour céramique, faune et lithique taillé voir études spécifiques)	TPQ	TAQ
			M O D	T O U R	Teg. imbr.		cuiv-reux	fer-reux	frag. soles/indét.	tor-chis							
BAT04	PO3469	100				3							1		LTD2	Ierap	
	PO3471	100	6			1											
	PO3473	100	3	3		2			70				3				
	PO3892	100	1														
	TR3051	100		4													
	TR3475	100	3			1											
	TOT BAT04		28	9		12			70				6				
BAT05	PO4117	100	12	2											LTF	G.R.p	
	PO4119	100		1													
	PO4137	100		1													
	PO4139	100	1			1											
	PO4143	100	1														
	TOT BAT05		14	4		1											
BAT08	PO3493	100	1	8		1			90						LTF	G.R.p	
?	TR3245	100	13	20		3			1660		30		1	Us3245 : -1 frag de bracelet circulaire néolithique en schiste gris foncé, épaisseur de 7 mm.	LTF	G.R.p	
	TOT BAT08 ?		14	28		4			1820		30		1				
	FS3477	100	12	8									1		LTF	G.R.p	
	FS3677	100	4	3		8			30		X				LTF	G.R.p	
	FS3681	100	7	6		1					X		3		LTC2	G.R.p	
	ST2026	décap	35	15		7			50				1		LTC2	G.R.p	
	TOT LTC2/Ier ap.		138	109		34			1830		30		11	1			
Fin de La Tène Moyenne à Haut-Empire																	
BAT12	PO4059	100	1	1											Recoupé par SFO19 et 20	LTC2	HE
	TOT LTC2/HE		1	1													
La Tène D2/gallo-romain précoce à Haut Empire																	
	FS3313	100	12	8		1			200							LTD2	HE
SFO26	FO4597	sd		1											Recoupé par SFO19 et 20, recoupe SFO27	GRp	HE
	TOT LTD2/HE		12	9		1			200								
Ier s. à IVe s. ap. J.-C.																	
	FS3180	sd	4	1	1	7			10							HE	BE
	TOT Ier-IVe ap.		4	1	1	7			10								
Fin Ier s. à IVe s. ap. J.-C.																	
	FS4636	sd												Synchrone avec SFO19, effet d' « évitement » du fossé	flerap	BE	
	MR4335	100			2									Recoupe SFO19	fler	BE	
	FS4337																
SFO15	FO3015	sd	4	3		3										HE	BE
SFO15	FO3701	sd	5	3		5		1								LTD2	

ENS	FAIT	% fouil.	Nombre de Restes céramique			NR F A U N E	NR métal		Terre rubéfiées en grammes		Pier-res chauf-fées	scories en gram.	NR lithi-que taillé	NR lithi-que autres	REMARQUES (métaux/rubéfiée/lithiques autres ; pour céramique, faune et lithique taillé voir études spécifiques)	TPQ	TAQ
			M O D	T O U R	Teg. imbr.		cuiv-reux	fer-reux	frag-soles/indét.	tor-chis							
	FO4099	sd	12	5	3										flerap	BE	
SFO16	FO3697	sd				3		1	20						Synchrone avec FO4085 de SFO15	flerap	BE
SFO22	FO4079	décap	5			3									Synchrone avec FO4085/4099 de SFO15	HE	BE
	TOT SFO15/16/22		26	11	3	14		2	20								
SFO17	FO3247	sd	4	1		2		1	20			970					
SFO18	FO3001	sd		1									1			flerap	BE
	FO3617	sd															
	TOT SFO17/18		4	2		2		1	20			970	1				
SFO19	FO3011	décap	33	23	12	85	1	2				250			Us4466 : 1 potin moulé en alliage cuivreux Type BN.7417, attribué aux Senons (Identification par Claude Drouot)	flerap	BE
	FO4145	sd															
	FS3204	sd				3							1				
	FS3224	sd		3													
	FS4405	sd	5			2											
	TOT SFO19		38	26	12	90		2				250	1				
SFO20	FS3519	sd		2												flerap	BE
	FO3212	sd	2		1												
	FO3717	sd							20								
	FO4049	décap	41	3		4		1				830					
	sd																
	TOT SFO20		43	5	1	4		1	20			830					
TOT fin 1er ap./BE			111	44	18	110	1	6	60			2050	2				
<u>Fin 1er s. ap. J.-C. à postérieur</u>																	
SFO21	FO4461	sd	1									40			Recoupe SFO19	fler	
TOT fin 1er ap. ou post.			1									40					
<u>Fin de La Tène Moyenne ou postérieur</u>																	
	CH4053	décap		1												LTC2	
	CH4237	décap	3	1												LTC2	
	FS3347	100		1		1							1			LTC2	
	FS3581	50		1								10				LTC2	
	PO3824	100	1													LTC2	
TOT LTC2 ou post.			4	4		1						10	1				
<u>Gallo-romain à postérieur</u>																	
	CH3683	décap		2	1											G.R.	
	FS3228	décap													Recoupe SFO26	HE	
	FS3411	décap		1												G.R.	
TOT G.R. ou post				3	1												

ENS	FAIT	% fouil.	Nombre de Restes céramique			NR F A U N E	NR métal		Terre rubéfiées en grammes		Pier-res chauffées	scories en gram.	NR lithique taillé	NR lithique autres	REMARQUES (métaux/rubéfiée/lithiques autres ; pour céramique, faune et lithique taillé voir études spécifiques)	TPQ	TAQ
			M O D	T O U R	Teg. imbr.		cuivreux	ferreux	frag. soles/indét.	torchis							
<u>Moderne/contemporain à antérieur</u>																	
	CH4093														Recoupé par SFO25		Mod/cont.
	FS3399														Recoupé FS3235		Mod/cont.
	FS3693	sd													Recoupée par SF014 et 24		Mod/cont.
<u>Moderne à contemporain</u>																	
	FO3003 FO3447														mâchefer, plastique, verre industriel...	MOD	20e
	FS3235	décap				1									mâchefer, plastique, verre industriel...	20e	20e
	FS3241	décap													mâchefer, plastique, verre industriel...	20e	20e
	FS3407	décap													mâchefer, plastique, verre industriel...	20e	20e
	FS3669	décap													mâchefer, plastique, verre industriel...	20e	20e
	FS3671	décap													Recoupe SFO3671, mâchefer, plastique, verre industriel...	20e	20e
	FS3994	décap													mâchefer, plastique, verre industriel...	20e	20e
SFO14	FO3389	sd	3			50				50							
SFO23	FO3233	sd															
SFO24	FO3691 FO2025	sd	15	25		50								1	Us3691 : -1 frag de bracelet circulaire néolithique en schiste gris foncé, épaisseur de 6 mm.	18e	20e
SFO25	FO4109	décap															
TOT Mod. à contemp.			18	25		101				50				1			
<u>Décapage et faits non-datés</u>																	
Décapage							1							2	Proche BAT04 : 1 potin moulé en alliage cuivreux attribué aux Éburovices (voir C. Drouot dans Boulenger 2001)		
	CH3371	décap				9											
	FS3457	100								10							
	FS4269	100								50							
TOT décap. et non datés						9	1			60				2			

TOT mobilier Lot C1	2643	1448	20	1448	5	7	22030	420	X	2130	56	11
---------------------	------	------	----	------	---	---	-------	-----	---	------	----	----

15 Annexe E : inventaire des Unités stratigraphiques du Lot C1

15.1 Unités stratigraphiques issues du Diagnostic (Boulenger 2001)

•Us : 2026 •type d'Us : comblement et creusement •texture : limon argileux •couleur : brun gris •inclusions : fragments rubéfiés épars •prélèvements : céramique

•Us : 2029 •type d'Us : comblement et creusement •texture : limon argileux •couleur : gris •inclusions : charbons abondants •prélèvements : céramique •Codes : détritique hydromorphe

•Us : 2079 •type d'Us : comblement et creusement •texture : limon argileux •couleur : gris •inclusions : charbons abondants ; fragments rubéfiés épars •prélèvements : céramique •Codes : occupation •TPQ : HF

•Us : 2080 •type d'Us : comblement et creusement •texture : limon argileux •couleur : brun gris •inclusions : charbons abondants •prélèvements : céramique •Codes : remblai détritique

15.2 Unités stratigraphiques de la Zone 3 :

•Us : 3001 •Fait : FO3001 •Ensemble : SFO18 •type d'Us : comblement de fossé avec de la terre •texture : limon argileux •couleur : brun gris •inclusions : nodules loessiques épars ; bariolé •Codes : remblai de nivellement •Equivalence : 3617 ; 3967 ; 3247 •sur : 3232 ; 3230 •sous : 3004

•Us : 3002 •Fait : FO3001 •Ensemble : SFO18 •type d'Us : creusement de fossé •Codes : aménagement •Égalité : 3248 ; 3520 ; 3618 ; 3939 ; 4050 •Equivalence : 3213 ; 3718 •sous : 3232

•Us : 3003 •Fait : FO3003 •Ensemble : SFO28 •type d'Us : comblement de fossé avec de la terre •texture : limon argileux •couleur : gris à brun foncé •Codes : abandon •description : Remplissage supérieur similaire à l'horizon labouré blanchi qu'il recoupe partiellement. Sous les remblais fin XXème. •Égalité : 3447 ; 3461 •sur : 3004 •TPQ : 1950 •TAQ : 2002

•Us : 3004 •Fait : FO3003 •Ensemble : SFO28 •type d'Us : creusement de fossé •Codes : occupation •Égalité : 3448 ; 3462 •sur : 3001 •sous : 3003

•Us : 3005 •Fait : FS3005 •type d'Us : comblement de fosse avec de la terre •texture : limon argileux •couleur : brun moyen •Codes : indéterminé

•Us : 3006 •Fait : FS3005 •type d'Us : creusement de fosse •Codes : indéterminé

•Us : 3007 •Fait : FS3007 •type d'Us : comblement de fosse avec de la terre •texture : limon argileux •couleur : brun orangé •Codes : indéterminé

•Us : 3008 •Fait : FS3007 •type d'Us : creusement de fosse •Codes : indéterminé

•Us : 3009 •Fait : FS3009 •type d'Us : comblement de fosse avec de la terre •texture : limon argileux •couleur : brun orangé •Codes : indéterminé

•Us : 3010 •Fait : FS3009 •type d'Us : creusement de fosse •Codes : indéterminé

•Us : 3011 •Fait : FO3011 •Ensemble : SFO19 •type d'Us : comblement de fossé hydromorphe •texture : limon argileux •couleur : gris •inclusions : bariolé lie-de-vin •prélèvements : céramique ; tuile •Codes : comblement hydromorphe •Égalité : 4145 •Equivalence : 3204 ; 3224 •sur : 3868 ; 3924 •sous : 3865 ; 3867 ; 3866

•Us : 3012 •Fait : FO3011 •Ensemble : SFO19 •type d'Us : creusement de fossé •Codes : aménagement •Égalité : 4146 •Equivalence : 3201 ; 3896 •sur : 3214 ; 3897 ; 3013 ; 3014 ; 3880 •sous : 3877 ; 3916 ; 3876

•Us : 3013 •Fait : FO3013 •Ensemble : SFO27 •type d'Us : comblement de fossé avec de la terre •texture : limon argileux •couleur : gris clair •inclusions : bariolé •prélèvements : céramique •risques d'intrusions : FO3015 •Codes : sédimentation mixte •sur : 3014 •sous : 3012 ; 3016 ; 3880

•Us : 3014 •Fait : FO3013 •Ensemble : SFO27 •type d'Us : creusement de fossé •Codes : aménagement •sur : 3194 •sous : 3012 ; 3013

•Us : 3015 •Fait : FO3015 •Ensemble : SFO15 •type d'Us : comblement de fossé hydromorphe •texture : limon argileux •couleur : gris clair •inclusions : bariolé •prélèvements : céramique ; macro-faune •Codes : sédimentation hydromorphe •Equivalence : 3331 •sur : 3016 ; 3856 •sous : 3462

•Us : 3016 •Fait : FO3015 •Ensemble : SFO15 •type d'Us : creusement de fossé •Codes : aménagement •Equivalence : 3332 •sur : 3013 •sous : 3015 ; 3856

•Us : 3017 •Fait : FC3017 •type d'Us : comblement de fosse •texture : limon argileux •couleur : gris beige •inclusions : charbons épars •Codes : utilisation ou remblai détritique •sur : 3018 ; 3028 ; 3968 •TPQ : HF •TAQ : HF

•Us : 3018 •Fait : FC3017 •type d'Us : creusement de fosse •Codes : occupation •sous : 3019 ; 3017

•Us : 3019 •Fait : FC3017 •type d'Us : surface de circulation •texture : limon argileux •structure : compact •couleur : gris beige •Codes : occupation •sur : 3018 •sous : 3020

•Us : 3020 •Fait : FC3017 •type d'Us : comblement de fosse •texture : limon argileux •couleur : gris orangé •Codes : remblai ou effondrement •Égalité : 3021 ; 3022 ; 3023 •sur : 3019 •sous : 3024 ; 3025

•Us : 3021 •Fait : FC3017 •type d'Us : comblement de fosse •texture : limon argileux •couleur : gris orangé •Codes : remblai •Égalité : 3020

•Us : 3022 •Fait : FC3017 •type d'Us : comblement de fosse •texture : limon argileux •couleur : gris orangé •Codes : remblai •Égalité : 3020

•Us : 3023 •Fait : FC3017 •type d'Us : comblement de fosse •texture : limon argileux •couleur : gris orangé •Codes : remblai •Égalité : 3020

•Us : 3024 •Fait : FC3017 •type d'Us : comblement de fosse •texture : limon argileux •couleur : beige à orangé •Codes : remblai •Égalité : 3025 •sur : 3020 •sous : 3969

•Us : 3025 •Fait : FC3017 •type d'Us : comblement de fosse •texture : limon argileux •couleur : beige à orangé •Codes : remblai •Égalité : 3024

•Us : 3026 •Fait : FC3017 •type d'Us : comblement de fosse de type dépotoir •texture : cendro-charbonneux •couleur : gris noir •Codes : occupation •sur : 3026 •sous : 3026

•Us : 3027 •Fait : FC3017 •type d'Us : comblement de fosse de type dépotoir •texture : cendro-charbonneux •couleur : gris noir •inclusions : fragments rubéfiés erratiques •prélèvements : céramique •Codes : occupation •sous : 3968

•Us : 3028 •Fait : FC3017 •type d'Us : creusement de fosse •texture : limon argileux •structure : liseré de petites mottes •couleur : jaune beige •Codes : liseré de creusement •Equivalence : 3968 •sur : 3968 •sous : 3017

•Us : 3029 •Fait : FC3017 •type d'Us : comblement de fosse •texture : limon argileux •couleur : jaune •Codes : remblai •sur : 3793 •sous : 3775

•Us : 3030 •Fait : PO3030 •Ensemble : BAT04 •type d'Us : comblement de trou de poteau •texture : limon argileux •couleur : brun gris •Codes : occupation

•Us : 3031 •Fait : PO3030 •Ensemble : BAT04 •type d'Us : creusement de trou de poteau •Codes : construction

•Us : 3032 •Fait : PO3032 •Ensemble : BAT04 •type d'Us : comblement de trou de poteau •texture : limon argileux •couleur : brun gris •Codes : occupation

•Us : 3033 •Fait : PO3032 •Ensemble : BAT04 •type d'Us : creusement de trou de poteau •Codes : construction

•Us : 3034 •Fait : PO3034 •Ensemble : BAT04 •type d'Us : comblement de trou de poteau •texture : limon argileux •couleur : brun gris •Codes : construction

•Us : 3035 •Fait : PO3034 •Ensemble : BAT04 •type d'Us : creusement de trou de poteau •Codes : construction

•Us : 3036 •Fait : PO3036 •Ensemble : BAT04 •type d'Us : poteau [Us composite] •type d'Us construite : poteau [us composite] •Codes : occupation •description : Poteau vu au décapage mais vidé par erreur par la pelle. Voir Evaluation L. Boulenger 2001. Recalage topo. approximatif.

•Us : 3037 •Fait : FS3037 •type d'Us : comblement de fosse avec de la terre •texture : limon argileux •couleur : brun orangé •Codes : indéterminé

•Us : 3038 •Fait : FS3037 •type d'Us : creusement de fosse •Codes : indéterminé

•Us : 3039 •Fait : PO3039 •Ensemble : BAT04 •type d'Us : comblement de trou de poteau •texture : limon argileux •couleur : brun gris •Codes : occupation

- Us : 3040 •Fait : PO3039 •Ensemble : BAT04 •type d'Us : creusement de trou de poteau
•Codes : construction
- Us : 3041 •Fait : FS3041 •type d'Us : comblement de fosse avec de la terre •texture : limon argileux •couleur : brun foncé •Codes : indéterminé
- Us : 3042 •Fait : FS3041 •type d'Us : creusement de fosse
- Us : 3043 •Fait : PO3043 •Ensemble : BAT04 •type d'Us : comblement de trou de poteau •texture : limon argileux •couleur : brun gris •Codes : occupation
- Us : 3044 •Fait : PO3043 •Ensemble : BAT04 •type d'Us : creusement de trou de poteau
•Codes : construction
- Us : 3045 •Fait : CH3045 •type d'Us : comblement et creusement de chablis •texture : limon argileux •couleur : brun ocre •Codes : chablis
- Us : 3046 •Fait : FO3691 •Ensemble : SFO24 •type d'Us : comblement de fossé •texture : limon argileux •couleur : gris •inclusions : cailloux éparses •prélèvements : céramique
•Codes : comblement hydromorphe •sous : 3691
- Us : 3047 •Fait : FS3047 •type d'Us : comblement de fosse avec de la terre •texture : limon argileux •couleur : brun foncé •Codes : indéterminé
- Us : 3048 •Fait : FS3047 •type d'Us : creusement de fosse
- Us : 3049 •Fait : PO3049 •Ensemble : BAT04 •type d'Us : comblement de trou de poteau •texture : limon argileux •couleur : brun gris •Codes : occupation
- Us : 3050 •Fait : PO3049 •Ensemble : BAT04 •type d'Us : creusement de trou de poteau
•Codes : construction
- Us : 3051 •Fait : TR3051 •Ensemble : BAT04 •type d'Us : comblement de sablière basse •texture : limon argileux •couleur : brun gris foncé •inclusions : charbons erratiques
•prélèvements : céramique •Codes : abandon
- Us : 3052 •Fait : TR3051 •Ensemble : BAT04 •type d'Us : creusement de sablière basse
•Codes : occupation
- Us : 3053 •Fait : FS3053 •type d'Us : comblement de fosse avec de la terre •texture : limon argileux •couleur : brun ocre •inclusions : bariolé •Codes : indéterminé
- Us : 3054 •Fait : FS3053 •type d'Us : creusement de fosse •Codes : indéterminé
- Us : 3055 •Fait : PO3055 •Ensemble : BAT04 •type d'Us : comblement de trou de poteau •texture : limon argileux •couleur : brun gris •Codes : occupation
- Us : 3056 •Fait : CH3056 •type d'Us : comblement et creusement de chablis •texture : limon argileux •couleur : brun
- Us : 3057 •Fait : FO3691 •Ensemble : SFO24 •type d'Us : creusement •Codes : occupation •description : Recreusement du fossé. Dernière phase visible.
- Us : 3058 •Fait : CH3058 •type d'Us : comblement et creusement de chablis •texture : limon argileux •couleur : brun •Codes : chablis
- Us : 3059 •Fait : FO3691 •Ensemble : SFO24 •type d'Us : comblement de fossé •texture : limon argileux •couleur : gris •inclusions : bariolé orange ; cailloux éparses •Codes : occupation •description : Description incertaine. •sur : 3069
- Us : 3060 •Fait : FS3060 •type d'Us : comblement de fosse avec de la terre •texture : limon argileux •couleur : brun foncé •Codes : indéterminé
- Us : 3061 •Fait : FS3060 •type d'Us : creusement de fosse •Codes : indéterminé
- Us : 3062 •Fait : CH3062 •type d'Us : comblement et creusement de chablis •texture : limon argileux •couleur : brun ocre •Codes : chablis
- Us : 3063 •Fait : FO3691 •type d'Us : creusement •Codes : occupation •description : Recreusement de fossé. Dernière phase visible.
- Us : 3064 •Fait : CH3064 •type d'Us : comblement et creusement de chablis •texture : limon argileux •couleur : brun ocre •Codes : chablis
- Us : 3065 •Fait : FO3691 •Ensemble : SFO24 •type d'Us : comblement de fossé •texture : limon argileux •couleur : gris •inclusions : bariolé orange •Codes : occupation •sur : 3105 •sous : 3733
- Us : 3066 •Fait : FS3066 •type d'Us : comblement de fosse avec de la terre •texture : limon argileux •couleur : gris beige
- Us : 3067 •Fait : FS3066 •type d'Us : creusement
- Us : 3068 •Fait : CH3068 •type d'Us : comblement et creusement de chablis •texture : limon argileux •couleur : brun ocre •Codes : chablis
- Us : 3069 •Fait : FO3691 •Ensemble : SFO24 •type d'Us : comblement de fossé •texture : limon argileux •couleur : gris •inclusions : cailloux éparses •Codes : occupation •sur : 3733 •sous : 3059
- Us : 3070 •Fait : FS3070 •type d'Us : comblement de fosse avec de la terre •texture : limon argileux •couleur : gris beige
- Us : 3071 •Fait : FS3070 •type d'Us : creusement •Codes : occupation
- Us : 3072 •Fait : FS3072 •type d'Us : comblement de fosse avec de la terre •texture : limon argileux •couleur : brun gris
- Us : 3073 •Fait : FS3072 •type d'Us : creusement de fosse
- Us : 3074 •Fait : FS3074 •type d'Us : comblement de fosse avec de la terre •texture : limon argileux •couleur : brun ocre
- Us : 3075 •Fait : FS3074 •type d'Us : creusement
- Us : 3076 •Fait : FS3076 •type d'Us : comblement de fosse avec de la terre •texture : limon argileux •couleur : brun ocre
- Us : 3077 •Fait : FS3076 •type d'Us : creusement de fosse
- Us : 3078 •Fait : CH3078 •type d'Us : comblement et creusement de chablis •texture : limon argileux •couleur : brun gris foncé
- Us : 3079 •Fait : FO3691 •Ensemble : SFO24 •type d'Us : comblement de fossé •texture : limon argileux •couleur : gris clair •Codes : occupation •sur : 3692 •sous : 3105
- Us : 3080 •Fait : FS3080 •type d'Us : comblement de fosse avec de la terre •texture : limon argileux •couleur : gris •inclusions : bariolé •prélèvements : céramique ; macro-faune •Codes : détritique hydromorphe •sur : 3081 •sous : 3761
- Us : 3081 •Fait : FS3080 •type d'Us : creusement de fosse •Codes : occupation •sous : 3080
- Us : 3082 •Fait : FS3082 •type d'Us : comblement de fosse avec de la terre •texture : limon argileux •couleur : gris •inclusions : fragments rubéfiés erratiques •prélèvements : céramique ; macro-faune •Codes : sédimentation hydromorphe •sous : 3751
- Us : 3083 •Fait : FS3082 •type d'Us : creusement de fosse •Codes : occupation
- Us : 3084 •Fait : FS3084 •type d'Us : comblement de fosse avec de la terre •texture : limon argileux •couleur : gris brun •Codes : occupation
- Us : 3085 •Fait : FS3084 •type d'Us : creusement de fosse •Codes : occupation
- Us : 3086 •Fait : FS3086 •type d'Us : comblement de fosse avec de la terre •texture : limon argileux •couleur : brun
- Us : 3087 •Fait : FS3086 •type d'Us : creusement
- Us : 3088 •Fait : FS3088 •type d'Us : comblement de fosse avec de la terre •texture : limon argileux •couleur : gris brun •Codes : indéterminé
- Us : 3089 •Fait : FS3088 •type d'Us : creusement •Codes : indéterminé
- Us : 3090 •Fait : FS3090 •type d'Us : comblement de fosse avec de la terre •texture : limon argileux •couleur : brun gris
- Us : 3091 •Fait : FS3090 •type d'Us : creusement
- Us : 3092 •Fait : FS3092 •type d'Us : comblement de fosse avec de la terre •texture : limon argileux •couleur : gris brun •Codes : indéterminé
- Us : 3093 •Fait : FS3092 •type d'Us : creusement •Codes : indéterminé
- Us : 3094 •Fait : FS3094 •type d'Us : comblement de fosse avec de la terre •texture : limon argileux •couleur : gris brun •Codes : indéterminé
- Us : 3095 •Fait : FS3094 •type d'Us : creusement •Codes : indéterminé
- Us : 3096 •Fait : FS3096 •type d'Us : comblement de fosse avec de la terre •texture : limon argileux •couleur : brun gris •Codes : indéterminé
- Us : 3097 •Fait : FS3096 •type d'Us : creusement •Codes : indéterminé
- Us : 3098 •Fait : FS3098 •type d'Us : comblement de trou de poteau •texture : limon argileux •couleur : brun gris •Codes : indéterminé
- Us : 3099 •Fait : FS3098 •type d'Us : creusement •Codes : indéterminé
- Us : 3100 •Fait : FS3100 •type d'Us : comblement de fosse avec de la terre •texture : limon argileux •couleur : brun •Codes : non-anthropique
- Us : 3101 •Fait : FS3100 •type d'Us : creusement •Codes : non-anthropique
- Us : 3102 •Fait : FS3102 •type d'Us : comblement de fosse avec de la terre •texture : limon argileux •couleur : brun moyen •inclusions : bariolé •Codes : non-anthropique
- Us : 3103 •Fait : FS3102 •type d'Us : creusement de fosse •Codes : non-anthropique
- Us : 3104 •Fait : CH3104 •type d'Us : comblement et creusement de chablis •texture : limon argileux •couleur : brun orangé foncé
- Us : 3105 •Fait : FO3691 •Ensemble : SFO24 •type d'Us : comblement de fossé •texture : limon argileux •couleur : gris lessivé •Codes : sédimentation hydromorphe •sur : 3079 •sous : 3065
- Us : 3106 •Fait : FS3106 •type d'Us : comblement de fosse avec de la terre •texture : limon argileux •couleur : brun orangé moyen •inclusions : bariolé •Codes : non-anthropique
- Us : 3107 •Fait : FS3106 •type d'Us : creusement de fosse •Codes : non-anthropique
- Us : 3108 •Fait : FS3108 •type d'Us : comblement de fosse avec de la terre •texture : limon argileux •couleur : brun moyen •Codes : non-anthropique
- Us : 3109 •Fait : FS3108 •type d'Us : creusement •Codes : non-anthropique
- Us : 3110 •Fait : FS3110 •type d'Us : comblement de fosse avec de la terre •texture : limon argileux •couleur : brun •inclusions : bariolé •Codes : non-anthropique
- Us : 3111 •Fait : FS3110 •type d'Us : creusement de fosse •Codes : non-anthropique

•Us : 3112 •Fait : CH3112 •type d'Us : comblement et creusement de chablis •texture : limon argileux •couleur : brun moyen •Codes : chablis	•Us : 3150 •Fait : FS3150 •type d'Us : comblement de fosse avec de la terre •texture : limon argileux •couleur : brun ocre •Codes : non-anthropique
•Us : 3113 •Fait : FO3011 •Ensemble : SFO19 •type d'Us : comblement de fossé avec de la terre •texture : limon argileux •couleur : brun gris •inclusions : bariolé rouille •Codes : occupation •Égalité : 3918 •sur : 3875 •sous : 3874	•Us : 3151 •Fait : FS3150 •type d'Us : creusement de fosse •Codes : non-anthropique
•Us : 3114 •Fait : FS3114 •type d'Us : comblement et creusement •texture : limon argileux •couleur : brun moyen •inclusions : bariolé •Codes : indéterminé •Égalité : 2080	•Us : 3152 •Fait : FS3152 •type d'Us : comblement de fosse avec de la terre •texture : limon argileux •couleur : brun ocre •Codes : non-anthropique
•Us : 3115 •Fait : PO3890 •Ensemble : BAT04 •type d'Us : creusement de trou de poteau •Codes : construction	•Us : 3153 •Fait : FS3152 •type d'Us : creusement de fosse •Codes : non-anthropique
•Us : 3116 •Fait : CH3116 •type d'Us : comblement de fosse avec de la terre •texture : limon argileux •couleur : brun ocre	•Us : 3154 •Fait : FS3154 •type d'Us : comblement de fosse avec de la terre •texture : limon argileux •couleur : brun ocre •Codes : non-anthropique
•Us : 3117 •Fait : CH3116 •type d'Us : creusement de fosse	•Us : 3155 •Fait : FS3154 •type d'Us : creusement de fosse •Codes : non-anthropique
•Us : 3118 •Fait : CH3118 •type d'Us : comblement de fosse avec de la terre •texture : limon argileux •couleur : brun ocre	•Us : 3156 •Fait : FS3156 •type d'Us : comblement de fosse avec de la terre •texture : limon argileux •couleur : brun ocre •Codes : non-anthropique
•Us : 3119 •Fait : CH3118 •type d'Us : creusement de fosse	•Us : 3157 •Fait : FS3156 •type d'Us : creusement de fosse •Codes : non-anthropique
•Us : 3120 •Fait : FS3120 •type d'Us : comblement de fosse avec de la terre •texture : limon argileux •couleur : brun ocre •Codes : non-anthropique	•Us : 3158 •Fait : CH3158 •type d'Us : comblement de fosse avec de la terre •texture : limon argileux •couleur : gris brun blanchi
•Us : 3121 •Fait : FS3120 •type d'Us : creusement de fosse •Codes : non-anthropique	•Us : 3159 •Fait : CH3158 •type d'Us : creusement de fosse
•Us : 3122 •Fait : FS3122 •type d'Us : comblement de fosse avec de la terre •texture : limon argileux •couleur : brun ocre •Codes : non-anthropique	•Us : 3160 •Fait : FS3160 •type d'Us : comblement de fosse avec de la terre •texture : limon argileux •couleur : brun ocre •Codes : non-anthropique
•Us : 3123 •Fait : FS3122 •type d'Us : creusement de fosse •Codes : non-anthropique	•Us : 3161 •Fait : FS3160 •type d'Us : creusement de fosse •Codes : non-anthropique
•Us : 3124 •Fait : FS3124 •type d'Us : comblement de fosse avec de la terre •texture : limon argileux •couleur : gris beige •Codes : indéterminé	•Us : 3162 •Fait : FS3162 •type d'Us : comblement de fosse avec de la terre •texture : limon argileux •couleur : brun ocre •Codes : non-anthropique
•Us : 3125 •Fait : FS3124 •type d'Us : creusement de fosse •Codes : indéterminé	•Us : 3163 •Fait : FS3162 •type d'Us : creusement de fosse •Codes : non-anthropique
•Us : 3126 •Fait : FS3126 •type d'Us : comblement de fosse avec de la terre •texture : limon argileux •couleur : gris brun •inclusions : bariolé •Codes : indéterminé	•Us : 3164 •Fait : FS3164 •type d'Us : comblement de fosse avec de la terre •texture : limon argileux •couleur : brun ocre •Codes : non-anthropique
•Us : 3127 •Fait : FS3126 •type d'Us : creusement de fosse •Codes : indéterminé	•Us : 3165 •Fait : FS3164 •type d'Us : creusement de fosse •Codes : non-anthropique
•Us : 3128 •Fait : FS3128 •type d'Us : comblement de fosse avec de la terre •texture : limon argileux •couleur : brun ocre •Codes : non-anthropique	•Us : 3166 •Fait : FS3166 •type d'Us : comblement de fosse avec de la terre •texture : limon argileux •couleur : brun beige •Codes : indéterminé
•Us : 3129 •Fait : FS3128 •type d'Us : creusement de fosse •Codes : non-anthropique	•Us : 3167 •Fait : FS3166 •type d'Us : creusement de fosse •Codes : indéterminé
•Us : 3130 •Fait : FS3130 •type d'Us : comblement de fosse avec de la terre •texture : limon argileux •couleur : brun ocre •Codes : non-anthropique	•Us : 3168 •Fait : FS3168 •type d'Us : comblement de fosse avec de la terre •texture : limon argileux •couleur : brun •Codes : non-anthropique
•Us : 3131 •Fait : FS3130 •type d'Us : creusement de fosse •Codes : non-anthropique	•Us : 3169 •Fait : FS3168 •type d'Us : creusement •Codes : non-anthropique
•Us : 3132 •Fait : FS3132 •type d'Us : comblement de fosse avec de la terre •texture : limon argileux •couleur : brun ocre •Codes : non-anthropique	•Us : 3170 •Fait : FS3170 •type d'Us : comblement de fosse avec de la terre •texture : limon argileux •couleur : brun ocre •Codes : non-anthropique
•Us : 3133 •Fait : FS3132 •type d'Us : creusement de fosse •Codes : non-anthropique	•Us : 3171 •Fait : FS3170 •type d'Us : creusement de fosse •Codes : non-anthropique
•Us : 3134 •Fait : FS3134 •type d'Us : comblement de fosse avec de la terre •texture : limon argileux •couleur : brun ocre •Codes : non-anthropique	•Us : 3172 •Fait : FS3172 •type d'Us : comblement de fosse avec de la terre •texture : limon argileux •couleur : brun ocre •Codes : non-anthropique
•Us : 3135 •Fait : FS3134 •type d'Us : creusement de fosse •Codes : non-anthropique	•Us : 3173 •Fait : FS3172 •type d'Us : creusement de fosse •Codes : non-anthropique
•Us : 3136 •Fait : CH3136 •type d'Us : comblement de fosse avec de la terre •texture : limon argileux •couleur : brun ocre	•Us : 3174 •Fait : FS3174 •type d'Us : comblement de fosse avec de la terre •texture : limon argileux •couleur : brun ocre •Codes : non-anthropique
•Us : 3137 •Fait : CH3136 •type d'Us : creusement de fosse	•Us : 3175 •Fait : FS3174 •type d'Us : creusement de fosse •Codes : non-anthropique
•Us : 3138 •Fait : FS3138 •type d'Us : comblement de fosse avec de la terre •texture : limon argileux •couleur : brun ocre •Codes : non-anthropique	•Us : 3176 •Fait : CH3176 •type d'Us : comblement de fosse avec de la terre •texture : limon argileux •couleur : brun ocre
•Us : 3139 •Fait : FS3138 •type d'Us : creusement de fosse •Codes : non-anthropique	•Us : 3177 •Fait : CH3176 •type d'Us : creusement de fosse
•Us : 3140 •Fait : FS3140 •type d'Us : comblement de fosse avec de la terre •texture : limon argileux •couleur : brun ocre •Codes : non-anthropique	•Us : 3178 •Fait : CH3178 •type d'Us : comblement de fosse avec de la terre •texture : limon argileux •couleur : brun ocre
•Us : 3141 •Fait : FS3140 •type d'Us : creusement de fosse •Codes : chablis	•Us : 3179 •Fait : CH3178 •type d'Us : creusement de fosse
•Us : 3142 •Fait : CH3142 •type d'Us : comblement de fosse avec de la terre •texture : limon argileux •couleur : non-enregistré	•Us : 3180 •Fait : FS3180 •type d'Us : comblement de mare •texture : limon argileux •couleur : gris •inclusions : nodules de calcaire erratiques ; bariolé •prélèvements : céramique ; macro-faune •Codes : sédimentation hydromorphe •Équivalence : 3878 •sur : 3863 •sous : 3185
•Us : 3143 •Fait : CH3142 •type d'Us : creusement de fosse	•Us : 3181 •Fait : FS3180 •type d'Us : creusement de mare •Codes : aménagement •Égalité : 3901 •Équivalence : 3861 •sous : 3864 ; 3922
•Us : 3144 •Fait : FS3144 •type d'Us : comblement de fosse avec de la terre •texture : limon argileux •couleur : gris brun blanchi •inclusions : terre rubéfiée •Codes : indéterminé	•Us : 3182 •Fait : PO3182 •Ensemble : BAT10 •type d'Us : comblement de trou de poteau •texture : limon argileux •couleur : gris •inclusions : bariolé •Codes : occupation
•Us : 3145 •Fait : FS3144 •type d'Us : creusement de fosse •Codes : indéterminé	•Us : 3183 •Fait : PO3182 •Ensemble : BAT10 •type d'Us : creusement de trou de poteau •Codes : construction
•Us : 3146 •Fait : FS3146 •type d'Us : comblement de fosse avec de la terre •texture : limon argileux •couleur : brun gris •Codes : indéterminé	•Us : 3184 •Fait : FO3184 •Ensemble : SFO21 •type d'Us : comblement de fossé avec de la terre •texture : limon argileux •couleur : gris beige •inclusions : charbons erratiques •Codes : sédimentation naturelle •Équivalence : 3715 ; 4462 ; 4641 •sur : 3185
•Us : 3147 •Fait : FS3146 •type d'Us : creusement de fosse •Codes : indéterminé	•Us : 3185 •Fait : FO3184 •Ensemble : SFO21 •type d'Us : creusement de fossé •Codes : occupation •Équivalence : 3716 ; 4463 ; 4642 •sur : 3865 ; 3180 ; 3304 ; 3899 •sous : 3184
•Us : 3148 •Fait : FS3148 •type d'Us : comblement de fosse avec de la terre •texture : limon argileux •couleur : brun ocre •Codes : non-anthropique	•Us : 3186 •Fait : FS3186 •type d'Us : comblement de fosse avec de la terre •texture : limon argileux •couleur : gris •Codes : indéterminé
•Us : 3149 •Fait : FS3148 •type d'Us : creusement de fosse •Codes : non-anthropique	•Us : 3187 •Fait : FS3186 •type d'Us : creusement de fosse •Codes : indéterminé

ZAC de la Pyramide Lot C1, Lieusaint, Ville Nouvelle de Sénart (77), fouille 15-07/04-10-2002
Inventaire des Us

- Us : 3188 •Fait : FS3188 •type d'Us : comblement de fosse avec de la terre •texture : limon argileux •couleur : brun ocre •Codes : non-anthropique
- Us : 3189 •Fait : FS3188 •type d'Us : creusement de fosse •Codes : non-anthropique
- Us : 3190 •Fait : FS3190 •type d'Us : comblement de fosse avec de la terre •texture : limon argileux •couleur : brun ocre •Codes : non-anthropique
- Us : 3191 •Fait : FS3190 •type d'Us : creusement de fosse •Codes : non-anthropique
- Us : 3192 •type d'Us : comblement de fossé avec de la terre •texture : limon argileux •couleur : gris beige
- Us : 3193 •type d'Us : creusement de fossé
- Us : 3194 •Fait : FS3194 •texture : limon argileux •couleur : gris •inclusions : terre rubéfiée ; charbons abondants •prélèvements : céramique ; macro-faune •Codes : détritique hydromorphe •sur : 3195 •sous : 3014 •TPQ : HF •TAQ : HF
- Us : 3195 •Fait : FS3194 •type d'Us : creusement de fosse •Codes : occupation •sur : 3759 •sous : 3194
- Us : 3196 •Fait : FS3196 •type d'Us : comblement de fosse avec de la terre •texture : limon argileux •couleur : brun ocre •Codes : non-anthropique
- Us : 3197 •Fait : FS3196 •type d'Us : creusement de fosse •Codes : non-anthropique
- Us : 3198 •Fait : CH3198 •type d'Us : comblement de fosse avec de la terre •texture : limon argileux •couleur : gris blanchi
- Us : 3199 •Fait : CH3198 •type d'Us : creusement de fosse
- Us : 3200 •Fait : CH3200 •type d'Us : comblement et creusement de chablis •texture : limon argileux •couleur : gris blanchi
- Us : 3201 •Fait : FO3201 •Ensemble : SFO26 •type d'Us : comblement de fossé avec de la terre •texture : hétérogène •couleur : jaune orangé •inclusions : cailloutis abondant ; galets ; pierres •Codes : remblai de nivellement •description : Roches sous-jacentes remaniées provenant du creusement initial du SFO19 (3012 ?). •Égalité : 4597 •Équivalence : 3012 ; 3896 •sur : 3214 •sous : 3213 ; 3520 ; 3939 ; 3716
- Us : 3202 •Fait : FS3202 •type d'Us : comblement de fosse avec de la terre •texture : limon argileux •couleur : gris beige •Codes : indéterminé
- Us : 3203 •Fait : FS3202 •type d'Us : creusement de fosse •Codes : non-anthropique
- Us : 3204 •Fait : FS3204 •type d'Us : comblement de mare •texture : limon argileux •couleur : gris •inclusions : bariolé lie-de-vin •Codes : sédimentation hydromorphe •Équivalence : 3011 ; 3224 •sur : 3883
- Us : 3205 •Fait : FS3204 •type d'Us : creusement de mare •Codes : aménagement •Équivalence : 3225 •sur : 3920 ; 3717 •sous : 3915
- Us : 3206 •Fait : FS3206 •texture : limon argileux •couleur : gris •inclusions : bariolé
- Us : 3207 •Fait : FS3206 •type d'Us : creusement de fosse
- Us : 3208 •Fait : FS3208 •type d'Us : comblement de fosse avec de la terre •texture : limon argileux •couleur : brun ocre •Codes : non-anthropique
- Us : 3209 •Fait : FS3208 •type d'Us : creusement de fosse •Codes : non-anthropique
- Us : 3210 •Fait : FC3210 •type d'Us : comblement de fosse avec de la terre •texture : limon argileux •couleur : brun •inclusions : terre rubéfiée ; charbons abondants •prélèvements : céramique ; macro-faune •Codes : remblai détritique •sur : 3986 •sous : 3913
- Us : 3211 •Fait : FC3210 •type d'Us : creusement de fosse •Codes : occupation •sous : 3985
- Us : 3212 •Fait : FO3212 •Ensemble : SFO20 •type d'Us : comblement de fossé hydromorphe •texture : limon argileux •couleur : gris •inclusions : bariolé •prélèvements : céramique •Codes : sédimentation hydromorphe •Équivalence : 3450 ; 3487 ; 3878 ; 3951 ; 4049 •sur : 3936
- Us : 3213 •Fait : FO3934 •Ensemble : SFO20 •type d'Us : creusement de fossé •Codes : aménagement •Égalité : 3718 •Équivalence : 3248 ; 3520 ; 3939 ; 4050 ; 3002 ; 3618 •sur : 3201 •sous : 3921 ; 3934
- Us : 3214 •Fait : FO3201 •Ensemble : SFO26 •type d'Us : comblement de fossé hydromorphe •texture : limon argileux •couleur : gris •inclusions : nodules loessiques et calcaires erratiques •prélèvements : céramique ; macro-faune •Codes : sédimentation hydromorphe •Égalité : 4598 •Équivalence : 3897 •sur : 3215 •sous : 3201 ; 3012
- Us : 3215 •Fait : FO3201 •Ensemble : SFO26 •type d'Us : creusement de fossé •Codes : occupation •Égalité : 4599 •Équivalence : 3898 •sous : 3214
- Us : 3216 •Fait : FS3216 •type d'Us : comblement de fosse avec de la terre •texture : limon argileux •couleur : brun •Codes : chablis
- Us : 3217 •Fait : FS3216 •type d'Us : creusement de fosse •Codes : non-anthropique
- Us : 3218 •Fait : CH3218 •type d'Us : comblement de fosse avec de la terre •texture : limon argileux •couleur : brun ocre •Équivalence : 3939
- Us : 3219 •Fait : CH3218 •type d'Us : creusement de fosse
- Us : 3220 •Fait : PO3220 •Ensemble : BAT04 •type d'Us : comblement de trou de poteau •texture : limon argileux •couleur : gris •inclusions : bariolé •Codes : occupation
- Us : 3221 •Fait : PO3220 •Ensemble : BAT04 •type d'Us : creusement de trou de poteau •Codes : construction
- Us : 3222 •Fait : PO3222 •Ensemble : BAT09 •type d'Us : comblement de trou de poteau •texture : limon argileux •couleur : gris •inclusions : charbons erratiques •Codes : occupation
- Us : 3223 •Fait : PO3222 •Ensemble : BAT09 •type d'Us : creusement de trou de poteau •Codes : construction
- Us : 3224 •Fait : FS3224 •Ensemble : SFO19 •type d'Us : comblement de mare •texture : limon argileux •couleur : gris •inclusions : bariolé lie-de-vin •Codes : sédimentation hydromorphe •Équivalence : 3011 ; 3204 •sur : 3328 ; 3928
- Us : 3225 •Fait : FS3224 •Ensemble : SFO19 •type d'Us : creusement de mare •Codes : aménagement •Équivalence : 3205 •sur : 3249 •sous : 3930 ; 3931
- Us : 3226 •Fait : FS3226 •type d'Us : comblement de fosse avec de la terre •texture : limon argileux •couleur : brun ocre •Codes : non-anthropique
- Us : 3227 •Fait : FS3226 •type d'Us : creusement de fosse •Codes : non-anthropique
- Us : 3228 •Fait : FS3228 •type d'Us : comblement de fosse avec de la terre •texture : limon argileux •couleur : gris •Codes : indéterminé
- Us : 3229 •Fait : FS3228 •type d'Us : creusement de fosse •Codes : indéterminé
- Us : 3230 •Fait : FO3001 •Ensemble : SFO18 •type d'Us : creusement de fossé •Codes : réaménagement •Égalité : 3250 ; 3452 ; 3491 ; 3952 ; 4594 •Équivalence : 3935 •sur : 3231 •sous : 3001
- Us : 3231 •Fait : FO3001 •Ensemble : SFO18 •type d'Us : comblement de fossé avec de la terre •texture : limon argileux •couleur : jaune •Codes : remblai •Égalité : 3937 ; 3949 •sur : 3232 ; 3231 •sous : 3231 ; 3230
- Us : 3232 •Fait : FO3001 •Ensemble : SFO18 •type d'Us : comblement de fossé hétérogène •texture : limon argileux •couleur : jaune gris •inclusions : nodules loessiques et calcaires épars •Codes : sédimentation mixte •Égalité : 3318 ; 3950 •Équivalence : 3318 ; 3950 •sur : 3002 •sous : 3231 ; 3001
- Us : 3233 •Fait : FO3233 •Ensemble : SFO23 •type d'Us : comblement de fossé avec de la terre •texture : limon argileux •couleur : gris brun •TPQ : MOD
- Us : 3234 •Fait : FO3233 •type d'Us : creusement de fossé
- Us : 3235 •Fait : FS3235 •type d'Us : couche de remblai [us composite] •type d'Us construite : couche de remblai [us composite] •texture : limon argileux •couleur : gris brun •prélèvements : tuile ; verre •TPQ : XXe
- Us : 3236 •Fait : FS3235 •type d'Us : creusement de fosse
- Us : 3237 •Fait : FC3237 •type d'Us : comblement de fosse avec de la terre •texture : limon argileux •couleur : gris bleuté •inclusions : charbons épars •prélèvements : céramique •Codes : détritique hydromorphe •sur : 3772 •TPQ : HF •TAQ : HF
- Us : 3238 •Fait : FC3237 •type d'Us : creusement de fosse •Codes : occupation •sous : 3771
- Us : 3239 •type d'Us : comblement de fossé avec de la terre •texture : limon argileux •couleur : brun beige
- Us : 3240 •type d'Us : creusement de fossé
- Us : 3241 •Fait : FS3241 •type d'Us : couches de remblais hétérogènes •texture : limon argileux •couleur : brun •inclusions : motte de loess •TPQ : XXe
- Us : 3242 •Fait : FS3241 •type d'Us : creusement de fosse
- Us : 3243 •Fait : CH3243 •type d'Us : comblement de fosse avec de la terre •texture : limon argileux •couleur : brun ocre clair
- Us : 3244 •Fait : CH3243 •type d'Us : creusement de fosse
- Us : 3245 •Fait : TR3245 •type d'Us : comblement de fosse avec de la terre •texture : limon argileux •couleur : gris •inclusions : cendres ; charbons erratiques ; terre rubéfiée •Codes : abandon
- Us : 3246 •Fait : TR3245 •type d'Us : creusement de fosse •Codes : construction
- Us : 3247 •Fait : FO3249 •Ensemble : SFO17 •type d'Us : comblement de fossé avec de la terre •texture : limon argileux •couleur : brun gris •inclusions : nodules loessiques et calcaires épars •prélèvements : céramique ; scorie •Codes : remblai •Égalité : 3249 ; 3519 ; 3617 ; 4483 •Équivalence : 3001 ; 3902 •sur : 3450 ; 3951
- Us : 3248 •Fait : FO3247 •Ensemble : SFO17 •type d'Us : creusement de fossé •Codes : aménagement •Égalité : 3520 ; 3939 ; 4050 ; 3002 •Équivalence : 3213 ; 3718 •sous : 3950
- Us : 3249 •Fait : FO3249 •Ensemble : SFO20 •type d'Us : comblement de fossé avec de la terre •texture : limon argileux •couleur : brun gris •inclusions : nodules loessiques et calcaires épars •prélèvements : céramique ; scorie •Codes : remblai •description : Possible recréusement ou curage entre 3450 et 3249. •Égalité : 3247 ; 3519 ; 4483 •Équivalence : 3902 •sur : 3450 ; 3951 •sous : 3937 ; 3946 ; 3225
- Us : 3250 •Fait : FO3617 •Ensemble : SFO18 •type d'Us : creusement de fossé •Codes : réaménagement •Égalité : 3230 ; 3452 ; 3491 ; 3952 ; 4594 •Équivalence : 3935 •sur : 3937 •sous : 3967
- Us : 3251 •Fait : FS3251 •type d'Us : comblement de fosse avec de la terre •texture : limon argileux •couleur : brun ocre •Codes : non-anthropique

ZAC de la Pyramide Lot C1, Lieusaint, Ville Nouvelle de Sénart (77), fouille 15-07/04-10-2002
Inventaire des Us

- Us : 3252 •Fait : FS3251 •type d'Us : creusement de fosse •Codes : non-anthropique
- Us : 3253 •Fait : FS3253 •type d'Us : comblement de fosse avec de la terre •texture : limon argileux •couleur : brun ocre •Codes : non-anthropique
- Us : 3254 •Fait : FS3253 •type d'Us : creusement de fosse •Codes : non-anthropique
- Us : 3255 •Fait : CH3255 •type d'Us : comblement de fosse avec de la terre •texture : limon argileux •couleur : brun ocre
- Us : 3256 •Fait : CH3255 •type d'Us : creusement de fosse
- Us : 3257 •Fait : CH3257 •type d'Us : comblement de fosse avec de la terre •texture : limon argileux •couleur : brun ocre
- Us : 3258 •Fait : CH3257 •type d'Us : creusement de fosse
- Us : 3259 •Fait : CH3259 •type d'Us : comblement de fosse avec de la terre •texture : limon argileux •couleur : brun ocre
- Us : 3260 •Fait : CH3259 •type d'Us : creusement de fosse
- Us : 3261 •Fait : FS3261 •type d'Us : comblement de fosse avec de la terre •texture : limon argileux •couleur : brun ocre •Codes : non-anthropique
- Us : 3262 •Fait : FS3261 •type d'Us : creusement de fosse •Codes : non-anthropique
- Us : 3263 •Fait : FS3263 •type d'Us : comblement de fosse avec de la terre •texture : limon argileux •couleur : brun ocre •Codes : non-anthropique
- Us : 3264 •Fait : FS3263 •type d'Us : creusement de fosse •Codes : non-anthropique
- Us : 3265 •Fait : FS3265 •type d'Us : comblement de fosse avec de la terre •texture : limon argileux •couleur : brun •Codes : non-anthropique
- Us : 3266 •Fait : FS3265 •type d'Us : creusement de fosse •Codes : non-anthropique
- Us : 3267 •Fait : CH3267 •type d'Us : comblement de fosse avec de la terre •texture : limon argileux •couleur : brun ocre
- Us : 3268 •Fait : CH3267 •type d'Us : creusement de fosse
- Us : 3269 •Fait : FS3269 •type d'Us : comblement de fosse avec de la terre •texture : limon argileux •couleur : brun ocre •Codes : non-anthropique
- Us : 3270 •Fait : FS3269 •type d'Us : creusement de fosse •Codes : non-anthropique
- Us : 3271 •Fait : FS3271 •type d'Us : comblement de fosse avec de la terre •texture : limon argileux •couleur : brun ocre •Codes : non-anthropique
- Us : 3272 •Fait : FS3271 •type d'Us : creusement de fosse •Codes : non-anthropique
- Us : 3273 •Fait : CH3273 •type d'Us : comblement de fosse avec de la terre •texture : limon argileux •couleur : brun ocre
- Us : 3274 •Fait : CH3273 •type d'Us : creusement de fosse
- Us : 3275 •Fait : CH3275 •type d'Us : comblement de fosse avec de la terre •texture : limon argileux •couleur : brun ocre
- Us : 3276 •Fait : CH3275 •type d'Us : creusement de fosse
- Us : 3277 •Fait : FS3277 •type d'Us : comblement de fosse avec de la terre •texture : limon argileux •couleur : gris •inclusions : bariolé •Codes : indéterminé
- Us : 3278 •Fait : FS3277 •type d'Us : creusement de fosse •Codes : indéterminé
- Us : 3279 •Fait : CH3279 •type d'Us : comblement de fosse avec de la terre •texture : limon argileux •couleur : brun ocre
- Us : 3280 •Fait : CH3279 •type d'Us : creusement de fosse
- Us : 3281 •Fait : FS3281 •type d'Us : comblement de fosse •texture : limon argileux •couleur : brun gris •inclusions : cendres ; charbons abondants ; fragments rubéfiés épars •prélèvements : céramique ; macro-faune •Codes : remblai détritique •sur : 3975 •TPQ : HF •TAQ : HF
- Us : 3282 •Fait : FS3281 •type d'Us : creusement de fosse •Codes : occupation •sous : 3975
- Us : 3283 •Fait : CH3283 •type d'Us : comblement de fosse avec de la terre •texture : limon argileux •couleur : brun ocre
- Us : 3284 •Fait : CH3283 •type d'Us : creusement de fosse
- Us : 3285 •Fait : FS3285 •Ensemble : FOS13 •type d'Us : comblement de type vidange de foyer/dépotoir •texture : limon argileux •couleur : gris •inclusions : cendres ; charbons abondants •prélèvements : céramique ; macro-faune ; pierres brûlées •Codes : détritique hydromorphe •sur : 3776 •sous : 3791 •TPQ : HF •TAQ : HF
- Us : 3286 •Fait : FS3285 •Ensemble : FOS13 •type d'Us : creusement de fosse •sur : 3817 ; 3850 •sous : 3816
- Us : 3287 •Fait : FC3287 •Ensemble : FOS13 •type d'Us : comblement de fosse avec de la terre •texture : limon argileux •couleur : gris •inclusions : charbons abondants ; fragments rubéfiés erratiques •prélèvements : macro-faune ; céramique •Codes : remblai détritique •sur : 3800
- Us : 3288 •Fait : FC3287 •type d'Us : creusement de fosse •Codes : occupation •sous : 3804
- Us : 3289 •Fait : CH3289 •type d'Us : comblement de fosse avec de la terre •texture : limon argileux •couleur : brun ocre
- Us : 3290 •Fait : CH3289 •type d'Us : creusement de fosse
- Us : 3291 •Fait : CH3291 •type d'Us : comblement de fosse avec de la terre •texture : limon argileux •couleur : brun ocre
- Us : 3292 •Fait : CH3291 •type d'Us : creusement de fosse
- Us : 3293 •Fait : CH3293 •type d'Us : comblement de fosse avec de la terre •texture : limon argileux •couleur : brun ocre
- Us : 3294 •Fait : CH3293 •type d'Us : creusement de fosse
- Us : 3295 •Fait : PO3295 •Ensemble : BAT01 •type d'Us : comblement de trou de poteau avec de la terre •texture : limon argileux •couleur : gris brun •inclusions : terre rubéfiée •prélèvements : céramique •Codes : occupation
- Us : 3296 •Fait : PO3295 •Ensemble : BAT01 •type d'Us : creusement de trou de poteau •Codes : construction
- Us : 3297 •Fait : PO3297 •Ensemble : BAT01 •type d'Us : comblement de trou de poteau avec de la terre •texture : limon argileux •couleur : gris •inclusions : terre rubéfiée •Codes : occupation •description : POTEAU DE BATIMENT 1
- Us : 3298 •Fait : PO3297 •Ensemble : BAT01 •type d'Us : creusement de trou de poteau •Codes : construction
- Us : 3299 •Fait : PO3299 •Ensemble : BAT01 •type d'Us : comblement de trou de poteau avec de la terre •texture : limon argileux •couleur : gris brun •prélèvements : céramique •Codes : occupation
- Us : 3300 •Fait : PO3299 •Ensemble : BAT01 •type d'Us : creusement de trou de poteau •Codes : construction
- Us : 3301 •Fait : CH3301 •type d'Us : comblement et creusement de chablis •texture : limon argileux •couleur : brun ocre
- Us : 3302 •Fait : FS3204 •type d'Us : creusement de mare •Codes : réaménagement •Equivalence : 3868 ; 3932 •sur : 3884 •sous : 3883
- Us : 3303 •Fait : CH3303 •type d'Us : comblement et creusement de chablis •texture : limon argileux •couleur : brun ocre
- Us : 3304 •Fait : FS3888 •type d'Us : comblement de fosse hydromorphe •texture : limon argileux •couleur : gris clair •Codes : sédimentation naturelle •sur : 3888 •sous : 3185
- Us : 3305 •Fait : FC3305 •type d'Us : comblement de fosse avec de la terre •texture : limon argileux •couleur : gris bleuté •inclusions : charbons ; cendres •prélèvements : céramique ; macro-faune •Codes : détritique hydromorphe •sur : 3765 •sous : 3970 •TPQ : HF •TAQ : HF
- Us : 3306 •Fait : FC3305 •type d'Us : creusement de fosse •Codes : occupation •sous : 3766
- Us : 3307 •Fait : PO3307 •Ensemble : BAT01 •type d'Us : comblement de trou de poteau avec de la terre •texture : limon argileux •couleur : gris •inclusions : nodules de terre rubéfiée erratiques •Codes : occupation
- Us : 3308 •Fait : PO3307 •Ensemble : BAT01 •type d'Us : creusement de trou de poteau •Codes : construction
- Us : 3309 •Fait : PO3309 •Ensemble : BAT01 •type d'Us : comblement de trou de poteau •texture : limon argileux •couleur : gris beige •Codes : occupation
- Us : 3310 •Fait : PO3309 •Ensemble : BAT01 •type d'Us : creusement de trou de poteau •Codes : construction
- Us : 3311 •Fait : PO3311 •Ensemble : BAT01 •type d'Us : comblement de trou de poteau •texture : limon argileux •couleur : gris •inclusions : pierre •Codes : occupation
- Us : 3312 •Fait : PO3311 •Ensemble : BAT01 •type d'Us : creusement de trou de poteau •Codes : construction
- Us : 3313 •Fait : FS3313 •type d'Us : comblement de type vidange de foyer/dépotoir •texture : limon argileux •couleur : gris •inclusions : pierres chauffées erratiques •prélèvements : céramique •Codes : indéterminé
- Us : 3314 •Fait : FS3313 •type d'Us : creusement de fosse •Codes : indéterminé
- Us : 3315 •Fait : CH3315 •type d'Us : comblement et creusement de chablis •texture : limon argileux •couleur : brun beige
- Us : 3316
- Us : 3317 •Fait : CH3317 •type d'Us : comblement et creusement de chablis •texture : limon argileux •couleur : brun beige
- Us : 3318 •Fait : FO3617 •Ensemble : SFO18 •type d'Us : comblement de fossé hydromorphe •texture : limon argileux •couleur : gris clair •inclusions : nodules loessiques et calcaires épars •Codes : sédimentation hydromorphe •Égalité : 3232 ; 3454 ; 3940 ; 3950 ; 4480 •Equivalence : 3934 ; 3942 ; 3232 •sur : 3618 •sous : 3937
- Us : 3319 •Fait : FS3319 •type d'Us : comblement de fosse avec de la terre •texture : limon argileux •couleur : brun •Codes : chablis
- Us : 3320 •Fait : FS3319 •type d'Us : creusement de fosse •Codes : non-anthropique

•Us : 3321 •Fait : FS3321 •type d'Us : comblement de fosse avec de la terre •texture : limon argileux •couleur : brun gris •Codes : indéterminé

•Us : 3322 •Fait : FS3321 •type d'Us : creusement de fosse •Codes : indéterminé

•Us : 3323 •Fait : CH3323 •type d'Us : comblement de fosse avec de la terre •texture : limon argileux •couleur : gris brun

•Us : 3324 •Fait : CH3323 •type d'Us : creusement de fosse

•Us : 3325 •Fait : CH3325 •type d'Us : comblement de fosse avec de la terre •texture : limon argileux •couleur : brun ocre

•Us : 3326 •Fait : CH3325 •type d'Us : creusement de fosse

•Us : 3327 •Fait : FS3327 •type d'Us : comblement de fosse avec de la terre •texture : limon argileux •couleur : gris brun •Codes : indéterminé

•Us : 3328 •Fait : FS3327 •type d'Us : creusement de fosse •Codes : indéterminé •sous : 3224

•Us : 3329 •Fait : FS3329 •type d'Us : comblement de fosse avec de la terre •texture : limon argileux •couleur : brun ocre •Codes : non-anthropique

•Us : 3330 •Fait : FS3329 •type d'Us : creusement de fosse •Codes : non-anthropique

•Us : 3331 •Fait : FO3331 •Ensemble : SFO15 •type d'Us : comblement de fossé hydromorphe •texture : limon argileux •couleur : gris •Codes : sédimentation hydromorphe •Equivalence : 3015 ; 3365 •sur : 3332

•Us : 3332 •Fait : FO3331 •Ensemble : SFO15 •type d'Us : creusement de fossé •Codes : aménagement •Equivalence : 3016 ; 3366 •sur : 3333 •sous : 3331

•Us : 3333 •Fait : FS3333 •type d'Us : comblement de fosse •texture : limon argileux •couleur : brun •inclusions : cendres ; charbons abondants •prélèvements : céramique ; macro-faune •Codes : remblai détritique •sur : 3760 •sous : 3332 •TPQ : HF •TAQ : HF

•Us : 3334 •Fait : FS3333 •type d'Us : creusement de fosse •Codes : occupation •sous : 3760

•Us : 3335 •Fait : FS3335 •type d'Us : comblement de fosse avec de la terre •texture : limon argileux •couleur : beige gris •inclusions : bariolé •Codes : indéterminé

•Us : 3336 •Fait : FS3335 •type d'Us : creusement de fosse •Codes : indéterminé

•Us : 3337 •Fait : FS3337 •type d'Us : comblement de fosse avec de la terre •texture : limon argileux •couleur : brun ocre •inclusions : bariolé •Codes : indéterminé

•Us : 3338 •Fait : FS3337 •type d'Us : creusement de fosse •Codes : indéterminé

•Us : 3339 •Fait : PO3339 •Ensemble : BAT03 •type d'Us : comblement de trou de poteau •texture : limon argileux •couleur : gris moyen •Codes : occupation

•Us : 3340 •Fait : PO3339 •Ensemble : BAT03 •type d'Us : creusement de trou de poteau •Codes : construction

•Us : 3341 •Fait : PO3341 •Ensemble : BAT03 •type d'Us : comblement de trou de poteau •texture : limon argileux •couleur : gris moyen •Codes : occupation

•Us : 3342 •Fait : PO3341 •Ensemble : BAT03 •type d'Us : creusement de trou de poteau •Codes : construction

•Us : 3343 •Fait : PO3343 •Ensemble : BAT03 •type d'Us : comblement de trou de poteau •texture : limon argileux •couleur : gris moyen •Codes : occupation

•Us : 3344 •Fait : PO3343 •Ensemble : BAT03 •type d'Us : creusement de trou de poteau •Codes : construction

•Us : 3345 •Fait : PO3345 •Ensemble : BAT03 •type d'Us : comblement de trou de poteau •texture : limon argileux •couleur : gris moyen •Codes : occupation

•Us : 3346 •Fait : PO3345 •Ensemble : BAT03 •type d'Us : creusement de trou de poteau •Codes : construction

•Us : 3347 •Fait : FS3347 •type d'Us : comblement de fosse avec de la terre •texture : limon argileux •couleur : gris •Codes : indéterminé

•Us : 3348 •Fait : FS3347 •type d'Us : creusement de fosse •Codes : indéterminé

•Us : 3349 •Fait : CH3349 •type d'Us : comblement de fosse avec de la terre •texture : limon argileux •couleur : brun ocre

•Us : 3350 •Fait : CH3349 •type d'Us : creusement de fosse

•Us : 3351 •Fait : FS3351 •type d'Us : comblement de fosse avec de la terre •texture : limon argileux •couleur : brun beige •Codes : indéterminé

•Us : 3352 •Fait : FS3351 •type d'Us : creusement de fosse •Codes : indéterminé

•Us : 3353 •Fait : FS3353 •type d'Us : comblement de fosse avec de la terre •texture : limon argileux •couleur : brun •Codes : indéterminé

•Us : 3354 •Fait : FS3353 •type d'Us : creusement de fosse •Codes : indéterminé

•Us : 3355 •Fait : PO3355 •Ensemble : BAT02 •type d'Us : comblement de trou de poteau •texture : limon argileux •couleur : gris •inclusions : nodules de terre rubéfiée erratiques •Codes : occupation

•Us : 3356 •Fait : PO3355 •Ensemble : BAT02 •type d'Us : creusement de trou de poteau •Codes : construction

•Us : 3357 •Fait : FS3357 •type d'Us : comblement de fosse avec de la terre •texture : limon argileux •couleur : gris •inclusions : charbons erratiques •Codes : indéterminé

•Us : 3358 •Fait : FS3357 •type d'Us : creusement de fosse •Codes : indéterminé

•Us : 3359 •Fait : FS3359 •type d'Us : comblement de fosse avec de la terre •texture : limon argileux •couleur : gris brun •Codes : indéterminé

•Us : 3360 •Fait : FS3359 •type d'Us : creusement de fosse •Codes : indéterminé

•Us : 3361 •type d'Us : comblement de fosse avec de la terre •texture : limon argileux •couleur : beige foncé •inclusions : bariolé

•Us : 3362 •type d'Us : creusement de fosse

•Us : 3363 •Fait : PO3363 •Ensemble : BAT10 •type d'Us : comblement de trou de poteau •texture : limon argileux •couleur : gris •Codes : occupation

•Us : 3364 •Fait : PO3363 •Ensemble : BAT10 •type d'Us : creusement de trou de poteau •Codes : construction

•Us : 3365 •Fait : FO3365 •Ensemble : SFO15 •type d'Us : comblement de fossé hydromorphe •texture : limon argileux •couleur : gris •inclusions : nodules de terre rubéfiée erratiques •Codes : sédimentation hydromorphe •Equivalence : 3331 ; 3701 •sur : 3366

•Us : 3366 •Fait : FO3365 •Ensemble : SFO15 •type d'Us : creusement de fossé •Codes : aménagement •Equivalence : 3332 ; 3702 •sous : 3365

•Us : 3367 •Fait : CH3367 •type d'Us : comblement de fosse avec de la terre •texture : limon argileux •couleur : brun ocre

•Us : 3368 •Fait : CH3367 •type d'Us : creusement de fosse

•Us : 3369 •Fait : CH3369 •type d'Us : comblement de fosse avec de la terre •texture : limon argileux •couleur : brun ocre

•Us : 3370 •Fait : CH3369 •type d'Us : creusement de fosse

•Us : 3371 •Fait : CH3371 •type d'Us : comblements de chablis •description : a : limon argileux gris b : limon argileux brun orangé bariolé c : loess jaune à blanchâtre remanié d : limon argileux gris à brun

•Us : 3372 •Fait : CH3371 •type d'Us : creusement de chablis

•Us : 3373 •Fait : PO3373 •Ensemble : BAT02 •type d'Us : comblement de trou de poteau •texture : limon argileux •couleur : gris •inclusions : bariolé •Codes : occupation

•Us : 3374 •Fait : PO3373 •Ensemble : BAT02 •type d'Us : creusement de trou de poteau •Codes : construction

•Us : 3375 •Fait : CH3375 •type d'Us : comblement de fosse avec de la terre •texture : limon argileux •couleur : brun gris

•Us : 3376 •Fait : CH3375 •type d'Us : creusement de chablis

•Us : 3377 •Fait : PO3377 •Ensemble : BAT10 •type d'Us : comblement de trou de poteau •texture : limon argileux •couleur : gris •Codes : occupation

•Us : 3378 •Fait : PO3377 •Ensemble : BAT10 •type d'Us : creusement de trou de poteau

•Us : 3379 •Fait : PO3379 •Ensemble : BAT02 •type d'Us : comblement de trou de poteau •texture : limon argileux •couleur : gris •Codes : occupation

•Us : 3380 •Fait : PO3379 •Ensemble : BAT02 •type d'Us : creusement de trou de poteau •Codes : construction

•Us : 3381 •Fait : PO3381 •Ensemble : BAT02 •type d'Us : comblement de trou de poteau •texture : limon argileux •couleur : gris •inclusions : bariolé •Codes : occupation

•Us : 3382 •Fait : PO3381 •Ensemble : BAT02 •type d'Us : creusement de trou de poteau •Codes : construction

•Us : 3383 •Fait : FS3383 •type d'Us : comblement de fosse avec de la terre •texture : limon argileux •couleur : gris brun ocre •prélèvements : tuile ; verre •Codes : indéterminé •TPQ : XXe

•Us : 3384 •Fait : FS3383 •type d'Us : creusement de fosse •Codes : indéterminé

•Us : 3385 •Fait : CH3385 •type d'Us : comblement de fosse avec de la terre •texture : limon argileux •couleur : brun-rouge moyen

•Us : 3386 •Fait : CH3385 •type d'Us : creusement de chablis

•Us : 3387 •Fait : FC3387 •type d'Us : comblement de fosse avec de la terre •texture : limon argileux •couleur : gris clair •inclusions : pierres chauffées erratiques ; nodules de calcaire erratiques ; bariolé rouille ; charbons abondants •prélèvements : céramique •Codes : détritique hydromorphe •sur : 3763 •TPQ : HF •TAQ : HF

•Us : 3388 •Fait : FC3387 •type d'Us : creusement de fosse •Codes : occupation •sous : 3805

•Us : 3389 •Fait : FO3389 •Ensemble : SFO14 •type d'Us : comblement de fossé avec de la terre •texture : limon argileux •couleur : brun ocre •prélèvements : macro-faune •TPQ : MOD

•Us : 3390 •Fait : FO3389 •type d'Us : creusement de fossé

•Us : 3391 •Fait : CH3391 •type d'Us : comblement de fosse avec de la terre •texture : limon argileux •couleur : brun clair •inclusions : bariolé

ZAC de la Pyramide Lot C1, Lieusaint, Ville Nouvelle de Sénart (77), fouille 15-07/04-10-2002
Inventaire des Us

- Us : 3392 •Fait : CH3391 •type d'Us : creusement de chablis
- Us : 3393 •Fait : CH3393 •type d'Us : comblement de fosse avec de la terre •texture : limon argileux •couleur : non-enregistré •Codes : chablis
- Us : 3394 •Fait : CH3393 •type d'Us : creusement de fosse •Codes : chablis
- Us : 3395 •Fait : CH3395 •type d'Us : comblement de fosse avec de la terre •couleur : non-enregistré •Codes : chablis
- Us : 3396 •Fait : CH3395 •type d'Us : creusement de fosse •Codes : chablis
- Us : 3397 •Fait : CH3397 •type d'Us : comblement de fosse avec de la terre •texture : limon argileux •couleur : brun orangé •inclusions : charbon •prélèvements : céramique •Codes : chablis
- Us : 3398 •Fait : CH3397 •type d'Us : creusement de chablis •Codes : chablis
- Us : 3399 •Fait : FS3399 •type d'Us : comblement de fosse avec de la terre •texture : limon argileux •couleur : gris ocre •Codes : indéterminé
- Us : 3400 •Fait : FS3399 •type d'Us : creusement de fosse •Codes : indéterminé
- Us : 3401 •Fait : FS3401 •type d'Us : comblement de fosse •texture : limon argileux •couleur : gris •inclusions : charbons •prélèvements : céramique ; malaco ; silex taillés •Codes : indéterminé
- Us : 3402 •Fait : FS3401 •type d'Us : creusement de fosse •Codes : indéterminé
- Us : 3403 •Fait : FS3403 •type d'Us : comblement de fosse •texture : limon argileux •couleur : gris ocre •inclusions : charbons éparés •Codes : indéterminé
- Us : 3404 •Fait : FS3403 •type d'Us : creusement de fosse •Codes : indéterminé
- Us : 3405 •Fait : FS3405 •type d'Us : comblement de fosse •texture : limon argileux •couleur : gris ocre •Codes : non-anthropique
- Us : 3406 •Fait : FS3405 •type d'Us : creusement de fosse •Codes : non-anthropique
- Us : 3407 •Fait : FS3407 •type d'Us : comblement de fosse hétérogène •texture : limon argileux •couleur : gris foncé •inclusions : nodules de terre rubéfiée •prélèvements : verre ; tuile •Codes : indéterminé •TPQ : XXe
- Us : 3408 •Fait : FS3407 •type d'Us : creusement de fosse •Codes : indéterminé
- Us : 3409 •Fait : CH3409 •type d'Us : comblement de fosse avec de la terre •texture : limon argileux •couleur : brun gris •Codes : chablis
- Us : 3410 •Fait : CH3409 •type d'Us : creusement de chablis •Codes : chablis
- Us : 3411 •Fait : FS3411 •type d'Us : comblement de fosse hétérogène •texture : limon argileux •couleur : gris moyen •inclusions : pierres chauffées erratiques •prélèvements : tuile ; céramique •Codes : indéterminé
- Us : 3412 •Fait : FS3411 •type d'Us : creusement de fosse •Codes : indéterminé
- Us : 3413 •Fait : CH3413 •type d'Us : comblement et creusement de chablis •texture : limon argileux •couleur : gris •inclusions : bariolé ; pierres chauffées erratiques •Codes : chablis
- Us : 3414 •Fait : FS3567 •type d'Us : comblement de fosse •texture : limon argileux •couleur : brun gris foncé •inclusions : charbons abondants ; cailloutis erratique ; mottes de terre rubéfiée erratiques •prélèvements : céramique •Codes : occupation •sur : 3420 •sous : 3752
- Us : 3415 •Fait : FS3415 •type d'Us : comblement de fosse avec de la terre •texture : limon argileux •couleur : brun •Codes : non-anthropique
- Us : 3416 •Fait : FS3415 •type d'Us : creusement de fosse •Codes : non-anthropique
- Us : 3417 •Fait : FS3417 •type d'Us : comblement de fosse avec de la terre •texture : limon argileux •couleur : brun ocre •Codes : non-anthropique
- Us : 3418 •Fait : FS3417 •type d'Us : creusement de fosse •Codes : non-anthropique
- Us : 3419 •Fait : CH3419 •type d'Us : comblement et creusement de chablis •texture : limon argileux •couleur : brun ocre •inclusions : pierres chauffées erratiques •Codes : chablis
- Us : 3420 •Fait : FS3567 •type d'Us : comblement de fosse hétérogène •texture : limon argileux •couleur : gris moyen •inclusions : mottes de terre rubéfiée erratiques ; charbons abondants •prélèvements : céramique •Codes : sédimentation mixte •sur : 3568 •sous : 3414
- Us : 3421 •Fait : CH3421 •type d'Us : comblement et creusement de chablis •texture : limon argileux •couleur : brun orangé •inclusions : bariolé •Codes : chablis
- Us : 3422 •Fait : FS3571 •type d'Us : comblement de fosse •texture : limon argileux •couleur : gris foncé •prélèvements : macro-faune •Codes : colluvions •description : Colluvionnement des Us3414 et 3420 de la FS3567 sur le fond de la FS3571.
- Us : 3423 •Fait : CH3423 •type d'Us : comblement et creusement de chablis •texture : limon argileux •couleur : brun orangé •Codes : chablis
- Us : 3424 •Fait : FS3567 •type d'Us : comblement de fosse •texture : limon argileux •couleur : brun gris •inclusions : charbons abondants •prélèvements : céramique ; macro-faune •Codes : sédimentation mixte •sur : 3752 •sous : 3567
- Us : 3425 •Fait : PO3425 •Ensemble : BAT02 •type d'Us : comblement de trou de poteau •texture : limon argileux •couleur : brun ocre •Codes : occupation
- Us : 3426 •Fait : PO3425 •Ensemble : BAT02 •type d'Us : creusement de trou de poteau •Codes : construction
- Us : 3427 •Fait : CH3427 •type d'Us : comblement de fosse avec de la terre •texture : limon argileux •couleur : gris brun orangé •inclusions : bariolé •Codes : chablis
- Us : 3428 •Fait : CH3427 •type d'Us : creusement de chablis •Codes : chablis
- Us : 3429 •Fait : CH3429 •type d'Us : comblement de fosse avec de la terre •texture : limon argileux •couleur : brun gris orangé •Codes : chablis
- Us : 3430 •Fait : CH3429 •type d'Us : creusement de fosse •Codes : chablis
- Us : 3431 •Fait : PO3431 •Ensemble : BAT02 •type d'Us : comblement de trou de poteau •texture : limon argileux •couleur : gris moyen •prélèvements : céramique •Codes : occupation
- Us : 3432 •Fait : PO3431 •Ensemble : BAT02 •type d'Us : creusement de trou de poteau •Codes : construction
- Us : 3432 •type d'Us : creusement de trou de poteau
- Us : 3433 •Fait : FC3433 •type d'Us : comblement de fosse avec de la terre •texture : cendro-charbonneux •couleur : gris noir •inclusions : fragments rubéfiés éparés •prélèvements : céramique ; macro-faune •Codes : remblai détritique •sur : 3833 •TPQ : HF •TAQ : HF
- Us : 3434 •Fait : FC3433 •type d'Us : creusement de fosse •Codes : occupation •sous : 3773
- Us : 3435 •Fait : PO3435 •Ensemble : BAT02 •type d'Us : comblement de trou de poteau •texture : limon argileux •couleur : gris •Codes : occupation
- Us : 3436 •Fait : PO3435 •Ensemble : BAT02 •type d'Us : creusement de trou de poteau •Codes : construction
- Us : 3437 •Fait : TE3437 •type d'Us : comblement de fosse avec de la terre •texture : limon argileux •couleur : gris brun •inclusions : bariolé •Codes : terrier
- Us : 3438 •Fait : TE3437 •type d'Us : creusement de fosse •Codes : terrier
- Us : 3439 •Fait : FS3439 •type d'Us : comblement de fosse •texture : limon argileux •couleur : gris •inclusions : charbons erratiques ; nodules de terre rubéfiée erratiques ; charbons abondants •prélèvements : céramique ; os ; pierre chauffée •Codes : détritique hydromorphe •sur : 3782 •TPQ : HF •TAQ : HF
- Us : 3440 •Fait : FS3439 •type d'Us : creusement de fosse •Codes : occupation •sous : 3782
- Us : 3441 •Fait : TE3441 •type d'Us : comblement de fosse avec de la terre •texture : limon argileux •couleur : brun orangé blanchi •Codes : terrier •Égalité : 3441=3439
- Us : 3442 •Fait : TE3441 •type d'Us : creusement de fosse •Codes : terrier
- Us : 3443 •Fait : CH3443 •type d'Us : comblement de fosse avec de la terre •texture : limon argileux •couleur : gris •Codes : chablis
- Us : 3444 •Fait : CH3443 •type d'Us : creusement de fosse •Codes : chablis
- Us : 3445 •Fait : CH3445 •type d'Us : comblement et creusement de chablis •texture : limon argileux •couleur : brun •inclusions : bariolé •Codes : chablis
- Us : 3446 •Fait : FO3249 •Ensemble : SFO20 •type d'Us : comblement de fossé avec de la terre •texture : limon argileux •couleur : brun gris orangé •inclusions : bariolé •Codes : indéterminé •description : Recreusement ou curage possible entre 3446 et 3450 ? •Égalité : 3753 ; 3948 ; 4478 ; 3967 •Equivalence : 3936 •sur : 3452 •sous : 3450
- Us : 3447 •Fait : FO3447 •Ensemble : SFO28 •type d'Us : comblement de fossé avec de la terre •texture : limon argileux •couleur : brun moyen
- Us : 3448 •Fait : FO3447 •Ensemble : SFO28 •type d'Us : creusement de fossé
- Us : 3449 •Fait : CH3449 •type d'Us : comblement et creusement de fosse •texture : limon argileux •couleur : brun moyen •inclusions : bariolé •Codes : chablis
- Us : 3450 •Fait : FO3249 •Ensemble : SFO20 •type d'Us : comblement de fossé hydromorphe •texture : limon argileux •couleur : gris •inclusions : bariolé •prélèvements : céramique ; macro-faune •Codes : comblement hydromorphe •description : Possible recreusement ou curage entre 3450 et 3249. •Égalité : 3487 ; 3951 ; 4049 •Equivalence : 3212 ; 3878 •sur : 3446 •sous : 3249 ; 3247
- Us : 3451 •Fait : CH3451 •type d'Us : comblement et creusement de fosse •texture : limon argileux •couleur : brun moyen •inclusions : bariolé •Codes : chablis
- Us : 3452 •Fait : FO3249 •Ensemble : SFO20 •type d'Us : creusement de fossé •Codes : réaménagement •Égalité : 3491 ; 3952 ; 4594 •Equivalence : 3935 •sur : 3943 •sous : 3446
- Us : 3453 •Fait : CH3453 •type d'Us : comblement et creusement de fosse •texture : limon argileux •couleur : brun •inclusions : bariolé •Codes : chablis
- Us : 3454 •Fait : FS3519 •type d'Us : comblement de mare •texture : limon argileux •couleur : gris foncé •inclusions : nodules loessiques et calcaires erratiques ; escargots lacustres erratiques •Codes : sédimentation hydromorphe •Égalité : 3940 ; 3950 ; 4480 •Equivalence : 3934 ; 3942 •sur : 3520 •sous : 3490
- Us : 3455 •Fait : CH3455 •type d'Us : comblement de fosse avec de la terre •texture : limon argileux •couleur : brun clair •Codes : chablis
- Us : 3456 •Fait : CH3455 •type d'Us : creusement de fosse •Codes : chablis

•Us : 3457 •Fait : FS3457 •type d'Us : comblement de fosse •texture : limon argileux •couleur : gris •inclusions : bariolé ; cailloutis ; nodules de terre rubéfiée erratiques ; charbons abondants ; gravillons •prélèvements : céramique •Codes : remblai détritique •TPQ : HF

•Us : 3458 •Fait : FS3457 •type d'Us : creusement de fosse •Codes : occupation

•Us : 3459 •Fait : FS3459 •type d'Us : comblement de fosse avec de la terre •texture : limon argileux •couleur : brun ocre clair •Codes : non-anthropique

•Us : 3460 •Fait : FS3459 •type d'Us : creusement de fosse •Codes : non-anthropique

•Us : 3461 •Fait : FO3461 •Ensemble : SFO28 •type d'Us : comblement de fossé avec de la terre •texture : limon argileux •couleur : brun ocre •inclusions : bariolé

•Us : 3462 •Fait : FO3461 •Ensemble : SFO28 •type d'Us : creusement de fossé •sur : 3015

•Us : 3463 •Fait : PO3895 •type d'Us : creusement de trou de poteau

•Us : 3464 •Fait : PO3894 •Ensemble : BAT09 •type d'Us : creusement de trou de poteau •Codes : occupation

•Us : 3465 •Fait : PO3465 •Ensemble : BAT04 •type d'Us : comblement de trou de poteau •texture : limon argileux •couleur : gris brun ocre clair •Codes : occupation •description : Us 3465 RECOUPE Us 3998 PO BAT04 •Equivalence : 3998 •sur : 3466

•Us : 3466 •Fait : PO3465 •Ensemble : BAT04 •type d'Us : creusement de trou de poteau •Codes : construction •sous : 3465 3998

•Us : 3467 •Fait : PO3467 •Ensemble : BAT04 •type d'Us : comblement de trou de poteau •texture : limon argileux •couleur : brun gris moyen •inclusions : charbons erratiques •Codes : occupation

•Us : 3468 •Fait : PO3467 •Ensemble : BAT04 •type d'Us : creusement de trou de poteau •Codes : construction

•Us : 3469 •Fait : PO3469 •Ensemble : BAT04 •type d'Us : comblement de trou de poteau •texture : limon argileux •couleur : gris brun ocre •inclusions : charbons erratiques •prélèvements : céramique •Codes : occupation

•Us : 3470 •Fait : PO3469 •Ensemble : BAT04 •type d'Us : creusement de trou de poteau •Codes : construction

•Us : 3471 •Fait : PO3471 •Ensemble : BAT04 •type d'Us : comblement de trou de poteau •texture : limon argileux •couleur : gris brun •inclusions : bariolé ; charbons erratiques •Codes : occupation

•Us : 3472 •Fait : PO3471 •Ensemble : BAT04 •type d'Us : creusement de trou de poteau •Codes : construction

•Us : 3473 •Fait : PO3473 •Ensemble : BAT04 •type d'Us : comblement de trou de poteau •texture : limon argileux •couleur : gris brun moyen •inclusions : charbons erratiques ; nodules de calcaire erratiques •prélèvements : céramique ; silex taillés •Codes : occupation

•Us : 3474 •Fait : PO3473 •Ensemble : BAT04 •type d'Us : creusement de trou de poteau •Codes : construction

•Us : 3475 •Fait : TR3475 •Ensemble : BAT04 •type d'Us : comblement de fosse avec de la terre •texture : limon argileux •couleur : brun gris ocre •Codes : occupation

•Us : 3476 •Fait : TR3475 •Ensemble : BAT04 •type d'Us : creusement •Codes : construction

•Us : 3477 •Fait : FS3477 •type d'Us : comblement de fosse •texture : limon argileux •couleur : gris brun ocre •inclusions : charbons erratiques ; nodules de terre rubéfiée erratiques •prélèvements : céramique ; silex

•Us : 3478 •Fait : FS3477 •type d'Us : creusement

•Us : 3479 •Fait : PO3479 •Ensemble : BAT09 •type d'Us : comblement de trou de poteau •texture : limon argileux •couleur : brun •Codes : occupation

•Us : 3480 •Fait : PO3479 •Ensemble : BAT09 •type d'Us : creusement de trou de poteau •Codes : construction

•Us : 3481 •Fait : PO3481 •Ensemble : BAT04 •type d'Us : comblement de trou de poteau •texture : limon argileux •couleur : gris •inclusions : charbons épars •Codes : construction

•Us : 3482 •Fait : PO3481 •Ensemble : BAT04 •type d'Us : creusement de trou de poteau

•Us : 3483 •Fait : PO3483 •Ensemble : BAT09 •type d'Us : comblement de trou de poteau •texture : limon argileux •couleur : brun gris moyen •inclusions : bariolé •Codes : occupation

•Us : 3484 •Fait : PO3483 •Ensemble : BAT09 •type d'Us : creusement de trou de poteau •Codes : construction

•Us : 3485 •Fait : PO3485 •Ensemble : BAT08 •type d'Us : comblement de trou de poteau •texture : limon argileux •couleur : brun •inclusions : bariolé •Codes : occupation

•Us : 3486 •Fait : PO3485 •Ensemble : BAT08 •type d'Us : creusement de trou de poteau •Codes : construction

•Us : 3487 •Fait : FS3519 •type d'Us : comblement de mare •texture : limon argileux •couleur : gris •inclusions : bariolé •prélèvements : céramique ; macro-faune •Codes : comblement hydromorphe •Égalité : 3450 ; 3951 ; 4049 •Equivalence : 3212 ; 3878 •sur : 3753 •sous : 3519

•Us : 3488 •couleur : annuler

•Us : 3489 •Fait : CH3489 •type d'Us : comblement et creusement de fosse •texture : limon argileux •couleur : brun ocre •Codes : chablis

•Us : 3490 •Fait : FS3519 •type d'Us : comblement de mare •texture : limon argileux •couleur : jaune •inclusions : cailloutis épars •Codes : remblai •description : Encaissant remanié. •Égalité : 3943 ; 3949 ; 4479 •Equivalence : 3717 ; 3920 •sur : 3454 •sous : 3491

•Us : 3491 •Fait : FS3519 •type d'Us : creusement de mare •Codes : réaménagement •description : Liée et synchronisée avec SFO20. •Égalité : 3452 ; 3952 ; 4594 •Equivalence : 3935 •sur : 3490 •sous : 3753

•Us : 3492 •couleur : annuler

•Us : 3493 •Fait : PO3493 •Ensemble : BAT08 •type d'Us : comblement de trou de poteau •texture : limon argileux •couleur : brun gris •inclusions : charbons erratiques •prélèvements : céramique •Codes : occupation

•Us : 3494 •Fait : PO3493 •Ensemble : BAT08 •type d'Us : creusement de trou de poteau •Codes : construction

•Us : 3495 •Fait : PO3495 •Ensemble : BAT08 •type d'Us : comblement de trou de poteau •texture : limon argileux •couleur : brun ocre •inclusions : bariolé •Codes : occupation

•Us : 3496 •Fait : PO3495 •Ensemble : BAT08 •type d'Us : creusement de trou de poteau •Codes : construction

•Us : 3497 •Fait : FS3497 •type d'Us : comblement de fosse •texture : limon argileux •couleur : brun orangé moyen •inclusions : bariolé

•Us : 3498 •Fait : FS3497 •type d'Us : creusement de fosse

•Us : 3499 •Fait : PO3499 •Ensemble : BAT08 •type d'Us : négatif de poteau •texture : limon argileux •couleur : brun ocre •Codes : occupation

•Us : 3500 •Fait : PO3499 •Ensemble : BAT08 •type d'Us : creusement de trou de poteau •Codes : construction

•Us : 3501 •Fait : FS3501 •type d'Us : comblement de fosse •texture : limon argileux •couleur : brun ocre •inclusions : nodules de terre rubéfiée erratiques

•Us : 3502 •Fait : FS3501 •type d'Us : creusement

•Us : 3503 •Fait : CH3503 •type d'Us : comblement de fosse avec de la terre •texture : limon argileux •couleur : brun ocre orangé clair •inclusions : bariolé •Codes : chablis

•Us : 3504 •Fait : CH3503 •type d'Us : creusement de fosse •Codes : chablis

•Us : 3505 •Fait : FS3505 •type d'Us : comblement de fosse •texture : limon argileux •couleur : gris brun ocre •inclusions : bariolé

•Us : 3506 •Fait : FS3505 •type d'Us : creusement

•Us : 3507 •Fait : CH3507 •type d'Us : comblement de fosse avec de la terre •texture : limon argileux •couleur : brun gris •inclusions : bariolé •Codes : chablis

•Us : 3508 •Fait : CH3507 •type d'Us : creusement de fosse •Codes : chablis

•Us : 3509 •Fait : FS3509 •type d'Us : comblement de fosse •texture : limon argileux •couleur : brun orangé •inclusions : bariolé •Codes : indéterminé

•Us : 3510 •Fait : FS3509 •type d'Us : creusement de fosse

•Us : 3511 •Fait : FS3511 •type d'Us : comblement de fosse •texture : limon argileux •couleur : brun orangé •inclusions : bariolé

•Us : 3512 •Fait : FS3511 •type d'Us : creusement de fosse

•Us : 3513 •Fait : CH3513 •type d'Us : comblement de fosse avec de la terre •texture : limon argileux •couleur : brun orangé •inclusions : bariolé •Codes : chablis

•Us : 3514 •Fait : CH3513 •type d'Us : creusement de chablis •Codes : chablis

•Us : 3515 •Fait : CH3515 •type d'Us : comblement de fosse avec de la terre •texture : limon argileux •couleur : brun orangé •inclusions : bariolé •Codes : chablis

•Us : 3516 •Fait : CH3515 •type d'Us : creusement de chablis •Codes : chablis

•Us : 3517 •Fait : FS3517 •type d'Us : comblement de fosse •texture : limon argileux •couleur : brun gris clair •inclusions : bariolé

•Us : 3518 •Fait : FS3517 •type d'Us : comblement de fosse

•Us : 3519 •Fait : FS3519 •type d'Us : comblement de mare •texture : limon argileux •couleur : brun gris •inclusions : nodules loessiques et calcaires épars •prélèvements : céramique •Codes : remblai •description : Synchronisée avec le SFO20. •Égalité : 3247 ; 3249 ; 4483 •Equivalence : 3902 •sur : 3487 •sous : 3946

•Us : 3520 •Fait : FS3519 •type d'Us : creusement de mare •Codes : aménagement •Égalité : 3248 ; 3939 ; 4050 •Equivalence : 3213 ; 3718 •sur : 3896 •sous : 3454

•Us : 3521 •Fait : PO3892 •Ensemble : BAT04 •type d'Us : creusement de trou de poteau •Codes : occupation

•Us : 3522 •Fait : PO3893 •Ensemble : BAT09 •type d'Us : creusement de trou de poteau •Codes : occupation

•Us : 3523 •Fait : FS3523 •type d'Us : comblement de fosse •texture : limon argileux •couleur : brun orangé moyen •inclusions : bariolé •Codes : non-anthropique

- Us : 3524 •Fait : FS3523 •type d'Us : creusement de fosse •Codes : non-anthropique
- Us : 3525 •Fait : CH3525 •type d'Us : comblement de fosse avec de la terre •texture : limon argileux •couleur : brun orangé •inclusions : bariolé •Codes : chablis
- Us : 3526 •Fait : CH3525 •type d'Us : creusement de chablis •Codes : chablis
- Us : 3527 •Fait : CH3527 •type d'Us : comblement de fosse avec de la terre •texture : limon argileux •couleur : brun orangé •inclusions : bariolé •Codes : chablis
- Us : 3528 •Fait : CH3527 •type d'Us : creusement de chablis •Codes : chablis
- Us : 3529 •Fait : FS3529 •type d'Us : comblement et creusement •texture : limon argileux •couleur : brun orangé clair •inclusions : bariolé •Codes : non-anthropique
- Us : 3530 •Fait : FS3571 •type d'Us : comblement de fosse •texture : limon argileux •couleur : brun •Codes : remblai •sur : 3534 •sous : 3571
- Us : 3533 •Fait : CH3533 •type d'Us : comblement et creusement •texture : limon argileux •couleur : brun orangé moyen •inclusions : bariolé •Codes : chablis
- Us : 3534 •Fait : FS3571 •type d'Us : comblement de fosse •texture : limon argileux •couleur : jaune •Codes : remblai ou effondrement •sous : 3530
- Us : 3535 •Fait : CH3535 •type d'Us : comblement de fosse avec de la terre •texture : limon argileux •couleur : brun orangé moyen •inclusions : bariolé •Codes : chablis
- Us : 3536 •Fait : CH3535 •type d'Us : creusement de fosse •Codes : chablis
- Us : 3537 •Fait : FS3537 •type d'Us : comblement de fosse •texture : limon argileux •couleur : brun orangé •inclusions : bariolé •Codes : non-anthropique
- Us : 3538 •Fait : FS3537 •type d'Us : creusement •Codes : non-anthropique
- Us : 3539 •Fait : FS3539 •type d'Us : comblement de fosse avec de la terre •texture : limon argileux •couleur : brun orangé moyen •inclusions : bariolé •Codes : non-anthropique
- Us : 3540 •Fait : FS3539 •type d'Us : creusement de fosse
- Us : 3541 •Fait : FS3541 •type d'Us : comblement de fosse avec de la terre •texture : limon argileux •couleur : brun orangé moyen •inclusions : bariolé •Codes : non-anthropique
- Us : 3542 •Fait : FS3541 •type d'Us : creusement de fosse
- Us : 3543 •Fait : FS3543 •type d'Us : comblement de fosse avec de la terre •texture : limon argileux •couleur : brun orangé moyen •inclusions : bariolé •Codes : chablis
- Us : 3544 •Fait : FS3543 •type d'Us : creusement de fosse
- Us : 3545 •Fait : FS3545 •type d'Us : comblement de fosse avec de la terre •texture : limon argileux •couleur : brun orangé clair •inclusions : bariolé •Codes : non-anthropique
- Us : 3546 •Fait : FS3545 •type d'Us : creusement de fosse
- Us : 3547 •Fait : FS3547 •type d'Us : comblement de fosse avec de la terre •texture : limon argileux •inclusions : bariolé •Codes : non-anthropique
- Us : 3548 •Fait : FS3547 •type d'Us : creusement de fosse
- Us : 3549 •Fait : CH3549 •type d'Us : comblement de fosse avec de la terre •texture : limon argileux •couleur : brun orangé moyen •Codes : chablis
- Us : 3550 •Fait : CH3549 •type d'Us : creusement de fosse •Codes : chablis
- Us : 3551 •Fait : CH3551 •type d'Us : comblement de fosse avec de la terre •texture : limon argileux •couleur : brun orangé moyen •inclusions : bariolé •Codes : chablis
- Us : 3552 •Fait : CH3551 •type d'Us : creusement de chablis •Codes : chablis
- Us : 3553 •Fait : CH3553 •type d'Us : comblement de fosse avec de la terre •texture : limon argileux •couleur : brun orangé moyen •inclusions : bariolé •Codes : chablis
- Us : 3554 •Fait : CH3553 •type d'Us : creusement de fosse •Codes : chablis
- Us : 3555 •Fait : CH3555 •type d'Us : comblement de fosse avec de la terre •texture : limon argileux •couleur : gris brun orangé moyen •inclusions : bariolé ; pierres chauffées erratiques •Codes : chablis
- Us : 3556 •Fait : CH3555 •type d'Us : creusement de fosse •Codes : chablis
- Us : 3557 •Fait : CH3557 •type d'Us : comblement de fosse avec de la terre •texture : limon argileux •couleur : brun orangé moyen •inclusions : bariolé •Codes : chablis
- Us : 3558 •Fait : CH3557 •type d'Us : creusement de chablis •Codes : chablis
- Us : 3559 •Fait : FS3559 •type d'Us : creusement de fosse
- Us : 3561 •Fait : FS3561 •type d'Us : comblement de fosse avec de la terre •texture : limon argileux •couleur : brun orangé foncé •inclusions : bariolé •Codes : non-anthropique
- Us : 3562 •Fait : FS3561 •type d'Us : creusement de fosse
- Us : 3563 •Fait : FS3563 •type d'Us : comblement de fosse avec de la terre •texture : limon argileux •couleur : brun orangé moyen •inclusions : bariolé •Codes : non-anthropique
- Us : 3564 •Fait : FS3563 •type d'Us : creusement de fosse
- Us : 3565 •Fait : FS3565 •type d'Us : comblement de fosse avec de la terre •texture : limon argileux •couleur : brun moyen •inclusions : bariolé •Codes : non-anthropique
- Us : 3566 •Fait : FS3565 •type d'Us : creusement de fosse
- Us : 3567 •Fait : FS3567 •type d'Us : comblement de fosse •texture : limon argileux •couleur : brun gris •inclusions : charbons abondants ; fragments rubéfiés erratiques •prélèvements : céramique ; macro-faune •Codes : remblai détritique •sur : 3424 •sous : 3572
- Us : 3568 •Fait : FS3567 •type d'Us : creusement de fosse •sous : 3420
- Us : 3569 •Fait : FS3569 •type d'Us : comblement de fosse de type dépotoir •texture : cendro-charbonneux •couleur : gris noir •inclusions : cendres ; charbons ; terre rubéfiée •prélèvements : céramique •Codes : remblai détritique •sur : 3570 •TPQ : Néolithique ou proto
- Us : 3570 •Fait : FS3569 •type d'Us : creusement de fosse •Codes : occupation •sous : 3569 •TPQ : Néolithique ou proto
- Us : 3571 •Fait : FS3571 •type d'Us : comblement de fosse •texture : limon argileux •couleur : gris •Codes : sédimentation hydromorphe •sur : 3968 ; 3530 •TPQ : HF
- Us : 3572 •Fait : FS3571 •type d'Us : creusement de fosse •Codes : occupation •sur : 3567
- Us : 3573 •Fait : CH3573 •type d'Us : comblement de fosse avec de la terre •texture : limon argileux •couleur : brun orangé moyen •inclusions : bariolé •Codes : chablis
- Us : 3574 •Fait : CH3573 •type d'Us : creusement de chablis •Codes : chablis
- Us : 3575 •Fait : CH3575 •type d'Us : comblement de fosse avec de la terre •texture : limon argileux •couleur : brun orangé moyen •inclusions : bariolé •Codes : chablis
- Us : 3576 •Fait : CH3575 •type d'Us : creusement de chablis •Codes : chablis
- Us : 3577 •Fait : CH3577 •type d'Us : comblement de fosse avec de la terre •texture : limon argileux •couleur : brun orangé moyen •inclusions : bariolé •Codes : chablis
- Us : 3578 •Fait : CH3577 •type d'Us : creusement de chablis •Codes : chablis
- Us : 3579 •Fait : CH3579 •type d'Us : comblement de fosse avec de la terre •texture : limon argileux •couleur : brun orangé moyen •inclusions : bariolé •Codes : chablis
- Us : 3580 •Fait : CH3579 •type d'Us : creusement de chablis •Codes : chablis
- Us : 3581 •Fait : FS3581 •type d'Us : comblement de fosse •texture : limon argileux •couleur : brun gris clair •inclusions : bariolé ; pierres chauffées erratiques •prélèvements : céramique ; scorie
- Us : 3582 •Fait : FS3581 •type d'Us : creusement de fosse
- Us : 3583 •Fait : CH3583 •type d'Us : comblement de fosse avec de la terre •texture : limon argileux •couleur : brun orangé moyen •inclusions : bariolé •Codes : chablis
- Us : 3584 •Fait : CH3583 •type d'Us : creusement de chablis •Codes : chablis
- Us : 3585 •Fait : CH3585 •type d'Us : comblement de fosse avec de la terre •texture : limon argileux •couleur : brun orangé moyen •inclusions : bariolé •Codes : chablis
- Us : 3586 •Fait : CH3585 •type d'Us : creusement de chablis •Codes : chablis
- Us : 3587 •Fait : CH3587 •type d'Us : comblement de fosse avec de la terre •texture : limon argileux •couleur : brun ocre moyen •inclusions : bariolé •Codes : chablis
- Us : 3588 •Fait : CH3587 •type d'Us : creusement de chablis •Codes : chablis
- Us : 3589 •Fait : FS3589 •type d'Us : comblement de fosse avec de la terre •texture : limon argileux •couleur : brun orangé moyen •inclusions : bariolé •Codes : non-anthropique
- Us : 3590 •Fait : FS3589 •type d'Us : creusement de fosse
- Us : 3591 •Fait : FS3591 •type d'Us : comblement de fosse avec de la terre •texture : limon argileux •couleur : brun orangé moyen •inclusions : bariolé •Codes : non-anthropique
- Us : 3592 •Fait : FS3591 •type d'Us : creusement de fosse
- Us : 3593 •Fait : CH3593 •type d'Us : comblement de fosse avec de la terre •texture : limon argileux •couleur : brun orangé moyen •inclusions : bariolé •Codes : chablis
- Us : 3594 •Fait : CH3593 •type d'Us : creusement de chablis •Codes : chablis
- Us : 3595 •Fait : FS3595 •type d'Us : comblement de fosse avec de la terre •texture : cendro-charbonneux •couleur : gris noir •inclusions : fragments rubéfiés erratiques •prélèvements : céramique ; macro-faune •Codes : remblai détritique •sur : 3941 •TPQ : HF •TAQ : HF
- Us : 3596 •Fait : FS3595 •type d'Us : creusement de fosse •Codes : occupation
- Us : 3597 •Fait : CH3597 •type d'Us : comblement de fosse avec de la terre •texture : limon argileux •couleur : brun orangé moyen •inclusions : charbon ; bariolé •Codes : chablis
- Us : 3598 •Fait : CH3597 •type d'Us : creusement de chablis •Codes : chablis

•Us : 3599 •Fait : CH3599 •type d'Us : comblement de fosse avec de la terre •texture : limon argileux •couleur : brun rouge orangé moyen •inclusions : bariolé •Codes : chablis

•Us : 3600 •Fait : CH3599 •type d'Us : creusement de fosse •Codes : chablis

•Us : 3601 •Fait : CH3601 •type d'Us : comblement de fosse avec de la terre •texture : limon argileux •couleur : brun orangé foncé •inclusions : bariolé •Codes : chablis

•Us : 3602 •Fait : CH3601 •type d'Us : creusement de chablis •Codes : chablis

•Us : 3603 •Fait : FS3603 •type d'Us : comblement de fosse avec de la terre •texture : limon argileux •couleur : brun orangé moyen •inclusions : bariolé •Codes : non-anthropique

•Us : 3604 •Fait : FS3603 •type d'Us : creusement de fosse

•Us : 3605 •Fait : FS3605 •type d'Us : comblement de fosse avec de la terre •texture : limon argileux •couleur : brun orangé moyen •inclusions : bariolé •Codes : indéterminé

•Us : 3606 •Fait : FS3605 •type d'Us : creusement de fosse

•Us : 3607 •Fait : FS3607 •type d'Us : comblement de fosse avec de la terre •texture : limon argileux •couleur : brun •inclusions : bariolé •Codes : non-anthropique

•Us : 3608 •Fait : FS3607 •type d'Us : creusement de fosse

•Us : 3609 •Fait : FS3609 •type d'Us : comblement de fosse avec de la terre •texture : limon argileux •couleur : brun orangé •inclusions : bariolé •Codes : indéterminé

•Us : 3610 •Fait : FS3609 •type d'Us : creusement de fosse

•Us : 3611 •Fait : CH3611 •type d'Us : comblement de fosse avec de la terre •texture : limon argileux •couleur : brun orangé moyen •inclusions : bariolé •Codes : chablis

•Us : 3612 •Fait : CH3611 •type d'Us : creusement de chablis •Codes : chablis

•Us : 3613 •Fait : CH3613 •type d'Us : comblement de fosse avec de la terre •texture : limon argileux •couleur : brun orangé moyen •inclusions : bariolé •Codes : chablis

•Us : 3614 •Fait : CH3613 •type d'Us : creusement de chablis •Codes : chablis

•Us : 3615 •Fait : FC3615 •type d'Us : comblement de fosse avec de la terre •texture : limon argileux •couleur : brun gris foncé •inclusions : bariolé ; charbon ; pierres chauffées erratiques •prélèvements : céramique ; macro-faune •Codes : remblai détritique •sur : 3976 •TPQ : HF •TAQ : HF

•Us : 3616 •Fait : FC3615 •type d'Us : creusement de fosse •Codes : occupation •sur : 3981 •sous : 3980

•Us : 3617 •Fait : FO3617 •Ensemble : SFO18 •type d'Us : comblement de fossé avec de la terre •texture : limon argileux •couleur : brun gris •inclusions : nodules loessiques et calcaires épars •prélèvements : céramique ; scorie •Codes : remblai •Égalité : 3247 ; 3249 ; 3519 ; 3617 ; 4483 •Équivalence : 3001 ; 3902 •sur : 3967

•Us : 3618 •Fait : FO3617 •Ensemble : SFO18 •type d'Us : creusement de fossé •Codes : aménagement •Égalité : 3002 ; 3248 ; 3520 ; 3939 ; 4050 •Équivalence : 3213 ; 3718 •sur : 3619 •sous : 3318

•Us : 3619 •Fait : FS3619 •type d'Us : comblement de fosse avec de la terre •texture : limon argileux •couleur : brun ocre •inclusions : bariolé •Codes : non-anthropique •sous : 3618

•Us : 3620 •Fait : FS3619 •type d'Us : creusement de fosse •Codes : non-anthropique

•Us : 3621 •Fait : CH3621 •type d'Us : comblement de fosse avec de la terre •texture : limon argileux •couleur : brun ocre •inclusions : bariolé •Codes : chablis

•Us : 3622 •Fait : CH3621 •type d'Us : creusement de chablis •Codes : chablis

•Us : 3623 •Fait : CH3623 •type d'Us : comblement de fosse avec de la terre •texture : limon argileux •couleur : brun orangé •Codes : chablis

•Us : 3624 •Fait : CH3623 •type d'Us : creusement de chablis •Codes : chablis

•Us : 3625 •Fait : FS3625 •type d'Us : comblement de fosse avec de la terre •texture : limon argileux •couleur : brun foncé •inclusions : bariolé •Codes : non-anthropique

•Us : 3626 •Fait : FS3625 •type d'Us : creusement de fosse •Codes : non-anthropique

•Us : 3627 •Fait : CH3627 •type d'Us : comblement de fosse avec de la terre •texture : limon argileux •couleur : brun orangé foncé •inclusions : bariolé •Codes : chablis

•Us : 3628 •Fait : CH3627 •type d'Us : creusement de fosse •Codes : chablis

•Us : 3629 •Fait : CH3629 •type d'Us : comblement de fosse avec de la terre •texture : limon argileux •couleur : brun orangé gris •inclusions : bariolé ; pierres chauffées erratiques •Codes : chablis

•Us : 3630 •Fait : CH3629 •type d'Us : creusement de chablis •Codes : chablis

•Us : 3631 •Fait : CH3631 •type d'Us : comblement de chablis •texture : limon argileux •couleur : brun orangé moyen •inclusions : terre rubéfiée pierre chouffée •Codes : chablis

•Us : 3632 •Fait : CH3631 •type d'Us : creusement de chablis •Codes : chablis

•Us : 3633 •Fait : FS3633 •type d'Us : comblement de fosse avec de la terre •texture : limon argileux •couleur : brun orangé moyen •inclusions : bariolé •Codes : indéterminé

•Us : 3634 •Fait : FS3633 •type d'Us : creusement de fosse •Codes : indéterminé

•Us : 3635 •Fait : FS3635 •type d'Us : comblement de fosse avec de la terre •texture : limon argileux •couleur : brun orangé •inclusions : bariolé •Codes : non-anthropique

•Us : 3636 •Fait : FS3635 •type d'Us : creusement de fosse •Codes : non-anthropique

•Us : 3637 •Fait : NV3637 •type d'Us : cuvette de Sol brun •texture : limon argileux •couleur : brun orangé •inclusions : bariolé •Codes : chablis

•Us : 3638 •type d'Us : creusement de chablis

•Us : 3639 •Fait : FS3639 •type d'Us : comblement de fosse avec de la terre •texture : limon argileux •couleur : gris brun ocre foncé •inclusions : bariolé •Codes : non-anthropique

•Us : 3640 •Fait : FS3639 •type d'Us : creusement de fosse

•Us : 3641 •Fait : FS3641 •type d'Us : comblement de fosse •texture : limon argileux •couleur : brun clair •inclusions : bariolé •prélèvements : céramique ; silex

•Us : 3642 •Fait : FS3641 •type d'Us : creusement de fosse

•Us : 3643 •Fait : FS3643 •type d'Us : comblement de fosse avec de la terre •texture : limon argileux •couleur : brun foncé •inclusions : nodules de terre rubéfiée erratiques ; charbons abondants •prélèvements : céramique •Codes : remblai •sur : 3644 •TPQ : HF •TAQ : HF

•Us : 3644 •Fait : FS3643 •type d'Us : creusement de fosse •Codes : occupation •sous : 3643

•Us : 3645 •Fait : FS3645 •type d'Us : comblement de fosse avec de la terre •texture : limon argileux •couleur : gris blanchi clair •inclusions : pierres ; cailloutis ; bariolé •Codes : indéterminé

•Us : 3646 •Fait : FS3645 •type d'Us : creusement de fosse

•Us : 3647 •Fait : FS3647 •type d'Us : comblement de fosse avec de la terre •texture : limon argileux •couleur : gris jeune •inclusions : bariolé ; nodules loessiques éparses

•Us : 3648 •Fait : FS3647 •type d'Us : creusement de fosse

•Us : 3649 •Fait : PO3649 •Ensemble : BAT11 •type d'Us : comblement de trou de poteau •texture : limon argileux •couleur : gris •inclusions : bariolé •Codes : occupation

•Us : 3650 •Fait : PO3649 •Ensemble : BAT11 •type d'Us : creusement de trou de poteau

•Us : 3651 •Fait : PO3651 •Ensemble : BAT11 •type d'Us : comblement de trou de poteau •texture : limon argileux •couleur : gris •inclusions : bariolé •Codes : occupation

•Us : 3652 •Fait : PO3651 •Ensemble : BAT11 •type d'Us : creusement de trou de poteau •Codes : occupation

•Us : 3653 •Fait : PO3653 •Ensemble : BAT11 •type d'Us : comblement de trou de poteau •texture : limon argileux •couleur : gris •inclusions : bariolé •Codes : occupation

•Us : 3654 •Fait : PO3653 •Ensemble : BAT11 •type d'Us : creusement de trou de poteau •Codes : occupation

•Us : 3655 •Fait : FS3655 •type d'Us : comblement de fosse avec de la terre •texture : limon argileux •couleur : gris beige •inclusions : bariolé

•Us : 3656 •Fait : FS3655 •type d'Us : creusement de fosse

•Us : 3657 •Fait : CH3657 •type d'Us : comblement de fosse avec de la terre •texture : limon argileux •couleur : brun ocre •inclusions : bariolé •Codes : chablis

•Us : 3658 •Fait : CH3657 •type d'Us : creusement de chablis •Codes : chablis

•Us : 3659 •Fait : FS3659 •type d'Us : comblement de fosse avec de la terre •texture : limon argileux •couleur : gris blanchi •Codes : non-anthropique

•Us : 3660 •Fait : FS3659 •type d'Us : creusement de fosse

•Us : 3661 •Fait : FS3661 •type d'Us : comblement de fosse avec de la terre •texture : limon argileux •couleur : gris bleuté •inclusions : bariolé •prélèvements : céramique •Codes : indéterminé

•Us : 3662 •Fait : FS3661 •type d'Us : creusement de fosse

•Us : 3663 •Fait : FS3663 •type d'Us : comblement de fosse avec de la terre •texture : limon argileux •couleur : gris clair •inclusions : charbons erratiques

•Us : 3664 •Fait : FS3663 •type d'Us : creusement de fosse

•Us : 3665 •Fait : FS3665 •type d'Us : comblement de fosse avec de la terre •texture : limon sableux •couleur : gris blanchi clair •inclusions : bariolé •Codes : indéterminé

•Us : 3666 •Fait : FS3665 •type d'Us : creusement de fosse

•Us : 3667 •Fait : FS3667 •type d'Us : comblement de fosse avec de la terre •texture : limon argileux •couleur : gris blanchi clair •inclusions : bariolé •Codes : indéterminé

•Us : 3668 •Fait : FS3667 •type d'Us : creusement de fosse

•Us : 3669 •Fait : FS3669 •type d'Us : comblement de fosse avec de la terre •texture : limon argileux •couleur : gris bleuté •prélèvements : métal ; macro-faune ; tuile ; verre •Codes : chablis •TPQ : XXe

•Us : 3670 •Fait : FS3669 •type d'Us : creusement de fosse

ZAC de la Pyramide Lot C1, Lieusaint, Ville Nouvelle de Sénart (77), fouille 15-07/04-10-2002
Inventaire des Us

•Us : 3671 •Fait : FS3671 •type d'Us : comblement de fosse avec de la terre •texture : limon argileux •couleur : gris •prélèvements : brique ou tuile ; erratiques

•Us : 3672 •Fait : FS3671 •type d'Us : creusement de fosse •Codes : chablis

•Us : 3673 •Fait : FS3673 •type d'Us : comblement de fosse avec de la terre •texture : limon argileux •couleur : gris foncé •inclusions : bariolé •Codes : indéterminé

•Us : 3674 •Fait : FS3673 •type d'Us : creusement de fosse

•Us : 3675 •Fait : CH3675 •type d'Us : comblement et creusement de chablis •texture : limon argileux •couleur : gris •inclusions : charbons erratiques •Codes : chablis

•Us : 3676 •Fait : FO3878 •type d'Us : comblement de fossé hétérogène •texture : limon argileux •structure : en mottes •couleur : gris et jaune •Codes : occupation •description : Loess remanié mélangé à du limon argileux gris en mottes. •Égalité : 3686 •sur : 3879 •sous : 3878

•Us : 3677 •Fait : FS3677 •type d'Us : comblement de fosse •texture : limon argileux •couleur : gris •inclusions : charbons erratiques ; nodules de terre rubéfiée erratiques •prélèvements : macro-faune •Codes : sédimentation hydromorphe

•Us : 3678 •Fait : FS3677 •type d'Us : creusement de fosse

•Us : 3679 •Fait : CH3679 •type d'Us : comblement et creusement de chablis

•Us : 3680 •type d'Us : annulé

•Us : 3681 •Fait : FS3681 •type d'Us : comblement de fosse •texture : limon argileux •couleur : gris moyen •inclusions : nodules de terre rubéfiée erratiques •prélèvements : céramique ; macro-faune •Codes : sédimentation hydromorphe

•Us : 3682 •Fait : FS3681 •type d'Us : creusement de fosse

•Us : 3683 •Fait : CH3683 •type d'Us : comblement et creusement de chablis •texture : limon argileux •couleur : gris •Codes : chablis •Égalité : 3685

•Us : 3684 •Fait : FO3011 •Ensemble : SFO19 •type d'Us : comblement de fossé hétérogène •texture : limon argileux •couleur : gris •inclusions : cailloutis abondant ; galets •Codes : réaménagement •Égalité : 4657 •sur : 3874 •sous : 3873

•Us : 3685 •Fait : CH3685 •type d'Us : comblement et creusement de chablis •texture : limon argileux •couleur : gris blanchi •inclusions : bariolé ; pierres •prélèvements : céramique •Codes : chablis •Égalité : 3683

•Us : 3686 •Fait : FO3011 •Ensemble : SFO19 •type d'Us : comblement de fossé hétérogène •texture : limon argileux •structure : en mottes •couleur : gris et jaune •Codes : occupation •description : Loess remanié mélangé à du limon argileux gris en mottes. •Égalité : 3676 •sur : 3938 •sous : 3917

•Us : 3687 •Fait : FS3687 •type d'Us : comblement de fosse •texture : limon argileux •couleur : gris blanchi •inclusions : bariolé ; fragments rubéfiés épars •prélèvements : céramique ; torchis •Codes : indéterminé •TPQ : Néo ou proto

•Us : 3688 •Fait : FS3687 •type d'Us : creusement de fosse

•Us : 3689 •Fait : FS3689 •type d'Us : comblement de fosse avec de la terre •texture : limon argileux •couleur : gris moyen •inclusions : pierres •Codes : non-anthropique

•Us : 3690 •Fait : FS3689 •type d'Us : creusement de fosse

•Us : 3691 •Fait : FO3691 •Ensemble : SFO24 •type d'Us : comblement de fossé avec de la terre •texture : limon argileux •couleur : brun gris •inclusions : bariolé rouille ; charbons erratiques •Codes : occupation •sur : 3046 •TPQ : MOD

•Us : 3692 •Fait : FO3691 •Ensemble : SFO24 •type d'Us : creusement de fossé •Codes : occupation •sous : 3079

•Us : 3693 •Fait : FS3693 •type d'Us : comblement de fosse avec de la terre •texture : limon argileux •couleur : brun gris •inclusions : bariolé ; cailloux épars •Codes : occupation •sur : 3707 •TAQ : MOD

•Us : 3694 •Fait : FS3693 •type d'Us : creusement de fosse •Codes : occupation •sous : 3744

•Us : 3695 •Fait : FO3695 •Ensemble : SFO25 •type d'Us : comblement de fossé avec de la terre •texture : limon argileux •couleur : gris clair •inclusions : bariolé •Égalité : 4081

•Us : 3696 •Fait : FO3695 •Ensemble : SFO25 •type d'Us : creusement de fossé •sur : 3697

•Us : 3697 •Fait : FO3697 •Ensemble : SFO16 •type d'Us : comblement de fossé hydromorphe •texture : limon argileux •couleur : gris foncé •prélèvements : métal ; macro-faune •Codes : sédimentation hydromorphe •Égalité : 3699 ; 4085 •Équivalence : 4079 •sur : 3698 ; 3954 •sous : 3696 ; 4082

•Us : 3698 •Fait : FO3697 •Ensemble : SFO16 •type d'Us : creusement de fossé •Codes : aménagement •Égalité : 3700 ; 4086 •Équivalence : 4080 •sur : 4634 •sous : 3697 ; 3954

•Us : 3699 •Fait : FS3699 •Ensemble : SFO15 •type d'Us : comblement de fosse hydromorphe •texture : limon argileux •couleur : gris •Codes : sédimentation hydromorphe •Égalité : 3697 ; 4085 •sur : 3700

•Us : 3700 •Fait : FS3699 •Ensemble : SFO15 •type d'Us : creusement de fosse •Codes : aménagement •Égalité : 3698 ; 4086 •sous : 3699

•Us : 3701 •Fait : FO3701 •Ensemble : SFO15 •type d'Us : comblement de fossé hydromorphe •texture : limon argileux •couleur : gris clair •inclusions : torchis •prélèvements : céramique ; métal ; macro-faune •Codes : sédimentation hydromorphe •Équivalence : 3365 •sur : 3702

•Us : 3702 •Fait : FO3701 •Ensemble : SFO15 •type d'Us : creusement de fossé •Codes : aménagement •Équivalence : 3366 •sous : 3701

•Us : 3703 •Fait : FS3703 •type d'Us : comblement de fosse avec de la terre •texture : limon argileux •couleur : gris •inclusions : bariolé •sous : 3873

•Us : 3704 •Fait : FS3703 •type d'Us : creusement de fosse

•Us : 3705 •Fait : PO3055 •Ensemble : BAT04 •type d'Us : creusement de trou de poteau •Codes : occupation

•Us : 3706 •Fait : PO3891 •Ensemble : BAT04 •type d'Us : creusement de trou de poteau •Codes : construction

•Us : 3707 •Fait : FS3693 •type d'Us : comblement de fosse •texture : limon argileux •couleur : brun gris •inclusions : petite nodule limon marron orangé et beige •Codes : occupation •sur : 3708 •sous : 3693

•Us : 3708 •Fait : FS3693 •type d'Us : comblement de fosse •texture : limon argileux •couleur : brun gris •inclusions : bariolé rouille •Codes : occupation •sur : 3724 •sous : 3707

•Us : 3709 •Fait : FS3709 •type d'Us : comblement de fosse avec de la terre •texture : limon argileux •couleur : gris moyen •inclusions : bariolé ; charbons erratiques •Codes : indéterminé

•Us : 3710 •Fait : FS3709 •type d'Us : creusement de fosse •Codes : indéterminé

•Us : 3711 •Fait : FS3711 •type d'Us : comblement de fosse avec de la terre •texture : limon argileux •couleur : gris brun •inclusions : bariolé •Codes : non-anthropique

•Us : 3712 •Fait : FS3711 •type d'Us : creusement

•Us : 3713 •Fait : FS3713 •type d'Us : comblement de fosse •texture : limon argileux •couleur : brun gris •inclusions : bariolé ; nodules de terre rubéfiée erratiques •prélèvements : céramique ; macro-faune •Codes : indéterminé •sur : 3958 •TPQ : HF •TAQ : HF

•Us : 3714 •Fait : FS3713 •type d'Us : creusement de fosse •Codes : occupation

•Us : 3715 •Fait : FO3715 •Ensemble : SFO21 •type d'Us : comblement de fossé avec de la terre •texture : limon argileux •couleur : jaune •inclusions : cailloutis épars •Codes : sédimentation naturelle •Équivalence : 3184 ; 4462 ; 4641 •sur : 3716

•Us : 3716 •Fait : FO3715 •Ensemble : SFO21 •type d'Us : creusement de fossé •Codes : occupation •Équivalence : 3185 ; 4463 ; 4642 •sur : 3201 •sous : 3715

•Us : 3717 •Fait : FO3717 •Ensemble : SFO20 •type d'Us : comblement de fossé avec de la terre •texture : limon argileux •couleur : brun gris •inclusions : cailloutis épars •Codes : remblai •description : Encaissant remanié. •Égalité : 3920 •Équivalence : 3490 ; 3943 ; 3949 ; 4479 ; 3937 •sur : 3942 •sous : 3205

•Us : 3718 •Fait : FO3717 •Ensemble : SFO20 •type d'Us : creusement de fossé •Codes : aménagement •Égalité : 3213 •Équivalence : 3248 ; 3520 ; 3939 ; 4050 •sous : 3942

•Us : 3719 •Fait : FS3719 •type d'Us : comblement de fosse avec de la terre •texture : limon argileux •couleur : gris beige •Codes : non-anthropique

•Us : 3720 •Fait : FS3719 •type d'Us : creusement de fosse

•Us : 3721 •Fait : FS3721 •type d'Us : comblement de fosse avec de la terre •texture : limon argileux •couleur : gris blanchi clair •inclusions : bariolé •Codes : non-anthropique

•Us : 3722 •Fait : FS3721 •type d'Us : creusement de fosse

•Us : 3723 •Fait : CH3723 •type d'Us : comblement et creusement de chablis •texture : limon argileux •couleur : brun beige ocre jeune •Codes : chablis •description : Us composites.

•Us : 3724 •Fait : FS3693 •type d'Us : comblement de fosse •texture : limon argileux •couleur : gris •inclusions : bariolé ; cailloux épars •Codes : occupation •sur : 3729 •sous : 3708

•Us : 3725 •Fait : CH3725 •type d'Us : comblement et creusement de chablis •texture : limon argileux •couleur : brun ocre •inclusions : bariolé •Codes : chablis

•Us : 3726 •Fait : FS3693 •type d'Us : comblement de fosse •texture : limon argileux •couleur : gris foncé •inclusions : cailloutis •Codes : occupation •sur : 3734 •sous : 3729

•Us : 3727 •Fait : PO3727 •type d'Us : comblement de trou de poteau •texture : limon argileux •couleur : gris clair •inclusions : bariolé ; cendres ; charbons erratiques

•Us : 3728 •Fait : PO3727 •type d'Us : creusement de trou de poteau

•Us : 3729 •Fait : FS3693 •type d'Us : comblement de fosse •texture : limon argileux •couleur : gris blanchi •Codes : occupation •sur : 3726 •sous : 3724 ; 3917

•Us : 3730 •Fait : FS3693 •type d'Us : creusement de fosse •Codes : occupation •description : Recreusement. •sur : 3742 •sous : 3734

•Us : 3731 •Fait : FS3731 •type d'Us : comblement de fosse avec de la terre •texture : limon argileux •couleur : gris blanchi •inclusions : bariolé •Codes : non-anthropique

•Us : 3732 •Fait : FS3731 •type d'Us : creusement de fosse

•Us : 3733 •Fait : FO3691 •Ensemble : SFO24 •type d'Us : creusement de fossé •Codes : occupation •sur : 3065 •sous : 3069

•Us : 3734 •Fait : FS3693 •type d'Us : comblement de fosse •texture : limon argileux •couleur : gris •inclusions : bariolé orangé •Codes : occupation •sur : 3730 •sous : 3726

- Us : 3735 •Fait : FS3735 •type d'Us : comblement de fosse avec de la terre •texture : limon argileux •couleur : gris •inclusions : bariolé •Codes : non-anthropique
- Us : 3736 •Fait : FS3735 •type d'Us : creusement de fosse
- Us : 3737 •Fait : FS3737 •type d'Us : comblement de fosse avec de la terre •texture : limon argileux •couleur : brun ocre •Codes : non-anthropique
- Us : 3738 •Fait : FS3737 •type d'Us : creusement
- Us : 3739 •Fait : FS3739 •type d'Us : comblement de fosse avec de la terre •texture : limon argileux •couleur : brun ocre •Codes : non-anthropique
- Us : 3740 •Fait : FS3739 •type d'Us : creusement
- Us : 3741 •Fait : CH3741 •type d'Us : comblement et creusement de chablis •texture : limon argileux •couleur : brun ocre •Codes : chablis •description : Us composites
- Us : 3742 •Fait : FS3693 •type d'Us : comblement de fosse •texture : limon argileux •couleur : gris •inclusions : bariolé orangé ; litages de petites pierres •Codes : occupation •sur : 3744 •sous : 3730
- Us : 3743 •Fait : CH3743 •type d'Us : comblement et creusement de chablis •texture : limon argileux •couleur : gris beige •Codes : chablis
- Us : 3744 •Fait : FS3693 •type d'Us : comblement de fosse •texture : limon argileux •couleur : gris •inclusions : bariolé orangé •Codes : occupation •sur : 3694 •sous : 3742
- Us : 3745 •Fait : CH3745 •type d'Us : comblement de chablis •texture : limon argileux •couleur : brun ocre •Codes : chablis
- Us : 3746 •Fait : CH3745 •type d'Us : creusement de chablis •Codes : chablis
- Us : 3747 •Fait : FS3747 •type d'Us : comblement de fosse avec de la terre •texture : limon argileux •couleur : brun ocre
- Us : 3748 •Fait : FS3747 •type d'Us : creusement de fosse
- Us : 3749 •Fait : FS3749 •type d'Us : comblement et creusement •texture : limon argileux •couleur : brun ocre •Codes : non-anthropique
- Us : 3750 •Fait : FS3713 •type d'Us : comblement de fosse •texture : limon argileux •couleur : beige •inclusions : charbons épars •Codes : remblai ou effondrement •sous : 3957
- Us : 3751 •Fait : FS3082 •type d'Us : comblement de fosse •texture : limon argileux •couleur : gris orangé •prélèvements : céramique ; macro-faune •Codes : remblai détritique •sur : 3082 •TPQ : HF •TAQ : HF
- Us : 3752 •Fait : FS3567 •type d'Us : comblement de fosse •texture : limon argileux •couleur : brun clair •Codes : remblai •sur : 3414 •sous : 3424
- Us : 3753 •Fait : FS3519 •type d'Us : comblement de mare •texture : limon argileux •couleur : brun gris orangé •inclusions : bariolé •Codes : indéterminé •Égalité : 3446 ; 3948 ; 4478 •Equivalence : 3936 •sur : 3491 •sous : 3487
- Us : 3755 •Fait : TE3755 •type d'Us : comblement et creusement •texture : limon argileux •couleur : gris •Codes : terrier
- Us : 3756 •Fait : PO3801 •Ensemble : BAT02 •type d'Us : creusement de trou de poteau •Codes : construction
- Us : 3757 •Fait : CH3757 •type d'Us : comblement de chablis •texture : limon argileux •couleur : brun ocre •Codes : chablis
- Us : 3758 •Fait : CH3757 •type d'Us : creusement de chablis •Codes : chablis
- Us : 3759 •Fait : FS3194 •texture : Loess encaissant •couleur : gris blanchi •Codes : altération hydromorphe •sous : 3195
- Us : 3760 •Fait : FS3333 •type d'Us : comblement de type vidange de foyer/dépotoir •texture : limon argileux •couleur : gris noir •inclusions : fragments rubéfiés épars •prélèvements : céramique ; macro-faune •Codes : remblai détritique •sur : 3334 •sous : 3333
- Us : 3761 •Fait : FS3080 •type d'Us : comblement de fosse •texture : limon argileux •couleur : brun •inclusions : charbons abondants ; fragments rubéfiés épars •prélèvements : céramique ; macro-faune •Codes : remblai détritique •sur : 3080 •TPQ : HF •TAQ : HF
- Us : 3762 •Fait : FS3285 •Ensemble : FOS13 •type d'Us : comblement de type vidange de foyer/dépotoir •texture : limon argileux •couleur : gris orangé •inclusions : bariolé ; charbons erratiques ; nodules loessiques épars •prélèvements : céramique ; macro-faune •Codes : remblai •sur : 3778 •sous : 3776
- Us : 3763 •Fait : FC3387 •type d'Us : comblement de type vidange de foyer/dépotoir •texture : cendro-charbonneux •couleur : gris noir •inclusions : cendres ; charbons épars ; mottes de terre rubéfiée ; pierres brûlées abondantes •prélèvements : céramique ; vrac sédiment •Codes : remblai détritique •description : Litages horizontaux de sédiments (limon argileux, charbonneux, mottes rubéfiées). Prélèvement en vrac de l'Us3763 noté en 3387. •sur : 3805 ; 3764 •sous : 3387
- Us : 3764 •Fait : FC3387 •type d'Us : comblement de fosse •couleur : noir •inclusions : charbons abondants ; fragments rubéfiés erratiques •prélèvements : céramique •Codes : vidange de foyer détritique •sur : 3966 •sous : 3763
- Us : 3765 •Fait : FC3305 •type d'Us : comblement de fosse •inclusions : terre rubéfiée •prélèvements : céramique ; macro-faune •Codes : vidange de foyer détritique •sur : 3972 •sous : 3305
- Us : 3766 •Fait : FC3305 •type d'Us : comblement de fosse •texture : cendro-charbonneux •couleur : gris noir •inclusions : fragments rubéfiés erratiques •prélèvements : céramique ; macro-faune •Codes : vidange de foyer détritique •sur : 3306
- Us : 3767 •Fait : FC3305 •type d'Us : comblement de fosse •texture : limon argileux •couleur : gris •inclusions : charbons abondants •Codes : détritique hydromorphe •sous : 3784
- Us : 3769 •Fait : FC3305 •type d'Us : creusement de fosse •Codes : occupation
- Us : 3770 •Fait : FC3237 •type d'Us : comblement de fosse •texture : limon argileux •couleur : beige •inclusions : charbons erratiques ; fragments rubéfiés erratiques ; pierres brûlées erratiques •prélèvements : céramique ; macro-faune •Codes : remblai •sur : 3771 •sous : 3974
- Us : 3771 •Fait : FC3237 •type d'Us : comblement de fosse •texture : limon argileux •couleur : gris •inclusions : charbons abondants •Codes : détritique hydromorphe •sur : 3238 •sous : 3770
- Us : 3772 •Fait : FC3237 •type d'Us : comblement de fosse •texture : limon argileux •couleur : beige •inclusions : charbons erratiques ; pierres brûlées erratiques ; fragments rubéfiés erratiques •prélèvements : céramique ; macro-faune •Codes : remblai •sur : 3974 •sous : 3237
- Us : 3773 •Fait : FC3433 •type d'Us : comblement de fosse •texture : cendro-charbonneux •couleur : gris noir •inclusions : fragments rubéfiés épars •prélèvements : céramique ; macro-faune •Codes : remblai détritique •sur : 3434 •sous : 3833
- Us : 3774 •Fait : FC3433 •type d'Us : comblement de fosse •texture : limon argileux •couleur : gris beige •inclusions : fragments rubéfiés erratiques ; pierres brûlées erratiques •prélèvements : céramique •Codes : remblai •sur : 3781
- Us : 3775 •Fait : FC3305 •type d'Us : comblement de fosse •texture : limon argileux •couleur : gris •inclusions : charbons erratiques •prélèvements : céramique ; macro-faune •Codes : détritique hydromorphe •sur : 3029
- Us : 3776 •Fait : FS3285 •Ensemble : FOS13 •type d'Us : comblement de fosse •inclusions : terre rubéfiée abondante •prélèvements : céramique •Codes : vidange de foyer détritique •sur : 3762 •sous : 3285
- Us : 3777 •Fait : FS3779 •Ensemble : FOS13 •type d'Us : comblement de fosse •texture : limon argileux •couleur : gris •prélèvements : céramique •Codes : sédimentation hydromorphe •Égalité : 3854 ; 3845 •sur : 3779
- Us : 3778 •Fait : FS3285 •Ensemble : FOS13 •type d'Us : comblement de fosse •texture : limon argileux •couleur : brun gris •Codes : remblai •sur : 3816 •sous : 3762
- Us : 3779 •Fait : FS3779 •Ensemble : FOS13 •type d'Us : creusement de fosse •Codes : occupation •sous : 3777 •TPQ : HF •TAQ : HF
- Us : 3780 •Fait : FC3780 •Ensemble : FOS13 •type d'Us : creusement de fosse •Codes : occupation •sur : 3796 ; 3844 •sous : 3849
- Us : 3781 •Fait : FC3433 •type d'Us : comblement de fosse •texture : limon argileux •couleur : jaune beige •inclusions : fragments rubéfiés erratiques •Codes : remblai •sous : 3774
- Us : 3782 •Fait : FS3439 •type d'Us : comblement de fosse •texture : limon argileux •couleur : beige •inclusions : charbons erratiques •Codes : remblai •sur : 3440 •sous : 3439
- Us : 3783 •Fait : FS3783 •type d'Us : comblement de fosse •texture : limon argileux •couleur : brun orangé •Codes : non-anthropique
- Us : 3784 •Fait : FC3305 •type d'Us : comblement de fosse •texture : limon argileux •couleur : beige •prélèvements : céramique •Codes : remblai ou effondrement •sur : 3767 •sous : 3973
- Us : 3785 •Fait : FS3785 •type d'Us : comblement de fosse avec de la terre •texture : limon argileux •couleur : brun moyen
- Us : 3786 •Fait : FS3785 •type d'Us : creusement
- Us : 3787 •Fait : FS3787 •type d'Us : comblement de fosse avec de la terre •texture : limon argileux •couleur : brun moyen •inclusions : bariolé •Codes : non-anthropique
- Us : 3788 •Fait : FS3787 •type d'Us : creusement
- Us : 3789 •Fait : FS3313 •texture : limon argileux •couleur : brun gris •inclusions : bariolé •Codes : indéterminé
- Us : 3790 •Fait : FS3790 •Ensemble : FOS13 •type d'Us : comblement de fosse •texture : limon argileux •couleur : brun gris •inclusions : nodules de terre rubéfiée erratiques ; charbons abondants ; pierres brûlées erratiques •prélèvements : céramique ; macro-faune •Codes : remblai détritique •sur : 3792 •sous : 3837 •TPQ : HF •TAQ : HF
- Us : 3791 •Fait : FS3790 •Ensemble : FOS13 •type d'Us : creusement de fosse •Codes : occupation •sur : 3285 •sous : 3794
- Us : 3792 •Fait : FS3790 •Ensemble : FOS13 •type d'Us : comblement de fosse •texture : limon argileux •couleur : gris •inclusions : charbons abondants ; pierres chauffées erratiques ; fragments rubéfiés erratiques •prélèvements : macro-faune ; céramique •Codes : remblai détritique •sur : 3794 •sous : 3790
- Us : 3793 •Fait : FC3305 •type d'Us : comblement de fosse •texture : limon argileux •couleur : gris bleuté •inclusions : charbons abondants •Codes : détritique hydromorphe •sur : 3973 •sous : 3029
- Us : 3794 •Fait : FS3790 •Ensemble : FOS13 •type d'Us : comblement de fosse •texture : limon argileux •couleur : brun gris •inclusions : charbons erratiques ; fragments

rubéfiés erratiques *prélèvements : céramique ; macro-faune *Codes : détritique hydromorphe *sur : 3791 *sous : 3792

*Us : 3795 *Fait : PO3295 *Ensemble : BAT01 *type d'Us : calage de trou de poteau *texture : limon argileux *couleur : brun gris *Codes : construction

*Us : 3796 *Fait : FS3843 *Ensemble : FOS13 *type d'Us : comblement de fosse *texture : limon argileux *structure : en mottes *couleur : jaune et orangé *Codes : remblai *sur : 3797 *sous : 3780

*Us : 3797 *Fait : FS3843 *Ensemble : FOS13 *type d'Us : comblement de fosse *texture : limon argileux *couleur : gris *Codes : sédimentation hydromorphe *sur : 3798 *sous : 3796

*Us : 3798 *Fait : FS3843 *Ensemble : FOS13 *type d'Us : comblement de fosse *texture : limon argileux *couleur : gris *inclusions : mottes brunes *Codes : remblai *sur : 3843 *sous : 3797

*Us : 3799 *Fait : FC3287 *Ensemble : FOS13 *type d'Us : comblement de fosse *texture : limon argileux *couleur : brun ocre *Codes : remblai *sur : 3803 *sous : 3802

*Us : 3800 *Fait : FC3287 *Ensemble : FOS13 *type d'Us : comblement de fosse *texture : limon argileux *couleur : gris *inclusions : charbons abondants ; fragments rubéfiés erratiques *prélèvements : céramique ; macro-faune *Codes : détritique hydromorphe *sur : 3812 *sous : 3287

*Us : 3801 *Fait : PO3801 *Ensemble : BAT02 *type d'Us : comblement de trou de poteau *texture : limon argileux *structure : en mottes *couleur : jaune *Codes : occupation

*Us : 3802 *Fait : FC3287 *Ensemble : FOS13 *type d'Us : creusement de fosse *Codes : occupation *sur : 3799 *sous : 3812

*Us : 3803 *Fait : FC3287 *Ensemble : FOS13 *type d'Us : comblement de fosse *texture : limon argileux *couleur : gris *inclusions : mottes jaunes *Codes : remblai *sur : 3804 *sous : 3799

*Us : 3804 *Fait : FC3287 *Ensemble : FOS13 *type d'Us : comblement de fosse *texture : limon argileux *couleur : gris *inclusions : charbons abondants *prélèvements : céramique ; macro-faune *Codes : détritique hydromorphe *sur : 3288 *sous : 3803

*Us : 3805 *Fait : FC3387 *type d'Us : comblement de fosse *texture : limon argileux *couleur : brun ocre *inclusions : charbons erratiques ; mottes de terre rubéfiée erratiques *prélèvements : céramique *Codes : remblai *sur : 3388 *sous : 3763 ; 3966

*Us : 3806 *Fait : PO3373 *Ensemble : BAT02 *type d'Us : calage de trou de poteau *texture : limon argileux *structure : en mottes *couleur : jaune *Codes : construction

*Us : 3807 *Fait : PO3381 *Ensemble : BAT02 *type d'Us : calage de trou de poteau *texture : limon argileux *structure : en mottes *couleur : jaune *Codes : construction

*Us : 3808 *Fait : PO3355 *Ensemble : BAT02 *type d'Us : calage de trou de poteau *texture : limon argileux *structure : en mottes *couleur : jaune *Codes : construction

*Us : 3809 *Fait : PO3345 *Ensemble : BAT03 *type d'Us : comblement de trou de poteau *texture : limon argileux *couleur : gris clair *Codes : occupation

*Us : 3810 *Fait : PO3431 *Ensemble : BAT02 *type d'Us : calage de trou de poteau *texture : limon argileux *structure : en mottes *couleur : jaune *Codes : construction

*Us : 3810

*Us : 3811 *Fait : PO3425 *Ensemble : BAT02 *type d'Us : calage de trou de poteau *texture : limon argileux *structure : en mottes *couleur : jaune *Codes : construction

*Us : 3812 *Fait : FC3287 *Ensemble : FOS13 *type d'Us : comblement de fosse *texture : limon argileux *couleur : gris *inclusions : charbons abondants ; fragments rubéfiés erratiques ; pierres brûlées erratiques *prélèvements : céramique ; macro-faune *Codes : détritique hydromorphe *sur : 3802 *sous : 3800

*Us : 3813 *Fait : PO3343 *Ensemble : BAT03 *type d'Us : comblement de trou de poteau *texture : limon argileux *couleur : gris clair *Codes : occupation

*Us : 3814 *Fait : PO3339 *Ensemble : BAT03 *type d'Us : comblement de trou de poteau *texture : limon argileux *couleur : gris foncé *Codes : occupation

*Us : 3815 *Fait : PO3341 *Ensemble : BAT03 *type d'Us : comblement de trou de poteau *texture : limon argileux *couleur : gris clair *Codes : occupation

*Us : 3816 *Fait : FS3285 *Ensemble : FOS13 *type d'Us : comblement de fosse *texture : limon argileux *structure : liseré de petites mottes *couleur : gris orangé *Codes : liseré de creusement *sur : 3286 *sous : 3778

*Us : 3817 *Fait : FS3818 *Ensemble : FOS13 *type d'Us : comblement de fosse *texture : limon argileux *couleur : gris *prélèvements : céramique ; macro-faune *Codes : sédimentation hydromorphe *sur : 3818 *sous : 3286 *TPQ : HF *TAQ : HF

*Us : 3818 *Fait : FS3818 *Ensemble : FOS13 *type d'Us : creusement de fosse *Codes : occupation *sur : 3817

*Us : 3819 *Fait : FS3457 *texture : limon argileux *couleur : brun ocre *inclusions : bariolé ; charbons erratiques ; cailloutis

*Us : 3820 *Fait : FS3457 *texture : limon argileux *couleur : brun ocre *inclusions : terre rubéfiée ; pierres *Codes : remblai *TPQ : HF

*Us : 3821 *Fait : PO3363 *Ensemble : BAT10 *type d'Us : calage de trou de poteau *texture : limon argileux *couleur : brun *Codes : construction

*Us : 3822 *Fait : PO3822 *Ensemble : BAT09 *type d'Us : comblement de trou de poteau *texture : limon argileux *couleur : gris *inclusions : bariolé ; charbons erratiques ; cailloutis *Codes : occupation

*Us : 3823 *Fait : PO3822 *Ensemble : BAT09 *type d'Us : creusement de trou de poteau *Codes : construction

*Us : 3824 *Fait : PO3824 *Ensemble : BAT09 *type d'Us : comblement de trou de poteau *texture : limon argileux *couleur : gris brun *inclusions : bariolé *Codes : occupation

*Us : 3825 *Fait : PO3824 *Ensemble : BAT09 *type d'Us : creusement de trou de poteau *Codes : construction

*Us : 3826 *Fait : PO3826 *Ensemble : BAT09 *type d'Us : comblement de trou de poteau *texture : limon argileux *couleur : gris brun *Codes : occupation

*Us : 3827 *Fait : PO3826 *Ensemble : BAT09 *type d'Us : creusement de trou de poteau *Codes : construction

*Us : 3828 *Fait : FS3711 *texture : limon argileux *couleur : gris moyen

*Us : 3829 *Fait : PO3829 *Ensemble : BAT09 *type d'Us : comblement de trou de poteau *texture : limon argileux *couleur : gris clair *inclusions : cailloutis *prélèvements : céramique *Codes : occupation

*Us : 3830 *Fait : PO3829 *Ensemble : BAT09 *type d'Us : creusement de trou de poteau *Codes : construction

*Us : 3831 *Fait : FC3780 *Ensemble : FOS13 *type d'Us : comblement de fosse *texture : limon argileux *couleur : brun orangé *Codes : remblai *sur : 3832 *sous : 3848

*Us : 3832 *Fait : FC3780 *Ensemble : FOS13 *type d'Us : comblement de fosse *texture : limon argileux *couleur : gris bleuté *prélèvements : céramique *Codes : sédimentation hydromorphe *sur : 3849 *sous : 3831

*Us : 3833 *Fait : FC3433 *type d'Us : comblement de fosse *prélèvements : céramique *Codes : remblai détritique *sur : 3773 *sous : 3433

*Us : 3834 *Fait : FC3433 *type d'Us : creusement de fosse *Codes : occupation

*Us : 3835 *Fait : PO3435 *Ensemble : BAT02 *type d'Us : calage de trou de poteau *texture : limon argileux *structure : en mottes *couleur : jaune *prélèvements : céramique *Codes : construction

*Us : 3836 *Fait : FS3836 *Ensemble : FOS13 *type d'Us : comblement de fosse *texture : limon argileux *couleur : brun gris foncé *inclusions : charbons abondants *prélèvements : céramique ; macro-faune *Codes : remblai détritique *sur : 3837 *TPQ : HF *TAQ : HF

*Us : 3837 *Fait : FS3836 *Ensemble : FOS13 *type d'Us : creusement de fosse *Codes : occupation *sur : 3790 *sous : 3836

*Us : 3838 *Fait : PO3493 *Ensemble : BAT08 *type d'Us : calage de trou de poteau *texture : limon argileux *couleur : gris beige *inclusions : charbons épars *Codes : construction

*Us : 3839 *Fait : PO3839 *Ensemble : BAT10 *type d'Us : comblement de trou de poteau *texture : limon argileux *couleur : gris *Codes : occupation

*Us : 3840 *Fait : PO3839 *Ensemble : BAT10 *type d'Us : creusement de trou de poteau *Codes : construction

*Us : 3841 *Fait : PO3839 *Ensemble : BAT10 *type d'Us : calage de trou de poteau *texture : limon argileux *couleur : gris *inclusions : mottes de Loess *Codes : construction

*Us : 3842 *Fait : PO3495 *Ensemble : BAT08 *type d'Us : comblement de trou de poteau *texture : limon argileux *couleur : gris *Codes : indéterminé

*Us : 3843 *Fait : FC3843 *Ensemble : FOS13 *type d'Us : creusement de fosse *Codes : occupation *sous : 3798

*Us : 3844 *Fait : FS3779 *Ensemble : FOS13 *type d'Us : comblement de fosse *texture : limon argileux *couleur : brun gris *prélèvements : céramique ; macro-faune *Codes : remblai détritique *sous : 3780 *TPQ : HF *TAQ : HF

*Us : 3845 *Fait : FS3846 *Ensemble : FOS13 *type d'Us : comblement de fosse *texture : limon argileux *couleur : gris *Codes : sédimentation hydromorphe *Égalité : 3777 ; 3854 *sur : 3846

*Us : 3846 *Fait : FS3846 *Ensemble : FOS13 *type d'Us : creusement de fosse *Codes : occupation *sous : 3845

*Us : 3847 *Fait : FC3780 *Ensemble : FOS13 *type d'Us : creusement de fosse *texture : limon argileux *structure : liseré de petites mottes *couleur : jaune *Codes : occupation *sur : 3848 *sous : 3850

*Us : 3848 *Fait : FC3780 *Ensemble : FOS13 *type d'Us : comblement de fosse *texture : limon argileux *couleur : brun gris *Codes : remblai *sur : 3831 *sous : 3847

*Us : 3849 *Fait : FC3780 *Ensemble : FOS13 *type d'Us : comblement de fosse *texture : limon argileux *structure : liseré de petites mottes *couleur : brun gris *Codes : liseré de creusement *sur : 3780 *sous : 3832

*Us : 3850 *Fait : FC3780 *Ensemble : FOS13 *type d'Us : comblement de fosse *texture : limon argileux *structure : en mottes *couleur : gris orangé *Codes : remblai *sur : 3847 *sous : 3286 *TPQ : HF *TAQ : HF

ZAC de la Pyramide Lot C1, Lieusaint, Ville Nouvelle de Sénart (77), fouille 15-07/04-10-2002
Inventaire des Us

•Us : 3851 •Fait : PO3851 •Ensemble : BAT08 •type d'Us : comblement de trou de poteau •texture : limon argileux •couleur : gris •inclusions : bariolé rouille ; charbons erratiques •prélèvements : céramique •Codes : occupation

•Us : 3852 •Fait : PO3851 •Ensemble : BAT08 •type d'Us : creusement de trou de poteau •Codes : construction

•Us : 3853 •Fait : PO3851 •Ensemble : BAT08 •type d'Us : calage de trou de poteau •texture : limon argileux •couleur : gris beige •Codes : construction

•Us : 3854 •Fait : FS3854 •Ensemble : FOS13 •type d'Us : comblement de fosse •texture : limon argileux •couleur : gris •prélèvements : céramique •Codes : sédimentation hydromorphe •Égalité : 3845 ; 3777 •sur : 3855

•Us : 3855 •Fait : FS3854 •Ensemble : FOS13 •Codes : occupation •sous : 3854

•Us : 3856 •Fait : FO3015 •Ensemble : SFO15 •type d'Us : liseré de creusement •texture : limon argileux •structure : en mottes •couleur : jaune •Codes : sédimentation anthropique •sur : 3016 •sous : 3015

•Us : 3861 •Fait : FO3862 •Ensemble : SFO20 •type d'Us : creusement de fossé •Codes : aménagement •Équivalence : 3181 ; 3901 •sur : 3896 •sous : 3862

•Us : 3862 •Fait : FO3862 •Ensemble : SFO20 •type d'Us : comblement de fossé hétérogène •texture : limon argileux •structure : en mottes •couleur : gris et jaune •inclusions : nodules loessiques et calcaires erratiques •Codes : sédimentation mixte •Équivalence : 3864 ; 3899 •sur : 3861 •sous : 3879

•Us : 3863 •Fait : FS3180 •type d'Us : liseré de creusement •texture : limon argileux •structure : en mottes •couleur : brun ocre •Codes : réaménagement •sur : 3864 •sous : 3180

•Us : 3864 •Fait : FS3180 •type d'Us : comblement de mare •texture : limon argileux •couleur : brun gris clair •inclusions : nodules loessiques éparses ; nodules de calcaire erratiques •prélèvements : macro-faune •Codes : aménagement •Égalité : 3899 •Équivalence : 3862 •sur : 3922 ; 3181 •sous : 3863

•Us : 3865 •Fait : FO3011 •Ensemble : SFO19 •type d'Us : comblement de fossé avec de la terre •texture : limon argileux •couleur : brun-beige •inclusions : charbons erratiques •Codes : remblai •Égalité : 4464 •sur : 3011 ; 3866 •sous : 3185

•Us : 3866 •Fait : FO3011 •Ensemble : SFO19 •type d'Us : comblement de fossé hydromorphe •texture : limon argileux •couleur : gris •inclusions : bariolé lie-de-vin •Codes : comblement hydromorphe •Égalité : 4510 •sur : 3011 ; 3867 •sous : 3865

•Us : 3867 •Fait : FO3011 •Ensemble : SFO19 •type d'Us : comblement de fossé •texture : limon argileux •structure : en mottes •couleur : blanchâtre •Codes : occupation •description : Liseret visible sur la coupe ouest du sondage C. •sur : 3011 •sous : 3866

•Us : 3868 •Fait : FO3011 •Ensemble : SFO19 •type d'Us : creusement de fossé •Codes : réaménagement •description : Creusement phase A du SFO19. •Égalité : 4465 •Équivalence : 3302 •sur : 3869 •sous : 3011 ; 3924

•Us : 3869 •Fait : FO3011 •Ensemble : SFO19 •type d'Us : comblement de fossé avec de la terre •texture : limon argileux •couleur : brun gris clair •inclusions : bariolé rouille •Codes : occupation •Égalité : 4466 •sur : 3870 •sous : 3868

•Us : 3870 •Fait : FO3011 •Ensemble : SFO19 •type d'Us : comblement de fossé hydromorphe •texture : limon argileux •couleur : gris •inclusions : bariolé rouille •Codes : comblement hydromorphe •Égalité : 4467 •sur : 3871 •sous : 3869

•Us : 3871 •Fait : FO3011 •Ensemble : SFO19 •type d'Us : creusement de fossé •Codes : réaménagement •description : Creusement phase B du SFO19. •Égalité : 4513 •sur : 3905 ; 3919 ; 3953 •sous : 3870

•Us : 3872 •Fait : FO3011 •Ensemble : SFO19 •type d'Us : comblement de fossé hétérogène •texture : argile limoneuse •couleur : grise •inclusions : cailloutis épars •Codes : occupation •Égalité : 4462 •sur : 3903 ; 3904 •sous : 3919

•Us : 3873 •Fait : FO3011 •Ensemble : SFO19 •type d'Us : comblement de fossé hydromorphe •texture : argile limoneuse •couleur : grise •inclusions : cailloutis erratique ; escargots lacustres épars •prélèvements : coquillage •Codes : sédimentation hydromorphe •Égalité : 4512 •sur : 3703 ; 3874 ; 3684 •sous : 3903 ; 3923 ; 3925

•Us : 3874 •Fait : FO3011 •Ensemble : SFO19 •type d'Us : creusement de fossé •Codes : réaménagement •description : Creusement de la phase D du SFO19. •Égalité : 4472 ; 3946 •sur : 3875 ; 3113 ; 3902 ; 3918 •sous : 3684 ; 3873 ; 3925

•Us : 3875 •Fait : FO3011 •Ensemble : SFO19 •type d'Us : comblement de fossé hydromorphe •texture : limon argileux •couleur : gris •inclusions : bariolé rouille •Codes : sédimentation hydromorphe •description : L'Us3875 se distingue de l'Us3917 par l'absence de nodules loessiques et calcaires erratiques. •Égalité : 4473 •Équivalence : 3917 ; 3878 •sur : 3938 •sous : 3918 ; 3113 ; 3874

•Us : 3876 •Fait : FO3011 •Ensemble : SFO19 •type d'Us : comblement de fossé avec de la terre •texture : limon argileux •couleur : brun orangé •inclusions : nodules loessiques et calcaires épars ; bariolé •Codes : indéterminé •Égalité : 4474 •sur : 3012 ; 3877 ; 3926 ; 3916 •sous : 3938

•Us : 3877 •Fait : FO3011 •Ensemble : SFO19 •type d'Us : comblement de fossé hydromorphe •texture : argile limoneuse •couleur : gris foncé •inclusions : nodules loessiques et calcaires épars ; bariolé rouille •Codes : sédimentation hydromorphe •description : Possible recouvrement ou curage entre 3877 et 3926. •Égalité : 4475 •Équivalence : 3916 •sur : 3012 ; 3927 •sous : 3876 ; 3926 ; 3938

•Us : 3878 •Fait : FO3878 •type d'Us : comblement de fossé hydromorphe •texture : limon argileux •couleur : gris •inclusions : bariolé ; nodules loessiques et calcaires erratiques •Codes : sédimentation hydromorphe •Égalité : 3917 •Équivalence : 3875 ; 3180 •sur : 3676 ; 3879 •sous : 3902

•Us : 3879 •Fait : FO3878 •type d'Us : creusement de fossé •Codes : aménagement •Équivalence : 3938 •sur : 3862 ; 3896 •sous : 3676 ; 3878

•Us : 3880 •Fait : FO3013 •Ensemble : SFO27 •type d'Us : comblement de fossé hétérogène •texture : limon argileux •structure : en mottes •couleur : gris et jaune •Codes : sédimentation mixte •sur : 3013 •sous : 3012 ; 3016

•Us : 3881 •Fait : FS3881 •type d'Us : comblement de fosse avec de la terre •texture : limon argileux •couleur : gris blanchi •inclusions : bariolé •Codes : non-anthropique

•Us : 3882 •Fait : FS3882 •type d'Us : comblement de fosse avec de la terre •texture : limon argileux •couleur : gris blanchi •inclusions : bariolé •Codes : non-anthropique

•Us : 3883 •Fait : FS3204 •type d'Us : comblement de mare •inclusions : charbons épars •Codes : sédimentation anthropique •description : Liseré de charbons sur le fond du creusement 3302 de la FS3204. •Équivalence : 3924 ; 3928 •sur : 3302 •sous : 3204

•Us : 3884 •Fait : FS3204 •type d'Us : comblement de mare •texture : argile limoneuse •couleur : gris bleuté •prélèvements : macro-faune •Codes : sédimentation hydromorphe •Équivalence : 3929 •sur : 3915 •sous : 3302

•Us : 3885 •Fait : PO3890 •Ensemble : BAT04 •type d'Us : creusement de trou de poteau

•Us : 3886 •Fait : PO3886 •Ensemble : BAT08 •type d'Us : comblement de trou de poteau •texture : limon argileux •couleur : gris beige •Codes : occupation

•Us : 3887 •Fait : PO3887 •Ensemble : BAT08 •type d'Us : comblement de trou de poteau •texture : limon argileux •couleur : gris beige •Codes : occupation

•Us : 3888 •Fait : FS3888 •type d'Us : comblement de type vidange de foyer •texture : sédiment cendro-charbonneux •couleur : noir •inclusions : mottes de terre rubéfiée •Codes : sédimentation anthropique •Égalité : 3925 ; 4127 ; 4508 •sur : 3944 •sous : 3304 ; 3944

•Us : 3889 •Fait : FS3889 •Ensemble : BAT04 •type d'Us : comblement et creusement de fosse •texture : limon argileux •couleur : gris •inclusions : charbons erratiques •Codes : occupation •description : Poteaux ?

•Us : 3890 •Fait : PO3890 •Ensemble : BAT04 •type d'Us : comblement de trou de poteau •texture : limon argileux •couleur : gris brun •inclusions : charbons erratiques •Codes : occupation

•Us : 3891 •Fait : PO3891 •Ensemble : BAT04 •type d'Us : comblement de trou de poteau •texture : limon argileux •couleur : brun gris •inclusions : charbons erratiques •Codes : occupation

•Us : 3892 •Fait : PO3892 •Ensemble : BAT04 •type d'Us : comblement de trou de poteau •texture : limon argileux •couleur : brun gris •inclusions : charbons erratiques •Codes : occupation

•Us : 3893 •Fait : PO3893 •Ensemble : BAT09 •type d'Us : comblement de trou de poteau •texture : limon argileux •couleur : gris •inclusions : charbons erratiques •Codes : occupation

•Us : 3894 •Fait : PO3894 •Ensemble : BAT09 •type d'Us : comblement de trou de poteau •texture : limon argileux •couleur : gris •inclusions : charbons erratiques •Codes : occupation •description : ALTITUDE DE FOND 1,52

•Us : 3895 •Fait : PO3894 •Ensemble : BAT09 •type d'Us : creusement de trou de poteau •Codes : construction

•Us : 3896 •Fait : FO3201 •Ensemble : SFO26 •type d'Us : comblement de fossé avec de la terre •texture : hétérogène •couleur : jaune orangé •inclusions : cailloutis abondant ; galets ; pierres •Codes : remblai de nivellement •description : Roches sous-jacentes remaniées provenant du creusement initial du SFO19 (3012 ?). •Égalité : 4597 •Équivalence : 3012 ; 3201 •sur : 3897 •sous : 3861 ; 3012 ; 3520 ; 3901

•Us : 3897 •Fait : FO3201 •Ensemble : SFO26 •type d'Us : comblement de fossé hydromorphe •texture : limon argileux •couleur : gris •inclusions : nodules loessiques et calcaires erratiques •prélèvements : céramique ; macro-faune •Codes : sédimentation hydromorphe •Égalité : 4598 •Équivalence : 3214 •sur : 3898 •sous : 3896

•Us : 3898 •Fait : FO3201 •Ensemble : SFO26 •type d'Us : creusement de fossé •Codes : occupation •Égalité : 4599 •Équivalence : 3215 •sous : 3897

•Us : 3899 •Fait : FO3899 •Ensemble : SFO20 •type d'Us : comblement de fossé avec de la terre •texture : limon argileux •couleur : brun gris clair •inclusions : nodules loessiques et calcaires erratiques •Codes : sédimentation mixte •Égalité : 3864 •Équivalence : 3862 •sur : 3900 ; 3901 •sous : 3185

•Us : 3900 •Fait : FO3899 •Ensemble : SFO20 •type d'Us : comblement de fossé avec de la terre •texture : limon argileux •couleur : jaune •inclusions : nodules calcaires erratiques •Codes : colluvions •description : Loess remanié. •sur : 3901 •sous : 3899

•Us : 3901 •Fait : FO3899 •Ensemble : SFO20 •type d'Us : creusement de fossé •Codes : aménagement •Égalité : 3181 •Équivalence : 3861 •sur : 3896 •sous : 3899 ; 3900

•Us : 3902 •Fait : FO3878 •type d'Us : comblement de fossé avec de la terre •texture : limon argileux •couleur : jaune •inclusions : cailloutis erratique •Codes : remblai de nivellement •Équivalence : 3249 ; 3918 ; 3519 •sur : 3878 ; 3917 •sous : 3874

•Us : 3903 •Fait : FO3011 •Ensemble : SFO19 •type d'Us : creusement de fossé •Codes : réaménagement •description : Creusement de la phase C du SFO19. •Égalité : 4470 •sur : 3923 ; 3925 ; 3873 •sous : 3872 ; 3904

•Us : 3904 •Fait : FO3011 •Ensemble : SFO19 •type d'Us : comblement de fossé hétérogène •texture : limon argileux •couleur : gris •inclusions : cailloutis abondant ; nodules loessiques épars ; galets •Codes : réaménagement •Égalité : 4470 •sur : 3903 •sous : 3872

•Us : 3905 •Fait : FO3011 •Ensemble : SFO19 •type d'Us : comblement de fossé hétérogène •texture : limon argileux •couleur : gris •inclusions : cailloutis abondant •Codes : abandon •Equivalence : 3953 ; 4101 •sur : 3919 •sous : 3871

•Us : 3906 •Fait : FC3210 •type d'Us : creusement de fosse •Codes : occupation •sur : 3985 •sous : 3907

•Us : 3907 •Fait : FC3210 •type d'Us : comblement de fosse •texture : limon argileux •couleur : orangé •Codes : remblai •sur : 3906 •sous : 3914

•Us : 3908 •Fait : FC3210 •type d'Us : comblement de fosse •texture : limon argileux •structure : en mottes •couleur : jaune •Codes : remblai •sur : 3912 •sous : 3986

•Us : 3909 •Fait : FC3210 •type d'Us : creusement de fosse •texture : limon argileux •structure : liseré de petites mottes •couleur : jaune •Codes : occupation •sur : 3911 ; 3914 •sous : 3912

•Us : 3910 •Fait : FC3210 •type d'Us : comblement de fosse •texture : limon argileux •structure : en mottes •couleur : jaune •Codes : remblai •sur : 3913 •TPQ : HF •TAQ : HF

•Us : 3911 •Fait : FC3210 •type d'Us : comblement de fosse •texture : limon argileux •couleur : beige •inclusions : charbons erratiques •prélèvements : céramique •Codes : remblai •Égalité : 3914 •sous : 3909

•Us : 3912 •Fait : FC3210 •type d'Us : comblement de fosse •texture : limon argileux •couleur : beige •Codes : remblai •sur : 3909 •sous : 3908

•Us : 3913 •Fait : FC3210 •type d'Us : comblement de fosse •texture : cendro-charbonneux •couleur : gris noir •inclusions : fragments rubéfiés erratiques •prélèvements : céramique •Codes : remblai détritique •sur : 3210 •sous : 3910

•Us : 3914 •Fait : FC3210 •type d'Us : comblement de fosse •texture : limon argileux •couleur : beige •inclusions : charbons erratiques •prélèvements : céramique •Codes : remblai •Égalité : 3911 •sur : 3907 •sous : 3909

•Us : 3915 •Fait : FS3204 •type d'Us : comblement de mare •texture : argile limoneuse •couleur : gris brun •inclusions : cailloutis épars •Codes : sédimentation mixte •sur : 3205 •sous : 3884

•Us : 3916 •Fait : FO3011 •Ensemble : SFO19 •type d'Us : comblement de fossé hydromorphe •texture : limon argileux •couleur : gris •inclusions : escargots lacustres épars ; nodules loessiques et calcaires erratiques •Codes : sédimentation hydromorphe •Equivalence : 3877 •sur : 3012 •sous : 3876 ; 3938

•Us : 3917 •Fait : FO3011 •Ensemble : SFO19 •type d'Us : comblement de fossé hydromorphe •texture : limon argileux •couleur : gris •inclusions : bariolé rouille ; nodules loessiques et calcaires erratiques •Codes : sédimentation hydromorphe •description : L'Us3917 se distingue de l'Us3875 par la présence de nodules loessiques et calcaires erratiques. •Égalité : 3878 •Equivalence : 3875 ; 3878 •sur : 3729 ; 3938 ; 3686 •sous : 3902

•Us : 3918 •Fait : FO3011 •Ensemble : SFO19 •type d'Us : comblement de fossé avec de la terre •texture : limon argileux •couleur : brun gris •inclusions : bariolé rouille •Codes : remblai •Égalité : 4404 ; 3113 •sur : 3875 ; 3938 •sous : 3874

•Us : 3919 •Fait : FO3011 •Ensemble : SFO19 •type d'Us : comblement de fossé hydromorphe •texture : argile •couleur : gris bleuté •Codes : comblement hydromorphe •Égalité : 4468 •sur : 3872 ; 3904 •sous : 3905 ; 3953

•Us : 3920 •Fait : FO3934 •Ensemble : SFO20 •type d'Us : comblement de fossé avec de la terre •texture : limon argileux •couleur : jaune •inclusions : cailloutis épars •Codes : remblai •description : Encaissant remanié. •Égalité : 3717 •Equivalence : 3490 ; 3943 ; 3949 ; 4479 •sur : 3934 •sous : 3935 ; 3205

•Us : 3921 •Fait : FO3934 •Ensemble : SFO20 •type d'Us : comblement de fossé hétérogène •texture : limon argileux •structure : en mottes •couleur : gris et jaune •Codes : colluvions •sur : 3213 •sous : 3934

•Us : 3922 •Fait : FS3180 •type d'Us : comblement de mare •texture : limon argileux •couleur : brun ocre •Codes : sédimentation naturelle •sur : 3181 •sous : 3864

•Us : 3923 •Fait : FO3011 •Ensemble : SFO19 •type d'Us : comblement de fossé hétérogène •texture : argile limoneuse •couleur : grise •inclusions : bariolé rouille ; charbons erratiques •Codes : comblement hydromorphe •sur : 3925 •sous : 3903

•Us : 3924 •Fait : FO3011 •Ensemble : SFO19 •type d'Us : comblement de fossé •inclusions : charbons épars •Codes : sédimentation anthropique •description : Liseré de charbons sur le fond du FO3011 phase A. •Égalité : 4660 •Equivalence : 3883 •sur : 3868 •sous : 3011

•Us : 3925 •Fait : FO3011 •Ensemble : SFO19 •type d'Us : comblement de type vidange de foyer •texture : sédiment cendro-charbonneux •couleur : noir •inclusions : mottes de terre rubéfiée •Codes : sédimentation anthropique •Égalité : 4471 ; 3888 •Equivalence : 4127 ; 4508 ; 4888 •sur : 3873 •sous : 3903 ; 3923

•Us : 3926 •Fait : FO3011 •Ensemble : SFO19 •type d'Us : comblement de fossé hydromorphe •texture : limon argileux •couleur : gris foncé •inclusions : bariolé lie-de-vein •Codes : sédimentation hydromorphe •description : Possible recouvrement ou curage entre 3877 et 3926. •sur : 3877 •sous : 3876

•Us : 3927 •Fait : FO3011 •Ensemble : SFO19 •type d'Us : altération de l'encaissant •texture : limon argileux •couleur : jaune blanchi •inclusions : cailloutis épars •Codes : indéterminé •description : Roche sous-jacente altérée ou remaniée ? •Égalité : 4516 •sous : 3877

•Us : 3928 •Fait : FS3224 •Ensemble : SFO19 •type d'Us : comblement de mare •inclusions : charbons épars •Codes : sédimentation anthropique •description : Liseré de charbons sur le fond du creusement 3932 de la FS3224. •Equivalence : 3883 ; 3924 •sur : 3932 •sous : 3224

•Us : 3929 •Fait : FS3224 •Ensemble : SFO19 •type d'Us : comblement de mare •texture : argile limoneuse •couleur : gris bleuté •Codes : sédimentation hydromorphe •Equivalence : 3884 •sur : 3931 ; 3930 •sous : 3932

•Us : 3930 •Fait : FS3224 •Ensemble : SFO19 •type d'Us : comblement de mare •texture : limon argileux •couleur : brun •inclusions : cailloutis épars ; pierres ; nodules loessiques et calcaires épars •Codes : colluvions •sur : 3225 •sous : 3929

•Us : 3931 •Fait : FS3224 •Ensemble : SFO19 •type d'Us : comblement de mare •texture : limon argileux •couleur : brun orangé •Codes : indéterminé •sur : 3225 •sous : 3929

•Us : 3932 •Fait : FS3224 •Ensemble : SFO19 •type d'Us : creusement de mare •Codes : réaménagement •Equivalence : 3302 ; 3868 •sur : 3929 •sous : 3928

•Us : 3933 •Fait : PO3499 •Ensemble : BAT08 •type d'Us : calage de poteau •texture : limon argileux •structure : en mottes •couleur : jaune •inclusions : bariolé •Codes : construction

•Us : 3934 •Fait : FO3934 •Ensemble : SFO20 •type d'Us : comblement de fossé hydromorphe •texture : limon argileux •couleur : gris •inclusions : nodules loessiques et calcaires erratiques •Codes : sédimentation hydromorphe •Égalité : 3942 •Equivalence : 3454 ; 3940 ; 3950 ; 4480 ; 3318 •sur : 3213 ; 3921 •sous : 3920 ; 3936

•Us : 3935 •Fait : FO3212 •Ensemble : SFO20 •type d'Us : creusement de fossé •Codes : réaménagement •Equivalence : 3452 ; 3491 ; 3879 ; 3952 ; 4594 ; 3230 ; 3250 •sur : 3920 •sous : 3936

•Us : 3936 •Fait : FO3212 •Ensemble : SFO20 •type d'Us : comblement de fossé avec de la terre •texture : limon argileux •couleur : brun gris orangé •inclusions : bariolé •Codes : indéterminé •description : Recouvrement ou curage possible entre 3936 et 3212 ? •Equivalence : 3446 ; 3948 ; 4478 ; 3753 ; 3967 •sur : 3934 ; 3935 •sous : 3212

•Us : 3937 •Fait : FO3617 •Ensemble : SFO18 •type d'Us : comblement de fossé avec de la terre •texture : limon argileux •couleur : jaune •inclusions : nodules calcaires erratiques •Codes : remblai •Égalité : 3231 ; 3490 ; 3943 ; 3949 ; 4479 •Equivalence : 3717 ; 3920 •sur : 3318 ; 3249 •sous : 3250

•Us : 3938 •Fait : FO3011 •Ensemble : SFO19 •type d'Us : creusement de fossé •Codes : destruction •description : Creusement de la phase E du SFO29. •Égalité : 4654 •Equivalence : 3879 •sur : 3877 ; 3916 ; 3876 •sous : 3686 ; 3875 ; 3917

•Us : 3939 •Fait : FO3940 •Ensemble : SFO20 •type d'Us : creusement de fossé •Codes : aménagement •Égalité : 3248 ; 3520 ; 4050 •Equivalence : 3218 ; 3718 •sur : 3201 •sous : 3940

•Us : 3940 •Fait : FO3940 •Ensemble : SFO20 •type d'Us : comblement de fossé hydromorphe •texture : limon argileux •couleur : gris foncé •inclusions : nodules loessiques et calcaires erratiques ; escargots lacustres erratiques •Codes : sédimentation hydromorphe •Égalité : 3454 ; 3950 ; 4480 •Equivalence : 3934 ; 3942 •sur : 3939 •sous : 3943

•Us : 3941 •Fait : FS3595 •type d'Us : comblement de fosse avec de la terre •texture : limon argileux •couleur : brun •inclusions : cendres ; charbons abondants ; nodules de calcaire erratiques ; terre rubéfiée abondante •prélèvements : céramique ; macro-faune •Codes : vidange de foyer détritique •sur : 3955 •sous : 3595

•Us : 3942 •Fait : FO3934 •Ensemble : SFO20 •type d'Us : comblement de fossé hydromorphe •texture : limon argileux •couleur : gris •inclusions : nodules loessiques et calcaires erratiques •Codes : sédimentation hydromorphe •Égalité : 3934 •Equivalence : 3454 ; 3940 ; 3950 ; 4480 •sur : 3718 •sous : 3717

•Us : 3943 •Fait : FO3940 •Ensemble : SFO20 •type d'Us : comblement de fossé avec de la terre •texture : limon argileux •couleur : jaune •inclusions : cailloutis épars •Codes : remblai •description : Encaissant remanié. •Égalité : 3490 ; 3949 ; 4479 •Equivalence : 3717 ; 3920 •sur : 3940 •sous : 3452

•Us : 3944 •Fait : FS3888 •type d'Us : comblement de fosse hétérogène •texture : limon argileux •couleur : brun •inclusions : cailloutis abondant ; charbons erratiques ; mottes de terre rubéfiée erratiques •Codes : sédimentation mixte •sur : 3945 •sous : 3888

•Us : 3945 •Fait : FS3888 •type d'Us : comblement de fosse avec de la terre •texture : limon argileux •couleur : brun •inclusions : cailloutis erratique •Codes : indéterminé •sur : 3946 •sous : 3944

•Us : 3946 •Fait : FS3888 •type d'Us : creusement de mare •Codes : aménagement •Égalité : 3874 •Equivalence : 4406 ; 4643 •sur : 3519 •sous : 3945

•Us : 3948 •Fait : FO3247 •Ensemble : SFO17 •type d'Us : comblement de fossé avec de la terre •texture : limon argileux •couleur : brun gris orangé •inclusions : bariolé •Codes : indéterminé •Égalité : 3446 ; 3753 ; 4478 •Equivalence : 3936 •sur : 3952 •sous : 3951

•Us : 3949 •Fait : FO3247 •Ensemble : SFO17 •type d'Us : comblement de fossé avec de la terre •texture : limon argileux •couleur : jaune •inclusions : nodules calcaires erratiques •Codes : remblai •Égalité : 3231 ; 3490 ; 3943 ; 4479 •Equivalence : 3717 ; 3920 •sur : 3950 •sous : 3952

•Us : 3950 •Fait : FO3247 •Ensemble : SFO17 •type d'Us : comblement de fossé hydromorphe •texture : limon argileux •couleur : gris clair •inclusions : nodules loessiques et calcaires épars •Codes : sédimentation hydromorphe •Égalité : 3232 ; 3454 ; 3940 ; 4480 •Equivalence : 3934 ; 3942 •sur : 3248 •sous : 3949

•Us : 3951 •Fait : FO3247 •Ensemble : SFO17 •type d'Us : comblement de fossé hydromorphe •texture : limon argileux •couleur : gris •inclusions : bariolé •prélèvements : céramique ; macro-faune •Codes : comblement hydromorphe •Égalité : 3450 ; 3487 ; 4049 •Equivalence : 3212 ; 3878 •sur : 3948 •sous : 3249

•Us : 3952 •Fait : FO3247 •Ensemble : SFO17 •type d'Us : creusement de fossé •Codes : réaménagement •Égalité : 3452 ; 3491 ; 4594 •Equivalence : 3935 •sur : 3949 •sous : 3948

ZAC de la Pyramide Lot C1, Lieusaint, Ville Nouvelle de Sénart (77), fouille 15-07/04-10-2002
Inventaire des Us

•Us : 3953 •Fait : FO3011 •Ensemble : SFO19 •type d'Us : comblement de fossé hydromorphe •texture : argile limoneuse •couleur : gris clair •inclusions : bariolé •Codes : comblement hydromorphe •Égalité : 4101 •Equivalence : 3905 •sur : 3919 •sous : 3871

•Us : 3954 •Fait : FO3697 •Ensemble : SFO16 •type d'Us : comblement de fossé hétérogène •texture : limon argileux •structure : en mottes •couleur : gris et jaune •Codes : sédimentation mixte •Égalité : 4445 •sur : 3698 •sous : 3697

•Us : 3955 •Fait : FS3595 •type d'Us : comblement de fosse avec de la terre •texture : limon argileux •couleur : brun foncé •inclusions : charbons abondants •Codes : remblai détritique •sur : 3956 •sous : 3941

•Us : 3956 •Fait : FS3595 •type d'Us : comblement de fosse avec de la terre •texture : limon argileux •couleur : brun gris •inclusions : imprégnation fergineuse •Codes : remblai •sous : 3955

•Us : 3957 •Fait : FS3713 •type d'Us : comblement de fosse •texture : limon argileux •couleur : gris bleuté •inclusions : charbons erratiques ; charbons épars •Codes : détritique hydromorphe •sur : 3750 •sous : 3958

•Us : 3958 •Fait : FS3713 •type d'Us : comblement de fosse •texture : limon argileux •couleur : gris •inclusions : bariolé ; charbons erratiques •prélèvements : céramique ; macro-faune •Codes : sédimentation hydromorphe •sur : 3957 •sous : 3713

•Us : 3959 •type d'Us : sol encaissant

•Us : 3960 •type d'Us : sol encaissant

•Us : 3961 •type d'Us : sol encaissant

•Us : 3962 •type d'Us : sol encaissant

•Us : 3963 •type d'Us : sol encaissant

•Us : 3964 •Fait : FS3964 •type d'Us : comblement de fosse avec de la terre •texture : limon argileux •couleur : brun gris •Codes : indéterminé

•Us : 3965 •Fait : FS3964 •type d'Us : creusement de fosse •Codes : indéterminé

•Us : 3966 •Fait : FC3387 •type d'Us : creusement de fosse •Codes : occupation •description : Recreusement. •sous : 3764

•Us : 3967 •Fait : FO3617 •Ensemble : SFO18 •type d'Us : comblement de fossé avec de la terre •texture : limon argileux •couleur : brun gris orangé •inclusions : bariolé •Codes : indéterminé •Égalité : 3446 ; 3753 ; 3948 ; 4478 •Equivalence : 3936 •sur : 3250 •sous : 3617

•Us : 3968 •Fait : FC3017 •type d'Us : creusement de fosse •Codes : occupation •Equivalence : 3028 •sur : 3027 •sous : 3017 ; 3028 ; 3571

•Us : 3969 •Fait : FC3017 •type d'Us : creusement de fosse •Codes : occupation •sur : 3024

•Us : 3970 •Fait : FC3305 •type d'Us : comblement de fosse •texture : limon argileux •couleur : jaune •Codes : remblai •sur : 3305

•Us : 3972 •Fait : FC3305 •Codes : creusement probable •sous : 3765

•Us : 3973 •Fait : FC3305 •type d'Us : creusement de fosse •Codes : occupation •sur : 3784 •sous : 3793

•Us : 3974 •Fait : FC3237 •type d'Us : creusement de fosse •Codes : occupation •sur : 3770 •sous : 3772

•Us : 3975 •Fait : FS3281 •type d'Us : comblement de fosse •texture : limon argileux •couleur : brun gris •Codes : remblai •sur : 3282 •sous : 3281

•Us : 3976 •Fait : FC3615 •type d'Us : creusement de fosse •Codes : occupation •sur : 3977 •sous : 3615

•Us : 3977 •Fait : FC3615 •type d'Us : comblement de fosse avec de la terre •texture : limon argileux •couleur : brun orangé •Codes : remblai •sur : 3978 •sous : 3976

•Us : 3978 •Fait : FC3615 •type d'Us : comblement de fosse avec de la terre •texture : limon argileux •couleur : jaune •Codes : remblai ou effondrement •sur : 3979 •sous : 3977

•Us : 3979 •Fait : FC3615 •type d'Us : comblement de fosse avec de la terre •texture : limon argileux •couleur : gris •inclusions : bariolé rouille ; charbon •prélèvements : céramique ; macro-faune •Codes : détritique hydromorphe •sur : 3980 •sous : 3978

•Us : 3980 •Fait : FC3615 •type d'Us : comblement de fosse avec de la terre •texture : limon argileux •couleur : gris clair à moyen •inclusions : charbons erratiques •Codes : indéterminé •sur : 3616 •sous : 3979

•Us : 3981 •Fait : FC3615 •type d'Us : comblement de fosse avec de la terre •texture : limon argileux •structure : en mottes •couleur : brun gris •inclusions : de loess •Codes : remblai •sur : 3982 •sous : 3616

•Us : 3982 •Fait : FC3615 •type d'Us : creusement de fosse •sous : 3981

•Us : 3983 •Fait : PO3886 •Ensemble : BAT08 •type d'Us : creusement de trou de poteau •Codes : occupation

•Us : 3984 •Fait : PO3887 •Ensemble : BAT08 •type d'Us : creusement de trou de poteau •Codes : occupation

•Us : 3985 •Fait : FC3210 •type d'Us : comblement de fosse •texture : limon argileux •couleur : gris clair •prélèvements : céramique ; macro-faune •Codes : remblai •sur : 3211 •sous : 3906

•Us : 3986 •Fait : FC3210 •type d'Us : creusement de fosse •Codes : occupation •sur : 3908 •sous : 3210

•Us : 3987 •Fait : FO3987 •type d'Us : comblement de fossé avec de la terre •Equivalence : syn.3896

•Us : 3988 •Fait : FO3987 •type d'Us : creusement de fossé

•Us : 3990 •Fait : PO3990 •Ensemble : BAT04 •type d'Us : trou de poteau (comblement et creusement) •texture : limon argileux •couleur : brun gris •Codes : occupation •description : décapé et enregistré en plan pendant le diagnostic. surdécapé à la fouille.

•Us : 3991 •Fait : PO3991 •Ensemble : BAT04 •type d'Us : trou de poteau (comblement et creusement) •texture : limon argileux •couleur : brun gris •Codes : occupation •description : décapé et enregistré en plan pendant le diagnostic. surdécapé à la fouille.

•Us : 3992 •Fait : PO3992 •Ensemble : BAT04 •type d'Us : trou de poteau (comblement et creusement) •texture : limon argileux •couleur : brun gris •Codes : occupation •description : Décapé et enregistré en plan pendant le diagnostic. Surdécapé et vidé à la fouille.

•Us : 3993 •Fait : FS3993 •Ensemble : BAT04 •type d'Us : comblement et creusement de fosse •texture : limon argileux •couleur : gris brun •prélèvements : céramique ; macro-faune •Codes : indéterminé •description : décapé et enregistré en plan pendant le diagnostic. surdécapé à la fouille. •Égalité : 2095

•Us : 3994 •Fait : FS3994 •type d'Us : comblement et creusement •texture : limon argileux •prélèvements : tuile ; verre •TPQ : XXe

•Us : 3996 •Fait : PO3469 •Ensemble : BAT04 •type d'Us : calage de trou de poteau •texture : limon argileux •couleur : brun jaune •Codes : construction

•Us : 3997 •Fait : PO3467 •Ensemble : BAT04 •type d'Us : calage de trou de poteau •texture : limon argileux •couleur : brun jaune •Codes : construction •description : Calage de trou de poteau.

•Us : 3998 •Fait : PO3465 •Ensemble : BAT04 •type d'Us : calage de trou de poteau •texture : limon argileux •couleur : brun jaune •Codes : construction •Equivalence : 3465 •sur : 3466

•Us : 3999 •Fait : FS3783 •type d'Us : creusement

15.3 Unités stratigraphiques de la Zone 4

•Us : 4001 •type d'Us : comblement de chablis •texture : limon argileux •couleur : brun orangé •inclusions : bariolé •Codes : chablis

•Us : 4002 •type d'Us : creusement de chablis •Codes : chablis

•Us : 4003 •type d'Us : comblement de chablis •texture : limon argileux •couleur : brun orangé •inclusions : bariolé •Codes : chablis

•Us : 4004 •type d'Us : creusement •Codes : Chablis

•Us : 4005 •type d'Us : comblement de fosse avec de la terre •texture : limon argileux •couleur : gris brun •inclusions : bariolé ; charbons erratiques ; fragments rubéfiés erratiques •prélèvements : céramique ; macro-faune •Codes : remblai détritique •TPQ : HF •TAQ : HF

•Us : 4006 •type d'Us : creusement de fosse •Codes : occupation

•Us : 4007 •type d'Us : comblement de fosse avec de la terre •texture : limon argileux •couleur : brun gris •inclusions : charbons erratiques ; terre rubéfiée •prélèvements : céramique ; macro-faune •Codes : remblai détritique •TPQ : HF •TAQ : HF

•Us : 4008 •type d'Us : creusement de fosse •Codes : occupation

•Us : 4009 •type d'Us : comblement de fosse avec de la terre •texture : limon argileux •couleur : brun clair •inclusions : bariolé

•Us : 4010 •type d'Us : creusement de fosse

•Us : 4011 •type d'Us : comblement de fosse •texture : limon argileux •couleur : brun gris •inclusions : bariolé ; terre rubéfiée •Codes : indéterminé

•Us : 4012 •type d'Us : creusement

•Us : 4013 •type d'Us : comblement de fosse avec de la terre •texture : cendro-charbonneux •couleur : noir •inclusions : terre rubéfiée •prélèvements : céramique •Codes : vidange de foyer détritique •TPQ : HF •TAQ : HF

•Us : 4014 •type d'Us : creusement de fosse •Codes : occupation

•Us : 4015 •type d'Us : comblement de fosse avec de la terre •texture : cendro-charbonneux •couleur : gris noir •inclusions : fragments rubéfiés erratiques •prélèvements : céramique ; macro-faune •Codes : remblai détritique •TPQ : HF •TAQ : HF

•Us : 4016 •type d'Us : creusement •Codes : occupation

•Us : 4017 •type d'Us : comblement de fosse avec de la terre •texture : limon argileux •couleur : brun ocre •inclusions : bariolé •Codes : indéterminé

•Us : 4018 •type d'Us : creusement •Codes : indéterminé

•Us : 4019 •type d'Us : comblement de fosse avec de la terre •texture : limon argileux •couleur : brun orangé •inclusions : bariolé •Codes : non-anthropique

•Us : 4020 •type d'Us : creusement •Codes : non-anthropique

•Us : 4021 •type d'Us : comblement de fosse avec de la terre •texture : limon argileux •couleur : brun orangé •inclusions : bariolé •Codes : non-anthropique

•Us : 4022 •type d'Us : creusement •Codes : non-anthropique

•Us : 4023 •type d'Us : comblement de fosse avec de la terre •texture : limon argileux •couleur : brun gris •inclusions : cendres ; charbons abondants ; mottes rubéfiées erratiques ; mottes de loess •prélèvements : céramique ; macro-faune •Codes : remblai détritique •TPQ : HF •TAQ : HF

•Us : 4024 •type d'Us : creusement •Codes : occupation

•Us : 4025 •type d'Us : comblement de fosse avec de la terre •texture : limon argileux •couleur : brun gris •inclusions : bariolé •Codes : non-anthropique

•Us : 4026 •type d'Us : creusement •Codes : non-anthropique

•Us : 4027 •type d'Us : comblement de fosse avec de la terre •texture : limon argileux •couleur : brun orangé •Codes : non-anthropique

•Us : 4028 •type d'Us : creusement •Codes : non-anthropique

•Us : 4029 •type d'Us : comblement de chablis •texture : limon argileux •couleur : brun orangé •inclusions : bariolé •Codes : chablis

•Us : 4030 •type d'Us : creusement de chablis •Codes : chablis

•Us : 4031 •type d'Us : comblement de chablis •texture : limon argileux •couleur : brun orangé •inclusions : bariolé •Codes : chablis

•Us : 4032 •type d'Us : creusement de chablis •Codes : chablis

•Us : 4033 •type d'Us : comblement de fosse avec de la terre •texture : limon argileux •couleur : brun ocre orangé •inclusions : bariolé

•Us : 4034 •type d'Us : creusement

•Us : 4035 •type d'Us : comblement de fosse avec de la terre •texture : limon argileux •couleur : gris •inclusions : pierres chauffées ; charbons abondants ; fragments rubéfiés épars •prélèvements : céramique ; macro-faune •Codes : détritique hydromorphe •TPQ : HF •TAQ : HF

•Us : 4036 •type d'Us : creusement de fosse •Codes : occupation

•Us : 4037 •type d'Us : comblement de chablis •texture : limon argileux •couleur : brun gris moyen •inclusions : terre rubéfiée ; pierres chauffées ; charbons erratiques ; bariolé •Codes : chablis

•Us : 4038 •type d'Us : creusement de chablis •Codes : chablis

•Us : 4039 •type d'Us : comblement de fosse avec de la terre •texture : cendro-charbonneux •couleur : gris noir •inclusions : pierres chauffées ; terre rubéfiée •prélèvements : céramique ; macro-faune •Codes : vidange de foyer détritique •TPQ : HF •TAQ : HF

•Us : 4040 •type d'Us : creusement de fosse •Codes : occupation

•Us : 4041 •type d'Us : comblement de chablis •texture : limon argileux •couleur : brun orangé •inclusions : bariolé •Codes : chablis

•Us : 4042 •type d'Us : creusement de chablis •Codes : chablis

•Us : 4043 •type d'Us : comblement de fosse avec de la terre •texture : limon argileux •couleur : brun orangé •inclusions : bariolé •Codes : non-anthropique

•Us : 4044 •type d'Us : creusement •Codes : non-anthropique

•Us : 4045 •type d'Us : comblement de fosse avec de la terre •texture : limon argileux •couleur : brun orangé •inclusions : bariolé •Codes : non-anthropique

•Us : 4046 •type d'Us : creusement

•Us : 4047 •type d'Us : comblement de fosse avec de la terre •texture : limon argileux •couleur : brun orangé •inclusions : bariolé ; nodules loessiques et calcaires épars ; mottes de loess •Codes : remblai de nivellement

•Us : 4048 •type d'Us : creusement de fossé

•Us : 4049 •type d'Us : comblement de fossé hydromorphe •texture : limon argileux •couleur : gris à gris brun •inclusions : bariolé •prélèvements : céramique •Codes : sédimentation hydromorphe

•Us : 4050 •type d'Us : creusement de fossé •Codes : aménagement

•Us : 4051 •type d'Us : annulé •texture : limon argileux •couleur : brun gris •inclusions : bariolé ; charbons erratiques •prélèvements : céramique

•Us : 4052 •type d'Us : annulé

•Us : 4053 •type d'Us : comblement de chablis •texture : limon argileux •couleur : brun orangé •inclusions : bariolé •prélèvements : céramique •Codes : chablis

•Us : 4054 •type d'Us : creusement de chablis •Codes : chablis

•Us : 4055 •type d'Us : comblement de trou de poteau •texture : limon argileux •couleur : brun gris •Codes : occupation

•Us : 4056 •type d'Us : creusement de trou de poteau •Codes : construction

•Us : 4057 •type d'Us : comblement de fosse avec de la terre •texture : limon argileux •couleur : brun gris •inclusions : bariolé •Codes : non-anthropique

•Us : 4058 •type d'Us : creusement

•Us : 4059 •type d'Us : comblement de trou de poteau •texture : limon argileux •couleur : brun gris •Codes : occupation

•Us : 4060 •type d'Us : creusement de trou de poteau •Codes : construction

•Us : 4061 •type d'Us : comblement de fosse avec de la terre •texture : limon argileux •couleur : brun gris clair •Codes : non-anthropique

•Us : 4062 •type d'Us : creusement

•Us : 4063 •type d'Us : comblement de trou de poteau •texture : limon argileux •couleur : brun gris clair

•Us : 4064 •type d'Us : creusement de trou de poteau

•Us : 4065 •type d'Us : comblement de fosse avec de la terre •texture : limon argileux •couleur : brun gris clair •Codes : non-anthropique

•Us : 4066 •type d'Us : creusement •Codes : non-anthropique

•Us : 4067 •type d'Us : comblement de trou de poteau •texture : limon argileux •couleur : brun gris clair

•Us : 4068 •type d'Us : creusement de trou de poteau

•Us : 4069 •type d'Us : comblement de fosse avec de la terre •texture : limon argileux •couleur : brun noir moyen •inclusions : charbons erratiques •Codes : indéterminé

- Us : 4070 •type d'Us : creusement de fosse
- Us : 4071 •type d'Us : comblement de fosse avec de la terre •texture : limon argileux •couleur : brun orangé •inclusions : bariolé •Codes : non-anthropique
- Us : 4072 •type d'Us : creusement
- Us : 4073 •type d'Us : comblement de fosse avec de la terre •texture : limon argileux •couleur : brun orangé •inclusions : bariolé •Codes : indéterminé
- Us : 4074 •type d'Us : creusement
- Us : 4075 •type d'Us : comblement de chablis •texture : limon argileux •couleur : brun orangé •inclusions : bariolé •Codes : chablis
- Us : 4076 •type d'Us : creusement de chablis •Codes : chablis
- Us : 4077 •type d'Us : comblement de chablis •texture : limon argileux •couleur : brun orangé •inclusions : bariolé •Codes : chablis
- Us : 4078 •type d'Us : creusement de chablis •Codes : chablis
- Us : 4079 •type d'Us : comblement de fossé hydromorphe •texture : limon argileux •couleur : gris •inclusions : pierres chauffées erratiques •prélèvements : céramique ; macro-faune •Codes : sédimentation hydromorphe
- Us : 4080 •type d'Us : creusement de fossé •Codes : aménagement
- Us : 4081 •type d'Us : comblement de fossé avec de la terre •texture : limon argileux •couleur : brun gris clair
- Us : 4082 •type d'Us : creusement de fossé
- Us : 4083 •type d'Us : comblement de fosse avec de la terre •texture : limon argileux •couleur : brun orangé •Codes : indéterminé
- Us : 4084 •type d'Us : creusement
- Us : 4085 •type d'Us : comblement de fossé avec de la terre •texture : limon argileux •couleur : brun gris •inclusions : bariolé
- Us : 4086 •type d'Us : creusement de fossé
- Us : 4087 •type d'Us : comblement de chablis •texture : limon argileux •couleur : brun orangé foncé •inclusions : bariolé •Codes : chablis
- Us : 4088 •type d'Us : creusement de chablis •Codes : chablis
- Us : 4089 •type d'Us : comblement de fosse avec de la terre •texture : limon argileux •couleur : brun orangé clair •Codes : non-anthropique
- Us : 4090 •type d'Us : creusement •Codes : non-anthropique
- Us : 4091 •type d'Us : comblement de trou de poteau •texture : limon argileux •couleur : brun gris clair •Codes : occupation
- Us : 4092 •type d'Us : creusement de trou de poteau •Codes : occupation
- Us : 4093 •type d'Us : comblement de chablis •texture : limon argileux •couleur : brun orangé •inclusions : bariolé •Codes : chablis
- Us : 4094 •type d'Us : creusement de chablis •Codes : chablis
- Us : 4095 •type d'Us : comblement de fossé avec de la terre •texture : limon argileux •couleur : gris bleuté
- Us : 4096 •type d'Us : creusement de fossé
- Us : 4097 •type d'Us : comblement de mare •texture : argile •couleur : gris violacé •Codes : sédimentation hydromorphe
- Us : 4098 •type d'Us : comblement de mare •texture : limon argileux •couleur : gris brun •Codes : sédimentation naturelle
- Us : 4099 •type d'Us : comblement de fossé hydromorphe •texture : limon argileux •couleur : gris foncé •inclusions : bariolé •Codes : sédimentation hydromorphe
- Us : 4100 •type d'Us : creusement de fossé •Codes : aménagement
- Us : 4101 •type d'Us : comblement de fossé hydromorphe •texture : argile limoneuse •couleur : gris clair •Codes : comblement hydromorphe
- Us : 4102 •type d'Us : creusement de fossé •Codes : aménagement
- Us : 4103 •type d'Us : comblement de trou de poteau •texture : limon argileux •couleur : gris clair •inclusions : bariolé •Codes : occupation
- Us : 4104 •type d'Us : creusement de trou de poteau •Codes : occupation
- Us : 4105 •type d'Us : comblement de fosse avec de la terre •texture : limon argileux •couleur : gris clair •inclusions : bariolé •Codes : indéterminé
- Us : 4106 •type d'Us : creusement •Codes : indéterminé
- Us : 4107 •type d'Us : comblement de trou de poteau •texture : limon argileux •couleur : gris brun orangé clair •inclusions : bariolé •Codes : occupation
- Us : 4108 •type d'Us : creusement de trou de poteau •Codes : construction
- Us : 4109 •type d'Us : comblement de fossé avec de la terre •texture : limon argileux •couleur : brun gris clair •inclusions : bariolé
- Us : 4110 •type d'Us : creusement de fossé
- Us : 4111 •type d'Us : comblement de trou de poteau •texture : limon argileux •couleur : brun gris clair •inclusions : bariolé
- Us : 4112 •type d'Us : creusement de trou de poteau
- Us : 4113 •type d'Us : comblement de trou de poteau •texture : limon argileux •couleur : gris clair •inclusions : bariolé
- Us : 4114 •type d'Us : creusement de trou de poteau
- Us : 4115 •type d'Us : comblement de trou de poteau •texture : limon argileux •couleur : gris clair •inclusions : bariolé
- Us : 4116 •type d'Us : creusement de trou de poteau
- Us : 4117 •type d'Us : comblement de trou de poteau •texture : limon argileux •couleur : gris moyen •inclusions : bariolé •Codes : occupation
- Us : 4118 •type d'Us : creusement de trou de poteau •Codes : construction
- Us : 4119 •type d'Us : comblement de trou de poteau •texture : limon argileux •couleur : brun gris moyen •inclusions : bariolé •Codes : occupation
- Us : 4120 •type d'Us : creusement de trou de poteau •Codes : construction
- Us : 4121 •type d'Us : comblement de fosse avec de la terre •texture : limon argileux •couleur : gris moyen •inclusions : bariolé •Codes : indéterminé
- Us : 4122 •type d'Us : creusement de fosse •Codes : indéterminé
- Us : 4123 •type d'Us : comblement de fosse avec de la terre •texture : limon argileux •couleur : gris clair •inclusions : bariolé •Codes : non-anthropique
- Us : 4124 •type d'Us : creusement de fosse
- Us : 4125 •type d'Us : comblement de fosse avec de la terre •texture : limon argileux •couleur : gris moyen clair •inclusions : bariolé •Codes : indéterminé
- Us : 4126 •type d'Us : creusement •Codes : indéterminé
- Us : 4127 •type d'Us : comblement de type vidange de foyer •texture : sédiment cendro-charbonneux •couleur : noir •Codes : sédimentation anthropique
- Us : 4128 •type d'Us : comblement de mare •texture : limon argileux •couleur : gris •inclusions : bariolé rouille •Codes : sédimentation hydromorphe
- Us : 4129 •type d'Us : couche de sédimentation •Codes : chablis
- Us : 4130 •type d'Us : creusement de chablis •Codes : chablis
- Us : 4131 •type d'Us : comblement de fosse avec de la terre •texture : limon argileux •couleur : gris foncé •inclusions : bariolé •Codes : non-anthropique
- Us : 4132 •type d'Us : creusement •Codes : non-anthropique
- Us : 4133 •type d'Us : comblement de trou de poteau •texture : limon argileux •couleur : gris moyen •inclusions : bariolé •Codes : occupation
- Us : 4134 •type d'Us : creusement de trou de poteau •Codes : construction
- Us : 4135 •type d'Us : comblement de fosse avec de la terre •texture : limon argileux •couleur : gris brun •inclusions : bariolé •Codes : indéterminé
- Us : 4136 •type d'Us : creusement de fosse •Codes : indéterminé
- Us : 4137 •type d'Us : comblement de trou de poteau •couleur : gris foncé •inclusions : bariolé •Codes : occupation
- Us : 4138 •type d'Us : creusement de trou de poteau •Codes : occupation
- Us : 4139 •type d'Us : comblement de trou de poteau •texture : limon argileux •couleur : gris moyen •inclusions : bariolé •Codes : occupation
- Us : 4140 •type d'Us : creusement de trou de poteau •Codes : occupation
- Us : 4141 •type d'Us : comblement de trou de poteau •texture : limon argileux •couleur : gris •inclusions : bariolé •Codes : occupation
- Us : 4142 •type d'Us : creusement de trou de poteau •Codes : occupation
- Us : 4143 •type d'Us : comblement de trou de poteau •texture : limon argileux •couleur : gris •inclusions : bariolé •prélèvements : céramique
- Us : 4144 •type d'Us : creusement de trou de poteau •Codes : occupation
- Us : 4145 •type d'Us : comblement de fossé hydromorphe •texture : limon argileux •couleur : gris •inclusions : bariolé lie-de-vin •Codes : comblement hydromorphe
- Us : 4146 •type d'Us : creusement de fossé •Codes : aménagement
- Us : 4147 •type d'Us : comblement de fossé •texture : limon argileux •couleur : gris brun blanchi •Codes : indéterminé

•Us : 4381 •type d'Us : comblement de fosse avec de la terre •texture : limon argileux
•couleur : brun ocre •inclusions : bariolé •Codes : non-anthropique

•Us : 4382 •type d'Us : creusement

•Us : 4383 •type d'Us : comblement de fosse avec de la terre •texture : limon argileux
•couleur : brun ocre •inclusions : bariolé •Codes : non-anthropique

•Us : 4384 •type d'Us : creusement

•Us : 4385 •type d'Us : comblement de fosse avec de la terre •texture : limon argileux
•couleur : brun ocre •inclusions : bariolé •Codes : non-anthropique

•Us : 4386 •type d'Us : creusement

•Us : 4387 •type d'Us : comblement de chablis •texture : limon argileux •couleur : brun
ocre •inclusions : bariolé

•Us : 4388 •type d'Us : creusement de chablis

•Us : 4389 •type d'Us : comblement de chablis •texture : limon argileux •couleur : brun
ocre •inclusions : bariolé

•Us : 4390 •type d'Us : creusement de chablis •Codes : chablis

•Us : 4391 •type d'Us : creusement de chablis •texture : limon argileux •couleur : brun
ocre •inclusions : bariolé •Codes : chablis

•Us : 4392 •type d'Us : creusement de chablis •Codes : chablis

•Us : 4393 •type d'Us : comblement de chablis •texture : limon argileux •couleur : brun
ocre •inclusions : bariolé •Codes : chablis

•Us : 4394 •type d'Us : creusement de chablis •Codes : chablis

•Us : 4395 •type d'Us : comblement de chablis •texture : limon argileux •couleur : brun
ocre •inclusions : bariolé •Codes : chablis

•Us : 4396 •type d'Us : creusement de chablis •Codes : chablis

•Us : 4397 •type d'Us : comblement de chablis •texture : limon argileux •couleur : brun
ocre •inclusions : bariolé •Codes : chablis

•Us : 4398 •type d'Us : creusement de chablis •Codes : chablis

•Us : 4399 •type d'Us : comblement de chablis •texture : limon argileux •couleur : brun
ocre •inclusions : bariolé •Codes : chablis

•Us : 4400 •type d'Us : creusement de chablis •Codes : chablis

•Us : 4401 •type d'Us : comblement de fosse avec de la terre •texture : limon argileux
•couleur : brun moyen •inclusions : bariolé •Codes : non-anthropique

•Us : 4402 •type d'Us : creusement

•Us : 4403 •type d'Us : comblement de fossé hydromorphe •Codes : comblement
hydromorphe

•Us : 4404 •type d'Us : comblement de fossé avec de la terre •texture : limon argileux
•couleur : brun gris •inclusions : bariolé rouille •Codes : remblai

•Us : 4405 •type d'Us : comblement de mare •texture : argile limoneuse •couleur : gris
clair •Codes : sédimentation hydromorphe

•Us : 4406 •type d'Us : creusement de mare •Codes : aménagement

•Us : 4407 •type d'Us : comblement de fosse avec de la terre •texture : limon argileux
•couleur : non-enregistré •Codes : indéterminé

•Us : 4408 •type d'Us : creusement

•Us : 4409 •type d'Us : comblement de fossé avec de la terre •texture : limon argileux
•couleur : gris •TPQ : MOD

•Us : 4410 •type d'Us : creusement

•Us : 4411 •type d'Us : comblement de fosse avec de la terre •texture : limon argileux
•couleur : non-enregistré

•Us : 4412 •type d'Us : creusement

•Us : 4413 •type d'Us : comblement de fosse avec de la terre •texture : limon argileux
•couleur : brun gris •Codes : indéterminé

•Us : 4414 •type d'Us : creusement

•Us : 4415 •type d'Us : comblement de fosse hydromorphe •texture : limon argileux
•couleur : gris brun •inclusions : bariolé rouille •Codes : sédimentation hydromorphe

•Us : 4416 •type d'Us : annulé

•Us : 4417 •type d'Us : annulé

•Us : 4418 •type d'Us : annulé

•Us : 4419 •type d'Us : annulé

•Us : 4420 •texture : limon argileux •couleur : gris clair •inclusions : bariolé

•Us : 4421 •type d'Us : comblement de trou de poteau •texture : limon argileux •couleur
: brun gris •inclusions : nodules loessiques éparées •Codes : occupation

•Us : 4422 •type d'Us : comblement de trou de poteau •texture : limon argileux •couleur
: brun gris •inclusions : nodules loessiques éparées •Codes : occupation

•Us : 4423 •texture : limon argileux •couleur : gris, (taches ocres) •inclusions : bariolé

•Us : 4424 •texture : limon argileux •couleur : gris clair •inclusions : bariolé

•Us : 4425 •texture : limon argileux •couleur : gris, taches ocres

•Us : 4426 •texture : limon argileux •couleur : ocre, taches grises •inclusions : pierres

•Us : 4427 •type d'Us : comblement de trou de poteau •texture : limon argileux •couleur
: gris, ocre •prélèvements : céramique ; macro-faune •Codes : occupation

•Us : 4428 •type d'Us : comblement de trou de poteau •texture : limon argileux •couleur
: brun gris clair •Codes : occupation

•Us : 4429 •type d'Us : comblement de trou de poteau •texture : limon argileux •couleur
: gris •inclusions : charbons erratiques •Codes : occupation

•Us : 4430 •type d'Us : creusement de trou de poteau •Codes : construction

•Us : 4431 •type d'Us : comblement de trou de poteau •texture : limon argileux •couleur
: gris •Codes : occupation

•Us : 4432 •type d'Us : creusement de trou de poteau •Codes : occupation

•Us : 4433 •type d'Us : comblement de trou de poteau •texture : limon argileux •couleur
: gris •Codes : occupation

•Us : 4434 •type d'Us : creusement de trou de poteau •Codes : occupation

•Us : 4435 •type d'Us : comblement de trou de poteau •texture : limon argileux •couleur
: gris •Codes : occupation

•Us : 4436 •type d'Us : creusement de trou de poteau •Codes : occupation

•Us : 4437 •type d'Us : comblement de trou de poteau •texture : limon argileux •couleur
: gris •Codes : occupation

•Us : 4438 •type d'Us : creusement de trou de poteau •Codes : occupation

•Us : 4439 •type d'Us : comblement de trou de poteau •texture : limon argileux •couleur
: gris •Codes : occupation

•Us : 4440 •type d'Us : creusement de trou de poteau •Codes : occupation

•Us : 4441 •type d'Us : comblement de trou de poteau •texture : limon argileux •couleur
: non-enregistré •Codes : occupation

•Us : 4442 •type d'Us : creusement de trou de poteau •Codes : occupation

•Us : 4443 •type d'Us : comblement de trou de poteau •texture : limon argileux •couleur
: gris brun ocre •inclusions : bariolé •Codes : occupation

•Us : 4444 •type d'Us : creusement de trou de poteau •Codes : occupation

•Us : 4445 •type d'Us : comblement de fossé hétérogène •texture : limon argileux
•couleur : gris •inclusions : bariolé •Codes : sédimentation mixte

•Us : 4446 •type d'Us : annuler annuler annuler annuler •texture : limon argileux
•couleur : gris, ocre

•Us : 4447 •type d'Us : comblement de fosse avec de la terre •texture : limon argileux
•couleur : brun clair •inclusions : argile cuite •Codes : non-anthropique

•Us : 4448 •type d'Us : creusement de fosse

•Us : 4449 •type d'Us : comblement de trou de poteau •texture : limon argileux •couleur
: gris moyen •inclusions : bariolé •Codes : occupation

•Us : 4450 •type d'Us : creusement de trou de poteau •Codes : occupation

•Us : 4451 •type d'Us : comblement de fosse •texture : cendro-charbonneux •couleur :
gris noir •inclusions : fragments rubéfiés éparés •prélèvements : céramique ; macro-faune
•Codes : remblai détritique

•Us : 4452 •type d'Us : comblement de fosse •texture : limon argileux •couleur : gris-
cendreuse •inclusions : charbons abondants ; fragments rubéfiés erratiques ; pierres
brûlées éparées •prélèvements : céramique ; macro-faune •Codes : utilisation ou remblai
détritique

•Us : 4453 •type d'Us : comblement de fosse •texture : limon argileux •couleur : brun
gris clair •inclusions : charbons abondants •Codes : remblai

•Us : 4454 •type d'Us : comblement de fosse •texture : cendro-charbonneux •couleur :
noir •prélèvements : céramique ; macro-faune •Codes : remblai détritique

•Us : 4455 •type d'Us : comblement de fosse •inclusions : céramiques •Codes : remblai
détritique

•Us : 4456 •type d'Us : comblement de fosse •texture : limon argileux •structure : en
mottes •couleur : brun-noir, beige •inclusions : pierres ; charbons abondants
•prélèvements : céramique •Codes : remblai détritique

•Us : 4457 *type d'Us : comblement de fosse *texture : limon argileux *couleur : brun
*inclusions : charbons abondants ; pierres brûlées éparses *prélèvements : céramique ;
macro-faune *Codes : remblai détritique

•Us : 4458 *type d'Us : comblement de fosse *inclusions : terre rubéfiée abondante
*Codes : vidange de foyer détritique

•Us : 4459 *type d'Us : comblement de fosse *texture : cendro-charbonneux *couleur :
gris noir *inclusions : fragments rubéfiés épars *prélèvements : céramique *Codes :
vidange de foyer détritique

•Us : 4460 *type d'Us : comblement de fosse *texture : cendro-charbonneux *couleur :
gris noir *prélèvements : céramique *Codes : vidange de foyer détritique

•Us : 4461 *type d'Us : comblement de fossé avec de la terre *texture : limon *couleur :
beige blanchi *Codes : sédimentation naturelle

•Us : 4462 *type d'Us : comblement de fossé *texture : limon argileux *couleur : beige
blanchi *inclusions : charbons erratiques *Codes : occupation

•Us : 4463 *type d'Us : creusement de fossé *Codes : occupation

•Us : 4464 *type d'Us : comblement de fossé *texture : limon argileux *couleur : brun-
brun *inclusions : charbons erratiques *Codes : remblai

•Us : 4465 *type d'Us : creusement de fossé *Codes : réaménagement

•Us : 4466 *type d'Us : comblement de fossé *texture : limon argileux *couleur : gris
brun clair *inclusions : bariolé rouille *prélèvements : céramique ; macro-faune *Codes :
occupation

•Us : 4467 *type d'Us : comblement de fossé hydromorphe *texture : limon argileux
*couleur : gris *inclusions : bariolé rouille *Codes : comblement hydromorphe

•Us : 4468 *type d'Us : comblement de fossé hydromorphe *texture : argile *couleur :
gris bleuté *Codes : occupation

•Us : 4469 *type d'Us : comblement de fossé *texture : limon argileux *couleur : gris
brun *inclusions : bariolé rouille *Codes : colluvions

•Us : 4470 *type d'Us : comblement de fossé hétérogène *texture : limon argileux
*couleur : gris *inclusions : cailloutis ; nodules de calcaire erratiques ; galets *Codes :
réaménagement

•Us : 4471 *type d'Us : comblement de type vidange de foyer *texture : sédiment cendro-
charbonneux *couleur : noir *inclusions : mottes de terre rubéfiée *Codes : sédimentation
anthropique

•Us : 4472 *type d'Us : creusement de fossé *Codes : réaménagement

•Us : 4473 *type d'Us : comblement de fossé hydromorphe *texture : limon argileux
*couleur : gris *inclusions : bariolé rouille *Codes : sédimentation hydromorphe

•Us : 4474 *type d'Us : comblement de fossé avec de la terre *texture : limon argileux
*couleur : brun orangé *inclusions : bariolé ; nodules loessiques et calcaires épars *Codes :
indéterminé

•Us : 4475 *type d'Us : comblement de fossé hydromorphe *texture : argile limoneuse
*couleur : gris foncé *inclusions : nodules loessiques et calcaires épars ; bariolé rouille
*Codes : occupation

•Us : 4476 *type d'Us : comblement de fossé hydromorphe *texture : limon argileux
*couleur : gris bleuté *Codes : sédimentation hydromorphe

•Us : 4477 *type d'Us : comblement de fossé *texture : limon argileux *couleur : brun
gris *inclusions : bariolé *Codes : indéterminé

•Us : 4478 *type d'Us : comblement de fossé avec de la terre *texture : limon argileux
*couleur : brun gris orangé *inclusions : bariolé *Codes : indéterminé

•Us : 4479 *type d'Us : comblement de fossé avec de la terre *texture : limon argileux
*couleur : jaune *inclusions : cailloutis épars *Codes : occupation

•Us : 4480 *type d'Us : comblement de fossé *texture : limon argileux *couleur : gris
*inclusions : bariolé *Codes : sédimentation hydromorphe

•Us : 4481 *type d'Us : comblement de fossé *texture : limon argileux *couleur : jaune
*Codes : colluvions

•Us : 4482 *type d'Us : comblement de fossé *texture : limon argileux *structure : en
mottes *couleur : jaune-orangé et gris *Codes : sédimentation mixte

•Us : 4483 *type d'Us : comblement de fossé avec de la terre *texture : limon argileux
*couleur : brun gris *inclusions : charbons erratiques ; nodules loessiques et calcaires
erratiques *prélèvements : céramique ; scorie *Codes : remblai

•Us : 4484 *type d'Us : comblement de fosse *texture : limon argileux *couleur : brun à
beige *inclusions : charbons abondants *prélèvements : céramique ; macro-faune *Codes :
remblai détritique

•Us : 4485 *type d'Us : comblement de fosse *texture : limon argileux *couleur : brun
clair *prélèvements : céramique *Codes : remblai

•Us : 4486 *type d'Us : comblement de fosse *texture : limon argileux *couleur : brun
beige *prélèvements : macro-faune *Codes : remblai

•Us : 4487 *type d'Us : comblement de fosse *texture : cendro-charbonneux *couleur :
gris noir *inclusions : mottes brunes *prélèvements : céramique *Codes : remblai
détritique

•Us : 4488 *type d'Us : comblement de fosse *texture : limon argileux *couleur : brun
beige *prélèvements : macro-faune *Codes : remblai

•Us : 4489 *type d'Us : comblement de fosse *texture : cendro-charbonneux *couleur :
gris noir *prélèvements : céramique *Codes : remblai détritique

•Us : 4490 *type d'Us : comblement de fosse *texture : limon argileux *couleur : gris
*Codes : sédimentation hydromorphe

•Us : 4491

•Us : 4492

•Us : 4493 *type d'Us : comblement de fosse *texture : limon argileux *couleur : gris clair
*inclusions : charbons erratiques *prélèvements : céramique ; macro-faune *Codes :
utilisation ou remblai détritique

•Us : 4494 *type d'Us : comblement de fosse *texture : limon argileux *couleur : brun
*inclusions : charbons abondants *prélèvements : céramique ; macro-faune *Codes :
remblai détritique

•Us : 4495 *type d'Us : comblement de fosse *inclusions : pierres brûlées abondantes
*prélèvements : céramique ; macro-faune *Codes : vidange de foyer détritique

•Us : 4496 *type d'Us : comblement de fosse *texture : limon argileux *structure : liseré
de petites mottes *couleur : jaune *Codes : liseré de creusement

•Us : 4497 *type d'Us : creusement de fosse *Codes : occupation

•Us : 4498 *type d'Us : creusement de fosse *Codes : occupation

•Us : 4499 *type d'Us : comblement de fosse *texture : cendro-charbonneux *couleur :
noir *inclusions : fragments rubéfiés épars *prélèvements : céramique ; macro-faune
*Codes : vidange de foyer détritique

•Us : 4500 *type d'Us : comblement de fosse *texture : limon argileux *couleur : brun
*inclusions : fragments rubéfiés épars *prélèvements : céramique ; macro-faune *Codes :
remblai

•Us : 4501 *type d'Us : comblement de structure en creux *texture : limon argileux
*structure : en mottes *couleur : jaune

•Us : 4502 *texture : limon argileux *couleur : gris brun

•Us : 4503 *texture : limon argileux *couleur : gris jaune

•Us : 4504 *type d'Us : creusement

•Us : 4505 *texture : limon argileux *couleur : gris brun *inclusions : nodules calcaires
et loessiques épars

•Us : 4506 *texture : limon argileux *structure : en mottes *couleur : gris et jaune

•Us : 4507 *type d'Us : creusement

•Us : 4508 *type d'Us : comblement de type vidange de foyer *texture : sédiment cendro-
charbonneux *couleur : noir *inclusions : mottes de terre rubéfiée erratiques *Codes :
sédimentation anthropique

•Us : 4509 *type d'Us : comblement de fosse hydromorphe *texture : limon argileux
*couleur : gris *inclusions : bariolé *Codes : sédimentation hydromorphe

•Us : 4510 *type d'Us : comblement de fossé hydromorphe *texture : limon argileux
*couleur : gris *inclusions : bariolé lie-de-vin *Codes : comblement hydromorphe

•Us : 4511 *type d'Us : comblement de fossé hydromorphe *texture : argile *couleur :
gris violacé *Codes : comblement hydromorphe

•Us : 4512 *type d'Us : comblement de fossé hydromorphe *texture : argile limoneuse
*couleur : grise *inclusions : cailloutis erratique ; escargots lacustres épars *Codes :
sédimentation hydromorphe

•Us : 4513 *type d'Us : creusement de fossé *Codes : réaménagement

•Us : 4514 *type d'Us : comblement de fossé hétérogène *texture : limon argileux
*couleur : gris beige *inclusions : bariolé rouille ; nodules loessiques et calcaires
abondants *Codes : colluvions

•Us : 4515 *type d'Us : comblement de fossé hétérogène *texture : limon argileux
*couleur : gris et jaune *inclusions : nodules loessiques et calcaires abondants *Codes :
colluvions

•Us : 4516 *type d'Us : altération de l'encaissant *texture : limon argileux *couleur :
jaune blanchi *inclusions : cailloutis épars *Codes : indéterminé

•Us : 4517 *type d'Us : comblement de fosse *texture : limon argileux *couleur : brun
*inclusions : charbons abondants ; pierres brûlées éparses *prélèvements : céramique ;
macro-faune *Codes : remblai détritique

•Us : 4518 *type d'Us : comblement de fosse *texture : limon argileux *couleur : brun
*inclusions : charbons abondants ; pierres brûlées éparses *prélèvements : céramique ;
macro-faune *Codes : remblai détritique

•Us : 4519 *type d'Us : comblement de fosse *texture : limon argileux *couleur : jaune
*Codes : remblai ou effondrement

•Us : 4520 *type d'Us : comblement de fosse *texture : limon argileux *couleur : jaune
*Codes : remblai ou effondrement

•Us : 4521 *type d'Us : creusement *Codes : occupation

•Us : 4522

•Us : 4523 *type d'Us : comblement de fosse *texture : limon argileux *couleur : gris *inclusions : charbons abondants ; fragments rubéfiés épars *prélèvements : céramique ; macro-faune *Codes : détritique hydromorphe

•Us : 4524 *type d'Us : creusement de fosse *Codes : occupation

•Us : 4525 *type d'Us : creusement de fosse *Codes : occupation

•Us : 4526 *type d'Us : creusement de fosse *Codes : occupation

•Us : 4527 *type d'Us : comblement de fosse *texture : cendro-charbonneux *couleur : noir *inclusions : terre rubéfiée abondante *prélèvements : céramique *Codes : vidange de foyer détritique

•Us : 4528 *type d'Us : comblement de fosse *texture : cendro-charbonneux *couleur : noir *prélèvements : céramique *Codes : vidange de foyer détritique

•Us : 4529 *type d'Us : comblement de fosse *texture : limon argileux *couleur : jaune clair *prélèvements : céramique *Codes : remblai

•Us : 4530 *type d'Us : comblement de fosse *texture : cendro-charbonneux *couleur : gris noir *inclusions : fragments rubéfiés épars *prélèvements : céramique ; macro-faune *Codes : remblai détritique

•Us : 4531 *type d'Us : comblement de fosse *texture : limon argileux *couleur : brun gris *prélèvements : céramique *Codes : remblai

•Us : 4532 *type d'Us : comblement de fosse *texture : limon argileux *couleur : gris *inclusions : mottes jaune beige ; charbons abondants *Codes : remblai détritique

•Us : 4533 *type d'Us : comblement de fosse *texture : limon argileux *couleur : brun orangé *prélèvements : céramique *Codes : remblai

•Us : 4534 *type d'Us : comblement de fosse *texture : limon argileux *couleur : beige *Codes : remblai

•Us : 4535 *type d'Us : comblement de fosse *texture : limon argileux *structure : liseré de petites mottes *couleur : orangé *Codes : liseré de creusement

•Us : 4536 *type d'Us : comblement de fosse *texture : cendro-charbonneux *couleur : noir *prélèvements : céramique ; macro-faune *Codes : vidange de foyer détritique

•Us : 4537 *type d'Us : comblement de fosse *texture : cendro-charbonneux *couleur : gris noir *Codes : vidange de foyer détritique

•Us : 4538 *type d'Us : comblement de fosse *texture : limon argileux *structure : liseré de petites mottes *couleur : orangé *Codes : liseré de creusement

•Us : 4539 *type d'Us : creusement *Codes : occupation

•Us : 4540 *type d'Us : creusement *Codes : occupation

•Us : 4541 *type d'Us : creusement de fosse *Codes : occupation

•Us : 4542 *type d'Us : comblement de fosse *texture : limon argileux *couleur : jaune *Codes : remblai

•Us : 4543 *type d'Us : comblement de fosse *texture : limon argileux *couleur : gris clair *inclusions : charbons abondants ; fragments rubéfiés erratiques *prélèvements : céramique ; macro-faune *Codes : détritique hydromorphe

•Us : 4544 *type d'Us : comblement de fosse *texture : cendro-charbonneux *couleur : gris noir *inclusions : mottes de Loess ; fragments rubéfiés épars *prélèvements : céramique ; macro-faune *Codes : remblai détritique

•Us : 4545 *type d'Us : comblement de fosse *texture : limon argileux *structure : liseré de petites mottes *couleur : jaune *Codes : liseré de creusement

•Us : 4546 *type d'Us : comblement de fosse *texture : limon argileux *structure : en mottes *couleur : brun foncé *Codes : remblai

•Us : 4547 *type d'Us : creusement *Codes : occupation

•Us : 4548 *type d'Us : creusement *Codes : occupation

•Us : 4549 *type d'Us : comblement de fosse *texture : limon argileux *structure : liseré de petites mottes *couleur : ocre et grises *Codes : liseré de creusement

•Us : 4550 *type d'Us : comblement de fosse *texture : limon argileux *couleur : gris *inclusions : charbons abondants *Codes : détritique hydromorphe

•Us : 4551 *texture : limon argileux *couleur : brun foncé *inclusions : bariolé ; charbons erratiques *prélèvements : céramique

•Us : 4552 *texture : limon argileux *couleur : brun moyen *inclusions : bariolé ; charbons épars *prélèvements : céramique

•Us : 4553 *type d'Us : comblement de fosse *texture : limon argileux *couleur : jaune beige *Codes : remblai

•Us : 4554 *type d'Us : comblement de fosse *texture : limon argileux *couleur : brun clair *inclusions : charbons abondants *Codes : remblai détritique

•Us : 4555 *texture : limon argileux *couleur : brun clair ocre

•Us : 4556 *type d'Us : comblement de fosse *texture : limon argileux *structure : en mottes *couleur : jaune à orangé *inclusions : fragments rubéfiés erratiques *prélèvements : céramique ; macro-faune *Codes : liseré de creusement

•Us : 4557 *type d'Us : comblement de fosse *texture : limon argileux *couleur : brun gris *inclusions : mottes beiges ; charbons épars *prélèvements : céramique ; macro-faune *Codes : remblai

•Us : 4558 *type d'Us : comblement de fosse *texture : limon argileux *couleur : beige *inclusions : charbons abondants ; fragments rubéfiés épars *prélèvements : céramique ; macro-faune *Codes : remblai détritique

•Us : 4559 *type d'Us : comblement de fosse *texture : cendro-charbonneux *couleur : gris noir *inclusions : fragments rubéfiés épars *prélèvements : céramique ; macro-faune *Codes : remblai détritique

•Us : 4560 *type d'Us : comblement de fosse *texture : limon argileux *couleur : gris *inclusions : charbons abondants ; terre rubéfiée abondante *prélèvements : céramique ; macro-faune *Codes : détritique hydromorphe

•Us : 4561 *type d'Us : comblement de fosse *texture : limon argileux *couleur : brun foncé *Codes : remblai

•Us : 4562 *type d'Us : comblement de fosse *texture : limon argileux *couleur : brun foncé *Codes : remblai

•Us : 4563 *type d'Us : comblement de fosse *texture : limon argileux *couleur : jaune *Codes : remblai ou effondrement

•Us : 4564 *type d'Us : comblement de fosse *texture : limon argileux *couleur : brun orangé *prélèvements : céramique ; macro-faune *Codes : remblai ou effondrement

•Us : 4565 *type d'Us : comblement de fosse *texture : limon argileux *couleur : jaune *prélèvements : céramique ; macro-faune *Codes : remblai ou effondrement

•Us : 4566 *type d'Us : comblement de fosse *texture : limon argileux *couleur : gris *inclusions : mottes jaunes *Codes : remblai

•Us : 4567 *type d'Us : comblement de fosse avec de la terre *texture : limon argileux *couleur : gris *inclusions : pierres chauffées ; charbons abondants ; fragments rubéfiés épars *prélèvements : céramique ; macro-faune *Codes : détritique hydromorphe *TPQ : HF *TAQ : HF

•Us : 4568 *texture : limon argileux *couleur : beige *inclusions : charbons erratiques *Codes : remblai

•Us : 4569

•Us : 4570

•Us : 4571 *type d'Us : creusement de fosse

•Us : 4572 *type d'Us : creusement de fosse *Codes : occupation

•Us : 4573 *type d'Us : creusement de fosse *Codes : occupation

•Us : 4574 *type d'Us : creusement de fosse *Codes : occupation

•Us : 4575 *type d'Us : comblement de fosse *texture : limon argileux *structure : en mottes *couleur : brun à beige *inclusions : charbons abondants *prélèvements : céramique *Codes : remblai détritique

•Us : 4576 *type d'Us : comblement de fosse *texture : limon argileux *couleur : beige à orangé *inclusions : fragments rubéfiés erratiques *prélèvements : céramique ; macro-faune *Codes : remblai

•Us : 4577 *type d'Us : creusement de fosse *Codes : occupation

•Us : 4578 *type d'Us : comblement de fosse *texture : cendro-charbonneux *couleur : gris noir *prélèvements : céramique ; macro-faune *Codes : remblai détritique

•Us : 4579 *type d'Us : comblement de fosse *texture : limon argileux *structure : en mottes *couleur : brun à jaune *Codes : remblai

•Us : 4580 *type d'Us : comblement de fosse *texture : limon argileux *couleur : brun orangé *Codes : remblai

•Us : 4581 *type d'Us : creusement de fosse *Codes : occupation

•Us : 4582 *type d'Us : comblement de fosse *texture : cendro-charbonneux *couleur : gris noir *inclusions : fragments rubéfiés épars *prélèvements : macro-faune *Codes : utilisation ou remblai détritique

•Us : 4583 *type d'Us : comblement de fosse *texture : limon argileux *couleur : gris clair *inclusions : charbons erratiques *Codes : détritique hydromorphe

•Us : 4584

•Us : 4585 *type d'Us : comblement de fosse *texture : cendro-charbonneux *couleur : gris noir

•Us : 4586 *type d'Us : comblement de fosse *texture : limon argileux *couleur : brun *inclusions : mottes de Loess *Codes : remblai

•Us : 4587 *type d'Us : creusement *Codes : occupation

•Us : 4588 •type d'Us : comblement de fosse •texture : limon argileux •couleur : brun
•inclusions : charbons erratiques ; fragments rubéfiés erratiques •prélèvements :
céramique ; macro-faune •Codes : remblai

•Us : 4589 •type d'Us : comblement de fosse •texture : limon argileux •couleur : jaune
•Codes : remblai ou effondrement

•Us : 4590 •type d'Us : comblement de fosse •texture : limon argileux •couleur : gris
foncé •inclusions : charbons abondants ; nodules calcaires épars ; pierres brûlées éparses
•prélèvements : céramique ; macro-faune •Codes : détritique hydromorphe

•Us : 4591 •type d'Us : comblement de fosse •texture : limon argileux •structure : en
mottes •couleur : jaune à orangé •inclusions : fragments rubéfiés erratiques
•prélèvements : céramique ; macro-faune •Codes : remblai ou effondrement

•Us : 4592 •type d'Us : creusement •Codes : occupation

•Us : 4593 •type d'Us : comblement de fosse •texture : limon argileux •couleur : gris
foncé •prélèvements : céramique •Codes : détritique hydromorphe

•Us : 4594 •type d'Us : creusement de fossé •Codes : occupation

•Us : 4595 •texture : limon argileux •couleur : gris •inclusions : bariolé rouille ; charbons
erratiques

•Us : 4597 •type d'Us : comblement de fossé avec de la terre •texture : hétérogène
•couleur : jaune orangé à blanc •inclusions : cailloutis abondant ; galets ; pierres ; mottes
crazeuses •Codes : occupation

•Us : 4598 •type d'Us : comblement de fossé hydromorphe •texture : limon argileux
•couleur : gris •inclusions : nodules loessiques et calcaires erratiques •prélèvements :
macro-faune ; céramique •Codes : sédimentation hydromorphe

•Us : 4599 •type d'Us : creusement de fossé •Codes : occupation

•Us : 4600 •type d'Us : comblement de fosse •texture : limon argileux •couleur : beige
•inclusions : nodules calcaires épars ; pierres brûlées erratiques •Codes : remblai

•Us : 4601 •type d'Us : comblement de fosse •texture : cendro-charbonneux •couleur :
gris noir •prélèvements : céramique ; macro-faune •Codes : remblai détritique

•Us : 4602 •type d'Us : comblement de fosse •texture : limon argileux •couleur : gris
•inclusions : charbons abondants •prélèvements : céramique ; macro-faune •Codes :
détritique hydromorphe

•Us : 4603 •type d'Us : creusement de fosse •Codes : occupation

•Us : 4604

•Us : 4605 •type d'Us : comblement de fosse •texture : limon argileux •couleur : gris
•inclusions : cendres ; charbons abondants ; fragments rubéfiés épars •prélèvements :
céramique ; macro-faune •Codes : détritique hydromorphe

•Us : 4606

•Us : 4607 •type d'Us : creusement •Codes : occupation

•Us : 4608 •type d'Us : comblement de fosse •texture : cendro-charbonneux •couleur :
gris noir •inclusions : fragments rubéfiés épars •Codes : vidange de foyer détritique

•Us : 4609 •type d'Us : comblement de fosse •texture : limon argileux •couleur : gris
beige •inclusions : charbons abondants ; cailloutis ; fragments rubéfiés épars ; pierres
brûlées erratiques •prélèvements : céramique ; macro-faune •Codes : remblai détritique

•Us : 4610 •type d'Us : comblement de fosse •texture : limon argileux •couleur : beige à
orangé •Codes : remblai

•Us : 4611 •type d'Us : comblement de fosse •texture : limon argileux •couleur : jaune
orangé •Codes : remblai

•Us : 4612 •type d'Us : creusement •Codes : occupation

•Us : 4613 •type d'Us : comblement de fosse •texture : limon argileux •couleur : gris
beige •inclusions : charbons abondants ; fragments rubéfiés épars •Codes : remblai
détritique

•Us : 4614 •type d'Us : comblement de fosse •texture : limon argileux •structure : liseré
de petites mottes •couleur : gris orangé •Codes : liseré de creusement

•Us : 4615 •type d'Us : comblement de fosse •texture : limon argileux •couleur : gris
•inclusions : charbons abondants ; fragments rubéfiés erratiques •prélèvements :
céramique ; macro-faune •Codes : détritique hydromorphe

•Us : 4616 •type d'Us : surface de circulation •texture : limon argileux •structure : fins
litages •couleur : gris •inclusions : charbons épars •Codes : piétinement

•Us : 4617 •type d'Us : surface de circulation •texture : limon argileux •structure : fins
litages •couleur : gris •inclusions : charbons épars •Codes : piétinement

•Us : 4618 •type d'Us : comblement de fosse •texture : limon argileux •couleur : gris
•Codes : sédimentation hydromorphe

•Us : 4619 •type d'Us : comblement de fosse •texture : limon argileux •structure : en
mottes •couleur : jaune à orangé •Codes : remblai

•Us : 4620 •type d'Us : comblement de fosse •texture : limon argileux •couleur : gris
beige •inclusions : mottes orangées •Codes : remblai

•Us : 4621 •type d'Us : comblement de fosse •texture : limon argileux •couleur : gris
•inclusions : charbons abondants •Codes : détritique hydromorphe

•Us : 4622

•Us : 4623

•Us : 4624 •type d'Us : comblement de fosse •texture : limon argileux •couleur : jaune
•Codes : remblai ou effondrement

•Us : 4625 •type d'Us : comblement de fosse avec de la terre •texture : limon argileux
•couleur : gris ocre •inclusions : bariolé •Codes : non-anthropique

•Us : 4626 •type d'Us : creusement

•Us : 4627 •type d'Us : comblement de trou de poteau •couleur : non-enregistré •Codes
: occupation

•Us : 4628 •type d'Us : creusement de trou de poteau •Codes : occupation

•Us : 4629 •type d'Us : comblement de trou de poteau •texture : limon argileux •couleur
: gris •Codes : occupation

•Us : 4630 •type d'Us : creusement de trou de poteau •Codes : occupation

•Us : 4631

•Us : 4632 •type d'Us : creusement de fosse •Codes : creusement probable

•Us : 4633 •texture : limon argileux •couleur : beige •inclusions : charbons erratiques
•Codes : remblai

•Us : 4634 •type d'Us : comblement de chablis •texture : limon argileux •couleur : non-
enregistré •Codes : chablis

•Us : 4635 •type d'Us : creusement de chablis •Codes : chablis

•Us : 4636 •type d'Us : comblement de fosse •texture : limon argileux •couleur : gris
bleuté •Codes : indéterminé

•Us : 4637 •type d'Us : creusement de fosse

•Us : 4638 •texture : limon argileux •couleur : orangée •inclusions : nodules loessiques
éparses

•Us : 4639 •texture : limon argileux •couleur : brun orangé •inclusions : mottes grises

•Us : 4640 •texture : limon argileux •couleur : gris

•Us : 4641 •type d'Us : comblement de fossé avec de la terre •texture : limon argileux
•couleur : beige blanchi •Codes : sédimentation naturelle

•Us : 4642 •type d'Us : creusement de fossé •Codes : occupation

•Us : 4643 •type d'Us : creusement de mare •Codes : aménagement

•Us : 4644 •type d'Us : creusement de fosse

•Us : 4645 •type d'Us : creusement

•Us : 4646 •type d'Us : comblement de fossé hydromorphe •texture : argile limoneuse
•couleur : gris bleuté •Codes : sédimentation hydromorphe

•Us : 4647 •type d'Us : comblement de mare •texture : argile •couleur : gris bleuté
•Codes : sédimentation hydromorphe

•Us : 4648 •type d'Us : creusement de chablis •Codes : chablis

•Us : 4649 •type d'Us : creusement de chablis •Codes : chablis

•Us : 4650 •type d'Us : creusement de chablis •Codes : chablis

•Us : 4651 •type d'Us : creusement de chablis •Codes : chablis

•Us : 4652 •type d'Us : creusement •Codes : occupation

•Us : 4653 •type d'Us : creusement de fossé •Codes : réaménagement

•Us : 4654 •type d'Us : creusement de fossé •Codes : réaménagement

•Us : 4655 •type d'Us : comblement de fossé •texture : limon argileux •structure : en
mottes •couleur : gris et jaune •inclusions : nodules de calcaire erratiques •Codes :
sédimentation mixte

•Us : 4656 •texture : blocs de meulière •Codes : réaménagement

•Us : 4657 •type d'Us : comblement de fossé hétérogène •texture : limon argileux
•couleur : gris •inclusions : cailloutis abondant ; galets •Codes : réaménagement

•Us : 4658 •type d'Us : comblement de mare •texture : limon argileux •structure : en
mottes •couleur : gris et jaune •Codes : sédimentation mixte

•Us : 4659 •type d'Us : creusement de mare •Codes : réaménagement

•Us : 4660 •type d'Us : comblement de fossé •inclusions : charbons épars •Codes :
sédimentation anthropique

•Us : 4661 •type d'Us : comblement de fossé avec de la terre •texture : limon •couleur :
beige blanchi •Codes : sédimentation naturelle

•Us : 4662 •type d'Us : comblement de fossé hétérogène •texture : argile limoneuse
•couleur : grise •inclusions : cailloutis éparse •Codes : occupation

•Us : 4664 •type d'Us : comblement de mare •texture : argile limoneuse •couleur : gris
clair •Codes : sédimentation hydromorphe

•Us : 4665 •type d'Us : creusement de mare •Codes : réaménagement

•Us : 4666 •type d'Us : comblement de fosse •texture : limon argileux •couleur : jaune
•Codes : remblai ou effondrement

•Us : 4667 •type d'Us : comblement de fosse •texture : limon argileux •couleur : orangé
•prélèvements : céramique ; macro-faune •Codes : remblai ou effondrement

16 Annexe F : Inventaire des faits du Lot C1

16.1 Inventaire des faits issus du Diagnostic (Boulenger 2001)

Fait	Ensemble	N° Us et Nature	Commentaire	TAQ	TPQ
FO2025	SFO24	2025 : : comblement et creusement	(Diag., voir Boulenger 2001)	XXe	MOD
FO2082		2082 : : comblement et creusement	(Diag., voir Boulenger 2001)		Néo/proto
FS2083		2083 : : comblement et creusement	(Diag., voir Boulenger 2001)		Néo/proto
ST2026		2026 : comblement et creusement		GRp	LTF
ST2029		2029 : comblement et creusement		HF	HF
ST2079		2079 : comblement et creusement			HF
ST2080		2080 : comblement et creusement		HF	HF
ST2081		2081 : comblement et creusement	(Diag., voir Boulenger 2001)		Néo/proto

16.2 Inventaire des faits de la Zone 3

Fait	Ensemble	N° Us et Nature	Commentaire	TAQ	TPQ
CH3045		3045 : comblement et creusement de chablis			
CH3056		3056 : comblement et creusement de chablis			
CH3058		3058 : comblement et creusement de chablis			
CH3062		3062 : comblement et creusement de chablis			
CH3064		3064 : comblement et creusement de chablis			
CH3064		3064 : comblement et creusement de chablis			
CH3068		3068 : comblement et creusement de chablis			
CH3078		3078 : comblement et creusement de chablis		Néo/proto	
CH3104		3104 : comblement et creusement de chablis			
CH3112		3112 : comblement et creusement de chablis			
CH3116		3116 : comblement de fosse avec de la terre 3117 : creusement de fosse			
CH3118		3118 : comblement de fosse avec de la terre 3119 : creusement de fosse			
CH3136		3136 : comblement de fosse avec de la terre 3137 : creusement de fosse			
CH3142		3142 : comblement de fosse avec de la terre 3143 : creusement de fosse			
CH3158		3158 : comblement de fosse avec de la terre 3159 : creusement de fosse			
CH3176		3176 : comblement de fosse avec de la terre 3177 : creusement de fosse			
CH3178		3178 : comblement de fosse avec de la terre 3179 : creusement de fosse			
CH3198		3198 : comblement de fosse avec de la terre 3199 : creusement de fosse			
CH3200		3200 : comblement et creusement de chablis			
CH3218		3218 : comblement de fosse avec de la terre 3219 : creusement de fosse			
CH3243		3243 : comblement de fosse avec de la terre 3244 : creusement de fosse			
CH3255		3255 : comblement de fosse avec de la terre 3256 : creusement de fosse			
CH3257		3257 : comblement de fosse avec de la terre 3258 : creusement de fosse			
CH3259		3259 : comblement de fosse avec de la terre 3260 : creusement de fosse			

ZAC de la Pyramide Lot C1, Lieusaint, Ville Nouvelle de Sénart (77), fouille 15-07/04-10-2002
Inventaire des faits

Fait	Ensemble	N° Us et Nature	Commentaire	TAQ	TPQ
CH3267		3267 : comblement de fosse avec de la terre 3268 : creusement de fosse			
CH3273		3273 : comblement de fosse avec de la terre 3274 : creusement de fosse			
CH3275		3275 : comblement de fosse avec de la terre 3276 : creusement de fosse			
CH3279		3279 : comblement de fosse avec de la terre 3280 : creusement de fosse			
CH3283		3283 : comblement de fosse avec de la terre 3284 : creusement de fosse		HF	
CH3289		3289 : comblement de fosse avec de la terre 3290 : creusement de fosse			
CH3291		3291 : comblement de fosse avec de la terre 3292 : creusement de fosse			
CH3293		3293 : comblement de fosse avec de la terre 3294 : creusement de fosse			
CH3301		3301 : comblement et creusement de chablis			
CH3303		3303 : comblement et creusement de chablis			
CH3315		3315 : comblement et creusement de chablis			
CH3317		3317 : comblement et creusement de chablis			
CH3323		3323 : comblement de fosse avec de la terre 3324 : creusement de fosse			
CH3325		3325 : comblement de fosse avec de la terre 3326 : creusement de fosse			
CH3349		3349 : comblement de fosse avec de la terre 3350 : creusement de fosse			
CH3367		3367 : comblement de fosse avec de la terre 3368 : creusement de fosse			
CH3369		3369 : comblement de fosse avec de la terre 3370 : creusement de fosse			
CH3371		3371 : complements de chablis 3372 : creusement de chablis			
CH3375		3375 : comblement de fosse avec de la terre 3376 : creusement de chablis			
CH3385		3385 : comblement de fosse avec de la terre 3386 : creusement de chablis			
CH3391		3391 : comblement de fosse avec de la terre 3392 : creusement de chablis			
CH3393		3393 : comblement de fosse avec de la terre 3394 : creusement de fosse			
CH3395		3395 : comblement de fosse avec de la terre 3396 : creusement de fosse			
CH3397		3397 : comblement de fosse avec de la terre 3398 : creusement de chablis			
CH3409		3409 : comblement de fosse avec de la terre 3410 : creusement de chablis			
CH3413		3413 : comblement et creusement de chablis			
CH3419		3419 : comblement et creusement de chablis			
CH3421		3421 : comblement et creusement de chablis			
CH3423		3423 : comblement et creusement de chablis			
CH3427		3427 : comblement de fosse avec de la terre 3428 : creusement de chablis			
CH3429		3429 : comblement de fosse avec de la terre 3430 : creusement de fosse			Néo/proto
CH3443		3443 : comblement de fosse avec de la terre 3444 : creusement de fosse			
CH3449		3449 : comblement et creusement de fosse			
CH3451		3451 : comblement et creusement de fosse			
CH3453		3453 : comblement et creusement de fosse			

ZAC de la Pyramide Lot C1, Lieusaint, Ville Nouvelle de Sénart (77), fouille 15-07/04-10-2002
Inventaire des faits

Fait	Ensemble	N° Us et Nature	Commentaire	TAQ	TPQ
CH3455		3455 : comblement de fosse avec de la terre 3456 : creusement de fosse			
CH3489		3489 : comblement et creusement de fosse			
CH3503		3503 : comblement de fosse avec de la terre 3504 : creusement de fosse			
CH3507		3507 : comblement de fosse avec de la terre 3508 : creusement de fosse			
CH3513		3513 : comblement de fosse avec de la terre 3514 : creusement de chablis			
CH3515		3515 : comblement de fosse avec de la terre 3516 : creusement de chablis			
CH3525		3525 : comblement de fosse avec de la terre 3526 : creusement de chablis			
CH3527		3527 : comblement de fosse avec de la terre 3528 : creusement de chablis			
CH3533		3533 : comblement et creusement			
CH3535		3535 : comblement de fosse avec de la terre 3536 : creusement de fosse			
CH3549		3549 : comblement de fosse avec de la terre 3550 : creusement de fosse			
CH3551		3551 : comblement de fosse avec de la terre 3552 : creusement de chablis			
CH3553		3553 : comblement de fosse avec de la terre 3554 : creusement de fosse			
CH3555		3555 : comblement de fosse avec de la terre 3556 : creusement de fosse			
CH3557		3557 : comblement de fosse avec de la terre 3558 : creusement de chablis			
CH3573		3573 : comblement de fosse avec de la terre 3574 : creusement de chablis			
CH3575		3575 : comblement de fosse avec de la terre 3576 : creusement de chablis			
CH3577		3577 : comblement de fosse avec de la terre 3578 : creusement de chablis			
CH3579		3579 : comblement de fosse avec de la terre 3580 : creusement de chablis			
CH3583		3583 : comblement de fosse avec de la terre 3584 : creusement de chablis			
CH3585		3585 : comblement de fosse avec de la terre 3586 : creusement de chablis			
CH3587		3587 : comblement de fosse avec de la terre 3588 : creusement de chablis			
CH3593		3593 : comblement de fosse avec de la terre 3594 : creusement de chablis			
CH3597		3597 : comblement de fosse avec de la terre 3598 : creusement de chablis			
CH3599		3599 : comblement de fosse avec de la terre 3600 : creusement de fosse			
CH3601		3601 : comblement de fosse avec de la terre 3602 : creusement de chablis		HF	
CH3611		3611 : comblement de fosse avec de la terre 3612 : creusement de chablis			
CH3613		3613 : comblement de fosse avec de la terre 3614 : creusement de chablis			
CH3621		3621 : comblement de fosse avec de la terre 3622 : creusement de chablis			
CH3623		3623 : comblement de fosse avec de la terre 3624 : creusement de chablis			
CH3627		3627 : comblement de fosse avec de la terre 3628 : creusement de fosse			
CH3629		3629 : comblement de fosse avec de la terre 3630 : creusement de chablis			

ZAC de la Pyramide Lot C1, Lieusaint, Ville Nouvelle de Sénart (77), fouille 15-07/04-10-2002
Inventaire des faits

Fait	Ensemble	N° Us et Nature	Commentaire	TAQ	TPQ
CH3631		3631 : comblement de chablis 3632 : creusement de chablis			
CH3657		3657 : comblement de fosse avec de la terre 3658 : creusement de chablis			
CH3675		3675 : comblement et creusement de chablis			
CH3679		3679 : comblement et creusement de chablis			
CH3683		3683 : comblement et creusement de chablis			GR
CH3685		3685 : comblement et creusement de chablis			
CH3723		3723 : comblement et creusement de chablis			
CH3725		3725 : comblement et creusement de chablis			
CH3741		3741 : comblement et creusement de chablis			
CH3743		3743 : comblement et creusement de chablis			
CH3745		3745 : comblement de chablis 3746 : creusement de chablis			
CH3757		3757 : comblement de chablis 3758 : creusement de chablis			

Fait	Ensemble	N° Us et Nature	Commentaire	TAQ	TPQ
FC3017		3017 : comblement de fosse 3018 : creusement de fosse 3019 : surface de circulation 3020 : comblement de fosse 3021 : comblement de fosse 3022 : comblement de fosse 3023 : comblement de fosse 3024 : comblement de fosse 3025 : comblement de fosse 3026 : comblement de fosse de type dépotoir 3027 : comblement de fosse de type dépotoir 3028 : creusement de fosse 3029 : comblement de fosse 3968 : creusement de fosse 3969 : creusement de foss	Première moitié fouillée lors de l'évaluation en 2001.	HF	HF
FC3210		3210 : comblement de fosse avec de la terre 3211 : creusement de fosse 3906 : creusement de fosse 3907 : comblement de fosse 3908 : comblement de fosse 3909 : creusement de fosse 3910 : comblement de fosse 3911 : comblement de fosse 3912 : comblement de fosse 3913 : comblement de fosse 3914 : comblement de fosse 3985 : comblement de fosse 3986 : creusement de fosse		HF	HF
FC3237		3237 : comblement de fosse avec de la terre 3238 : creusement de fosse 3770 : comblement de fosse 3771 : comblement de fosse 3772 : comblement de fosse 3974 : creusement de fosse		HF	HF
FC3287	FOS13	3287 : comblement de fosse avec de la terre 3288 : creusement de fosse 3799 : comblement de fosse 3800 : comblement de fosse 3802 : creusement de fosse 3803 : comblement de fosse 3804 : comblement de fosse 3812 : comblement de fosse		HF	HF
FC3305		3305 : comblement de fosse avec de la terre 3306 : creusement de fosse 3765 : comblement de fosse 3766 : comblement de fosse 3767 : comblement de fosse 3769 : creusement de fosse 3775 : comblement de fosse 3784 : comblement de fosse 3793 : comblement de fosse 3970 : comblement de fosse 3972 : creusement probable 3973 : creusement de fosse		HF	HF

ZAC de la Pyramide Lot C1, Lieusaint, Ville Nouvelle de Sénart (77), fouille 15-07/04-10-2002
Inventaire des faits

Fait	Ensemble	N° Us et Nature	Commentaire	TAQ	TPO
FC3387		3387 : comblement de fosse avec de la terre 3388 : creusement de fosse 3763 : comblement de type vidange de foyer dépotoir 3764 : comblement de fosse 3805 : comblement de fosse 3966 : creusement de fosse		HF	HF
FC3433		3433 : comblement de fosse avec de la terre 3434 : creusement de fosse 3773 : comblement de fosse 3774 : comblement de fosse 3781 : comblement de fosse 3833 : comblement de fosse 3834 : creusement de fosse		HF	HF
FC3615		3615 : comblement de fosse avec de la terre 3616 : creusement de fosse 3976 : creusement de fosse 3977 : comblement de fosse avec de la terre 3978 : comblement de fosse avec de la terre 3979 : comblement de fosse avec de la terre 3980 : comblement de fosse avec de la terre 3981 : comblement de fosse avec de la terre 3982 : creusement de fosse		HF	HF
FC3780	FOS13	3780 : creusement de fosse 3831 : comblement de fosse 3832 : comblement de fosse 3847 : creusement de fosse 3848 : comblement de fosse 3849 : comblement de fosse 3850 : comblement de fosse		HF	HF
FC3843	FOS13	3843 : creusement de fosse		HF	HF
FO3001	SFO18	3001 : comblement de fossé avec de la terre 3002 : creusement de fossé 3230 : creusement de fossé 3231 : comblement de fossé avec de la terre 3232 : comblement de fossé hétérogène			
FO3003	SFO28	3003 : comblement de fossé avec de la terre 3004 : creusement de fossé		XXe	MOD
FO3011	SFO19	3011 : comblement de fossé hydromorphe 3012 : creusement de fossé 3113 : comblement de fossé avec de la terre 3684 : comblement de fossé hétérogène 3686 : comblement de fossé hétérogène 3865 : comblement de fossé avec de la terre 3866 : comblement de fossé hydromorphe 3867 : comblement de fossé 3868 : creusement de fossé 3869 : comblement de fossé avec de la terre 3870 : comblement de fossé hydromorphe 3871 : creusement de fossé 3872 : comblement de fossé hétérogène 3873 : comblement de fossé hydromorphe 3874 : creusement de fossé 3875 : comblement de fossé hydromorphe 3876 : comblement de fossé avec de la terre 3877 : comblement de fossé hydromorphe 3903 : creusement de fossé 3904 : comblement de fossé hétérogène 3905 : comblement de fossé hétérogène 3916 : comblement de fossé hydromorphe 3917 : comblement de fossé hydromorphe 3918 : comblement de fossé avec de la terre 3919 : comblement de fossé hydromorphe 3923 : comblement de fossé hétérogène 3924 : comblement de fossé 3925 : comblement de type vidange de foyer 3926 : comblement de fossé hydromorphe 3927 : altération de l'encaissant 3938 : creusement de fossé 3953 : comblement de fossé hydromorphe		BE	Iterap
FO3013	SFO27	3013 : comblement de fossé avec de la terre 3014 : creusement de fossé 3880 : comblement de fossé hétérogène		HE	Néo/proto
FO3015	SFO15	3015 : comblement de fossé hydromorphe 3016 : creusement de fossé 3856 : liseré de creusement	Il recoupe le FO3013. Son interruption est peut-être due à un décapage trop bas ? Sa relation avec le FO3331 n'a pas pu être établie avec certitude.	BE	HE
FO3184	SFO21	3184 : comblement de fossé avec de la terre 3185 : creusement de fossé			
FO3201	SFO26	3201 : comblement de fossé avec de la terre 3214 : comblement de fossé hydromorphe 3215 : creusement de fossé 3896 : comblement de fossé avec de la terre 3897 : comblement de fossé hydromorphe 3898 : creusement de fossé			

ZAC de la Pyramide Lot C1, Lieusaint, Ville Nouvelle de Sénart (77), fouille 15-07/04-10-2002
Inventaire des faits

Fait	Ensemble	N° Us et Nature	Commentaire	TAQ	TPQ
FO3212	SFO20	3212 : comblement de fossé hydromorphe 3935 : creusement de fossé 3936 : comblement de fossé avec de la terre		BE	fIerap
FO3233	SFO23	3233 : comblement de fossé avec de la terre 3234 : creusement de fossé		XXe	MOD
FO3247	SFO17	3247 : comblement de fossé avec de la terre 3248 : creusement de fossé 3948 : comblement de fossé avec de la terre 3949 : comblement de fossé avec de la terre 3950 : comblement de fossé hydromorphe 3951 : comblement de fossé hydromorphe 3952 : creusement de fossé		BE	fIerap
FO3249	SFO20	3249 : comblement de fossé avec de la terre 3446 : comblement de fossé avec de la terre 3450 : comblement de fossé hydromorphe 3452 : creusement de fossé			
FO3331	SFO15	3331 : comblement de fossé hydromorphe 3332 : creusement de fossé	Tronçon de fossé suivi sur 10 m de longueur. Sa partie ouest ayant été surdécapée, il n'a pas été possible d'observer sa relation avec le FO3015. Au niveau du décapage, un hiatus de 13 m sépare son extrémité est du tronçon FO3365. La FS3335, de même alignement, est peut-être à mettre en relation avec ces deux tronçons.		
FO3365	SFO15	3365 : comblement de fossé hydromorphe 3366 : creusement de fossé	Tronçon de fossé interrompu au niveau du décapage entre les FO3701 et FO3331, de 4 m de long.		
FO3389	SFO14	3389 : comblement de fossé avec de la terre 3390 : creusement de fossé		XXe	MOD
FO3447	SFO28	3447 : comblement de fossé avec de la terre 3448 : creusement de fossé		XXe	MOD
FO3461	SFO28	3461 : comblement de fossé avec de la terre 3462 : creusement de fossé			
FO3617	SFO18	3250 : creusement de fossé 3318 : comblement de fossé hydromorphe 3617 : comblement de fossé avec de la terre 3618 : creusement de fossé 3937 : comblement de fossé avec de la terre 3967 : comblement de fossé avec de la terre		BE	fIerap
FO3691	SFO24	3046 : comblement de fossé 3057 : creusement 3059 : comblement de fossé 3063 : creusement 3065 : comblement de fossé 3069 : comblement de fossé 3079 : comblement de fossé 3105 : comblement de fossé 3691 : comblement de fossé avec de la terre 3692 : creusement de fossé 3733 : creusement de fossé		XXe	MOD
FO3695	SFO25	3695 : comblement de fossé avec de la terre 3696 : creusement de fossé			
FO3697	SFO16	3697 : comblement de fossé hydromorphe 3698 : creusement de fossé 3954 : comblement de fossé hétérogène		BE	fIerap
FO3701	SFO15	3701 : comblement de fossé hydromorphe 3702 : creusement de fossé	Tronçon de fossé interrompu au niveau du décapage entre les FO4085 et FO3365, de 28 m de long.		LTD2
FO3715	SFO21	3715 : comblement de fossé avec de la terre 3716 : creusement de fossé			
FO3717	SFO20	3717 : comblement de fossé avec de la terre 3718 : creusement de fossé	Appendice séparant le FO3934 en deux segments.	BE	fIerap
FO3862	SFO20	3861 : creusement de fossé 3862 : comblement de fossé hétérogène			
FO3878		3676 : comblement de fossé hétérogène 3878 : comblement de fossé hydromorphe 3879 : creusement de fossé 3902 : comblement de fossé avec de la terre			
FO3896	SFO26	3896 : comblement de fossé avec de la terre 3897 : comblement de fossé hydromorphe 3898 : creusement de fossé			
FO3899	SFO20	3899 : comblement de fossé avec de la terre 3900 : comblement de fossé avec de la terre 3901 : creusement de fossé			
FO3934	SFO20	3213 : creusement de fossé 3920 : comblement de fossé avec de la terre 3921 : comblement de fossé hétérogène 3934 : comblement de fossé hydromorphe 3942 : comblement de fossé hydromorphe			

ZAC de la Pyramide Lot C1, Lieusaint, Ville Nouvelle de Sénart (77), fouille 15-07/04-10-2002
Inventaire des faits

Fait	Ensemble	N° Us et Nature	Commentaire	TAQ	TPQ
FO3940	SFO20	3939 : creusement de fossé 3940 : comblement de fossé hydromorphe 3943 : comblement de fossé avec de la terre			
FO3987		3987 : comblement de fossé avec de la terre 3988 : creusement de fossé			
FS3005		3005 : comblement de fosse avec de la terre 3006 : creusement de fosse			
FS3007		3007 : comblement de fosse avec de la terre 3008 : creusement de fosse			
FS3009		3009 : comblement de fosse avec de la terre 3010 : creusement de fosse			
FS3037		3037 : comblement de fosse avec de la terre 3038 : creusement de fosse	Tronquée par surdépavage.		
FS3041		3041 : comblement de fosse avec de la terre 3042 : creusement de fosse			
FS3047		3047 : comblement de fosse avec de la terre 3048 : creusement de fosse			
FS3053		3053 : comblement de fosse avec de la terre 3054 : creusement de fosse			
FS3060		3060 : comblement de fosse avec de la terre 3061 : creusement de fosse			
FS3066		3066 : comblement de fosse avec de la terre 3067 : creusement			
FS3070		3070 : comblement de fosse avec de la terre 3071 : creusement			
FS3072		3072 : comblement de fosse avec de la terre 3073 : creusement de fosse			
FS3074		3074 : comblement de fosse avec de la terre 3075 : creusement			
FS3076		3076 : comblement de fosse avec de la terre 3077 : creusement de fosse			
FS3080		3080 : comblement de fosse avec de la terre 3081 : creusement de fosse 3761 : comblement de fosse		HF	HF
FS3082		3082 : comblement de fosse avec de la terre 3083 : creusement de fosse 3751 : comblement de fosse		HF	HF
FS3084		3084 : comblement de fosse avec de la terre 3085 : creusement de fosse			
FS3086		3086 : comblement de fosse avec de la terre 3087 : creusement			
FS3088		3088 : comblement de fosse avec de la terre 3089 : creusement			
FS3090		3090 : comblement de fosse avec de la terre 3091 : creusement			
FS3092		3092 : comblement de fosse avec de la terre 3093 : creusement			
FS3094		3094 : comblement de fosse avec de la terre 3095 : creusement			
FS3096		3096 : comblement de fosse avec de la terre 3097 : creusement			
FS3098		3098 : comblement de trou de poteau 3099 : creusement			
FS3100		3100 : comblement de fosse avec de la terre 3101 : creusement			
FS3102		3102 : comblement de fosse avec de la terre 3103 : creusement de fosse			
FS3106		3106 : comblement de fosse avec de la terre 3107 : creusement de fosse			
FS3108		3108 : comblement de fosse avec de la terre 3109 : creusement			
FS3110		3110 : comblement de fosse avec de la terre 3111 : creusement de fosse			
FS3114		3114 : comblement et creusement			

ZAC de la Pyramide Lot C1, Lieusaint, Ville Nouvelle de Sénart (77), fouille 15-07/04-10-2002
Inventaire des faits

Fait	Ensemble	N° Us et Nature	Commentaire	TAQ	TPQ
FS3120		3120 : comblement de fosse avec de la terre 3121 : creusement de fosse			
FS3122		3122 : comblement de fosse avec de la terre 3123 : creusement de fosse			
FS3124		3124 : comblement de fosse avec de la terre 3125 : creusement de fosse			
FS3126		3126 : comblement de fosse avec de la terre 3127 : creusement de fosse			
FS3128		3128 : comblement de fosse avec de la terre 3129 : creusement de fosse			
FS3130		3130 : comblement de fosse avec de la terre 3131 : creusement de fosse			
FS3132		3132 : comblement de fosse avec de la terre 3133 : creusement de fosse			
FS3134		3134 : comblement de fosse avec de la terre 3135 : creusement de fosse			
FS3138		3138 : comblement de fosse avec de la terre 3139 : creusement de fosse			
FS3140		3140 : comblement de fosse avec de la terre 3141 : creusement de fosse			
FS3144		3144 : comblement de fosse avec de la terre 3145 : creusement de fosse			
FS3146		3146 : comblement de fosse avec de la terre 3147 : creusement de fosse			
FS3148		3148 : comblement de fosse avec de la terre 3149 : creusement de fosse			
FS3150		3150 : comblement de fosse avec de la terre 3151 : creusement de fosse			
FS3152		3152 : comblement de fosse avec de la terre 3153 : creusement de fosse			
FS3154		3154 : comblement de fosse avec de la terre 3155 : creusement de fosse			
FS3156		3156 : comblement de fosse avec de la terre 3157 : creusement de fosse			
FS3160		3160 : comblement de fosse avec de la terre 3161 : creusement de fosse			
FS3162		3162 : comblement de fosse avec de la terre 3163 : creusement de fosse			
FS3164		3164 : comblement de fosse avec de la terre 3165 : creusement de fosse			
FS3166		3166 : comblement de fosse avec de la terre 3167 : creusement de fosse			
FS3168		3168 : comblement de fosse avec de la terre 3169 : creusement			
FS3170		3170 : comblement de fosse avec de la terre 3171 : creusement de fosse			
FS3172		3172 : comblement de fosse avec de la terre 3173 : creusement de fosse			
FS3174		3174 : comblement de fosse avec de la terre 3175 : creusement de fosse			
FS3180		3180 : comblement de mare 3181 : creusement de mare 3863 : liseré de creusement 3864 : comblement de mare 3922 : comblement de mare	Mare liée au SFO20 et au FO3878.	BE	HE
FS3186		3186 : comblement de fosse avec de la terre 3187 : creusement de fosse		BE	
FS3188		3188 : comblement de fosse avec de la terre 3189 : creusement de fosse			
FS3190		3190 : comblement de fosse avec de la terre 3191 : creusement de fosse			
FS3190		3190 : comblement de fosse avec de la terre 3191 : creusement de fosse			
FS3194		3194 : comblement de fosse avec de la terre 3195 : creusement de fosse 3759 : altération hydro. du Loess		HF	HF

ZAC de la Pyramide Lot C1, Lieusaint, Ville Nouvelle de Sénart (77), fouille 15-07/04-10-2002
Inventaire des faits

Fait	Ensemble	N° Us et Nature	Commentaire	TAQ	TPQ
FS3196		3196 : comblement de fosse avec de la terre 3197 : creusement de fosse			
FS3202		3202 : comblement de fosse avec de la terre 3203 : creusement de fosse			
FS3204	SFO19	3204 : comblement de mare 3205 : creusement de mare 3302 : creusement de mare 3883 : comblement de mare 3884 : comblement de mare 3915 : comblement de mare		BE	fIerap
FS3206		3206 : comblement de fosse avec de la terre 3207 : creusement de fosse			
FS3208		3208 : comblement de fosse avec de la terre 3209 : creusement de fosse			
FS3216		3216 : comblement de fosse avec de la terre 3217 : creusement de fosse			
FS3224	SFO19	3224 : comblement de mare 3225 : creusement de mare 3928 : comblement de mare 3929 : comblement de mare 3930 : comblement de mare 3931 : comblement de mare 3932 : creusement de mare		BE	fIerap
FS3226		3226 : comblement de fosse avec de la terre 3227 : creusement de fosse			
FS3228		3228 : comblement de fosse avec de la terre 3229 : creusement de fosse			HE
FS3235		3235 : couche de remblai [us composite] 3236 : creusement de fosse		XXe	XXe
FS3241		3241 : couches de remblais hétérogènes 3242 : creusement de fosse		XXe	XXe
FS3251		3251 : comblement de fosse avec de la terre 3252 : creusement de fosse			
FS3253		3253 : comblement de fosse avec de la terre 3254 : creusement de fosse			
FS3261		3261 : comblement de fosse avec de la terre 3262 : creusement de fosse			
FS3263		3263 : comblement de fosse avec de la terre 3264 : creusement de fosse			
FS3265		3265 : comblement de fosse avec de la terre 3266 : creusement de fosse			
FS3269		3269 : comblement de fosse avec de la terre 3270 : creusement de fosse			
FS3271		3271 : comblement de fosse avec de la terre 3272 : creusement de fosse			
FS3277		3277 : comblement de fosse avec de la terre 3278 : creusement de fosse			
FS3281		3281 : comblement de fosse 3282 : creusement de fosse 3975 : comblement de fosse		HF	HF
FS3285	FOS13	3285 : comblement de type vidange de foyer dépotoir 3286 : creusement de fosse 3762 : comblement de type vidange de foyer dépotoir 3776 : comblement de fosse 3778 : comblement de fosse 3816 : comblement de fosse		HF	HF
FS3313		3313 : comblement de type vidange de foyer dépotoir 3314 : creusement de fosse 3789 : comblement de fosse avec de la terre		HE	LTD2
FS3319		3319 : comblement de fosse avec de la terre 3320 : creusement de fosse			
FS3321		3321 : comblement de fosse avec de la terre 3322 : creusement de fosse			
FS3327		3327 : comblement de fosse avec de la terre 3328 : creusement de fosse			
FS3329		3329 : comblement de fosse avec de la terre 3330 : creusement de fosse			

ZAC de la Pyramide Lot C1, Lieusaint, Ville Nouvelle de Sénart (77), fouille 15-07/04-10-2002
Inventaire des faits

Fait	Ensemble	N° Us et Nature	Commentaire	TAQ	TPO
FS3333		3333 : comblement de fosse 3334 : creusement de fosse 3760 : comblement de type vidange de foyer dépotoir		HF	HF
FS3335		3335 : comblement de fosse avec de la terre 3336 : creusement de fosse			
FS3337		3337 : comblement de fosse avec de la terre 3338 : creusement de fosse			
FS3347		3347 : comblement de fosse avec de la terre 3348 : creusement de fosse			LTC2
FS3351		3351 : comblement de fosse avec de la terre 3352 : creusement de fosse			
FS3353		3353 : comblement de fosse avec de la terre 3354 : creusement de fosse			
FS3357		3357 : comblement de fosse avec de la terre 3358 : creusement de fosse			
FS3359		3359 : comblement de fosse avec de la terre 3360 : creusement de fosse			
FS3383		3383 : comblement de fosse avec de la terre 3384 : creusement de fosse			XXe
FS3399		3399 : comblement de fosse 3400 : creusement de fosse		MOD/ contemp	
FS3401		3401 : comblement de fosse 3402 : creusement de fosse			Néo/proto
FS3403		3403 : comblement de fosse 3404 : creusement de fosse			
FS3405		3405 : comblement de fosse 3406 : creusement de fosse			
FS3407		3407 : comblement de fosse hétérogène 3408 : creusement de fosse		XXe	XXe
FS3411		3411 : comblement de fosse hétérogène 3412 : creusement de fosse			GR
FS3415		3415 : comblement de fosse avec de la terre 3416 : creusement de fosse			
FS3417		3417 : comblement de fosse avec de la terre 3418 : creusement de fosse			
FS3439		3439 : comblement de fosse 3440 : creusement de fosse 3782 : comblement de fosse		HF	HF
FS3457		3457 : comblement de fosse 3458 : creusement de fosse 3819 : comblement de fosse 3820 : comblement de fosse			HF
FS3459		3459 : comblement de fosse avec de la terre 3460 : creusement de fosse			
FS3477		3477 : comblement de fosse 3478 : creusement		GRp	LTF
FS3497		3497 : comblement de fosse 3498 : creusement de fosse			
FS3501		3501 : comblement de fosse 3502 : creusement			
FS3505		3505 : comblement de fosse 3506 : creusement			
FS3509		3509 : comblement de fosse 3510 : creusement de fosse			
FS3511		3511 : comblement de fosse 3512 : creusement de fosse			
FS3517		3517 : comblement de fosse 3518 : comblement de fosse			
FS3519	SFO20	3454 : comblement de mare 3487 : comblement de mare 3490 : comblement de mare 3491 : creusement de mare 3519 : comblement de mare 3520 : creusement de mare 3753 : comblement de mare	Mare reliée au SFO20.	BE	flerap
FS3523		3523 : comblement de fosse 3524 : creusement de fosse			

ZAC de la Pyramide Lot C1, Lieusaint, Ville Nouvelle de Sénart (77), fouille 15-07/04-10-2002
Inventaire des faits

Fait	Ensemble	N° Us et Nature	Commentaire	TAQ	TPQ
FS3529		3529 : comblement et creusement			
FS3537		3537 : comblement de fosse 3538 : creusement			
FS3539		3539 : comblement de fosse avec de la terre 3540 : creusement de fosse			
FS3541		3541 : comblement de fosse avec de la terre 3542 : creusement de fosse			
FS3543		3543 : comblement de fosse avec de la terre 3544 : creusement de fosse			
FS3545		3545 : comblement de fosse avec de la terre 3546 : creusement de fosse			
FS3547		3547 : comblement de fosse avec de la terre 3548 : creusement de fosse			
FS3559		3559 : comblement de fosse avec de la terre 3560 : creusement de fosse			
FS3561		3561 : comblement de fosse avec de la terre 3562 : creusement de fosse			
FS3563		3563 : comblement de fosse avec de la terre 3564 : creusement de fosse			
FS3565		3565 : comblement de fosse avec de la terre 3566 : creusement de fosse			
FS3567		3414 : comblement de fosse 3420 : comblement de fosse hétérogène 3424 : comblement de fosse 3567 : comblement de fosse 3568 : creusement de fosse 3752 : comblement de fosse		HF	HF
FS3569		3569 : comblement de fosse de type dépotoir 3570 : creusement de fosse			Néo ou proto
FS3571		3422 : comblement de fosse 3530 : comblement de fosse 3534 : comblement de fosse 3571 : comblement de fosse 3572 : creusement de fosse			HF
FS3581		3581 : comblement de fosse 3582 : creusement de fosse			LTC2
FS3589		3589 : comblement de fosse avec de la terre 3590 : creusement de fosse			
FS3591		3591 : comblement de fosse avec de la terre 3592 : creusement de fosse			
FS3595		3595 : comblement de fosse avec de la terre 3596 : creusement de fosse 3941 : comblement de fosse avec de la terre 3955 : comblement de fosse avec de la terre 3956 : comblement de fosse avec de la terre		HF	HF
FS3603		3603 : comblement de fosse avec de la terre 3604 : creusement de fosse			
FS3605		3605 : comblement de fosse avec de la terre 3606 : creusement de fosse			
FS3607		3607 : comblement de fosse avec de la terre 3608 : creusement de fosse			
FS3609		3609 : comblement de fosse avec de la terre 3610 : creusement de fosse			
FS3619		3619 : comblement de fosse avec de la terre 3620 : creusement de fosse			
FS3625		3625 : comblement de fosse avec de la terre 3626 : creusement de fosse			
FS3633		3633 : comblement de fosse avec de la terre 3634 : creusement de fosse			
FS3635		3635 : comblement de fosse avec de la terre 3636 : creusement de fosse			
FS3639		3639 : comblement de fosse avec de la terre 3640 : creusement de fosse			
FS3641		3641 : comblement de fosse 3642 : creusement de fosse			
FS3643		3643 : comblement de fosse avec de la terre 3644 : creusement de fosse		HF	HF
FS3645		3645 : comblement de fosse avec de la terre 3646 : creusement de fosse			

ZAC de la Pyramide Lot C1, Lieusaint, Ville Nouvelle de Sénart (77), fouille 15-07/04-10-2002
Inventaire des faits

Fait	Ensemble	N° Us et Nature	Commentaire	TAQ	TPQ
FS3647		3647 : comblement de fosse avec de la terre 3648 : creusement de fosse			
FS3655		3655 : comblement de fosse avec de la terre 3656 : creusement de fosse			
FS3659		3659 : comblement de fosse avec de la terre 3660 : creusement de fosse			
FS3661		3661 : comblement de fosse avec de la terre 3662 : creusement de fosse			Néo/proto
FS3663		3663 : comblement de fosse avec de la terre 3664 : creusement de fosse			
FS3665		3665 : comblement de fosse avec de la terre 3666 : creusement de fosse			Néo/proto
FS3667		3667 : comblement de fosse avec de la terre 3668 : creusement de fosse			
FS3669		3669 : comblement de fosse avec de la terre 3670 : creusement de fosse		XXe	XXe
FS3671		3671 : comblement de fosse avec de la terre 3672 : creusement de fosse		XXe	XXe
FS3673		3673 : comblement de fosse avec de la terre 3674 : creusement de fosse			
FS3677		3677 : comblement de fosse 3678 : creusement de fosse		GRp	LTF
FS3681		3681 : comblement de fosse 3682 : creusement de fosse		GRp	LTF
FS3687		3687 : comblement de fosse 3688 : creusement de fosse			HF
FS3689		3689 : comblement de fosse avec de la terre 3690 : creusement de fosse			
FS3693		3693 : comblement de fosse avec de la terre 3694 : creusement de fosse 3707 : comblement de fosse 3708 : comblement de fosse 3724 : comblement de fosse 3726 : comblement de fosse 3729 : comblement de fosse 3730 : creusement de fosse 3734 : comblement de fosse 3742 : comblement de fosse 3744 : comblement de fosse		MOD /contemp	
FS3693		3693 : comblement de fosse avec de la terre 3694 : creusement de fosse 3707 : comblement de fosse 3708 : comblement de fosse 3724 : comblement de fosse 3726 : comblement de fosse 3729 : comblement de fosse 3730 : creusement de fosse 3734 : comblement de fosse 3742 : comblement de fosse 3744 : comblement de fosse		MOD	
FS3699	SFO15	3699 : comblement de fosse hydromorphe 3700 : creusement de fosse			
FS3703		3703 : comblement de fosse avec de la terre 3704 : creusement de fosse			
FS3709		3709 : comblement de fosse avec de la terre 3710 : creusement de fosse			
FS3711		3711 : comblement de fosse avec de la terre 3712 : creusement 3828 : comblement de fosse avec de la terre			
FS3713		3713 : comblement de fosse 3714 : creusement de fosse 3750 : comblement de fosse 3957 : comblement de fosse 3958 : comblement de fosse		HF	HF
FS3719		3719 : comblement de fosse avec de la terre 3720 : creusement de fosse			
FS3721		3721 : comblement de fosse avec de la terre 3722 : creusement de fosse			
FS3735		3735 : comblement de fosse avec de la terre 3736 : creusement de fosse			
FS3737		3737 : comblement de fosse avec de la terre 3738 : creusement			

ZAC de la Pyramide Lot C1, Lieusaint, Ville Nouvelle de Sénart (77), fouille 15-07/04-10-2002
Inventaire des faits

Fait	Ensemble	N° Us et Nature	Commentaire	TAQ	TPQ
FS3739		3739 : comblement de fosse avec de la terre 3740 : creusement			
FS3747		3747 : comblement de fosse avec de la terre 3748 : creusement de fosse			
FS3749		3749 : comblement et creusement			
FS3779	FOS13	3777 : comblement de fosse 3779 : creusement de fosse 3844 : comblement de fosse		HF	HF
FS3783		3783 : comblement de fosse 3999 : creusement			
FS3785		3785 : comblement de fosse avec de la terre 3786 : creusement			
FS3787		3787 : comblement de fosse avec de la terre 3788 : creusement			
FS3790	FOS13	3790 : comblement de fosse 3791 : creusement de fosse 3792 : comblement de fosse 3794 : comblement de fosse		HF	HF
FS3818	FOS13	3817 : comblement de fosse 3818 : creusement de fosse		HF	HF
FS3836	FOS13	3836 : comblement de fosse 3837 : creusement de fosse		HF	HF
FS3843	FOS13	3796 : comblement de fosse 3797 : comblement de fosse 3798 : comblement de fosse		HF	HF
FS3846	FOS13	3845 : comblement de fosse 3846 : creusement de fosse		HF	HF
FS3854	FOS13	3854 : comblement de fosse 3855 : creusement		HF	HF
FS3881		3881 : comblement de fosse avec de la terre			
FS3882		3882 : comblement de fosse avec de la terre			
FS3882		3882 : comblement de fosse avec de la terre			
FS3888		3304 : comblement de fosse hydromorphe 3888 : comblement de type vidange de foyer 3944 : comblement de fosse hétérogène 3945 : comblement de fosse avec de la terre 3946 : creusement de mare			
FS3889	BAT04 ?	3889 : comblement et creusement de fosse			Néo/proto
FS3964		3964 : comblement de fosse avec de la terre 3965 : creusement de fosse			
FS3993	BAT04 ?	3993 : comblement et creusement de fosse		Ierap	LTD2
FS3994		3994 : comblement et creusement		XXe	XXe
NV3637		3637 : cuvette de Sol brun			Néo/proto

Fait	Ensemble	N° Us et Nature	Commentaire	TAQ	TPQ
PO3030	BAT04	3030 : comblement de trou de poteau 3031 : creusement de trou de poteau			
PO3032	BAT04	3032 : comblement de trou de poteau 3033 : creusement de trou de poteau		Ierap	LTD2
PO3034	BAT04	3034 : comblement de trou de poteau 3035 : creusement de trou de poteau			
PO3036	BAT04	3036 : poteau [us composite]			
PO3039	BAT04	3039 : comblement de trou de poteau 3040 : creusement de trou de poteau			
PO3043	BAT04	3043 : comblement de trou de poteau 3044 : creusement de trou de poteau		Ierap	LTD2
PO3049	BAT04	3049 : comblement de trou de poteau 3050 : creusement de trou de poteau			
PO3055	BAT04	3055 : comblement de trou de poteau 3705 : creusement de trou de poteau			
PO3182	BAT10	3182 : comblement de trou de poteau 3183 : creusement de trou de poteau			
PO3220	BAT04	3220 : comblement de trou de poteau 3221 : creusement de trou de poteau			

ZAC de la Pyramide Lot C1, Lieusaint, Ville Nouvelle de Sénart (77), fouille 15-07/04-10-2002
Inventaire des faits

Fait	Ensemble	N° Us et Nature	Commentaire	TAQ	TPQ
PO3222	BAT09	3222 : comblement de trou de poteau 3223 : creusement de trou de poteau			
PO3295	BAT01	3295 : comblement de trou de poteau avec de la terre 3296 : creusement de trou de poteau 3795 : calage de trou de poteau		GRp	LTF
PO3297	BAT01	3297 : comblement de trou de poteau avec de la terre 3298 : creusement de trou de poteau		GRp	LTF
PO3299	BAT01	3299 : comblement de trou de poteau avec de la terre 3300 : creusement de trou de poteau		GRp	LTF
PO3307	BAT01	3307 : comblement de trou de poteau avec de la terre 3308 : creusement de trou de poteau		GRp	LTF
PO3309	BAT01	3309 : comblement de trou de poteau 3310 : creusement de trou de poteau		GRp	LTF
PO3311	BAT01	3311 : comblement de trou de poteau 3312 : creusement de trou de poteau			
PO3339	BAT03	3339 : comblement de trou de poteau 3340 : creusement de trou de poteau 3814 : comblement de trou de poteau			
PO3341	BAT03	3341 : comblement de trou de poteau 3342 : creusement de trou de poteau 3815 : comblement de trou de poteau			
PO3343	BAT03	3343 : comblement de trou de poteau 3344 : creusement de trou de poteau 3813 : comblement de trou de poteau			
PO3345	BAT03	3345 : comblement de trou de poteau 3346 : creusement de trou de poteau 3809 : comblement de trou de poteau			
PO3355	BAT02	3355 : comblement de trou de poteau 3356 : creusement de trou de poteau 3808 : calage de trou de poteau			
PO3363	BAT10	3363 : comblement de trou de poteau 3364 : creusement de trou de poteau 3821 : calage de trou de poteau			
PO3373	BAT02	3373 : comblement de trou de poteau 3374 : creusement de trou de poteau 3806 : calage de trou de poteau			
PO3377	BAT10	3377 : comblement de trou de poteau 3378 : creusement de trou de poteau			
PO3379	BAT02	3379 : comblement de trou de poteau 3380 : creusement de trou de poteau			
PO3381	BAT02	3381 : comblement de trou de poteau 3382 : creusement de trou de poteau 3807 : calage de trou de poteau		Ierap	LTC2
PO3425	BAT02	3425 : comblement de trou de poteau 3426 : creusement de trou de poteau 3811 : calage de trou de poteau			
PO3431	BAT02	3431 : comblement de trou de poteau 3432 : creusement de trou de poteau 3810 : calage de trou de poteau		Ierap	LTC2
PO3435	BAT02	3435 : comblement de trou de poteau 3436 : creusement de trou de poteau 3835 : calage de trou de poteau		Ierap	LTC2
PO3465	BAT04	3465 : comblement de trou de poteau 3466 : creusement de trou de poteau 3998 : calage de trou de poteau		Ierap	LTD2
PO3467	BAT04	3467 : comblement de trou de poteau 3468 : creusement de trou de poteau 3997 : calage de trou de poteau		Ierap	LTD2
PO3469	BAT04	3469 : comblement de trou de poteau 3470 : creusement de trou de poteau 3996 : calage de trou de poteau		Ierap	LTD2
PO3471	BAT04	3471 : comblement de trou de poteau 3472 : creusement de trou de poteau		Ierap	LTD2
PO3473	BAT04	3473 : comblement de trou de poteau 3474 : creusement de trou de poteau		Ierap	LTD2
PO3479	BAT09	3479 : comblement de trou de poteau 3480 : creusement de trou de poteau			

ZAC de la Pyramide Lot C1, Lieusaint, Ville Nouvelle de Sénart (77), fouille 15-07/04-10-2002
Inventaire des faits

Fait	Ensemble	N° Us et Nature	Commentaire	TAQ	TPQ
PO3481	BAT04	3482 : creusement de trou de poteau 3481 : comblement de trou de poteau			
PO3483	BAT09	3483 : comblement de trou de poteau 3484 : creusement de trou de poteau		Ierap	Néo/proto
PO3485	BAT08	3485 : comblement de trou de poteau 3486 : creusement de trou de poteau			
PO3493	BAT08	3493 : comblement de trou de poteau 3494 : creusement de trou de poteau 3838 : calage de trou de poteau		GRp	LTF
PO3495	BAT08	3495 : comblement de trou de poteau 3496 : creusement de trou de poteau 3842 : comblement de trou de poteau			
PO3499	BAT08	3499 : négatif de poteau 3500 : creusement de trou de poteau 3933 : calage de poteau			
PO3649	BAT11	3649 : comblement de trou de poteau 3650 : creusement de trou de poteau			
PO3651	BAT11	3651 : comblement de trou de poteau 3652 : creusement de trou de poteau			
PO3653	BAT11	3653 : comblement de trou de poteau 3654 : creusement de trou de poteau			
PO3727		3727 : comblement de trou de poteau 3728 : creusement de trou de poteau			
PO3801	BAT02	3756 : creusement de trou de poteau 3801 : comblement de trou de poteau		Ierap	LTC2
PO3822	BAT09	3822 : comblement de trou de poteau 3823 : creusement de trou de poteau			
PO3824	BAT09 BAT04	3824 : comblement de trou de poteau 3825 : creusement de trou de poteau 3824 : comblement de trou de poteau			LTC2
PO3826	BAT09	3826 : comblement de trou de poteau 3827 : creusement de trou de poteau			
PO3829	BAT09	3829 : comblement de trou de poteau 3830 : creusement de trou de poteau			
PO3839	BAT10	3839 : comblement de trou de poteau 3840 : creusement de trou de poteau 3841 : calage de trou de poteau		Ierap	
PO3851	BAT08	3851 : comblement de trou de poteau 3852 : creusement de trou de poteau 3853 : calage de trou de poteau			
PO3886	BAT08	3886 : comblement de trou de poteau 3983 : creusement de trou de poteau			
PO3887	BAT08	3887 : comblement de trou de poteau 3984 : creusement de trou de poteau			
PO3890	BAT04	3115 : creusement de trou de poteau 3885 : creusement de trou de poteau 3890 : comblement de trou de poteau			
PO3891	BAT04	3706 : creusement de trou de poteau 3891 : comblement de trou de poteau			
PO3892	BAT04	3521 : creusement de trou de poteau 3892 : comblement de trou de poteau		Ierap	LTD2
PO3893	BAT09	3522 : creusement de trou de poteau 3893 : comblement de trou de poteau			
PO3894	BAT09	3464 : creusement de trou de poteau 3894 : comblement de trou de poteau 3895 : creusement de trou de poteau			
PO3895		3463 : creusement de trou de poteau			
PO3990	BAT04	3990 : trou de poteau (comblement et creusement)			
PO3991	BAT04	3991 : trou de poteau (comblement et creusement)			
PO3992	BAT04	3992 : trou de poteau (comblement et creusement)			
TE3437		3437 : comblement de fosse avec de la terre 3438 : creusement de fosse			

TE3441		3441 : comblement de fosse avec de la terre 3442 : creusement de fosse			
TE3755		3755 : comblement et creusement			
TR3051	BAT04	3051 : comblement de sablière basse 3052 : creusement de sablière basse	Sablière basse	Ierap	LTD2
TR3245		3245 : comblement de fosse avec de la terre 3246 : creusement de fosse		GRp	LTF
TR3475	BAT04	3475 : comblement de fosse avec de la terre 3476 : creusement		Ierap	LTD2

16.3 Inventaire des faits de la Zone 4

Fait	Ensemble	N° Us et Nature	Commentaire	TAQ	TPQ
CH4001		4001 : comblement de chablis 4002 : creusement de chablis			
CH4003		4003 : comblement de chablis 4004 : creusement			
CH4029		4029 : comblement de chablis 4030 : creusement de chablis			
CH4031		4031 : comblement de chablis 4032 : creusement de chablis			
CH4037		4037 : comblement de chablis 4038 : creusement de chablis			
CH4041		4041 : comblement de chablis 4042 : creusement de chablis			
CH4053		4053 : comblement de chablis 4054 : creusement de chablis			LTC2
CH4075		4075 : comblement de chablis 4076 : creusement de chablis			
CH4077		4077 : comblement de chablis 4078 : creusement de chablis			
CH4087		4087 : comblement de chablis 4088 : creusement de chablis			
CH4093		4093 : comblement de chablis 4094 : creusement de chablis			
CH4129		4129 : couche de sédimentation couche de sédimentation [us composite] 4130 : creusement de chablis			
CH4149		4149 : comblement de chablis 4648 : creusement de chablis			
CH4149		4149 : comblement de chablis 4648 : creusement de chablis			
CH4150		4150 : comblement de chablis 4649 : creusement de chablis			
CH4151		4151 : comblement de chablis 4650 : creusement de chablis			
CH4151		4151 : comblement de chablis 4650 : creusement de chablis			
CH4152		4152 : comblement de chablis 4153 : creusement de chablis			
CH4158		4158 : comblement de chablis 4651 : creusement de chablis			
CH4163		4163 : comblement de chablis 4164 : creusement de chablis			
CH4179		4179 : comblement de chablis 4180 : creusement de chablis			
CH4181		4181 : comblement de chablis 4182 : creusement de chablis			
CH4183		4183 : comblement de chablis 4184 : creusement de chablis			
CH4185		4185 : comblement de chablis 4186 : creusement de chablis			

ZAC de la Pyramide Lot C1, Lieusaint, Ville Nouvelle de Sénart (77), fouille 15-07/04-10-2002
Inventaire des faits

Fait	Ensemble	N° Us et Nature	Commentaire	TAQ	TPQ
CH4193		4193 : comblement de chablis 4194 : creusement de chablis			
CH4195		4195 : comblement de chablis 4196 : creusement de chablis			
CH4199		4199 : comblement de chablis 4200 : creusement de chablis			
CH4201		4201 : comblement de chablis 4202 : creusement de chablis			
CH4211		4211 : comblement de chablis 4212 : creusement de chablis			
CH4213		4213 : comblement de chablis 4214 : creusement de chablis			
CH4215		4215 : comblement de chablis 4216 : creusement de chablis			
CH4219		4219 : comblement de chablis 4220 : creusement de chablis			
CH4237		4237 : comblement de chablis 4238 : creusement de chablis			LTC2
CH4241		4241 : comblement de chablis 4242 (R) : creusement de chablis			
CH4243		4243 : comblement de chablis 4244 : creusement de chablis			
CH4245		4245 : comblement de chablis 4246 : creusement de chablis			
CH4247		4247 : comblement de chablis 4248 : creusement de chablis			
CH4255		4255 : comblement de chablis 4256 : creusement de chablis			
CH4257		4257 : comblement de chablis 4258 : creusement de chablis			
CH4265		4265 : comblement de chablis 4266 : creusement de chablis			Néo/proto
CH4271		4271 : creusement de chablis 4272 : creusement de chablis			Néo/proto
CH4273		4273 : comblement de chablis 4274 : creusement de chablis			
CH4285		4285 : comblement de chablis 4286 : creusement de chablis			
CH4287		4287 : comblement de chablis 4288 : creusement de chablis			
CH4289		4289 : comblement de chablis 4290 : creusement de chablis			
CH4307		4307 : comblement de chablis 4308 : creusement de chablis			
CH4309		4309 : comblement de chablis 4310 : creusement de chablis			
CH4317		4317 : comblement de chablis 4318 : creusement de chablis			
CH4319		4319 : comblement de chablis 4320 : creusement de chablis			
CH4321		4321 : comblement de chablis 4322 : creusement de chablis			
CH4325		4325 : comblement de chablis 4326 : creusement de chablis			
CH4329		4329 : comblement de chablis 4330 : creusement de chablis			
CH4331		4331 : comblement de chablis 4332 : creusement de chablis			
CH4331		4331 : comblement de chablis 4332 : creusement de chablis			
CH4333		4333 : comblement de chablis 4334 : creusement de chablis			
CH4351		4351 : comblement de chablis 4352 : creusement de chablis			

ZAC de la Pyramide Lot C1, Lieusaint, Ville Nouvelle de Sénart (77), fouille 15-07/04-10-2002
Inventaire des faits

Fait	Ensemble	N° Us et Nature	Commentaire	TAQ	TPQ
CH4353		4353 : comblement de chablis 4354 : creusement de chablis			
CH4359		4359 : comblement de chablis 4360 : creusement de chablis			
CH4361		4361 : comblement de chablis 4362 : creusement de chablis			
CH4361		4361 : comblement de chablis 4362 : creusement de chablis			
CH4367		4367 : comblement de chablis 4368 : creusement de chablis			
CH4369		4369 : comblement de chablis 4370 : creusement de chablis			
CH4371		4371 : comblement de chablis 4372 : creusement de chablis			
CH4377		4377 : comblement de chablis 4378 : creusement de chablis			
CH4387		4387 : comblement de chablis 4388 : creusement de chablis			
CH4389		4389 : comblement de chablis 4390 : creusement de chablis			
CH4391		4391 : creusement de chablis 4392 : creusement de chablis			
CH4393		4393 : comblement de chablis 4394 : creusement de chablis			
CH4395		4395 : comblement de chablis 4396 : creusement de chablis			
CH4397		4397 : comblement de chablis 4398 : creusement de chablis			
CH4399		4399 : comblement de chablis 4400 : creusement de chablis			
CH4634		4634 : comblement de chablis 4635 : creusement de chablis			
FC4005		4005 : comblement de fosse avec de la terre 4006 : creusement de fosse 4575 : comblement de fosse 4576 : comblement de fosse 4577 : creusement de fosse 4578 : comblement de fosse 4579 : comblement de fosse 4580 : comblement de fosse 4581 : creusement de fosse 4582 : comblement de fosse 4583 : comblement de fosse		HF	HF
FC4007		4007 : comblement de fosse avec de la terre 4008 : creusement de fosse 4600 : comblement de fosse 4601 : comblement de fosse 4602 : comblement de fosse 4603 : creusement de fosse		HF	HF
FC4013		4013 : comblement de fosse avec de la terre 4014 : creusement de fosse 4457 : comblement de fosse 4458 : comblement de fosse 4459 : comblement de fosse 4460 : comblement de fosse 4486 : comblement de fosse 4487 : comblement de fosse 4488 : comblement de fosse 4489 : comblement de fosse 4490 : comblement de fosse 4517 : comblement de fosse 4518 : comblement de fosse 4519 : comblement de fosse 4520 : comblement de fosse 4524 : creusement		HF	HF
FC4023		4023 : comblement de fosse avec de la terre 4024 : creusement 4529 : comblement de fosse 4530 : comblement de fosse 4540 : creusement 4541 : creusement de fosse 4542 : comblement de fosse 4543 : comblement de fosse 4544 : comblement de fosse 4545 : comblement de fosse 4546 : comblement de fosse 4624 : comblement de fosse		HF	HF

ZAC de la Pyramide Lot C1, Lieusaint, Ville Nouvelle de Sénart (77), fouille 15-07/04-10-2002
Inventaire des faits

Fait	Ensemble	N° Us et Nature	Commentaire	TAQ	TPQ
FC4035		4035 : comblement de fosse avec de la terre 4036 : creusement de fosse 4556 : comblement de fosse 4557 : comblement de fosse 4558 : comblement de fosse 4559 : comblement de fosse 4560 : comblement de fosse 4561 : comblement de fosse 4562 : comblement de fosse 4563 : comblement de fosse 4564 : comblement de fosse 4565 : comblement de fosse 4566 : comblement de fosse 4567 : comblement de fosse avec de la terre 4568 : comblement de fosse 4571 : creusement		HF	HF
FC4039		4039 : comblement de fosse avec de la terre 4040 : creusement de fosse 4451 : comblement de fosse 4456 : comblement de fosse 4484 : comblement de fosse 4485 : comblement de fosse 4493 : comblement de fosse 4494 : comblement de fosse 4496 : comblement de fosse 4497 : creusement de fosse 4498 : creusement de fosse 4521 : creusement 4632 : creusement de fosse		HF	HF
FC4156		4156 : comblement de fosse avec de la terre 4157 : creusement de fosse 4585 : comblement de fosse 4586 : comblement de fosse 4587 : creusement 4588 : comblement de fosse 4589 : comblement de fosse 4590 : comblement de fosse 4591 : comblement de fosse 4592 : creusement 4593 : comblement de fosse		HF	HF
FC4167		4167 : comblement de fosse avec de la terre 4168 : creusement de fosse 4495 : comblement de fosse 4499 : comblement de fosse 4500 : comblement de fosse 4523 : comblement de fosse 4531 : comblement de fosse 4532 : comblement de fosse 4533 : comblement de fosse 4534 : comblement de fosse 4535 : comblement de fosse 4536 : comblement de fosse 4537 : comblement de fosse 4538 : comblement de fosse 4539 : creusement 4547 : creusement 4548 : creusement		HF	HF
FC4283		4283 : comblement de fosse avec de la terre 4284 : creusement de fosse 4605 : comblement de fosse 4607 : creusement 4608 : comblement de fosse 4609 : comblement de fosse 4610 : comblement de fosse 4611 : comblement de fosse 4612 : creusement 4613 : comblement de fosse 4614 : comblement de fosse 4615 : comblement de fosse 4616 : surface de circulation 4617 : surface de circulation 4618 : comblement de fosse 4619 : comblement de fosse		HF	HF
FO4047	SFO27	4047 : comblement de fossé avec de la terre 4048 : creusement de fossé			
FO4049	SFO20	4049 : comblement de fossé hydromorphe 4478 : comblement de fossé avec de la terre 4483 : comblement de fossé avec de la terre 4594 : creusement de fossé		BE	fierap
FO4079	SFO22	4079 : comblement de fossé hydromorphe 4080 : creusement de fossé	Un seul sondage ponctuel à l'intersection avec le SFO15. Pas de relevé.	BE	HE
FO4081	SFO25	4081 : comblement de fossé avec de la terre 4082 : creusement de fossé			
FO4085	SFO15	4085 : comblement de fossé avec de la terre 4086 : creusement de fossé 4445 : comblement de fossé hétérogène			
FO4095	SFO25	4095 : comblement de fossé avec de la terre 4096 : creusement de fossé			

ZAC de la Pyramide Lot C1, Lieusaint, Ville Nouvelle de Sénart (77), fouille 15-07/04-10-2002
Inventaire des faits

Fait	Ensemble	N° Us et Nature	Commentaire	TAQ	TPQ
FO4099	SFO15	4099 : comblement de fossé hydromorphe 4100 : creusement de fossé 4482 : comblement de fossé			
FO4099	SFO15	4099 : comblement de fossé hydromorphe 4100 : creusement de fossé 4482 : comblement de fossé		BE	fierap
FO4102		4102 : creusement de fossé	Doublent au niveau du sondage A du FO4145 phase C (4102=4653). Le segment FO4102 est comblé par les mêmes Us que le FO4145 phase C (4470 et 4101). Il remplace peut-être le tronçon de fossé antérieur FO4147.		
FO4109	SFO25	4109 : comblement de fossé avec de la terre 4110 : creusement de fossé		XXe	MOD
FO4145	SFO19	4101 : comblement de fossé hydromorphe 4145 : comblement de fossé hydromorphe 4146 : creusement de fossé 4403 : comblement de fossé hydromorphe 4404 : comblement de fossé avec de la terre 4464 : comblement de fossé 4465 : creusement de fossé 4466 : comblement de fossé 4467 : comblement de fossé hydromorphe 4468 : comblement de fossé hydromorphe 4469 : comblement de fossé 4470 : comblement de fossé hétérogène 4471 : comblement de type vidange de foyer 4472 : creusement de fossé 4473 : comblement de fossé hydromorphe 4474 : comblement de fossé avec de la terre 4475 : comblement de fossé hydromorphe 4510 : comblement de fossé hydromorphe 4511 : comblement de fossé hydromorphe 4512 : comblement de fossé hydromorphe 4513 : creusement de fossé 4514 : comblement de fossé hétérogène 4515 : comblement de fossé hétérogène 4516 : altération de l'encaissant 4646 : comblement de fossé hydromorphe 4653 : creusement de fossé 4654 : creusement de fossé 4657 : comblement de fossé hétérogène 4660 : comblement de fossé 4662 : comblement de fossé hétérogène		BE	fierap
FO4147		4147 : comblement de fossé 4148 : creusement de fossé 4476 : comblement de fossé hydromorphe 4477 : comblement de fossé	Le fossé 4147 représente probablement un doublement du FO4145 (SFO19) phase D (4148=4472 ?) au niveau du sondage A. Il est antérieur au FO4102. Il a été suivi sur environ 23 m dans les sondages. Il présente une largeur d'environ 1,5 m au niveau de la semelle de labours et une profondeur maximale de 1,35 m sous le sommet des labours. Son profil dans le sondage A coupe ouest évoque un poteau. L'Us 4476 pourrait représenter le calage et l'Us4477 le négatif ? Il pourrait éventuellement s'agir d'un a		
FO4409		4409 : comblement de fossé avec de la terre 4410 : creusement			MOD
FO4461	SFO21	4461 : comblement de fossé avec de la terre 4462 : comblement de fossé 4463 : creusement de fossé			
FO4461	SFO21	4461 : comblement de fossé avec de la terre 4462 : comblement de fossé 4463 : creusement de fossé			fierap
FO4480	SFO20	4050 : creusement de fossé 4479 : comblement de fossé avec de la terre 4480 : comblement de fossé 4481 : comblement de fossé 4655 : comblement de fossé			
FO4597	SFO26	4597 : comblement de fossé avec de la terre 4598 : comblement de fossé hydromorphe 4599 : creusement de fossé		HE	GRp
FO4641	SFO21	4641 : comblement de fossé avec de la terre 4642 : creusement de fossé 4661 : comblement de fossé avec de la terre			
FS4009		4009 : comblement de fosse avec de la terre 4010 : creusement de fosse			
FS4011		4011 : comblement de fosse 4012 : creusement			
FS4015		4015 : comblement de fosse avec de la terre 4016 : creusement 4453 : comblement de fosse 4454 : comblement de fosse 4455 : comblement de fosse		HF	HF

ZAC de la Pyramide Lot C1, Lieusaint, Ville Nouvelle de Sénart (77), fouille 15-07/04-10-2002
Inventaire des faits

Fait	Ensemble	N° Us et Nature	Commentaire	TAQ	TPQ
FS4017		4017 : comblement de fosse avec de la terre 4018 : creusement			
FS4019		4019 : comblement de fosse avec de la terre 4020 : creusement			
FS4021		4021 : comblement de fosse avec de la terre 4022 : creusement			
FS4025		4025 : comblement de fosse avec de la terre 4026 : creusement			
FS4027		4027 : comblement de fosse avec de la terre 4028 : creusement			
FS4033		4033 : comblement de fosse avec de la terre 4034 : creusement			
FS4043		4043 : comblement de fosse avec de la terre 4044 : creusement			
FS4045		4045 : comblement de fosse avec de la terre 4046 : creusement			
FS4057		4057 : comblement de fosse avec de la terre 4058 : creusement			
FS4061		4061 : comblement de fosse avec de la terre 4062 : creusement			
FS4065		4065 : comblement de fosse avec de la terre 4066 : creusement			
FS4069		4069 : comblement de fosse avec de la terre 4070 : creusement de fosse			Néo/proto
FS4071		4071 : comblement de fosse avec de la terre 4072 : creusement			
FS4073		4073 : comblement de fosse avec de la terre 4074 : creusement			
FS4083		4083 : comblement de fosse avec de la terre 4084 : creusement			
FS4089		4089 : comblement de fosse avec de la terre 4090 : creusement		BE	
FS4105		4105 : comblement de fosse avec de la terre 4106 : creusement			
FS4121		4121 : comblement de fosse avec de la terre 4122 : creusement de fosse			Néo/proto
FS4123		4123 : comblement de fosse avec de la terre 4124 : creusement de fosse			
FS4125		4125 : comblement de fosse avec de la terre 4126 : creusement			
FS4131		4131 : comblement de fosse avec de la terre 4132 : creusement			Néo/proto
FS4135		4135 : comblement de fosse avec de la terre 4136 : creusement de fosse			
FS4154		4154 : comblement de fosse de type dépotoir 4155 : creusement de fosse		HF	HF
FS4159		4159 : comblement de fosse avec de la terre 4160 : creusement			
FS4161		4161 : comblement de fosse avec de la terre 4162 : creusement			Néo/proto
FS4165		4165 : comblement de fosse avec de la terre 4166 : creusement			
FS4169		4169 : comblement de fosse avec de la terre 4170 : creusement			
FS4171		4171 : comblement de fosse avec de la terre 4172 : creusement			
FS4173		4173 : comblement de fosse avec de la terre 4174 : creusement			
FS4175		4175 : comblement de fosse avec de la terre 4176 : creusement			
FS4177		4177 : comblement de fosse avec de la terre 4178 : creusement de fosse			
FS4187		4187 : comblement de fosse avec de la terre 4188 : creusement			

ZAC de la Pyramide Lot C1, Lieusaint, Ville Nouvelle de Sénart (77), fouille 15-07/04-10-2002
Inventaire des faits

Fait	Ensemble	N° Us et Nature	Commentaire	TAQ	TPQ
FS4189		4189 : comblement de fosse avec de la terre 4190 : creusement			
FS4191		4191 : comblement de fosse avec de la terre 4192 : creusement			
FS4197		4197 : comblement de fosse avec de la terre 4198 : creusement			
FS4205		4205 : comblement de fosse avec de la terre 4206 : creusement			
FS4207		4207 : comblement de fosse 4208 : creusement de fosse 4551 : comblement de fosse 4552 : comblement de fosse 4553 : comblement de fosse 4554 : comblement de fosse 4555 : comblement de fosse		HF	HF
FS4209		4209 : comblement de fosse avec de la terre 4210 : creusement			
FS4217		4217 : comblement de fosse avec de la terre 4218 : creusement			
FS4221		4221 : comblement de fosse avec de la terre 4222 : creusement			
FS4223		4223 : comblement de fosse avec de la terre 4224 : creusement			
FS4225		4225 : comblement de fosse avec de la terre 4226 : creusement			
FS4227		4227 : comblement de fosse avec de la terre 4228 : creusement			
FS4229		4229 : comblement de fosse avec de la terre 4230 : creusement			
FS4231		4231 : comblement de fosse avec de la terre 4232 : creusement			
FS4233		4233 : comblement de fosse avec de la terre 4234 : creusement			
FS4235		4235 : comblement de fosse 4236 : creusement de fosse	Fosse non-fouillée d'aspect de surface a priori non-anthropique. Elle a cependant livré une forme céramique non-tournée complète (Boulenger 2000, ST506).	HF	HF
FS4239		4239 : comblement de fosse avec de la terre 4240 : creusement			
FS4249		4249 : comblement de fosse avec de la terre 4250 : creusement			
FS4251		4251 : comblement de fosse avec de la terre 4252 : creusement			
FS4253		4253 : comblement de fosse avec de la terre 4254 : creusement			
FS4259		4259 : comblement de fosse avec de la terre 4260 : creusement			
FS4261		4261 : comblement de fosse avec de la terre 4262 : creusement			
FS4263		4263 : comblement de fosse avec de la terre 4264 : creusement			
FS4267		4267 : comblement de fosse avec de la terre 4268 : creusement			
FS4269		4269 : comblement de fosse avec de la terre 4270 : creusement de fosse 4595 :			
FS4275		4275 : comblement de fosse avec de la terre 4276 : creusement			
FS4277		4277 : comblement de fosse avec de la terre 4278 : creusement			
FS4279		4279 : comblement de fosse avec de la terre 4280 : creusement			
FS4281		4281 : comblement de fosse avec de la terre 4282 : creusement			
FS4291		4291 : comblement de fosse avec de la terre 4292 : creusement			
FS4293		4293 : comblement de fosse avec de la terre 4294 : creusement			

ZAC de la Pyramide Lot C1, Lieusaint, Ville Nouvelle de Sénart (77), fouille 15-07/04-10-2002
Inventaire des faits

Fait	Ensemble	N° Us et Nature	Commentaire	TAQ	TPQ
FS4295		4295 : comblement de fosse avec de la terre 4296 : creusement			
FS4297		4297 : comblement de fosse avec de la terre 4298 : creusement			
FS4299		4299 : comblement de fosse avec de la terre 4300 : creusement			
FS4301		4301 : comblement de fosse avec de la terre 4302 : creusement			
FS4303		4303 : comblement de fosse avec de la terre 4304 : creusement			
FS4305		4305 : comblement de fosse avec de la terre 4306 : creusement			
FS4311		4311 : comblement de fosse avec de la terre 4312 : creusement			
FS4313		4313 : comblement de fosse avec de la terre 4314 : creusement			
FS4315		4315 : comblement de fosse avec de la terre 4316 : creusement			
FS4323		4323 : comblement de fosse avec de la terre 4324 : creusement			
FS4327		4327 : comblement de fosse avec de la terre 4328 : creusement			
FS4337		4337 : comblement de fosse avec de la terre 4338 : creusement de fosse 4415 : comblement de fosse hydromorphe		BE	fierap
FS4339		4339 : comblement de fosse avec de la terre 4340 : creusement			
FS4341		4341 : comblement de fosse 4342 : creusement de fosse 4452 : comblement de fosse		HF	HF
FS4355		4355 : comblement de fosse avec de la terre 4356 : creusement de fosse			
FS4357		4357 : comblement de fosse avec de la terre 4358 : creusement de fosse			
FS4363		4363 : comblement de fosse avec de la terre 4364 : creusement de fosse			
FS4365		4365 : comblement de fosse avec de la terre 4366 : creusement de fosse			
FS4373		4373 : comblement de fosse avec de la terre 4374 : creusement de fosse		BE	Néo/proto
FS4375		4375 : comblement de fosse avec de la terre 4376 : creusement de fosse			
FS4379		4379 : comblement de fosse avec de la terre 4380 : creusement			
FS4381		4381 : comblement de fosse avec de la terre 4382 : creusement			
FS4383		4383 : comblement de fosse avec de la terre 4384 : creusement			
FS4385		4385 : comblement de fosse avec de la terre 4386 : creusement			
FS4401		4401 : comblement de fosse avec de la terre 4402 : creusement			
FS4405	SFO19	4097 : comblement de mare 4098 : comblement de mare 4127 : comblement de type vidange de foyer 4128 : comblement de mare 4405 : comblement de mare 4406 : creusement de mare 4647 : comblement de mare 4658 : comblement de mare 4659 : creusement de mare		BE	fierap
FS4407		4407 : comblement de fosse avec de la terre 4408 : creusement			
FS4411		4411 : comblement de fosse avec de la terre 4412 : creusement			
FS4413		4413 : comblement de fosse avec de la terre 4414 : creusement			

ZAC de la Pyramide Lot C1, Lieusaint, Ville Nouvelle de Sénart (77), fouille 15-07/04-10-2002
Inventaire des faits

Fait	Ensemble	N° Us et Nature	Commentaire	TAQ	TPQ
FS4447		4447 : comblement de fosse avec de la terre 4448 : creusement de fosse			
FS4625		4625 : comblement de fosse avec de la terre 4626 : creusement			
FS4636		4636 : comblement de fosse 4637 : creusement de fosse 4638 : comblement de fosse 4639 : comblement de fosse 4640 : comblement de fosse		BE	flerap
FS4643		4508 : comblement de type vidange de foyer 4509 : comblement de fosse hydromorphe 4643 : creusement de mare 4644 : creusement de fosse 4664 : comblement de mare 4665 : creusement de mare			
MR4335		4335 : fondation empierrée 4336 : creusement		BE	fler
NV4203		4203 : comblement 4204 : creusement			Néo/proto
PO4055	BAT12	4055 : comblement de trou de poteau 4056 : creusement de trou de poteau			
PO4059	BAT12	4059 : comblement de trou de poteau 4060 : creusement de trou de poteau		HE	LTC2
PO4063		4063 : comblement de trou de poteau 4064 : creusement de trou de poteau			
PO4067		4067 : comblement de trou de poteau 4068 : creusement de trou de poteau			
PO4091	BAT07	4091 : comblement de trou de poteau 4092 : creusement de trou de poteau			
PO4103	BAT05	4103 : comblement de trou de poteau 4104 : creusement de trou de poteau			
PO4107	BAT05	4107 : comblement de trou de poteau 4108 : creusement de trou de poteau			
PO4111		4111 : comblement de trou de poteau 4112 : creusement de trou de poteau			
PO4113		4113 : comblement de trou de poteau 4114 : creusement de trou de poteau			
PO4115		4115 : comblement de trou de poteau 4116 : creusement de trou de poteau			Néo/proto
PO4117	BAT05	4117 : comblement de trou de poteau 4118 : creusement de trou de poteau		GRp	LTF
PO4119	BAT05	4119 : comblement de trou de poteau 4120 : creusement de trou de poteau		GRp	LTF
PO4133	BAT05	4133 : comblement de trou de poteau 4134 : creusement de trou de poteau			
PO4137	BAT05	4137 : comblement de trou de poteau 4138 : creusement de trou de poteau		GRp	LTF
PO4139	BAT05	4139 : comblement de trou de poteau 4140 : creusement de trou de poteau 4427 : comblement de trou de poteau 4428 : comblement de trou de poteau		GRp	LTF
PO4141	BAT05	4141 : comblement de trou de poteau 4142 : creusement de trou de poteau			
PO4143	BAT05	4143 : comblement de trou de poteau 4144 : creusement de trou de poteau 4421 : comblement de trou de poteau 4422 : comblement de trou de poteau		GRp	LTF
PO4343	BAT06	4343 : comblement de trou de poteau 4344 : creusement de trou de poteau			Néo/proto
PO4345	BAT06	4345 : comblement de trou de poteau 4346 : creusement de trou de poteau			
PO4347	BAT06	4347 : comblement de trou de poteau 4348 : creusement de trou de poteau			
PO4349	BAT06	4349 : comblement de trou de poteau 4350 : creusement de trou de poteau			
PO4429	BAT06	4429 : comblement de trou de poteau 4430 : creusement de trou de poteau			
PO4431	BAT06	4431 : comblement de trou de poteau 4432 : creusement de trou de poteau			

ZAC de la Pyramide Lot C1, Lieusaint, Ville Nouvelle de Sénart (77), fouille 15-07/04-10-2002
Inventaire des faits

Fait	Ensemble	N° Us et Nature	Commentaire	TAQ	TPQ
PO4433	BAT07	4433 : comblement de trou de poteau 4434 : creusement de trou de poteau			
PO4435	BAT07	4435 : comblement de trou de poteau 4436 : creusement de trou de poteau			
PO4437	BAT07	4437 : comblement de trou de poteau 4438 : creusement de trou de poteau			
PO4439	BAT07	4439 : comblement de trou de poteau 4440 : creusement de trou de poteau			
PO4441	BAT07	4441 : comblement de trou de poteau 4442 : creusement de trou de poteau			
PO4443	BAT07	4443 : comblement de trou de poteau 4444 : creusement de trou de poteau			
PO4449	BAT12	4449 : comblement de trou de poteau 4450 : creusement de trou de poteau			
PO4627	BAT07	4627 : comblement de trou de poteau 4628 : creusement de trou de poteau			
PO4629	BAT07	4629 : comblement de trou de poteau 4630 : creusement de trou de poteau			
ST4501		4501 : comblement de structure en creux 4502 : comblement de structure en creux 4503 : comblement de structure en creux 4504 : creusement			
ST4505		4505 : comblement de structure en creux 4506 : comblement de structure en creux 4507 : creusement			

17 Annexe G : Inventaire des ensembles du Lot C1 :

Ensemble	Zone	Faits composant	Us composant	Remarques	TAQ	TPO
BAT01	3	PO3295 PO3297 PO3299 PO3307 PO3309 PO3311	3295 3296 3297 3298 3299 3300 3307 3308 3309 3310 3311 3312 3795	Dans la Zone 3, le bâtiment 01 se compose de 6 poteaux formant deux alignements parallèles de trois poteaux à espacements réguliers. Les poteaux présentent des calages de limon loessique (diamètres d'environ 55 cm à 70 cm) et au moins un négatif a été vu pour le PO3295 (diamètres d'environ 40 cm). Le BAT01 mesure approximativement 5,55 m par 3,95 m, soit environ 22 m ² (dimensions moyennes orthométriques arrondies calculées par rapport aux centres d'ancrage supposés des poteaux). Il est rectangulaire et s'oriente selon un axe longitudinal SSO/NNE, incliné à environ 8° E du Nord cartographique Lambert 1 (à 1/2 degré près). L'orientation des "pans ouverts" se fait sur un axe orthogonal ONO/ESE. Le BAT01 présente la même inclinaison que le BAT10. Il est approximativement orthogonal avec le SFO27 avec 1,25° à 2,75° d'écart. Plusieurs trous de poteau ont livré des tessons de céramiques datables au plus tôt de La Tène moyenne C2 et au plus tard du premier quart du Ier s. ap. J.-C.	GRp	LTC2
BAT02	3	PO3355 PO3373 PO3379 PO3381 PO3425 PO3431 PO3435 PO3801	3355 3356 3373 3374 3379 3380 3381 3382 3425 3426 3431 3432 3435 3436 3756 3801 3806 3807 3808 3810 3811 3835	Dans la Zone 3, le bâtiment 02 se compose de 8 poteaux. Il est formé par deux alignements parallèles de trois poteaux à espacements réguliers présentant des négatifs (diamètres d'environ 40 cm à 55 cm) avec des calages de limon loessique (diamètres d'environ 75 cm à 110 cm). Le corps de bâtiment mesure approximativement 6,75 m par 5,85 m, soit 40 m ² de surface minimum (dimensions moyennes orthométriques arrondies calculées par rapport aux centres d'ancrage supposés des poteaux). Les PO3379 et PO3801, sans négatif apparent, distants d'environ 9,9 m sont équidistants du centre du bâtiment et marquent des extensions symétriques d'environ 1,8 m sur les pans O et E. Les pendants de ces deux poteaux, fermant les pignons des pans coupés, semblent avoir été détruits par le creusement du fossé moderne FO3233 et peut-être également par le chablis 3421. Ce bâtiment rectangulaire à pans coupés suit un axe longitudinal E/O, incliné à environ 87° O du Nord cartographique Lambert 1 (à 1/2 degré près). L'orientation des "pans ouverts" supposés (pignons) se fait sur un axe orthogonal N/S. Le BAT02 possède la même inclinaison que le BAT03. Le poteau 3381 recoupe le PO3839 du BAT10. La morphologie rectangulaire à pans coupés du bâtiment 02 le situe entre la fin de La Tène moyenne et le Ier s. ap. J.-C. (voir Pion 1996).	Ier ap	LTC2
BAT03	3	PO3339 PO3341 PO3343 PO3345	3339 3340 3341 3342 3343 3344 3345 3346 3809 3813 3814 3815	Dans la Zone 3, le bâtiment n° 3 se compose de 4 poteaux (diamètres d'environ 55 cm à 65 cm, et probables négatifs d'un diamètre d'environ 40/45 cm). Il mesure approximativement 4,6 m par 2,25 m, soit 10 m ² environ (dimensions moyennes orthométriques arrondies calculées par rapport aux centres d'ancrage supposés des poteaux). De forme rectangulaire, il suit un axe longitudinal ONO/ESE, incliné à environ 48° E du Nord cartographique Lambert 1 (à 1/2 degré près). Il présente la même inclinaison que le BAT02. Il est possible que la FS3347, située dans sa partie centrale interne, soit liée au fonctionnement du bâtiment.		

ZAC de la Pyramide Lot C1, Lieusaint, Ville Nouvelle de Sénart (77), fouille 15-07/04-10-2002
Inventaire des ensembles

BAT04	3	PO3030 PO3032 PO3034 PO3036 PO3039 PO3043 PO3049 TR3051 PO3055 PO3890 PO3220 PO3465 PO3467 PO3469 PO3471 PO3473 TR3475 PO3481 PO3892 PO3891 PO3824 FS3889 PO3990 PO3991 PO3992 FS3993	3030 3031 3032 3033 3034 3035 3036 3039 3040 3043 3044 3049 3050 3051 3052 3055 3115 3220 3221 3465 3466 3467 3468 3469 3470 3471 3472 3473 3474 3475 3476 3481 3482 3521 3705 3706 3824 3825 3885 3889 3890 3891 3892 3990 3991 3992 3993 3996 3997 3998	<p>Au centre de la Zone 3, le bâtiment 04 se compose de 14 trous de poteau principaux et de deux modules annexes, composés l'un d'une sablière basse et d'un poteau et l'autre d'une sablière basse, ainsi que de 3 poteaux intermédiaires de pan (1 manquant, probablement surdécapé). On peut noter la présence de probables poteaux internes (PO3036, PO3471, FS3889 et FS3993). Ce bâtiment rectangulaire à pans coupés ou pignons mesure approximativement 12,8 m par 9,4 m pour le corps de bâtiment principal (dimensions moyennes orthométriques arrondies calculées par rapport aux centres d'ancrage supposés des poteaux). Avec les annexes sur sablière basse, la surface totale concernée est d'environ 17 m par 11 m (187 m²). La surface de l'intérieur du corps de bâtiment principal couvre au moins 90 m². Le bâtiment s'orient selon un axe longitudinal OSO/ENE incliné à environ 38° E du Nord cartographique Lambert 1 (à 1/2 degré près). Il présente la même inclinaison que l'alignement de poteaux BAT12 (zone 4). L'orientation des "pans ouverts" supposés (pignons) se fait sur un axe orthogonal NNO/SSE.</p> <p>Une partie du centre et du quart NE du bâtiment, mis au jour et enregistrés au cours du diagnostic et de l'évaluation (Boulinger 2001), ont malencontreusement été surdécapés, faisant disparaître au moins quatre poteaux et une fosse (PO3036, PO3990, PO3991, PO3992 et FS3992).</p> <p>Le corps de bâtiment principal s'organise selon un axe de symétrie OSO/ENE dans sa longueur. Les pans NNO et SSE, d'une longueur d'environ 7,15 m au niveau des points d'ancrage, sont formés par deux alignements parallèles de cinq poteaux avec calage de limon loessique à espacements réguliers (diamètres d'environ 95/100 cm et diamètre des négatifs d'env. 40 cm). Les pans OSO et ENE se composent chacun de deux trous de poteau de tailles similaires alignés perpendiculairement aux pans contraires, formant des avancées d'environ 2,8 m. L'espacement des trous de poteau du pan ENE est légèrement supérieur à celui du pan opposé (5,2 m contre 4,4 m), le bord extérieur de chacun de ces deux poteaux venant s'aligner sur le centre du poteau opposé. Au sein des pans obliques du pignon OSO, les trous de petits poteaux PO3891 et PO3892 (diamètres d'environ 15/20 cm) sont équidistants du centre du bâtiment et des poteaux porteurs. Le pendant du petit poteau ou pieu PO3890 de facture similaire aux précédents, mis au jour au sein du pan oblique du pignon ENE, a probablement été vidé par la pelle mécanique.</p> <p>La sablière basse TR3051 et le poteau PO3055 forme une avancée parallèle au fronton du pignon OSO, en avant de l'angle NO du corps de bâtiment principal. La sablière basse TR3475 fait de même en parallèle du fronton du pignon ENE en avant de l'angle SE. Le bord NNO du PO3051 et l'extrémité SSE de la TR3475 sont équidistants du centre du bâtiment. Les bords externes au bâtiment des TR3051 et TR3475 sont tous deux distants d'environ 2,6 m en parallèle de la ligne d'ancrage des frontons.</p> <p>Le poteau 3481 pourrait être associé au BAT04. Il se situe dans le prolongement exact de l'axe central de symétrie OSO/ENE à environ 6,9 m du fronton du pignon ENE du bâtiment.</p> <p>La sablière basse TR3475 recoupe le PO3894 du bâtiment 09. Plusieurs trous de poteau ont livré des tessons de céramiques datables au plus tôt de La Tène finale D2 et au plus tard de la première moitié du Fer s. ap. J.-C.</p>	Ier ap	LTD2
BAT05	4	PO4103 PO4107 PO4117 PO4119 PO4133 PO4139 PO4141 PO4143 PO4137	4103 4104 4107 4108 4117 4118 4119 4120 4133 4134 4137 4138 4139 4140 4141 4142 4143 4144 4421 4422 4427 4428	<p>8 poteaux. Deux séries parallèles de trois, avec négatifs (diam. approx 35/40 cm)et calages de limon loessique (diam. approx. 100 cm), forment un corps rectangulaire d'approximativement 8,9 m par 5,05 m (dimensions moyennes orthométriques arrondies calculées par rapport aux centres d'ancrage supposés des poteaux). Deux poteaux sans calage apparent (diamètres d'environ 60 cm) équidistants du centre du bâtiment, distants d'environ 10,8 m l'un de l'autre, marquent des extensions symétriques d'environ 2,5 m sur les pans OSO et ENE. Possible relation avec le PO4137 dans l'angle intérieur SO. Axe longitudinal NNO/SSE. Bâtiment incliné à environ 4° E du Nord cartographique Lambert 1 (à 1/2 degré près). "Pans ouverts" orientés selon un axe OSO/ENE. Même inclinaison que le BAT08 (zone 3).</p> <p>Les alignements formant les pans NNO et SSE du bâtiment sont composés de trois poteaux à espacements différenciés. Les centres d'ancrage des poteaux d'angles du pan OSO sont distants d'environ 2,7 m des points d'ancrage des poteaux centraux, alors que ceux des poteaux d'angles du pan ENE le sont d'environ 2,35 m.</p>	GRp	LTF
BAT06	4	PO4341 PO4343 PO4347 PO4349 PO4431 PO4545	4343 4344 4345 4346 4347 4348 4349 4350 4429 4430 4431 4432	<p>Dans la Zone 4, le bâtiment n° 6 se compose de 6 poteaux organisés en deux séries parallèles de trois trous de poteau à espacements réguliers. Les trous de poteau sont représentés par des négatifs simples (diam. approx. 30 cm). Le BAT06 est rectangulaire, mesurant approximativement 2,95 m par 2,65 m, soit environ 7,5 m² (dimensions moyennes orthométriques arrondies calculées par rapport aux centres d'ancrage supposés des poteaux). Il suit un axe longitudinal SSO/NNE incliné à environ 13° E du Nord cartographique Lambert 1 (à 1/2 degré près). Les "pans ouverts" orthogonaux sont orientés selon un axe ONO/ESE.</p>		

ZAC de la Pyramide Lot C1, Lieusaint, Ville Nouvelle de Sénart (77), fouille 15-07/04-10-2002
Inventaire des ensembles

BAT07	4	PO4091 PO4433 PO4435 PO4437 PO4439 PO4441 PO4443 PO4627 PO4629	4091 4092 4433 4434 4435 4436 4437 4438 4439 4440 4441 4442 4443 4444 4627 4628 4629 4630	Dans la Zone 4, le bâtiment n° 7 se compose de 9 poteaux. Les trous de poteau sont représentés par des négatifs simples (diam. approx. 25/35 cm). Le BAT07 est rectangulaire, mesurant approximativement 4,95 m par 3,3 m, soit environ 16 m ² (dimensions moyennes orthométriques arrondies calculées par rapport aux centres d'ancrage supposés des poteaux). Il suit un axe longitudinal NNO/SSE incliné à environ 2,5° O du Nord cartographique Lambert 1 (à 1/2 degré près). Il se compose de trois alignements symétriques parallèles non-équidistants. Le pan NNO se situe à 2,4 m de la rangée centrale et le pan SSE à 2,55 m environ ; le pan OSO se situe à 1,7 m de la rangée centrale et le pan ENE à 1,6 m environ. Cela conduit à un espacement différencié des poteaux.		
BAT08	3	PO3485 PO3493 PO3495 PO3499 PO3851 PO3886 PO3887	3485 3486 3493 3494 3495 3496 3499 3500 3838 3842 3851 3852 3853 3886 3887 3933 3983 3984	6 poteaux. Rectangulaire. Deux alignements de trois poteaux à calage de limon loessique à espacement régulier (diamètres d'environ 65/80 cm, négatifs diamètres d'environ 35/40 cm). Approximativement 9,85 m par 6,6 m (dimensions moyennes orthométriques arrondies calculées par rapport aux centres d'ancrage supposés des poteaux). Axe longitudinal NNO/SSE. Bâtiment incliné à environ 4° O du Nord cartographique Lambert 1 (à 1/2 degré près). Orientation des "pans ouverts" sur un axe OSO/ENE. Même inclinaison que le BAT05 (zone 4). Angle NO sous la FS 3224.	GRp	LTF
BAT09	3	PO3222 PO3894 PO3479 PO3824 PO3483 PO3893 PO3822 PO3826 PO3829	3222 3223 3464 3479 3480 3824 3825 3483 3484 3522 3822 3823 3826 3827 3829 3830 3893 3894 3895	Le bâtiment 09 se compose de 9 trous de poteau (négatifs simples, diamètres d'environ 30/40 cm). Il se présente sous la forme de deux séries de trois trous de poteaux à espacements réguliers, plus 3 poteaux doublant les poteaux du pan SE (ancrages doubles ? réfection ?). Il présente un espace interne carré de 3,85 m de côté et un contour rectangulaire de 3,85 m par 4,2 m (dimensions moyennes orthométriques arrondies calculées par rapport aux centres d'ancrage supposés des poteaux), soit une surface interne d'environ 15 m ² . Il s'aligne sur un axe SSO/NNE orienté à environ 10° E du Nord cartographique Lambert 1 (à 1/2 degré près). L'orientation des "pans ouverts" se fait selon un axe orthogonal SSO/NNE. Il est recoupé par la sablière basse TR3475 du BAT04, abandonné au plus tard pendant la deuxième moitié du Ier s. ap. J.-C.	Ier ap	
BAT10	3	PO3182 PO3363 PO3377 PO3939	3182 3183 3363 3364 3377 3378 3821 3839 3840 3841	Le bâtiment 10 se compose de 4 poteaux présentant des calages de limon loessique (diamètres d'environ 60 cm à 80 cm). Deux négatifs ont pu être observés (diamètres d'environ 30/35 cm). Il est rectangulaire, mesurant approximativement 6,65 m par 5,35 m (dimensions moyennes orthométriques arrondies calculées par rapport aux centres d'ancrage supposés des poteaux), soit une surface d'environ 35 m ² . Il s'aligne sur un axe longitudinal ONO/ESE incliné à environ 37° O du Nord cartographique Lambert 1 (à 1/2 degré près). Il présente la même inclinaison que le BAT01 et est approximativement orthogonal avec le SFO27 avec 1,25° à 2,75° d'écart. Il est recoupé par BAT02 à pans coupés, datable au plus tard de la deuxième moitié du Ier s. ap. J.-C.	Ier ap	
BAT11	3	PO3649 PO3651 PO3653	3649 3650 3651 3652 3653 3654	En limite nord du décapage de la Zone 3, 3 poteaux formant des axes orthogonaux ont été mis au jour. Le quatrième poteau supposé se situerait hors emprise. Le BAT11 se compose de négatifs "simples" (diamètres d'environ 35 cm). Il serait rectangulaire, mesurant approximativement 2,95 m par 2,45 m, soit environ 7 m ² (dimensions moyennes orthométriques arrondies calculées par rapport aux centres d'ancrage supposés des poteaux). Il suit un axe longitudinal supposé SO/NE incliné à environ 15° E du Nord cartographique Lambert 1 (à 1/2 degré près).		
BAT12	4	PO4055 PO4059 PO4449	4055 4056 4059 4060 4449 4450	Dans la Zone 3, la probable existence d'un bâtiment tronqué par les systèmes fossoyés SFO19 et SFO20 est attestée par une série de trois poteaux alignés à espacements réguliers. La zone entourant l'alignement a été systématiquement nettoyée manuellement et redécoupée à la mini-pelle dans un rayon de 20 m à 30 m, ne révélant aucun poteau pouvant lui être rattaché. À environ 4,2 m vers le SSE, les fossés FO4145, FO4597, FO4461 et FO4049 couvrent une bande d'environ 6 m de large. Il est probable que l'un de ceux-ci ait détruit le pan SSE d'un bâtiment dont l'alignement BAT12 pourrait représenter le pan NNO. Les trous de poteaux présentent des négatifs (diam. approx 25 cm) et des calages de limon loessique (diam. approx. 55 cm). L'alignement représente une longueur d'environ 4,5 m (dimension arrondie calculée par rapport aux centres d'ancrage supposés des poteaux). Il s'oriente selon un axe OSO/ENE incliné à environ 7° O du Nord cartographique Lambert 1 (à 1/2 degré près). Il présente la même inclinaison que le BAT04.	HE	LTC2

ZAC de la Pyramide Lot C1, Lieusaint, Ville Nouvelle de Sénart (77), fouille 15-07/04-10-2002
Inventaire des ensembles

FOS13	3	FS3285 FC3287 FS3779 FC3780 FS3790 FS3818 FS3836 FC3843 FS3846 FS3855	3285 3286 3287 3762 3776 3777 3778 3779 3780 3790 3791 3792 3794 3796 3797 3798 3799 3800 3802 3803 3804 3812 3816 3817 3818 3831 3832 3836 3837 3843 3844 3845 3846 3847 3848 3849 3850 3854 3855	Ensemble de fosses et fosses complexes se recoupant ayant livré du mobilier d'horizon approximatif Hallstatt final. Recoupé par les FO3013 et FO3015.	HF	HF
SFO14	3	FO3389	3389	Le fossé 3389 suit un axe ONO/ESE orienté à 92,5° E du Nord cartographique Lambert 1 (à 1/4 de degré près). Il présente une seule phase visible. Suivi sur 77 m, il recoupe la FS3693 et est synchrone avec le SFO24. Son pendage est incertain : fond à 81,30 m N.G.F. dans le tiers O, à 81,35/40 m N.G.F. dans le tiers central et à 81,30/35 m N.G.F. dans le tiers E. Il atteint environ 90 cm de profondeur sous le sommet des labours (à env. 82,2 m N.G.F.) et présente un profil évasé à tronçon inversé et un remplissage de limon argileux gris. Il mesure environ 0,5 m à 1,4 m de large au niveau du décapage (environ 5 à 10 cm sous la semelle de labours). Il est parallèle au SFO23 à 1/4 de degré près à environ 9,5 m plus au nord au niveau du décapage (5 à 10 cm sous la semelle de labours).		MOD
SFO15	3, 4	FO3015 FO3331 FO3365 FS3699 FO3701 FO4085 FO4099	3015 3016 3331 3332 3365 3366 3699 3700 3701 3702 3856 4099 4100 4445 4482	Le système fossoyé n° 15 est composé de plusieurs tronçons interrompus, traversant l'ensemble des Zones 3 et 4. Il suit un axe ONO/ESE orienté à 91,6° E du Nord cartographique Lambert 1 (à 1/10 degré près). Il présente une seule phase visible. Il a été suivi sur 170 m pour une largeur d'environ 55/60 cm au niveau du décapage (environ 5 à 10 cm sous la semelle de labours). D'une profondeur comprise entre 60 cm à 80 cm sous le sommet des labours, il s'interrompt au moins par trois reprises en Zone 3 (FO3015=FO3331 ?, FO3365, FO3701, FS3699). Il ne possède pas de pendage particulier. Il est continu en Zone 4 (FO4085=FO4099) et il forme un angle avec le FO3697. Le tronçon de la Zone 4, suivi sur 75 m, possède un pendage vers l'ouest, se déversant dans le FO3697 (fond à 82 m N.G.F. en limite est de décapage, à 81,80/85 m dans le tiers central et à 81,60/70 à la jonction avec FO3697). Il longe le bord nord du SFO19 à environ 2 à 3 m de distance.	GR	GR
SFO16	3	FO2047 (diag) FO3697	3697 3698 3954	Le système fossoyé n° 16 se compose du fossé continu 3697. Il suit un axe SSO/NNE orienté à 3,7° E du Nord cartographique Lambert 1 (à 1/10 de degré près). Il présente une seule phase visible. Il a été suivi sur 21 m pendant la fouille. En rajoutant le tronçon 2047 suivi sur 8m pendant le Diagnostic dans un sondage situé 7 m plus au nord de la limite de fouille, la longueur totale repérée atteint 38 m. Il s'aligne orthométriquement sur le SFO17, prolongeant la limite marquée par le FO3247 au-delà des SFO19 et SFO20 vers le NNE, en direction du Ru des Hauldres. Il mesure entre 80 et 115 cm de largeur au niveau du décapage (environ 5 à 10 cm sous la semelle de labours). Il possède peut-être un léger pendage vers le NNE (fond à 81,60/70 m N.G.F. à l'angle avec SFO15 et à 81,55/60 m N.G.F. en limite nord de décapage).	GR	GR
SFO17	3	FO3249 FO3247	3247 3248 3948 3949 3950 3951 3952	Le système fossoyé n° 17 se compose du fossé continu 3247. Il suit un axe SSO/NNE orienté à 3,7° E du Nord cartographique Lambert 1 (à 1/10 de degré près). Il présente deux phases (A succédant à B). Il a été suivi sur sa longueur totale de 58 m. Il s'aligne orthométriquement sur le SFO16, prolongeant la limite marquée par le FO3697 au-delà des SFO19 et SFO20 vers le SSO. Il mesure entre 80 et 115 cm de largeur au niveau du décapage (niveau supérieur du Loess). Il est synchrone avec les SFO18 et 20. La première phase (B) présente une profondeur initiale d'environ 120 cm sous le sommet des labours suivant le pendage naturel du terrain vers le nord (fond à l'angle avec SFO18 à 82,08 m N.G.F. et à 81,62 m N.G.F. à la jonction avec SFO20). Suite à un remblai partiel par du loess remanié, le creusement de la phase A présente une profondeur comprise entre 100 cm et 120 cm sous le sommet des labours en gardant le même pendage (fond à l'angle avec SFO18 à 82,12 m N.G.F. et à 81,80 m N.G.F. à la jonction avec SFO20).	GR	GR

ZAC de la Pyramide Lot C1, Lieusaint, Ville Nouvelle de Sénart (77), fouille 15-07/04-10-2002
Inventaire des ensembles

SFO18	3	FO3001 FO401 (diag) FO3617	3001 3002 3230 3231 3232 3250 3318 3617 3618 3937 3967	<p>Le SFO continu n°18 suit un axe OSO/ENE orienté à 88,2° E du Nord cartographique Lambert 1 (à 1/10 de degré près). Il présente deux phases (A succédant à B). Il a été suivi sur 75 m. Il mesure entre 100 cm et 130 cm de largeur au niveau du décapage (niveau supérieur du Loess). Il est synchrone avec les SFO17 et SFO20.</p> <p>La première phase (B) présente une profondeur initiale d'environ 120 cm à 140 cm sous le sommet des labours. Elle possède un pendage vers l'est, se déversant dans le SFO17 (fond à l'angle avec SFO17 à 82,05 m N.G.F. et à 82,18 m N.G.F. pour le tronçon FO3001 cpe A en limite ouest d'emprise).</p> <p>Suite à un remblai partiel par du Loess remanié, le creusement de la phase A présente une profondeur d'environ 100 cm à 120 cm sous le sommet des labours en gardant le même pendage (fond à l'angle avec SFO18 à 82,15 m N.G.F. et à 82,54 m N.G.F. pour le tronçon FO3001 cpe A en limite ouest d'emprise).</p>	GR	GR
SFO19	3, 4	FO3011 FO4145	3011 3012 3113 3214 3215 3224 3225 3684 3686 3865 3866 3867 3868 3869 3870 3871 3872 3873 3874 3875 3876 3877 3896 3897 3898 3903 3904 3905 3916 3917 3918 3919 3923 3924 3925 3926 3927 3928 3929 3930 3931 3932 3938 3953 4101 4145 4146 4404 4464 4465 4466 4467 4469 4470 4471 4472 4473 4475 4510 4511 4512 4513 4514 4515 4516 4597 4598 4599 4646 4653 4654 4656 4657 4660 4662	<p>Le système fossoyé continu n°19 suit un axe ONO/ESE orienté à 91,6° E du Nord cartographique Lambert 1 (à 1/10 de degré près). Il traverse l'emprise de part en part et porte les appellations FO3011 en zone 3 et FO4145 en zone 4. Il comprend 6 phases observables. Il a été suivi sur 168 m. Il présente différentes largeurs selon les phases et les endroits. Sa largeur maximale est comprise entre 3 m et 4 m en limite inférieure des labours toutes phases confondues. Il est en partie synchrone avec le SFO20, le SFO15 et les excavations FS3204, FS3224, FS3519, FS 4405 et FS4643. Il est strictement parallèle aux SFO15 au nord et SFO20 au sud. Les coupes réalisées depuis la base des labours montrent un écart réduit à nul séparant les SFO15 et SFO20 du SFO19 (possibilité d'1 m maximum en certains endroits toutes phases confondues). Il est très peu probable qu'il ait existé une possibilité de cheminement entre le SFO19 et l'un ou l'autre de ces systèmes fossoyés bordiers.</p> <p>La dernière phase observable (A) présente une profondeur initiale d'environ 70 cm à 120 cm sous le sommet des labours. A l'instar des phases précédentes, elle ne possède pas de pendage particulier sur le segment décapé (fond oscillant entre 81,50/81,70 m N.G.F.).</p> <p>Le creusement le plus profond (Phase E ou F selon les endroits) se situe à une profondeur d'environ 130 cm à 180 cm sous le sommet des labours. Il ne possède pas non plus de pendage particulier sur le segment observé (fond oscillant entre 80,90/81,10 m N.G.F.).</p>	GR	GR

ZAC de la Pyramide Lot C1, Lieusaint, Ville Nouvelle de Sénart (77), fouille 15-07/04-10-2002
Inventaire des ensembles

SFO20	3, 4	FO3212 FO3934 FO3249 FO3717 FO3862 FO3899 FO3940 FO4049 FO4480 FO4145	3212 3213 3249 3446 3450 3452 3717 3718 3861 3862 3899 3900 3901 3920 3921 3934 3935 3936 3939 3940 3942 3943 4049 4050 4474 4478 4479 4480 4481 4483 4594 4655	<p>Système fossoyé n° 20 se compose de plusieurs tronçons interrompus. Il a été suivi sur 164 m, traversant l'emprise selon un axe ONO/ESE orienté à 91,6° E du Nord cartographique Lambert 1 (à 1/10 degré près). Il est strictement parallèle aux SFO15 et SFO19 situés plus au nord. Il présente deux phases observables A et B. Il varie en profondeur et en largeur selon les phases et les endroits, ne présentant pas de pendage régulier. Il est recoupé par les FS3204, FS3224, FS3888, FS4405, FS4643 et le FO4147. Le SFO20 est synchrone avec les SFO 17 et SFO18 et au moins en partie avec les FS3519 et 3180.</p> <p>La phase A, la plus récente, est représentée par les FO3212, FO3249 et FO4049. La profondeur maximale de la phase A est de 110 cm sous le sommet des labours à 81,40 m N.G.F. et sa largeur observée sous la semelle de labours d'environ 2 m. Au niveau du décapage, elle comporte une interruption entre les FO3212 et FO3249 et une réduction appendiculaire du FO4049 en largeur et en profondeur au niveau du sondage L. Ces deux éléments évoquent des aménagements de franchissement. Le FO3212 bifurque en son extrémité O pour rejoindre le SFO19. Il est probable que le FO3878, rejoignant le SFO19 au même endroit que le FO3212 avec lequel il forme peut-être un troisième point de passage, constitue la continuation vers l'ouest de la phase A du SFO20 (concordance spatiale de jonction avec le FO3212 et de position stratigraphique par rapport au FO3011). Bien que légèrement courbe et décalé de quelques dizaines de centimètres vers le nord, le tronçon FO3878 a été inclus au SFO20.</p> <p>La phase B est représentée par les FO3940, FO3717 et FO3934. La profondeur maximale de la phase B est de 120 cm sous le sommet des labours à 81,60 m N.G.F. et sa largeur observée sous la semelle de labours d'environ 2 m. Au niveau du décapage, elle comporte deux réductions appendiculaires : l'appendice FO3717 divise le FO3934 en deux segments et le FO4480 se rétrécit au niveau du sondage L. Entre les FS3519 et FS3224, le FO3940/4480 bifurque de presque 90° pour rejoindre le SFO19 et le FO3934 s'interrompt. À l'ouest, le FO3934 s'interrompt au niveau de la FS3204. Le FO3899/3862, probablement associé à la FS3180, poursuit le tracé du SFO20 jusqu'à la limite ouest de l'emprise. De même que pour la phase postérieure, ces ruptures évoquent des points de franchissement. La phase B n'est plus visible au-delà du sondage A vers l'est. La coupe depuis le sommet des labours réalisée dans le sondage B montre un fond de creusement (ST4505) sous le bord SSO du FO4049 qui pourrait correspondre à la phase B. Il est possible que le recouvrement de la phase A ait totalement oblitéré la phase B dans ce secteur, ou que sa moindre profondeur ait provoqué son arasement par les labours et le décapage du Sol brun.</p> <p>Les phases A et B de SFO20 correspondent au moins en partie aux phases E et F du SFO19. L'association entre le SFO20 et le SFO19 est démontrée par les liens directs en plan des FO3212, FO3940 et FO3878 avec le FO3011. La phase A du SFO20 est recoupée par les excavations fossoyées FS 3888, FO4101, FO4463 et FS4405 dont le creusement correspond à la phase D du SFO19 (dépôt hydromorphe charbonneux diagnostic Us4471/3925 semblable aux premiers comblements de ces excavations...). Les comblements du FO3878 correspondent à la phase E du FO3011 (Us3878=Us3917 ; Us3902). Le SFO26 a été comblé par les déblais du creusement initial du SFO19 (voir SFO26). La première phase du SFO20 recoupe ces remblais.</p> <p>Le SFO20 est donc postérieur au creusement initial du SFO19 (Phase F ?) et antérieur à sa troisième phase de recouvrement observable (Phase D). L'orthométrie parfaite entre le SFO20 associé au SFO17 et le SFO15 associé au SFO16 suggère également une synchronie au moins temporaire de ces deux ensembles.</p>	GR	GR
SFO21	3, 4	FO3184 FO3715 FO4461 FO4641	3184 3185 3715 3716 4461 4462 4463 4641 4642 4661	<p>Le système fossoyé n° 21 se compose de plusieurs tronçons interrompus. Il a été suivi sur 164 m, traversant l'emprise selon un axe ONO/ESE. Ses segments légèrement courbes oscillent sur l'axe suivi par les SFO19 et SFO20 (orienté à 91,6° E du Nord cartographique Lambert 1, à 1/10 de degré près). Il est composé des segments FO3184, FO3715, FO4461 et FO4641. Le segment FO4461 est décalé de quelques dizaines de centimètres vers le sud par rapport aux segments FO3184 et FO4641. Le SFO21 recoupe le dernier état observable de SFO19. Quels que soient les segments, les relevés pédologiques complets montrent un profil à fond plat de 3,5 m à 4 m d'ouverture et 20 cm à 30 cm de profondeur sous la semelle de labours, possédant un canal d'environ 70 cm de large sur 20 cm de profondeur surcreusé dans sa partie centrale. C'est ce surcreusement qui a été suivi au décapage. Les légères courbures en plan de ces canaux centraux ne reflètent pas obligatoirement le tracé exact du système fossoyé à son niveau d'ouverture, qui pouvait être rectiligne. Aucun pendage régulier n'a pu être mis en évidence, le fond du SFO21 oscillant entre 81,80/82 m N.G.F.</p> <p>Au niveau du décapage, le SFO21 s'interrompt à deux reprises. Le court segment FO3715 (env. 2 m de long) se développe en diagonale dans l'intervalle entre les extrémités des FO3184 et FO4461. La FS4337 se développe en parallèle du SFO21, présentant la même longueur que le hiatus entre FO4461 et FO4641 et se trouvant dans son prolongement exact. Elle contient un comblement semblable à ceux des segments du SFO21 ainsi qu'une fondation de muret (MR4335) et se situe au même niveau stratigraphique, recoupant la dernière phase observable du SFO19. Ces deux ruptures évoquent des aménagements de franchissement.</p>	GR	GR
SFO22	4	FO4079 FO2051 (diag)	4079 4080	<p>Le SFO22 a été suivi au diagnostic et à la fouille sur sa longueur totale de 27 m. De direction SSO/NNE, il oscille légèrement sur un axe orienté à 3,7° E du Nord cartographique Lambert 1 (à 1/10 degré près). Il est parallèle au SFO16 duquel il est distant d'environ 12 m au niveau du décapage (5 à 10 cm sous la semelle de labours). Il est synchrone avec le fossé 2023. Aucun recoupement n'est visible à son croisement avec SFO15, les deux remplissages étant semblables et la profondeur concordante (env. 81,80 m N.G.F.). L'absence de sondages le long du segment ne permet pas d'appréhender l'existence d'un pendage. Le SFO22 s'arrête sur le SFO19. Il est au moins antérieur à la phase B du SFO19 qui le recoupe (Us4466). Il se situe dans le prolongement d'un rétrécissement ponctuel en largeur du SFO19 qui correspond également à une réduction appendiculaire du SFO20. À son extrémité nord, il forme un angle à appendice d'environ 90° avec le fossé 2023.</p>	GR	GR

ZAC de la Pyramide Lot C1, Lieusaint, Ville Nouvelle de Sénart (77), fouille 15-07/04-10-2002
Inventaire des ensembles

SFO23	3	FO3233	3233 3234	Le fossé 3233 suit une direction ONO/ESE selon un axe orienté à 92,1° E du Nord cartographique Lambert 1 (à 1/4 de degré près). Il a été suivi sur 83 m à une profondeur constante de 81,85/81,90 m N.G.F., à environ 140 cm sous le sommet des labours. À son extrémité ESE, il forme un angle à environ 80° avec le SFO synchrone n° 24 en direction du NNO. Il correspond à une limite parcellaire figurée sur le Cadastre napoléonien. Il est parallèle au SFO14 à 1/4 de degré près à environ 9,5 m plus au sud au niveau du décapage (5 à 10 cm sous la semelle de labours). Il présente un profil évasé et comporte plusieurs phases de recusement et des comblements hydromorphes. Sa stratigraphie est similaire au FO3691 (voir <i>infra</i>).		MOD
SFO24	3	FO3691 FO2025(diag)	3046 3057 3059 3065 3069 3079 3105 3691 3692 3733	Le fossé 3691 suit une direction NNO/SSE selon un axe orienté à 9° O du Nord cartographique Lambert 1 (à 1/4 de degré près). Il a été suivi sur 28,5 m à une profondeur constante de 81,85/81,90 m N.G.F., à environ 140 cm sous le sommet des labours. À son extrémité SSE, il forme un angle à environ 80° avec le SFO synchrone n° 23 en direction de l'ONO. Il correspond à une limite parcellaire figurée sur le Cadastre napoléonien. Il est synchrone avec les SFO25 et 14 et il recoupe la FS3693.		MOD
SFO25	3, 4	FO3695 FO4081 FO4095 FO4109	3695 3696 4081 4082 4095 4096 4109 4110	Le SFO25 se compose des tronçons FO3695, FO4081, FO4005 et FO4109. Il a été suivi sur 78,5 m de long et mesure de 50 cm à 90 cm de largeur au niveau du décapage pour environ 90 cm de profondeur sous le sommet des labours (pas de pendage régulier observable, fond à environ 81,60 m N.G.F.). Il présente un profil évasé et un remplissage de limon argileux gris. Apparemment ininterrompu, il a été artificiellement sectionné en deux endroits au cours du décapage. Il est synchrone avec les FO4409 et le SFO24 et recoupe les SFO16 et 22. Le segment compris entre le SFO16 et le FO4409, de 42 m de long environ, suit une direction O/E selon un axe orienté plein est à 89,75° E du Nord cartographique Lambert 1 (à 1/4 de degré près). Le segment compris entre le FO4409 et l'angle nord-est de l'emprise, de 36,5 m de long, suit une direction OSO/ENE selon un axe orienté à 84,75° E du Nord cartographique Lambert 1 (à 1/4 de degré près). Le point de changement de direction du SFO25 se situe à la jonction avec le FO4409, parallèle au SFO24. Le SFO25 semble correspondre à une limite parcellaire figurée sur le Cadastre napoléonien.		MOD
SFO26	3, 4	FO3201 FO3896 FO4597	3201 3214 3215 3896 3897 3898 4597 4598 4599	Système fossoyé remblayé par les déblais du creusement initial du SFO19. Suivi sur 164 m de long en plan et/ou dans les sondages. Il est également recoupé par SFO20. De même direction ONO/ESE que les SFO15, SFO19 et SFO20, il suit un axe orienté à environ à 91,6° E du Nord cartographique Lambert 1 (à 1/4 de degré près). Il s'interrompt sur une quinzaine de mètres au niveau du décapage entre les sondages H/I et J, au même emplacement qu'un point de rupture du SFO postérieur n°20. De profil à fond plat, sa largeur maximum observable est de 2,8 m et sa profondeur maximale oscille entre 81,30 m et 81,75 m N.G.F., sans pendage régulier observable, entre 60 cm et 140 cm sous le sommet des labours. La continuité de direction entre les SFO19 et SFO26 et le synchronisme entre le creusement initial du SFO19 et du remblayage du SFO26 indiquent leur lien de succession.	Ier ap	LTD2
SFO27	3, 4	FO3013 FO4047	3013 3014 3880 4047 4048	Le système fossoyé interrompu n° 27 se compose des segments alignés FO3013 et FO4047. Il constitue une limite de 105 m de long, dont 75 m oblitérés par le passage des SFO postérieurs n° 19 et 20. Les FO3013 et FO4047 sont parfaitement alignés sur une direction ONO/ESE selon un axe orienté à 96° E du Nord cartographique Lambert 1 (à 1/4 de degré près). Il mesure environ 70/75 cm de large au niveau du décapage (à environ 5 à 10 cm sous la semelle de labours). Le SFO27 est également recoupé par le SFO15 et le SFO26. La profondeur du segment FO3013, de 20 m de long, se situe entre 81,65 m et 81,75 m N.G.F., à environ 60/80 cm sous le sommet des labours, correspondant à un léger pendage en direction de l'ONO. Le segment FO4047, d'environ 10 m de long au niveau du décapage, présente une profondeur similaire (81,70 m N.G.F. au niveau du sondage E). La continuité de direction entre les SFO19 et SFO26 et le synchronisme entre le creusement initial du SFO19 et du remblayage du SFO26 indiquent leur lien de succession. La direction divergente du SFO27 et son recouplement par le SFO26 indique une antériorité au système fossoyé à recusements multiples qui se développe au plus tôt pendant La Tène finale D2 et au plus tard pendant le IIe s. ap. J.-C. Le SFO27 est approximativement orthogonal avec les BAT01 et BAT10 avec 1,25° à 2,75° d'écart, ce qui tendrait à renforcer l'hypothèse de son fonctionnement pendant l'intervalle chronologique couvrant La Tène C2 au Ier s. ap. J.-C.	Ier ap	
SFO28	3	FO3003 FO3447 FO3461	3003 3004 3447 3448 3461 3462	Sur le bord ouest de la fouille, le SFO28 se compose des tronçons FO3003, FO3447 et FO3461. Il présente un remplissage supérieur de terre végétale couronnée par des remblais contenant du plastique et du mâchefer. Il a été suivi sur 70 m de longueur pour une largeur d'environ 0,6 m au niveau de la base inférieure des labours. Il présente un profil évasé et une profondeur d'environ 0,5 m à 0,6 m sous le sommet de la terre végétale. Il possède une courbure vers l'est et suit un axe approximatif vers le NNO.		MOD

18 Bibliographie générale

(documents non-publiés consultables au S.R.A. Île-de-France, 93200 Saint-Denis)

AUDOUZE, BUCHSENSCHUTZ 1989

Audouze (F.), Buchsenschutz (O.) : Villes, villages et campagne de l'Europe celtique. Collection Bibliothèque d'Archéologie. Hachette. Aubin Imprimeur, Poitiers.

BAIZE, JABIOL 1995

Baize (D.), Jabiol (B.) : « *Guide pour la description des sols*. ». Paris : INRA, éditions. 1995, 375 p. [Techniques et pratiques].

BARAY 1999

Baray (L.) : « Le faciès culturel du Sénonais au Hallstatt D et La Tène A » : 93-128 in Villes (A.) & Bataille-Melkon (A.) (sous la direction de) : « Fastes des celtes entre Champagne et Bourgogne aux VIIe-IIIe siècles avant notre ère. », Actes du colloque de l'A.F.E.A.F. tenu à Troyes, 15-27/05/1995. *Mémoire de la Société Archéologique Champenoise* n°15, supplément au bulletin n°4, Reims 1999.

BAYART, COLLART (textes recueillis par) 1996

Textes recueillis par Bayart D. & Collart J.-L. : *De la Ferme indigène à la Villa romaine. La romanisation des campagnes de la Gaule*. Châlons-sur-Marne : Actes du deuxième colloque de l'association A.G.E.R. à Amiens (Somme) 23-25/09/1993. 1996. *Revue Archéologique de Picardie*, n° spécial 11.

BERGER, JUNG 1996

Berger (J.-F.), Jung (C.) : Fonction, évolution et 'taphonomie' des parcellaires en moyenne Vallée du Rhône. Un exemple d'approche intégrée en archéomorphologie et en géoarchéologie. In : Chouquer (G.) (dir.) : *Les formes du paysage. Archéologie des parcellaires*. Tome II. Paris : Errance, A.R.C.H.E.A. 1996, p. 95-112. [Archéologie aujourd'hui].

BLANQUAERT, DESFOSES 1996

Blancaert (G.), Desfosse (Y.) : « Premier bilan des découvertes issues des fouilles de sauvetage sur le tracé A29 (Le Havre-Saint-Saëns, haute Normandie). » : 11-22 in *Revue Archéologique de Picardie* n°3/4 1996, Amiens.

BONIN ET AL. 1994

Bonin (T.), Buchez (N.), Marion (S.) : "Les installations agricoles aux âges des Métaux sur le plateau de la Brie : l'exemple de Marne-la-Vallée (Seine-et-Marne)". In : (O.) Buchsenschutz & (P.) Ménéiel (eds.) : *Les installations agricoles de l'âge du Fer en Île-de-France* Paris : Presses de l'École Normale Supérieure. 1994, p. 71-96. [Études d'Histoire et d'Archéologie vol. IV].

BOULENGER 2001

Boulinger (L.) : « *Ville Nouvelle de Sénart, ZAC de la Pyramide Lot C1, Lieusaint 'Le Bras-de-Fer', Seine-et-Marne, Rapport d'évaluation complémentaire* ». Drac Île-de-France, Sraïf, Afan 2001.

BRETZ-MAHLER 1971

Bretz-Mahler (D.) : « La Civilisation de La Tène I en Champagne. Le faciès marnien. », *XXXIIIe supplément à GALLIA*, Éditions du CNRS, Paris 1971.

BULARD & DROUHOT 1981

Bulard (A.), Drouhot (C.) : « Le site de la Tène finale de l'Île-Ronde à Vaires-sur-Marne (Seine-et-Marne) ». *Mémoires de la Société Archéologique Champenoise*, 2, 1981, p. 347-364.

« CARTE GÉOLOGIQUE À 1/50000 » 1963

« *Carte géologique à 1/50000, feuille XXIV-15, BRIE-COMTE-ROBERT* », réalisation R. Soyer 1958-1961, publiée par J. Goguel en 1963. Ministère de l'Industrie, Service de la Carte Géologique de la France, Paris.

« CARTE IGN À 1/25000 » 1998

« *Carte IGN à 1/25000, 2315 OT, TOP25, Évry-Melun* », IGN® Paris, 1998, version informatisée.

CASADEI, LECONTE 2000

Casadei (D.), Leconte (L.) : « Analyse spatiale d'un établissement rural de La Tène D1 : Louvres/Le Vieux Moulin (Val-d'Oise). » : 37-74 in Marion & Blancaert (ed.) « *Les installations de l'Âge du fer en France septentrionale* ». Études d'Histoire et d'Archéologie n°6, Éditions Rue d'Ulm, Presses de l'École Normale Supérieure, Paris 2000.

CHOSSENOT 1994

Chossenot (M.) : "Contribution à la céramique gallo-romaine du Haut-Empire en Champagne et plus particulièrement de la craquelée bleutée" In : Truffeau-Libre (M.), Jacques (A.), (dir.), : *La céramique du Haut-Empire en Gaule Belgique et dans les régions voisines : faciès régionaux et courants commerciaux*. Arras : Actes de la Table ronde d'Arras (12-14/10/1993). 1994, p. 163-180. [Nord-ouest Archéologie n°6].

CHOSSENOT, NEISS, SAUGET 1981

Chossenot (D.), Neiss (R.), Sauget (J.-M.) : « Fouille de sauvetage d'une nécropole de La Tène I à Vrigny (Marne) » : 131-150 in « L'Âge du fer en France septentrionale ». *Mémoires de la Société Archéologique Champenoise* -2-, supplément au bulletin n°1, 1981.

CHOUQUER, FAVORY 2001

Chouquer (G.), Favory (F.) : « *L'arpentage romain. Histoire des textes. Droit et Techniques*. ». Paris : Éditions Errance. 2001, 491 p.

CUNLIFFE 1997

Cunliffe (B.) : « *The Ancient Celts* », Oxford. Oxford University Press 1997.

DEBORD 1981

Debord (J.) : Un enclos quadrangulaire à remplissage de La Tène Ia, sis à Villeneuve-Saint-Germain (Aisne). » : 107-120 in « L'Âge du fer en France septentrionale ». *Mémoires de la Société Archéologique Champenoise* -2-, supplément au bulletin n°1, 1981.

DELATTRE 2001

Delattre (V.) : « Les inhumations en silos dans les habitats de l'âge du Fer du Bassin parisien. » : 299-311 in Marion & Blancquaert (ed.) « *Les installations de l'Âge du fer en France septentrionale* ». Études d'Histoire et d'Archéologie n°6, Éditions Rue d'Ulm, Presses de l'École Normale Supérieure, Paris 2000.

DEMOULE 1989

Demoule (J.-P.) : « D'un âge à l'autre : temps, style et société dans la transition Hallstatt/La Tène » : 141-172 in « La Civilisation de Hallstatt, bilan d'une rencontre, Liège 1987 », *Études et Recherches archéologiques de l'Université de Liège*, n°36. Liège 1989

DESRAYAUD (en cours)

Desrayaud (G.) : « Occupation du Haut-Empire » in : *Échangeur et sud de la Péninsulaire Ouest de l'A4, " Le Parc de la Motte-Les Collinières "*, *Communes de JOSSIGNY et de SERRIS (77), Diagnostic et évaluation archéologiques préventifs 04-09/2000*. Sous la direction d'Hervé Guy. Afan/Inrap Cif, Sraïf, Saint-Denis.

DUFAÏ, RAUX, BARAT 1993

DufaÏ (B.), Raux (S.), Barat (Y.) : « Des pots et des chiffres ou quelques approches quantitatives : comptage, sériation, métrologie à propos des sept tonnes de céramique commune de l'atelier de la Boissière-École (Yvelines). » : 95-110 in « *Actes du Congrès de Versailles, 20-23 mai 1993* », SFECAG, Marseille 1993.

FERDIÈRE 1988

Ferrière (A.) : « *Les campagnes en Gaule romaine. Tome 1. Les hommes et l'environnement en Gaule rurale (52 av. J.-C. -486 ap. J.-C.)* ». Paris : Éditions Errance. 1988, 301 p. [Collection des Hespérides].

FERDIÈRE 1988

Ferrière (A.) : « *Les campagnes en Gaule romaine. Tome 2. Les techniques et les productions rurales en Gaule (52 av. J.-C. -486 ap. J.-C.)* ». Paris : Éditions Errance. 1988, 284 p. [Collection des Hespérides].

FREIDIN 1982

Freidin (N.) : « The Early Iron Age in the Paris Basin. Hallstatt C & D. Part i. » in *BAR International Series* 131 (i). Oxford, England, 1982.

GAST, SIGAUT (dir.) 1979

Gast (M.), Sigaut (F.) (sous la direction de) : « *Les techniques de conservation des grains à long terme, leur rôle dans la dynamique des systèmes de cultures et des sociétés* ». Laboratoire d'Anthropologie et de Préhistoire des pays de la Méditerranée occidentale (L.A. 164), Aix en Provence. Maison des Sciences de l'Homme, Groupe Écologie et Sciences Humaines, Paris. 232 p., Éditions du CNRS, Paris 1979.

GRANSAR 2001

Gransar (F.) : « Le stockage alimentaire sur les établissements ruraux de l'âge du fer en France septentrionale : complémentarité des structures et tendances évolutives » : 277-297 in Marion & Blancquaert (ed.) « *Les installations de l'Âge du fer en France septentrionale* ». Études d'Histoire et d'Archéologie n°6, Éditions Rue d'Ulm, Presses de l'École Normale Supérieure, Paris 2000.

JOBELOT, VERMEERSCH 1993

Jobelot (N.), Vermeersch (D.) : « La céramique noire à pâte rougeâtre : une première approche. » : 29-58 in *Cahiers de la Rotonde* n°14. Commission du Vieux Paris, Ville de Paris, Paris, Rotonde de La Villette 1993.

KRUTA 2000

Kruta (V.) : « *Les Celtes. Histoire et dictionnaire. Des origines à la romanisation et au christianisme.* ». Éditions Robert Laffont, Collection Bouquins. 1006 p. Paris 2000.

LAUBENHEIMER 1990

Laubenheimer (F.) : « *Le temps des amphores en Gaule. Vins, huiles, sauces.* ». La Chapelle Montilgeon : Errance. 1990, 181 p. [Collection des Hespérides].

MARION 1998

Marion (S.) : « La première agglomération de Meaux ? » : 61-63 in « *Profane et sacré en pays mellois. Protohistoire, gallo-romain* », Musée Bossuet 1998.

MONDOLONI 2002

Mondoloni (A.) : « *Lieusaint, ZAC de la Pyramide, Lot E2, Rapport de diagnostic (du 21/10/2002 au 18/11/2002)* » Sous la direction de V. Gonzales. Afan/Inrap Cif, Sraïf, Saint-Denis.

NILESSÉ 1994

Nillesse (O.) : « Les établissements ruraux gaulois dans le sud de la Vendée » In : (O.) Buchsenschutz, (P.) Méniel (eds.) : *Les installations agricoles de l'âge du Fer en Île-de-France*, Paris : Presses de l'École Normale Supérieure. 1994, p. 277-293. [Études d'Histoire et d'Archéologie vol. IV].

PION 1996

Pion (P.) : "Les établissements ruraux dans la vallée de l'Aisne de la Fin du second Âge du fer au début du Haut-Empire romain (II^{ème} siècle av. J.-C. / I^{er} siècle apr. J.-C.) : bilan provisoire des données et esquisse de synthèse." : 55-108 in : Revue Archéologique de Picardie, n° spécial 11. Textes recueillis par Bayart D. & Collart J.L. : *De la Ferme indigène à la Villa romaine. La romanisation des campagnes de la Gaule*. Châlons-sur-Marne : Actes du deuxième colloque de l'association A.G.E.R. à Amiens (Somme) 23-25/09/1993. 1996.

PY 1997

Py (M.) : "SYSLAT 3.1. Système d'Information Archéologique. Manuel de référence.", *LATTARA 10* 1997 384 p. C.E.D.A.R., 34970 Lattes, A.R.A.L.O, Afan. Imprimerie Louis Jean.

TALON 1989

Talon (M.) : « Les tendances évolutives des formes céramiques du premier Âge du Fer dans la vallée de l'Oise (France). » : 307-320 in « La Civilisation de Hallstatt, bilan d'une rencontre, Liège 1987 », *Études et Recherches archéologiques de l'Université de Liège*, n°36. Liège 1989

REYNOLDS 1979

Reynolds (P. J.) : « A general report of underground grain storage experiments at the Butser Ancient Farm Research Project . » : 70-80 in Gast & Sigaut (dir.) « *Les techniques de conservation des grains à long terme, leur rôle dans la dynamique des systèmes de cultures et des sociétés* ». Laboratoire d'Anthropologie et de Préhistoire des pays de la Méditerranée occidentale (L.A. 164), Aix en Provence. Maison des Sciences de l'Homme, Groupe Écologie et Sciences Humaines, Paris. 232 p., Éditions du CNRS, Paris 1979.

SELLES 2001

Sellès (H.) : *Céramiques gallo-romaines à Chartres et en Pays Carnute*, catalogue typologique Chartres : F.E.R.A.C./ A.R.C.H.E.A./ A.D.A.U.C. 2001, 254 p. [16^e supplément à la Revue Archéologique du Centre de la France].

TRUFFEAU-LIBRE & JACQUES (Dir.) 1994

Truffeau-Libre (M.), Jacques (A.), (dir.) : *La céramique du Haut-Empire en Gaule Belgique et dans les régions voisines : faciès régionaux et courants commerciaux*. Arras : Actes de la Table ronde d'Arras (12-14/10/1993). 1994, 340 p. [Nord-ouest Archéologie n°6].

TRUFFEAU-LIBRE & JACQUES (Dir.) 1997

Truffeau-Libre (M.), Jacques (A.), (dir.) : *La céramique précoce en Gaule Belgique et dans les régions voisines : de la poterie gauloise à la céramique gallo-romaine*. Arras : Actes de la Table ronde d'Arras (14-17/10/1996). 1997, 425 p. [Nord-ouest Archéologie n°9].

VILLES 1999

Villes (A.) : « Entre principautés et chefferies, citadelles et fermes, le Hallstatt final en Champagne : données nouvelles. » : 11-92 in Villes (A.) & Bataille-Melkon (A.) (sous la direction de) : « Fastes des celtes entre Champagne et Bourgogne aux VII^e-III^e siècles avant notre ère. », Actes du colloque de l'A.F.E.A.F. tenu à Troyes, 15-27/05/1995. *Mémoire de la Société Archéologique Champenoise* n°15, supplément au bulletin n°4, Reims 1999.

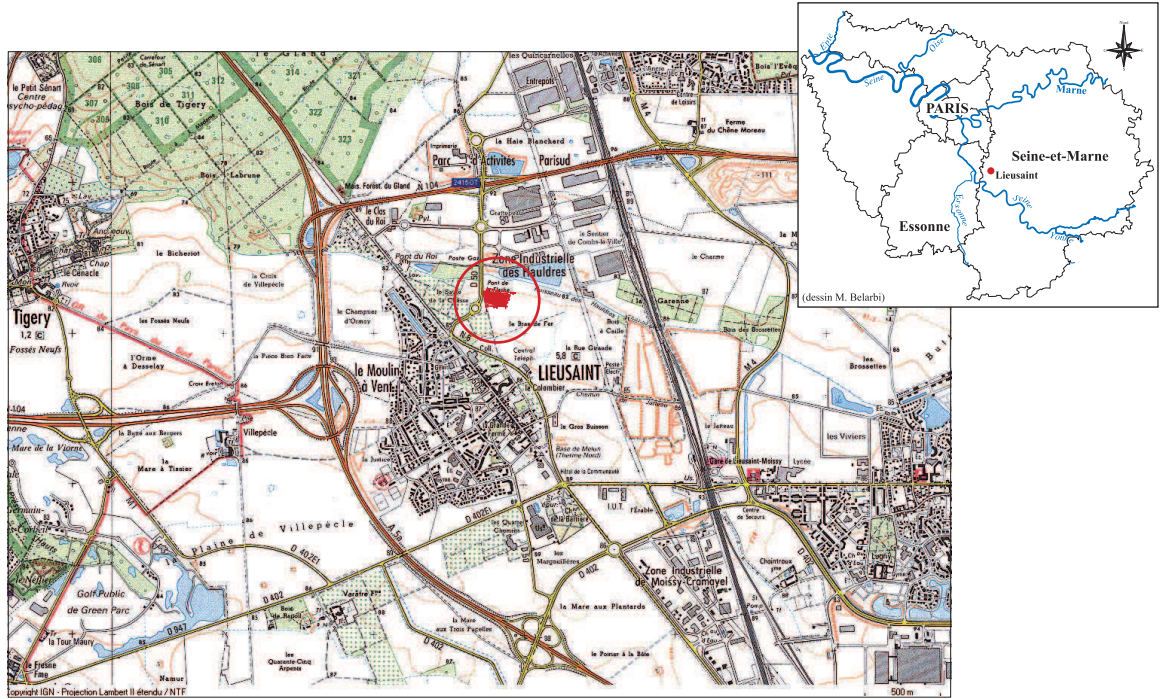
VILLES, BATAILLE-MELKON (dir.) 1999

Villes (A.), Bataille-Melkon (A.) (sous la direction de) : « Fastes des celtes entre Champagne et Bourgogne aux VII^e-III^e siècles avant notre ère. », Actes du colloque de l'A.F.E.A.F. tenu à Troyes, 15-27/05/1995. *Mémoire de la Société Archéologique Champenoise* n°15, supplément au bulletin n°4, Reims 1999.

VIRÉ 2000

Viré (M.) : « *Ville Nouvelle de Sénart, ZAC de la Pyramide Lot C1, Lieusaint 'Le Bras-de-Fer', Seine-et-Marne, Rapport du diagnostic effectué du 13 mars 2000 au 16 mars 2000* ». Drac Île-de-France, Sraïf, Afan 2000.

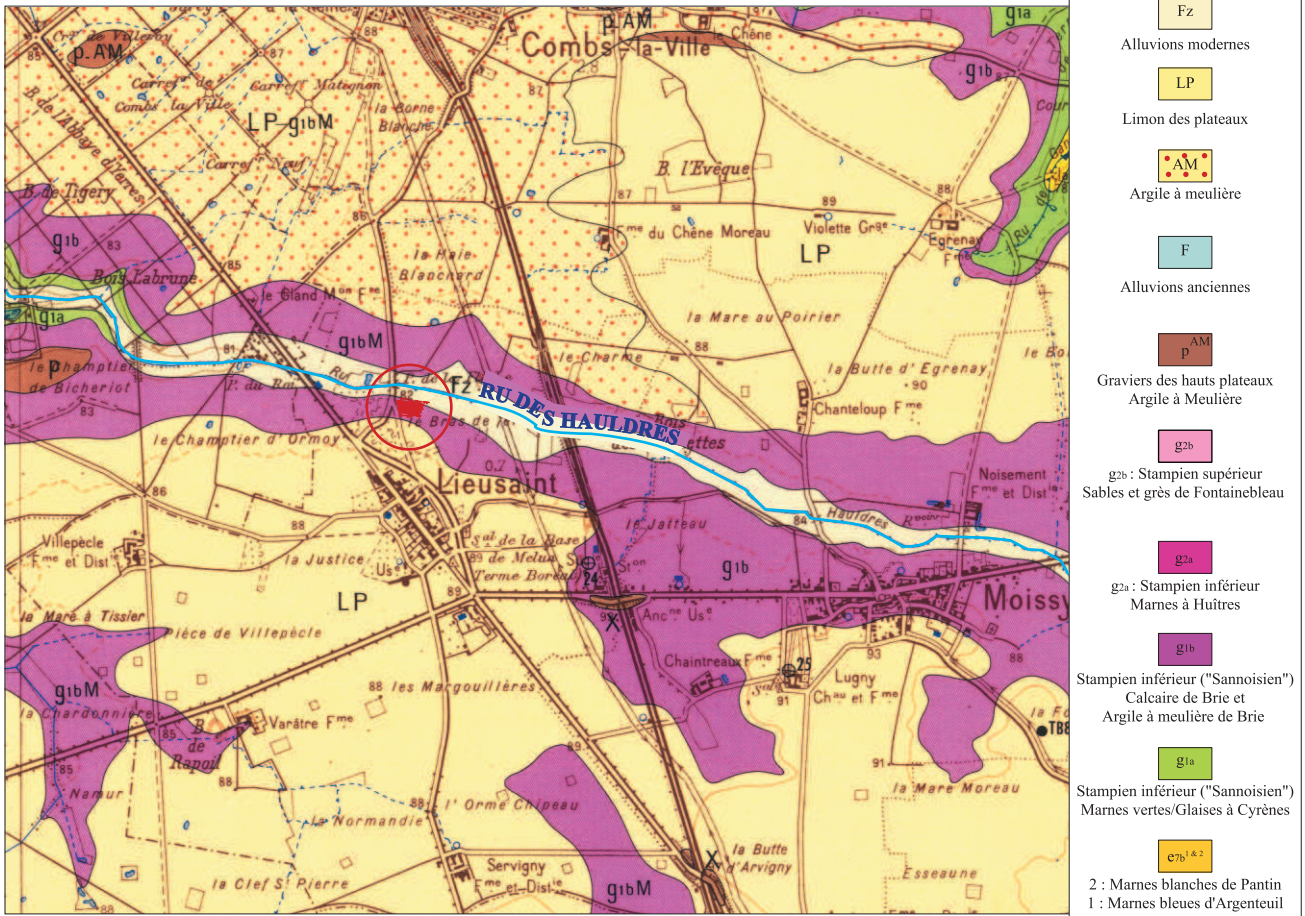
19 ILLUSTRATIONS



(vue au 1/50 000)

a : Localisation géographique de la Fouille archéologique du Lot C1 de la ZAC de la Pyramide (77)

(extrait de la carte au 1/25000, IGN Paris 1998, version informatisée, 2415 OT, TOP25 : "Évry-melun, Forêt de Notre-Dame de Sénart et de Rougeati").



b: Contexte géologique de la Fouille archéologique du Lot C1 de la ZAC de la Pyramide (77)

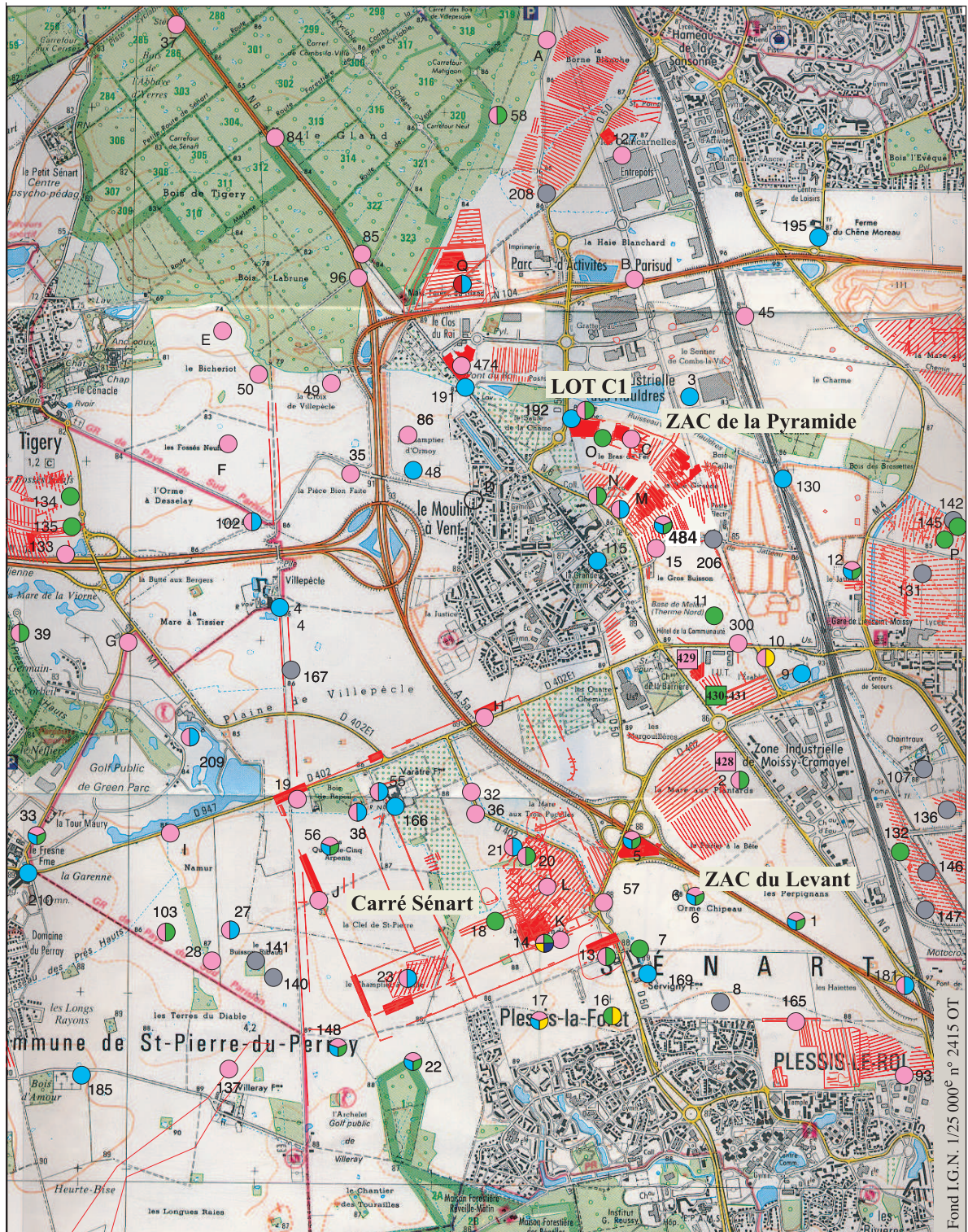
(extrait de "Carte géologique à 1/50000", Ministère de l'Industrie, Service de la Carte Géologique de la France BRIE-COMTE-ROBERT, feuille XXIV-15, IGN 1963).

ZAC de la Pyramide Lot C1, "Le Bras de Fer", Lieusaint (77), fouille archéologique 15-07/04-10-2002

Pl. 01 : Localisation géographique et contexte géologique de la fouille du Lot C1

Fouilles, Diagnostics, prospection

- Paléolithique
- Néolithique / Protohistorique
- Gallo-romain
- Haut Moyen Age / Médiéval / Moderne
- Indéterminé
- ▨ zone sondée
- zone fouillée

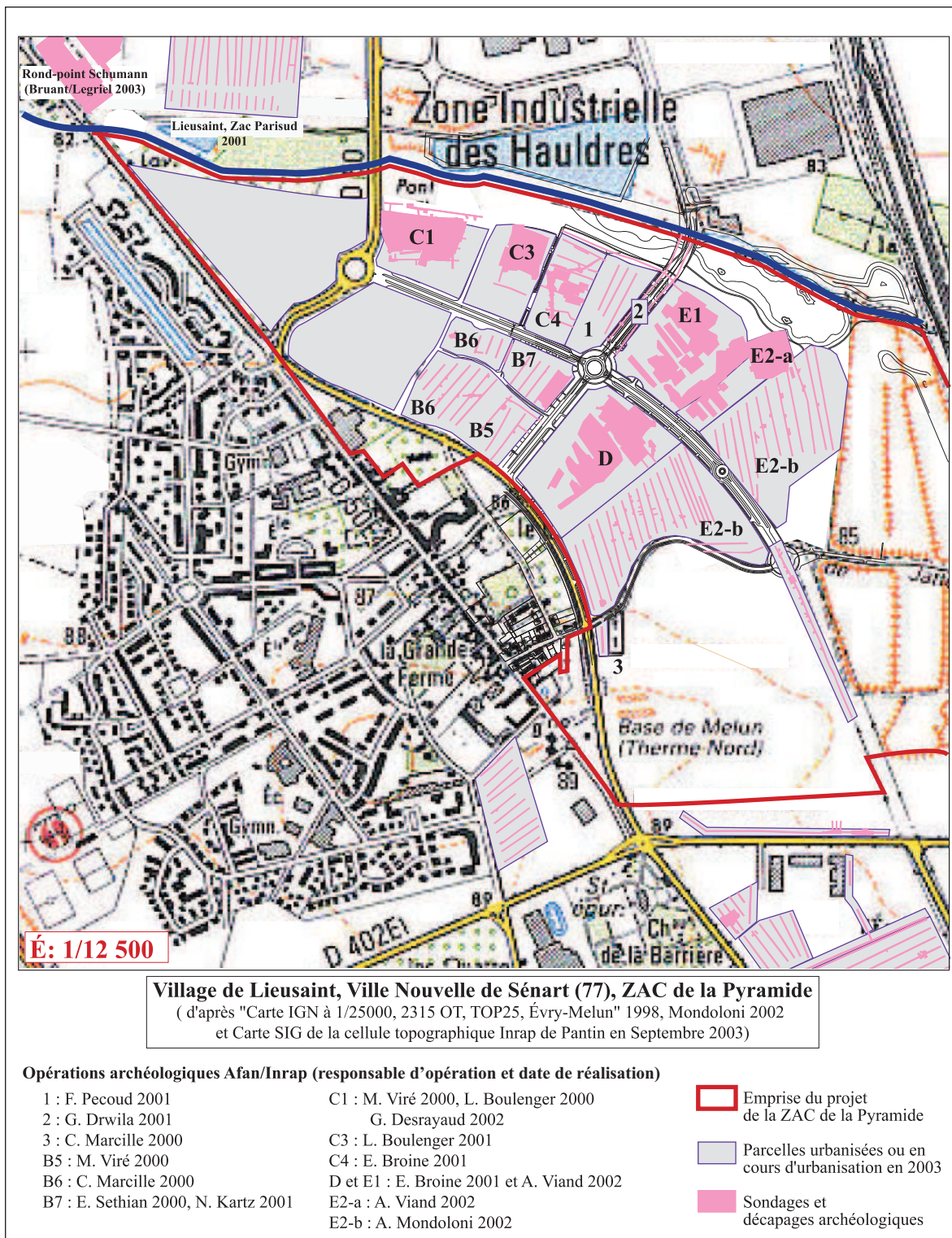


© Inrap Cif, Centre Archéologique de Pantin, Coordination de Sénart, Pantin 2003

ÉTAT DES DONNÉES: SEPTEMBRE 2003.

ZAC de la Pyramide Lot C1, "Le Bras de Fer", Lieusaint (77), fouille archéologique 15-07/04-10-2002

Pl. 02 : Contexte archéologique du Lot C1 de la ZAC de la Pyramide



© Inrap Cif, Centre Archéologique de Pantin, Coordination de Sénart, Pantin 2003

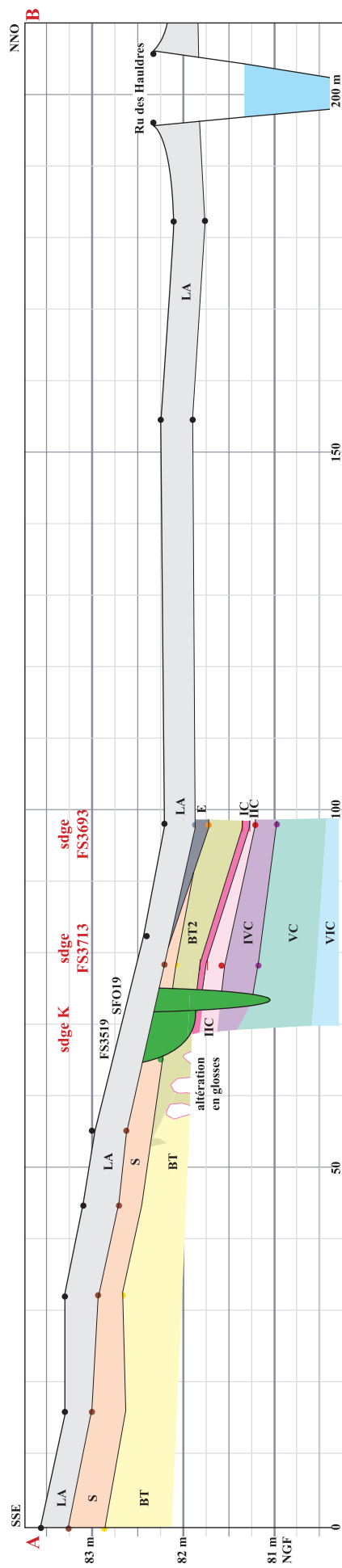
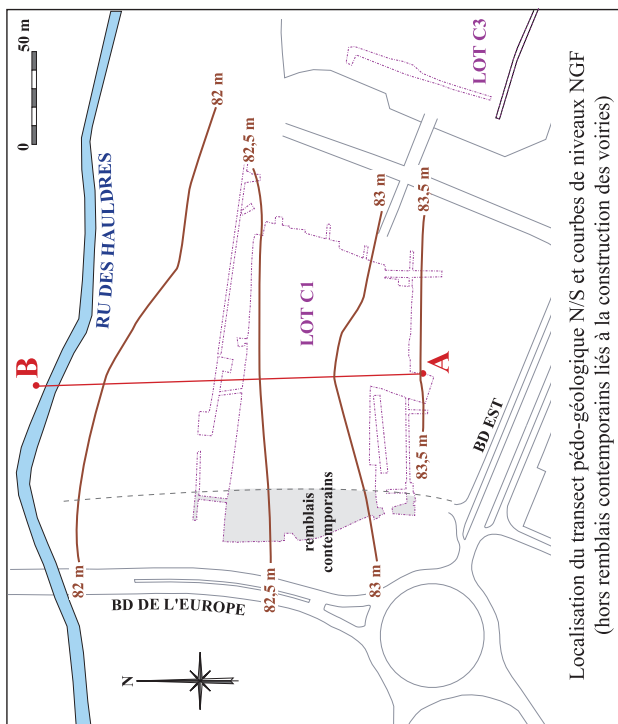
ÉTAT DES DONNÉES: SEPTEMBRE 2003.

Pl. 03 : Opérations archéologiques de la ZAC de la Pyramide, Lieusaint (77)

ZAC de la Pyramide Lot C1, "Le Bras de Fer", Lieusaint (77), fouille archéologique 15-07/04-10-2002

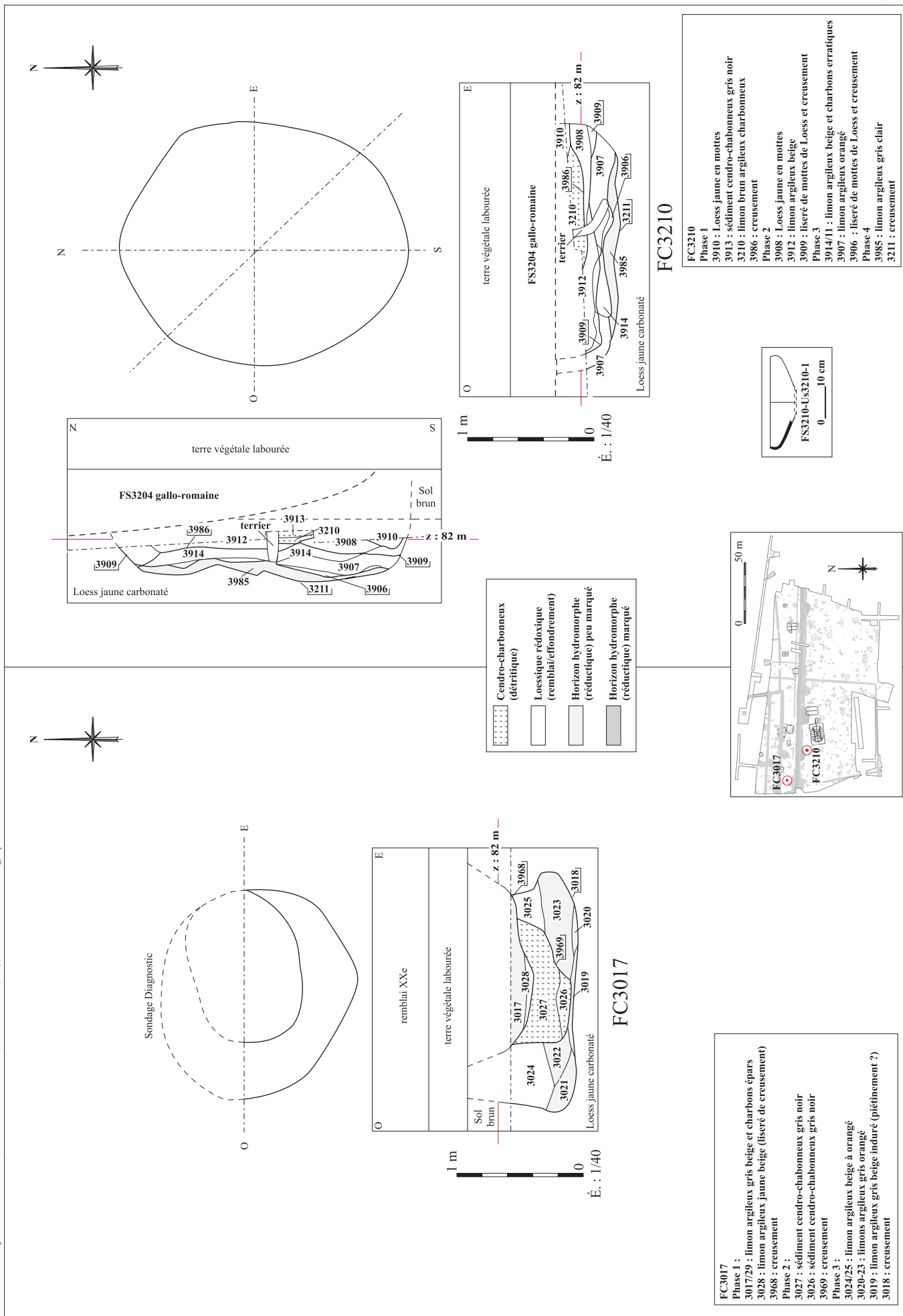
ZAC de la Pyramide Lot C1, "Le Bras de Fer", Lieusaint (77), fouille archéologique 15-07/04-10-2002

- LA : Terre végétale labourée, limon humique noirâtre et semelle de labours
- E : Colluvions et/ou alluvions (?), limon argileux gris à beige blanc
- S : Sol brun, limon argileux brun-ocre à brun-gris lessivé
- BT : Loess, limon argileux jaune (sup.) à orangé (inf.)
- BT2 : Loess altéré, limon argileux gris-jaunâtre et remontées de cailloutis et meulière
- IC : Limon argileux orangé, cailloutis et pierres silico-calcaires anguleux, cailloutis de galets siliceux roulés
- IIC : Limon argileux jaune orangé et inclusions éparées de cailloux anguleux et galets ronds
- IVC : Sable limono-argileux rouge-orangé et abondant cailloutis grossier silico-calcaire anguleux et de galets roulés
- VC : Sable faiblement argilo-limoneux blanchâtre à légèrement verdâtre avec traînées de rouille et inclusions erratiques de galets roulés
- VIC : Sédiment calcaire blanchâtre "crazeux" plastique à grumeaux et inclusions de cailloutis silico-calcaire, cryoturbé par endroit



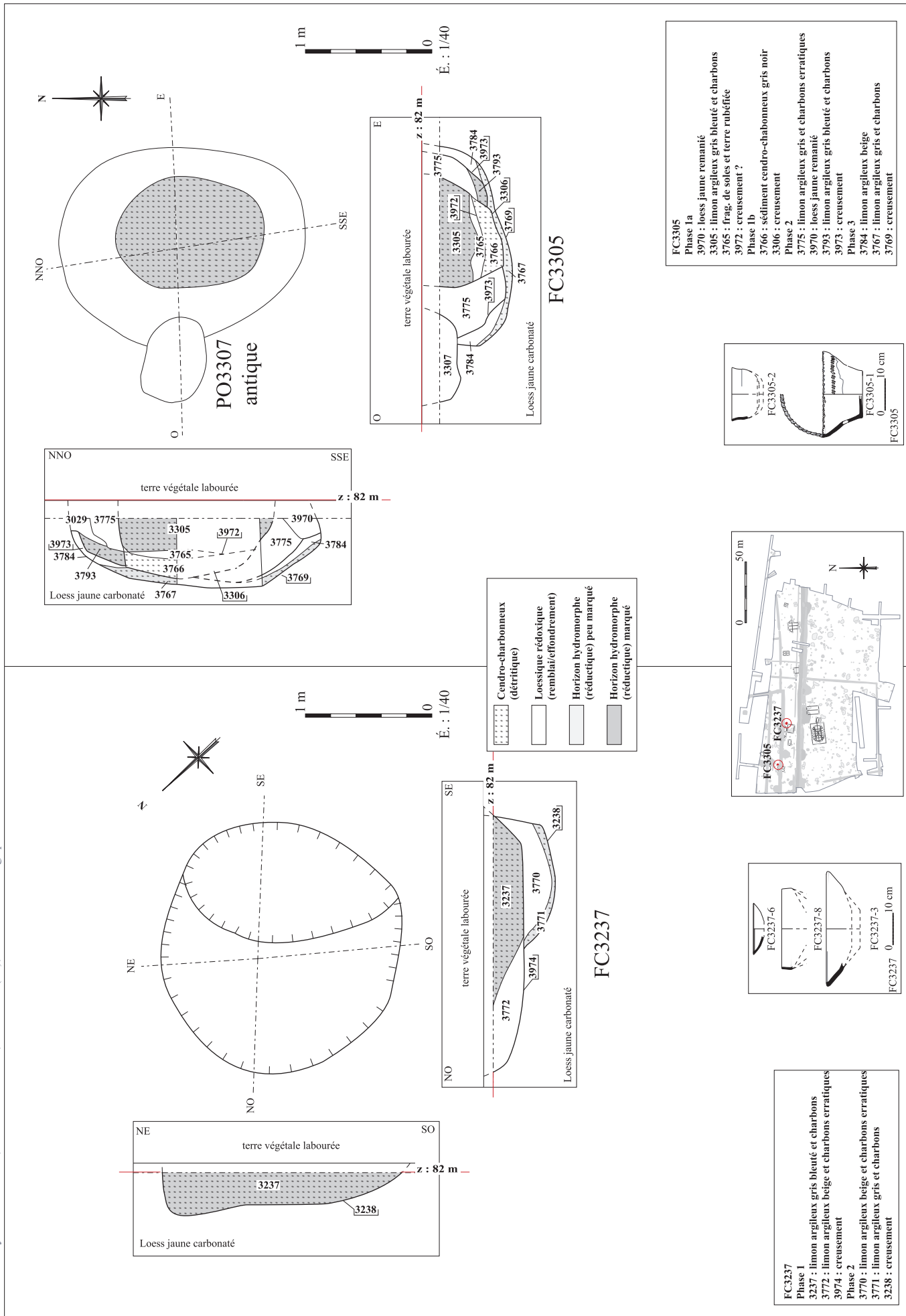
Pl. 04 : profil pédogéologique logarithmique

ZAC de la Pyramide Lot C1, "Le Bras de Fer", Lieusaint (77), fouille archéologique 15-07/04-10-2002



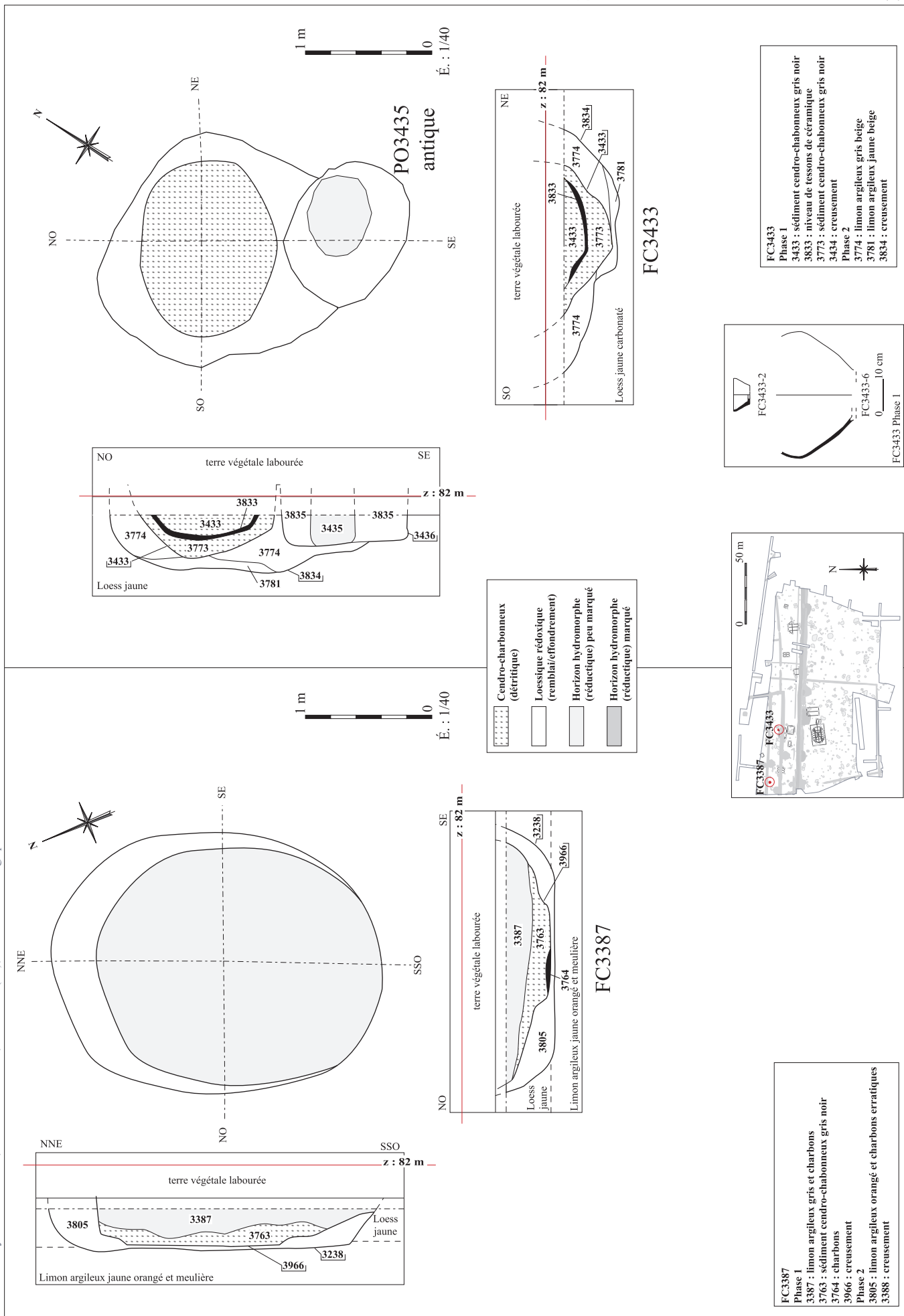
Pl. 05 : FC3017 et FC3210, Hallstatt final

ZAC de la Pyramide Lot C1, "Le Bras de Fer", Lieusaint (77), fouille archéologique 15-07/04-10-2002



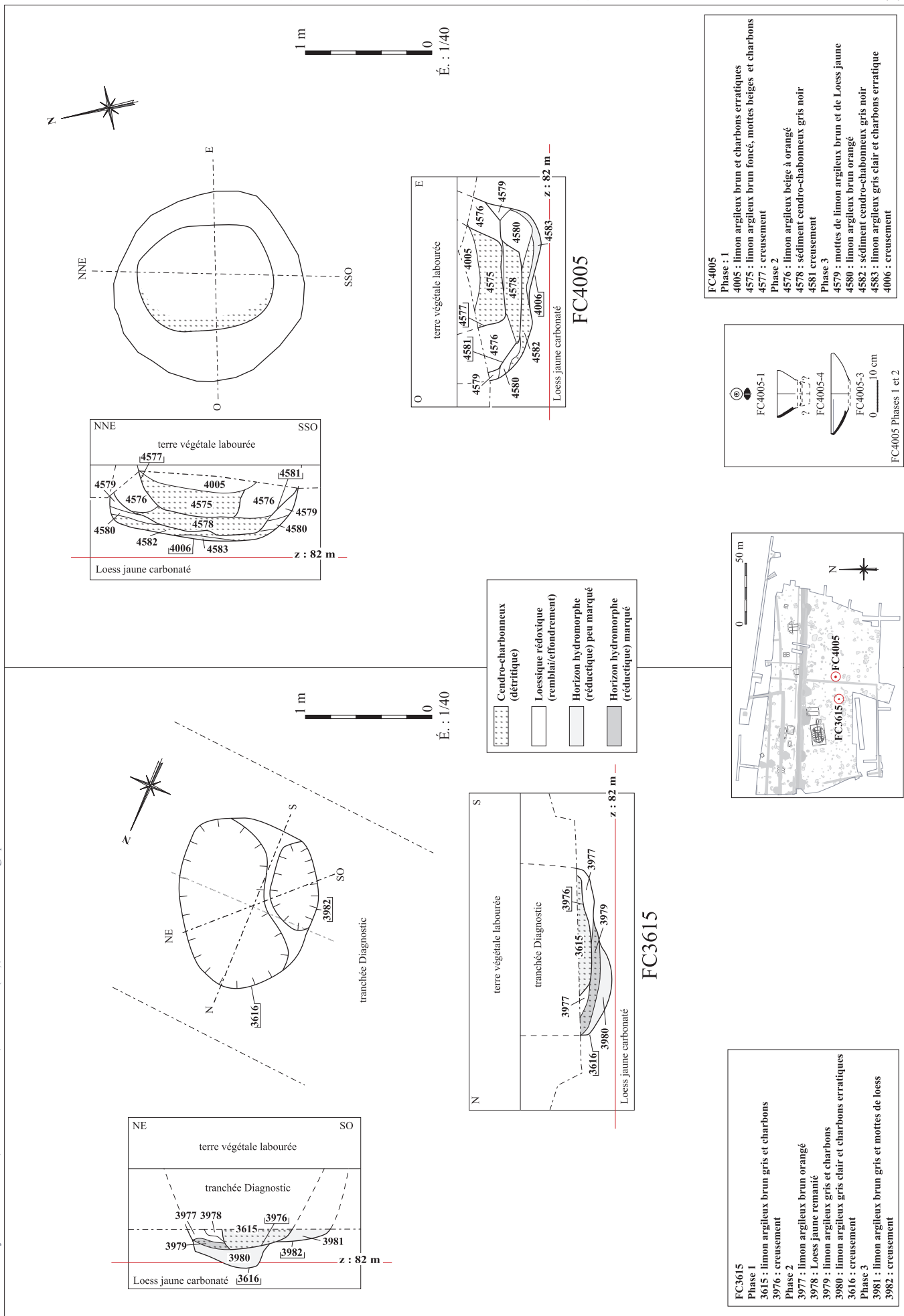
Pl. 06 : FC3237 et FC3305, Hallstatt final

ZAC de la Pyramide Lot C1, "Le Bras de Fer", Lieusaint (77), fouille archéologique 15-07/04-10-2002



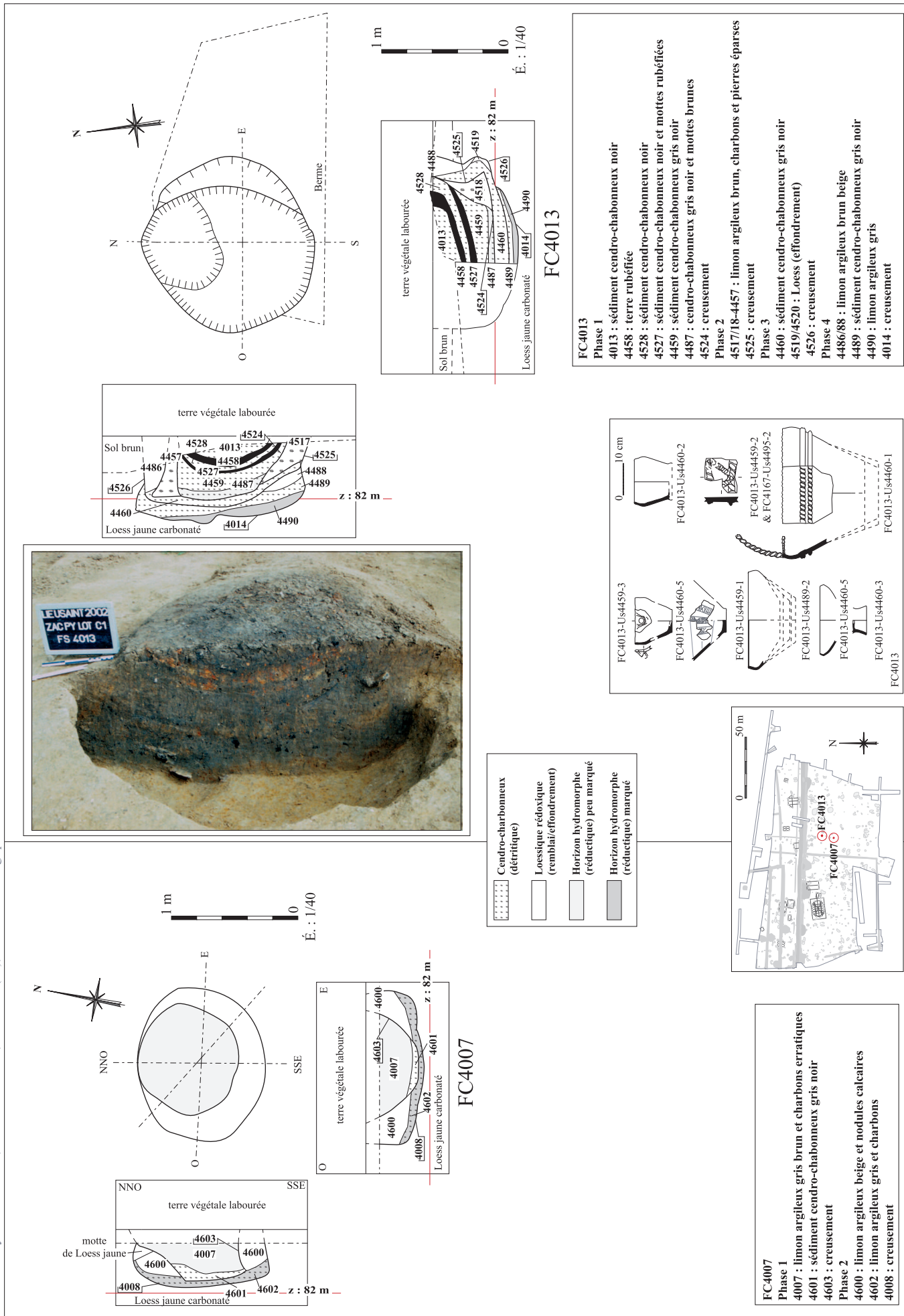
Pl. 07 : FC3387 et FC3433, Hallstatt final

ZAC de la Pyramide Lot C1, "Le Bras de Fer", Lieusaint (77), fouille archéologique 15-07/04-10-2002



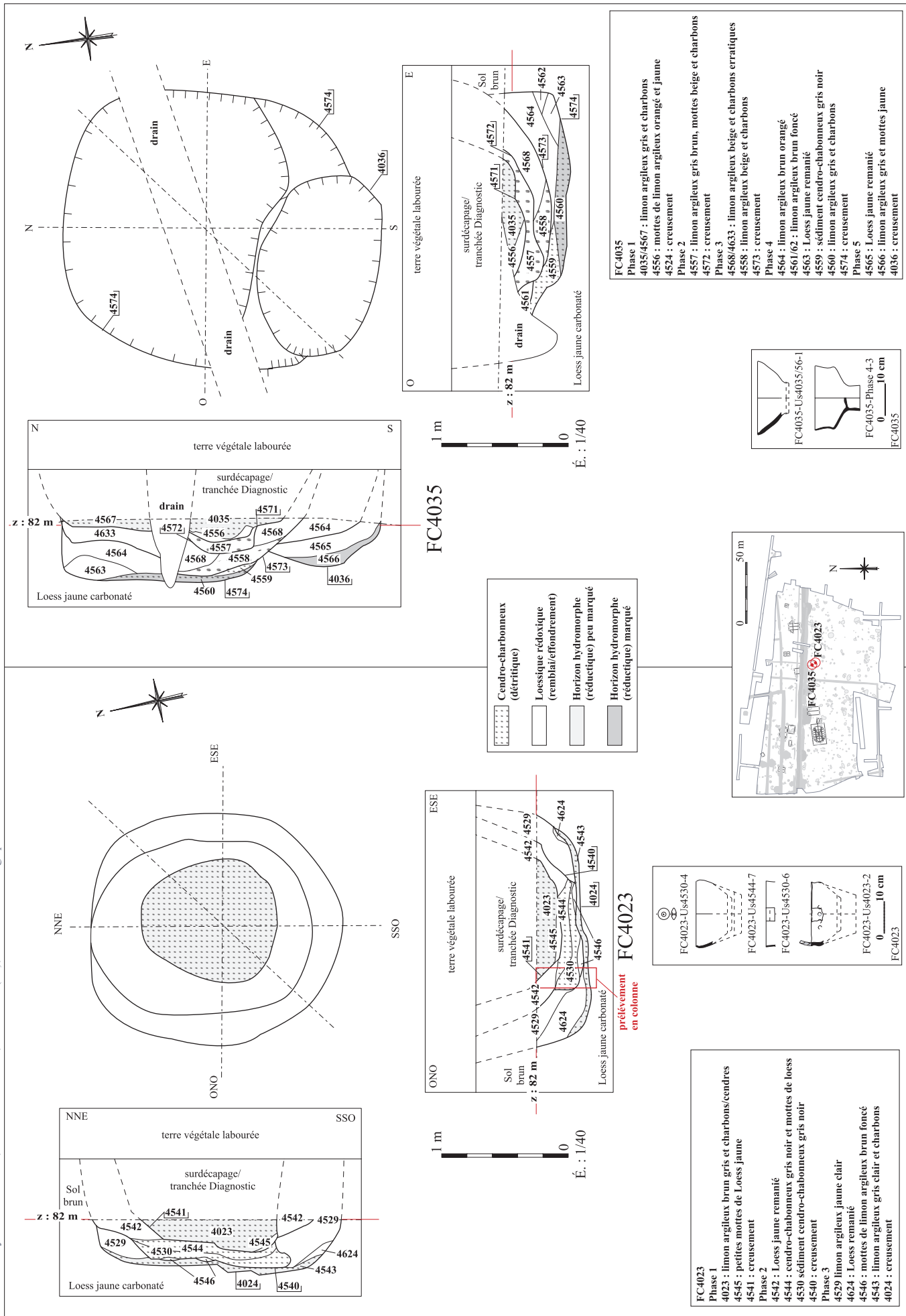
Pl. 08 : FC3615 et FC4005, Hallstatt final

ZAC de la Pyramide Lot C1, "Le Bras de Fer", Lieusaint (77), fouille archéologique 15-07/04-10-2002



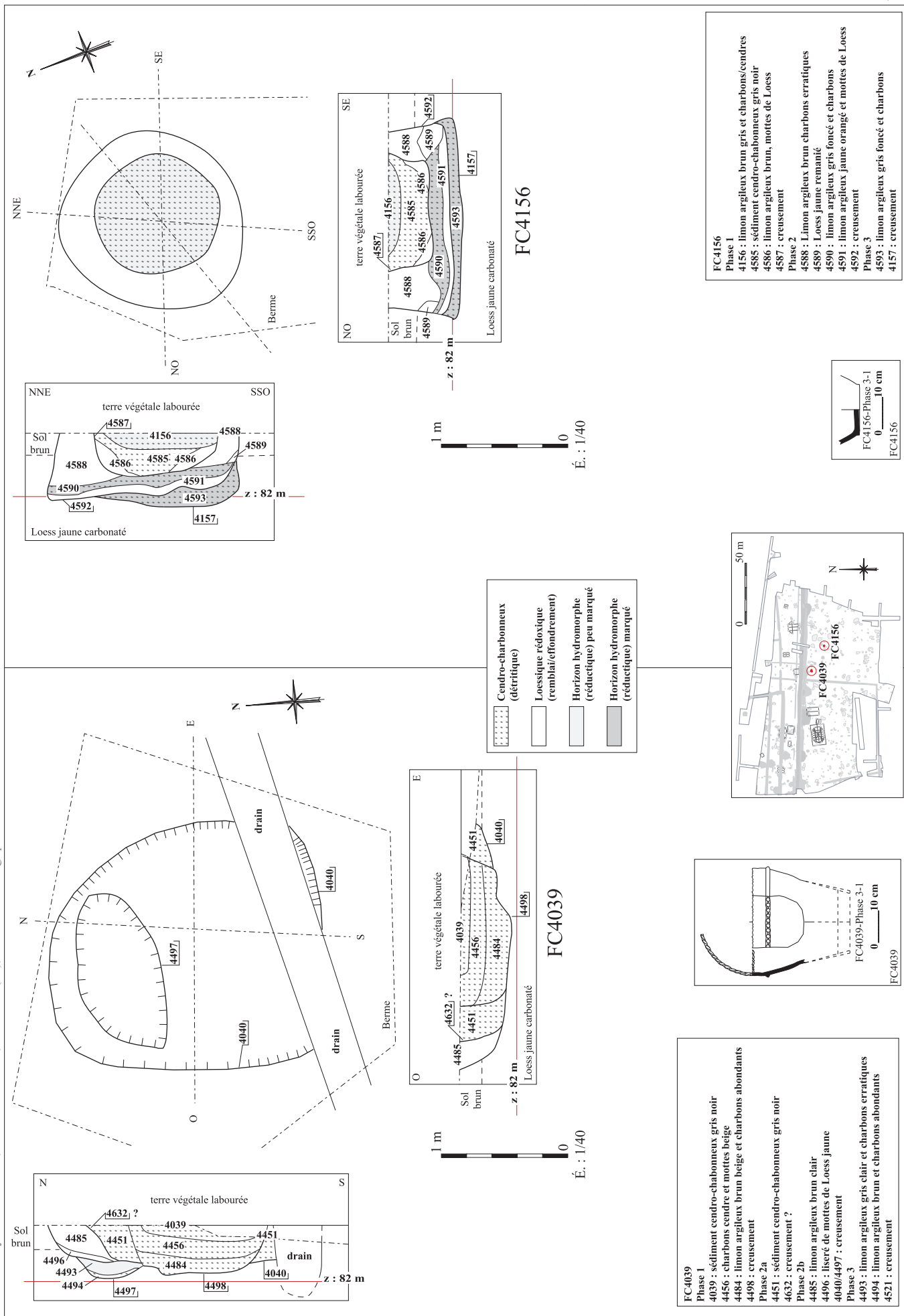
Pl. 09 : FC4007 et FC4013, Hallstatt final

ZAC de la Pyramide Lot C1, "Le Bras de Fer", Lieusaint (77), fouille archéologique 15-07/04-10-2002



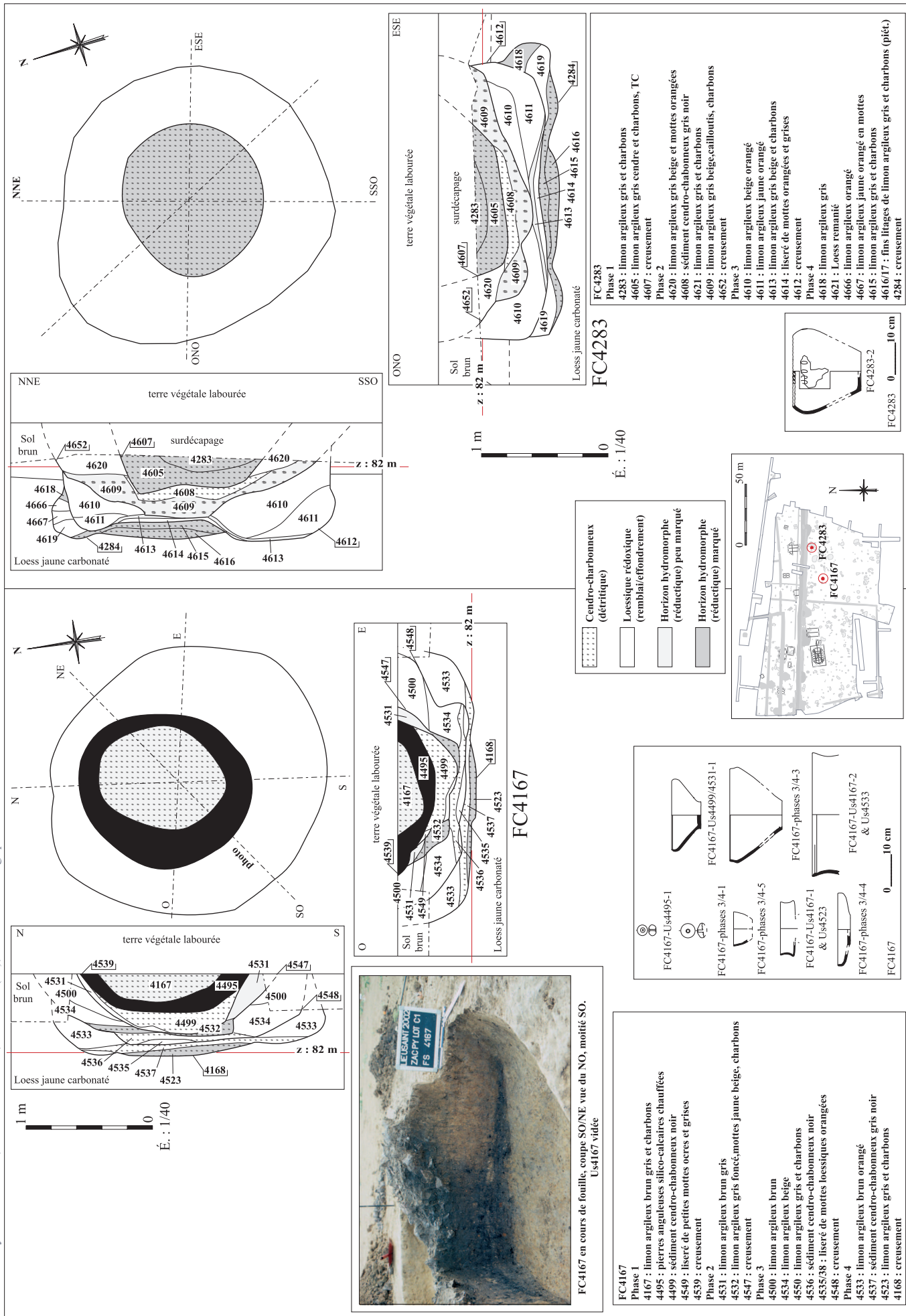
Pl. 10 : FC4023 et FC4035, Hallstatt final

ZAC de la Pyramide Lot C1, "Le Bras de Fer", Lieusaint (77), fouille archéologique 15-07/04-10-2002



Pl. 11 : FC4039 et FC4156, Hallstatt final

ZAC de la Pyramide Lot C1, "Le Bras de Fer", Lieusaint (77), fouille archéologique 15-07/04-10-2002



Pl. 12 : FC4167 et FC4283, Hallstatt final



FOS13 ainsi que les FO3015 et FO3013 vidés, vue de l'ouest

Phase A

FS3836
1 : 3836 : limon argileux gris brun foncé et charbons
3837 : creusement

Phase B

FS3790
1 : 3790 : limon argileux gris brun et charbons
3792 : limon argileux gris et charbons
3794 : limon argileux brun gris et charbons erratiques
3791 : creusement

Phase C

FS3285
1 : 3285 : limon argileux gris et charbons
3776 : fragments de soles, peson et tessons
3762 : limon argileux gris orangé
3778 : limon argileux gris brun
3816 : liseré de mottes orangées et grises
3286 : creusement

Phase D

FC3780
1 : 3850 : mottes de limon argileux gris et orangé
3847 : liseré de petites mottes de Loess
2 : 3848 : limon argileux brun gris
3831 : limon argileux brun orangé et mottes de Loess
3832 : limon argileux gris bleuté
3849 : mottes de limon argileux gris et brun
3780 : creusement

Phases E et F ?

1 : **FS3779**
3844 : limon argileux brun gris
3777 : limon argileux gris = 3854 = 3845
3779 : creusement

FS3846
3845 : limon argileux gris = 3777 = 3854
3846 : creusement

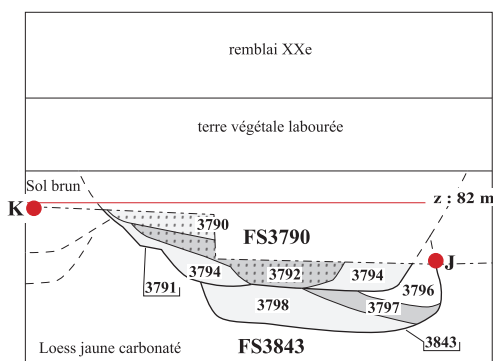
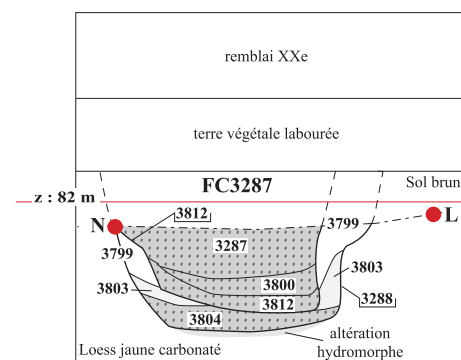
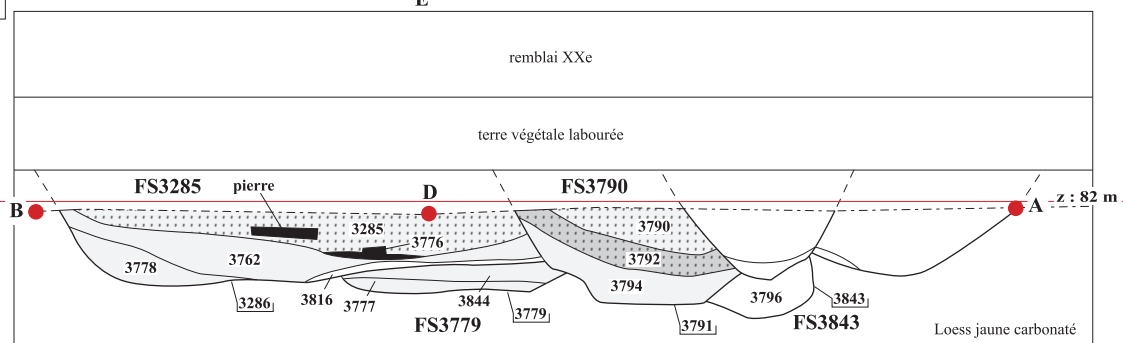
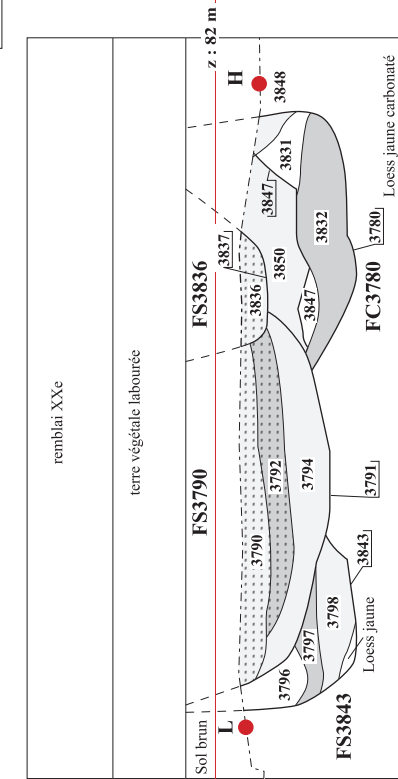
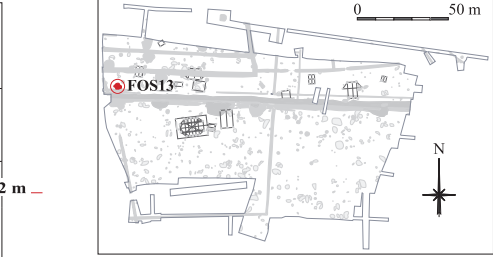
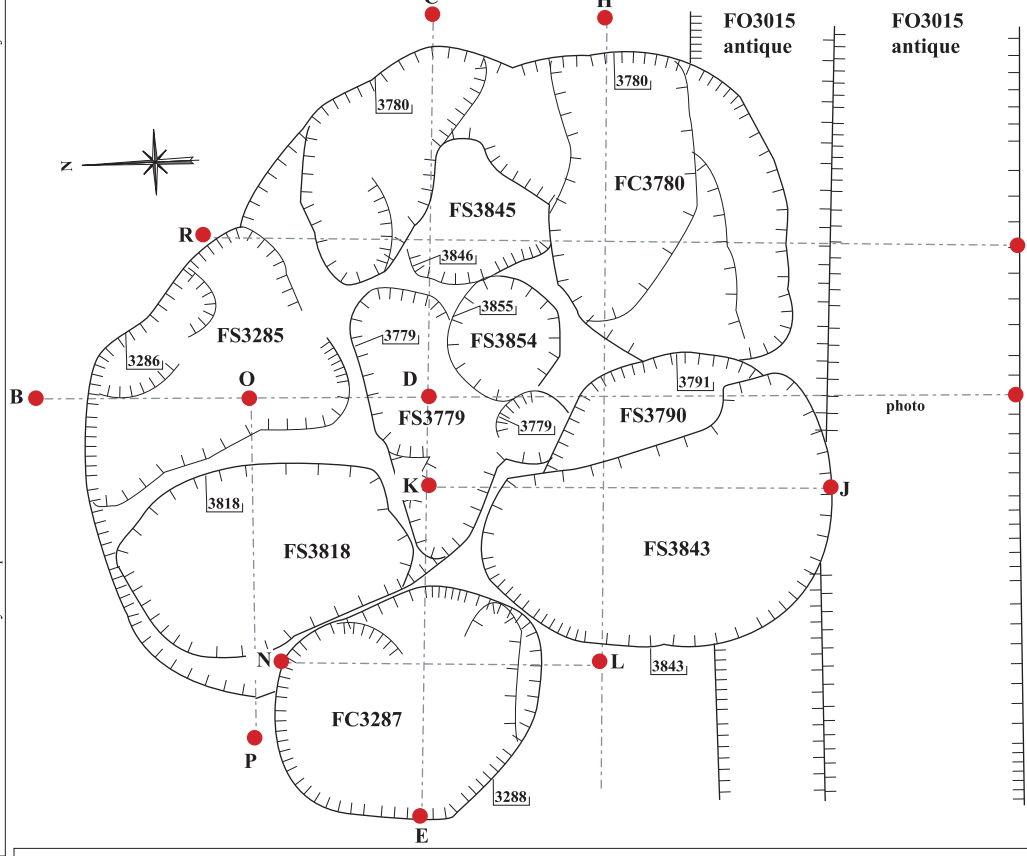
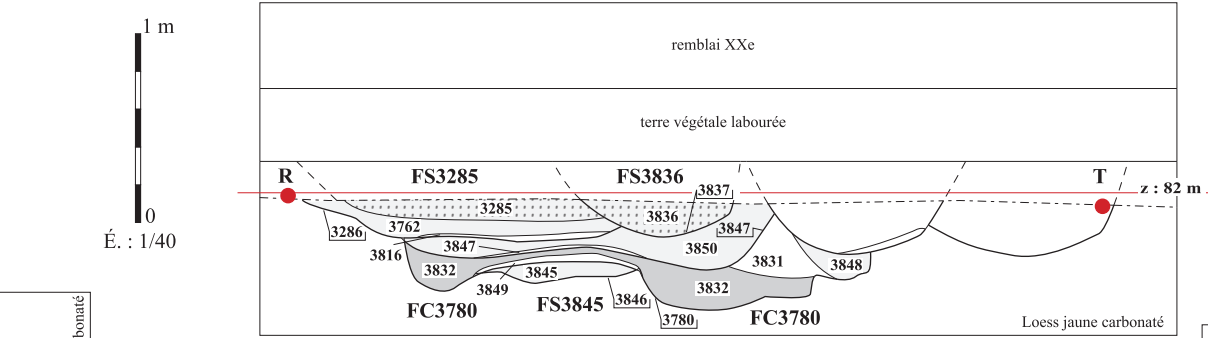
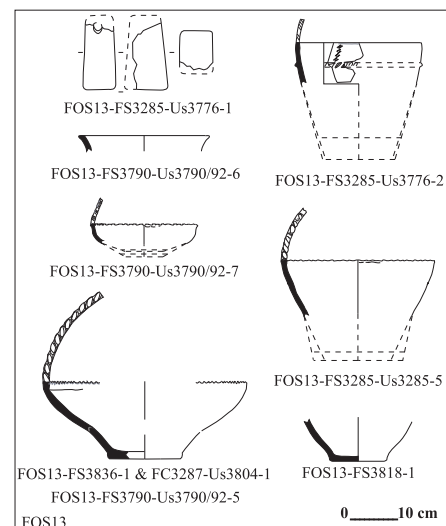
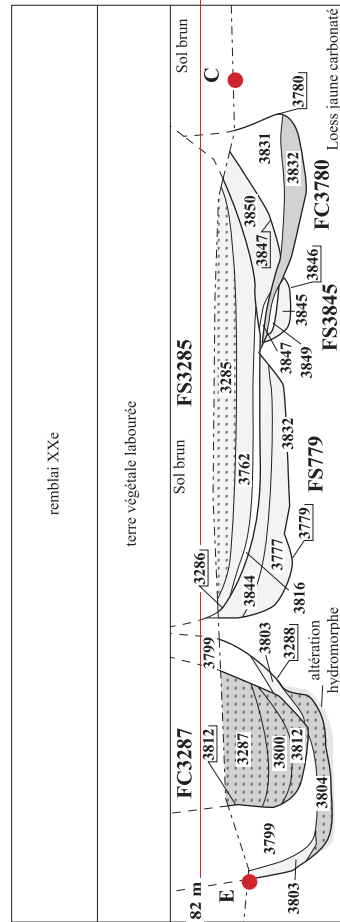
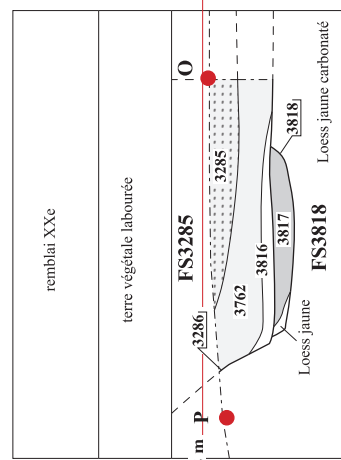
FS3854
3854 : limon argileux gris = 3777 = 3845
3855 : creusement

FS3843
1 : 3796 : mottes de limon argileux orangé et Loess jaune
3797 : limon argileux gris
3798 : limon argileux gris et mottes brunes
3843 : creusement

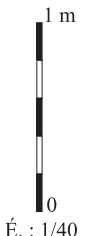
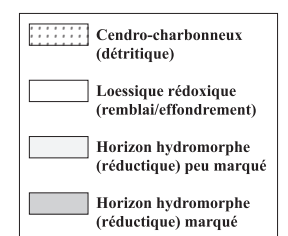
FS3818
1 : 3817 : limon argileux gris
3818 : creusement

Phase ?

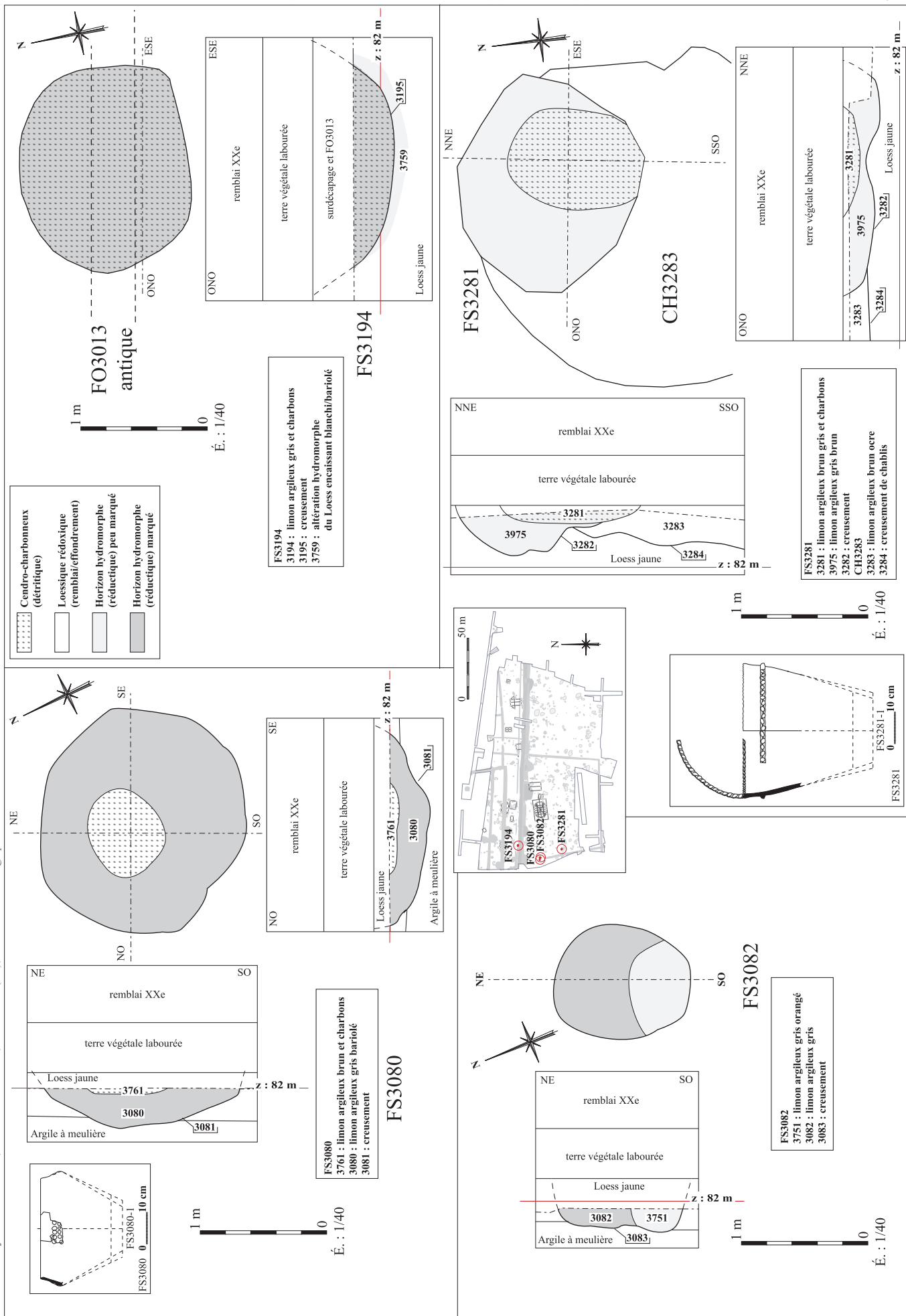
FC3287
1 : 3287 : limon argileux gris et charbons
3800 : limon argileux gris bleuté et charbons
3812 : limon argileux gris et charbons
3802 : creusement
2 : 3799 : limon argileux brun ocre
3803 : limon argileux gris et mottes de loess jaune
3804 : limon argileux gris et charbons
3288 : creusement



Coupe D-A, vue de l'ouest, de gauche à droite : FS3285 et FS3779, FS3779 et FS3843, FO3015 et FO3013

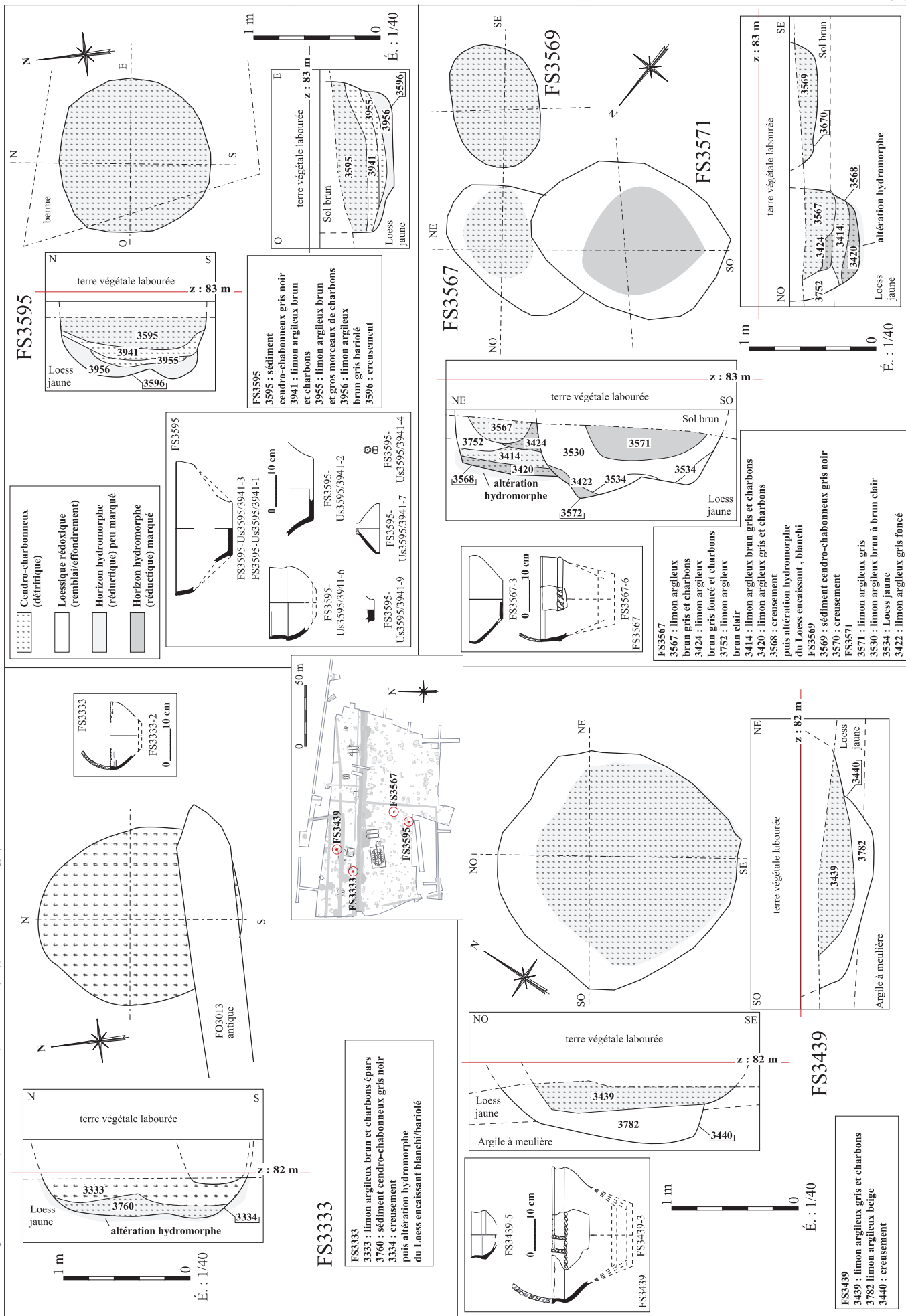


ZAC de la Pyramide Lot C1, "Le Bras de Fer", Lieusaint (77), fouille archéologique 15-07/04-10-2002



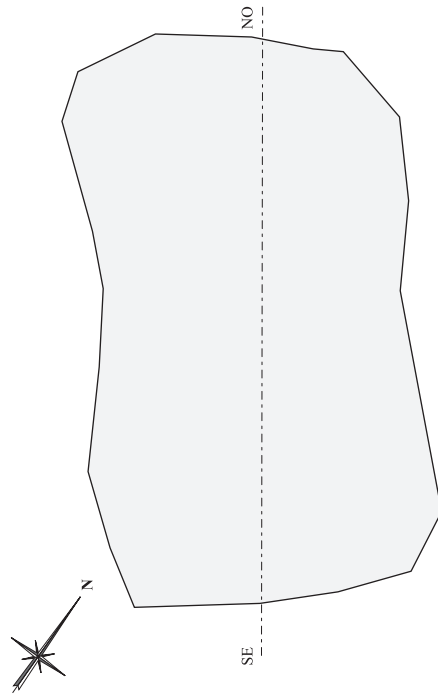
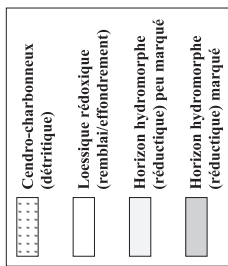
Pl. 14 : FS3080, FS3082, FS3194 et FS3281, Hallstatt final

ZAC de la Pyramide Lot C1, "Le Bras de Fer", Lieusaint (77), fouille archéologique 15-07/04-10-2002

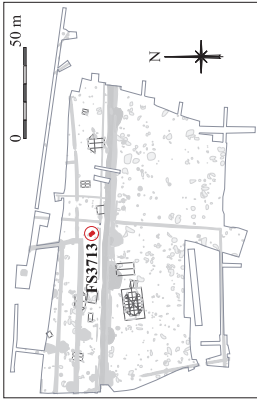
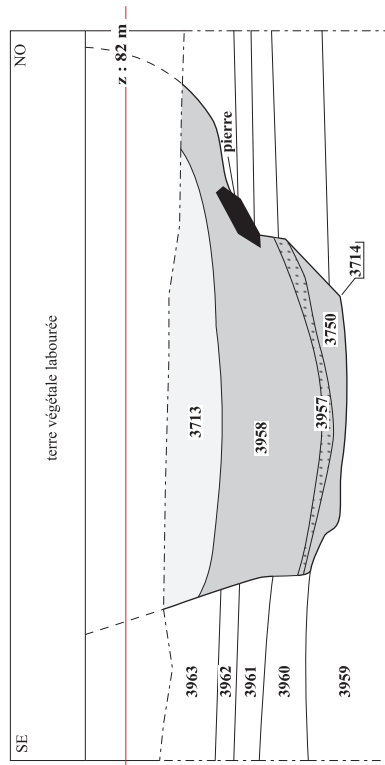


PL.15 : FS3333, FS3439, FS3595 et FS3567, Hallstatt final ; FS3569 et 3571, Hallstatt final hypothétique

ZAC de la Pyramide Lot C1, "Le Bras de Fer", Lieusaint (77), fouille archéologique 15-07/04-10-2002



FS3713



FS3713

- 3713 : limon argileux gris brun
- 3958 : limon argileux gris bariolé
- 3957 : limon argileux gris bleuté et charbons
- 3750 : limon argileux beige et charbons épars
- 3714 : creusement

Encaissant :

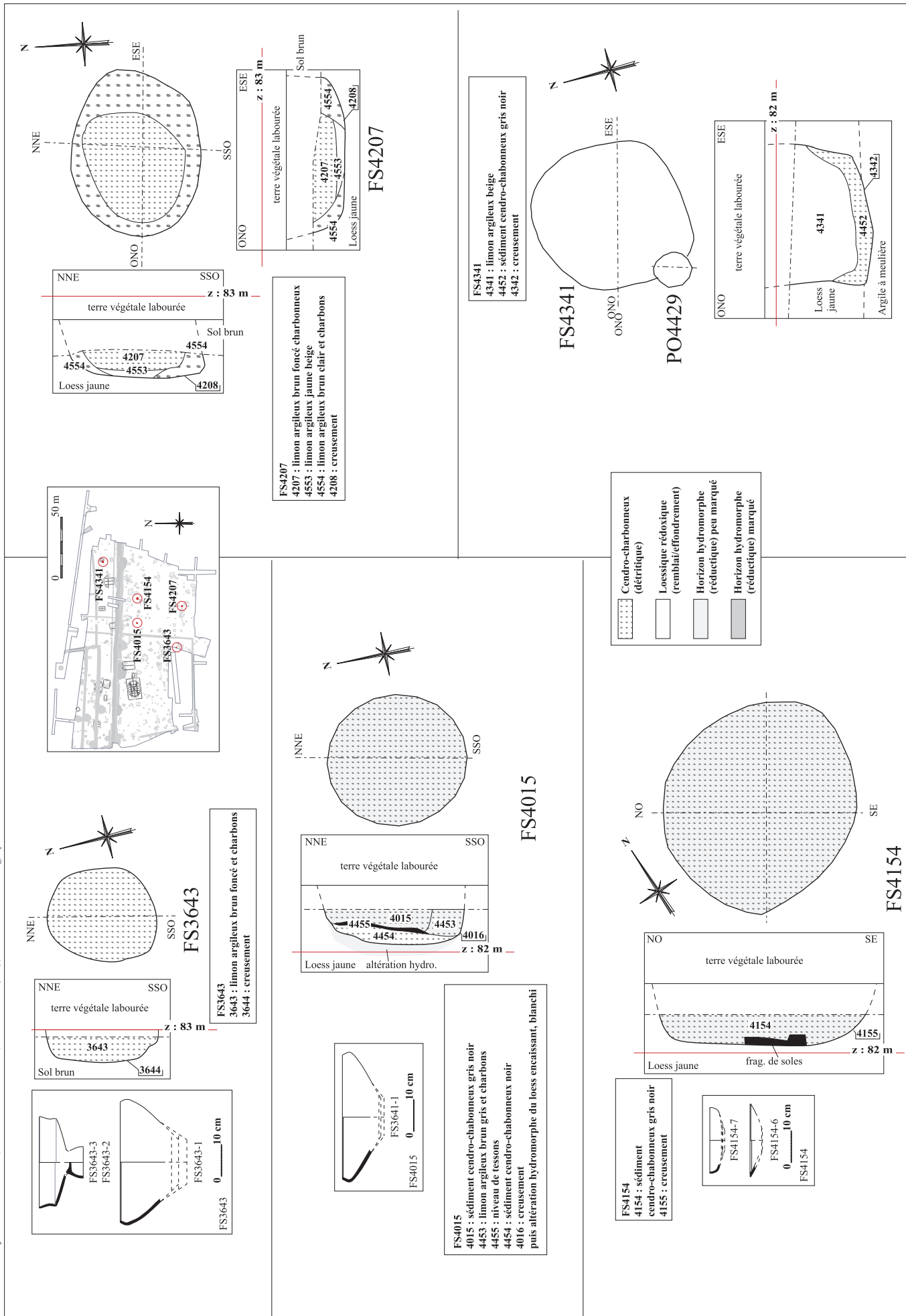
- 3963 : BT2 : Loess altéré, limon argileux gris-jaunâtre et remontés de cailloutis et meulière
- 3962 : IC : Limon argileux orangé, cailloutis et pierres silico-calcaires anguleux, cailloutis de galets siliceux roulés
- 3961 : IIC : Limon argileux jaune orangé et inclusions éparcées de cailloux anguleux et galets ronds
- 3960 (litages) et 3959 : IVC : Sable limono-argileux rouge-orangé et abondant cailloutis grossier silico-calcaire anguleux et de galets roulés



FS3713, coupe SE/NO, vue du NE

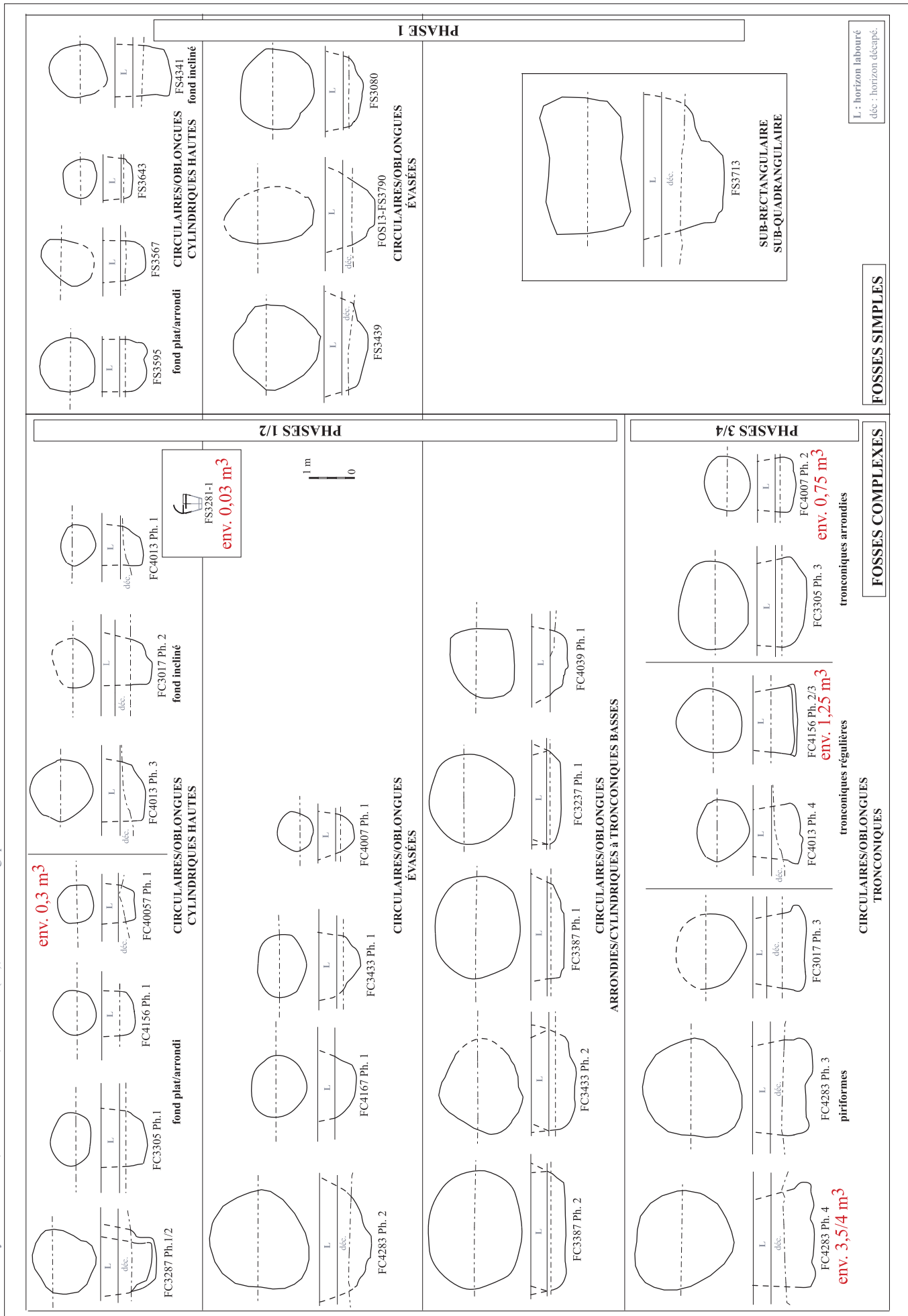
Pl. 16 : FS3713, Hallstatt final

ZAC de la Pyramide Lot C1, "Le Bras de Fer", Lieusaint (77), fouille archéologique 15-07/04-10-2002



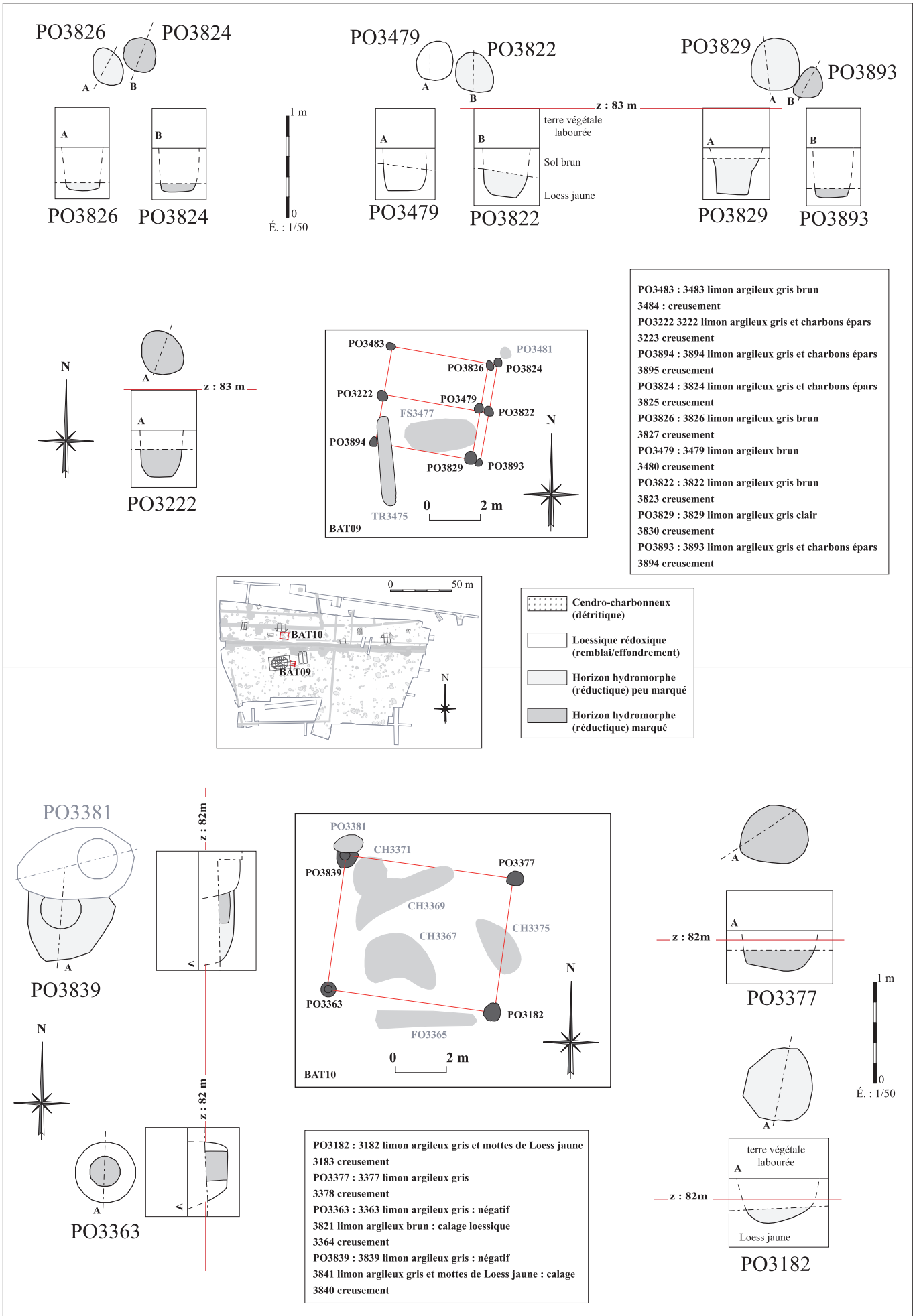
Pl. 17 : FS3643, FS4015, FS4154, FS4207 et FS4341, Hallstatt final

ZAC de la Pyramide Lot C1, "Le Bras de Fer", Lieusaint (77), fouille archéologique 15-07/04-10-2002

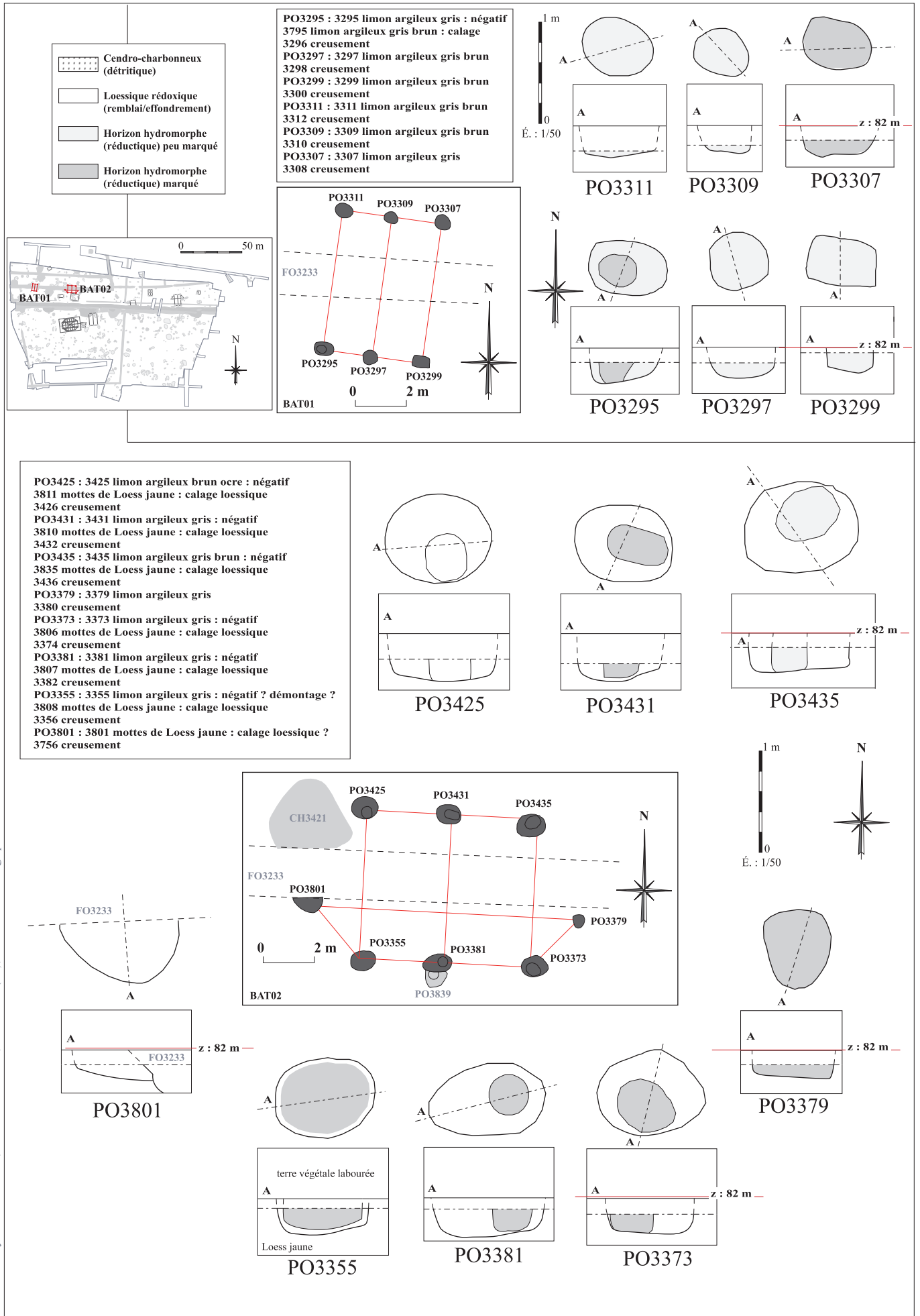


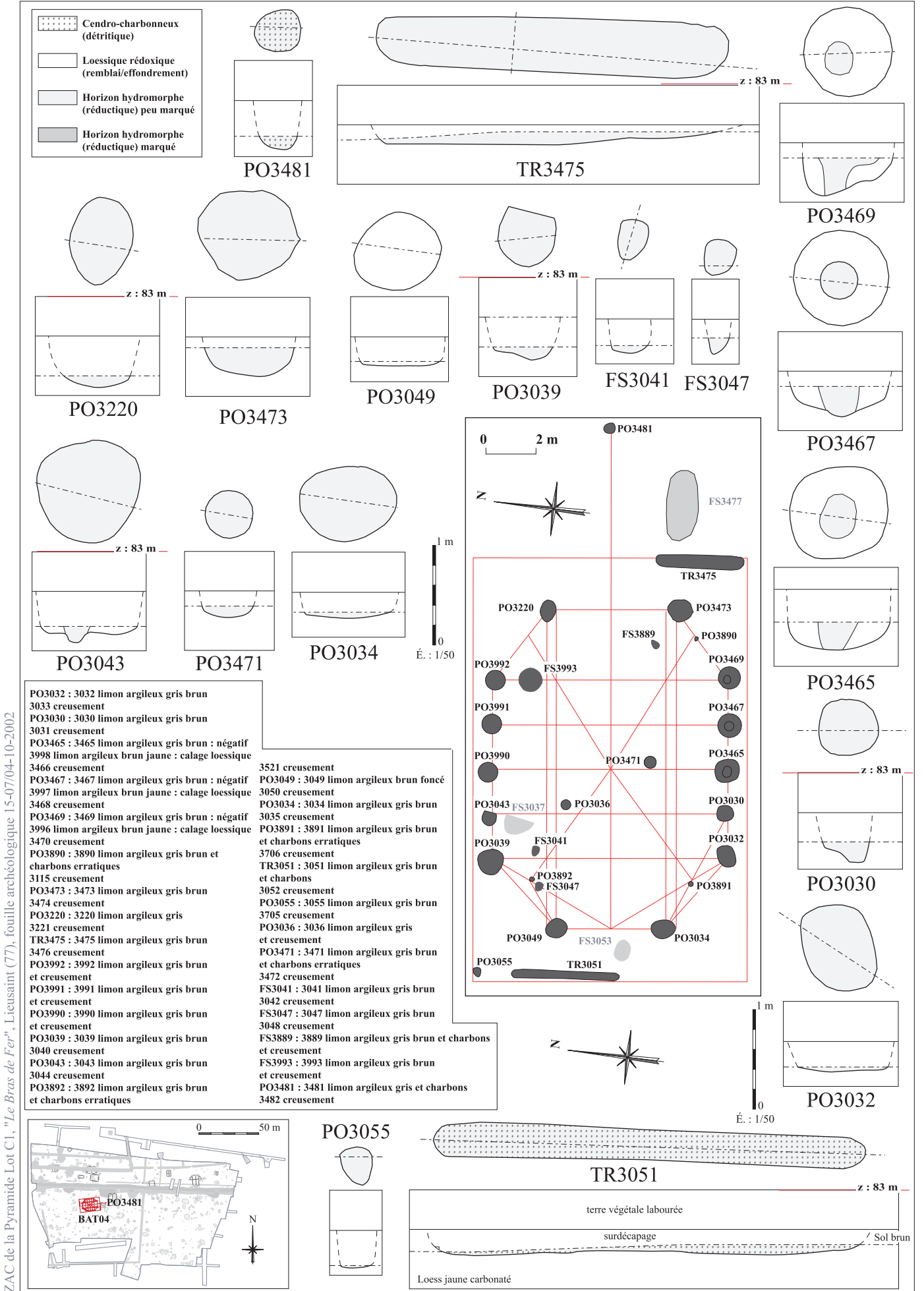
Pl. 18 : Typologie des fosses Hallstatt final du Lot C1

ZAC de la Pyramide Lot C1, "Le Bras de Fer", Lieusaint (77), fouille archéologique 15-07/04-10-2002



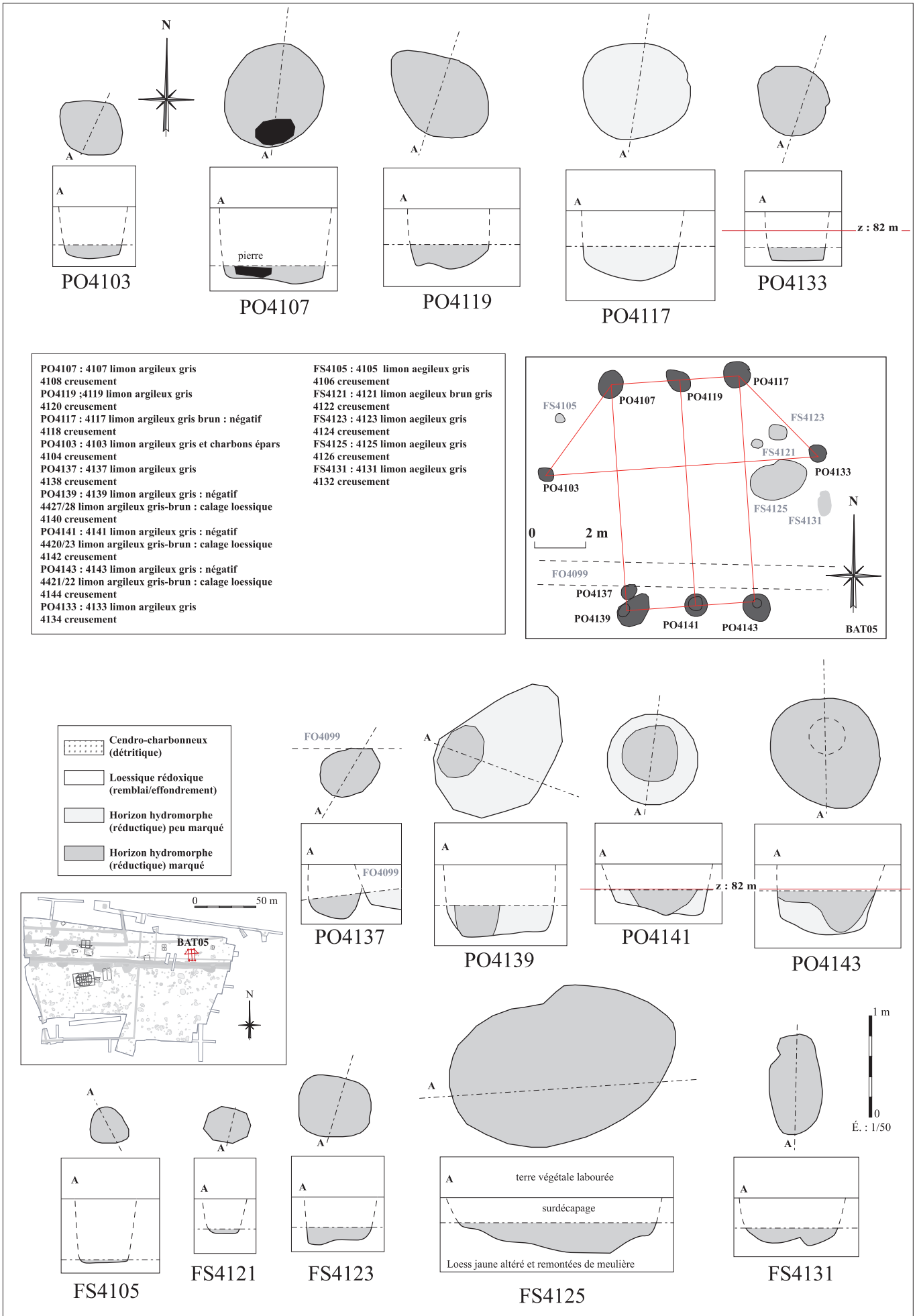
Pl. 19 : Bâtiments 09 et 10, 1er s. ap. J.-C. ou antérieur





ZAC de la Pyramide Lot C1, "Le Bras de Fer", Lieusaint (77), fouille archéologique 15-07/04-10-2002

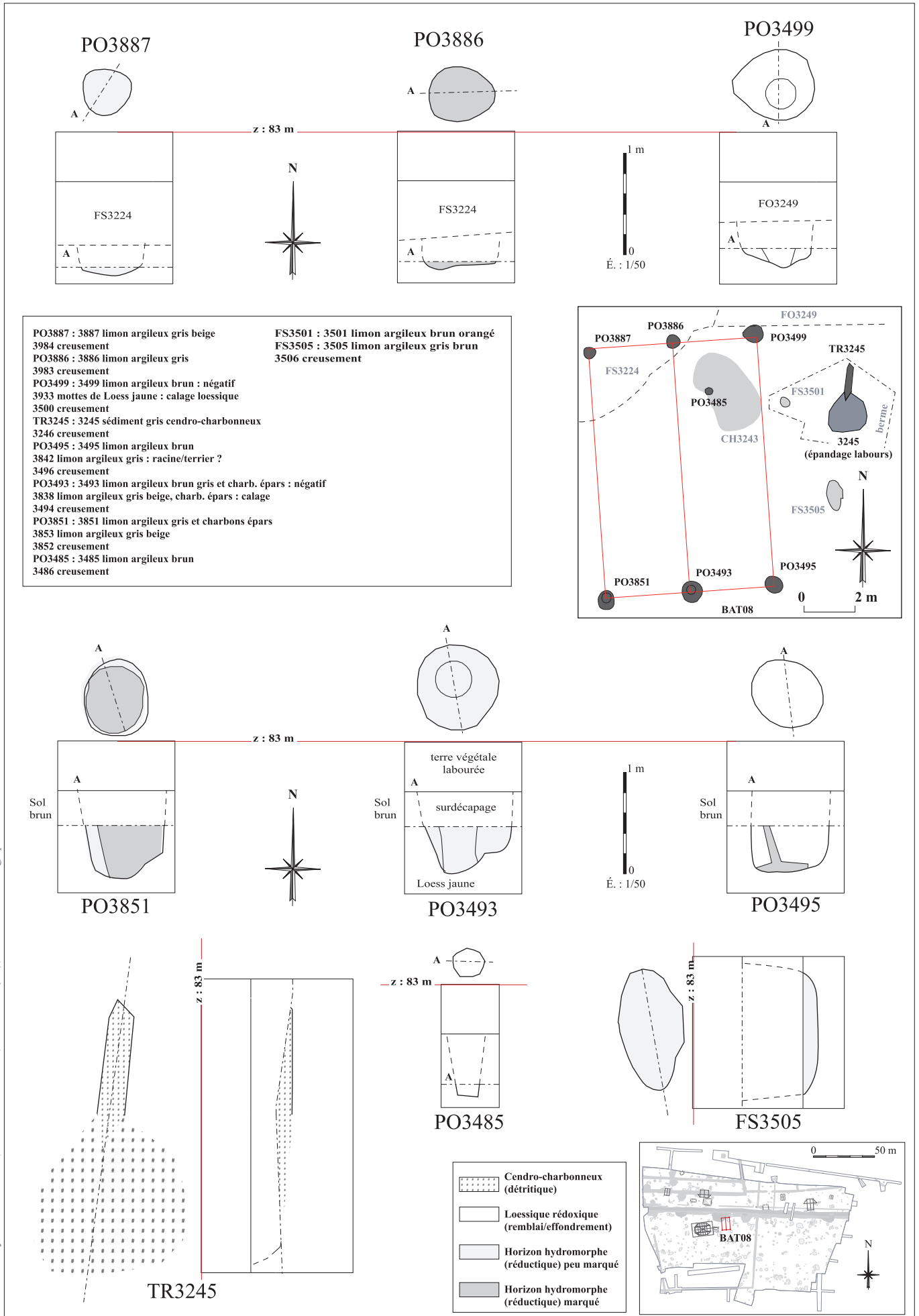
Pl. 21 : Bâtiment 04, La Tène finale D2-Ier s. ap. J.-C.



ZAC de la Pyramide Lot C1, "Le Bras de Fer", Lieusaint (77), fouille archéologique 15-07/04-10-2002

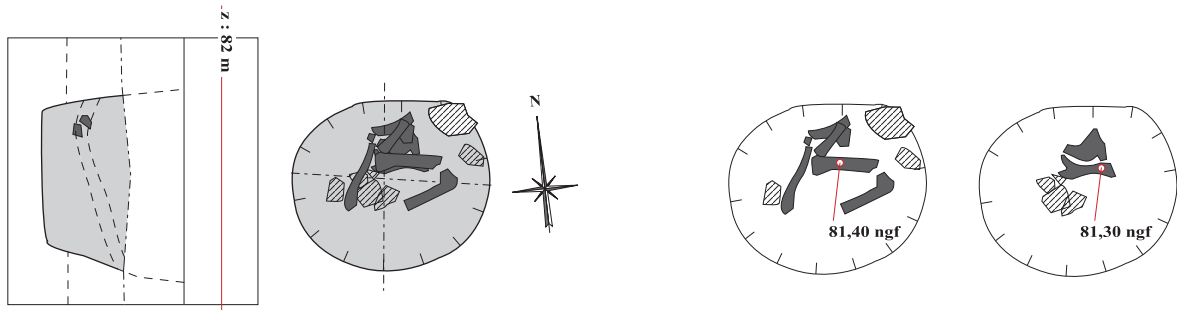
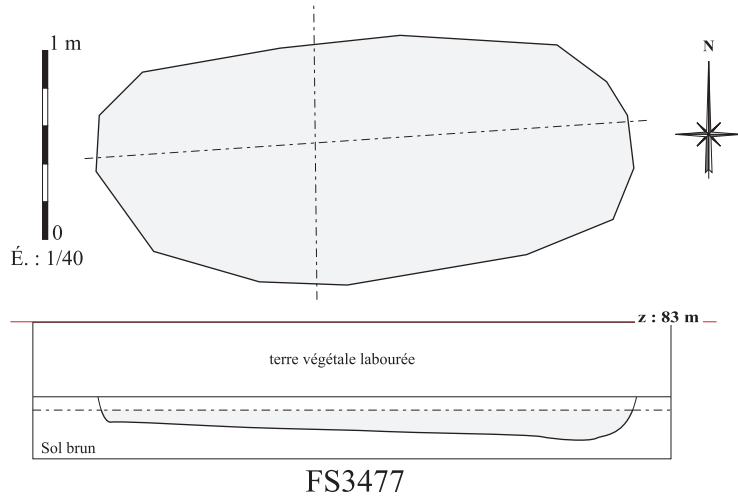
Pl. 22 : Bâtiment 05, La Tène finale-1ère moitié 1er s. ap. J.-C.

ZAC de la Pyramide Lot C1, "Le Bras de Fer", Lieusaint (77), fouille archéologique 15-07/04-10-2002

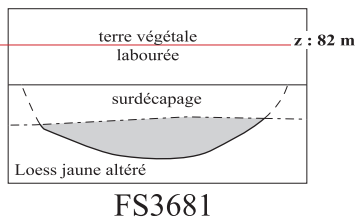
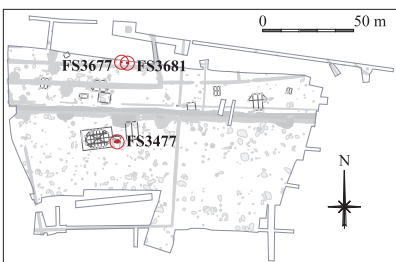
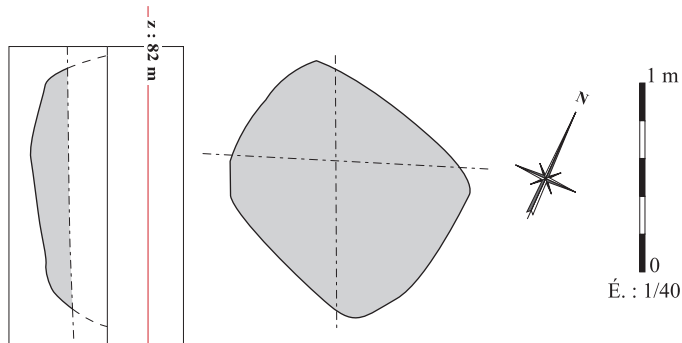
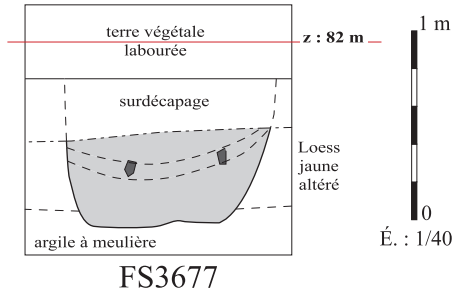


Pl. 23 : Bâtiment 08, La Tène finale-1ère moitié 1er s. ap. J.-C.

ZAC de la Pyramide Lot C1, "Le Bras de Fer", Lieusaint (77), fouille archéologique 15-07/04-10-2002



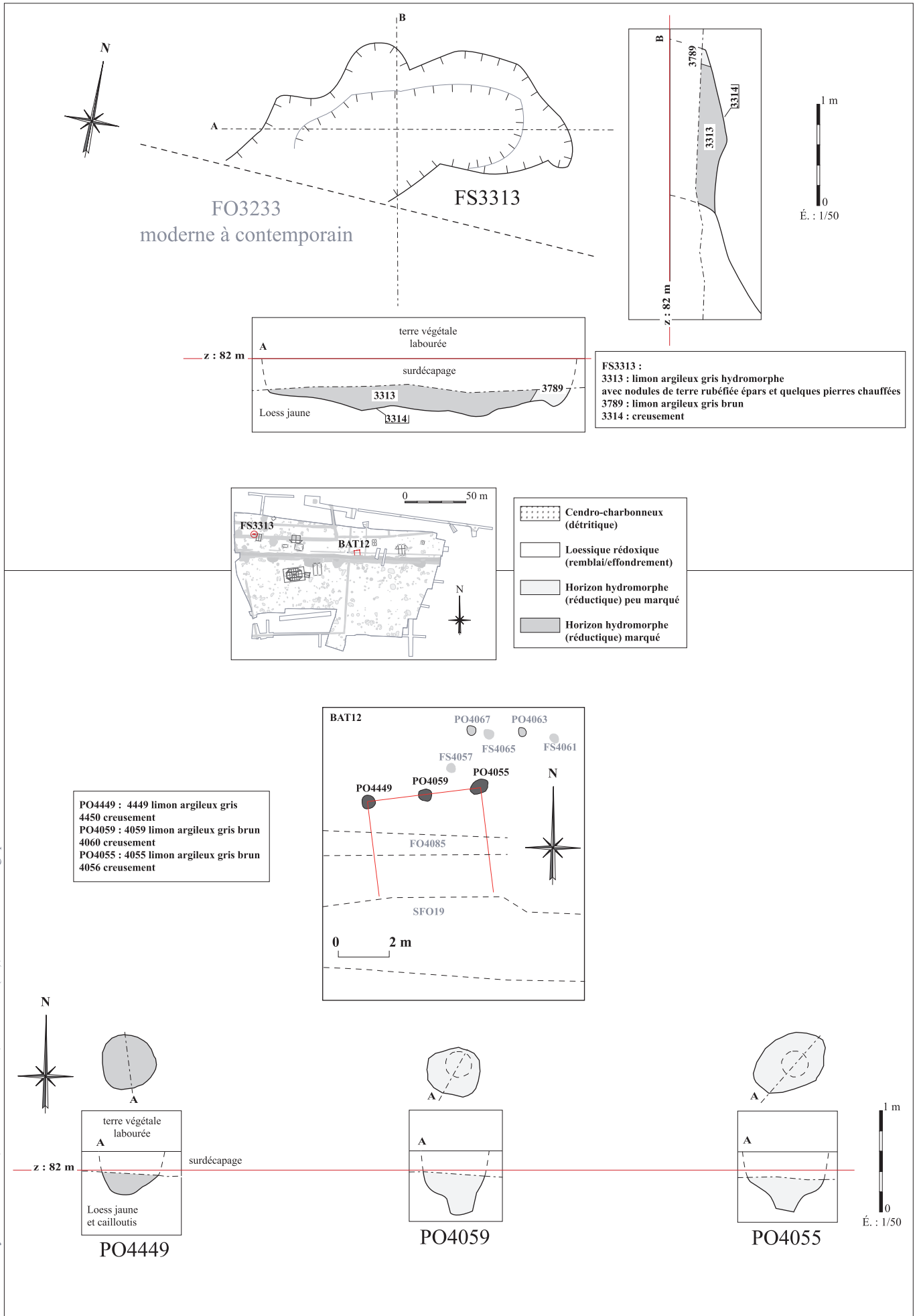
- Cendro-charbonneux (détritique)
- Loessique rédoxique (remblai/effondrement)
- Horizon hydromorphe (réductique) peu marqué
- Horizon hydromorphe (réductique) marqué
- os
- pierre



- FS3477 : 3477 limon argileux gris brun
3478 creusement
- FS3677 : 3677 limon argileux gris hydromorphe
3678 creusement
- FS3681 : 3681 limon argileux gris hydromorphe
3682 creusement

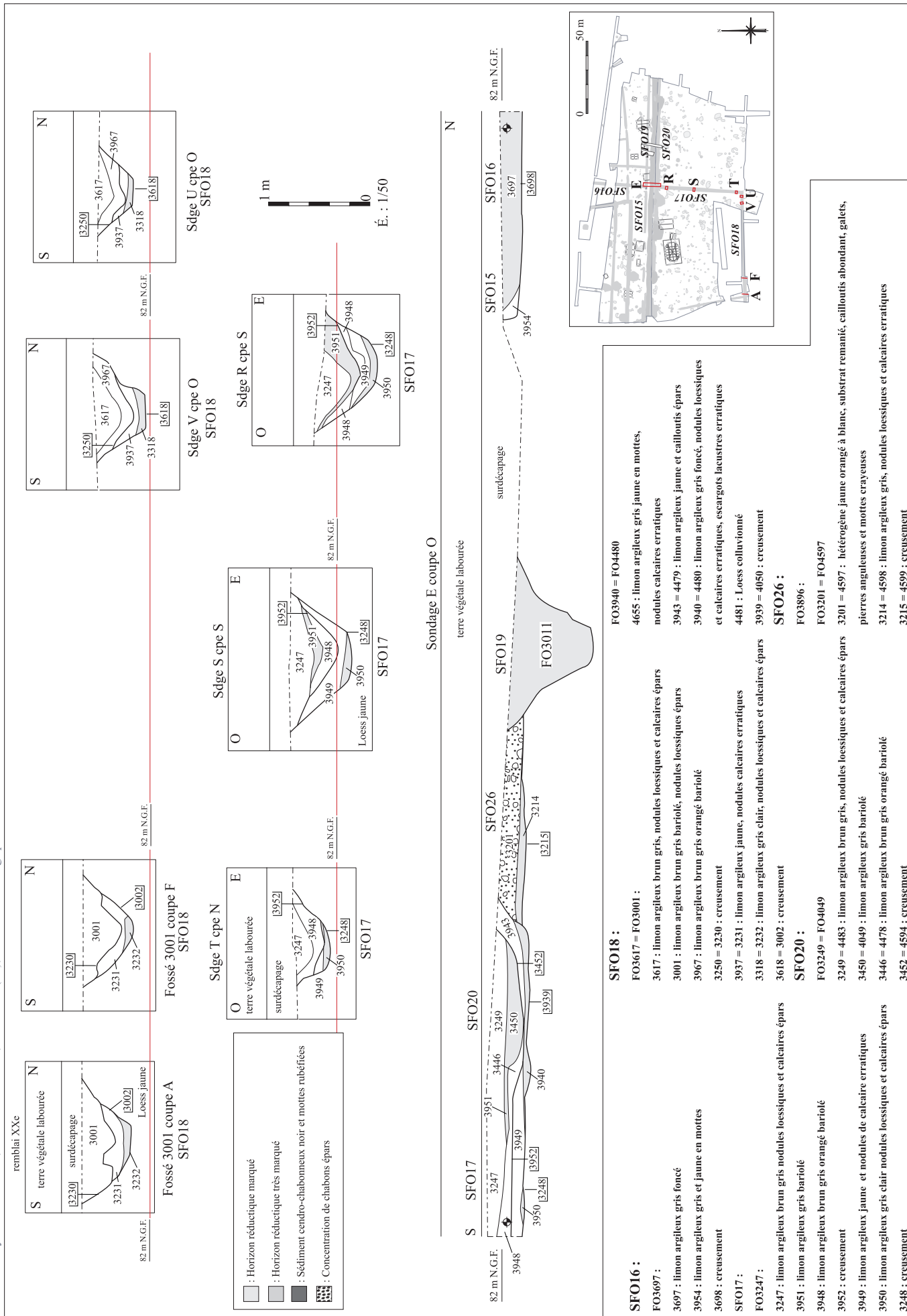
Pl. 24 : FS3477, FS3677 et FS3681, La Tène C2-1ère moitié Ier s. ap. J.-C.

ZAC de la Pyramide Lot C1, "Le Bras de Fer", Lieusaint (77), fouille archéologique 15-07/04-10-2002



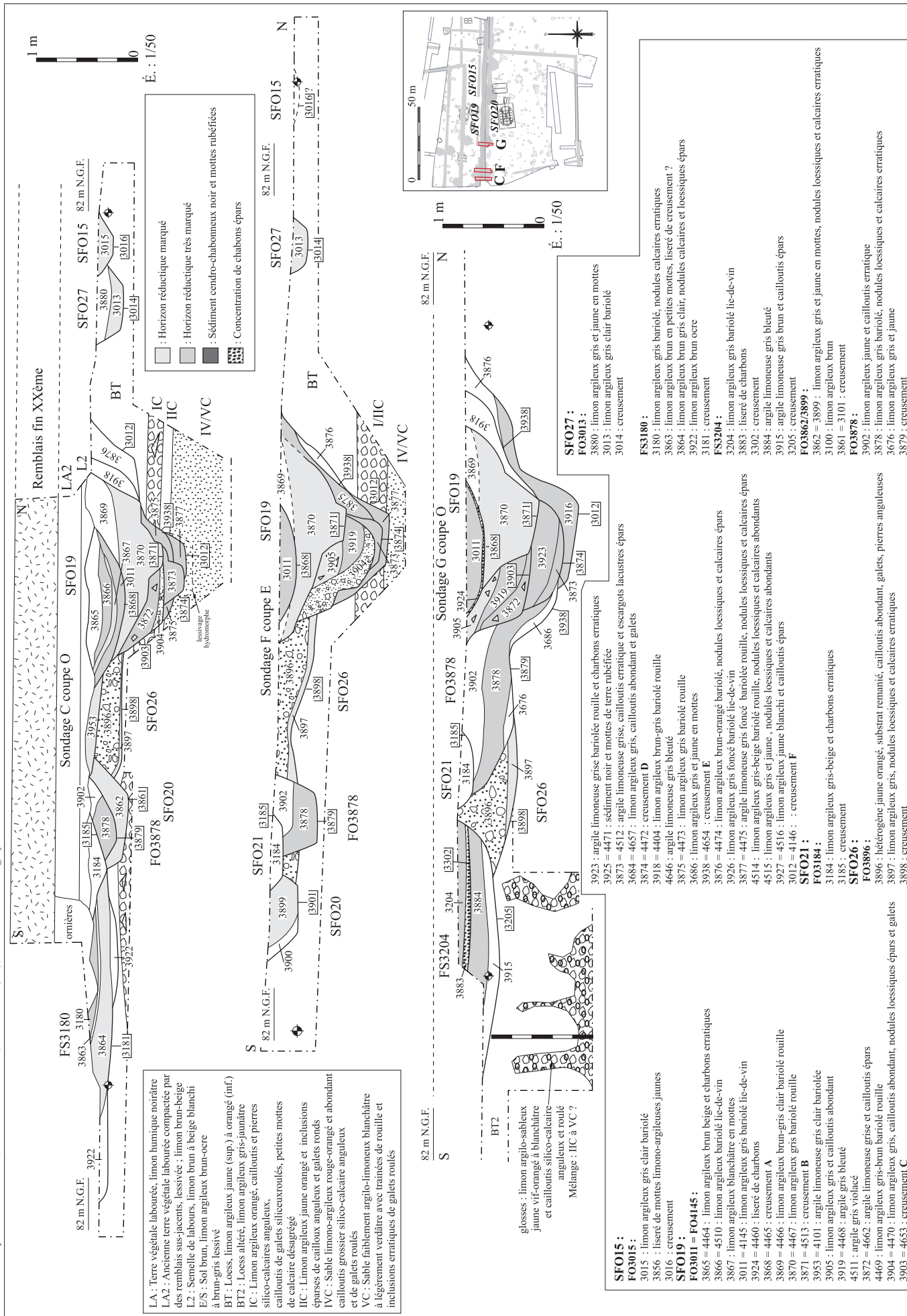
Pl. 25 : FS3313 et BAT12, La Tène finale à Haut Empire

ZAC de la Pyramide Lot C1, "Le Bras de Fer", Lieusaint (77), fouille archéologique 15-07/04-10-2002



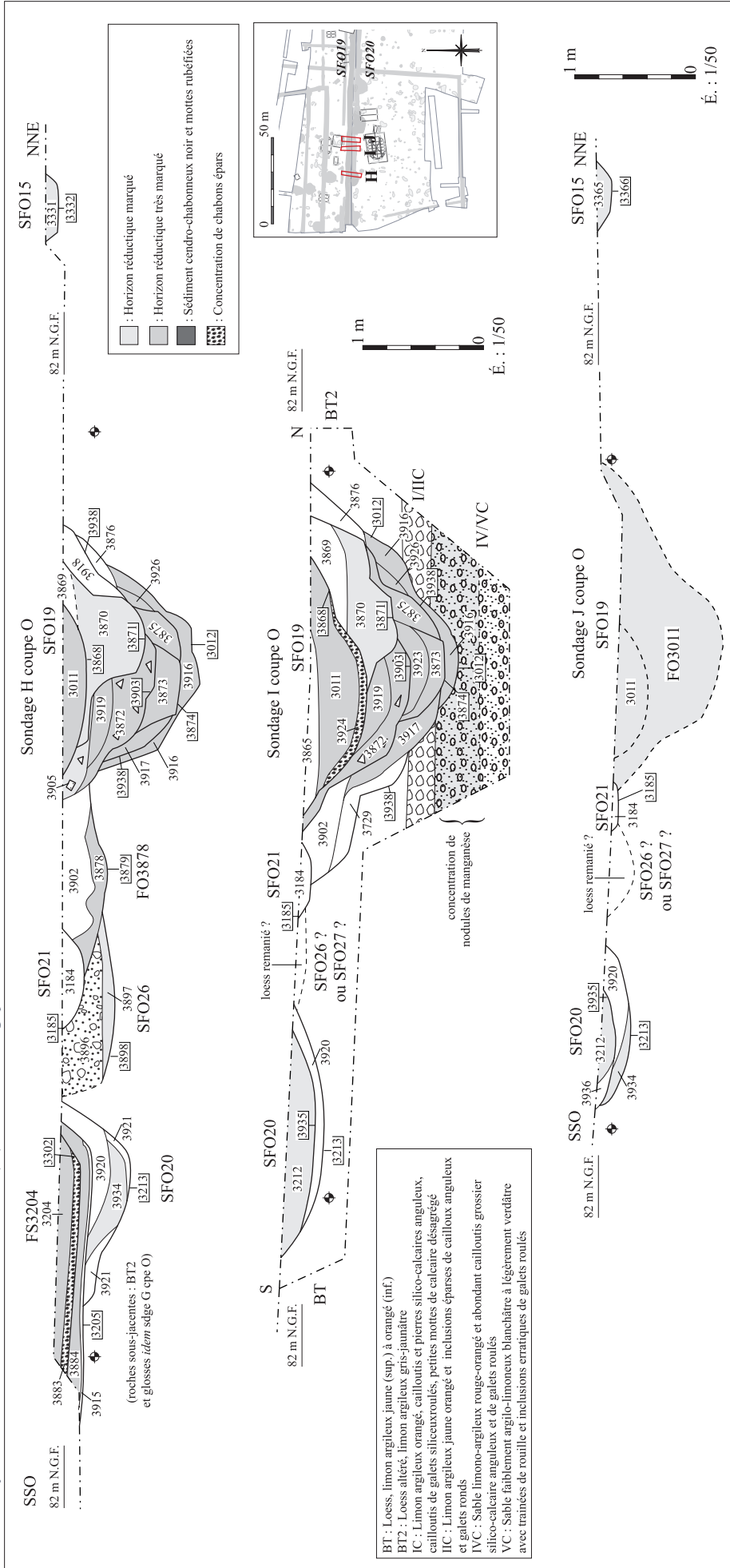
Pl. 26 : Réseaux fossoyés antiques, SFO15, 16, 17, 18, 19, 20, 21, 26

ZAC de la Pyramide Lot C1, "Le Bras de Fer", Lieusaint (77), fouille archéologique 15-07/04-10-2002



Pl. 27 : Système fossoyé central antique, sondages C, F, G.

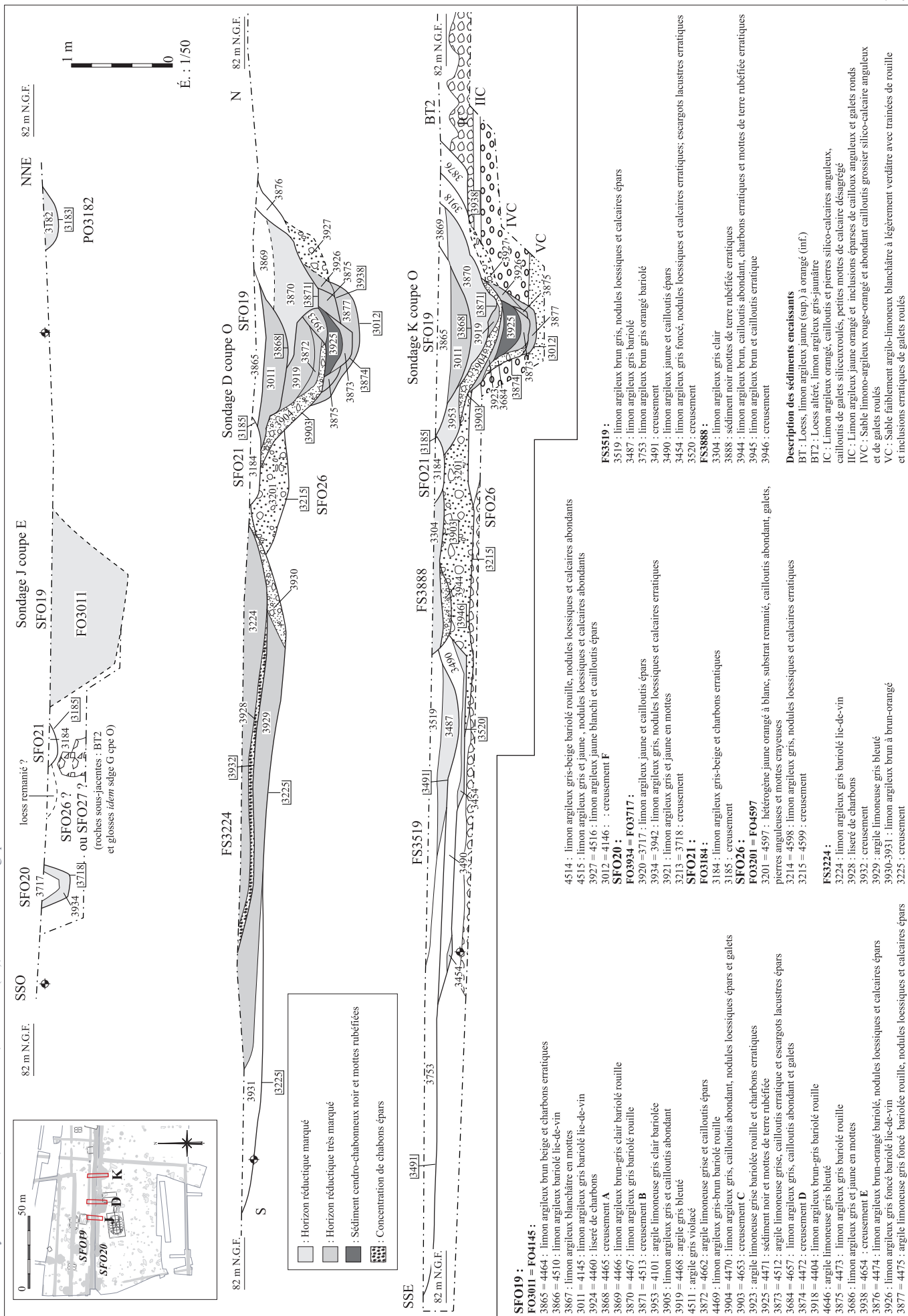
ZAC de la Pyramide Lot C1, "Le Bras de Fer", Lieusaint (77), fouille archéologique 15-07/04-10-2002



- SFO15 :**
 F03331 : limon argileux gris
 3332 : creusement
F033365 :
 3365 : limon argileux gris, nodules de terre rubéfiées erratiques
F03366 :
 3366 : creusement
SFO19 :
 3865 = 4464 : limon argileux brun beige et charbons erratiques
 3866 = 4510 : limon argileux bariolé lie-de-vin
 3867 : limon argileux blanchâtre en mottes
 3901 = 4145 : limon argileux gris bariolé lie-de-vin
 3924 = 4460 : liseré de charbons
 3868 = 4465 : creusement A
 3869 = 4466 : limon argileux brun-gris clair bariolé rouille
 3870 = 4467 : limon argileux gris bariolé rouille
 3871 = 4513 : creusement B
 3953 = 4101 : argile limoneuse gris clair bariolé
 3905 : limon argileux gris et cailloutis abondant
 3919 = 4468 : argile gris bleuté
 4511 : argile gris violacé
 3872 = 4662 : argile limoneuse grise et cailloutis épars
- SFO20 :**
 4469 : limon argileux gris-brun bariolé rouille
 3904 = 4470 : limon argileux gris, cailloutis abondant, nodules loessiques épars et galets
 3903 = 4653 : creusement C
 3923 : argile limoneuse grise bariolé rouille et charbons erratiques
 3925 = 4471 : sédiment noir et mottes de terre rubéfiée
 3873 = 4512 : argile limoneuse grise, cailloutis erratique et escargots lacustres épars
 3684 = 4657 : limon argileux gris, cailloutis abondant et galets
 3874 = 4472 : creusement D
 3918 = 4404 : limon argileux brun-gris bariolé rouille
 4646 : argile limoneuse gris bleuté
 3875 = 4473 : limon argileux gris bariolé rouille
 3686 : limon argileux gris et jaune en mottes
 3938 = 4654 : creusement E
 3876 = 4474 : limon argileux brun-orangé bariolé, nodules loessiques et calcaires épars
 3926 : limon argileux gris foncé bariolé lie-de-vin
 3877 = 4475 : argile limoneuse gris foncé bariolé rouille, nodules loessiques et calcaires épars
 4514 : limon argileux gris-beige bariolé rouille, nodules loessiques et calcaires abondants
 4515 : limon argileux gris et jaune, nodules loessiques et calcaires abondants
 3927 = 4516 : limon argileux jaune blanchi et cailloutis épars
 3012 = 4146 : ; creusement F
- SFO21 :**
 3185 : loess remanié ?
 3184 : loess remanié ?
 3188 : limon argileux gris-beige et charbons erratiques
 3185 : creusement
SFO26 :
 3897 : limon argileux gris et jaune, nodules loessiques et calcaires abondants
SFO27 :
 3920 : limon argileux gris et jaune en mottes
SFO3011 :
 3011 : limon argileux gris et cailloutis épars
SFO3878 :
 3878 : limon argileux gris et jaune, nodules loessiques et calcaires abondants
SFO3898 :
 3898 : limon argileux brun-orangé bariolé, nodules loessiques et calcaires épars
 3883 : liseré de charbons
 3302 : creusement
 3884 : argile limoneuse gris bleuté
 3915 : argile limoneuse gris brun et cailloutis épars
 3205 : creusement
- SFO3872 :**
 3872 : limon argileux gris bariolé, 3956 : limon argileux brun gris orangé bariolé 3935 : creusement
F03934 = F03717 :
 3920 = 3717 : limon argileux jaune et cailloutis épars
 3934 = 3942 : limon argileux gris, nodules loessiques et calcaires erratiques
 3921 : limon argileux gris et jaune en mottes
 3213 = 3718 : creusement
SFO3884 :
 3184 : limon argileux gris-beige et charbons erratiques
SFO3896 :
 3896 : hétérogène jaune orangé, substrat remanié, cailloutis abondant, galets, pierres anguleuses
 3897 : limon argileux gris, nodules loessiques et calcaires erratiques
 3898 : creusement
F03204 :
 3204 : limon argileux gris bariolé lie-de-vin
 3883 : liseré de charbons
 3302 : creusement
 3884 : argile limoneuse gris bleuté
 3915 : argile limoneuse gris brun et cailloutis épars
 3205 : creusement
- BT :** Loess, limon argileux jaune (sup.) à orangé (inf.)
BT2 : Loess altéré, limon argileux gris-jaunâtre
IC : Limon argileux orangé, cailloutis et pierres silico-calcaires anguleux, cailloutis de galets siliceux/roulés, petites mottes de calcaire désagrégé
IIC : Limon argileux jaune orangé et inclusions éparses de cailloux anguleux et galets ronds
IVC : Sable limono-argileux rouge-orangé et abondant cailloutis grossier silico-calcaire anguleux et de galets roulés
VC : Sable faiblement argilo-limoneux blanchâtre à légèrement verdâtre avec traînées de rouille et inclusions erratiques de galets roulés
- FS3204 :**
 3204 : limon argileux brun-beige et charbons erratiques
FS3883 :
 3883 : liseré de charbons
FS3302 :
 3302 : creusement
FS3884 :
 3884 : argile limoneuse gris bleuté
FS3915 :
 3915 : argile limoneuse gris brun et cailloutis épars
FS3205 :
 3205 : creusement

Pl. 28 : Système fossoyé central antique, sondages H, I, J

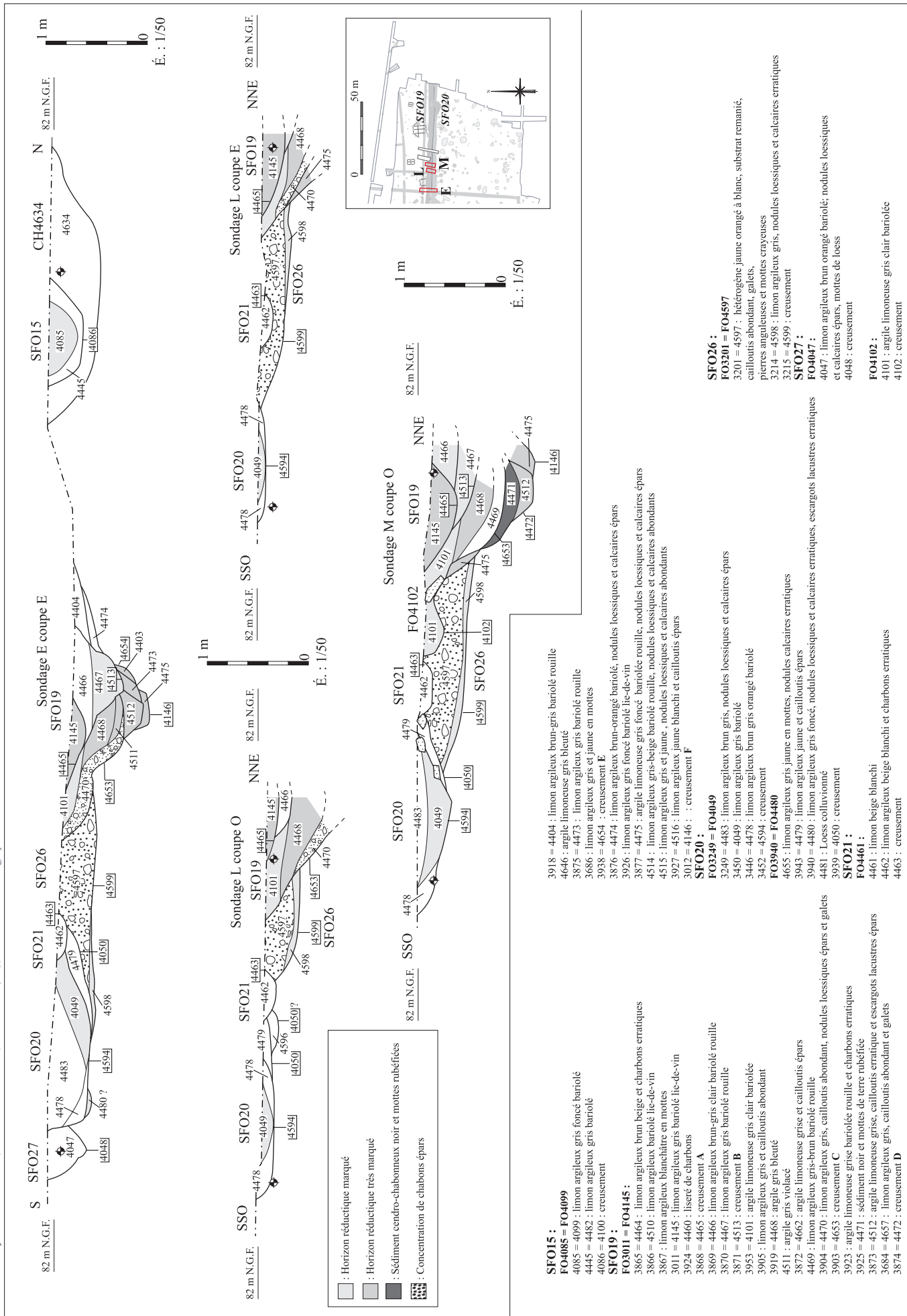
ZAC de la Pyramide Lot C1, "Le Bras de Fer", Lieusaint (77), fouille archéologique 15-07/04-10-2002



- SFO19 :**
FO3011 = FO4145 :
 3865 = 4464 : limon argileux brun beige et charbons erratiques
 3866 = 4510 : limon argileux bariolé lie-de-vin
 3867 : limon argileux blanchâtre en mottes
 3011 = 4145 : limon argileux gris bariolé lie-de-vin
 3924 = 4460 : liseré de charbons
 3868 = 4465 : creusement **A**
 3869 = 4466 : limon argileux brun-gris clair bariolé rouille
 3870 = 4512 : limon argileux gris bariolé rouille
 3953 = 4101 : argile limoneuse gris clair bariolée
 3905 : limon argileux gris et cailloutis abondant
 3919 = 4468 : argile gris bleuté
 4511 : argile gris violacé
 4469 : limon argileux gris-brun bariolé rouille
 3904 = 4470 : limon argileux gris, cailloutis abondant, nodules loessiques épars et galets
 3903 = 4653 : creusement **C**
 3923 : argile limoneuse grise bariolée rouille et charbons erratiques
 3925 = 4471 : sédiment noir et mottes de terre rubéfiée
 3873 = 4512 : argile limoneuse grise, cailloutis erratique et escargots lacustres épars
 3684 = 4657 : limon argileux gris, cailloutis abondant et galets
 3874 = 4472 : creusement **D**
 3918 = 4404 : limon argileux brun-gris bariolé rouille
 4646 : argile limoneuse gris bleuté
 3875 = 4473 : limon argileux gris bariolé rouille
 3686 : limon argileux gris et jaune en mottes
 3938 = 4654 : creusement **E**
 3876 = 4474 : limon argileux brun-orangé bariolé, nodules loessiques et calcaires épars
 3926 : limon argileux gris foncé bariolé lie-de-vin
 3877 = 4475 : argile limoneuse gris foncé bariolée rouille, nodules loessiques et calcaires épars
 3225 : creusement
- 4514 : limon argileux gris-beige bariolé rouille, nodules loessiques et calcaires abondants
 4515 : limon argileux gris et jaune, nodules loessiques et calcaires abondants
 3927 = 4516 : limon argileux jaune blanchi et cailloutis épars
 3012 = 4146 : creusement **F**
SFO20 :
FO3934 = FO3717 :
 3920 = 3717 : limon argileux jaune et cailloutis épars
 3934 = 3942 : limon argileux gris, nodules loessiques et calcaires erratiques
 3921 : limon argileux gris et jaune en mottes
 3213 = 3718 : creusement
SFO21 :
FO3184 :
 3184 : limon argileux gris-beige et charbons erratiques
 3185 : creusement
SFO26 :
FO3201 = FO4597
 3201 = 4597 : hétérogène jaune orangé à blanc, substrat remanié, cailloutis abondant, galets, pierres anguleuses et mottes crayeuses
 3214 = 4598 : limon argileux gris, nodules loessiques et calcaires erratiques
 3215 = 4599 : creusement
- FS3224 :**
 3224 : limon argileux gris bariolé lie-de-vin
 3928 : liseré de charbons
 3932 : creusement
 3929 : argile limoneuse gris bleuté
 3930-3931 : limon argileux brun à brun-orangé
 3225 : creusement
- FS3519 :**
 3519 : limon argileux brun gris, nodules loessiques et calcaires épars
 3487 : limon argileux gris bariolé
 3753 : limon argileux brun gris orangé bariolé
 3491 : creusement
 3490 : limon argileux jaune et cailloutis épars
 3454 : limon argileux gris foncé, nodules loessiques et calcaires erratiques; escargots lacustres erratiques
 3520 : creusement
FS3888 :
 3304 : limon argileux gris clair
 3888 : sédiment noir mottes de terre rubéfiée erratiques
 3944 : limon argileux brun, cailloutis abondant, charbons erratiques et mottes de terre rubéfiée erratiques
 3945 : limon argileux brun et cailloutis erratique
 3946 : creusement
- Description des sédiments encaissants**
 BT : Loess, limon argileux jaune (sup.) à orangé (inf.)
 BT2 : Loess altéré, limon argileux gris-jaunâtre
 IC : Limon argileux orangé, cailloutis et pierres silico-calcaires anguleux, cailloutis de galets siliceuxroulés, petites mottes de calcaire désagrégé
 IIC : Limon argileux jaune orangé et inclusions éparées de cailloux anguleux et galets ronds et de galets roulés
 IVC : Sable limono-argileux rouge-orangé et abondant cailloutis grossier silico-calcaire anguleux et de galets roulés
 VC : Sable faiblement argilo-limoneux blanchâtre à légèrement verdâtre avec traînées de rouille et inclusions erratiques de galets roulés

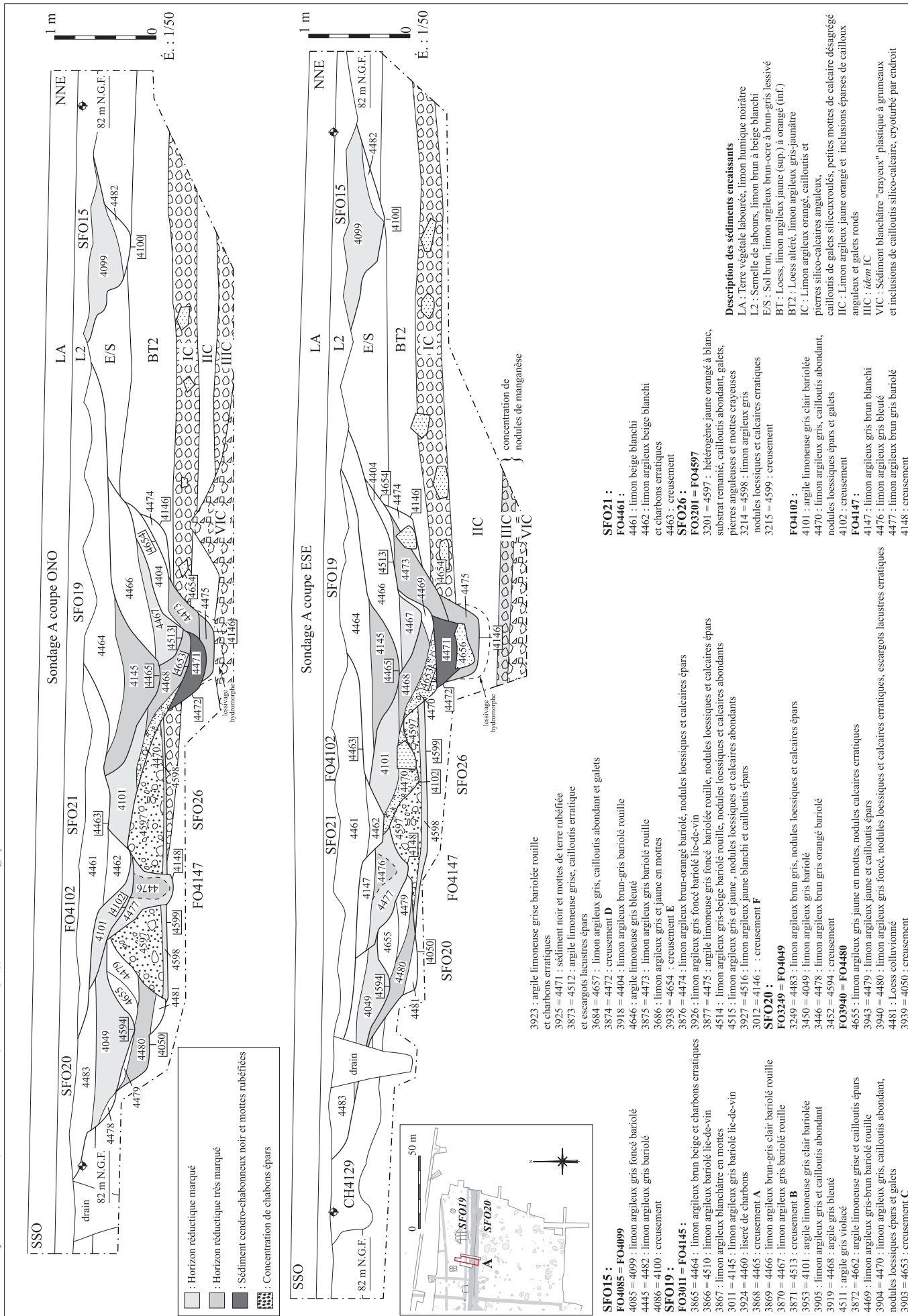
Pl. 29 : Système fossoyé central antique, sondages J, D, K

ZAC de la Pyramide Lot C1, "Le Bras de Fer", Lieusaint (77), fouille archéologique 15-07/04-10-2002



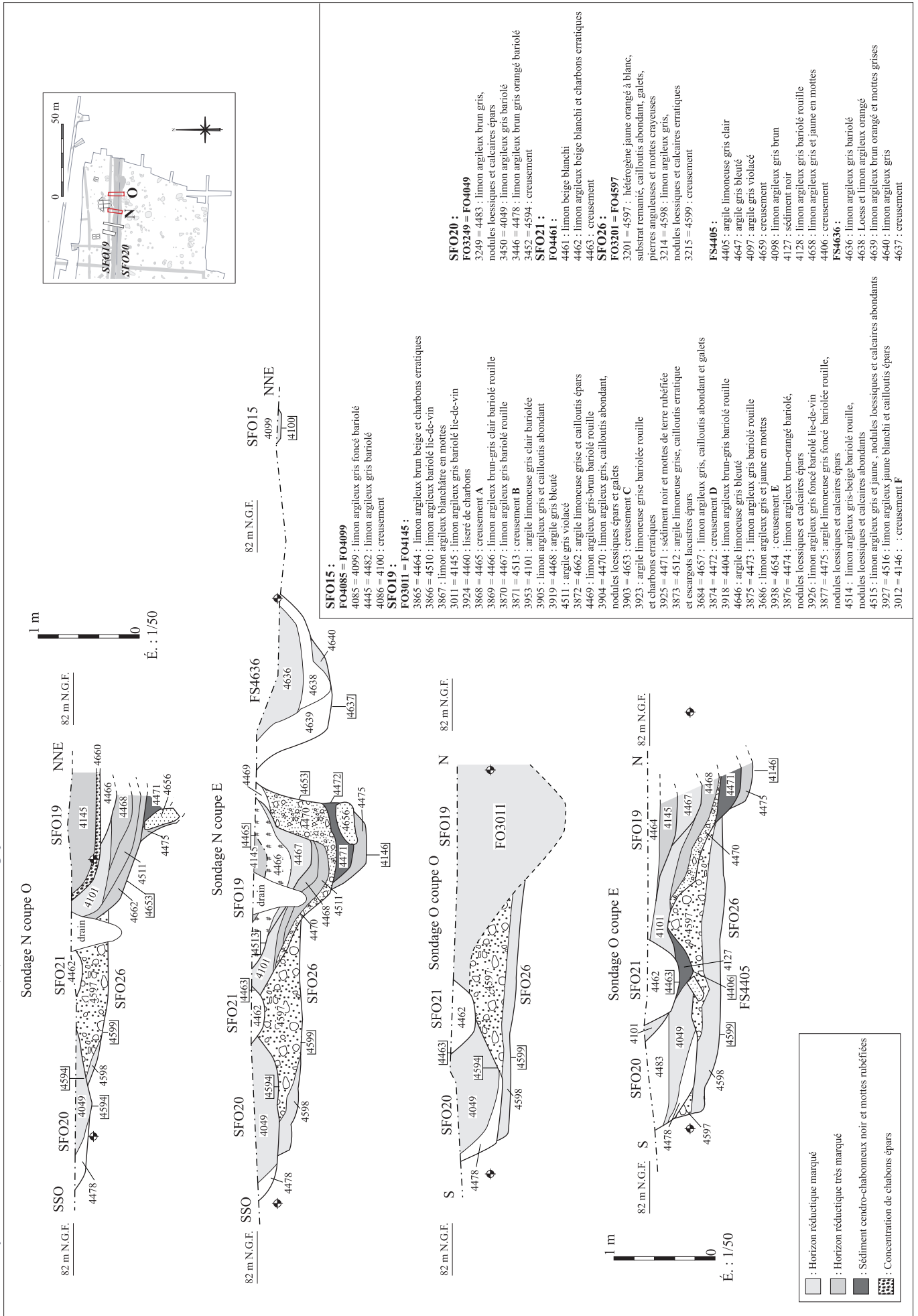
Pl. 30 : Système fossoyé central antique, sondages E, L, M

ZAC de la Pyramide Lot C1, "Le Bras de Fer", Lieusaint (77), fouille archéologique 15-07/04-10-2002



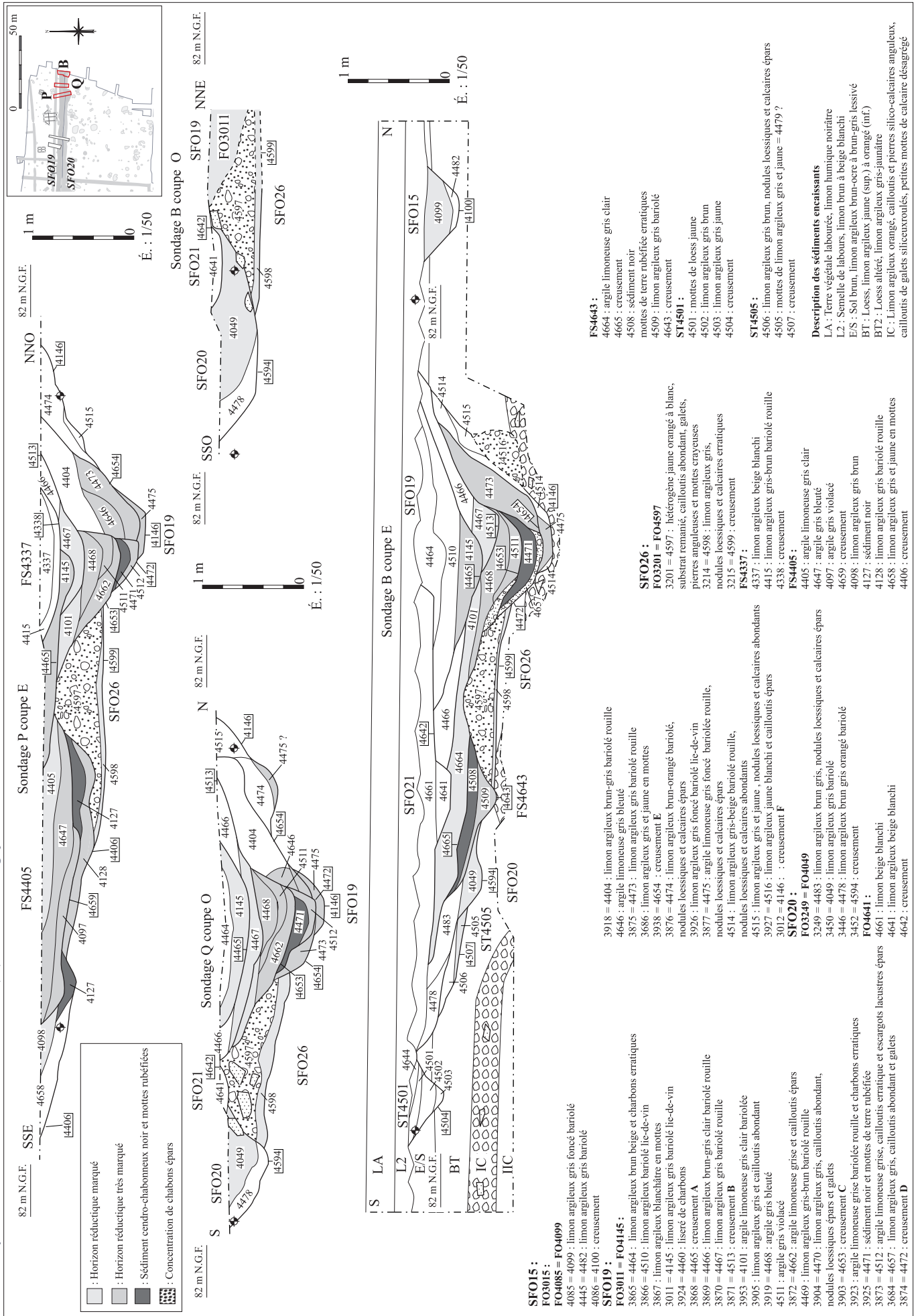
Pl. 31 : Système fossoyé central antique, sondage A

ZAC de la Pyramide Lot C1, "Le Bras de Fer", Lieusaint (77), fouille archéologique 15-07/04-10-2002

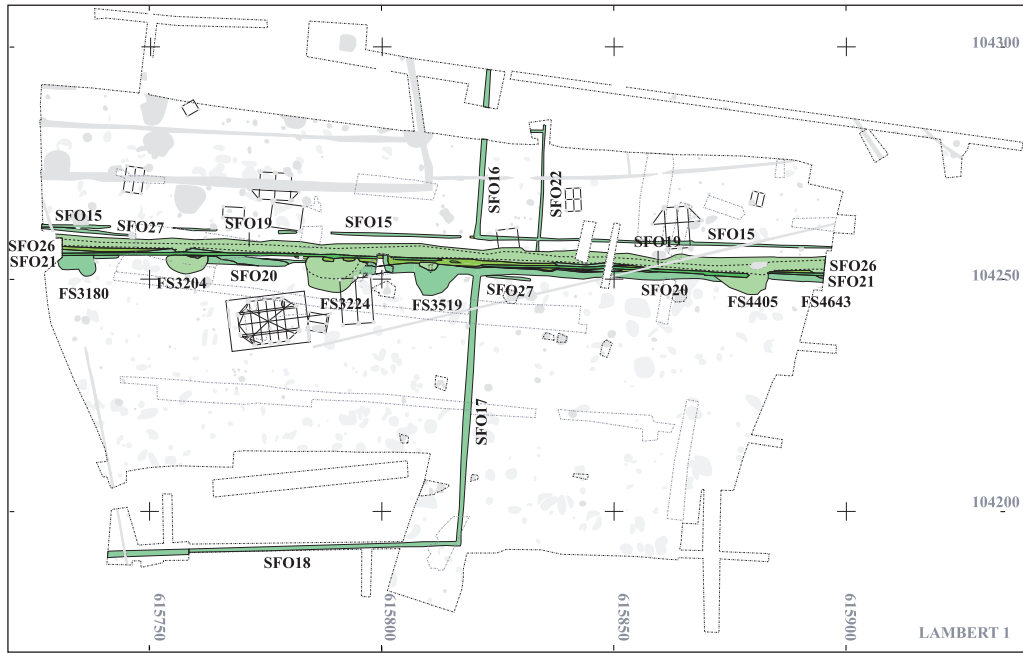


Pl. 32 : Système fossoyé central antique, sondages N, O

ZAC de la Pyramide Lot C1, "Le Bras de Fer", Lieusaint (77), fouille archéologique 15-07/04-10-2002

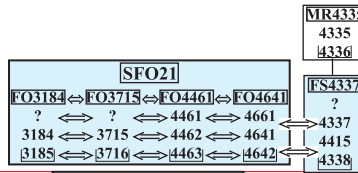


Pl. 33 : Système fossoyé central antique, sondages P, Q, B

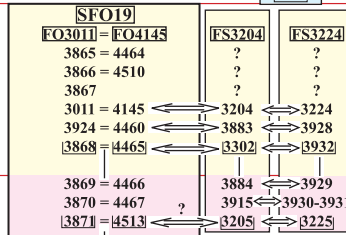


PHASES

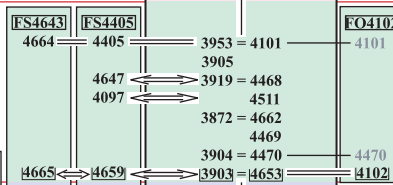
1



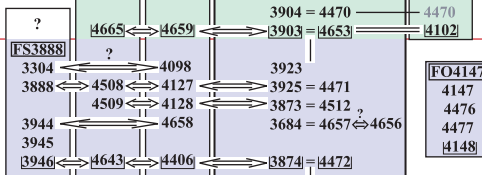
2



3

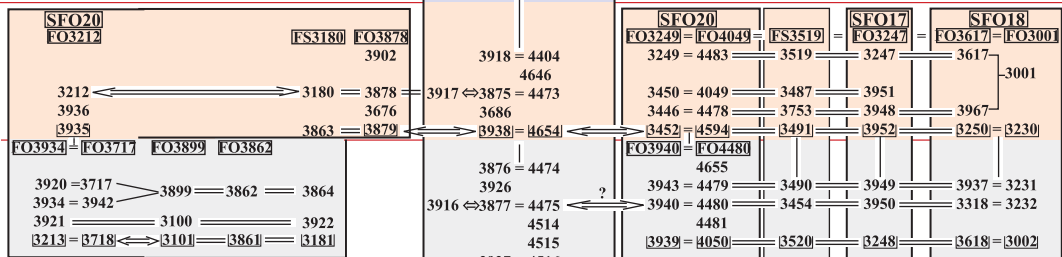


4

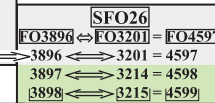


5

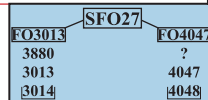
SFO15/16/22



7



8

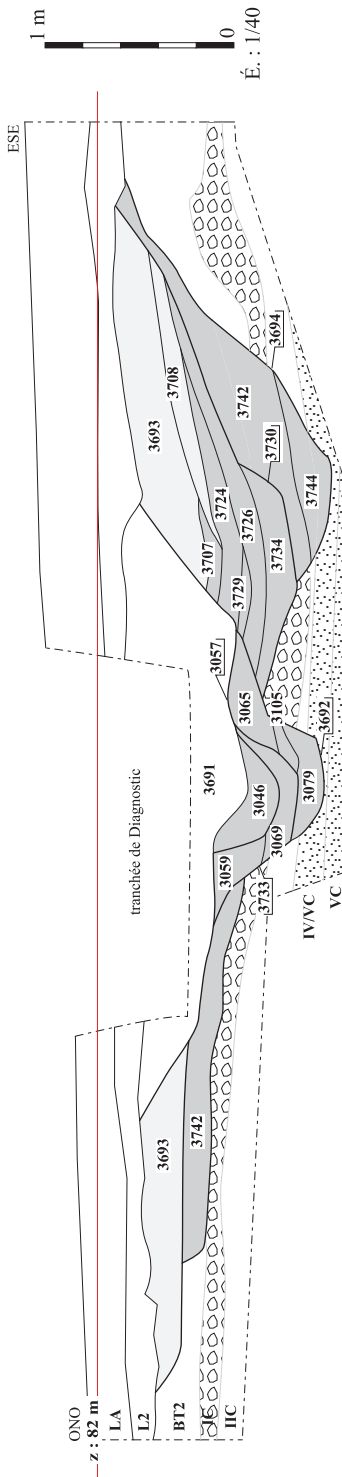
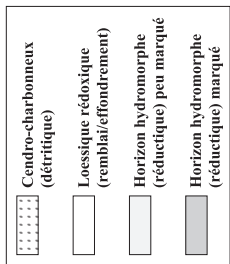
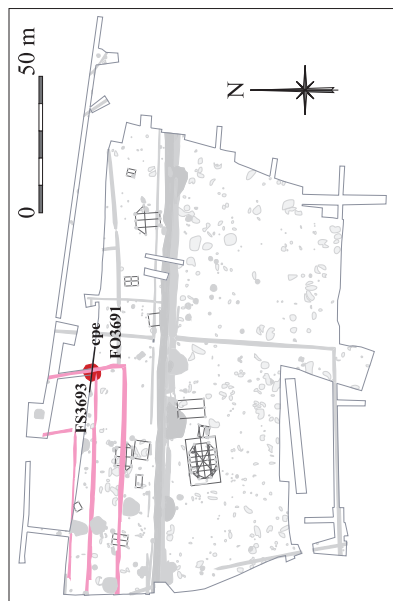


9

ZAC de la Pyramide Lot C1, "Le Bras de Fer", Lieusaint (77), fouille archéologique 15-07/04-10-2002

Pl. 34 : Diagramme stratigraphique des réseaux fossés antiques. Intervalle chronologique La Tène C2 ?/Bas Empire.

ZAC de la Pyramide Lot C1, "Le Bras de Fer", Lieusaint (77), fouille archéologique 15-07/04-10-2002

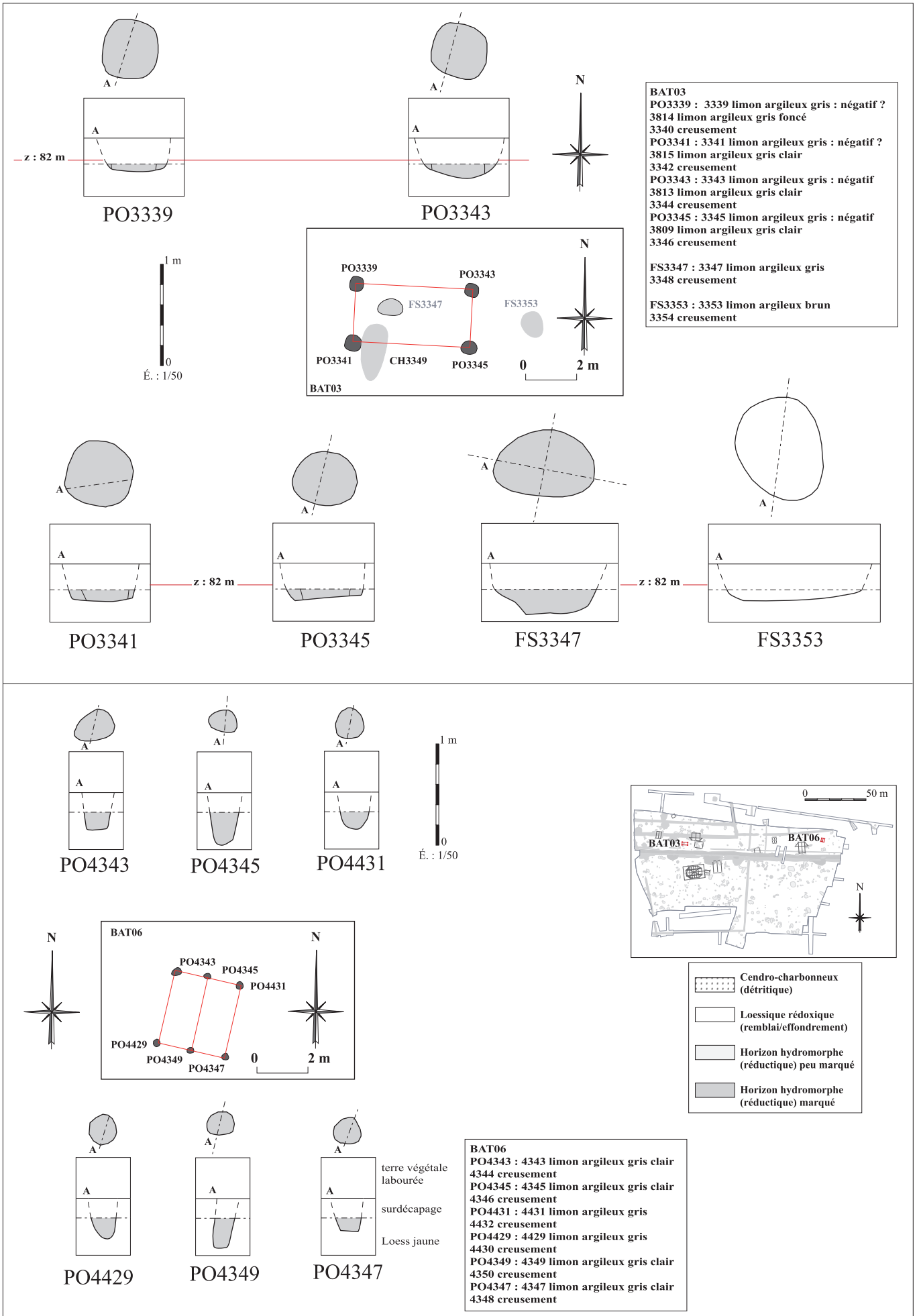


- | | |
|---|--|
| FO3691 | FS3693 |
| Phase 1 | Phase 1 |
| 3691 : limon argileux brun | 3693 : limon argileux gris brun et pierres éparées |
| 3046 : limon argileux gris | 3707 : limon argileux brun gris et nodules calcaires |
| 3057 : creusement | 3708 : limon argileux brun gris bariolé |
| Phase 2 | 3724 : limon argileux gris et pierres erratiques |
| 3059 : limon argileux gris et pierres éparées | 3729 : limon argileux gris lessivé |
| 3069 : limon argileux gris | 3726 : limon argileux gris foncé et cailloux éparés |
| 3733 : creusement | 3734 : limon argileux gris |
| Phase 3 | 3730 : creusement |
| 3065 : limon argileux gris et pierres éparées | 3742 : limon argileux gris bariolé et litages de petites pierres |
| 3105 : limon argileux gris blanchi | 3744 : limon argileux gris |
| 3079 : limon argileux gris clair | 3694 : creusement |
| 3692 : creusement | |

Description des sédiments encaissants

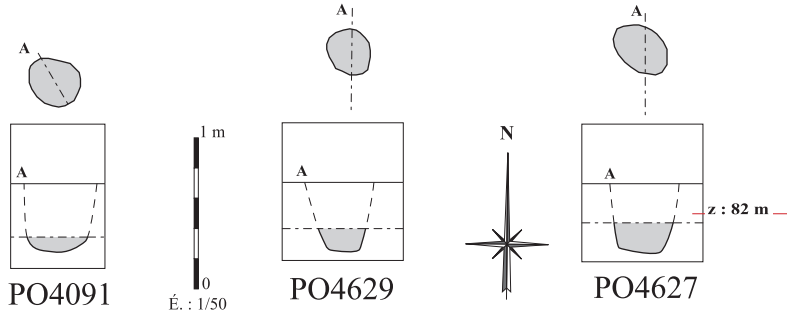
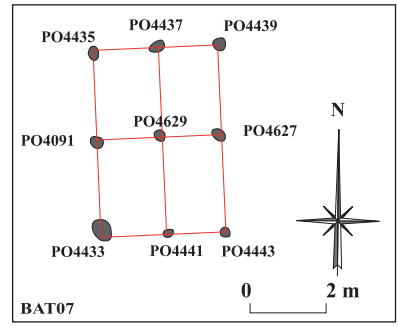
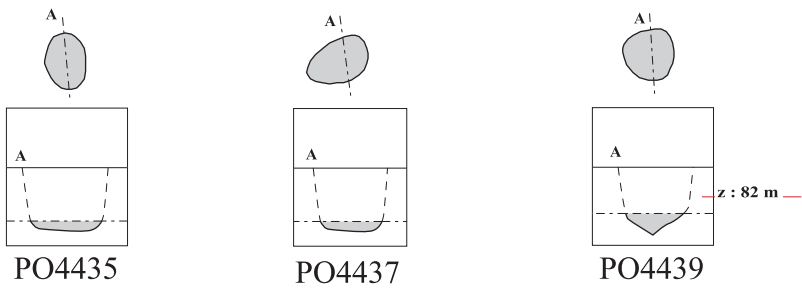
- LA : Terre végétale labourée, limon humique noirâtre
- L2 : Semelle de labours, limon brun à beige blanchi
- BT2 : Loess altéré, limon argileux gris-jaunâtre
- IC : Limon argileux orangé, cailloutis et pierres silico-calcaires anguleux, cailloutis de galets siliceux/roulés, petites mottes de calcaire désagrégé
- IIC : Limon argileux jaune orangé et inclusions éparées de cailloux anguleux et de galets ronds
- IVC : Sable limono-argileux rouge-orangé et abondant cailloutis grossier silico-calcaire anguleux et de galets roulés
- VC : Sable faiblement argilo-limoneux blanchâtre à légèrement verdâtre avec traînées de rouille et inclusions erratiques de galets roulés

Pl. 35 : FS3693, moderne à antérieure, FO3691, moderne à contemporain

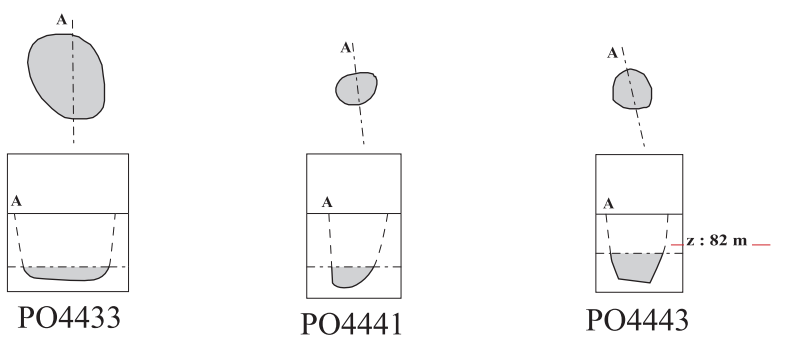


ZAC de la Pyramide Lot C1, "Le Bras de Fer", Lieusaint (77), fouille archéologique 15-07/04-10-2002

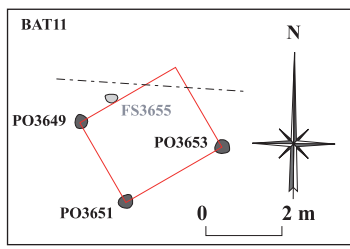
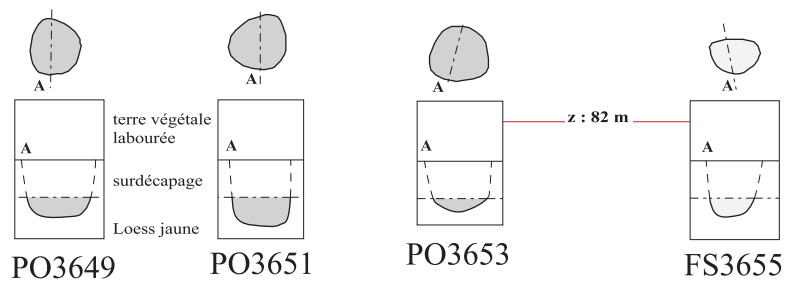
Pl. 36 : Bâtiments 03 et 06, non-datés



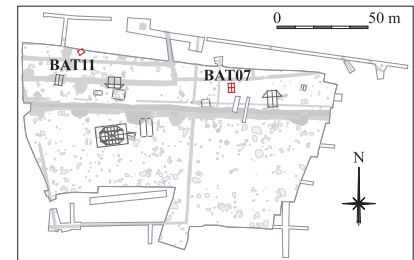
- BAT07**
 PO4435 : 4435 limon argileux gris
 4436 creusement
 PO4091 : 4091 limon argileux gris
 4092 creusement
 PO4433 : 4433 limon argileux gris
 4434 creusement
 PO4437 : 4437 limon argileux gris
 4438 creusement
 PO4629 : 4629 limon argileux gris
 4630 creusement
 PO4441 : 4441 limon argileux gris
 4442 creusement
 PO4439 : 4439 limon argileux gris
 4430 creusement
 PO4627 : 4627 limon argileux gris
 4628 creusement
 PO4443 : 4443 limon argileux gris
 4444 creusement



- Cendro-charbonneux (détritique)
- Loessique rédoxique (remblai/effondrement)
- Horizon hydromorphe (réductique) peu marqué
- Horizon hydromorphe (réductique) marqué



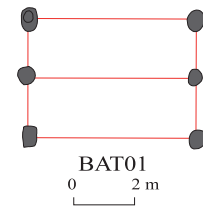
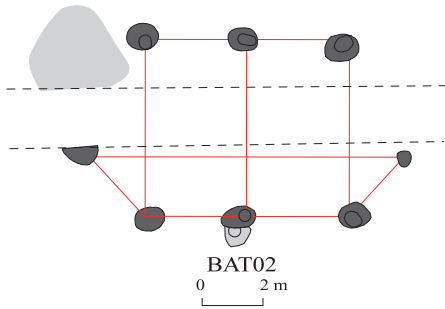
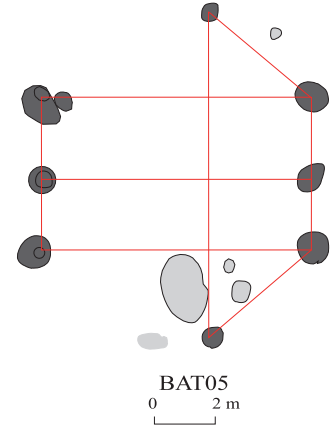
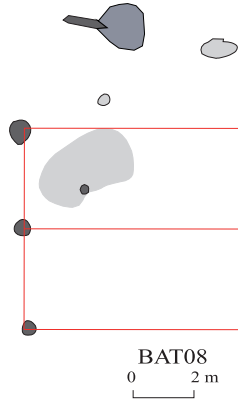
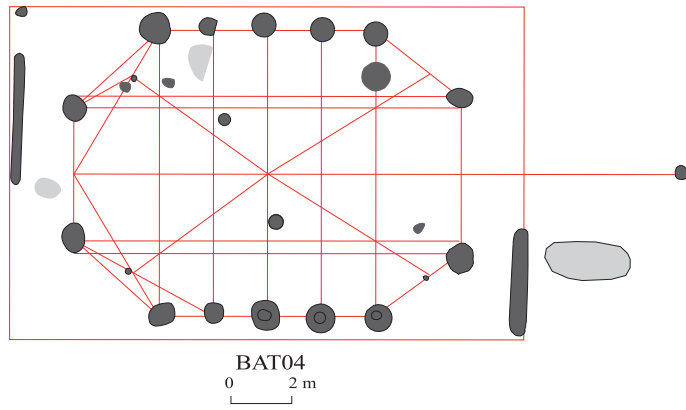
- BAT 11**
 PO3649 : 3649 limon argileux gris
 3650 : creusement
 PO3651 : 3651 limon argileux gris
 3652 creusement
 PO3653 : 3653 limon argileux gris
 3654 creusement
 FS3655 : 3655 limon argileux gris beige
 3656 creusement



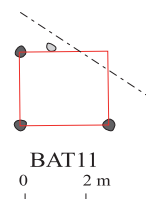
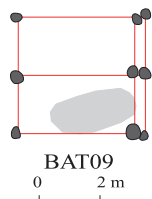
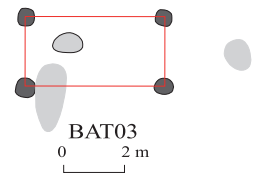
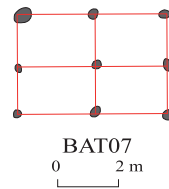
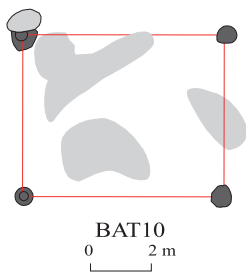
ZAC de la Pyramide Lot C1, "Le Bras de Fer", Lieusaint (77), fouille archéologique 15-07/04-10-2002

Pl. 37 : Bâtiments 07 et 11, non-datés

ZAC de la Pyramide Lot C1, "Le Bras de Fer", Lieusaint (77), fouille archéologique 15-07/04-10-2002



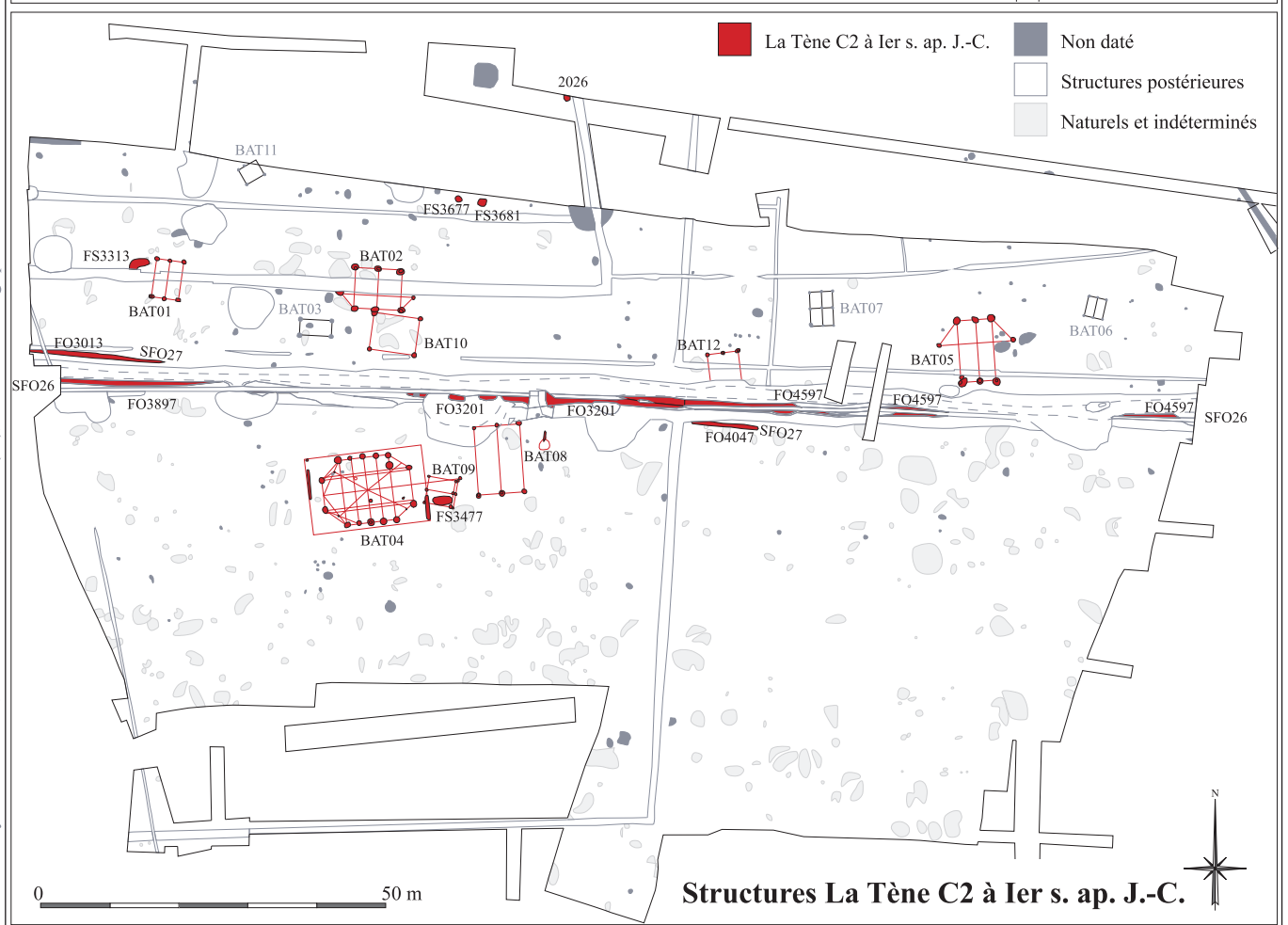
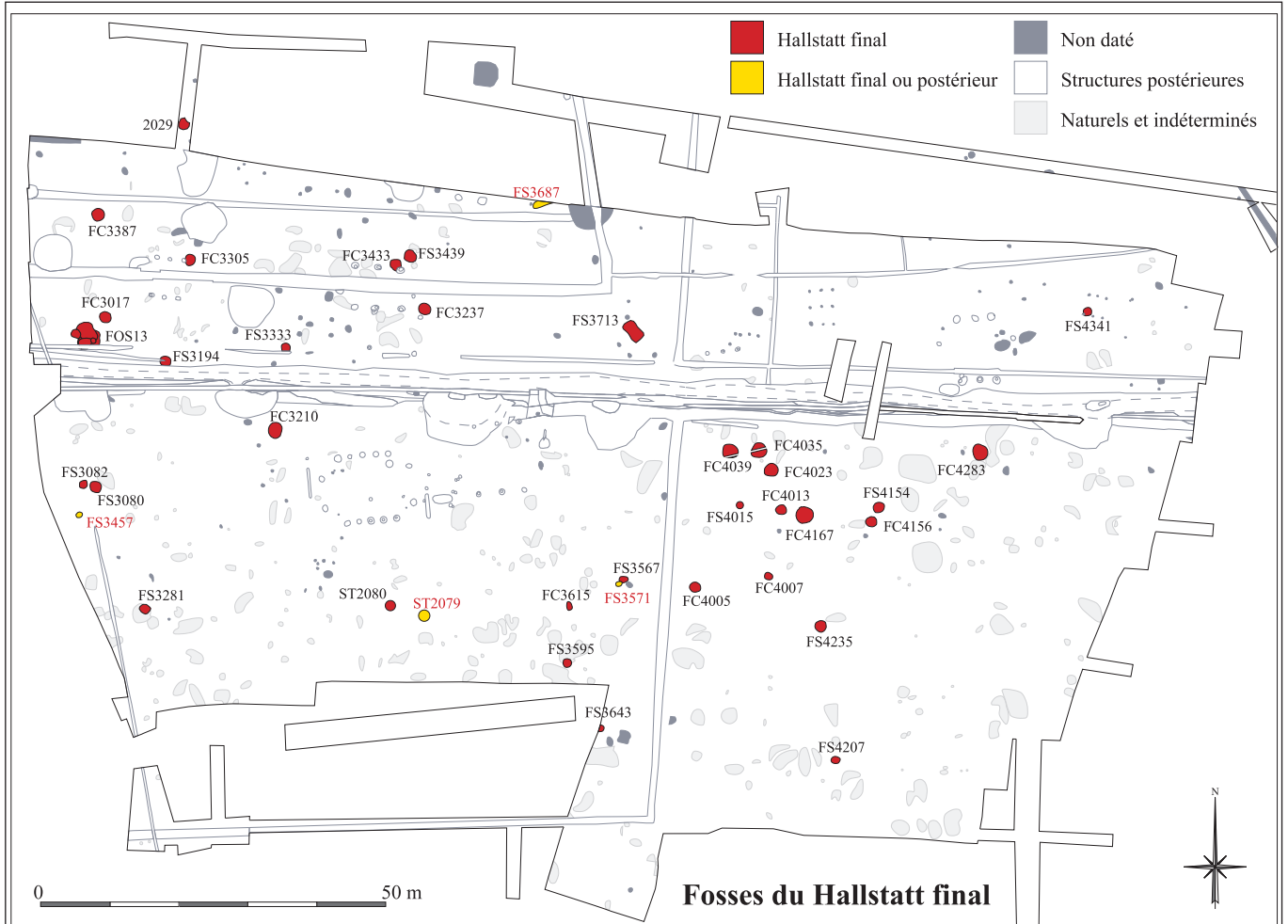
intervalle La Tène C2/1ère moitié Ier s. ap. J.-C.



Antérieur au Ier s. ap. J.-C.

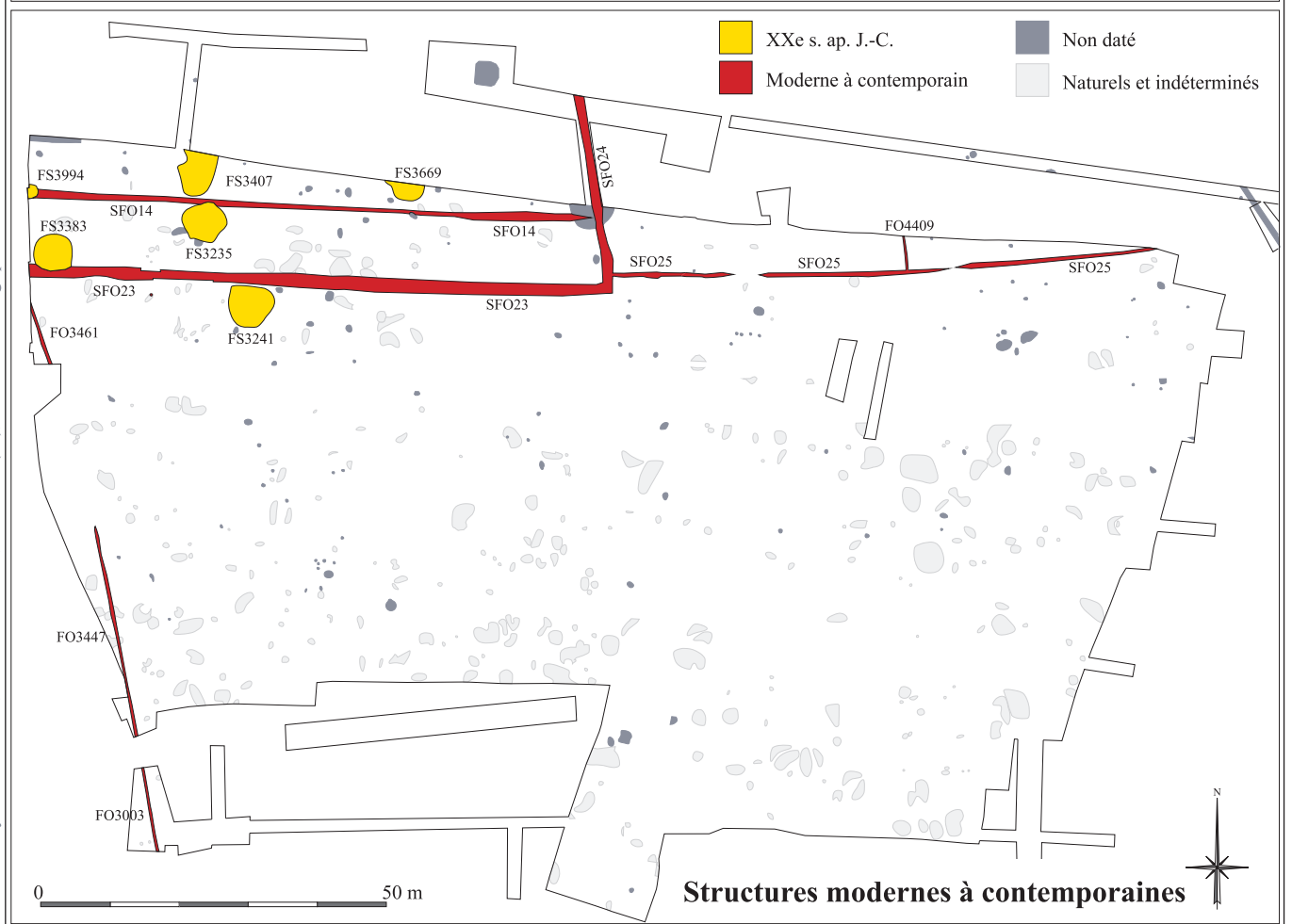
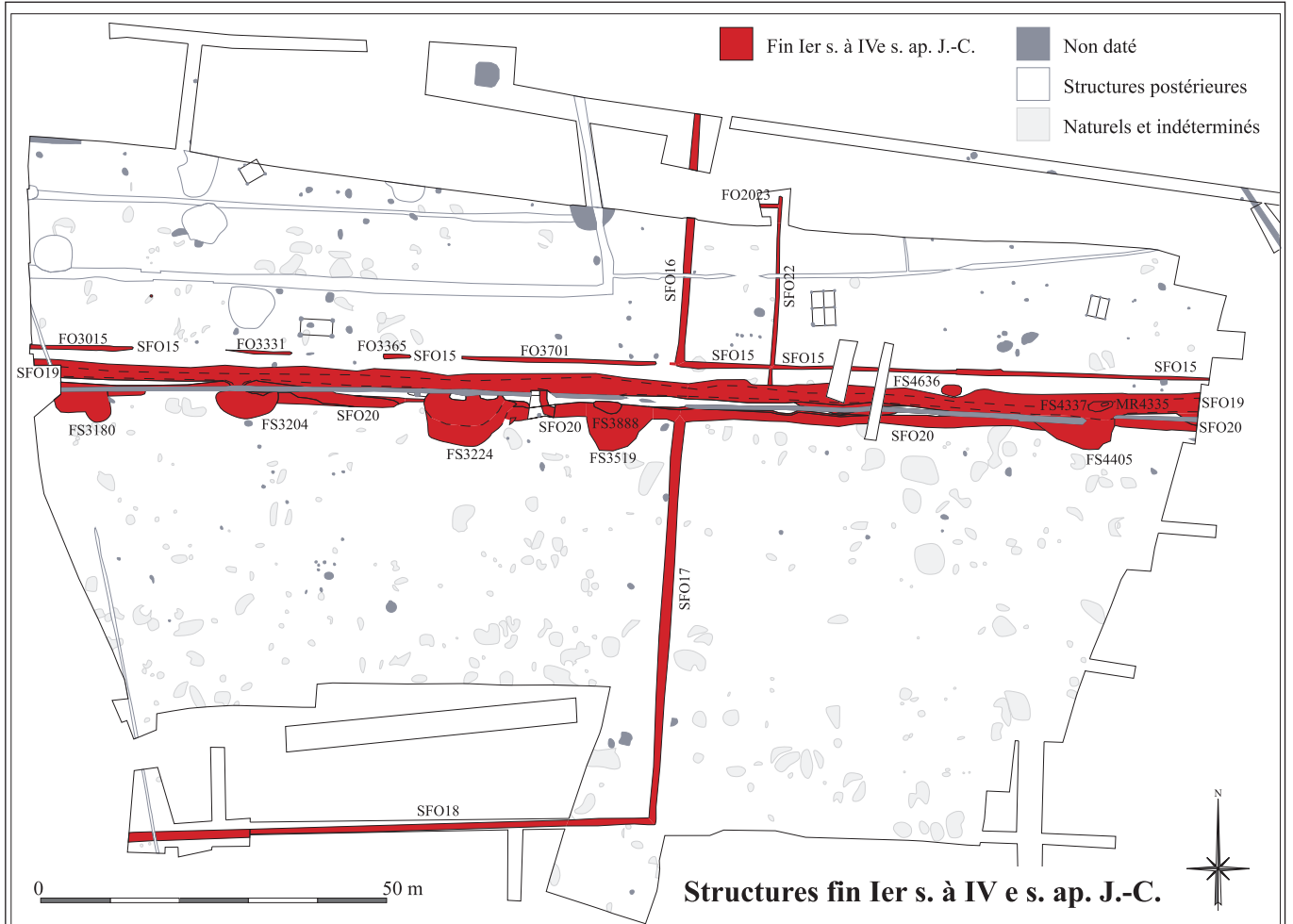
Non-datés

Pl. 38 : Bâtiments sur poteaux plantés du Lot C1



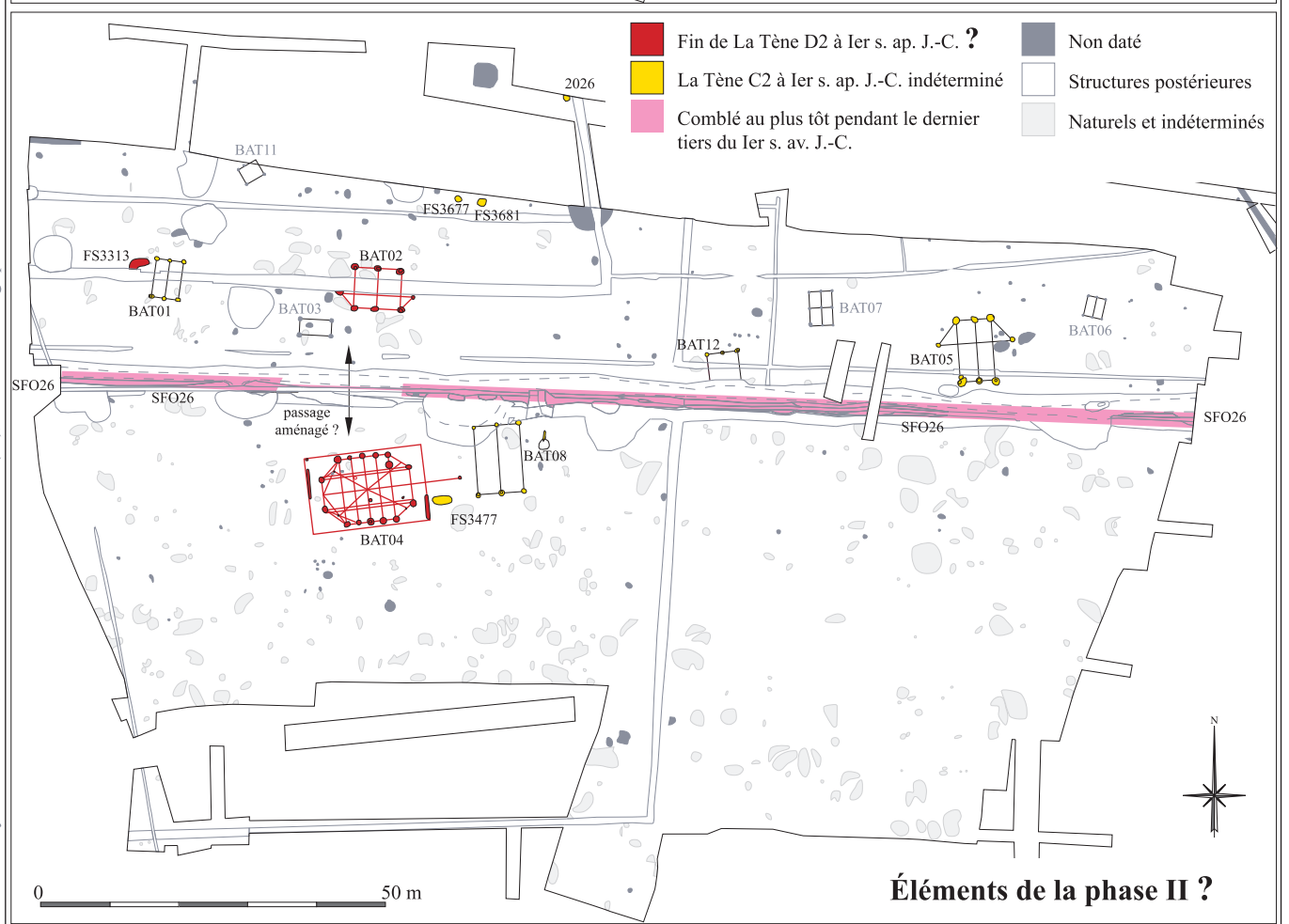
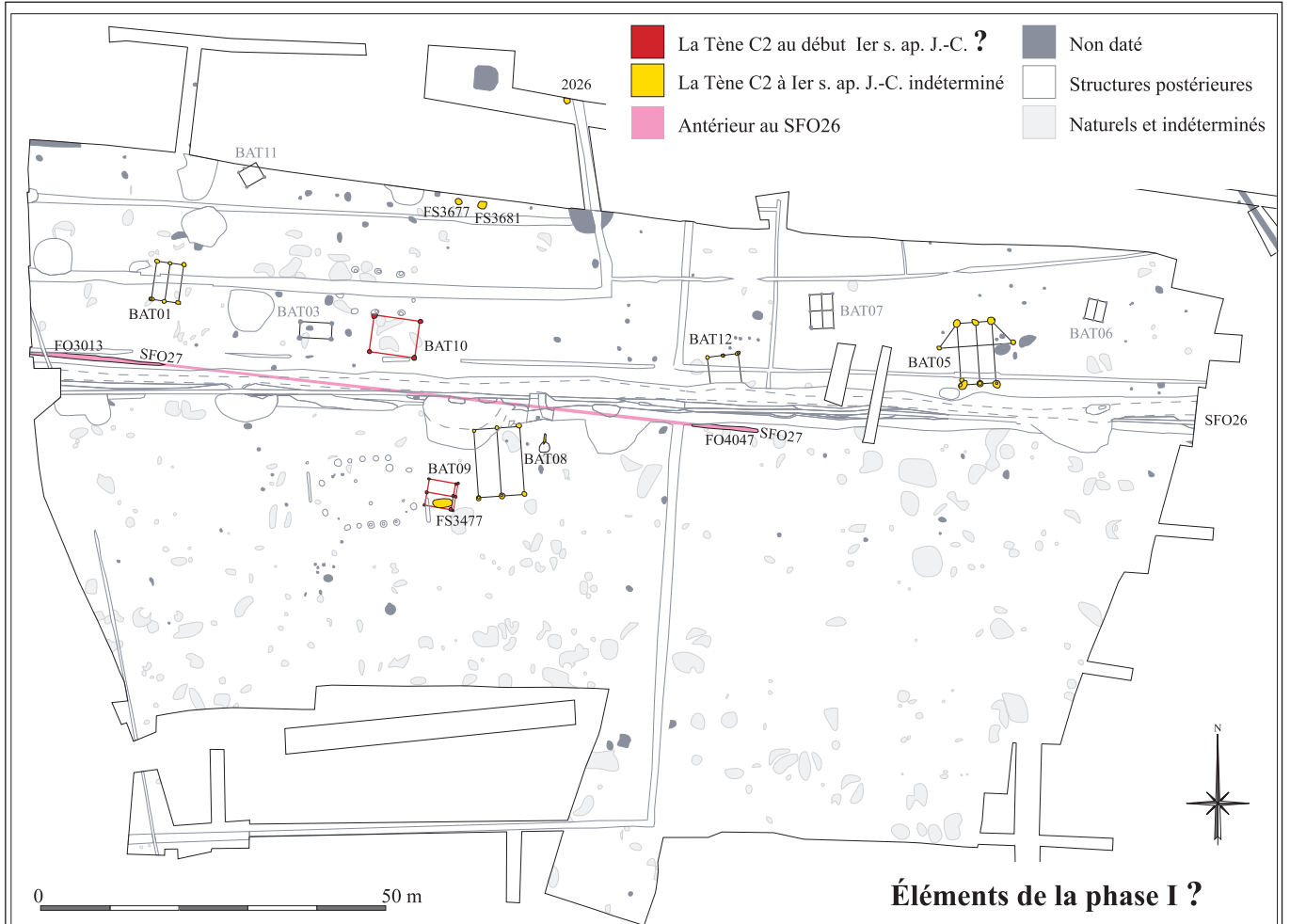
ZAC de la Pyramide Lot C1, "Le Bras de Fer", Lieusaint (77), fouille archéologique 15-07/04-10-2002

Pl. 39 : Phasages, Hallstatt final et La Tène C2 à 1er s. ap. J.-C.



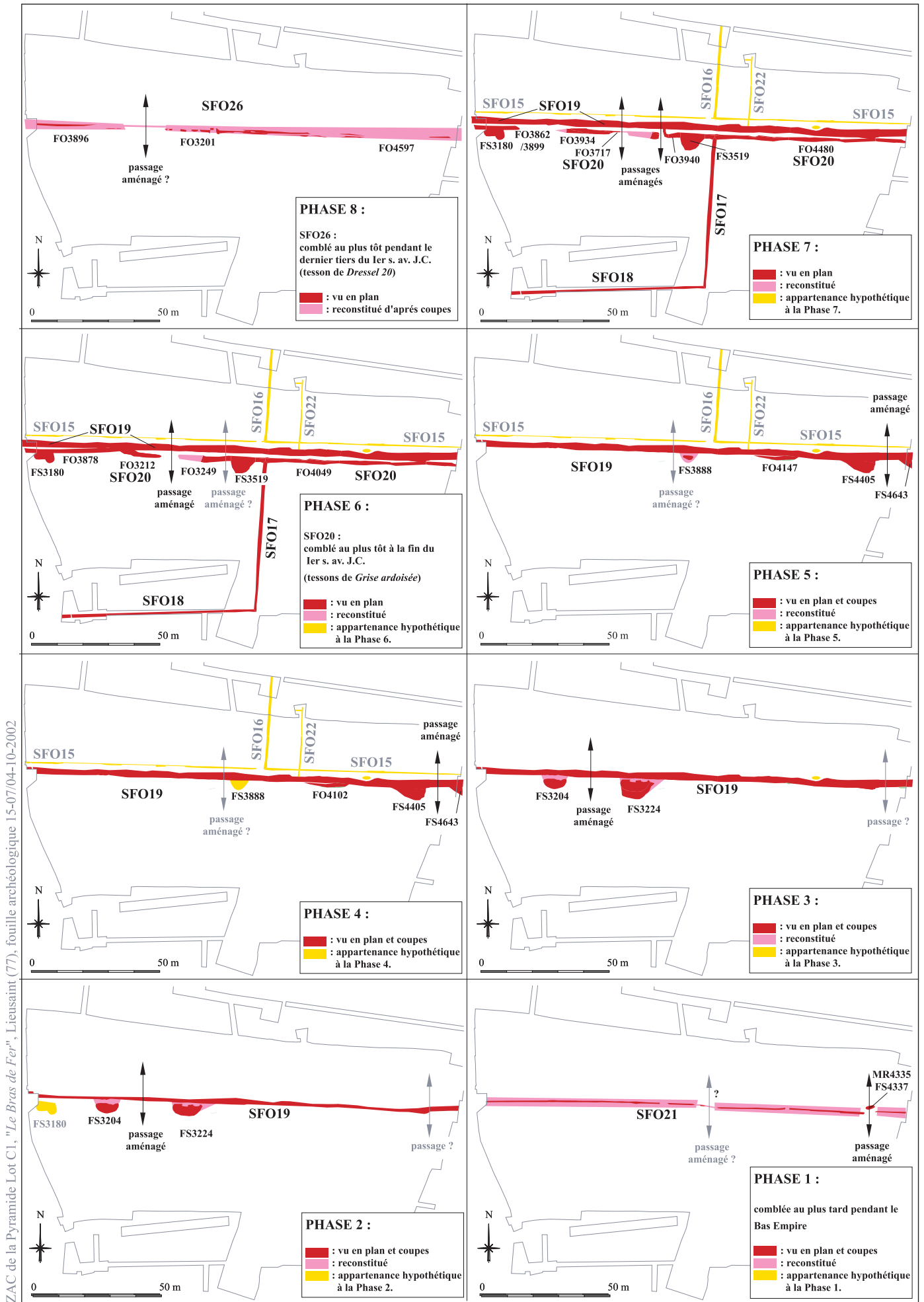
ZAC de la Pyramide Lot C1, "Le Bras de Fer", Lieusaint (77), fouille archéologique 15-07/04-10-2002

Pl. 40 : Phasages, fin 1er s./4Ve s. ap. J.-C. et moderne à contemporain



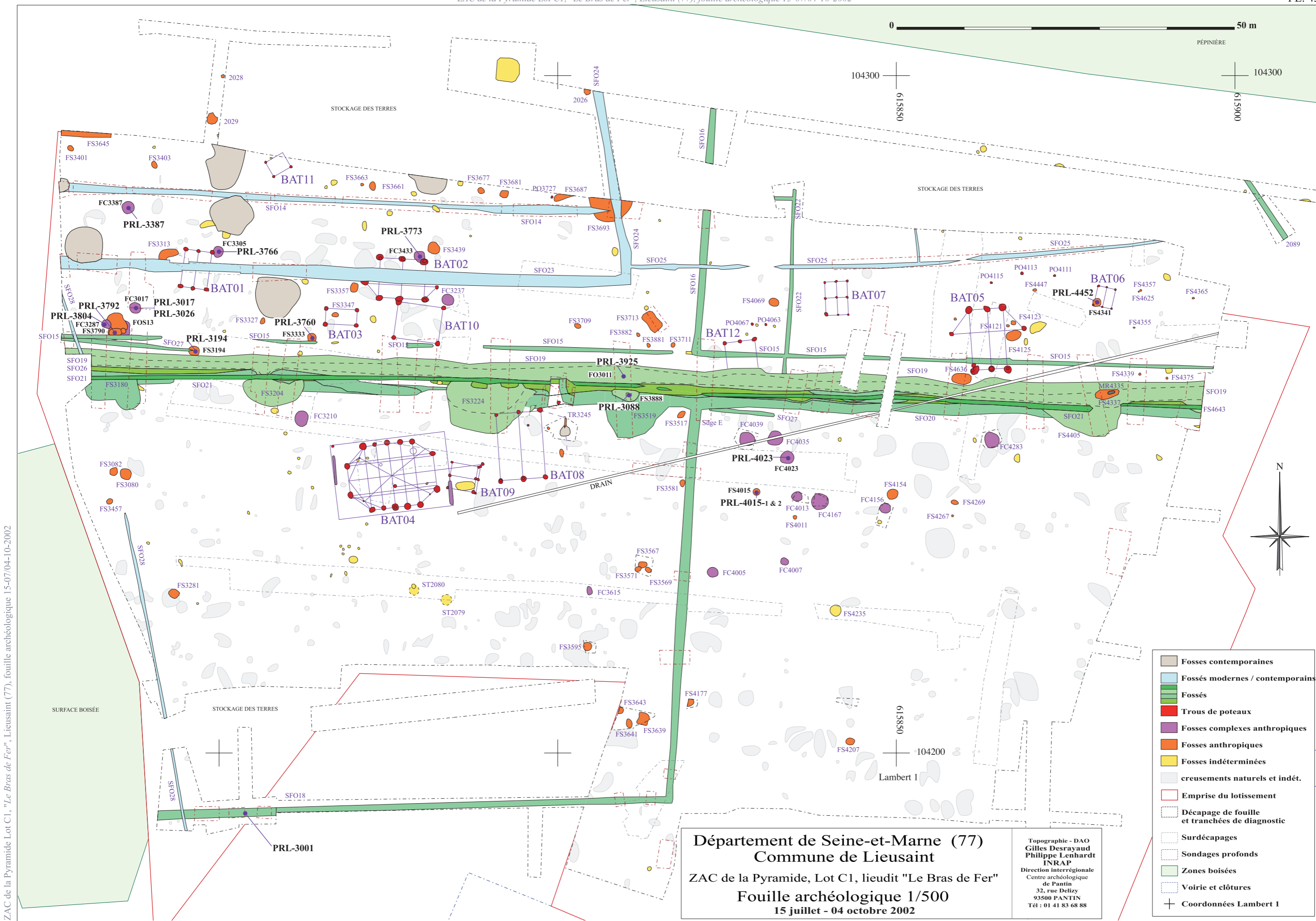
ZAC de la Pyramide Lot C1, "Le Bras de Fer", Lieusaint (77), fouille archéologique 15-07/04-10-2002

Pl. 41 : Hypothèse de répartition en 2 phases pour la période La Tène C2 à 1er s. ap. J.-C.



ZAC de la Pyramide Lot C1, "Le Bras de Fer", Lieusaint (77), fouille archéologique 15-07/04-10-2002

Pl. 42 : Phasage des réseaux fossoyés antiques ; intervalle chronologique La Tène D2/Bas Empire.



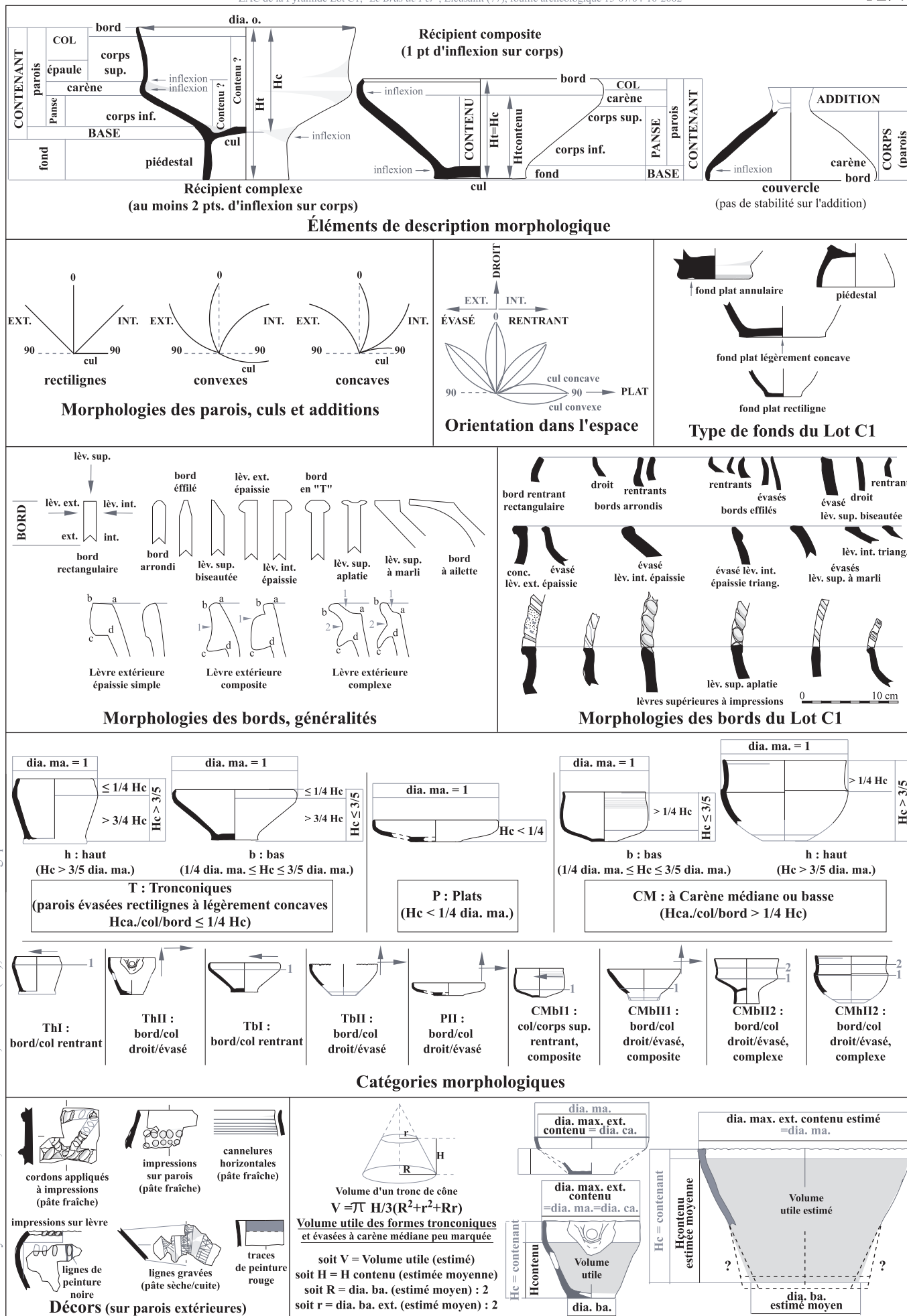
Département de Seine-et-Marne (77)
 Commune de Lieusaint
 ZAC de la Pyramide, Lot C1, lieudit "Le Bras de Fer"
 Fouille archéologique 1/500
 15 juillet - 04 octobre 2002

Topographie - DAO
 Gilles Desrayaud
 Philippe Lenhardt
 INRAP
 Direction interrégionale
 de Pantin
 32, rue Delizy
 93500 PANTIN
 Tél : 01 41 83 68 88

- Fosses contemporaines
- Fossés modernes / contemporains
- Fossés
- Trous de poteaux
- Fosses complexes anthropiques
- Fosses anthropiques
- Fosses indéterminées
- creusements naturels et indét.
- Emprise du lotissement
- Décapage de fouille et tranchées de diagnostic
- Surdécapages
- Sondages profonds
- Zones boisées
- Voirie et clôtures
- + Coordonnées Lambert 1

ZAC de la Pyramide Lot C1, "Le Bras de Fer", Lieusaint (77), fouille archéologique 15-07/04-10-2002

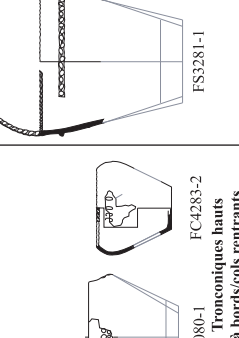
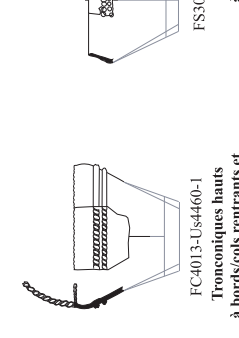
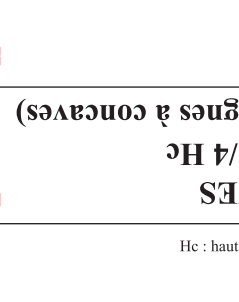




Pl. 43 : Plan de la Fouille archéologique du Lot C1 à 1/500 et emplacements des prélèvements



ZAC de la Pyramide Lot C1, "Le Bras de Fer", Lieusaint (77), fouille archéologique 15-07/04-10-2002

Pl. 44 : Critères méthodologiques de l'étude de la céramique Hallstatt final

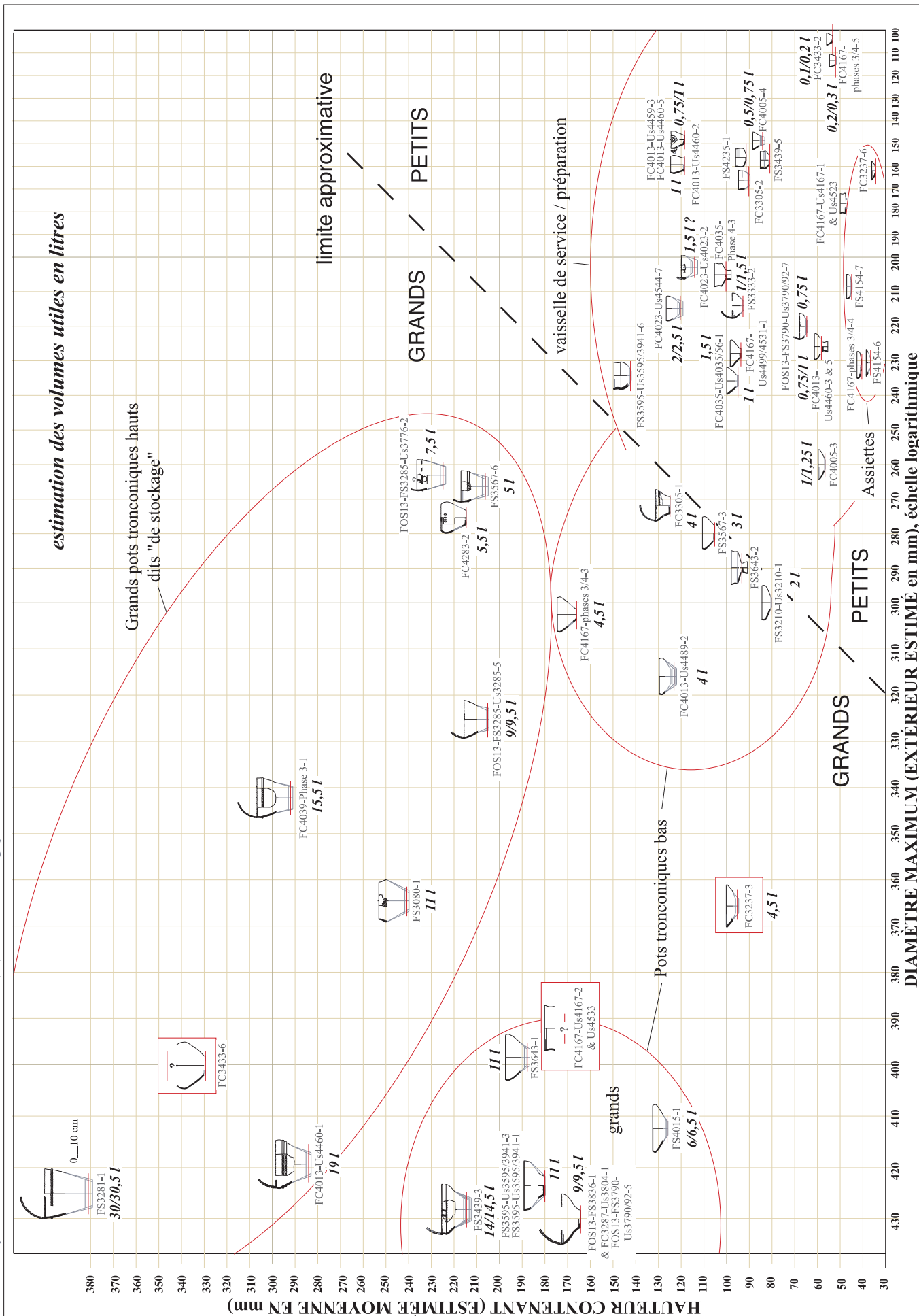
ZAC de la Pyramide Lot C1, "Le Bras de Fer", Lieusaint (77), fouille archéologique 15-07/04-10-2002

T TRONCONIQUES (Hcar./col/bord ≤ 1/4 Hc) parois de panse évasées rectilignes à concaves	h formes hautes (Hc > 3/5 Diam. max.)	ThI  <p>FC4013-U84460-1 Tronconiques hauts à bords/cols rentrants et impressions et cordons</p> <p>FC4013-U84460-2 Tronconiques hauts à bords/cols rentrants et impressions</p> <p>FC4013-U84460-5 Tronconiques hauts à bords/cols rentrants</p> <p>FC4013-U84460-6 Tronconiques hauts à bords/cols droits/évasés et impressions et cordons</p> <p>FC4039-Phase 3-1 Tronconiques hauts à bords/cols droits/évasés et impressions et cordons</p> <p>FS3285-U83776-2 Tronconiques hauts à bords/cols droits/évasés et impressions</p> <p>FS3281-1 Tronconiques hauts à bords/cols droits/évasés</p> <p>FC4013-U84459-3 FC4013-U84460-5 Tronconiques hauts à bords/cols droits/évasés</p>	ThII  <p>FOS13-FS3285-U83285-5 Tronconiques hauts à bords/cols droits/évasés et impressions</p> <p>FS3567-6 Tronconiques hauts à bords/cols droits/évasés et impressions et cordons</p>	b formes basses (Hc ≤ 3/5 Diam. max.)	TbI  <p>FS3439-3 Tronconiques bas à bords/cols droits/évasés et impressions et cordons</p> <p>FC4167-Phase 3/4-3 Tronconiques bas à bords/cols droits/évasés et impressions et cordons</p> <p>FC4167-U84499/4531-1 Tronconiques bas à bords/cols rentrants</p> <p>FS3643-1 Tronconiques bas à bords/cols droits/évasés et impressions et cordons</p> <p>FC4167-U84499/4531-1 Tronconiques bas à bords/cols rentrants</p> <p>FS3567-3 Tronconiques bas à bords/cols rentrants</p> <p>FC4013-U84489-2 Tronconiques bas à bords/cols rentrants</p> <p>FC4013-U84460-5 FC4013-U84460-3 Tronconiques bas à bords/cols rentrants</p> <p>FC4005-3 Tronconiques bas à bords/cols rentrants</p>
P PLATS (Hc < 1/4 Diam. max.)	PII  <p>FC4167-phases 3/4-4 FC4154-7 Plats à bords/cols droits/évasés</p> <p>FC4167-Phase 4-3 FC4167-U84167-1 & U84523 Plats à bords/cols droits/évasés</p>	CM CARENÉ ou basse formes basses (Hc ≤ 3/5 Diam. max.)	CMbII  <p>FS4235-1 (ST506 in : Boulenger, 2001) A carène basse, bas à corps sup./col rentrant composites</p>	CMbIII  <p>FC4167-Phase 3/4-5 A carène médiane bas à bords droits/évasés composites</p>	CMbII2  <p>FC4167-U84167-2 & U84533 A carène médiane haute à bords évasés complexes</p> <p>FC3305-2 FC3439-5 FS3595-U83595/3941-6 FS3595-3941-6 A carène médiane haute à bords évasés complexes</p>
COMPLEXES 1 2 COMPLEXES	COMPLEXES 1 2 COMPLEXES	COMPLEXES 1 2 COMPLEXES	COMPLEXES 1 2 COMPLEXES	COMPLEXES 1 2 COMPLEXES	COMPLEXES 1 2 COMPLEXES
I corps sup./bords/cols rentrants	II corps sup./bords/cols évasés/droits	I corps sup./bords/cols rentrants	I corps sup./bords/cols évasés/droits	I corps sup./bords/cols rentrants	I corps sup./bords/cols évasés/droits
divers FC4013-U84459-1 décor gravé	FOS13-FS3818-1 fonds plats	FOS3595-U83595/3941-9 fond annulaire	FOS13-FS3818-1 fonds plats	FOS3595-U83595/3941-2 FC4156-Phase 3-1 fonds plats	FOS3595-U83595/3941-7 couvertale

Hc : hauteur du contenant, depuis bord jusqu'à l'inflexion du fond ext. ; les proportions sont calculées par rapport à la Hc minimum estimée.
 Récipients complexes à carène médiane : 1 seul point d'inflexion pour le corps correspondant à la carène ;
 Récipients complexes à carène médiane : au moins 2 points d'inflexion pour le corps dont 1 correspondant à la carène

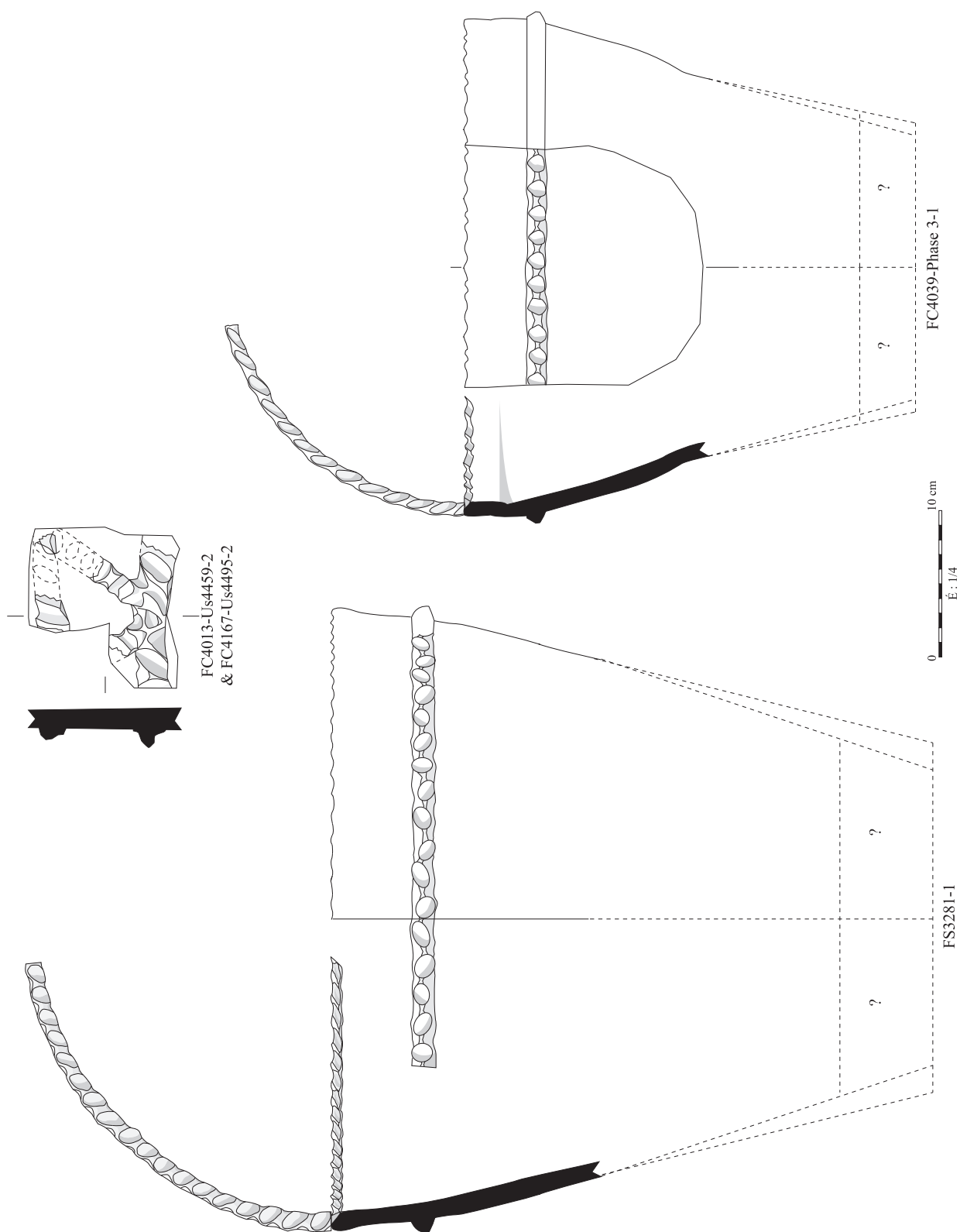
Pl. 45 : Classification typo-morphologique de la céramique Hallstatt final.

ZAC de la Pyramide Lot C1, "Le Bras de Fer", Lieusaint (77), fouille archéologique 15-07/04-10-2002



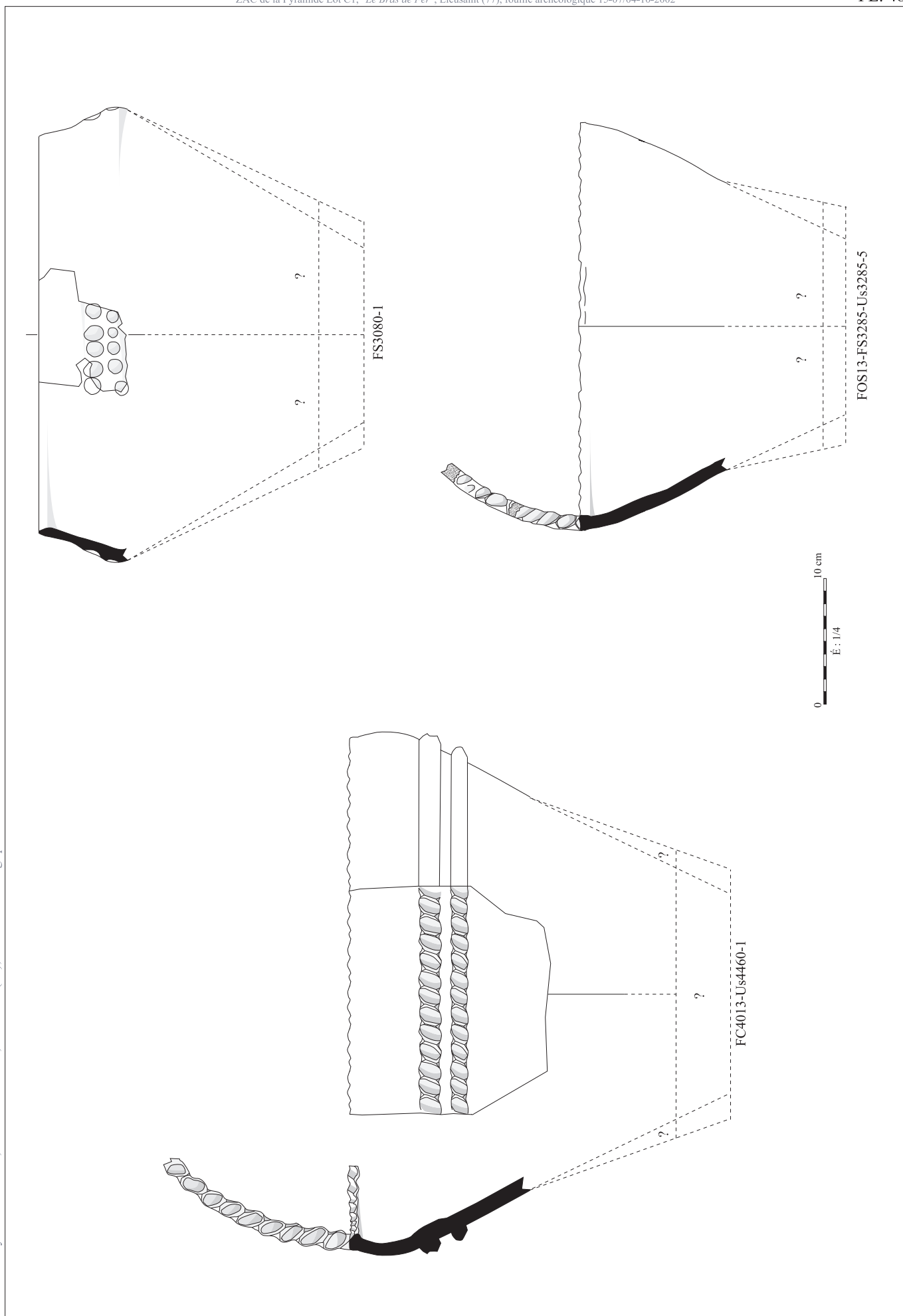
Pl. 46 : Classification morpho-métrique de la céramique Hallstatt final et estimation des volumes utiles

ZAC de la Pyramide Lot C1, "Le Bras de Fer", Lieusaint (77), fouille archéologique 15-07/04-10-2002

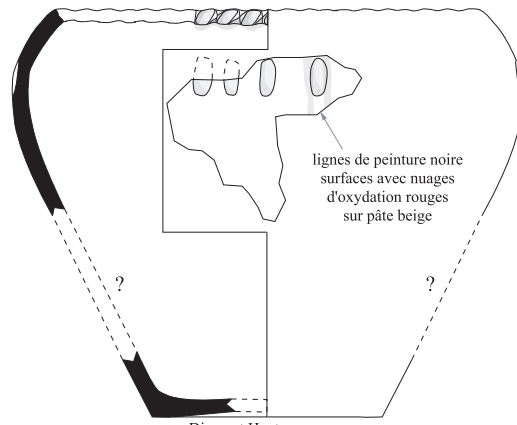
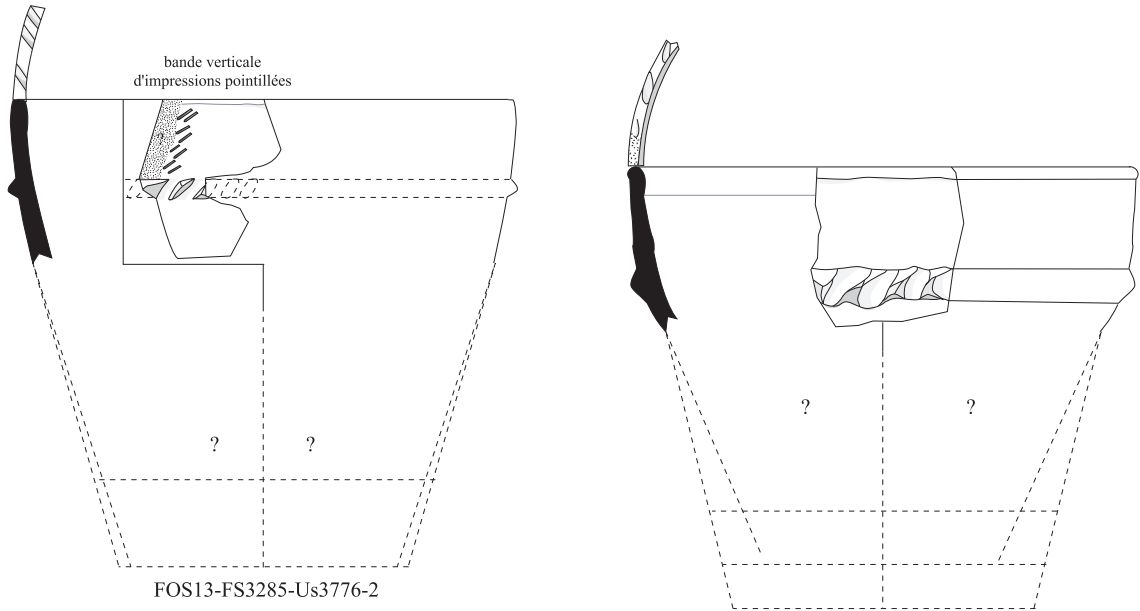


Pl. 47 : Hallstatt final, grands pots tronconiques hauts à impressions et cordons, dits "de stockage"

ZAC de la Pyramide Lot C1, "Le Bras de Fer", Lieusaint (77), fouille archéologique 15-07/04-10-2002



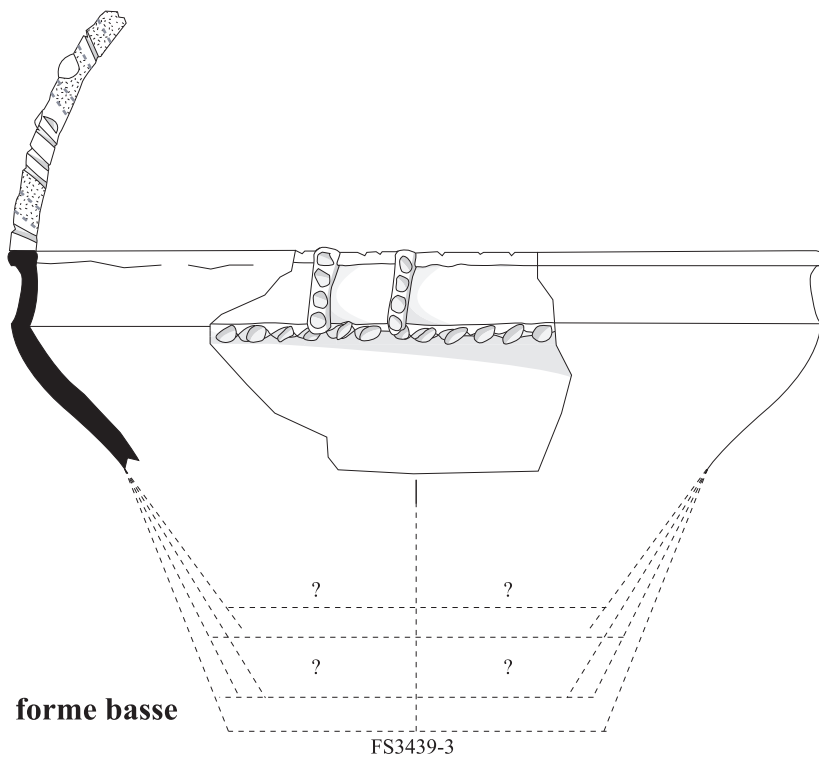
Pl. 48 : Hallstatt final, grands pots tronconiques hauts à impressions, dits "de stockage"



Diam. et Hauteur approx.
FC4283-2



formes hautes



forme basse

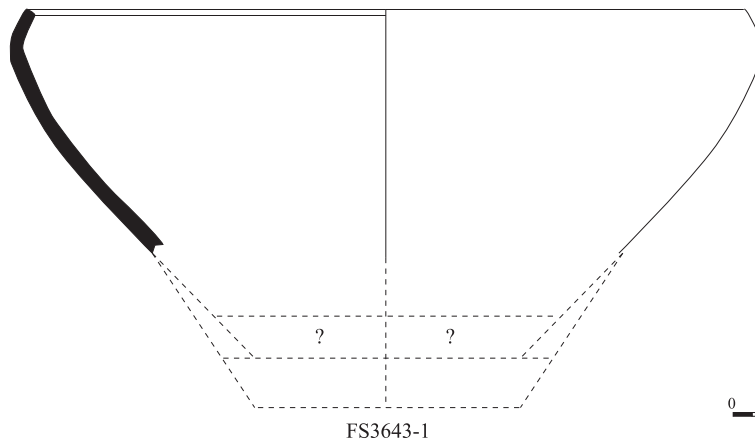
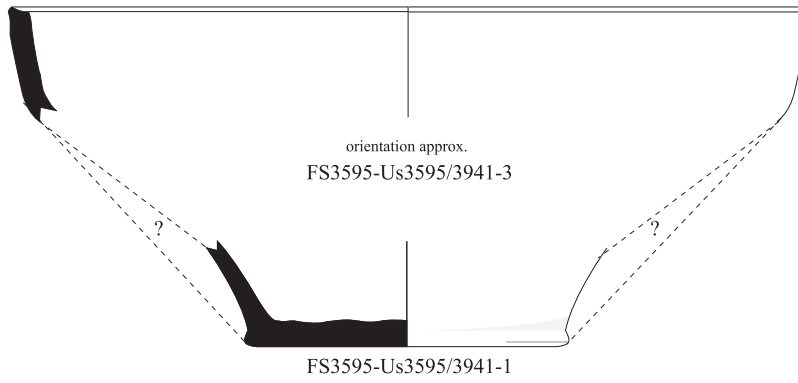
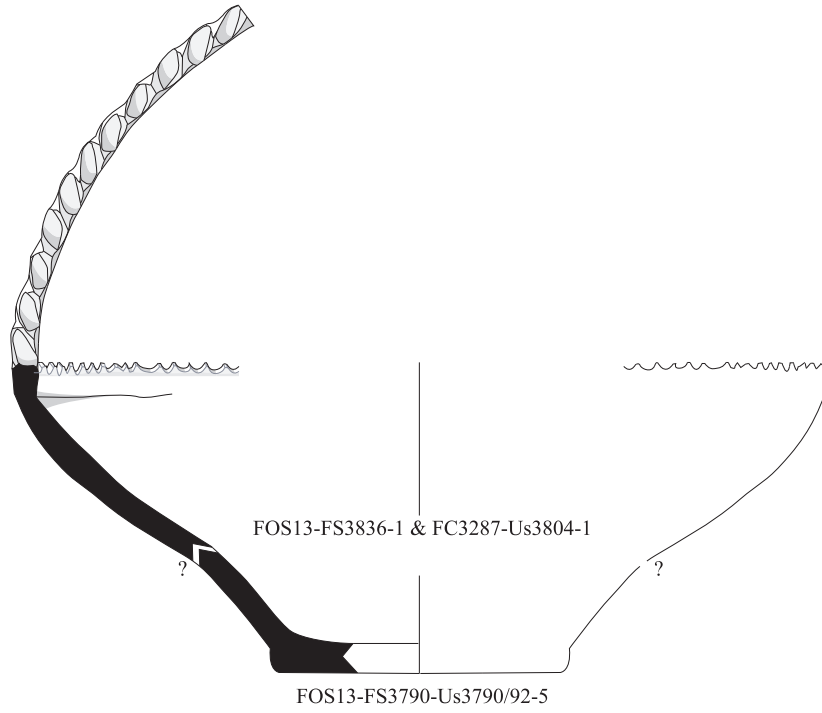
FS3439-3



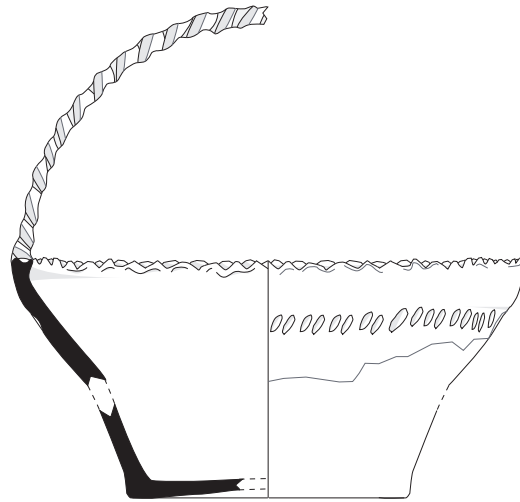
ZAC de la Pyramide Lot C1, "Le Bras de Fer", Lieusaint (77), fouille archéologique 15-07/04-10-2002

Pl. 49 : Hallstatt final, Grands pots tronconiques à impressions

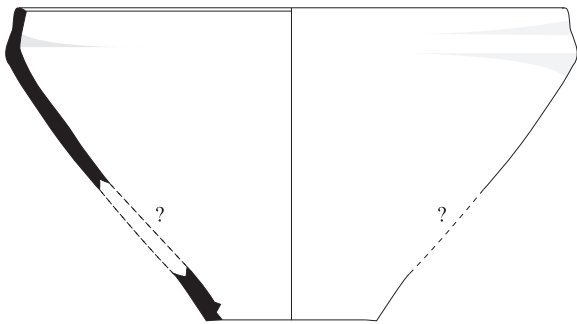
ZAC de la Pyramide Lot C1, "Le Bras de Fer", Lieusaint (77), fouille archéologique 15-07/04-10-2002



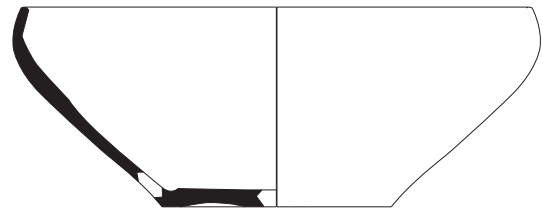
Pl. 50 : Hallstatt final, grands pots tronconiques, formes basses



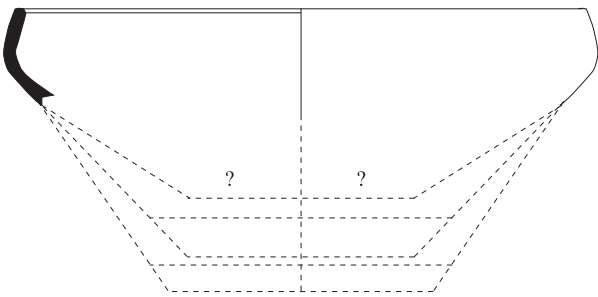
Hauteur approx.
FC3305-1



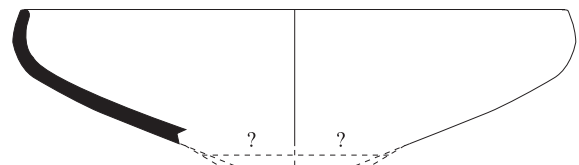
FC4167-phases 3/4-3



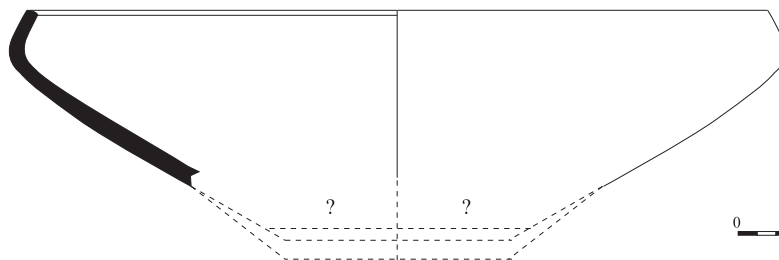
FS3567-3



FC4013-U_s4489-2



FS3210-U_s3210-1

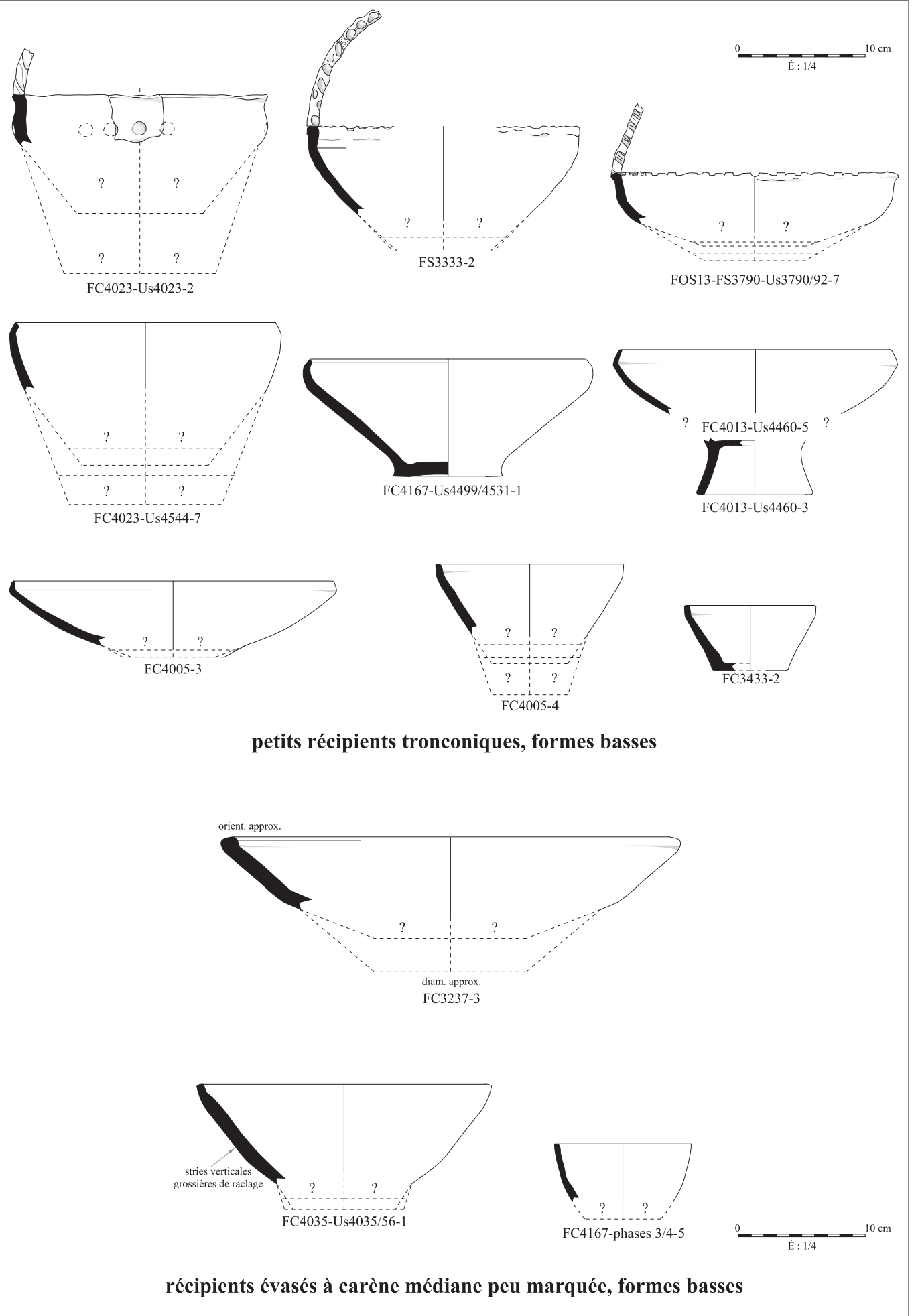


FS4015-1



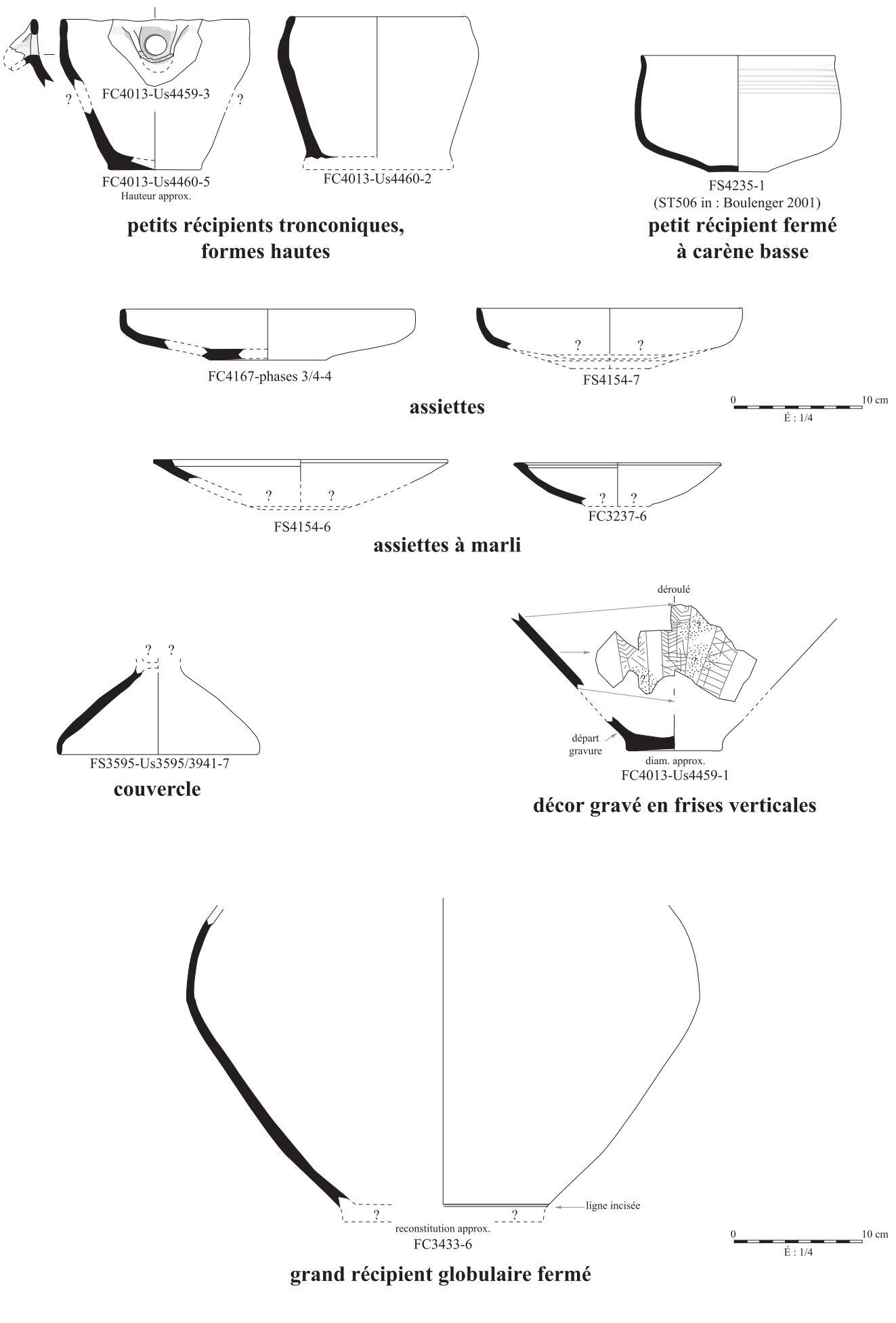
ZAC de la Pyramide Lot C1, "Le Bras de Fer", Lieusaint (77), fouille archéologique 15-07/04-10-2002

Pl. 51 : Hallstatt final, grands pots tronconiques, formes basses



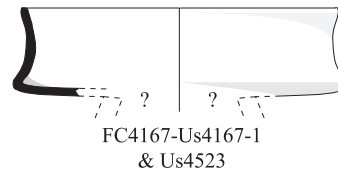
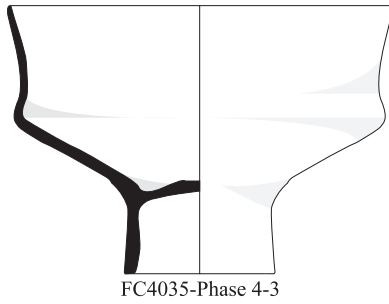
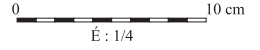
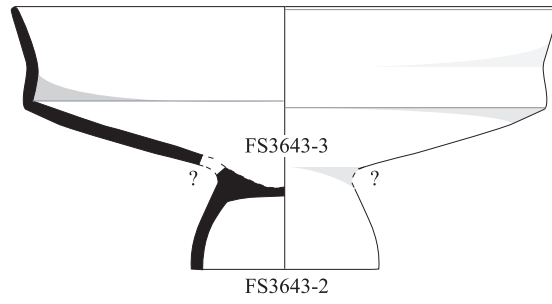
ZAC de la Pyramide Lot C1, "Le Bras de Fer", Lieusaint (77), fouille archéologique 15-07/04-10-2002

Pl. 52 : Hallstatt final, récipients évasés, formes basses

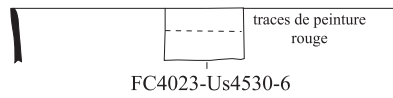
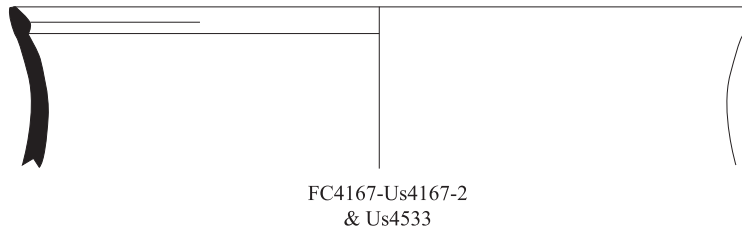


ZAC de la Pyramide Lot C1, "Le Bras de Fer", Lieusaint (77), fouille archéologique 15-07/04-10-2002

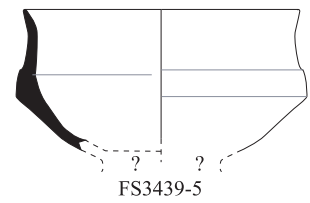
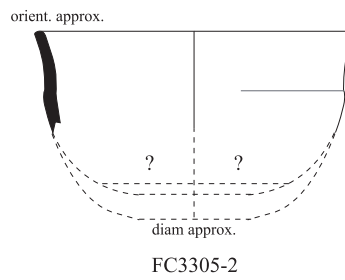
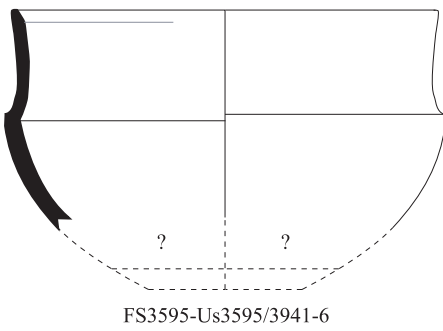
Pl. 53 : Hallstatt final, vaisselle de service/préparation et grand récipient globulaire fermé



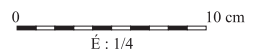
formes basses



indéterminés

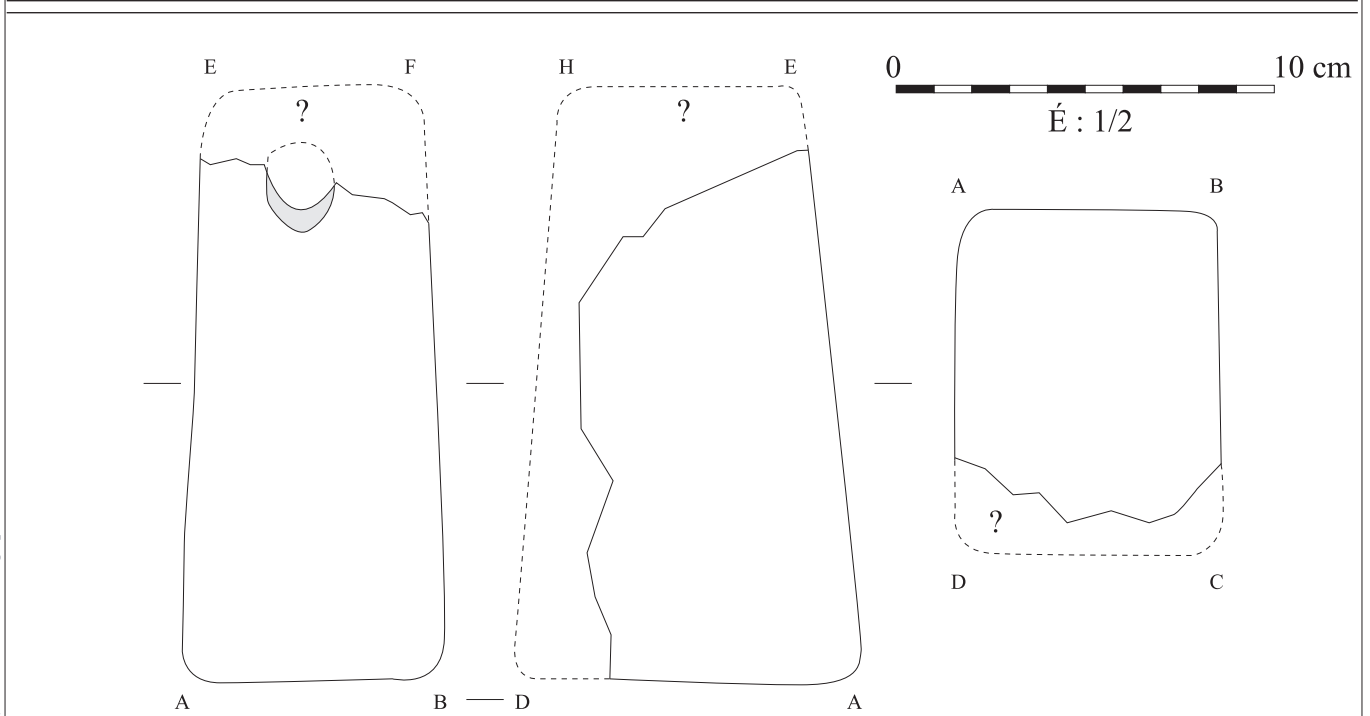
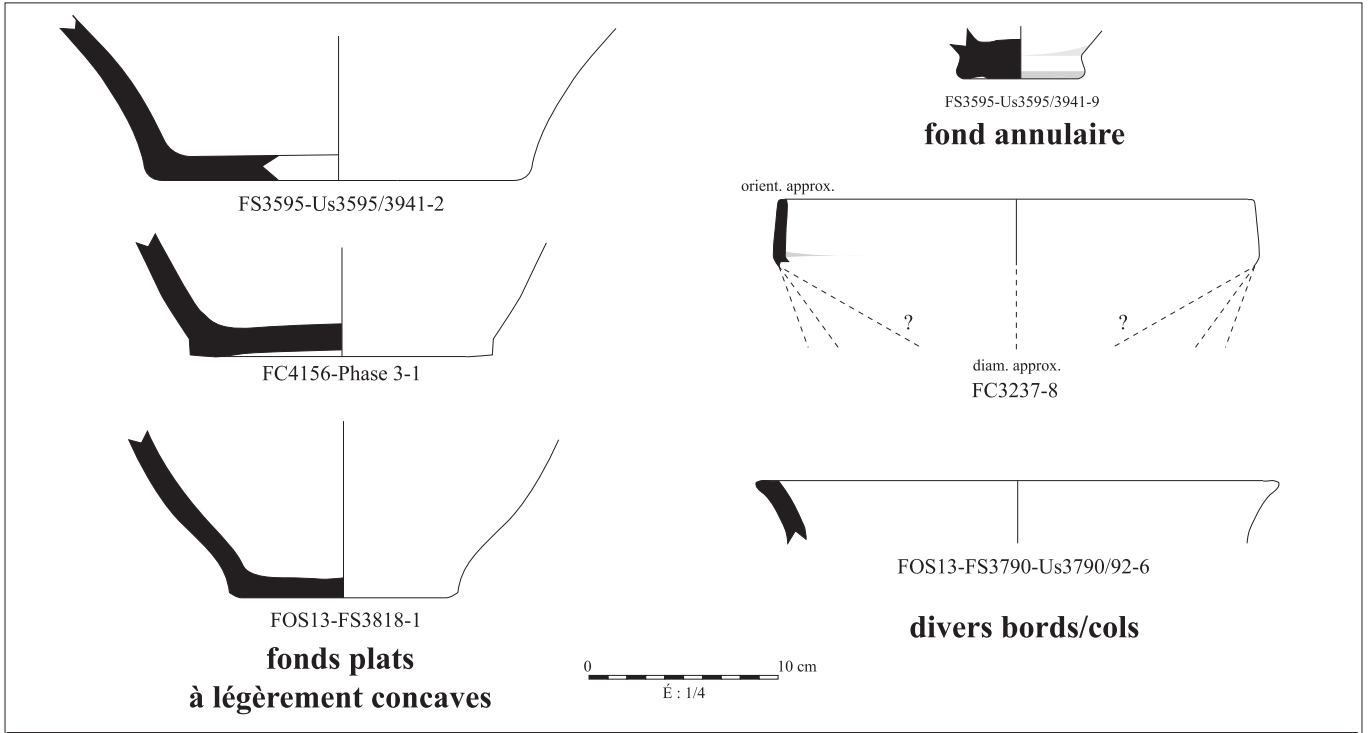


formes hautes



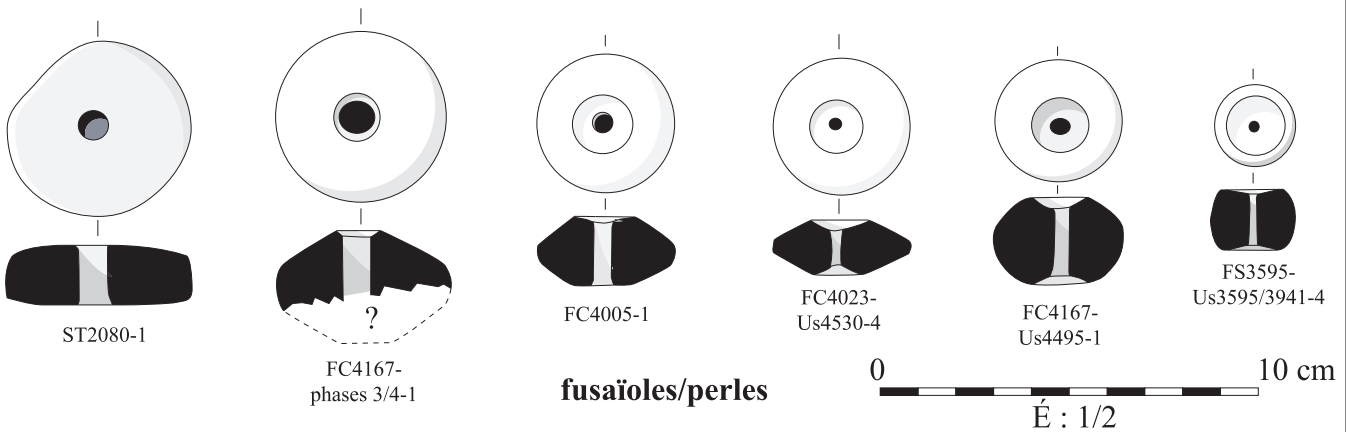
ZAC de la Pyramide Lot C1, "Le Bras de Fer", Lieusaint (77), fouille archéologique 15-07/04-10-2002

Pl. 54 : Hallstatt final, récipients complexes à carène médiane ou basse



FOS13-FS3285-Us3776-1

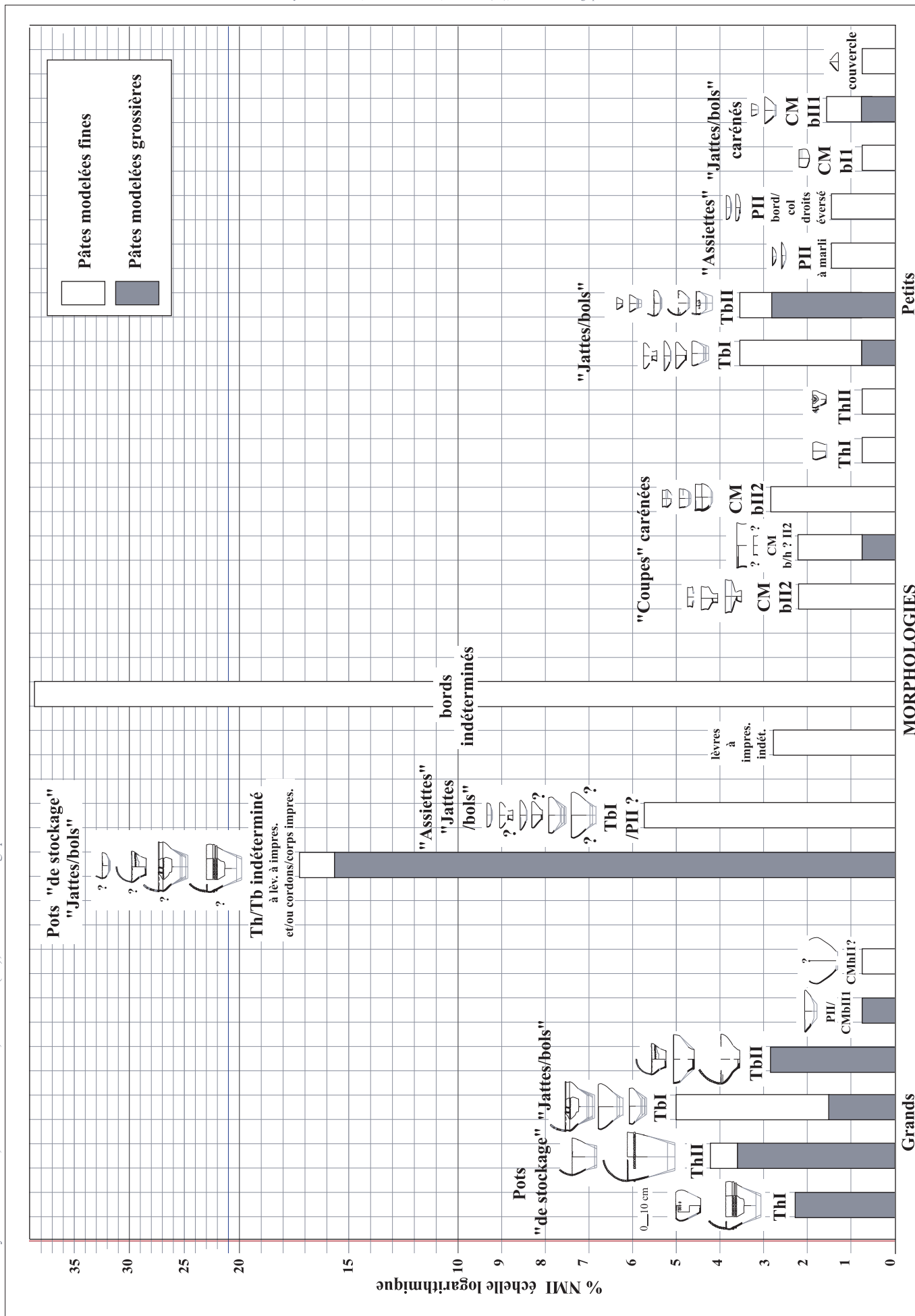
peson



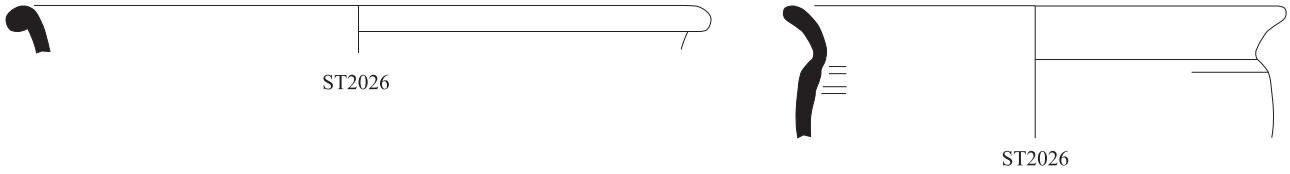
ZAC de la Pyramide Lot C1, "Le Bras de Fer", Lieusaint (77), fouille archéologique 15-07/04-10-2002

Pl. 55 : Hallstatt final, divers récipients indéterminés (É : 1/4) ; peson, fusaiöles/perles (É : 1/2)

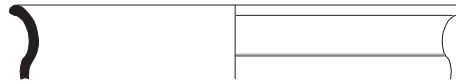
ZAC de la Pyramide Lot C1, "Le Bras de Fer", Lieusaint (77), fouille archéologique 15-07/04-10-2002



Pl. 56 : Tableau de répartition en pourcentage du NMI des formes identifiées et des indéterminés



Céramique tournée fine sombre, La Tène Moyenne C2/Gallo-romain précoce



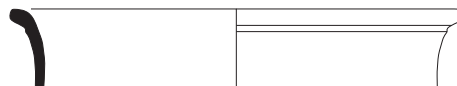
SFO18-FO3617 (diag. FO401)

N.P.R., La Tène Moyenne C2/Gallo-romain précoce



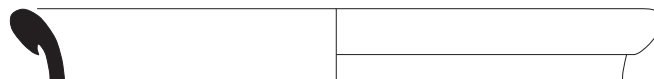
FS3477-Us3477 (diag. ST2062)

N.P.R., La Tène finale/Gallo-romain précoce



FS3993-Us3993 (diag. ST2095), BAT04

N.P.R., La Tène finale D2/Haut-Empire



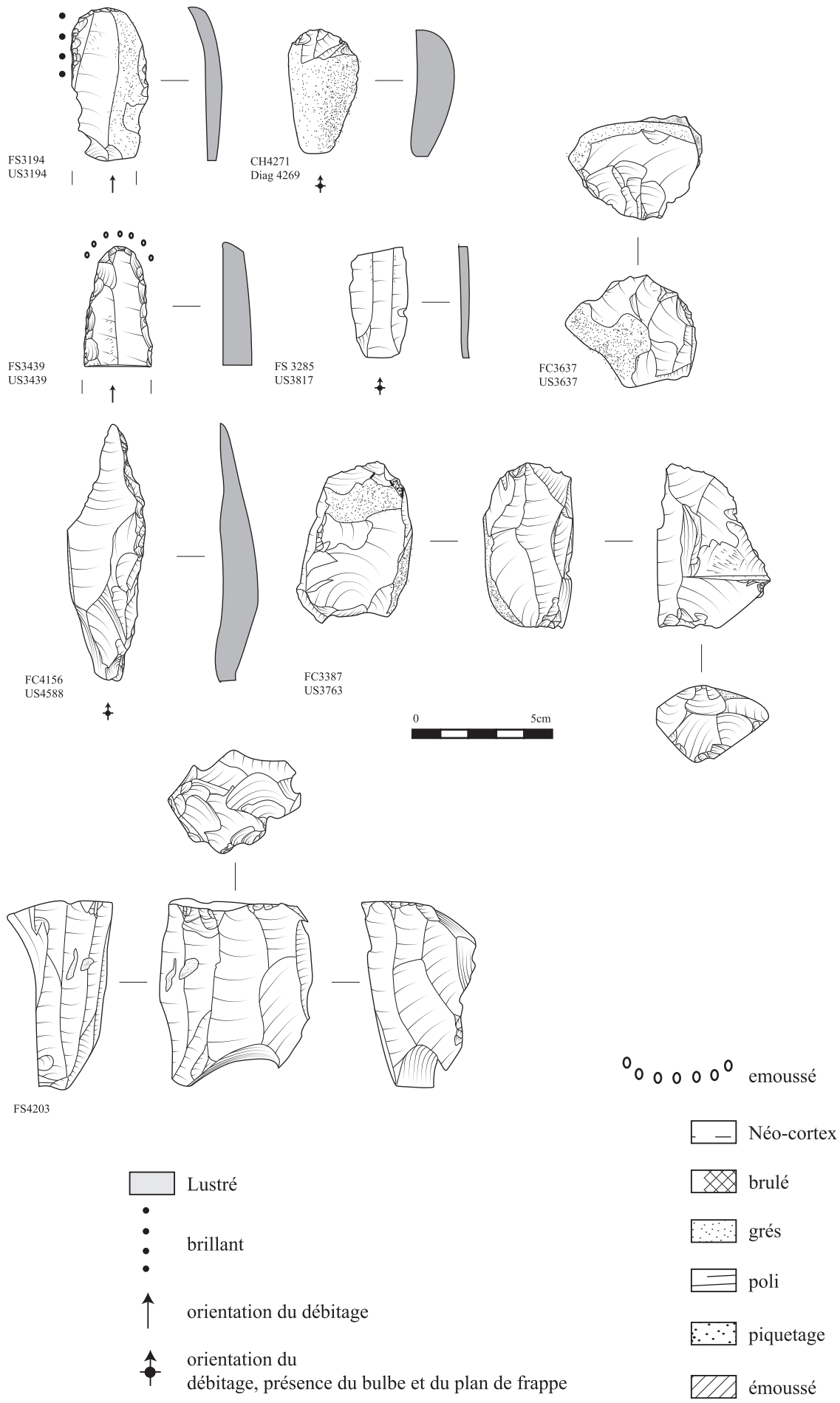
SFO19 (diag. ST2016)

Fine sableuse Grise ardoisée, fin 1er-début IVe s. ap. J.-C.



É : 1/3

ZAC de la Pyramide Lot C1, "Le Bras de Fer", Lieusaint (77), fouille archéologique 15-07/04-10-2002



Pl. 58 : Exemples de pièces lithiques du Lot C1 (Juliette Durand)

Île-de-France, Seine-et-Marne, Lieusaint, ZAC de la Pyramide Lot C1

En 2002, préalablement à la construction d'un lotissement de quarante-cinq pavillons privatifs sur le Lot C1 de la ZAC de la Pyramide, au lieudit "Le Bras de Fer" sur la commune de Lieusaint (77), une surface d'environ 1,8 ha a été mise à disposition par la société Promogim, en vue de la réalisation d'une fouille archéologique.

Une quarantaine de fosses Hallstatt final (Ha D1/D2, env. VI^e s. av. J.-C.) ont été mises au jour. La plupart d'entre elles semblent correspondre à des "silos" et ont livré un mobilier détritique relativement abondant. Les collections du Lot C1 constituent un bon éclairage sur le mobilier domestique rural de cette période. L'étude céramique s'est appliquée à définir les caractéristiques typologiques, morphologiques et volumétriques du corpus, en soulignant quelques éléments chrono-culturels diagnostiques. L'analyse archéozoologique a mis en évidence une consommation de type domestique (caprinés, porc, bœuf), mais qui comporte quelques pratiques inhabituelles : rôtissage de chien et du cerf. L'étude des pièces lithiques soulève la question du réemploi d'artefacts anciens.

Douze bâtiments sur poteaux plantés ont été mis au jour. Cinq d'entre eux ont livré des éléments céramiques pouvant couvrir la fin de La Tène moyenne, pour les plus anciens, au début du I^{er} s. ap. J.-C., pour les plus récents. Ils possèdent tous la caractéristique de présenter des plans strictement orthogonaux et d'être construits symétriquement selon des axes longitudinaux ou et/ou transversaux. Leurs morphologies à pans coupés ou quadrangulaires sur 9, 6 ou 4 poteaux avec l'emploi ponctuel de sablières basses secondaires, représentant des surfaces internes comprises entre 90 m² et 7 m² environ, correspondent bien à ce que l'on connaît de ces périodes. Plusieurs d'entre eux présentent des orientations similaires à 0,5 degré près, semblant ainsi s'aligner selon des axes de direction orthogonaux. Il est donc possible qu'ils participent d'une même occupation.

De même que pour l'occupation du premier âge du Fer, le manque d'information concernant les alentours du décapage mène à une impasse interprétative : ferme ou petit habitat groupé en bord de ru ?

Dans un intervalle compris entre La Tène finale et le IV^e siècle après J.-C., plusieurs fossés synchrones et/ou successifs sont creusés en divers endroits de l'emprise concernée par la fouille. Ils présentent tous des profils tronconiques inversés à triangulaires et des couches de sédimentation hydromorphe démontrant leur rôle voulu ou non de drainage. L'axe majeur de ce réseau fossoyé traverse l'emprise d'ouest en est. Il est marqué par 8 phases de creusements et réaménagements observables en plan et en coupe et comporte plusieurs aménagements de franchissement successifs.

Un important réseau fossoyé gallo-romain est perceptible sur l'ensemble de la ZAC de la Pyramide. Les systèmes fossoyés mis au jour sur le Lot C1 s'inscrivent dans un vaste réseau de drainage et de parcellisation des terres.